

Østfoldbanen  
Ny avgrening Østre linje

Vedlegg til Utredning av områdestabilitet

- Akseptert
- Akseptert m/kommentarer
- Ikke akseptert / kommentert  
Revider og send inn på nytt
- Kun for informasjon

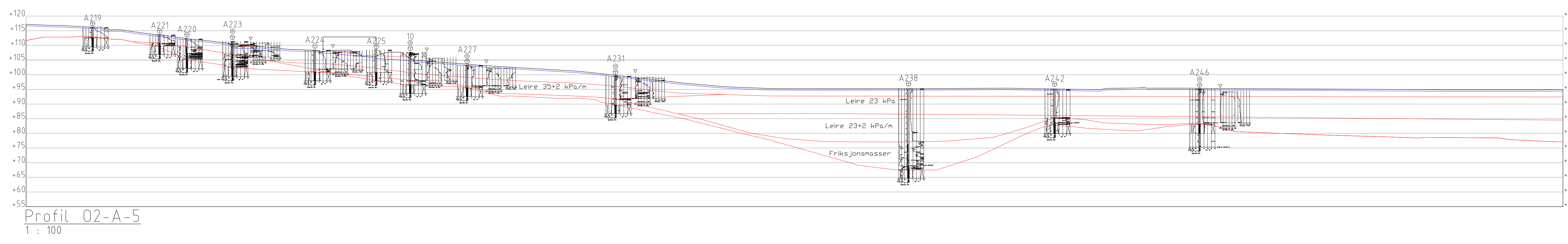
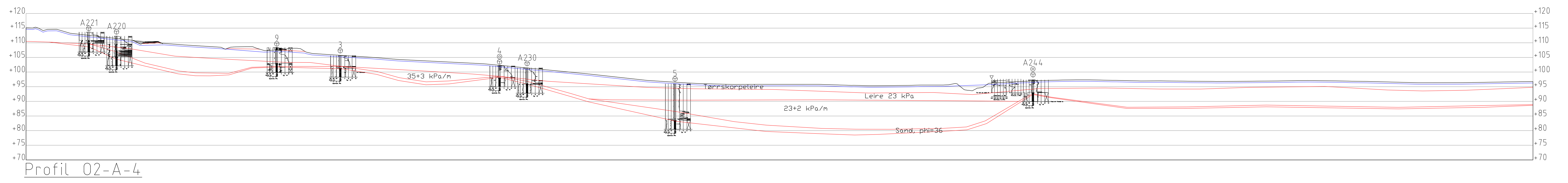
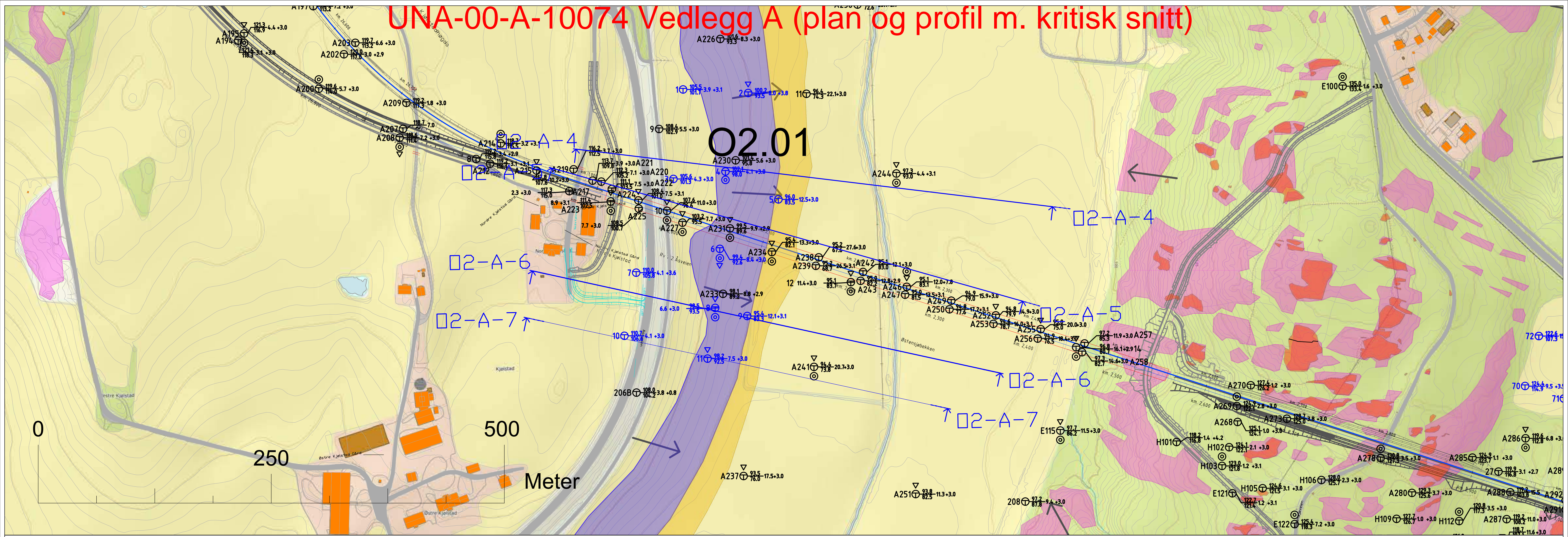
Sign:

**Rajesh Narsinh Sharma, 10.05.2023**  
14:00:57

00A	Konsept/løsningsforslag	31.03.2023	SOHJ	JAJE	TTR
Revisjon	Revisjonen gjelder	Dato	Utarb. av	Kontr. av	Godkj. av
<b>Tittel:</b> <b>Østfoldbanen (Ski) – (Sarpsborg) Østre linje,</b> <b>Ny avgrening Østre linje</b>  <b>Vedlegg til Utredning av områdestabilitet</b>		<b>Antall sider:</b> <b>363</b>			
		<b>Produsent:</b>	<b>NIRAS Norge AS</b>		
		<b>Erstatning for:</b>	MIP-00-A-14025		
		<b>Erstattet av:</b>			
Prosjektnr. 900078 Parsell: 00 Planfase: Detaljplan	<b>Dokument-/tegningsnummer:</b> <b>UNA-00-A-10074</b>		<b>Revisjon:</b> <b>00A</b>		
	<b>FDV-</b> <b>dokument-/tegningsnummer:</b> <b>N/A</b>		<b>FDV-rev.:</b> <b>N/A</b>		



# UNA-00-A-10074 Vedlegg A (plan og profil m. kritisk snitt)



- Tegnforklaring**
- ⊕ Totalsondering
  - ⊙ Prøveserie
  - ⊖ Poretryksmål
  - ▽ Trykksondering, CPTu
  - Seismikk

Supplerende geotekniske grunnundersøkelser (blå farge)

Eksisterende geotekniske grunnundersøkelser (svart)

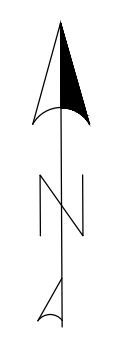
Borhull nr.    Terreng (bunn) kote    Antatt kote    Boret dypde + (boret i fjell)

- Tolket berg i dagen
- Berg i dagen
- ➔ Utløpsretning

- Løsneområde
- Utløpsområde

- Senterlinje nytt spor
- Ny veigeometri

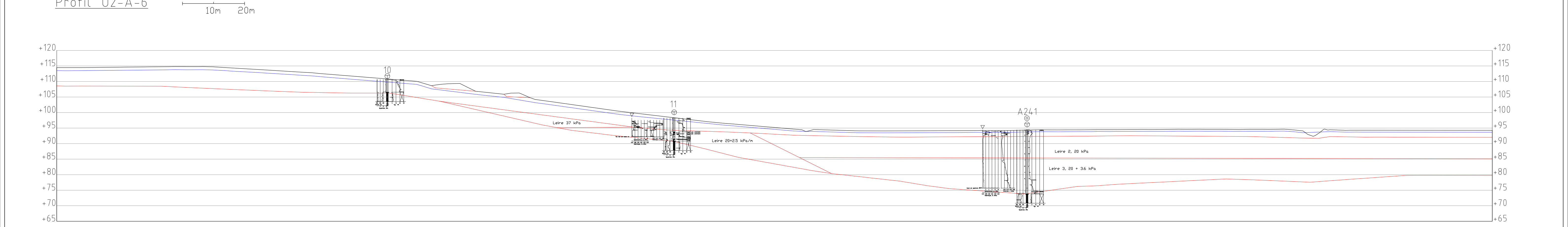
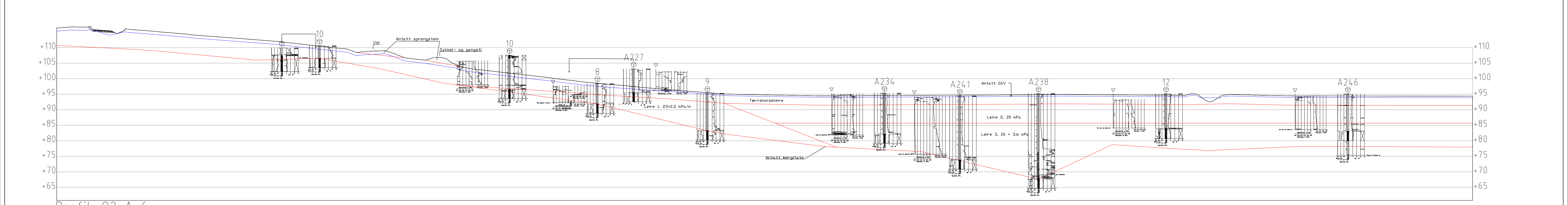
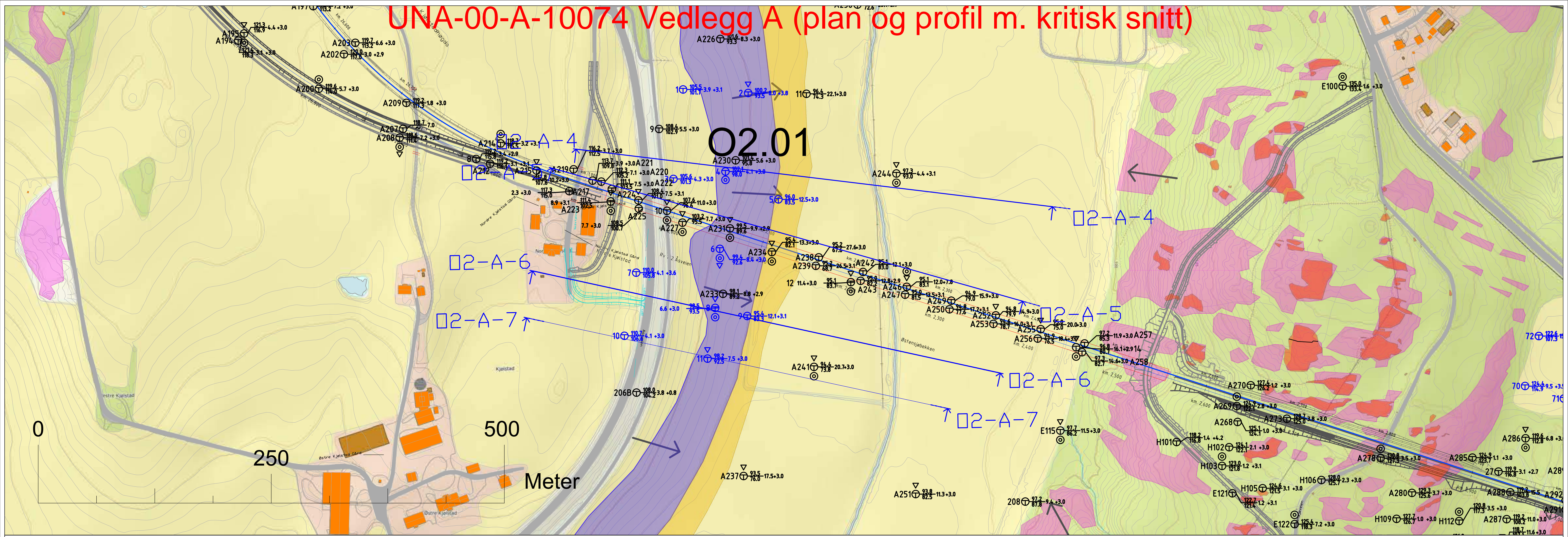
DELOMRÅDE 02



A1



# UNA-00-A-10074 Vedlegg A (plan og profil m. kritisk snitt)



**Tegnforklaring**

⊕ Totalsondering	Supplerende geotekniske grunnundersøkelser (blå farge)	⬜ Tolket berg i dagen	⬜ Løsneområde	— Senterlinje nytt spor
⊙ Prøveserie	Eksisterende geotekniske grunnundersøkelser (svart)	⬜ Berg i dagen	⬜ Utløpsområde	— Ny veigeometri
⊖ Poretrykkmåler		→ Utløpsretning		
⊖ Trykksondering, CPTu				
— Seismikk				

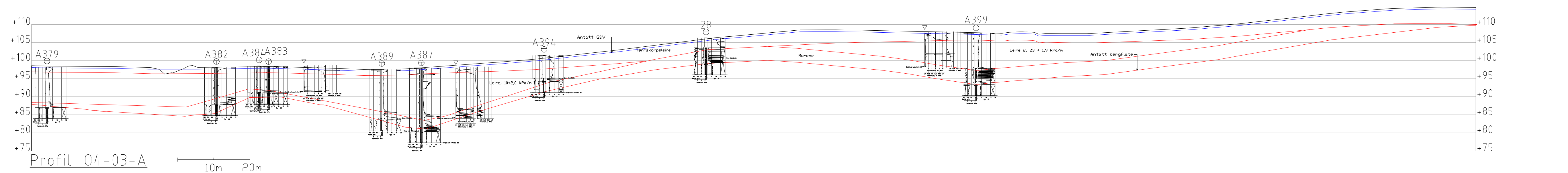
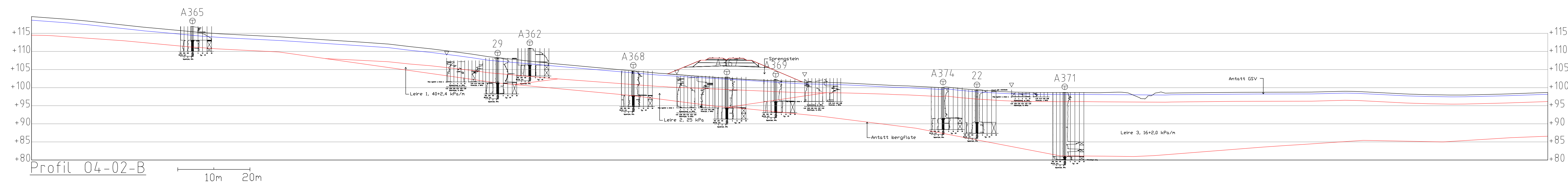
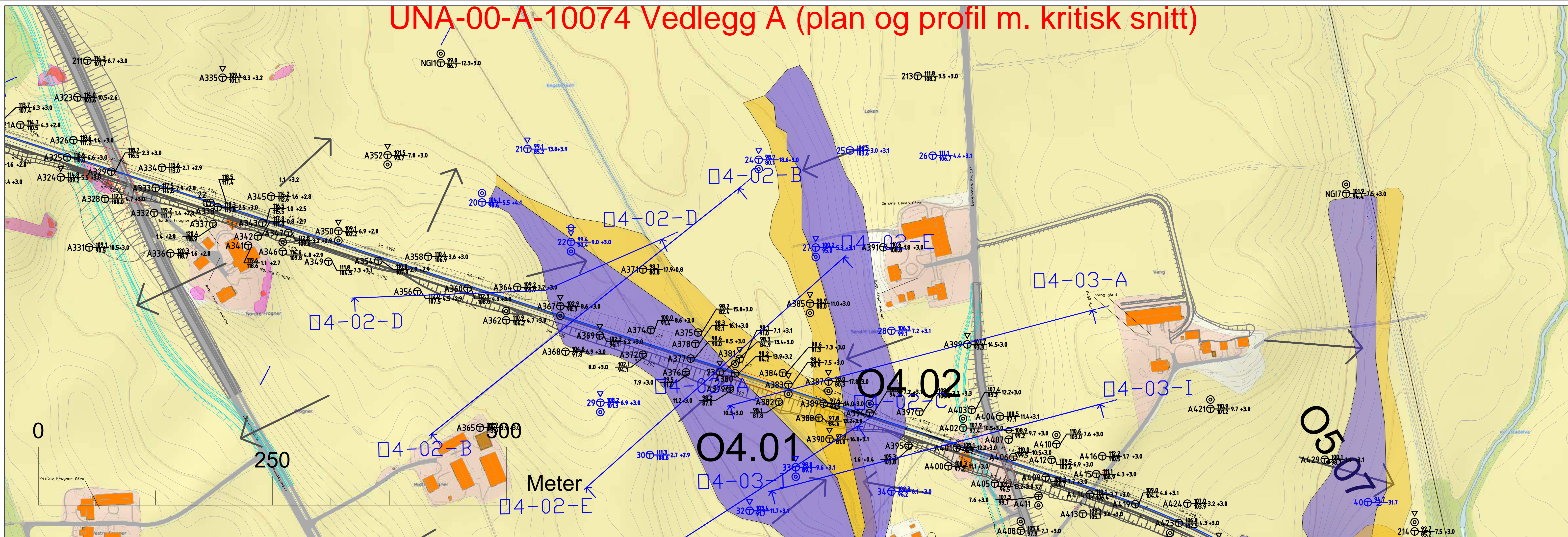
Borhull nr.    Terreng (bunn) kote    Antatt kote    Boret dypde + (boret i fjell)

DELOMRÅDE 02

A2



# UNA-00-A-10074 Vedlegg A (plan og profil m. kritisk snitt)



## Tegnforklaring

- |                        |  |                       |                |                         |
|------------------------|--|-----------------------|----------------|-------------------------|
| ⊕ Totalsondering       | Supplerende geotekniske grunnundersøkelser (blå farge) | ■ Tolket berg i dagen | ■ Løsneområde  | — Senterlinje nytt spor |
| ⊙ Prøveserie           | Eksisterende geotekniske grunnundersøkelser (svart)    | ■ Berg i dagen        | ■ Utløpsområde | — Ny veigeometri        |
| ⊖ Poretrykkmåler       |  | → Utløpsretning       |                |                         |
| ⊖ Trykksondering, CPTu |  |                       |                |                         |
| — Seismikk             |  |                       |                |                         |

Borhull nr.    Terreng (bunn) kote    Antatt kote    Boret dybde + (boret i fjell)

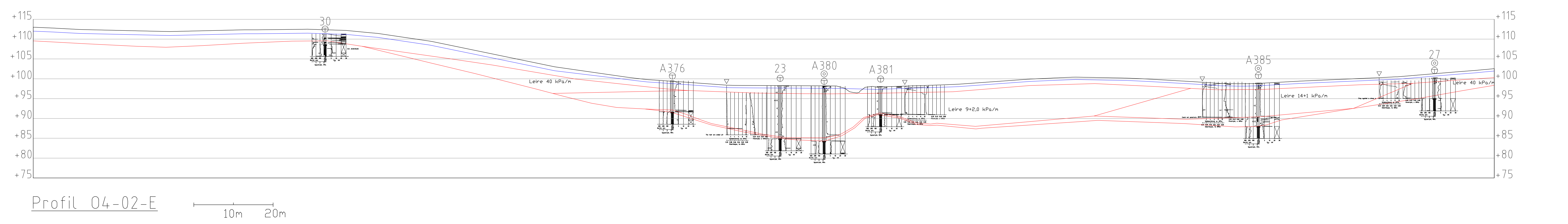
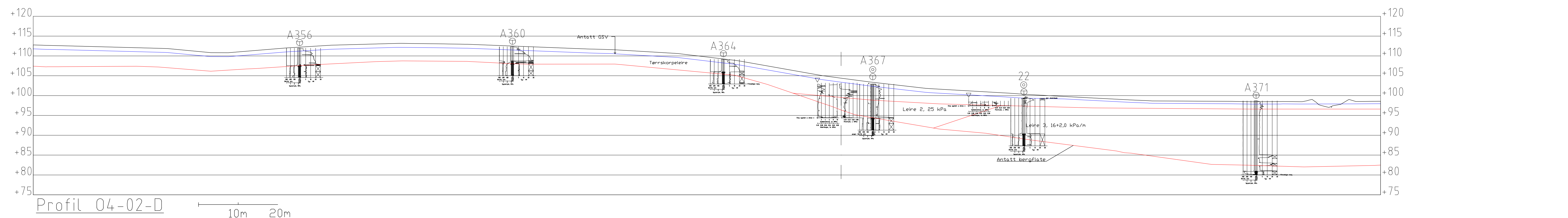
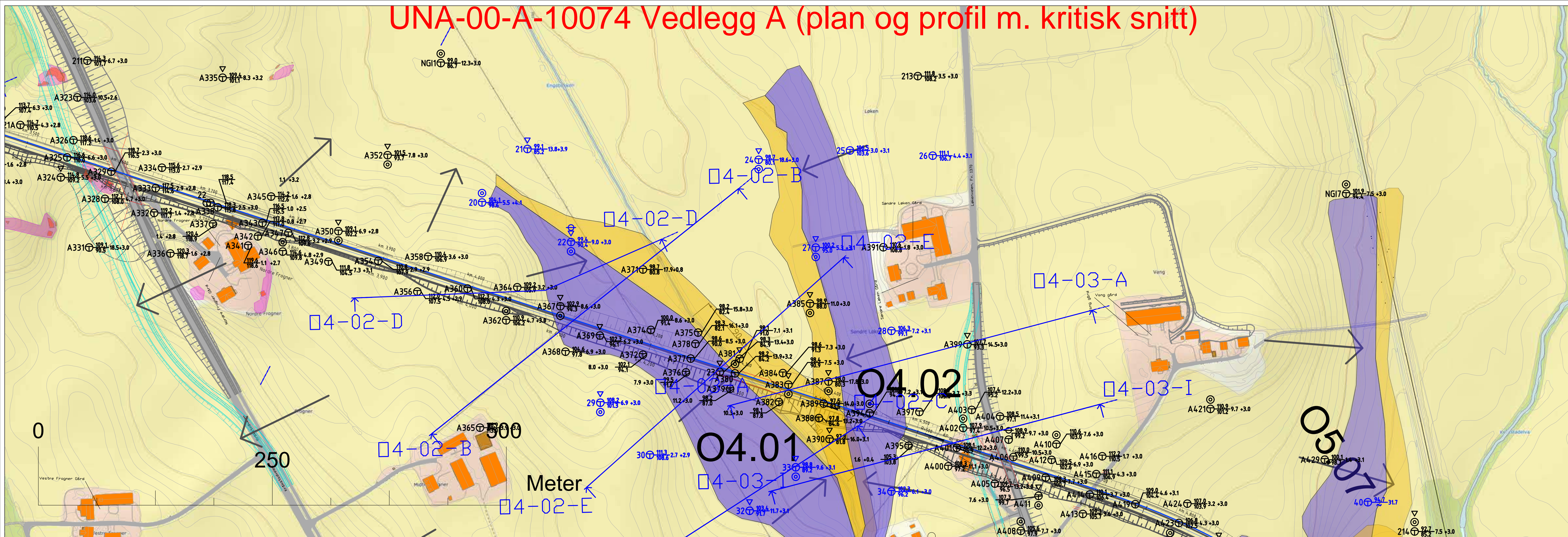
DELOMRÅDE 04



A3



# UNA-00-A-10074 Vedlegg A (plan og profil m. kritisk snitt)



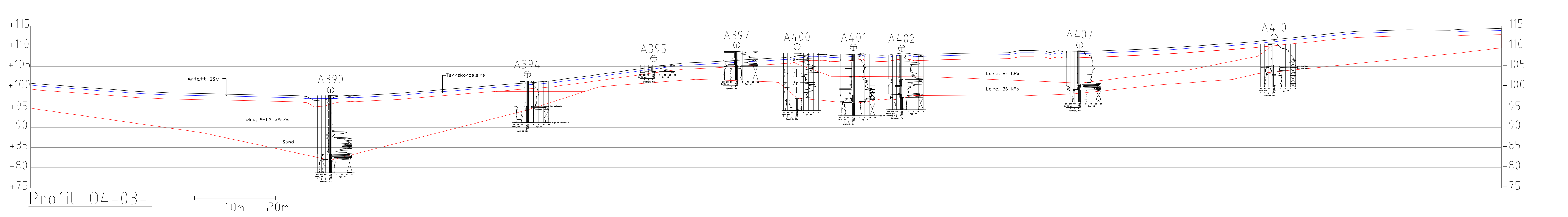
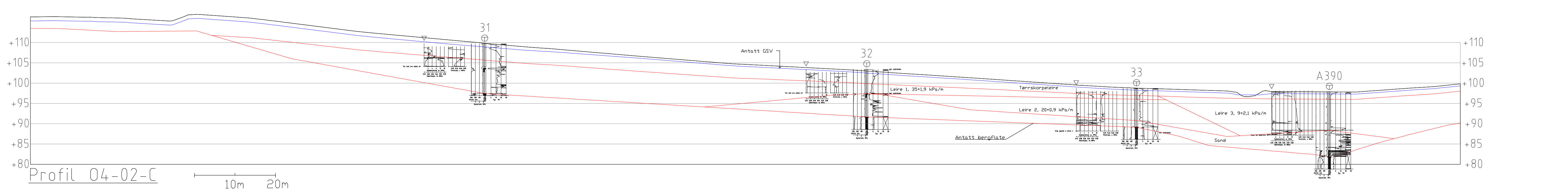
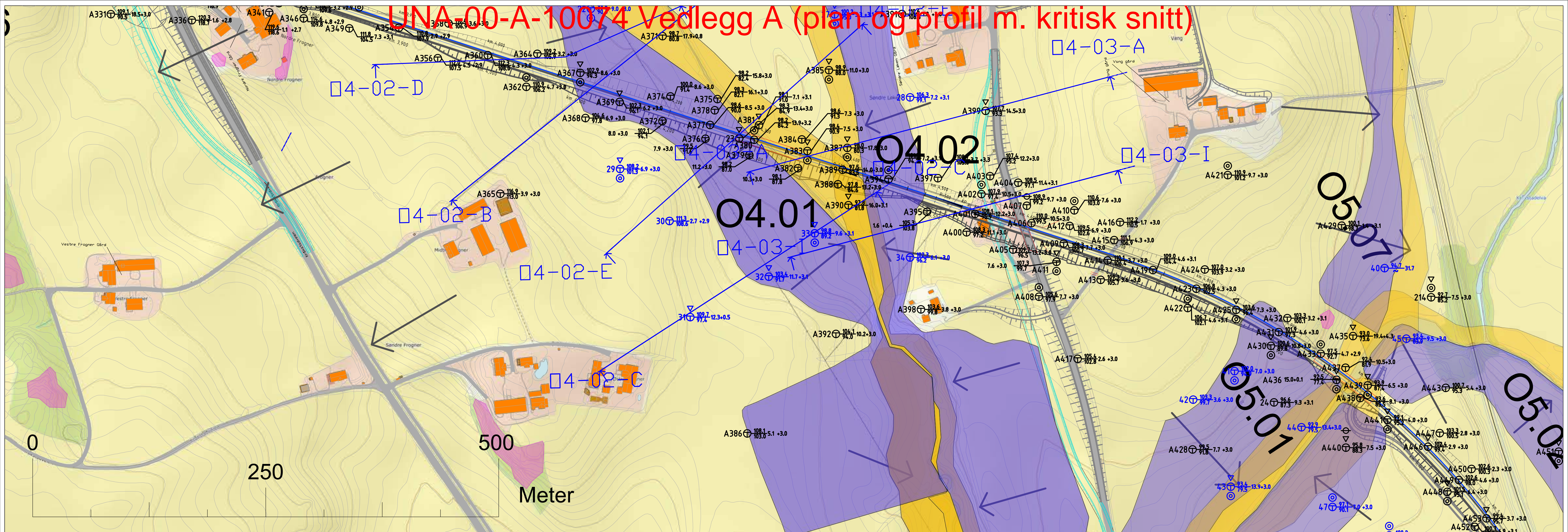
**Tegnforklaring**

⊕ Totalsondering	⊕ Supplerende geotekniske grunnundersøkelser (blå farge)	⊕ Tolket berg i dagen	⊕ Løsneområde	— Senterlinje nytt spor
⊙ Prøveserie	⊕ Eksisterende geotekniske grunnundersøkelser (svart)	⊕ Berg i dagen	⊕ Utløpsområde	— Ny veigeometri
⊖ Poretrykkmåler		→ Utløpsretning		
⊖ Trykksondering, CPTu				
— Seismikk				

Borhull nr.    Terreng (bunn) kote    Antatt kote    Boret dybde + (boret i fjell)



# UNA-00-A-10074 Vedlegg A (plan og profil m. kritisk snitt)



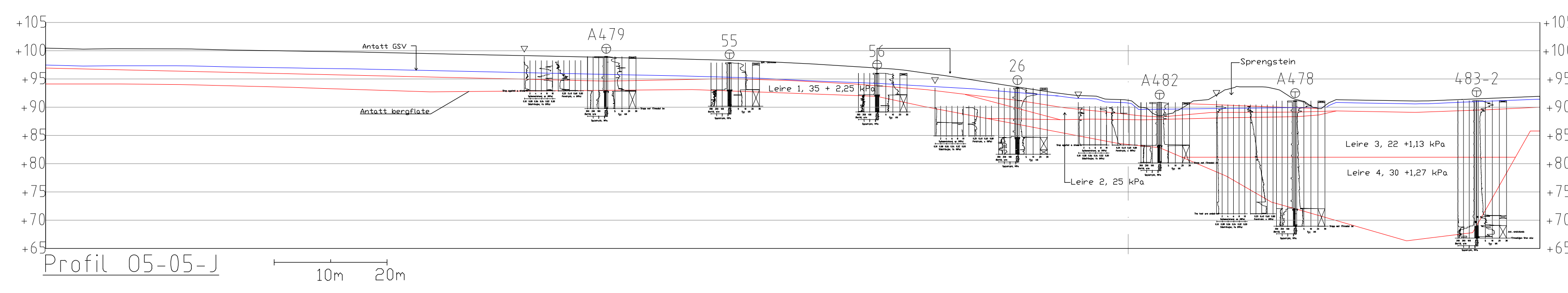
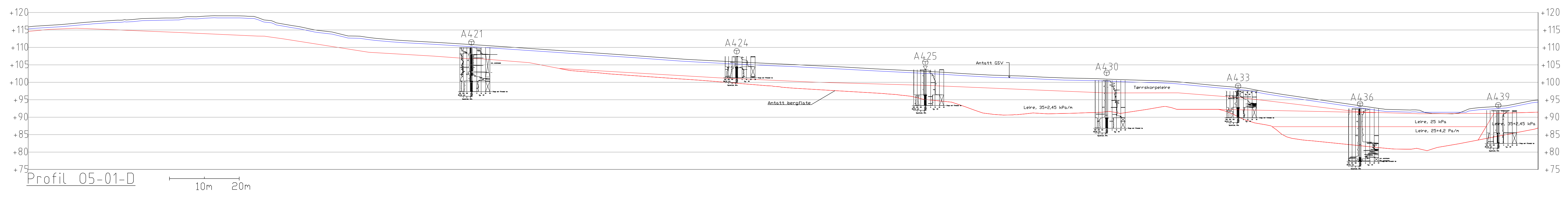
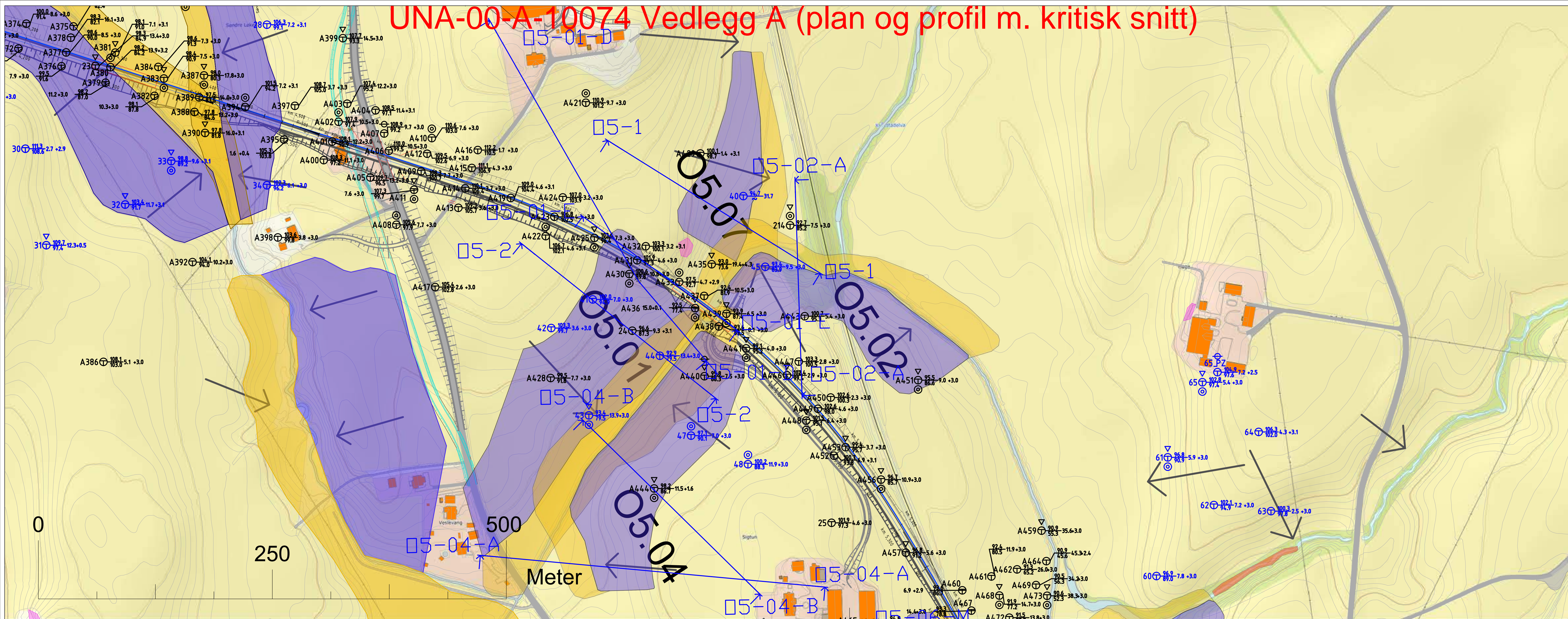
- Tegnforklaring**
- ⊕ Totalsondering
  - ⊙ Prøveserie
  - ⊖ Poretryksmål
  - ▽ Trykksondering, CPTu
  - Seismikk

- Supplerende geotekniske grunnundersøkelser (blå farge)**
- Eksisterende geotekniske grunnundersøkelser (svart)
- Borhull nr.    Terreng (bunn) kote    Antatt kote    Boret dypde + (boret i fjell)

- Tolket berg i dagen
- Berg i dagen
- Utløpsretning
- Løsneområde
- Utløpsområde
- Senterlinje nytt spor
- Ny veigeometri



# UNA-00-A-10074 Vedlegg A (plan og profil m. kritisk snitt)

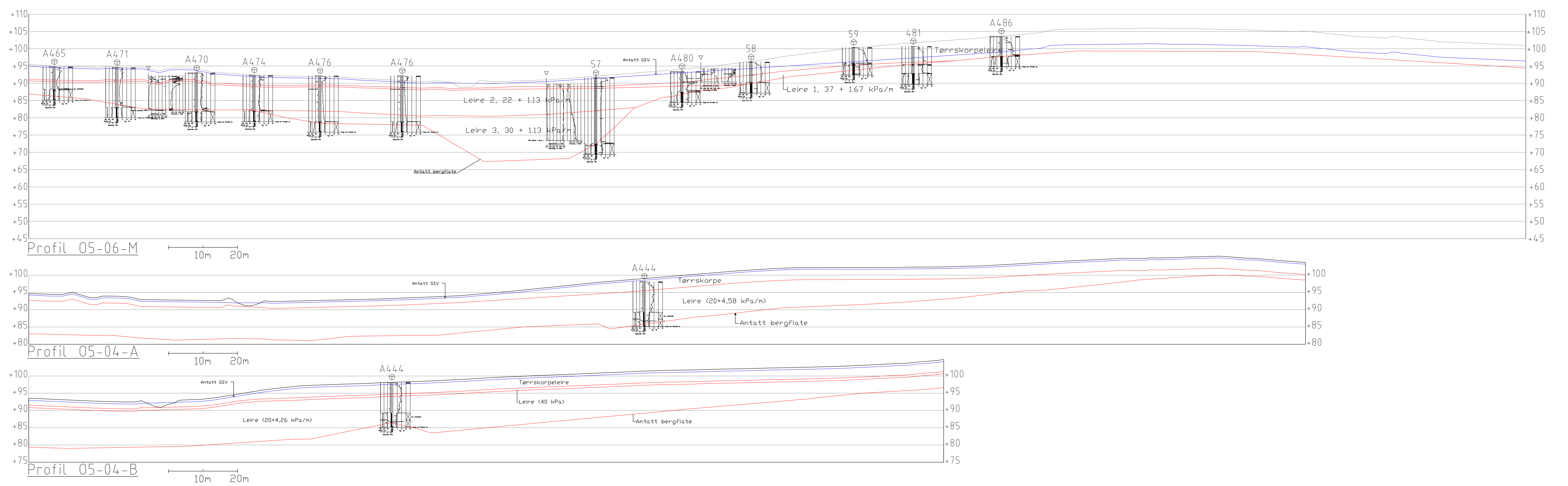
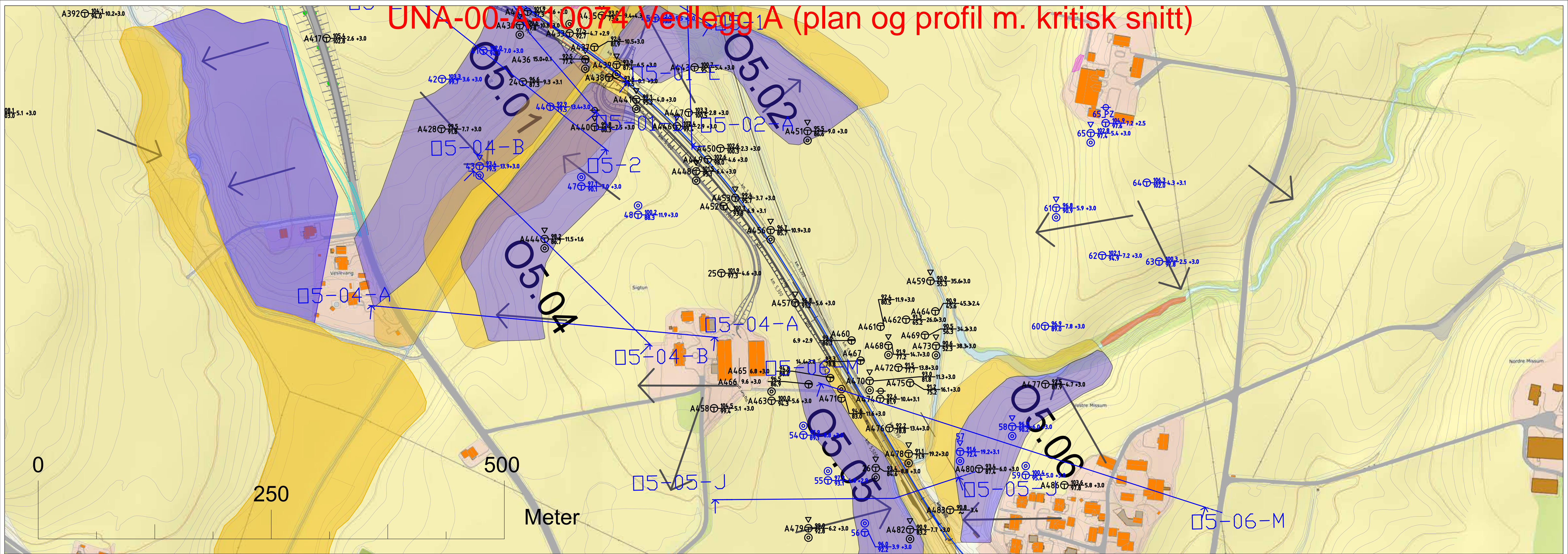


**Tegnforklaring**

⊕ Totalsondering	Supplerende geotekniske grunnundersøkelser (blå farge)	⬜ Tolket berg i dagen	⬜ Løsneområde	— Senterlinje nytt spor
⊙ Prøveserie	Eksisterende geotekniske grunnundersøkelser (svart)	⬜ Berg i dagen	⬜ Utløpsområde	— Ny veigeometri
⊖ Poretrykkmåler	Borhull nr.    Terreng (bunn) kote    Boret dypde + (boret i fjell)	➔ Utløpsretning		
⊖ Trykksondering, CPTu	Antatt kote			
— Seismikk				



# UNA-00-A110074 Vedlegg A (plan og profil m. kritisk snitt)



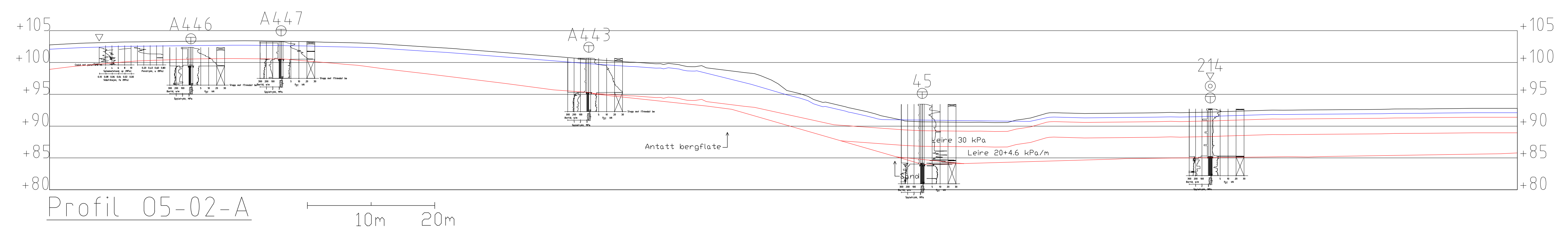
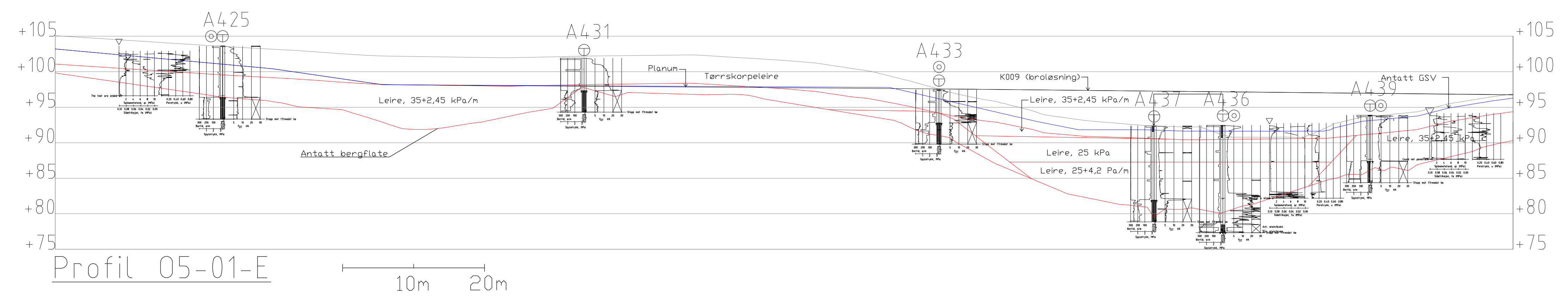
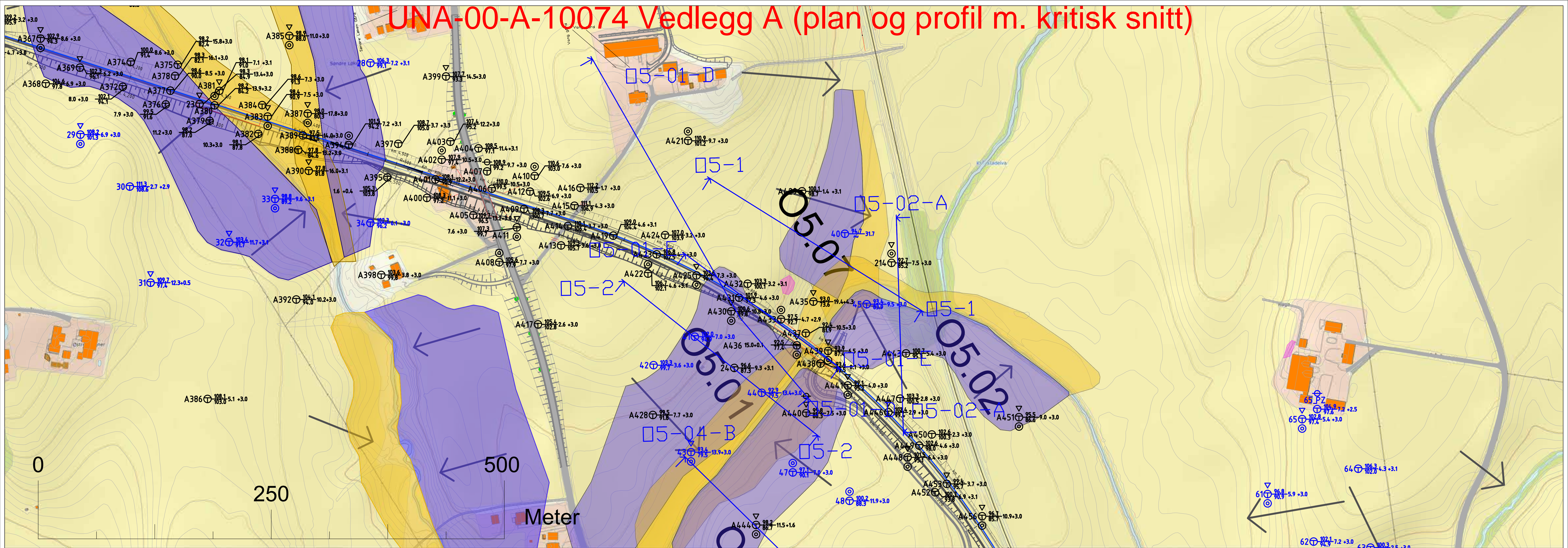
**Tegnforklaring**

⊕ Totalsondering	Supplerende geotekniske grunnundersøkelser (blå farge)	⬜ Tolket berg i dagen	⬜ Løsneområde	— Senterlinje nytt spor
⊙ Prøveserie	Eksisterende geotekniske grunnundersøkelser (svart)	⬜ Berg i dagen	⬜ Utløpsområde	— Ny veigeometri
⊖ Poretryksmåler		→ Utløpsretning		
⊖ Trykksondering, CPTu				
— Seismikk				

Borhull nr.    Terreng (bunn) kote    Antatt kote    Boret dypde + (boret i fjell)



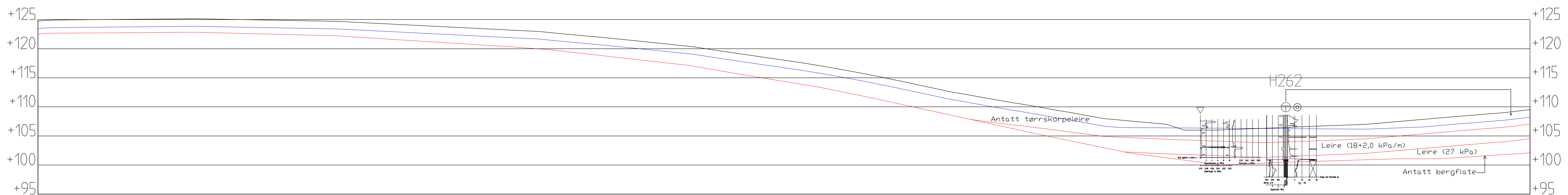
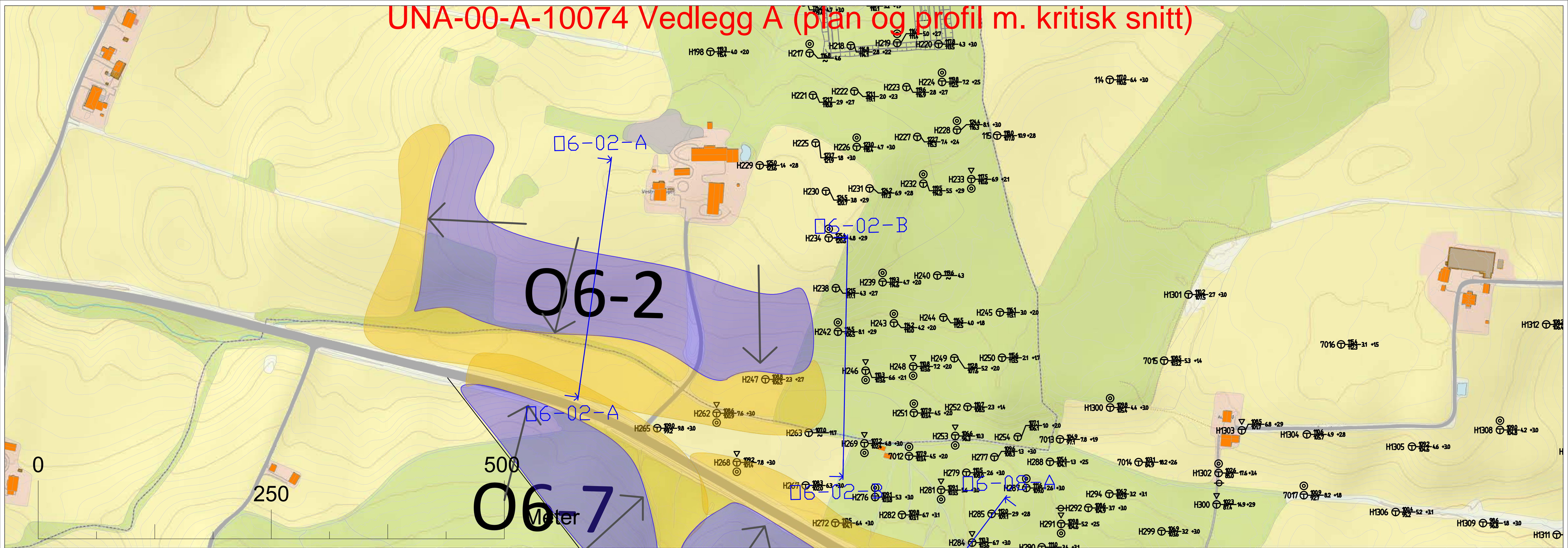
# UNA-00-A-10074 Vedlegg A (plan og profil m. kritisk snitt)



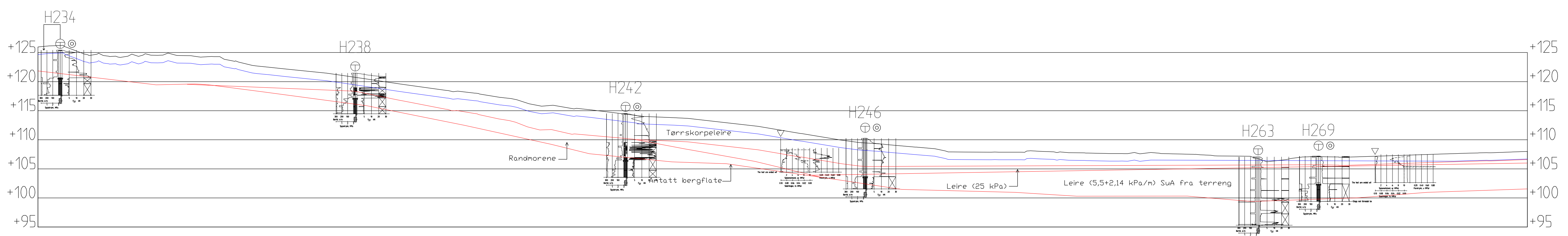
- Tegnforklaring**
- ⊕ Totalsondering
  - ⊙ Prøveserie
  - ⊖ Poretryksmål
  - ⊖ Trykksondering, CPTu
  - Seismikk
  - Supplerende geotekniske grunnundersøkelser (blå farge)
  - Eksisterende geotekniske grunnundersøkelser (svart)
  - Borhull nr. | Terreng (bunn) kote | Antatt kote | Boret dybde + (boret i fjell)
  - ⬆ Tolket berg i dagen
  - ⬆ Berg i dagen
  - ➔ Utløpsretning
  - ⬆ Løsneområde
  - ⬆ Utløpsområde
  - Senterlinje nytt spor
  - Ny veigeometri



# UNA-00-A-10074 Vedlegg A (plan og profil m. kritisk snitt)



Profil 06-2-A  
10m 20m



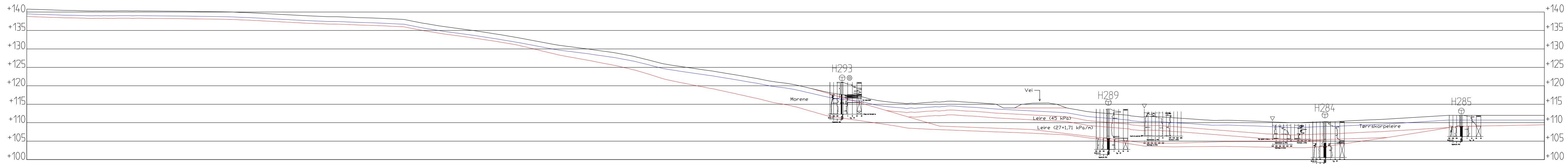
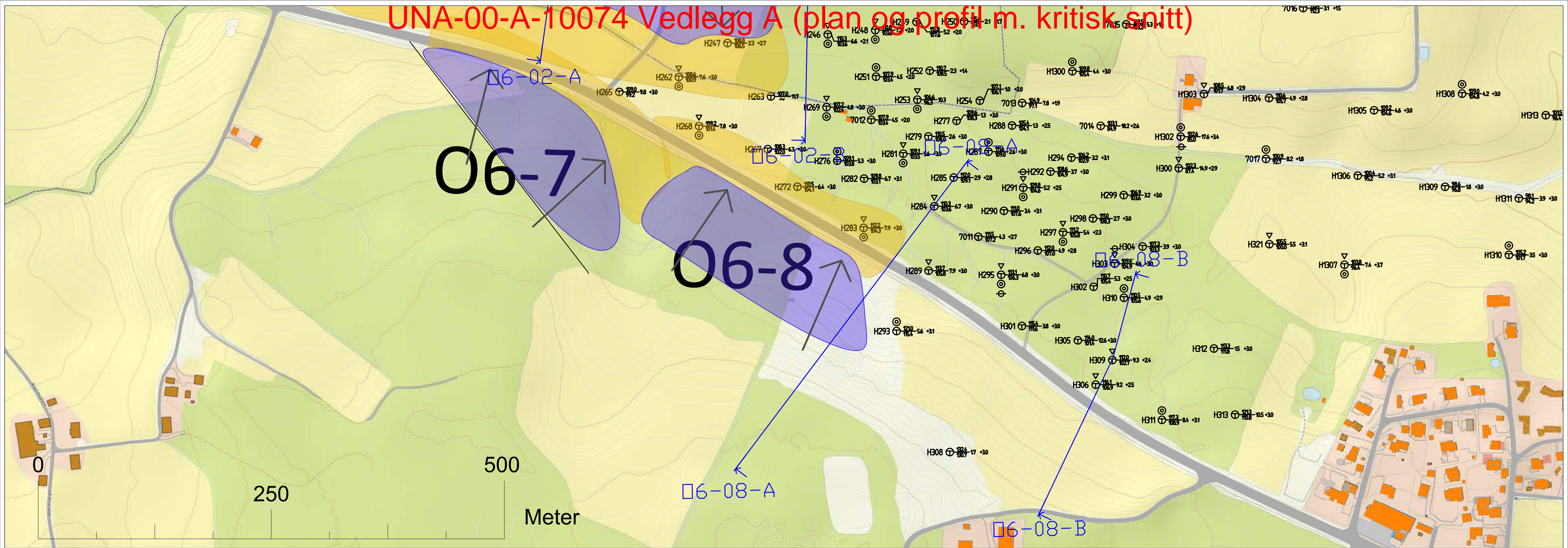
Profil 06-2-B  
10m 20m

**Tegnforklaring**

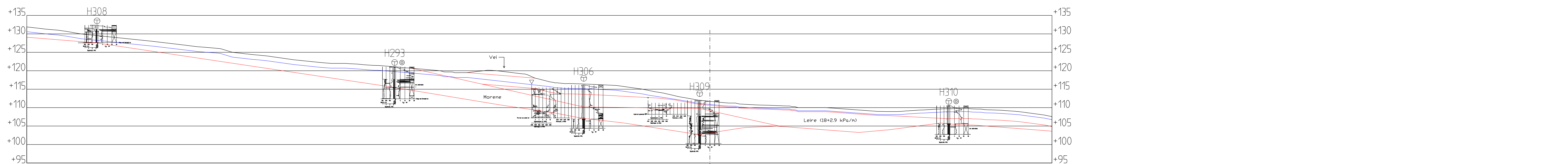
⊕ Totalsondering	⊙ Prøveserie	⊖ Poretryksmålør	▽ Trykksondering, CPTu	— Seismikk
⊕ Supplerende geotekniske grunnundersøkelser (blå farge)	⊙ Eksisterende geotekniske grunnundersøkelser (svart)			
Borhull nr.	Terrang (bunn) kote	Antatt kote	Boret dybde + (boret i fjell)	
■ Tolket berg i dagen	■ Berg i dagen	→ Utløpsretning	■ Løsneområde	■ Utløpsområde
			— Senterlinje nytt spor	— Ny veigeometri



# UNA-00-A-10074 Vedlegg A (plan og profil m. kritisk snitt)



Profil O6-8-A



Profil O6-8-B

- Tegnforklaring**
- ⊕ Totalsondering
  - ⊙ Prøveserie
  - ⊖ Poretryksmål
  - ⊖ Trykksondering, CPTu
  - Seismikk

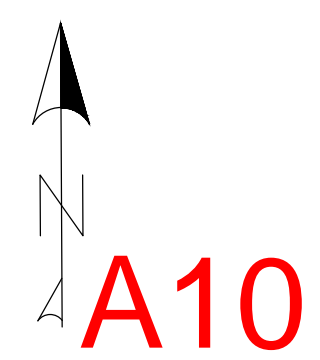
Supplerende geotekniske grunnundersøkelser (blå farge)

Eksisterende geotekniske grunnundersøkelser (svart)

Borhull nr.	Terrang (bunn) kote	Antatt kote	Boret dybde + (boret i fjell)

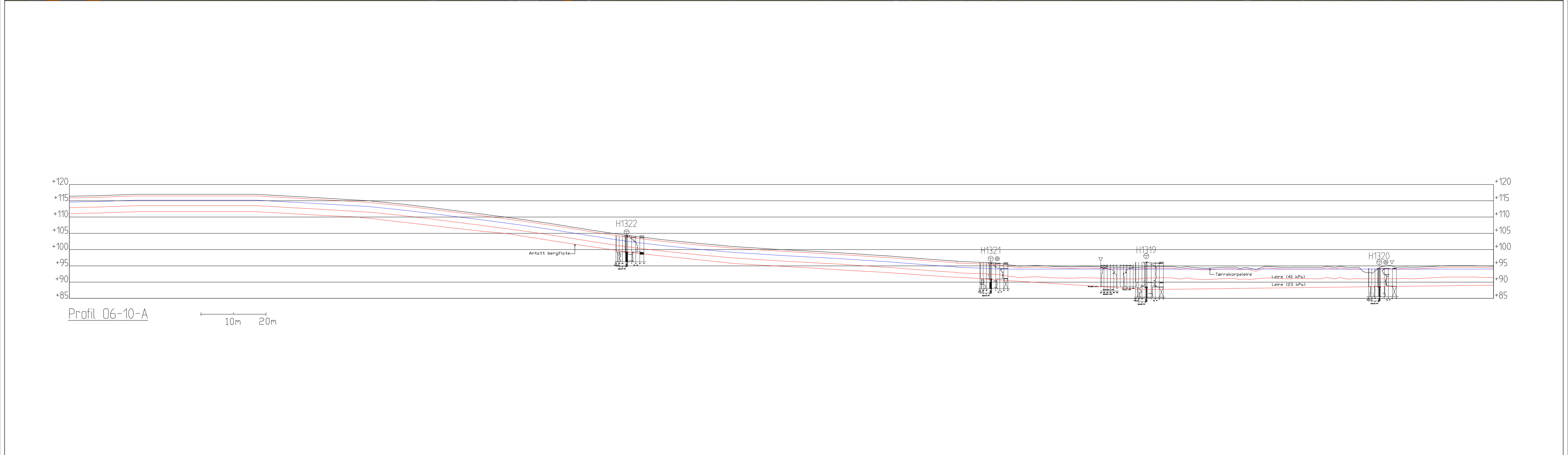
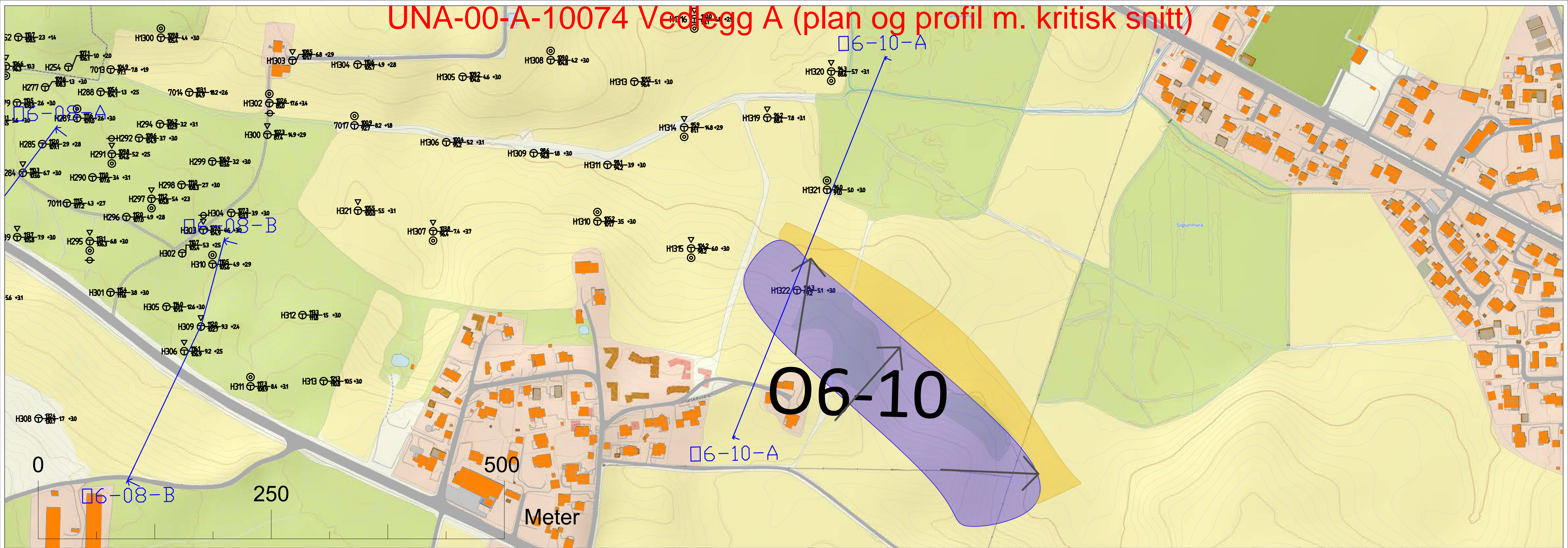
- Tolket berg i dagen
- Berg i dagen
- Utløpsretning
- Løsneområde
- Utløpsområde
- Senterlinje nytt spor
- Ny veigeometri

DELOMRÅDE 06





# UNA-00-A-10074 Vedlegg A (plan og profil m. kritisk snitt)

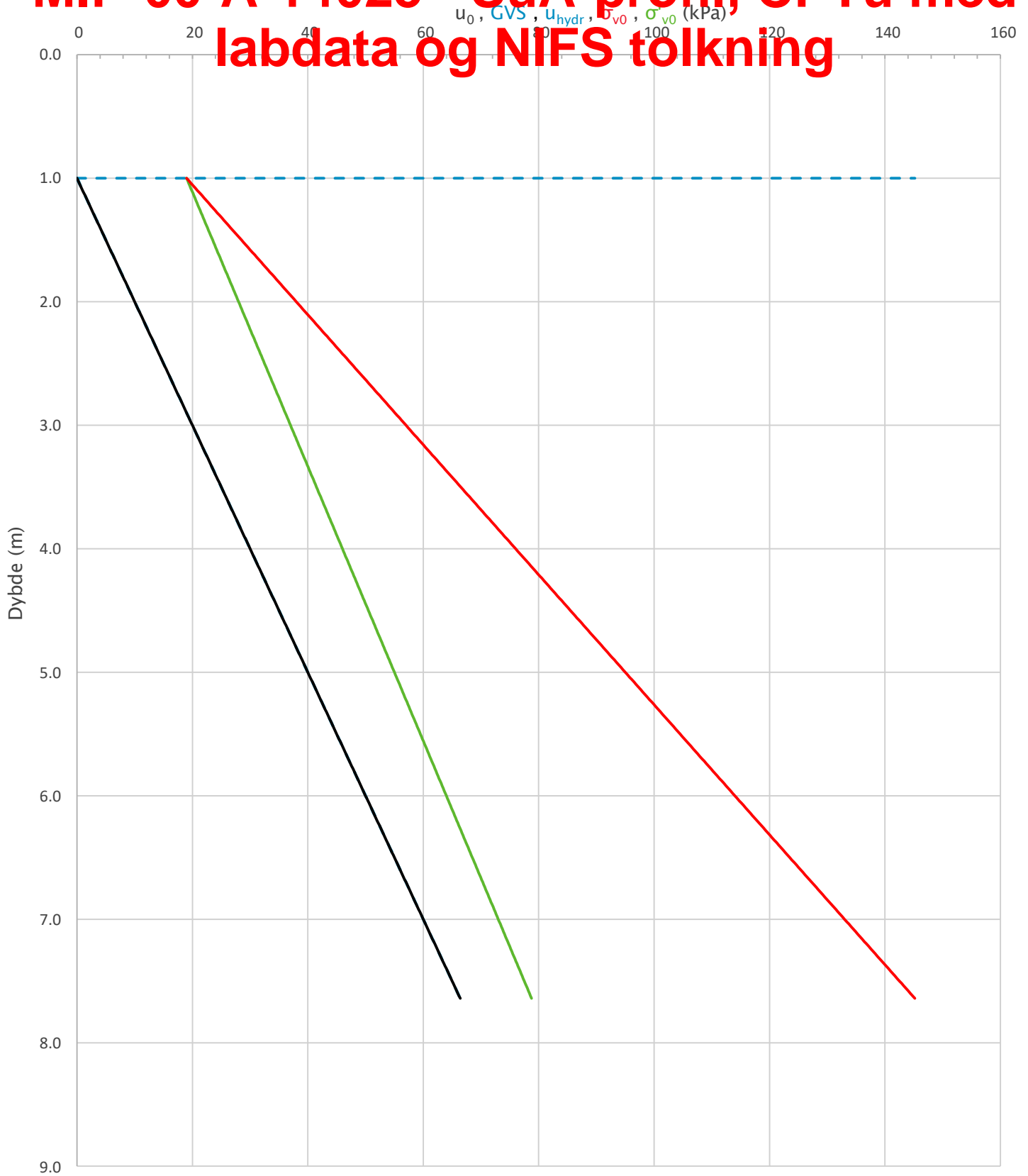


**Tegnforklaring**

<ul style="list-style-type: none"> <li>⊕ Totalsondering</li> <li>⊙ Prøveserie</li> <li>⊖ Poretryksmål</li> <li>▽ Trykksondering, CPTu</li> <li>— Seismikk</li> </ul>	<p>Supplerende geotekniske grunnundersøkelser (blå farge)</p> <p>Eksisterende geotekniske grunnundersøkelser (svart)</p> <p>Borhull nr.    <math>\frac{\text{Terreng (bunn) kote}}{\text{Antatt kote}}</math>    Boret dybde + (boret i fjell)</p>	<ul style="list-style-type: none"> <li><span style="display: inline-block; width: 15px; height: 15px; background-color: magenta; border: 1px solid black;"></span> Tolket berg i dagen</li> <li><span style="display: inline-block; width: 15px; height: 15px; background-color: orange; border: 1px solid black;"></span> Berg i dagen</li> <li><span style="display: inline-block; width: 15px; height: 15px; background-color: purple; border: 1px solid black;"></span> Løsneområde</li> <li><span style="display: inline-block; width: 15px; height: 15px; background-color: yellow; border: 1px solid black;"></span> Utløpsområde</li> <li><span style="display: inline-block; width: 15px; height: 15px; background-color: blue; border: 1px solid black;"></span> Senterlinje nytt spor</li> <li><span style="display: inline-block; width: 15px; height: 15px; background-color: gray; border: 1px solid black;"></span> Ny veigeometri</li> <li><span style="display: inline-block; width: 15px; height: 15px; border-bottom: 2px solid black;"></span> Utløpsretning</li> </ul>	<p style="text-align: right;">DELOMRÅDE 06</p> <p style="text-align: right;">N ↑ A11</p>
--	--	---	--



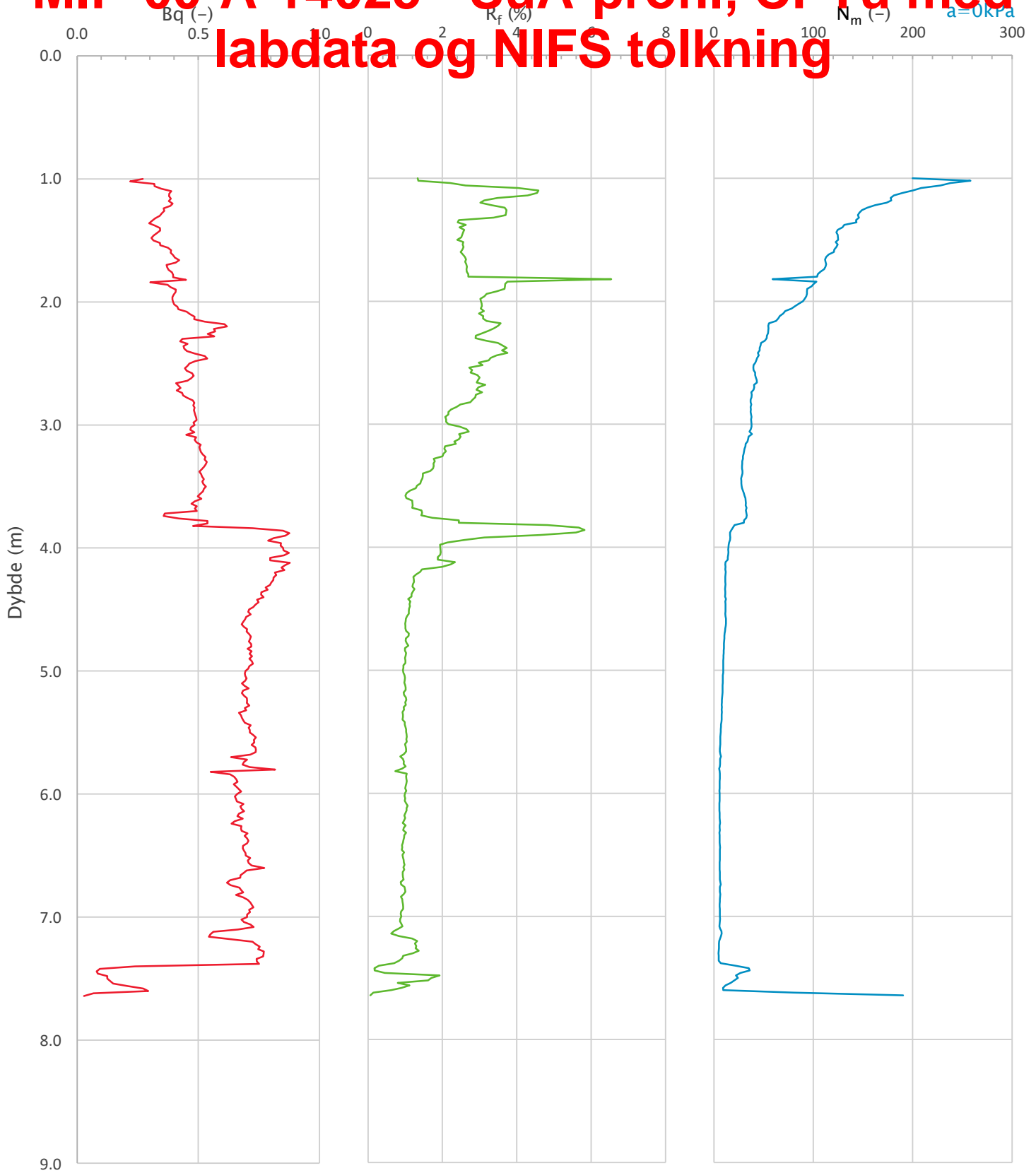
# MIP-00-A-14025 - SuA-profil, CPTu med labdata og NIFS tolkning




Prosjekt <b>Ski hensetting</b>			Borhull	Kote +100.2
			<b>2</b>	
Innhold In-situ poretrykk, total- og effektiv vertikalspenning i beregninger			Sondennummer	
			<b>4634</b>	
 <b>Statens vegvesen</b>	Utført	Kontrollert	Godkjent	Anvend.klasse
	SOHJ	ABC	TTR	<b>1</b>
	Divisjon	Dato sondering	Revisjon	Figur
Ekstern konsulent	07.09.2021	Rev. dato	<b>2</b>	



# MIP-00-A-14025 - SuA-profil, CPTu med labdata og NIFS tolkning

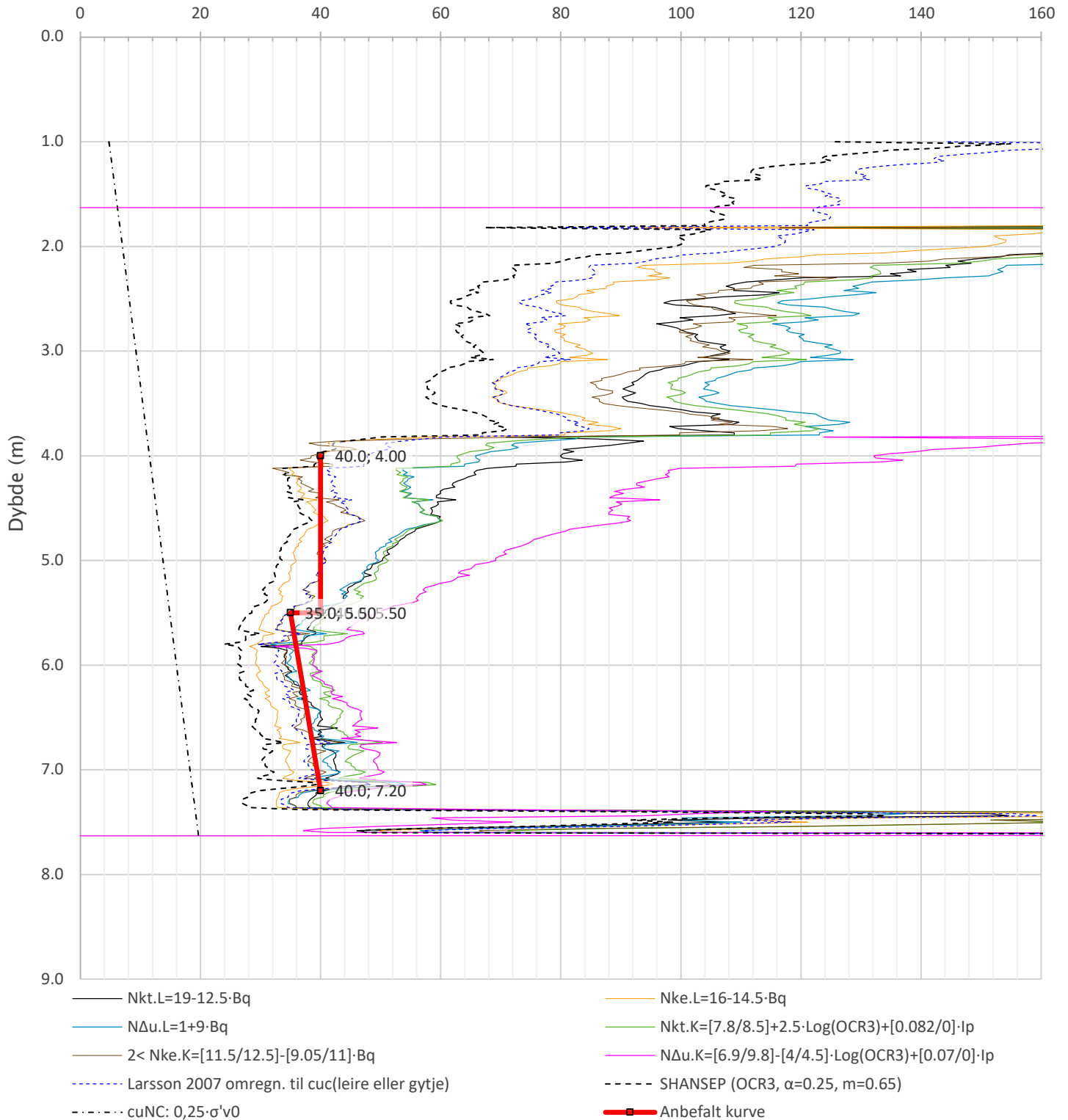



Prosjekt <b>Ski hensetting</b>			Borhull	Kote +100.2
			<b>2</b>	
Innhold Avledede dimensjonsløse forhold			Sondennummer	
			<b>4634</b>	
 <b>Statens vegvesen</b>	Utført	Kontrollert	Godkjent	Anvend.klasse
	SOHJ	ABC	TTR	<b>1</b>
	Divisjon	Dato sondering	Revisjon	Figur
	Ekstern konsulent	07.09.2021	Rev. dato	<b>4</b>



# MIP-00-A-14025 - SuA-profil, CPTu med labdata og NIFS tolkning

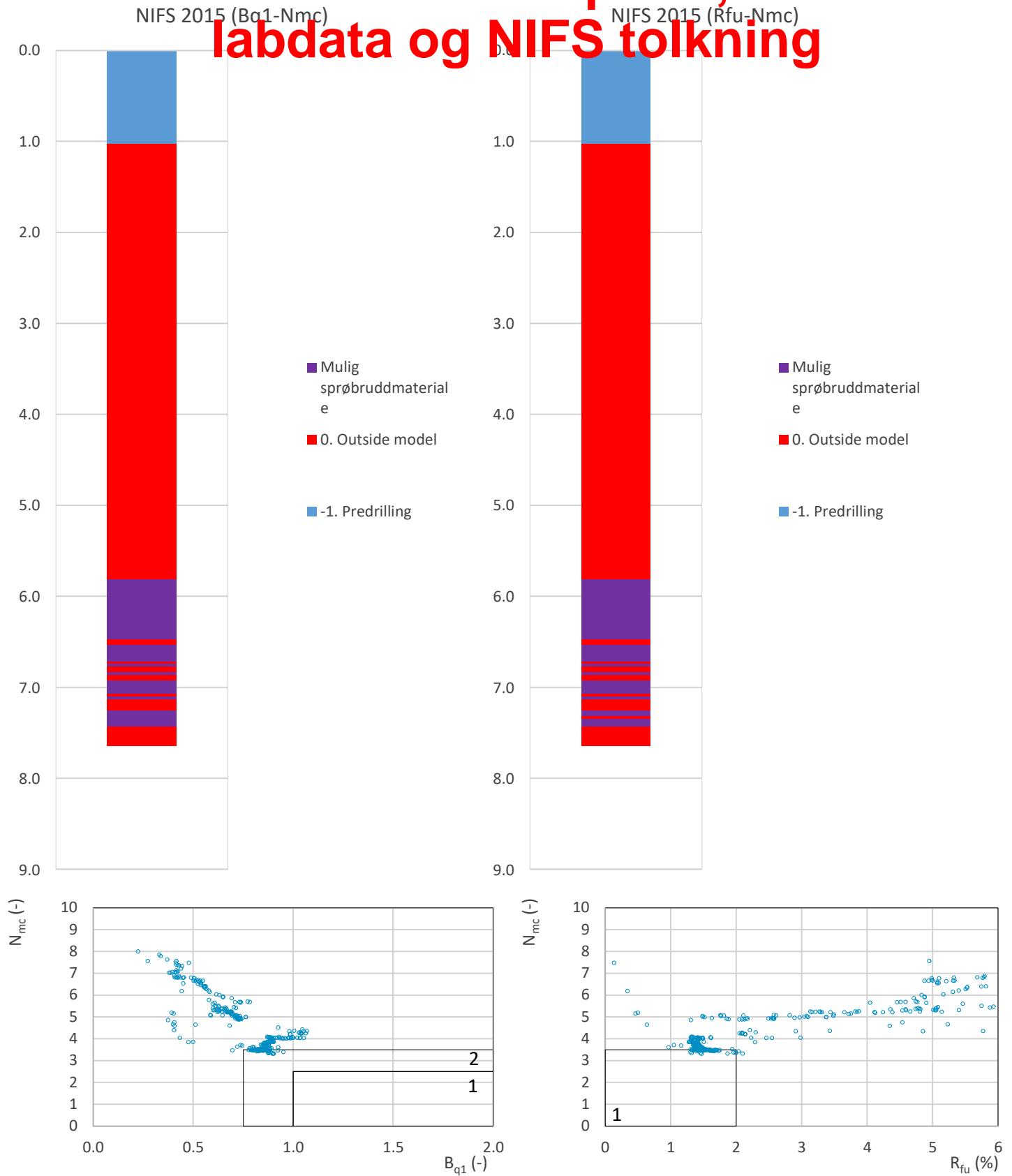
Udrenert aktiv skjærfasthet,  $c_{ucptu}$  (kPa)



Prosjekt <b>Ski hensetting</b>			Borhull	Kote +100.2
			<b>2</b>	
Innhold Tolking av udrenert aktiv skjærfasthet			Sondennummer	
			<b>4634</b>	
 <b>Statens vegvesen</b>	Utført	Kontrollert	Godkjent	Anvend.klasse
	<b>SOHJ</b>	<b>ABC</b>	<b>TTR</b>	<b>1</b>
	Divisjon	Dato sondering	Revisjon	Figur
	<b>Ekstern konsulent</b>	<b>07.09.2021</b>	Rev. dato	<b>5</b>



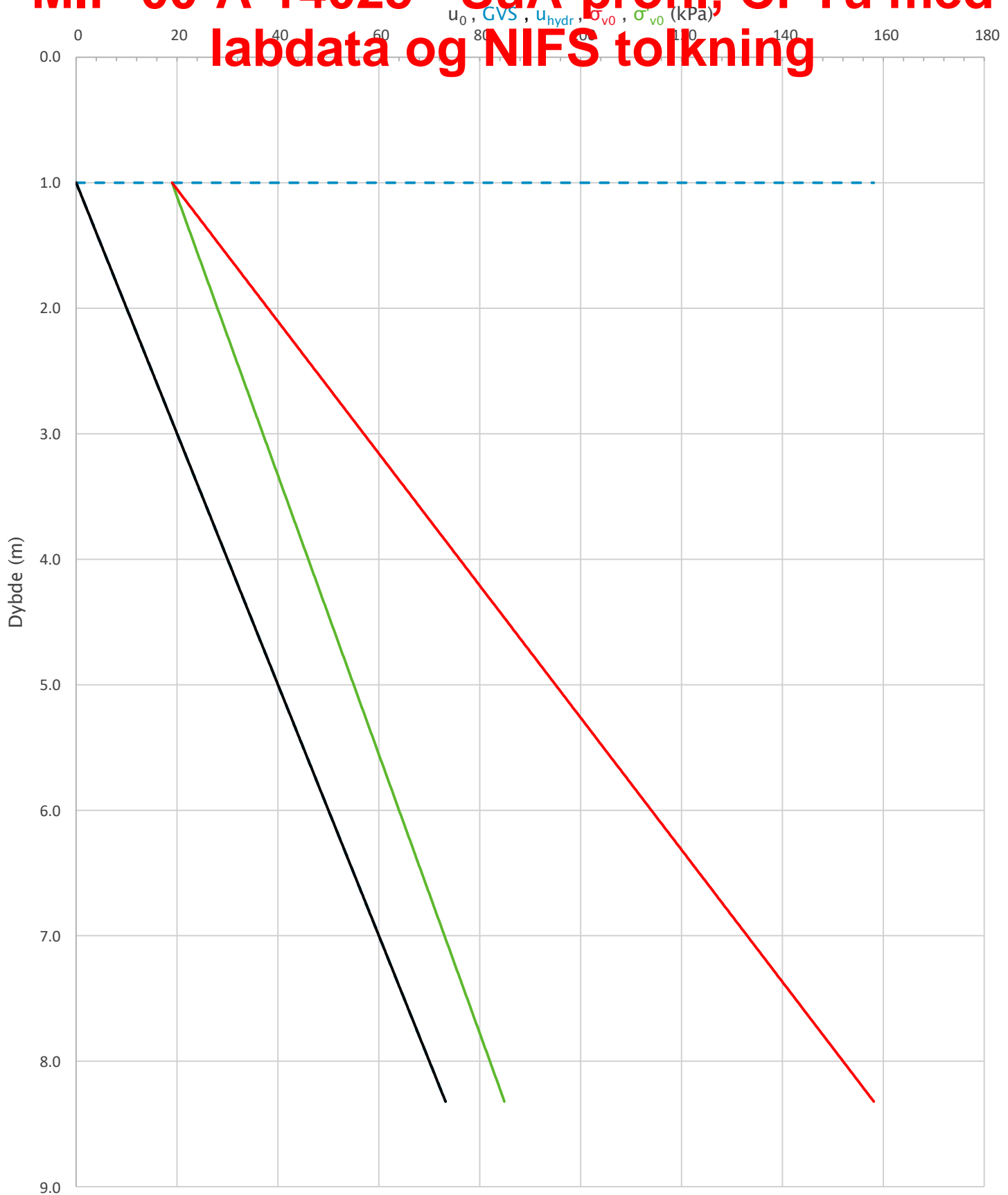
# MIP-00-A-14025 - SuA-profil, CPTu med labdata og NIFS tolkning



Prosjekt <b>Ski hensetting</b>			Borhull	Kote +100.2
			<b>2</b>	
Innhold Jordartsklassifisering etter NIFS 2015 – detektering av sensitive materialer			Sondennummer	
			<b>4634</b>	
 <b>Statens vegvesen</b>	Utført	Kontrollert	Godkjent	Anvend.klasse
	SOHJ	ABC	TTR	<b>1</b>
	Divisjon	Dato sondering	Revisjon	Figur
	Ekstern konsulent	07.09.2021	Rev. dato	



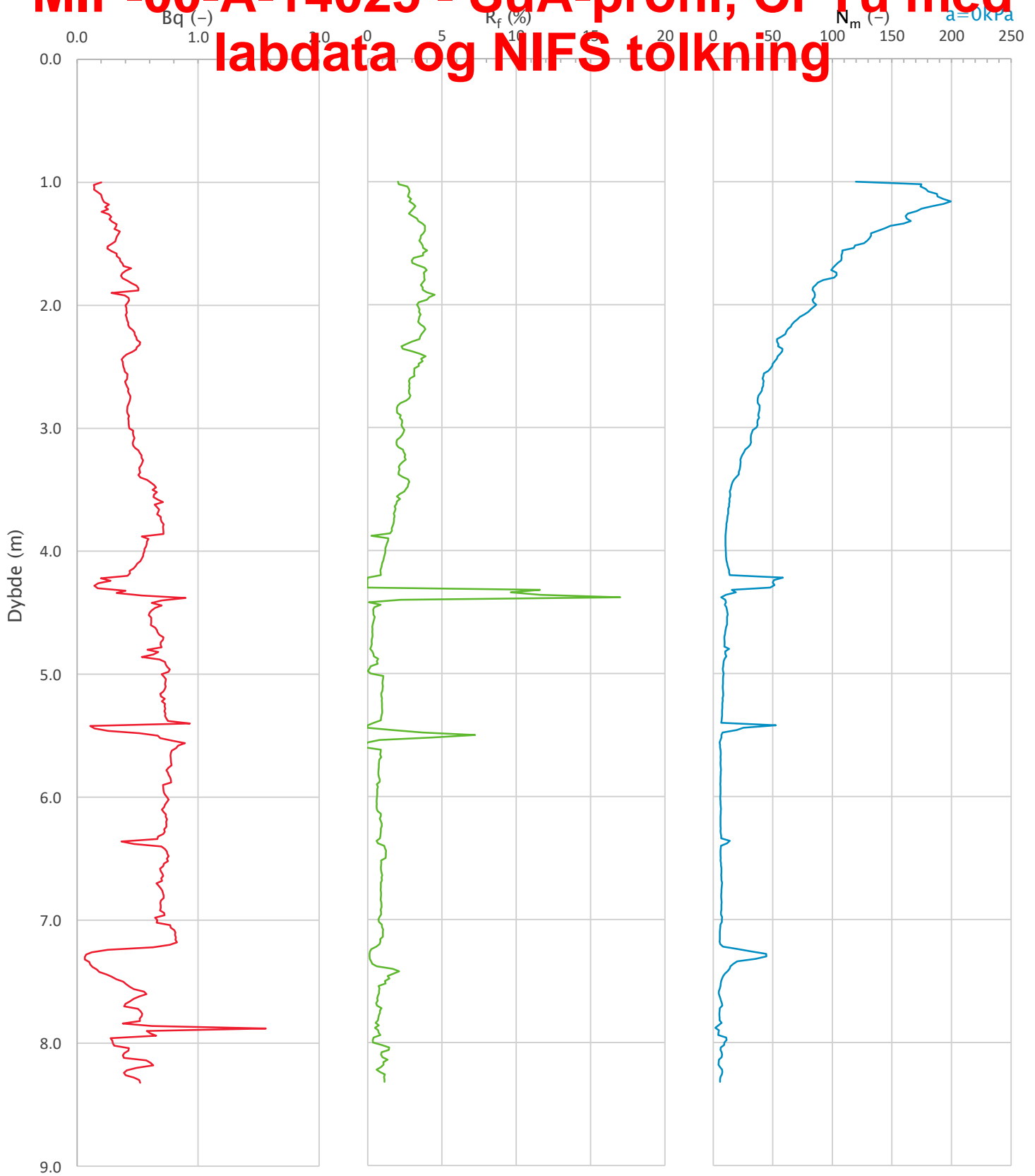
# MIP-00-A-14025 - SuA-profil, CPTu med labdata og NIFS tolkning




Prosjekt Ski hensetting			Borhull <b>6</b> Kote +99.4	
Innhold In-situ poretrykk, total- og effektiv vertikalspenning i beregninger			Sondenummer <b>4634</b>	
 <b>Statens vegvesen</b>	Utført <b>SOHJ</b>	Kontrollert <b>ABC</b>	Godkjent <b>TTR</b>	Anvend.klasse <b>1</b>
	Divisjon Utbygging	Dato sondering 06.09.2021	Revisjon Rev. dato	Figur <b>2</b>



# MIP-00-A-14025 - SuA-profil, CPTu med labdata og NIFS tolkning



Prosjekt <b>Ski hensetting</b>			Borhull Kote +99.4 <b>6</b>
Innhold Avledede dimensjonsløse forhold			Sondennummer <b>4634</b>
 <b>Statens vegvesen</b>	Utført <b>SOHJ</b>	Kontrollert <b>ABC</b>	Godkjent <b>TTR</b>
	Divisjon Ekstern konsulent	Dato sondering <b>06.09.2021</b>	Revisjon Rev. dato
			Anvend.klasse <b>1</b>
			Figur <b>4</b>



# MIP-00-A-14025 - SuA-profil, CPTu med labdata og NIFS tolkning

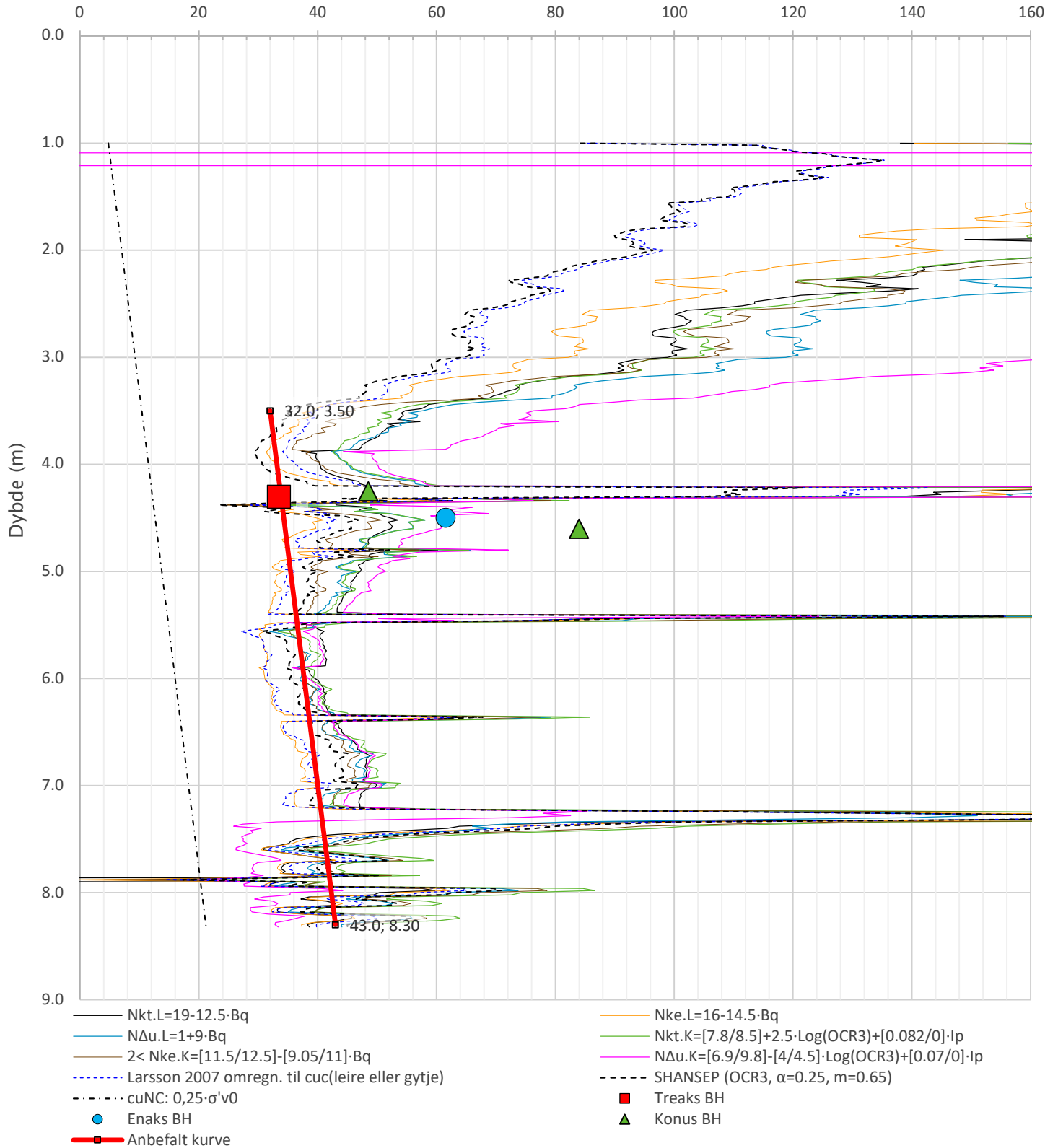
Anisotropiforhold i figur.


Treaks BH :  $c_{uC}/c_{uCptu} = 1.000$

Enaks BH :  $c_{uuc}/c_{uCptu} = 0.740$

Konus BH :  $c_{ufc}/c_{uCptu} = \text{var. (min:0.646 max:0.689)}$

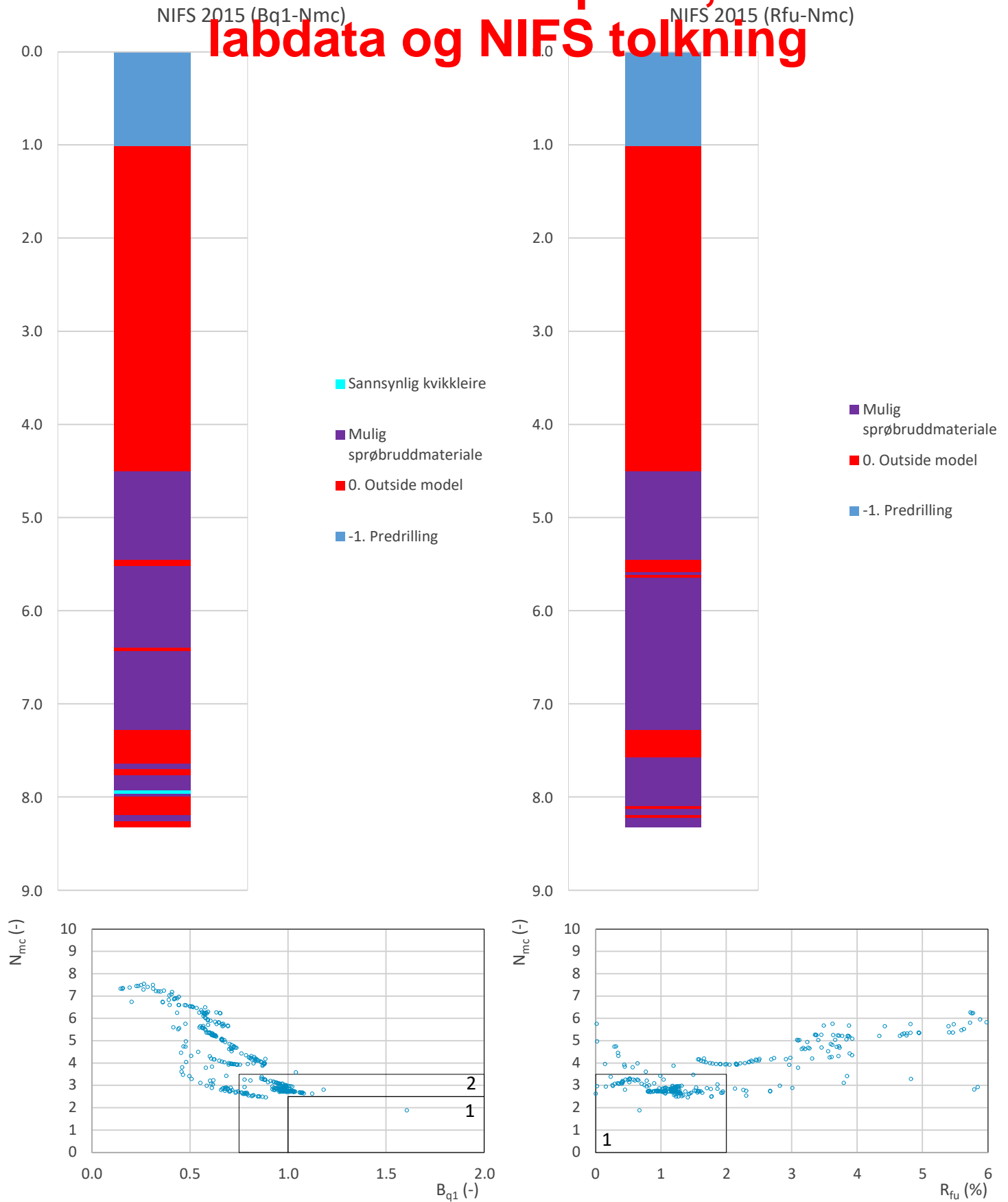
Udrenert aktiv skjærfasthet,  $c_{uCptu}$  (kPa)



Prosjekt Ski hensetting			Borhull <b>6</b> Kote +99.4	
Innhold Tolkning av udrenert aktiv skjærfasthet			Sondennummer <b>4634</b>	
 <b>Statens vegvesen</b>	Utført <b>SOHJ</b>	Kontrollert <b>ABC</b>	Godkjent <b>TTR</b>	Anvend.klasse <b>1</b>
	Divisjon <b>Utbygging</b>	Dato sondering <b>06.09.2021</b>	Revisjon Rev. dato	Figur <b>5</b>



# MIP-00-A-14025 - SuA-profil, CPTu med labdata og NIFS tolkning

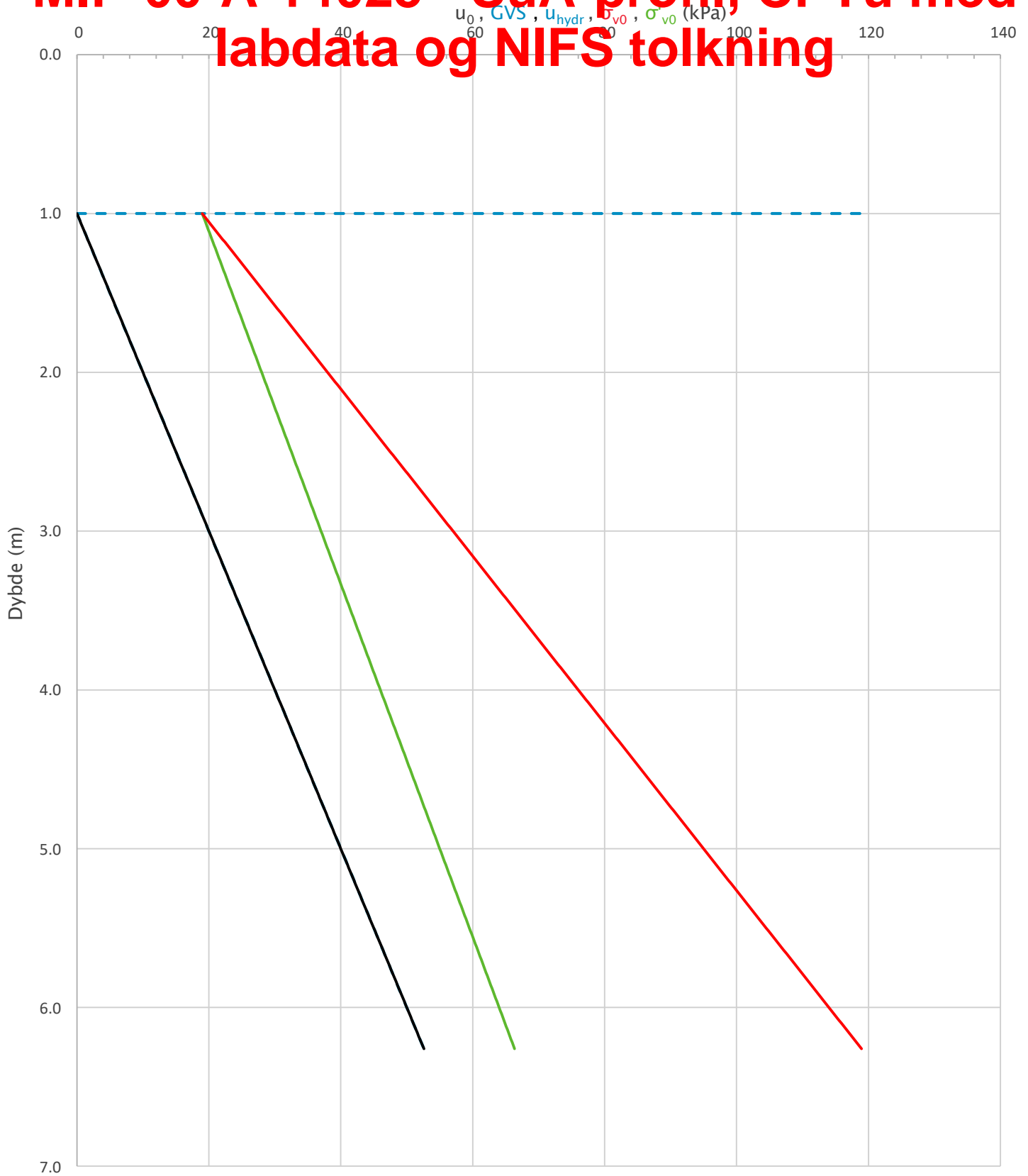


Prosjekt Ski hensetting				Borhull <b>6</b> Kote +99.4
Innhold Jordartsklassifisering etter NIFS 2015 – detektering av sensitive materialer				Sondennummer <b>4634</b>
 <b>Statens vegvesen</b>	Utført SOHJ	Kontrollert ABC	Godkjent TTR	Anvend.klasse <b>1</b>
	Divisjon Utbygging	Dato sondering 06.09.2021	Revisjon Rev. dato	Figur <b>21</b>

**B8**



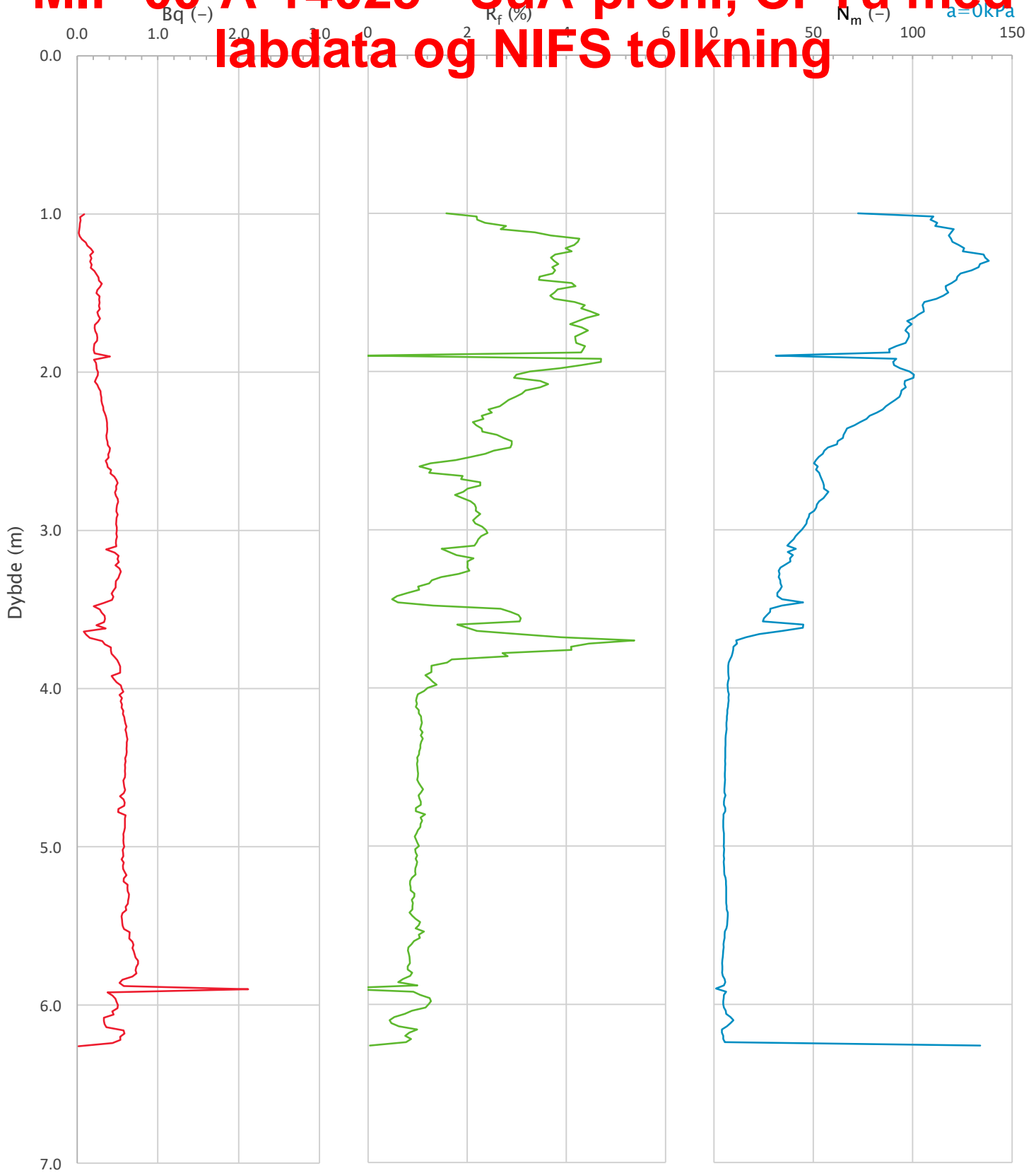
# MIP-00-A-14025 - SuA-profil, CPTu med labdata og NIFS tolkning




Prosjekt <b>Ski hensetting</b>			Borhull Kote +98.5 <b>8</b>
Innhold In-situ poretrykk, total- og effektiv vertikalspenning i beregninger			Sondennummer <b>4634</b>
 <b>Statens vegvesen</b>	Utført SOHJ	Kontrollert ABC	Godkjent TTR
	Divisjon Ekstern konsulent	Dato sondering 06.09.2021	Revisjon Rev. dato
			Anvend.klasse <b>1</b>
			Figur <b>2</b>



# MIP-00-A-14025 - SuA-profil, CPTu med labdata og NIFS tolkning



Prosjekt <b>Ski hensetting</b>			Borhull Kote +98.5 <b>8</b>
Innhold Avledede dimensjonsløse forhold			Sondennummer <b>4634</b>
 <b>Statens vegvesen</b>	Utført SOHJ	Kontrollert ABC	Godkjent TTR
	Divisjon Ekstern konsulent	Dato sondering 06.09.2021	Revisjon Rev. dato
			Anvend.klasse <b>1</b>
			Figur <b>4</b>



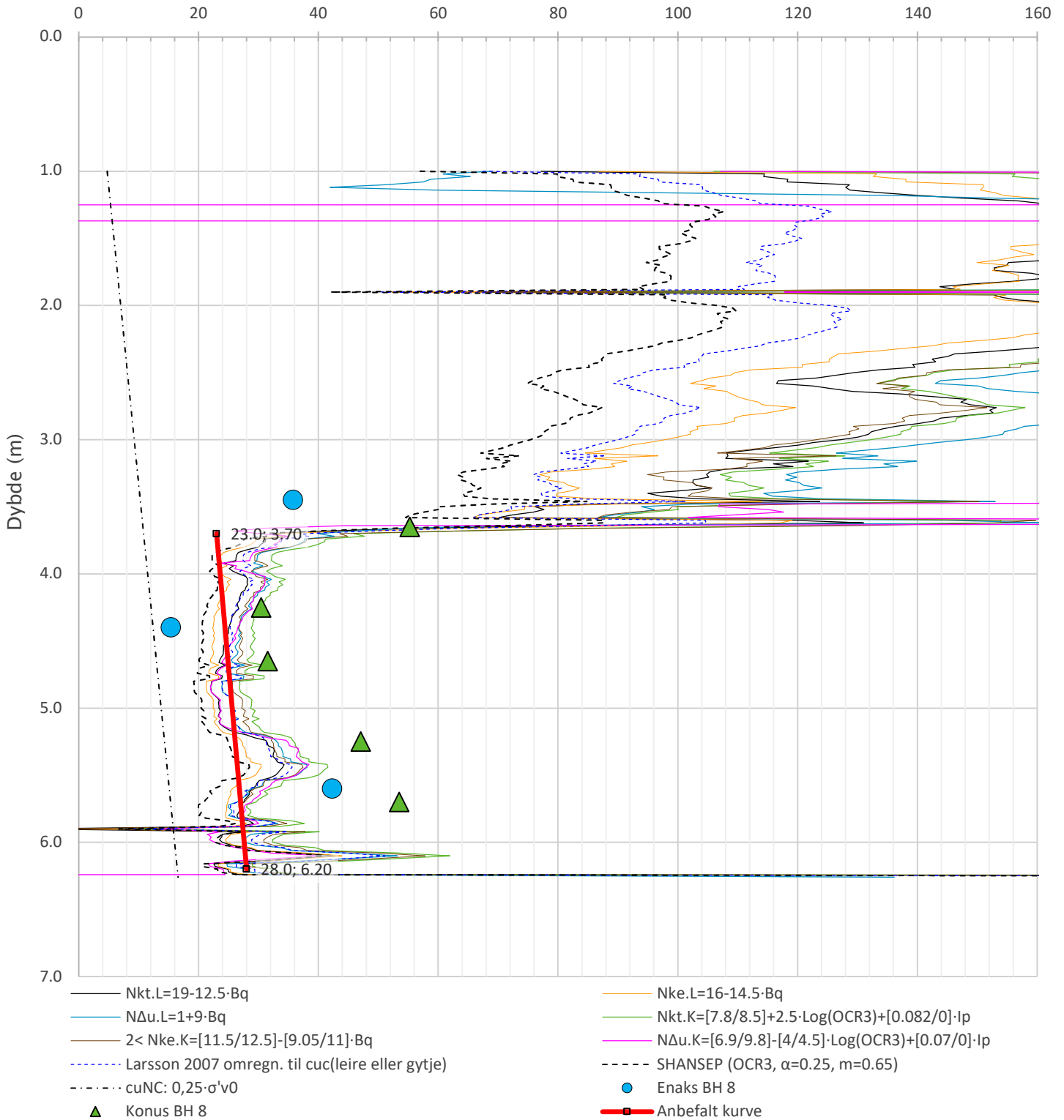
# MIP-00-A-14025 - SuA-profil, CPTu med labdata og NIFS tolkning


Anisotropiforhold i figur.

Enaks BH 8:  $c_{uc}/c_{ucptu} = \text{var. (min:0.633 max:0.649)}$

Konus BH 8:  $c_{ufc}/c_{ucptu} = \text{var. (min:0.637 max:0.640)}$

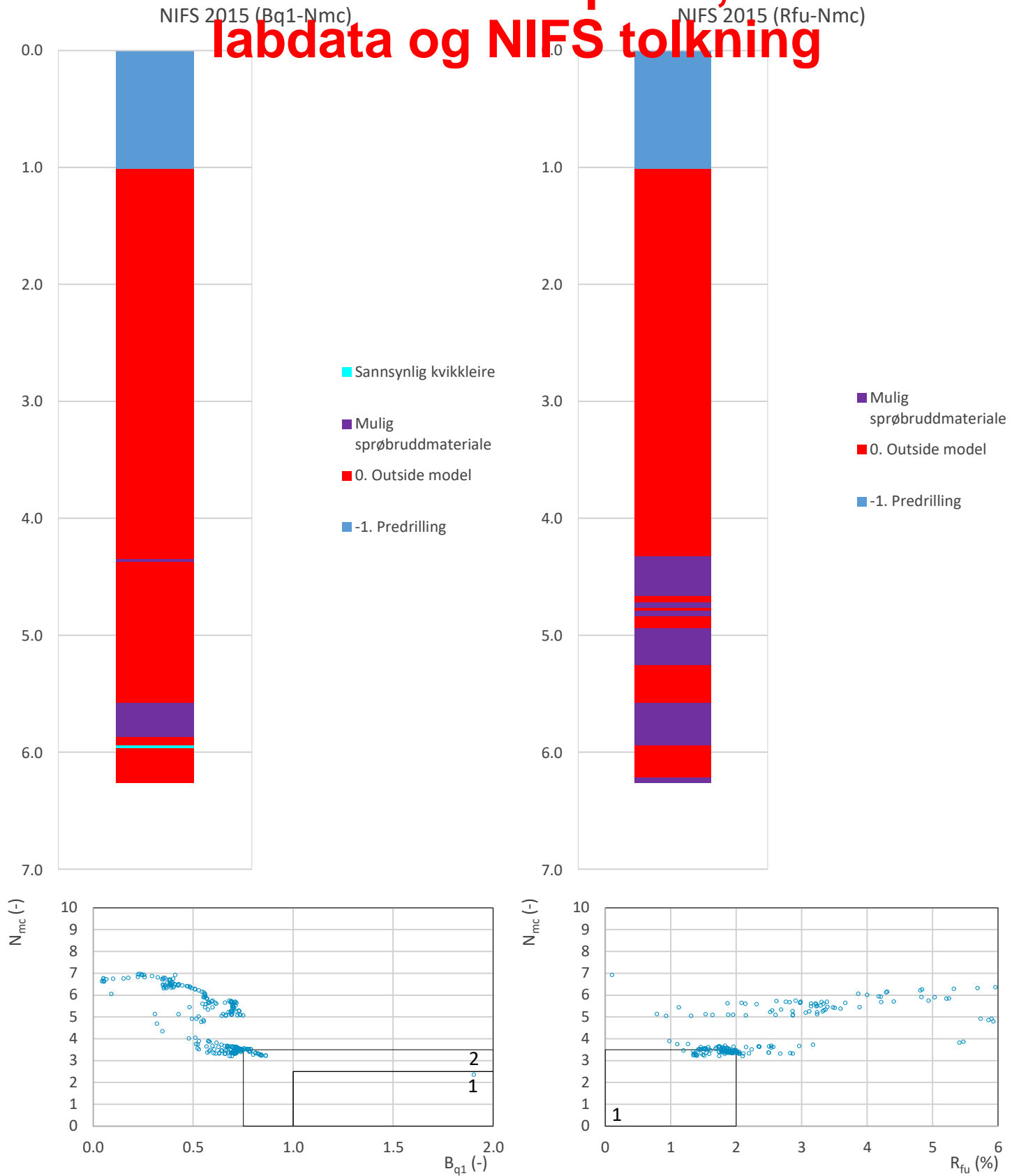
Udrenert aktiv skjærfasthet,  $c_{ucptu}$  (kPa)



Prosjekt <b>Ski hensetting</b>			Borhull Kote +98.5 <b>8</b>
Innhold Tolkning av udrenert aktiv skjærfasthet			Sondennummer <b>4634</b>
 <b>Statens vegvesen</b>	Utført SOHJ	Kontrollert ABC	Godkjent TTR
	Divisjon Ekstern konsulent	Dato sondering 06.09.2021	Revisjon Rev. dato
			Anvend.klasse <b>1</b>
			Figur <b>5</b>



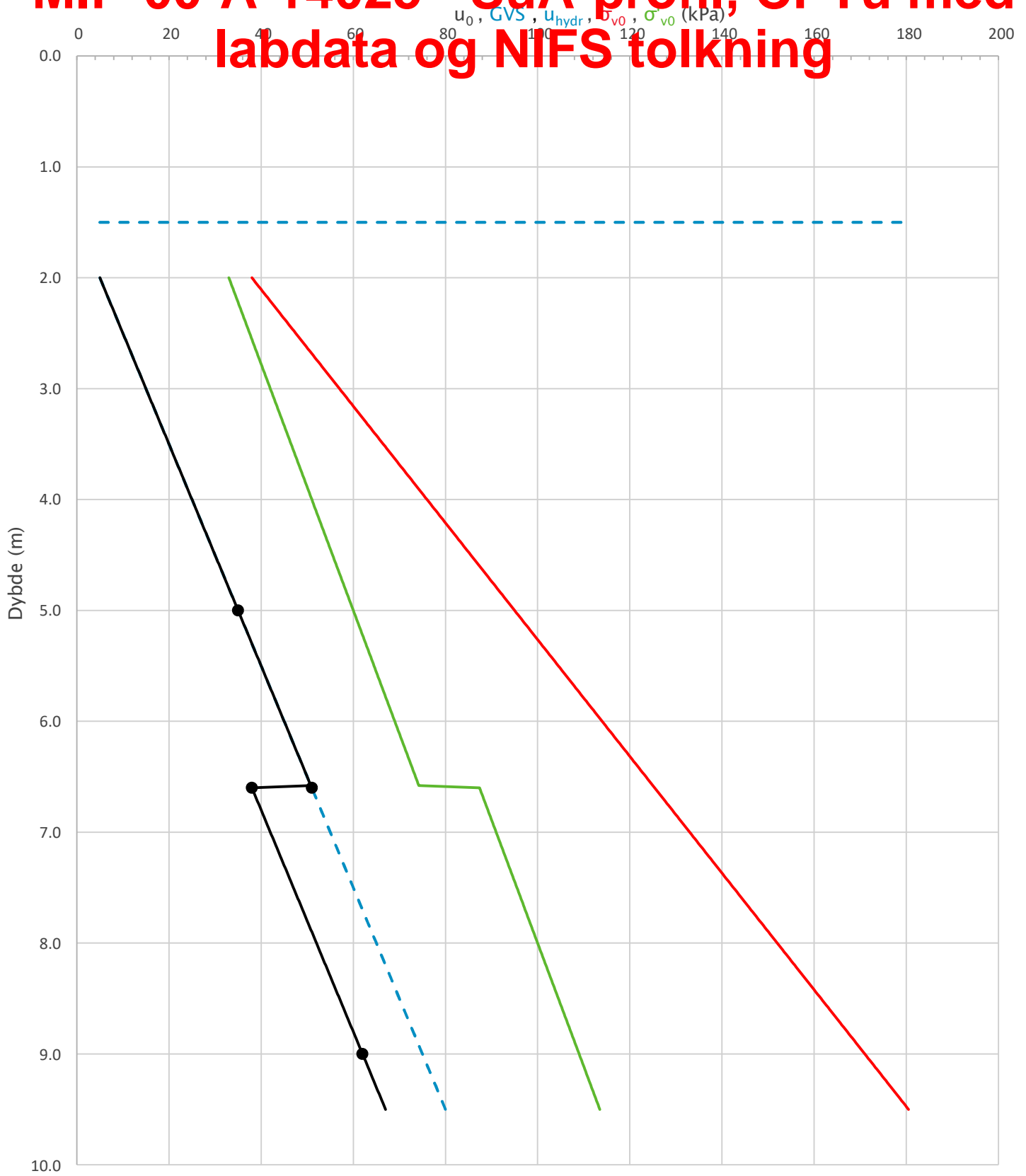
# MIP-00-A-14025 - SuA-profil, CPTu med labdata og NIFS tolkning




Prosjekt <b>Ski hensetting</b>			Borhull Kote +98.5 <b>8</b>
Innhold Jordartsklassifisering etter NIFS 2015 – detektering av sensitive materialer			Sondennummer <b>4634</b>
 <b>Statens vegvesen</b>	Utført SOHJ	Kontrollert ABC	Godkjent TTR
	Divisjon Ekstern konsulent	Dato sondering 06.09.2021	Revisjon Rev. dato
			Anvend.klasse <b>1</b>
			Figur <b>21</b>



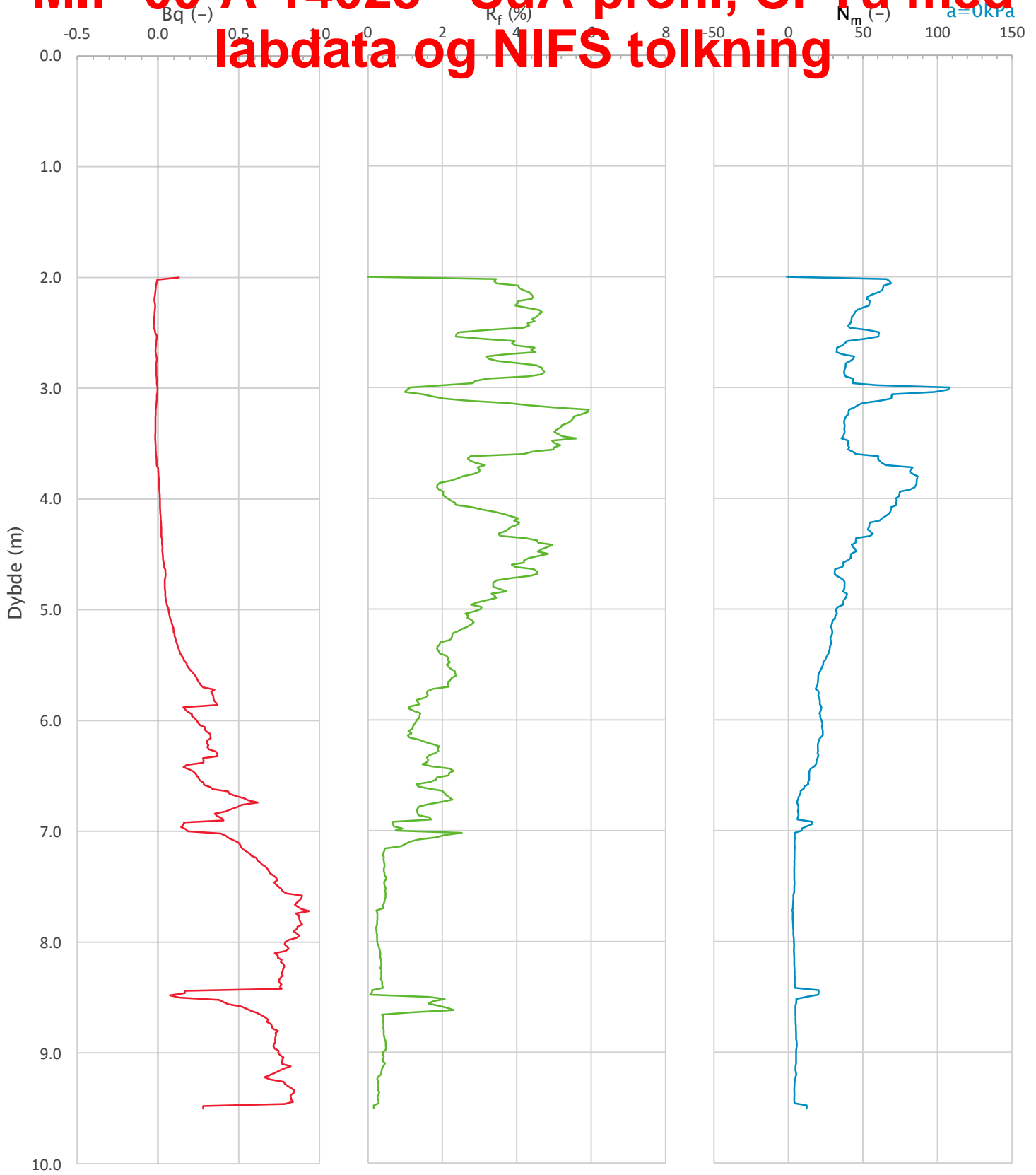
# MIP-00-A-14025 - SuA-profil, CPTu med labdata og NIFS tolkning




Prosjekt <b>Ski Hensetting</b>			Borhull	Kote +107.6
			<b>10</b>	
Innhold In-situ poretrykk, total- og effektiv vertikalspenning i beregninger			Sondennummer	<b>4980</b>
 <b>Statens vegvesen</b>	Utført <b>SOHJ/JAJE</b>	Kontrollert <b>ABC</b>	Godkjent <b>TTR</b>	Anvend.klasse <b>1</b>
	Divisjon Ekstern konsulent	Dato sondering 29.01.2019	Revisjon Rev. dato	Figur <b>2</b>



# MIP-00-A-14025 - SuA-profil, CPTu med labdata og NIFS tolkning



Prosjekt <b>Ski Hensetting</b>			Borhull	Kote +107.6
			<b>10</b>	
Innhold Avledede dimensjonsløse forhold			Sondennummer	
			<b>4980</b>	
 <b>Statens vegvesen</b>	Utført <b>SOHJ/JAJE</b>	Kontrollert <b>ABC</b>	Godkjent <b>TTR</b>	Anvend.klasse
	Divisjon Ekstern konsulent	Dato sondering 29.01.2019	Revisjon Rev. dato	Figur <b>4</b>



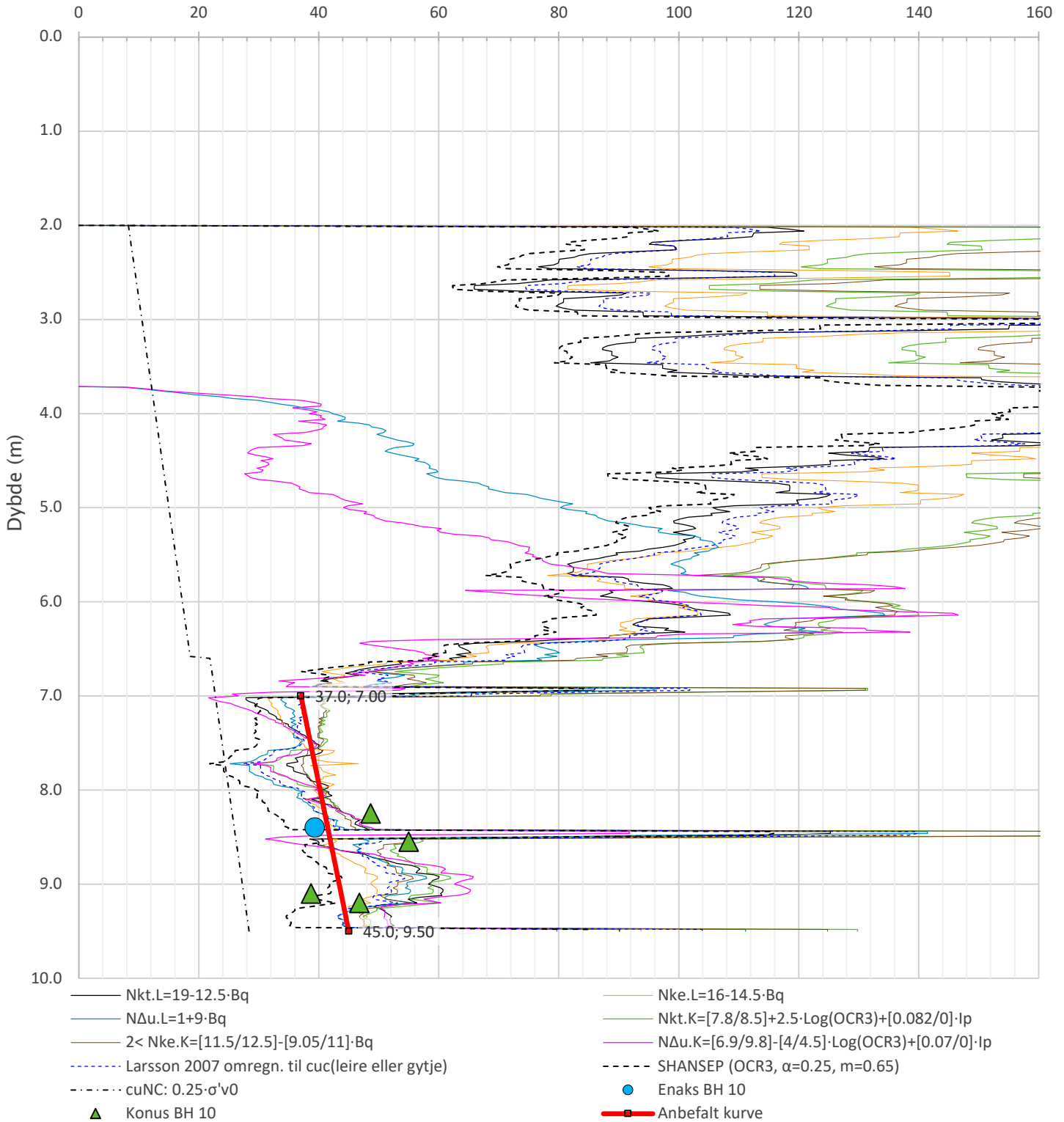
# MIP-00-A-14025 - SuA-profil, CPTu med labdata og NIFS tolkning


Anisotropiforhold i figur.

Enaks BH 10:  $c_{uc}/c_{ucptu} = 0,646$

Konus BH 10:  $c_{ufc}/c_{ucptu} = 0,76$

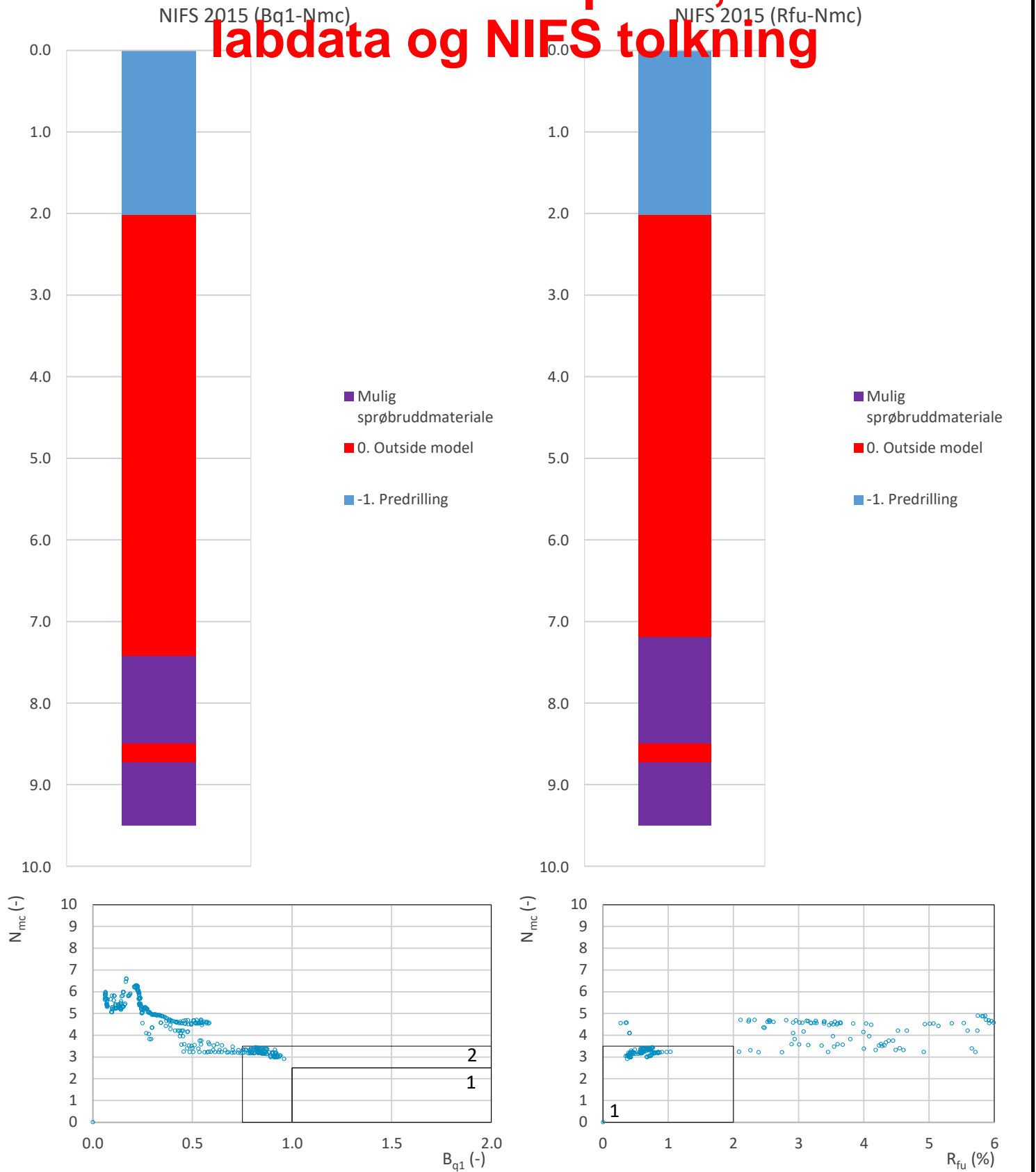
Udrenert aktiv skjærfasthet,  $c_{ucptu}$  (kPa)



Prosjekt			Borhull	Kote +107.6
<b>Ski Hensetting</b>			<b>10</b>	
Innhold			Sondennummer	
Tolkning av udrenert aktiv skjærfasthet			<b>4980</b>	
 <b>Statens vegvesen</b>	Utført	Kontrollert	Godkjent	Anvend.klasse
	SOHJ/JAJE	ABC	TTR	
	Divisjon	Dato sondering	Revisjon	Figur
	Ekstern konsulent	29.01.2019	Rev. dato	<b>5</b>



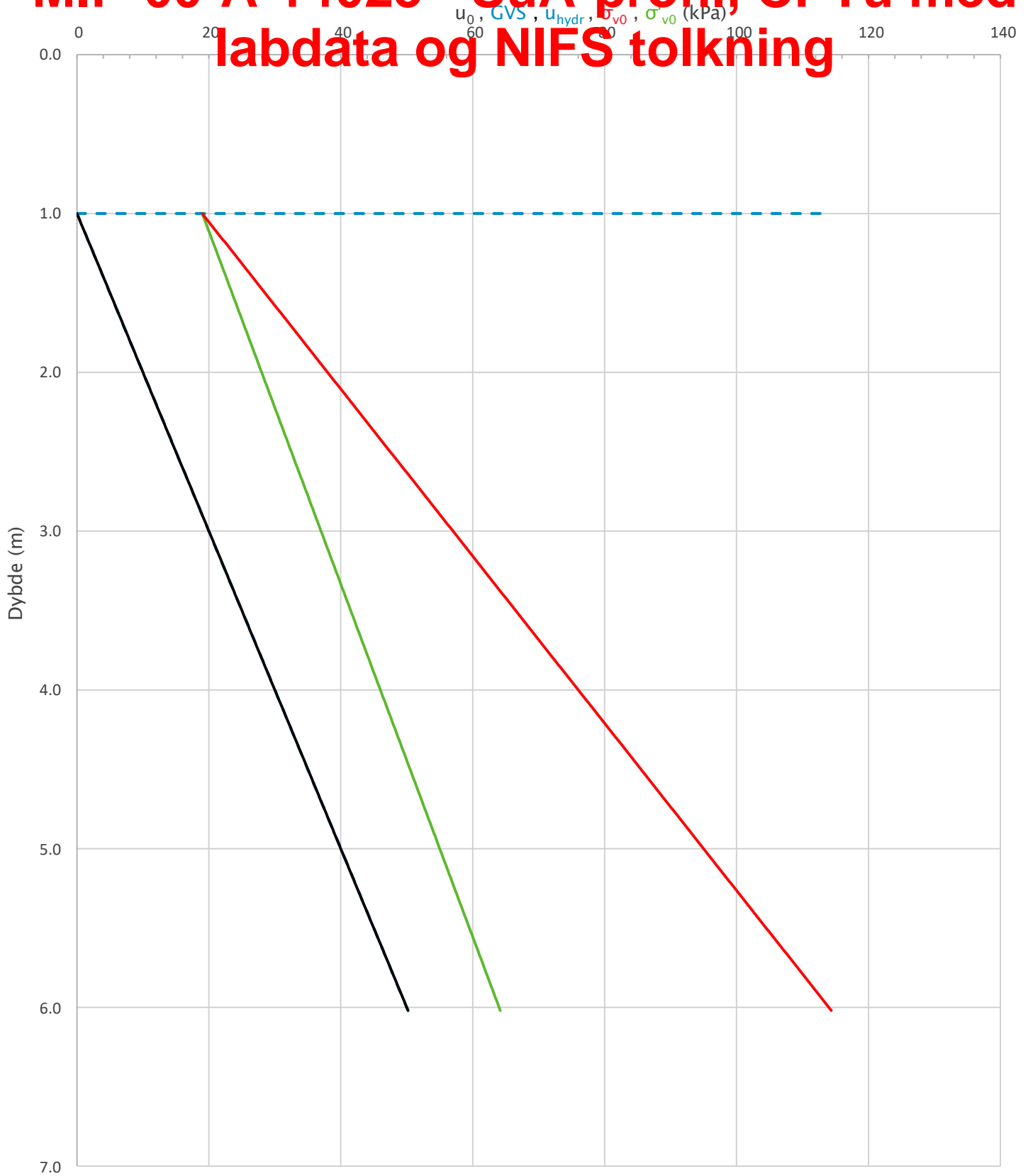
# MIP-00-A-14025 - SuA-profil, CPTu med labdata og NIFS tolkning



Prosjekt <b>Ski Hensetting</b>			Borhull	Kote +107.6
Innhold Jordartsklassifisering etter NIFS 2015 – detektering av sensitive materialer			Sondennummer	<b>10</b>
 <b>Statens vegvesen</b>	Utført <b>SOHJ/JAJE</b>	Kontrollert <b>ABC</b>	Godkjent <b>TTR</b>	Anvend.klasse
	Divisjon Ekstern konsulent	Dato sondering 29.01.2019	Revisjon Rev. dato	Figur <b>21</b>



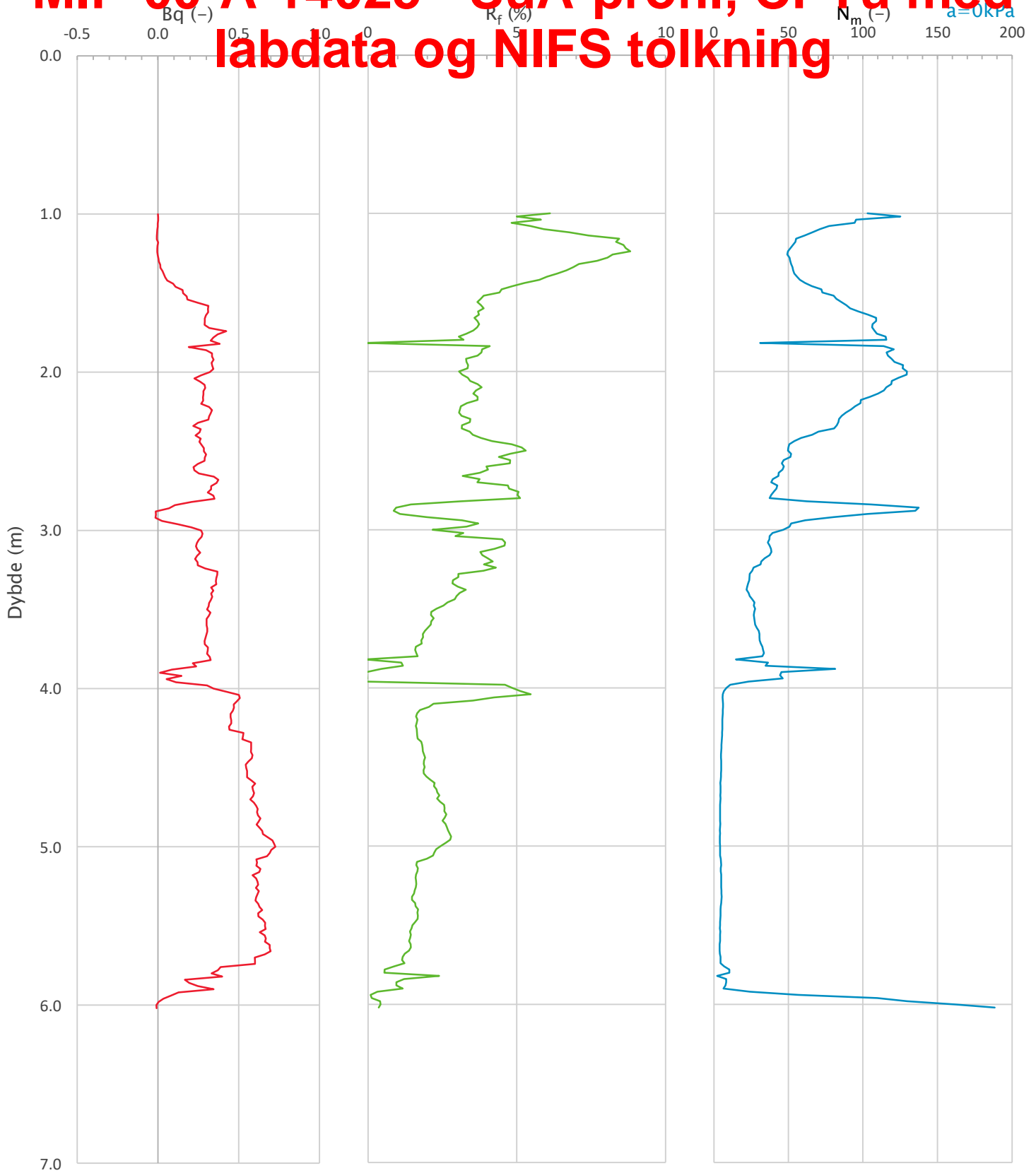
# MIP-00-A-14025 - SuA-profil, CPTu med labdata og NIFS tolkning




Prosjekt <b>Ski hensetting</b>			Borhull Kote +98.2 <b>11</b>
Innhold In-situ poretrykk, total- og effektiv vertikalspenning i beregninger			Sondennummer <b>4634</b>
 <b>Statens vegvesen</b>	Utført SOHJ	Kontrollert ABC	Godkjent TTR
	Divisjon Ekstern konsulent	Dato sondering 08.09.2021	Revisjon Rev. dato
			Anvend.klasse <b>1</b>
			Figur <b>2</b>



# MIP-00-A-14025 - SuA-profil, CPTu med labdata og NIFS tolkning

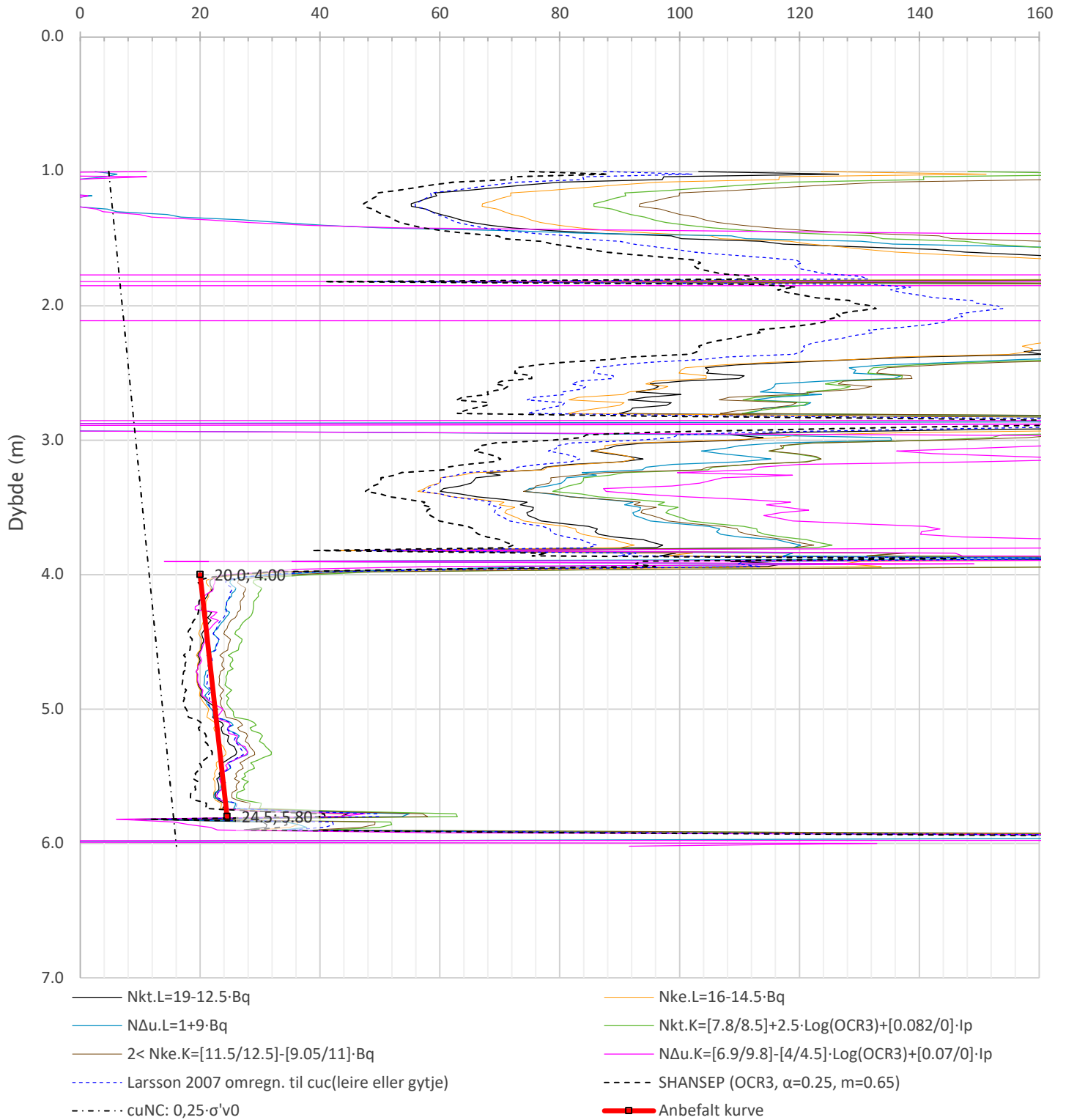



Prosjekt <b>Ski hensetting</b>			Borhull Kote +98.2 <b>11</b>
Innhold Avledede dimensjonsløse forhold			Sondennummer <b>4634</b>
 <b>Statens vegvesen</b>	Utført <b>SOHJ</b>	Kontrollert <b>ABC</b>	Godkjent <b>TTR</b>
	Divisjon Ekstern konsulent	Dato sondering <b>08.09.2021</b>	Revisjon Rev. dato
			Anvend.klasse <b>1</b>
			Figur <b>4</b>



# MIP-00-A-14025 - SuA-profil, CPTu med labdata og NIFS tolkning

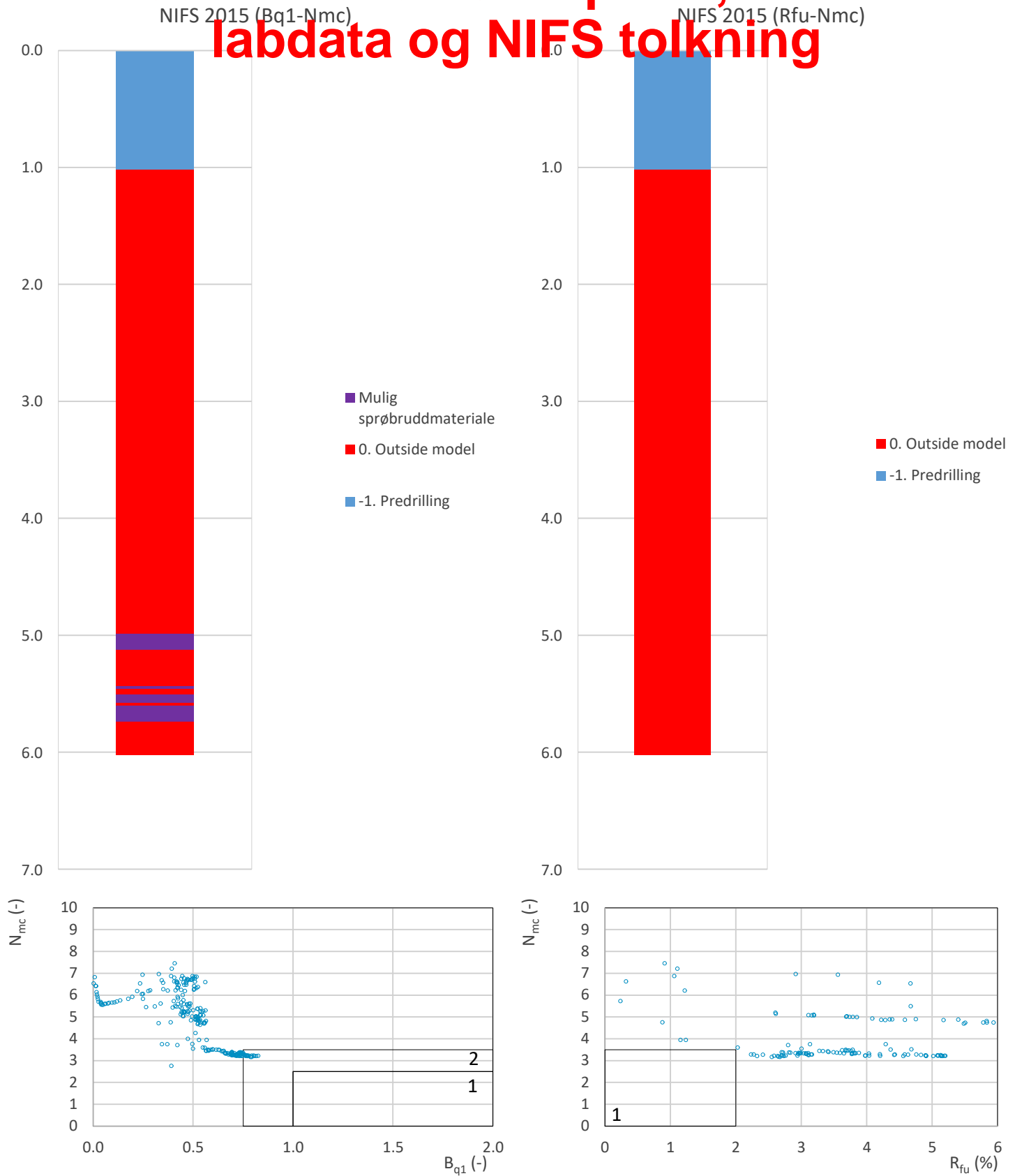
Udrenert aktiv skjærfasthet,  $c_{ucptu}$  (kPa)



Prosjekt <b>Ski hensetting</b>			Borhull Kote +98.2 <b>11</b>
Innhold Tolkning av udrenert aktiv skjærfasthet			Sondennummer <b>4634</b>
 <b>Statens vegvesen</b>	Utført <b>SOHJ</b>	Kontrollert <b>ABC</b>	Godkjent <b>TTR</b>
	Divisjon <b>Ekstern konsulent</b>	Dato sondering <b>08.09.2021</b>	Revisjon Rev. dato
			Anvend.klasse <b>1</b>
			Figur <b>5</b>



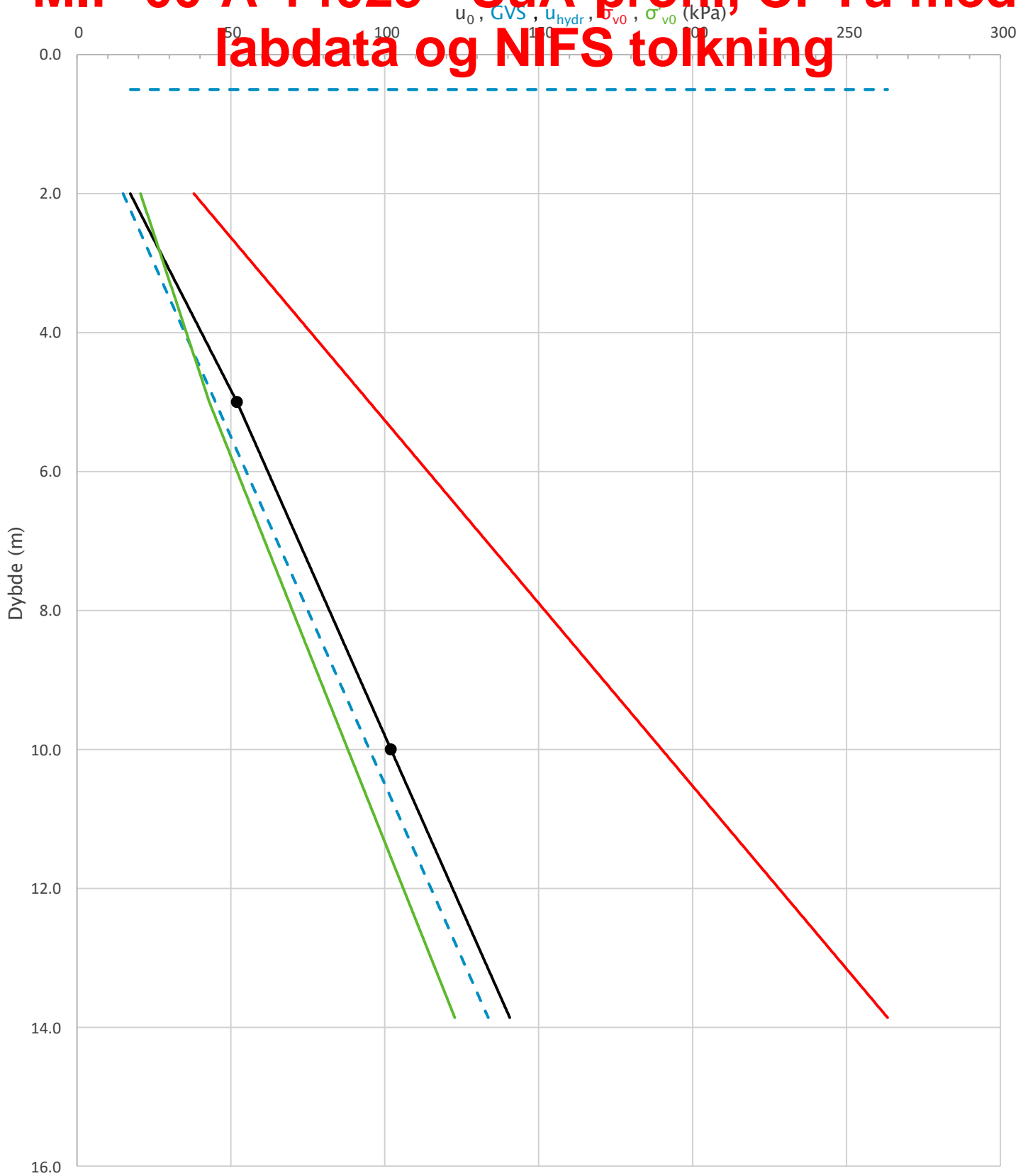
# MIP-00-A-14025 - SuA-profil, CPTu med labdata og NIFS tolkning



Prosjekt <b>Ski hensetting</b>			Borhull Kote +98.2 <b>11</b>
Innhold Jordartsklassifisering etter NIFS 2015 – detektering av sensitive materialer			Sondennummer <b>4634</b>
 <b>Statens vegvesen</b>	Utført SOHJ	Kontrollert ABC	Godkjent TTR
	Divisjon Ekstern konsulent	Dato sondering 08.09.2021	Revisjon Rev. dato
			Anvend.klasse <b>1</b>
			Figur <b>21</b>



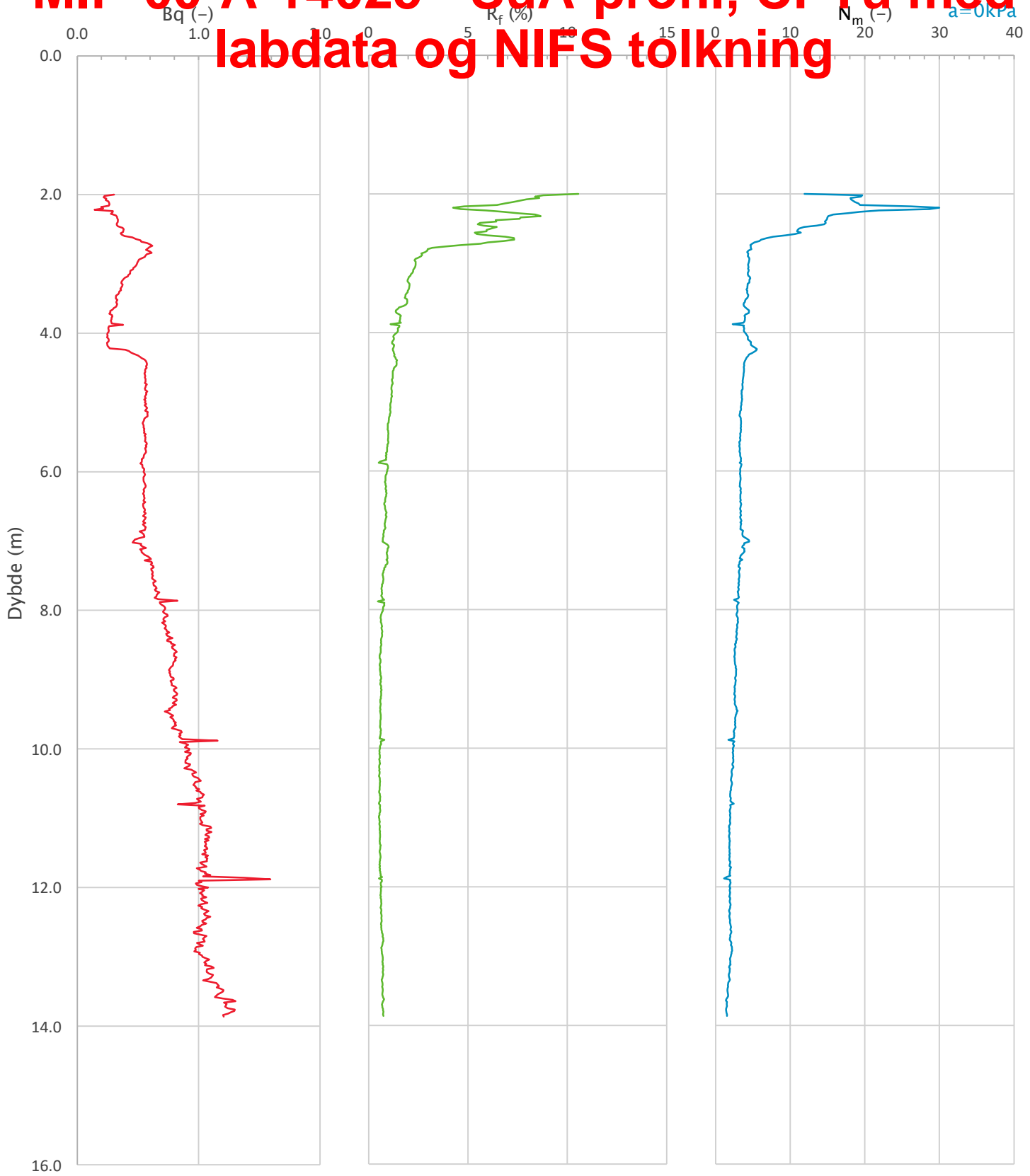
# MIP-00-A-14025 - SuA-profil, CPTu med labdata og NIFS tolkning




Prosjekt <b>Ski hensetting</b>			Borhull Kote +99.1 <b>21</b>
Innhold In-situ poretrykk, total- og effektiv vertikalspenning i beregninger			Sondennummer <b>4634</b>
 <b>Statens vegvesen</b>	Utført SOHJ	Kontrollert ABC	Godkjent TTR
	Divisjon Ekstern konsulent	Dato sondering 30.08.2021	Revisjon Rev. dato
			Anvend.klasse <b>2</b>
			Figur <b>2</b>



# MIP-00-A-14025 - SuA-profil, CPTu med labdata og NIFS tolkning

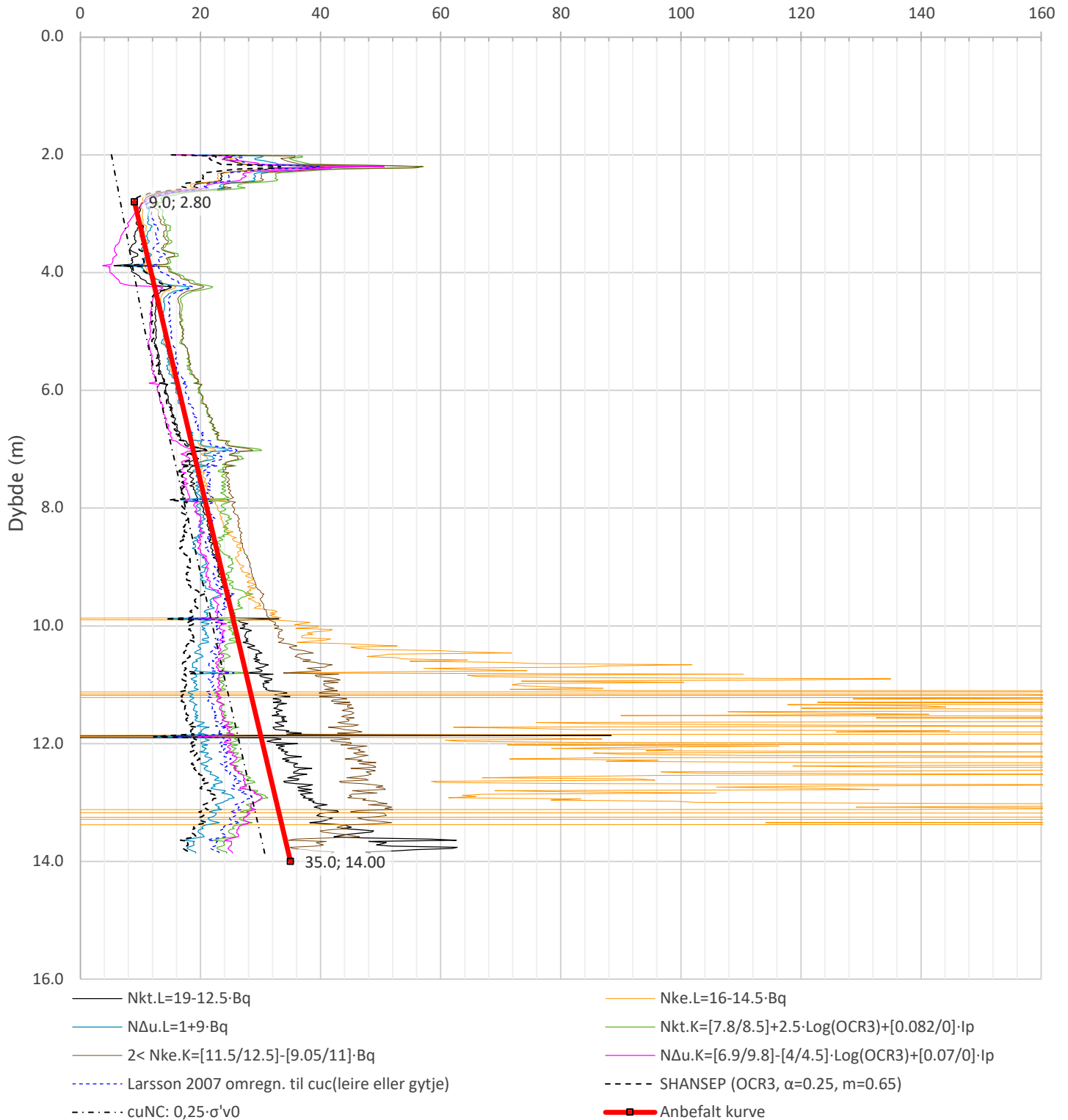



Prosjekt <b>Ski hensetting</b>			Borhull Kote +99.1 <b>21</b>
Innhold Avledede dimensjonsløse forhold			Sondennummer <b>4634</b>
 <b>Statens vegvesen</b>	Utført <b>SOHJ</b>	Kontrollert <b>ABC</b>	Godkjent <b>TTR</b>
	Divisjon Ekstern konsulent	Dato sondering 30.08.2021	Revisjon Rev. dato
			Anvend.klasse <b>2</b>
			Figur <b>4</b>



# MIP-00-A-14025 - SuA-profil, CPTu med labdata og NIFS tolkning

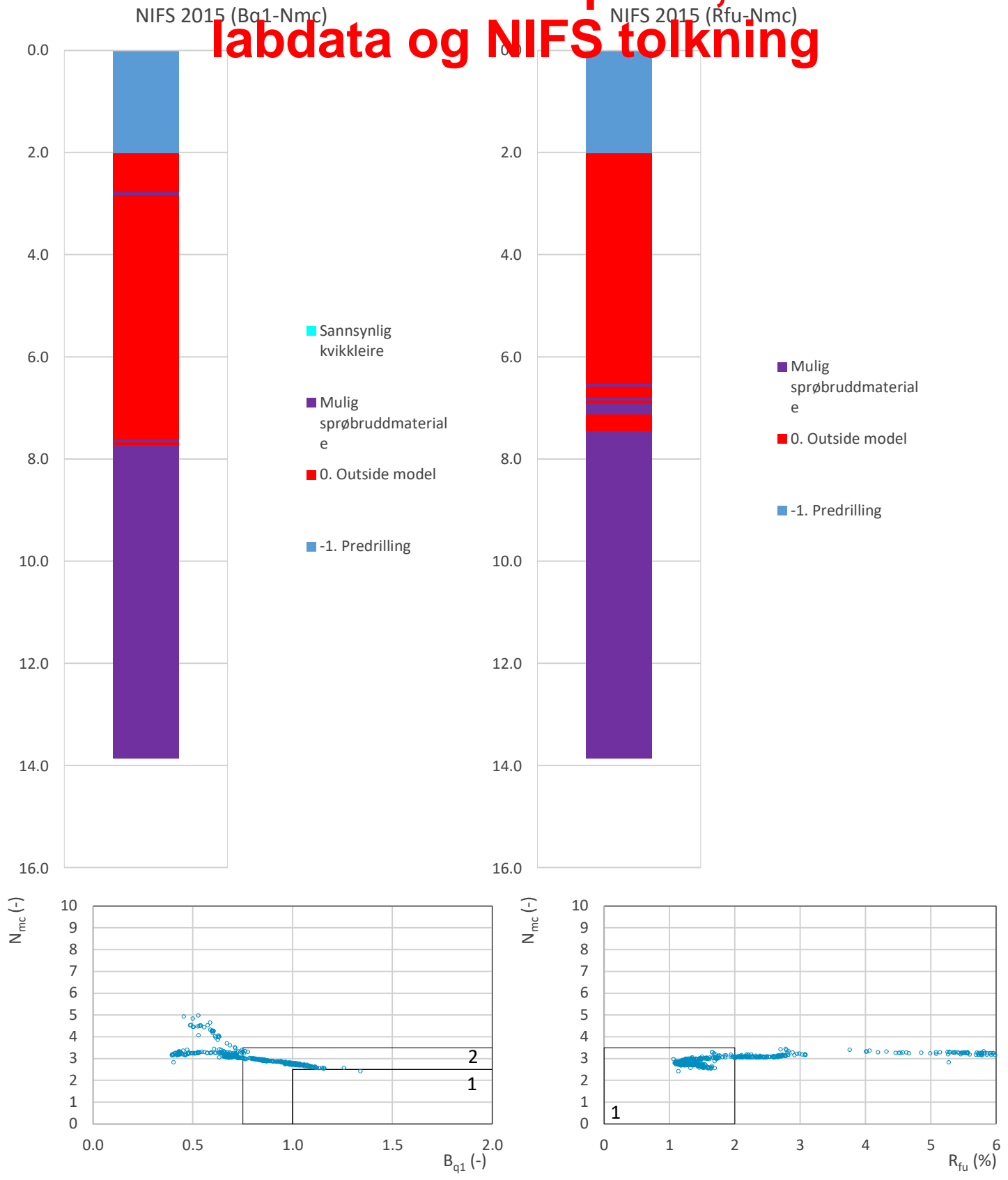
Udrenert aktiv skjærfasthet,  $c_{ucptu}$  (kPa)



Prosjekt			Borhull	Kote +99.1
<b>Ski hensetting</b>			<b>21</b>	
Innhold			Sondennummer	
Tolkning av udrenert aktiv skjærfasthet			<b>4634</b>	
 <b>Statens vegvesen</b>	Utført	Kontrollert	Godkjent	Anvend.klasse
	SOHJ	ABC	TTR	<b>2</b>
	Divisjon	Dato sondering	Revisjon	Figur
	Ekstern konsulent	30.08.2021	Rev. dato	<b>5</b>



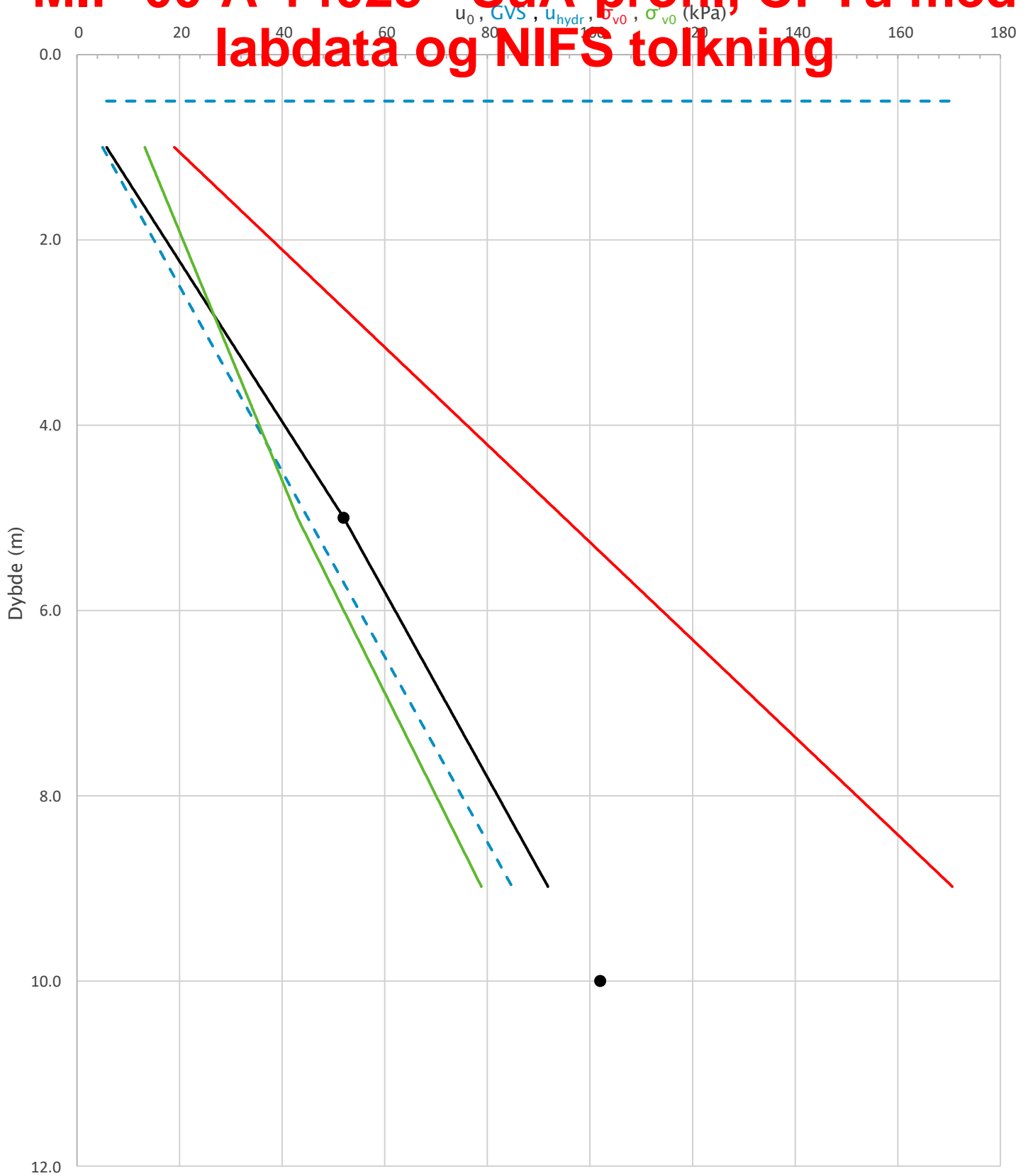
# MIP-00-A-14025 - SuA-profil, CPTu med labdata og NIFS tolkning



Prosjekt <b>Ski hensetting</b>			Borhull Kote +99.1 <b>21</b>
Innhold Jordartsklassifisering etter NIFS 2015 – detektering av sensitive materialer			Sondennummer <b>4634</b>
 <b>Statens vegvesen</b>	Utført SOHJ	Kontrollert ABC	Godkjent TTR
	Divisjon Ekstern konsulent	Dato sondering 30.08.2021	Revisjon Rev. dato
			Anvend.klasse <b>2</b>
			Figur <b>21</b>



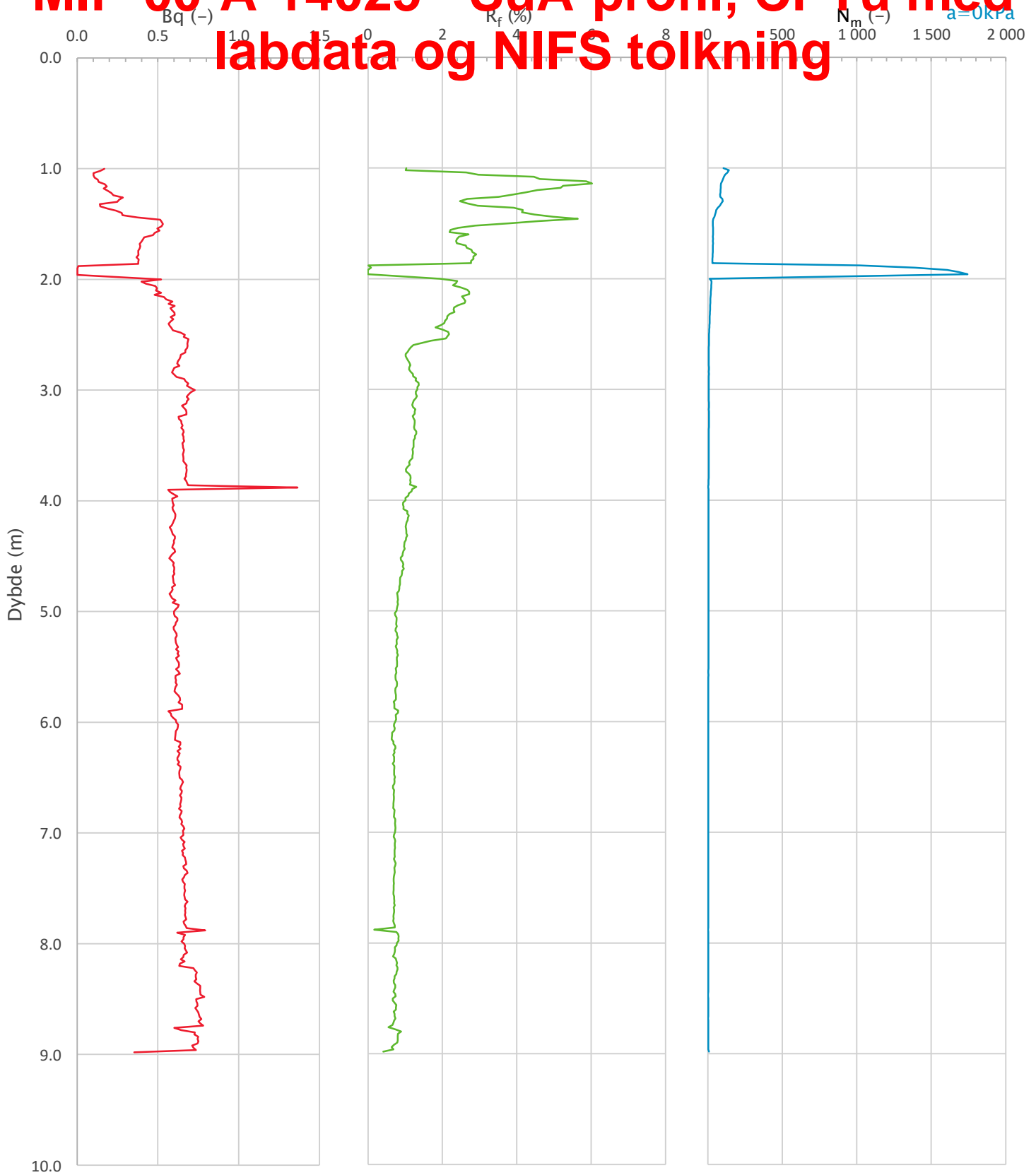
# MIP-00-A-14025 - SuA-profil, CPTu med labdata og NIFS tolkning




Prosjekt <b>Ski hensetting</b>			Borhull Kote +99.4 <b>22</b>
Innhold In-situ poretrykk, total- og effektiv vertikalspenning i beregninger			Sondennummer <b>4634</b>
 <b>Statens vegvesen</b>	Utført <b>SOHJ</b>	Kontrollert <b>ABC</b>	Godkjent <b>TTR</b>
	Divisjon Ekstern konsulent	Dato sondering 30.08.2021	Revisjon Rev. dato
			Anvend.klasse <b>2</b>
			Figur <b>2</b>



# MIP-00-A-14025 - SuA-profil, CPTu med labdata og NIFS tolkning



Prosjekt <b>Ski hensetting</b>			Borhull Kote +99.4 <b>22</b>
Innhold Avledede dimensjonsløse forhold			Sondennummer <b>4634</b>
 <b>Statens vegvesen</b>	Utført <b>SOHJ</b>	Kontrollert <b>ABC</b>	Godkjent <b>TTR</b>
	Divisjon Ekstern konsulent	Dato sondering 30.08.2021	Revisjon Rev. dato
			Anvend.klasse <b>2</b>
			Figur <b>4</b>



# MIP-00-A-14025 - SuA-profil, CPTu med labdata og NIFS tolkning

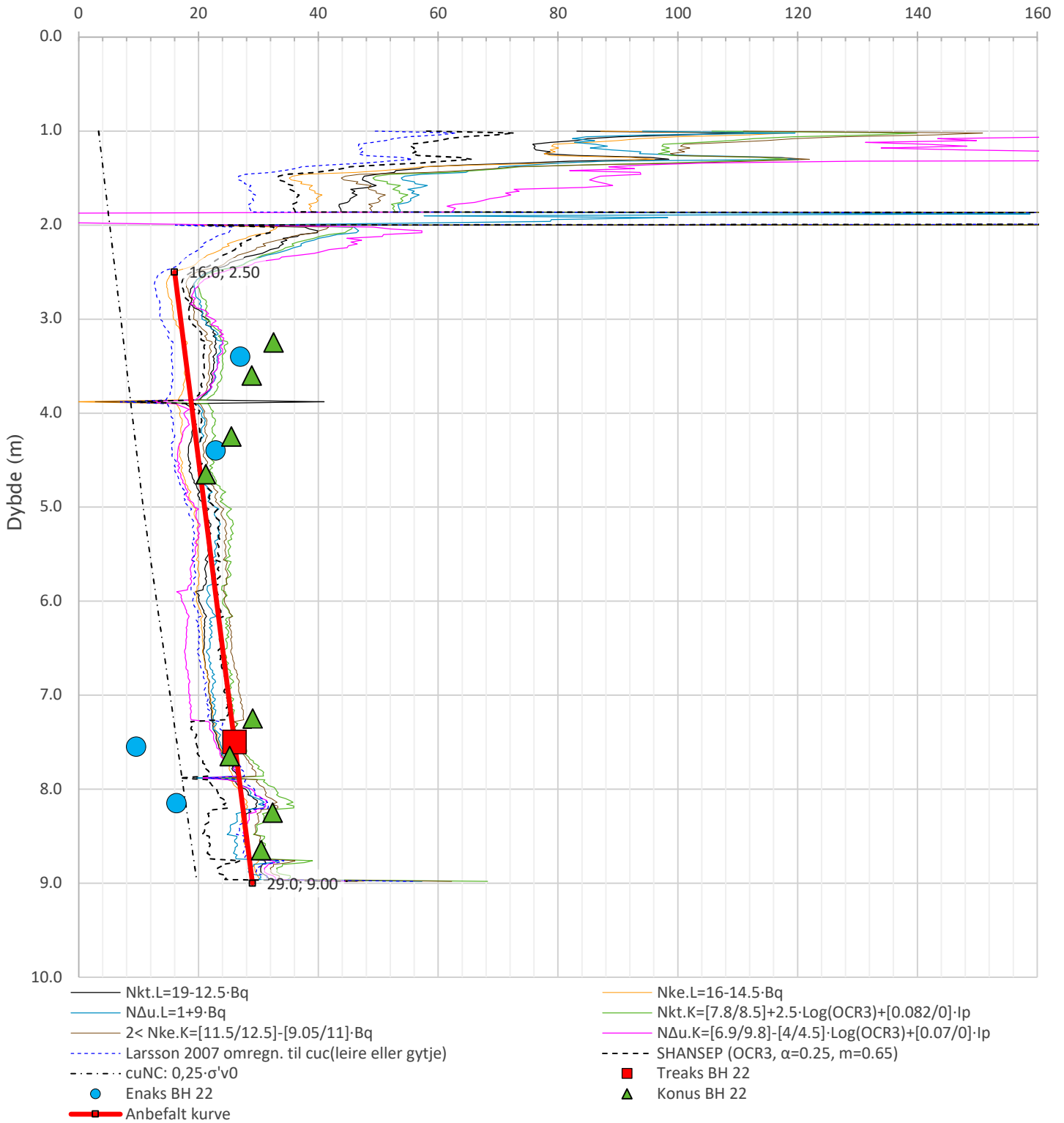
Anisotropiforhold i figur.


Treks BH 22:  $c_uC/c_{ucptu} = 1,000$

Enaks BH 22:  $c_{uc}/c_{ucptu} = 1/2 \cdot (min: 0,637 max: 0,12)$

Konus BH 22:  $c_{ufc}/c_{ucptu} = var. (min: 0,630 max: 0,716)$

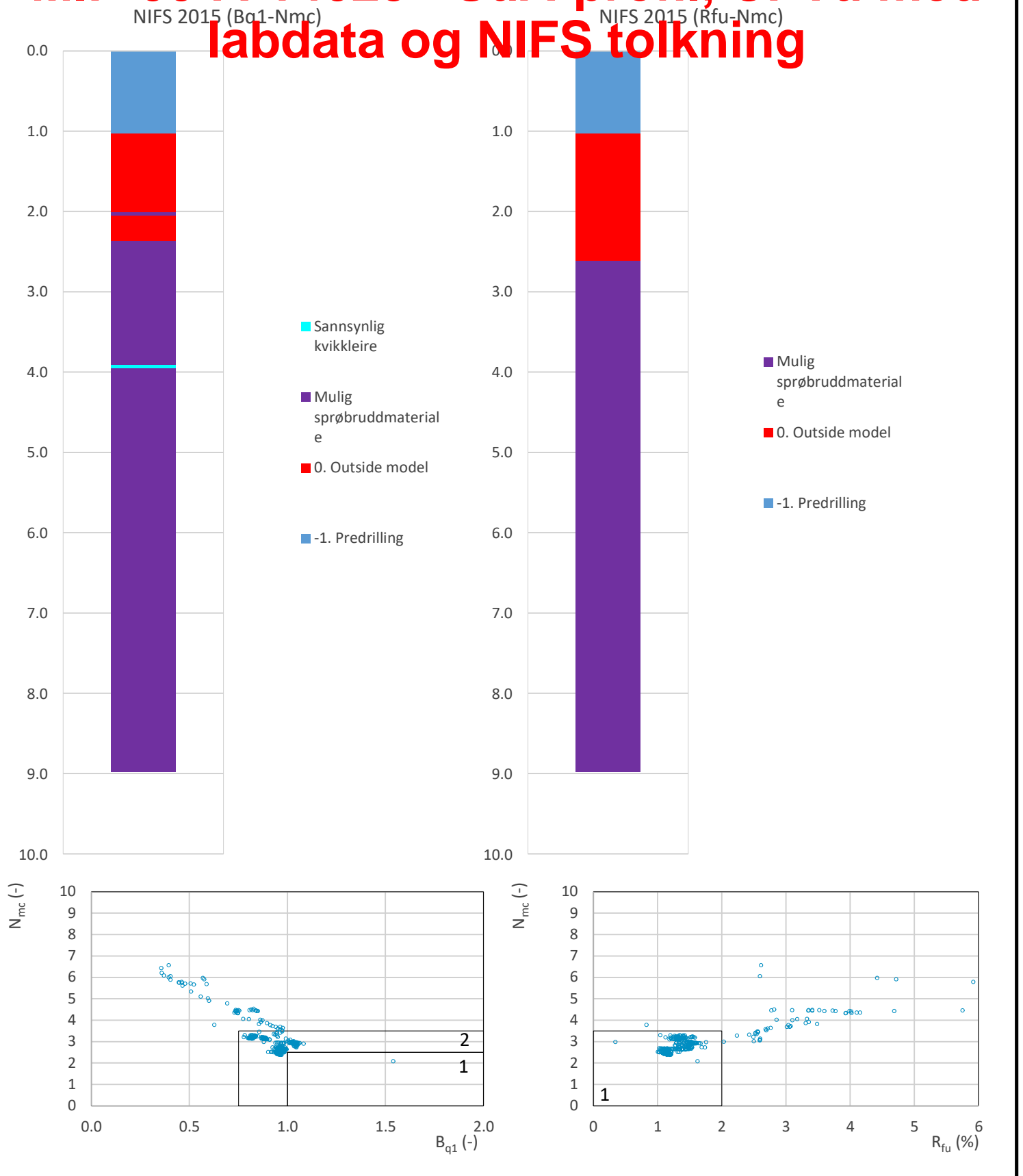
Udrenert aktiv skjærfasthet,  $c_{ucptu}$  (kPa)




Prosjekt			Borhull	Kote +99.4
Ski hensetting			22	
Innhold			Sondennummer	
Tolkning av udrenert aktiv skjærfasthet			4634	
 Statens vegvesen	Utført	Kontrollert	Godkjent	Anvend.klasse
	SOHJ	ABC	TTR	2
	Divisjon	Dato sondering	Revisjon	Figur
	Ekstern konsulent	30.08.2021	Rev. dato	5



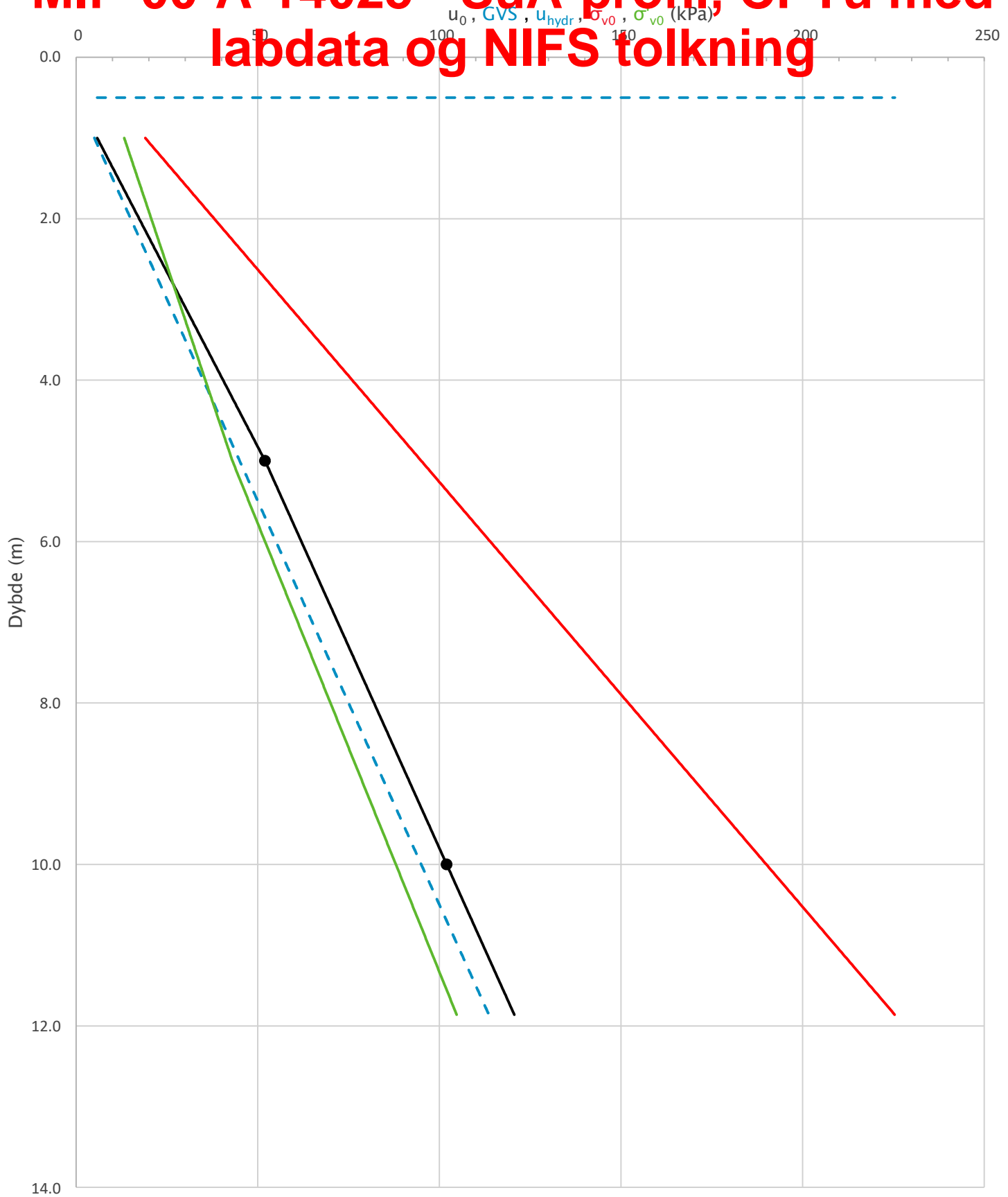
# MIP-00-A-14025 - SuA-profil, CPTu med labdata og NIFS tolkning



Prosjekt <b>Ski hensetting</b>			Borhull Kote +99.4 <b>22</b>
Innhold Jordartsklassifisering etter NIFS 2015 – detektering av sensitive materialer			Sondennummer <b>4634</b>
 <b>Statens vegvesen</b>	Utført <b>SOHJ</b>	Kontrollert <b>ABC</b>	Godkjent <b>TTR</b>
	Divisjon Ekstern konsulent	Dato sondering 30.08.2021	Revisjon Rev. dato
			Anvend.klasse <b>2</b>
			Figur <b>21</b>



# MIP-00-A-14025 - SuA-profil, CPTu med labdata og NIFS tolkning

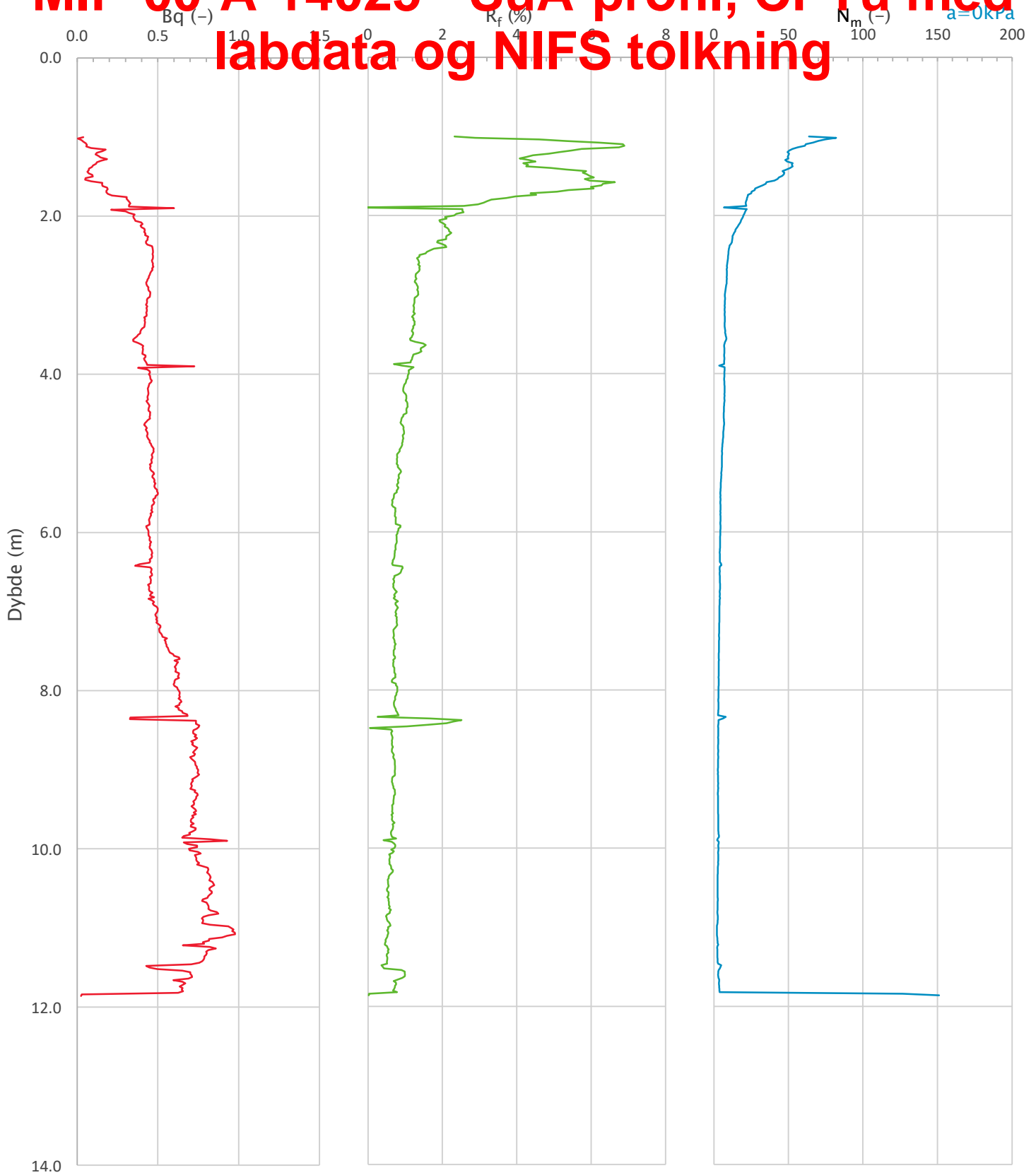



Prosjekt		Prosjektnummer: 900078 Rapportnummer: MIP-00-A-14024		Borhull	Kote +98.7
<b>Ski Hensetting</b>				<b>24</b>	
Innhold				Sondennummer	
In-situ poretrykk, total- og effektiv vertikalspenning i beregninger				<b>4634</b>	
 <b>Statens vegvesen</b>	Utført	Kontrollert	Godkjent	Anvend.klasse	1
	SOHJ	ABC	TTR		
	Divisjon	Dato sondering	Revisjon	Figur	2
	Ekstern konsulent	18.08.2021	Rev. dato		

**B29**



# MIP-00-A-14025 - SuA-profil, CPTu med labdata og NIFS tolkning



Prosjekt		Prosjektnummer: 900078 Rapportnummer: MIP-00-A-14024		Borhull	Kote +98.7
<b>Ski Hensetting</b>				<b>24</b>	
Innhold				Sondennummer	
Avledede dimensjonsløse forhold				<b>4634</b>	
 <b>Statens vegvesen</b>	Utført	Kontrollert	Godkjent	Anvend.klasse	
	SOHJ	ABC	TTR	1	
	Divisjon	Dato sondering	Revisjon	Figur	
	Ekstern konsulent	18.08.2021	Rev. dato	4	



# MIP-00-A-14025 - SuA-profil, CPTu med labdata og NIFS tolkning

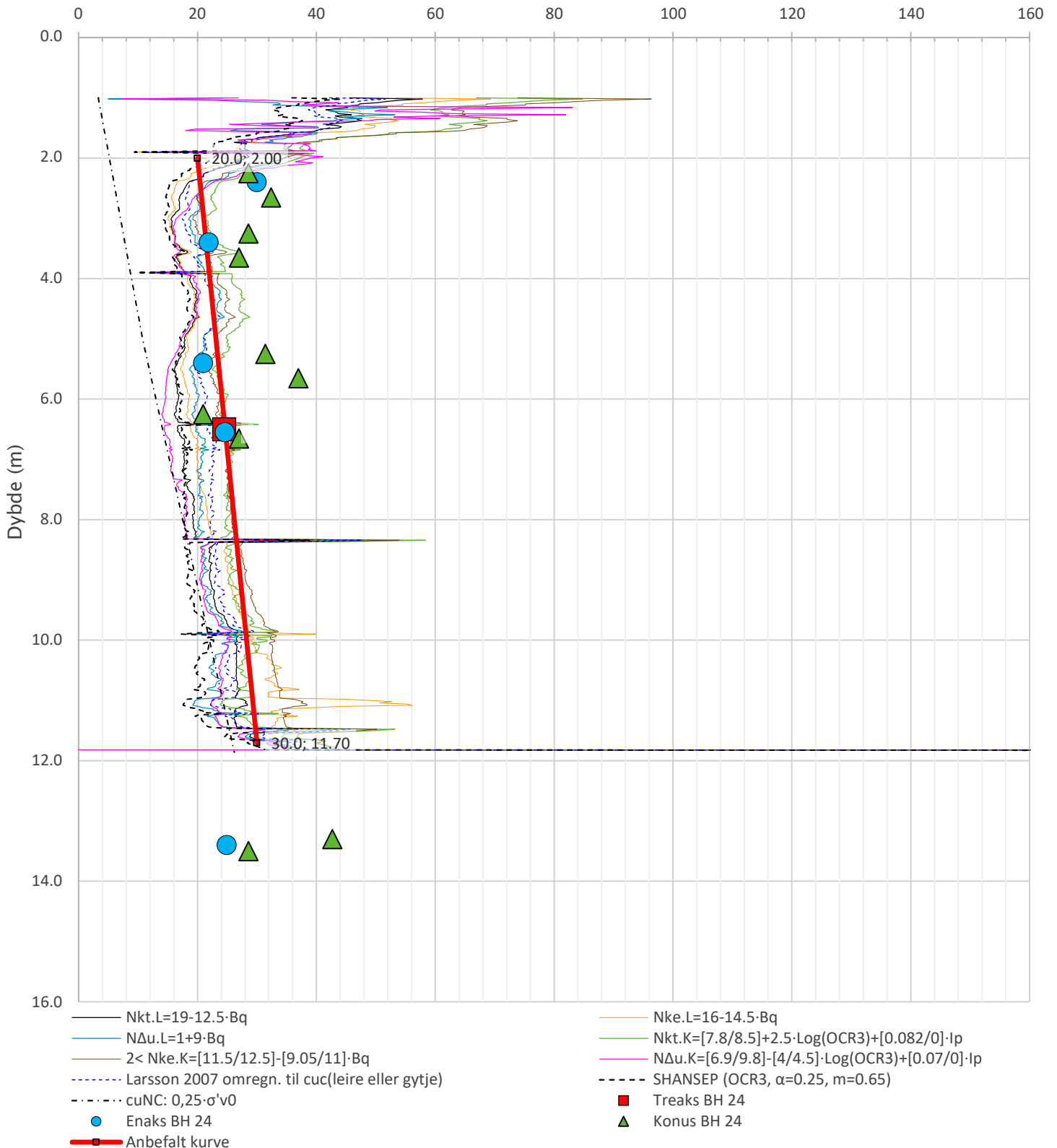
Anisotropiforhold i figur.


Treaks BH 24:  $c_{uC}/c_{uCPTu} = 1.000$

Enaks BH 24:  $c_{uNC}/c_{uCPTu} = 0.630$

Konus BH 24:  $c_{uFC}/c_{uCPTu} = 0.630$

Udrenert aktiv skjærfasthet,  $c_{uCPTu}$  (kPa)

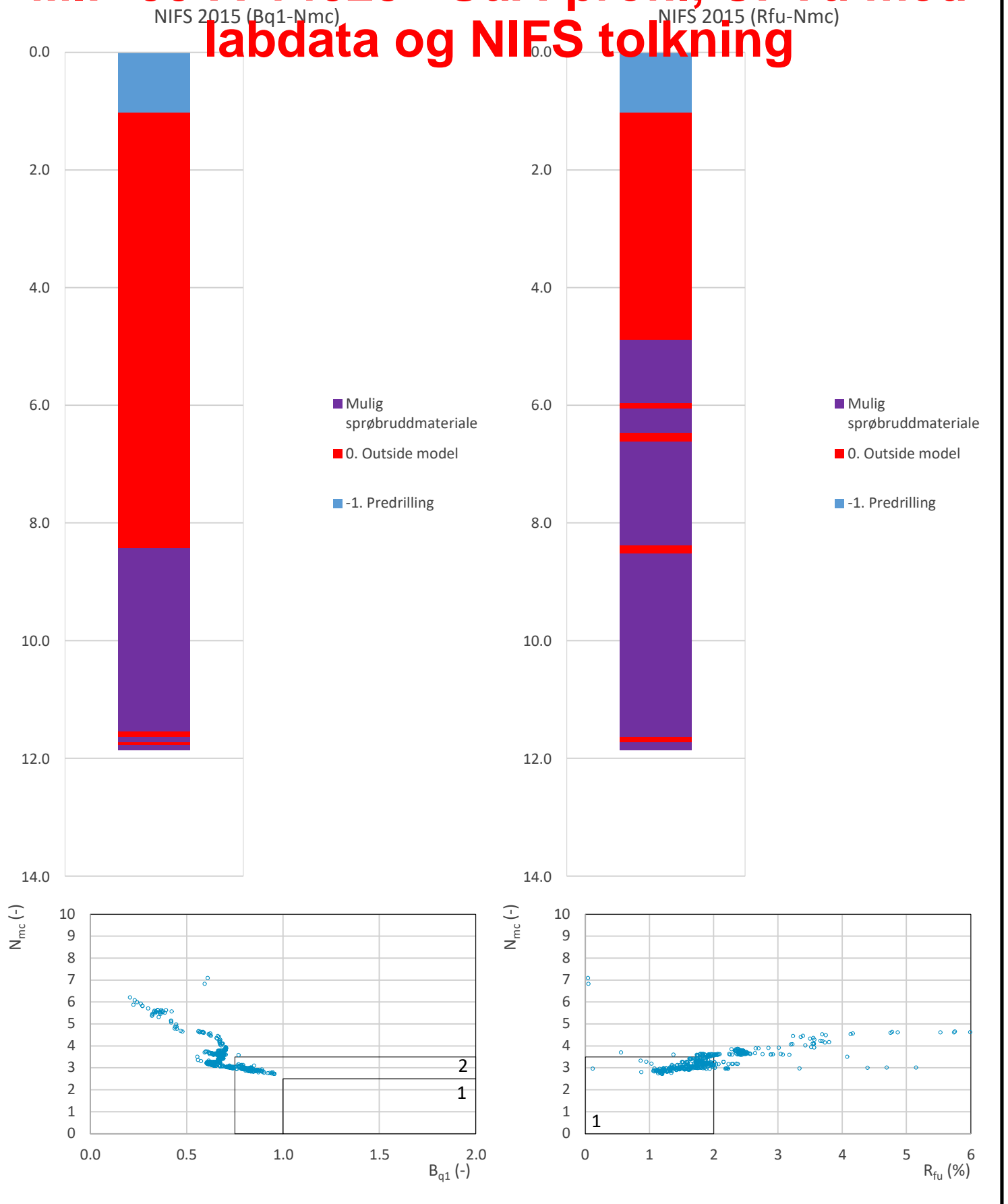


Prosjekt <b>Ski Hensetting</b>	Prosjektnummer: 900078 Rapportnummer: MIP-00-A-14024	Borhull Kote +98.7 <b>24</b>
Innhold Tolkning av udrenert aktiv skjærfasthet		Sondennummer <b>4634</b>
 <b>Statens vegvesen</b>	Utført <b>SOHJ</b>	Kontrollert <b>ABC</b>
	Divisjon <b>Ekstern konsulent</b>	Dato sondering <b>18.08.2021</b>
	Godkjent <b>TTR</b>	Anvend.klasse <b>1</b>
	Revisjon Rev. dato	Figur <b>5</b>

**B31**



# MIP-00-A-14025 - SuA-profil, CPTu med labdata og NIFS tolkning

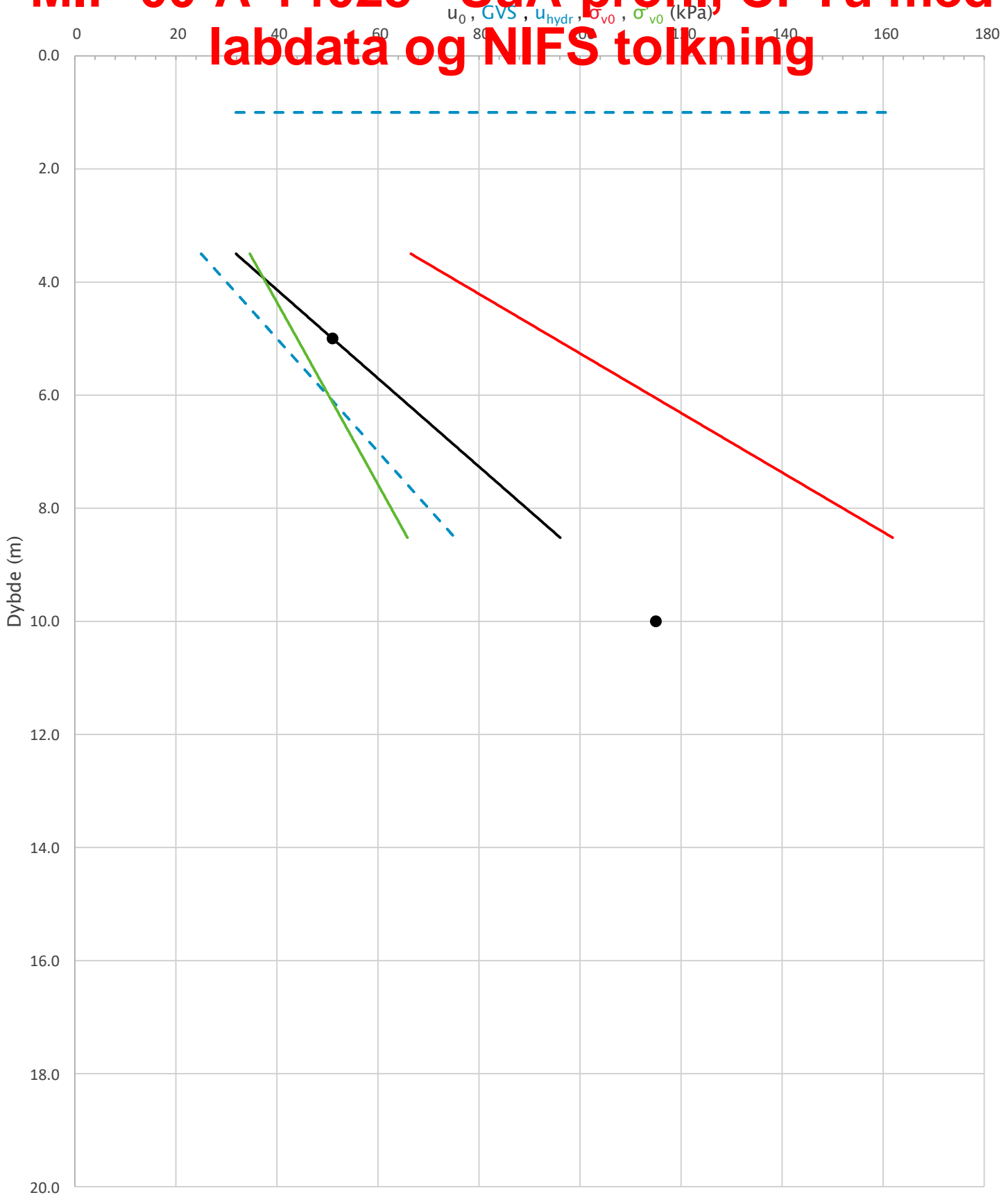


Prosjekt		Prosjektnummer: 900078 Rapportnummer: MIP-00-A-14024		Borhull	Kote +98.7
<b>Ski Hensetting</b>				<b>24</b>	
Innhold		Jordartsklassifisering etter NIFS 2015 – detektering av sensitive materialer		Sondennummer	<b>4634</b>
 Statens vegvesen	Utført	Kontrollert	Godkjent	Anvend.klasse	<b>1</b>
	SOHJ	ABC	TTR		
	Divisjon	Dato sondering	Revisjon	Figur	<b>21</b>
	Ekstern konsulent	18.08.2021	Rev. dato		

**B32**



# MIP-00-A-14025 - SuA-profil, CPTu med labdata og NIFS tolkning

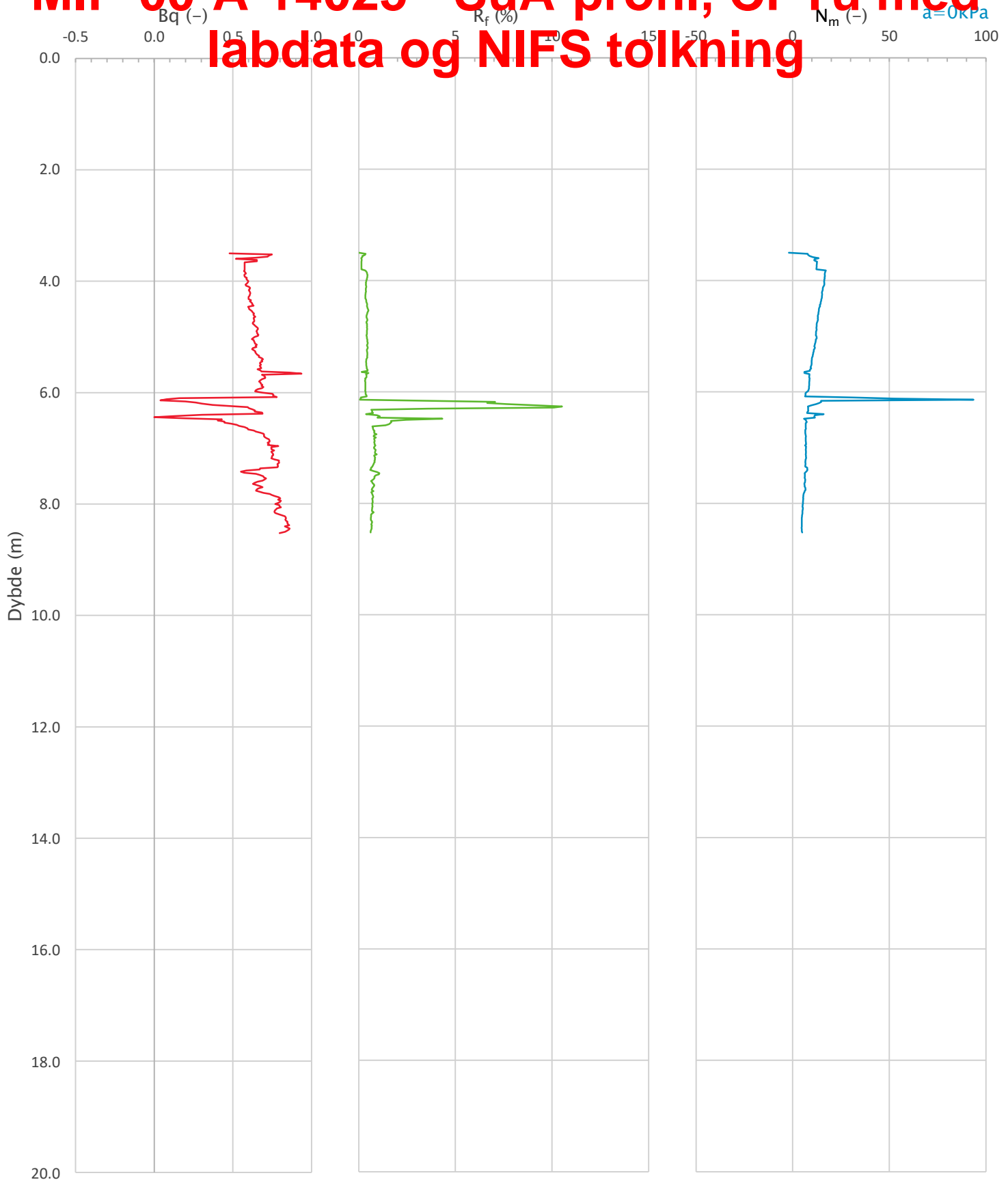



Prosjekt		Prosjektnummer: 900078 Rapportnummer: MIP-00-A-14024		Borhull	Kote +93.4
<b>Ski Hensetting</b>				<b>26</b>	
Innhold				Sondennummer	
In-situ poretrykk, total- og effektiv vertikalspenning i beregninger				<b>4980</b>	
 <b>Statens vegvesen</b>	Utført	Kontrollert	Godkjent	Anvend.klasse	
	SOHJ/JAJE	ABC	TTR	<b>1</b>	
	Divisjon	Dato sondering	Revisjon	Figur	
	Ekstern konsulent	15.01.2019	Rev. dato	<b>2</b>	

**B33**



# MIP-00-A-14025 - SuA-profil, CPTu med labdata og NIFS tolkning



Prosjekt		Prosjektnummer: 900078 Rapportnummer: MIP-00-A-14024		Borhull	Kote +93.4
<b>Ski Hensetting</b>				<b>26</b>	
Innhold				Sondennummer	
Avledede dimensjonsløse forhold				<b>4980</b>	
 <b>Statens vegvesen</b>	Utført	Kontrollert	Godkjent	Anvend.klasse	
	SOHJ/JAJE	ABC	TTR		
	Divisjon	Dato sondering	Revisjon	Figur	
	Ekstern konsulent	15.01.2019	Rev. dato	<b>4</b>	

**B34**



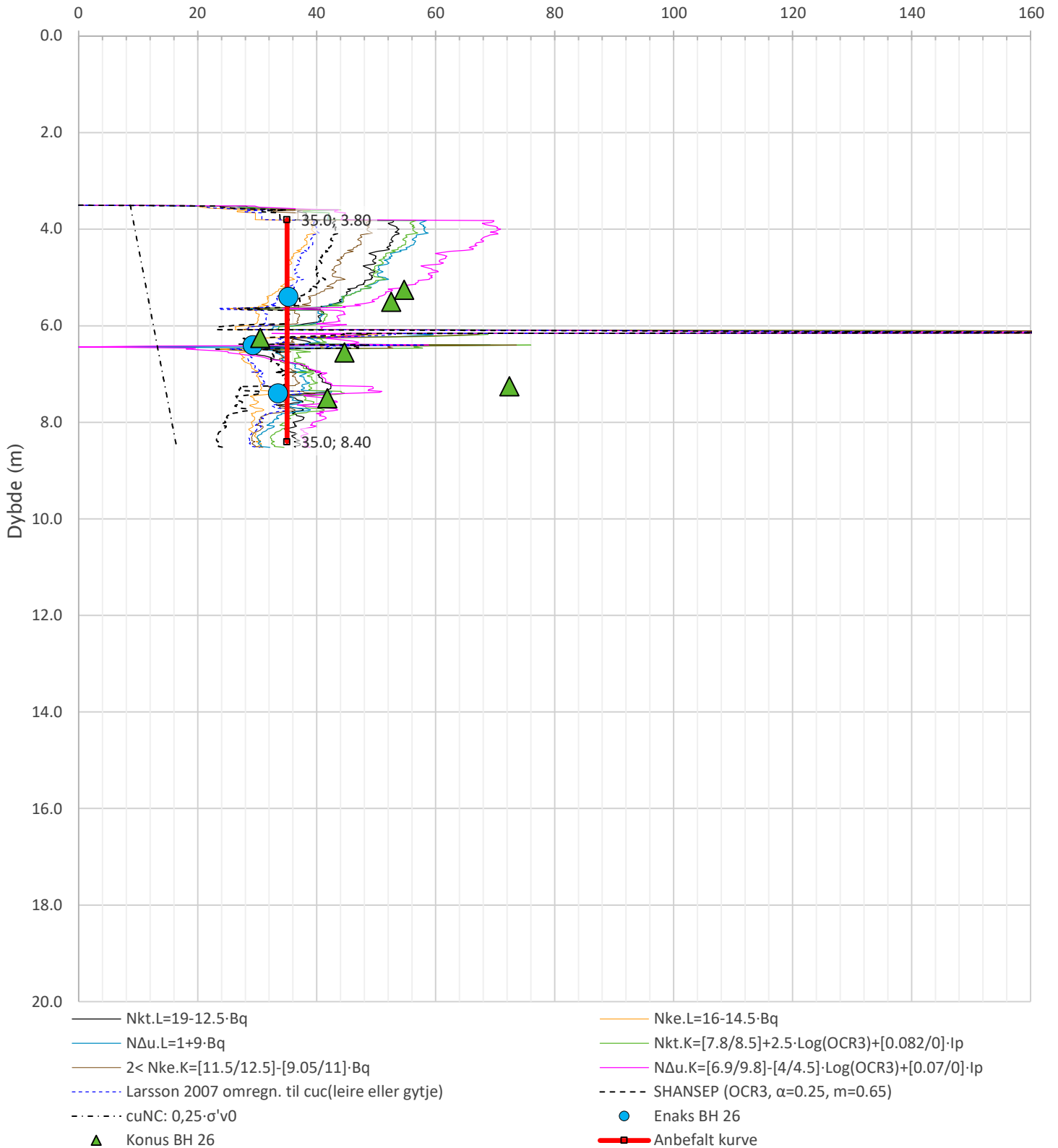
# MIP-00-A-14025 - SuA-profil, CPTu med labdata og NIFS tolkning


Anisotropiforhold i figur.

Enaks BH 26:  $c_{uc}/c_{ucptu} = \text{var. (min:0.644 max:0.649)}$

Konus BH 26:  $c_{ufc}/c_{ucptu} = \text{var. (min:0.64 max:0.649)}$

Udrenert aktiv skjærfasthet,  $c_{ucptu}$  (kPa)

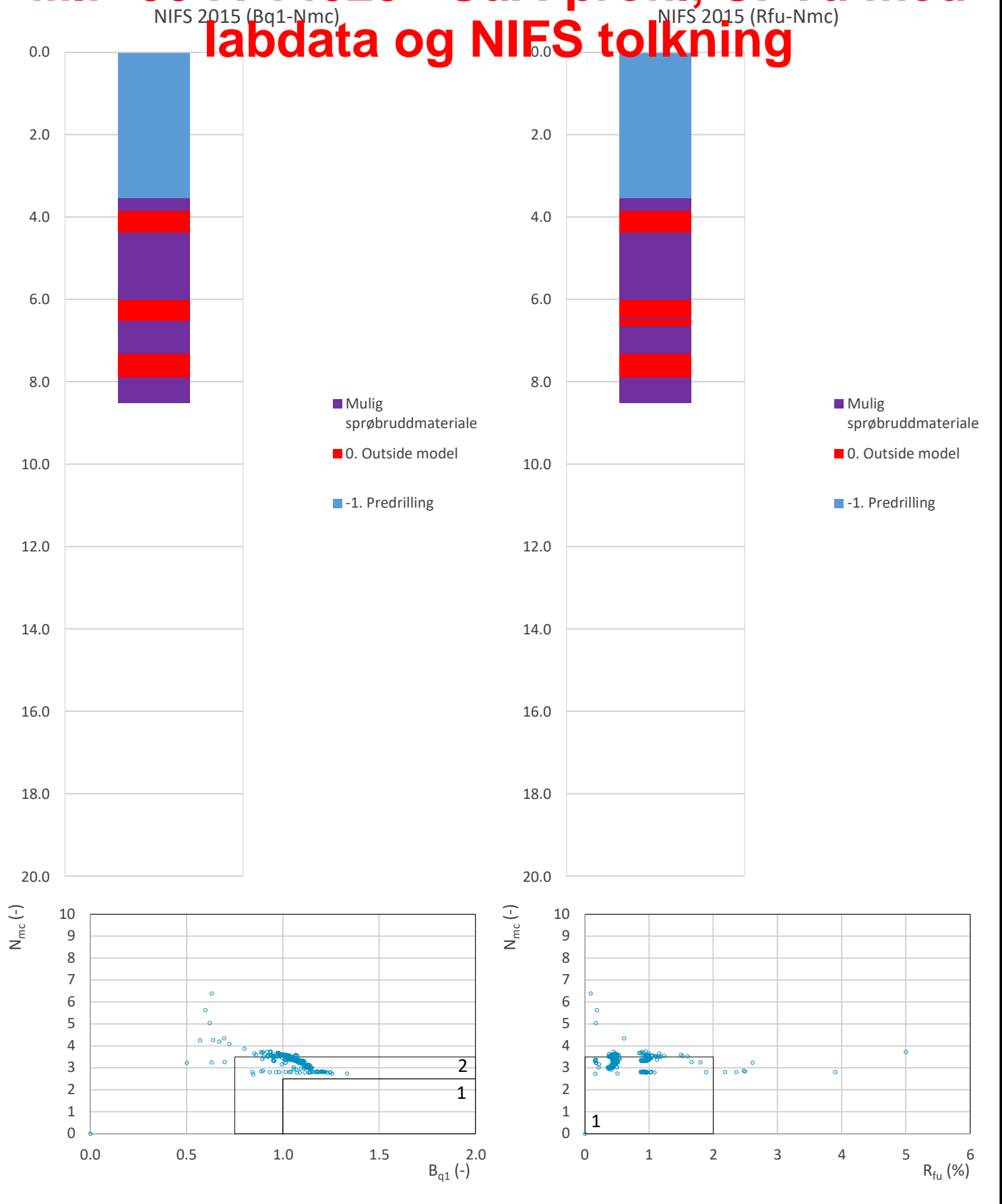


Prosjekt <b>Ski Hensetting</b>	Prosjektnummer: 900078 Rapportnummer: MIP-00-A-14024	Borhull Kote +93.4 <b>26</b>
Innhold Tolkning av udrenert aktiv skjærfasthet		Sondennummer <b>4980</b>
 <b>Statens vegvesen</b>	Utført <b>SOHJ/JAJE</b>	Kontrollert <b>ABC</b>
	Divisjon <b>Ekstern konsulent</b>	Dato sondering <b>15.01.2019</b>
	Godkjent <b>TTR</b>	Anvend.klasse
	Revisjon Rev. dato	Figur <b>5</b>

**B35**



# MIP-00-A-14025 - SuA-profil, CPTu med labdata og NIFS tolkning

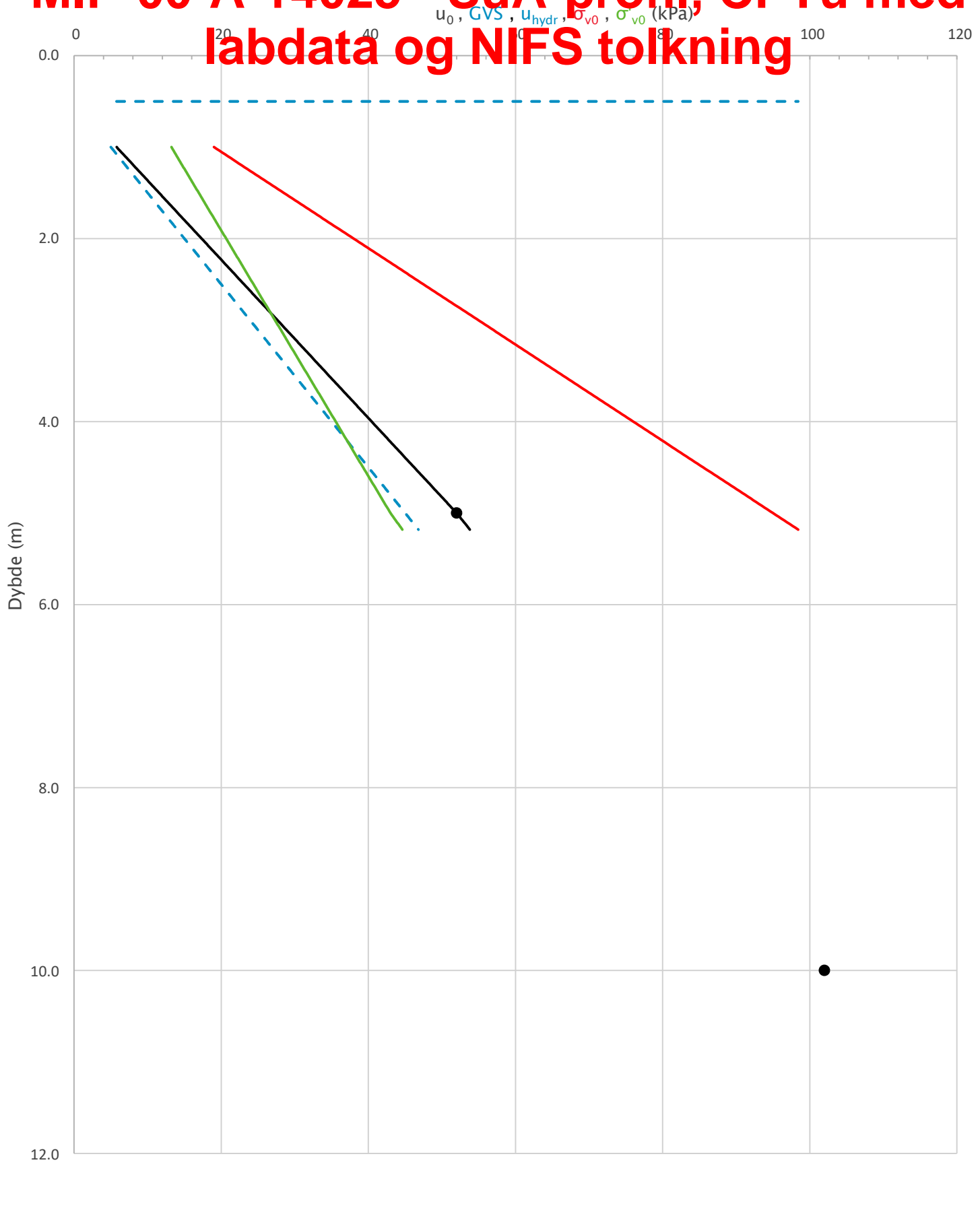


Prosjekt		Prosjektnummer: 900078 Rapportnummer: MIP-00-A-14024		Borhull	Kote +93.4
<b>Ski Hensetting</b>				<b>26</b>	
Innhold		Jordartsklassifisering etter NIFS 2015 – detektering av sensitive materialer		Sondennummer	<b>4980</b>
 Statens vegvesen	Utført	Kontrollert	Godkjent	Anvend.klasse	
	SOHJ/JAJE	ABC	TTR		
	Divisjon	Dato sondering	Revisjon	Figur	
	Ekstern konsulent	15.01.2019	Rev. dato	<b>21</b>	

**B36**



# MIP-00-A-14025 - SuA-profil, CPTu med labdata og NIFS tolkning

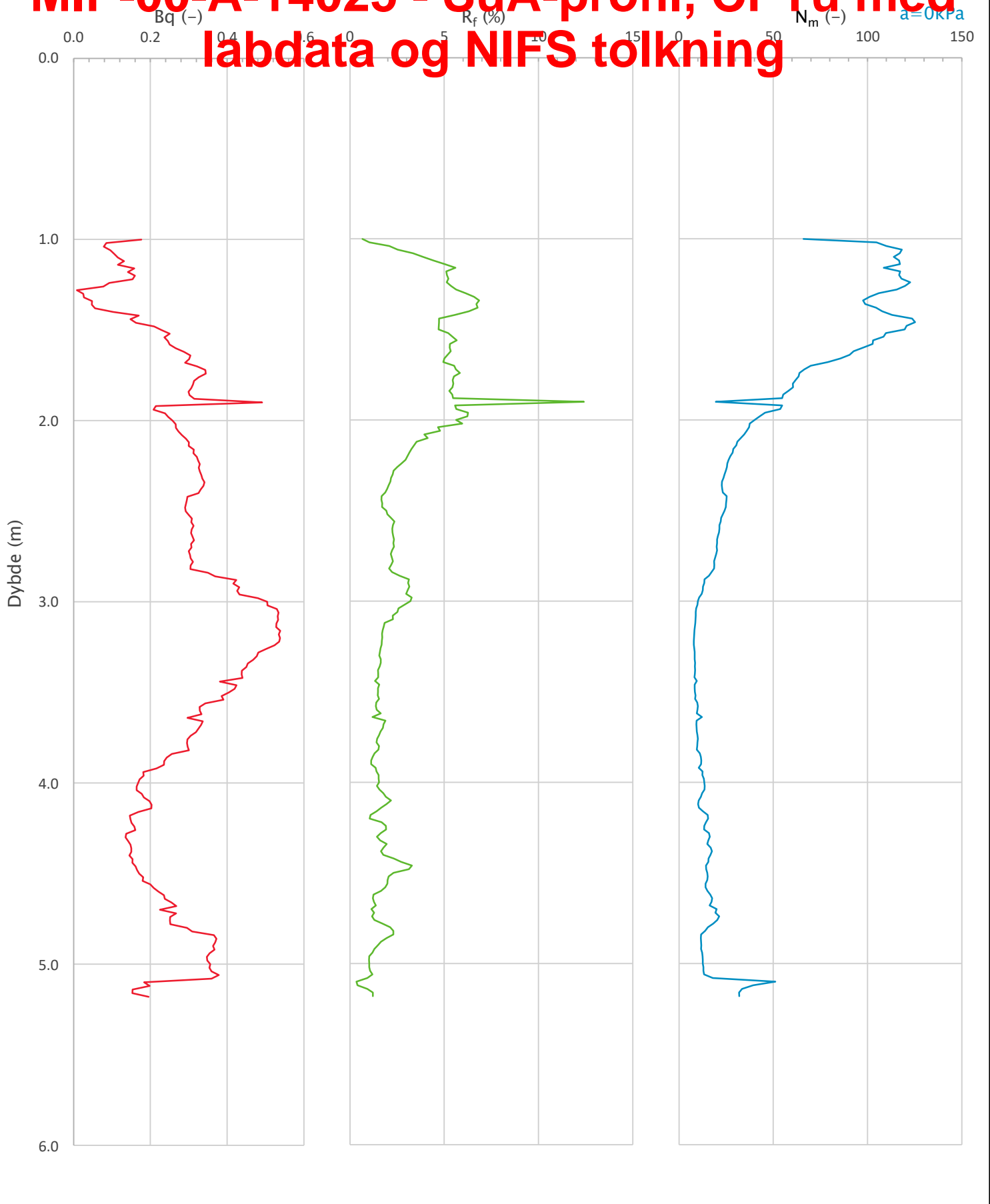



Prosjekt			Ski hensetting		Borhull		27				
Innhold			In-situ poretrykk, total- og effektiv vertikalspenning i beregninger				Sondenummer		4634		
 <b>Statens vegvesen</b>	Utført SOHJ		Kontrollert ABC		Godkjent TTR		Anvend.klasse		2		
	Divisjon Utbygging		Dato sondering 18.08.2021		Revisjon		Figur		2		
				Rev. dato							

**B37**



# MIP-00-A-14025 - SuA-profil, CPTu med labdata og NIFS tolkning



Prosjekt			Ski hensetting		Borhull		27	
Innhold			Avledede dimensjonsløse forhold		Sondenummer		4634	
 <b>Statens vegvesen</b>	Utført	SOHJ	Kontrollert	ABC	Godkjent	TTR	Anvend.klasse	2
	Divisjon	Utbygging	Dato sondering	18.08.2021	Revisjon		Figur	4
						Rev. dato		

**B38**



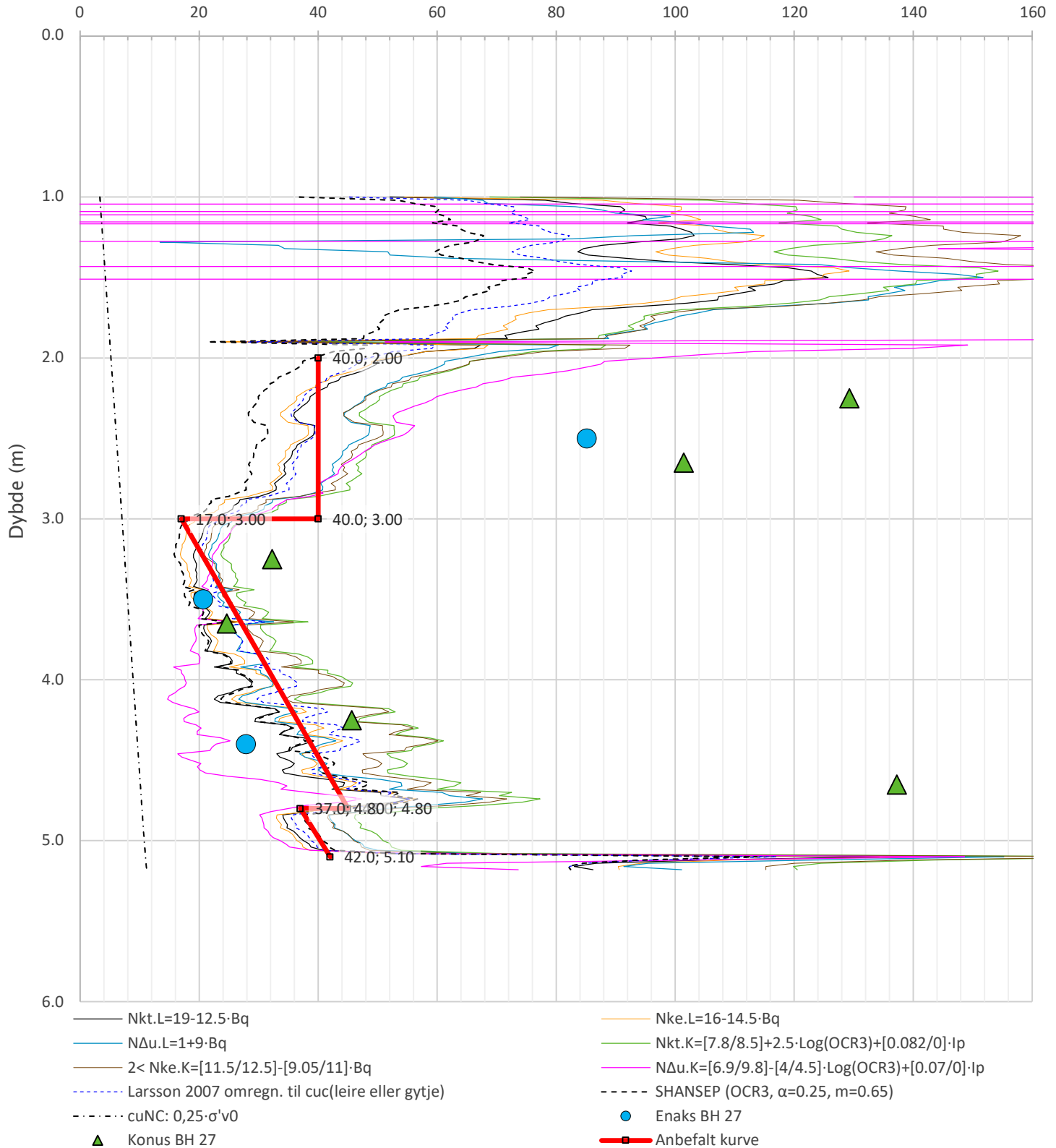
# MIP-00-A-14025 - SuA-profil, CPTu med labdata og NIFS tolkning

Anisotropiforhold i figur.

Enaks BH 27:  $c_{uc}/c_{ucptu} = \text{var. (min:0.632 max:0.635)}$

Konus BH 27:  $c_{ufc}/c_{ucptu} = \text{var. (min:0.632 max:0.635)}$

Udrenert aktiv skjærfasthet,  $c_{ucptu}$  (kPa)

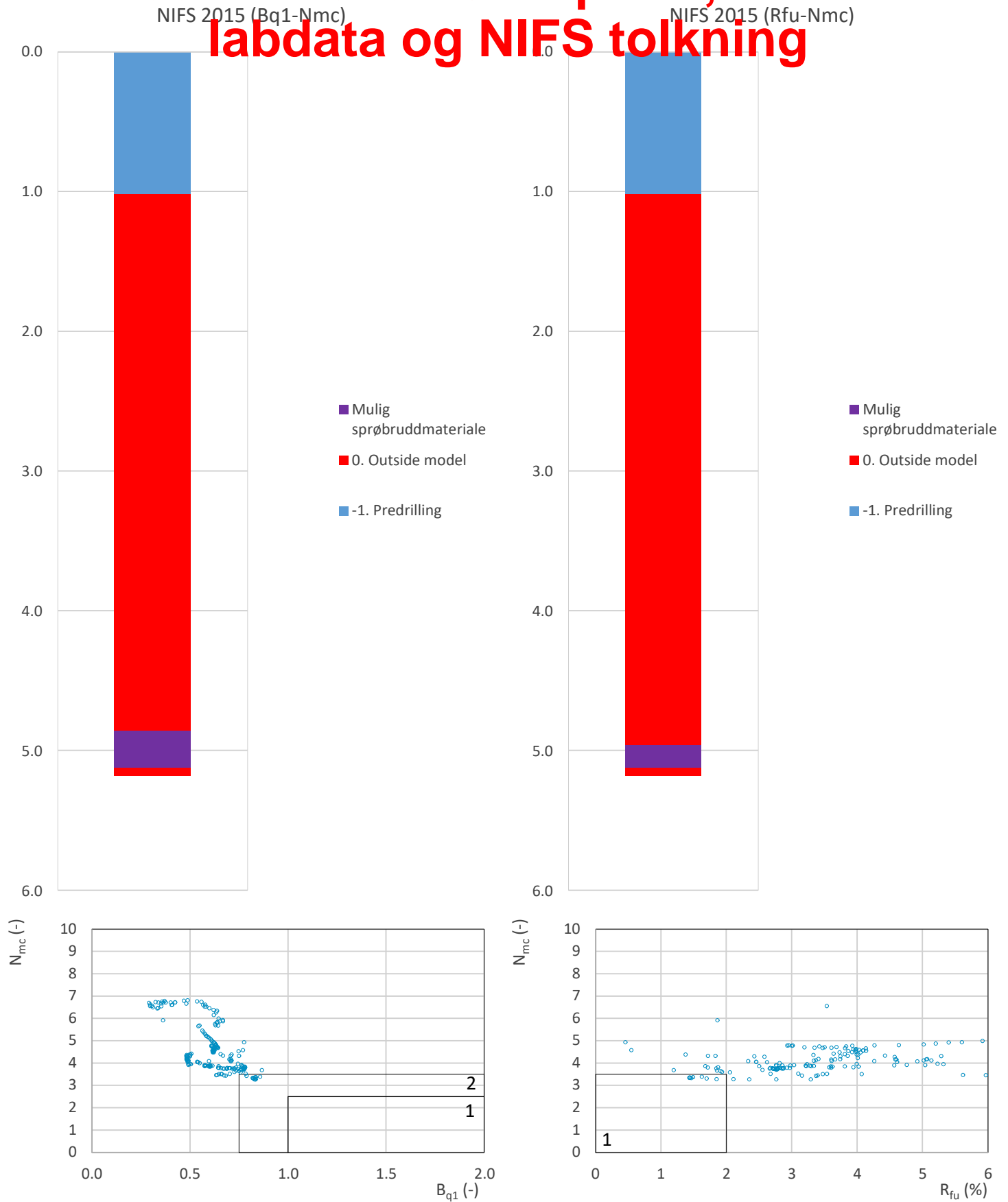


Prosjekt			Ski hensetting		Borhull		27									
Innhold			Tolkning av udrenert aktiv skjærfasthet				Sondenummer		4634							
	Utført		SOHJ		Kontrollert		ABC		Godkjent		TTR		Anvend.klasse		2	
	Divisjon		Utbygging		Dato sondering		18.08.2021		Revisjon		Rev. dato		Figur		5	

**B39**



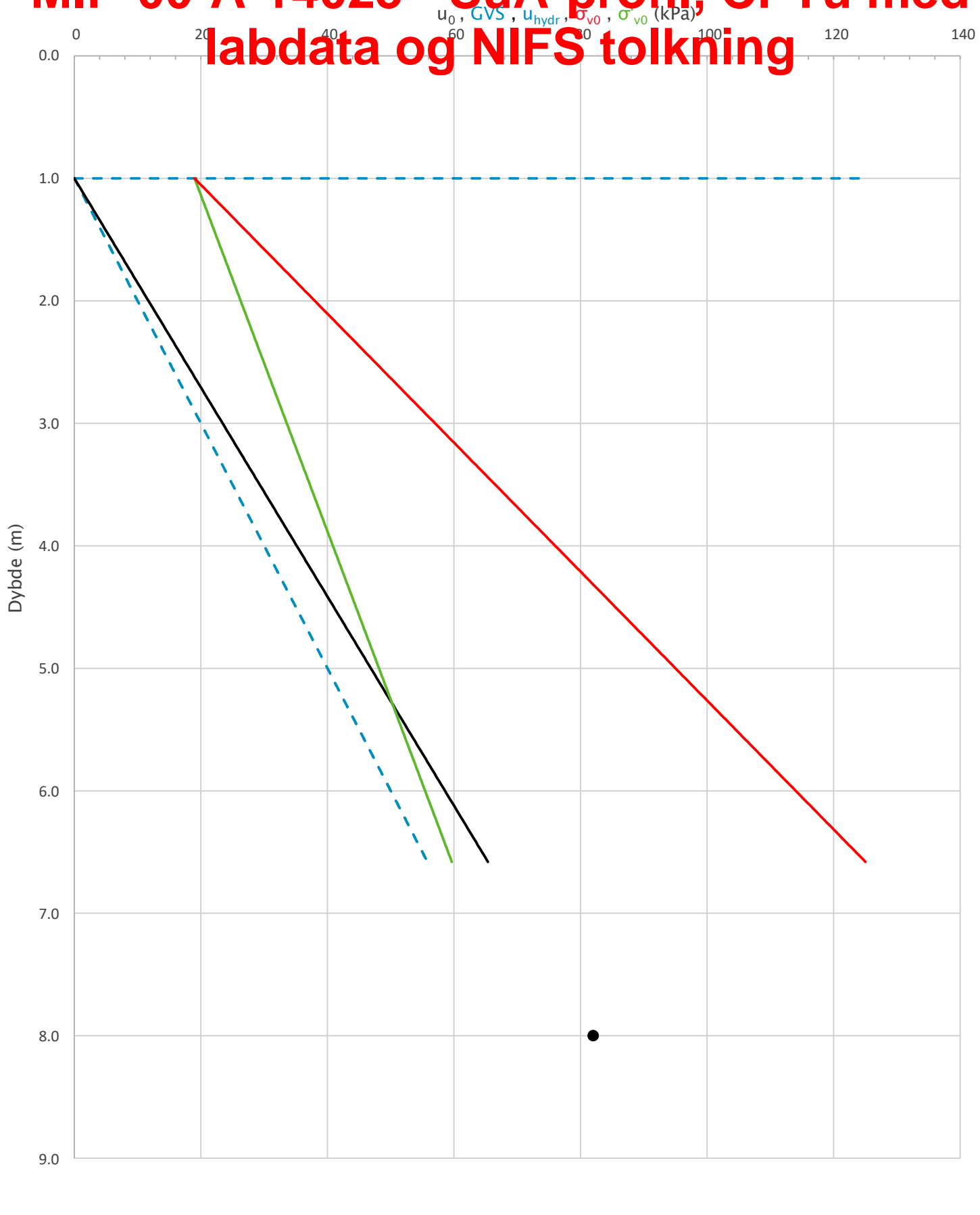
# MIP-00-A-14025 - SuA-profil, CPTu med labdata og NIFS tolkning



Prosjekt			Ski hensetting		Borhull		27				
Innhold			Jordartsklassifisering etter NIFS 2015 – detektering av sensitive materialer				Sondenummer		4634		
 <b>Statens vegvesen</b>	Utført SOHJ		Kontrollert ABC		Godkjent TTR		Anvend.klasse		2		
	Divisjon Utbygging		Dato sondering 18.08.2021		Revisjon		Figur		21		
				Rev. dato							

**B40**

# MIP-00-A-14025 - SuA-profil, CPTu med labdata og NIFS tolkning

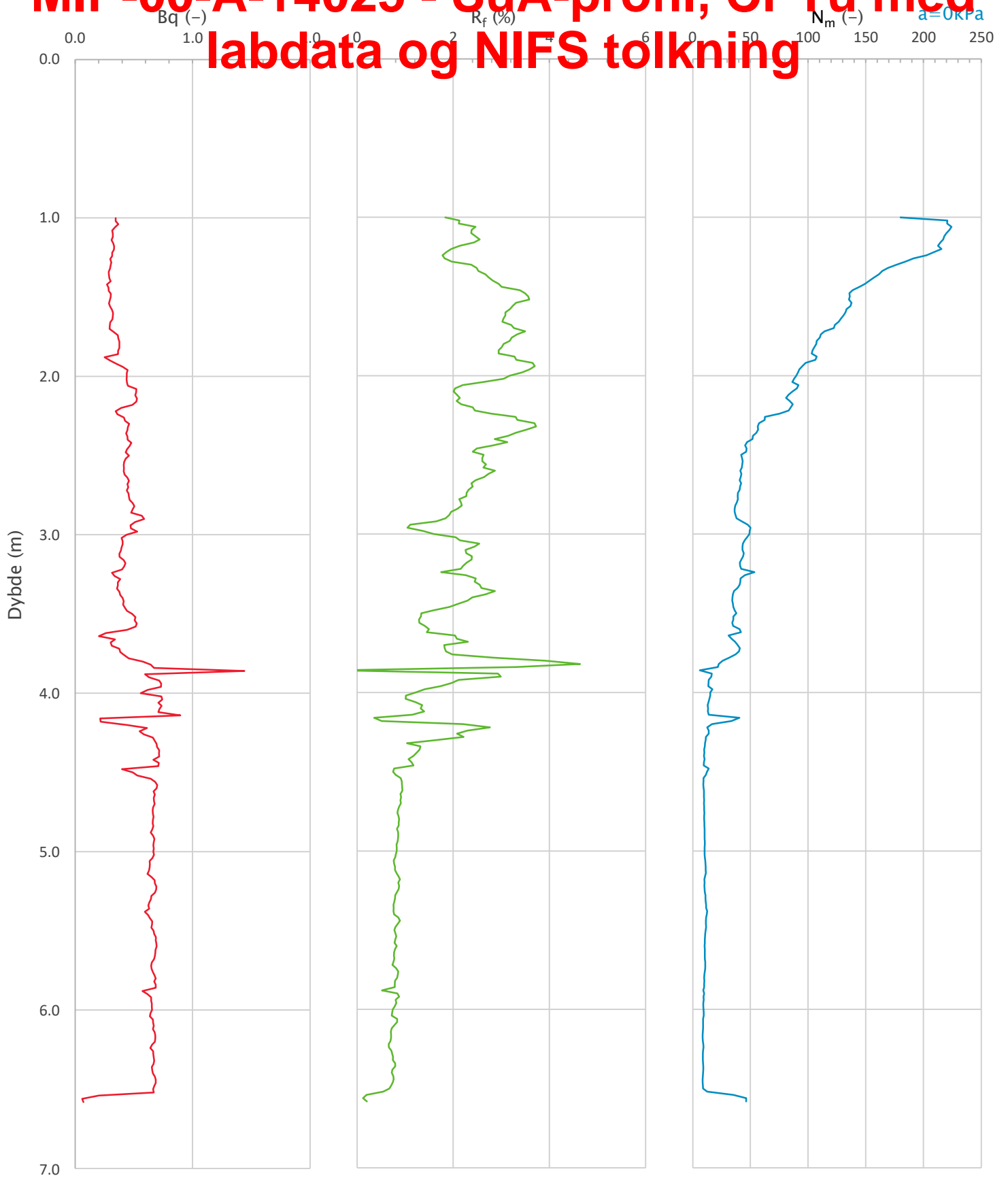



Prosjekt <b>Ski hensetting</b>		Prosjektnummer: 900078 Rapportnummer: MIP-00-A-14024		Borhull <b>29</b>
Innhold In-situ poretrykk, total- og effektiv vertikalspenning i beregninger				Sondennummer <b>4634</b>
 <b>Statens vegvesen</b>	Utført <b>SOHJ</b>	Kontrollert <b>ABC</b>	Godkjent <b>TTR</b>	Anvend.klasse <b>1</b>
	Divisjon Ekstern konsulent	Dato sondering 12.08.2021	Revisjon Rev. dato	Figur <b>2</b>

**B41**



# MIP-00-A-14025 - SuA-profil, CPTu med labdata og NIFS tolkning



Prosjekt <b>Ski hensetting</b>		Prosjektnummer: 900078 Rapportnummer: MIP-00-A-14024		Borhull <b>29</b>
Innhold Avledede dimensjonsløse forhold				Sondennummer <b>4634</b>
 <b>Statens vegvesen</b>	Utført <b>SOHJ</b>	Kontrollert <b>ABC</b>	Godkjent <b>TTR</b>	Anvend.klasse <b>1</b>
	Divisjon Ekstern konsulent	Dato sondering 12.08.2021	Revisjon Rev. dato	Figur <b>4</b>

**B42**

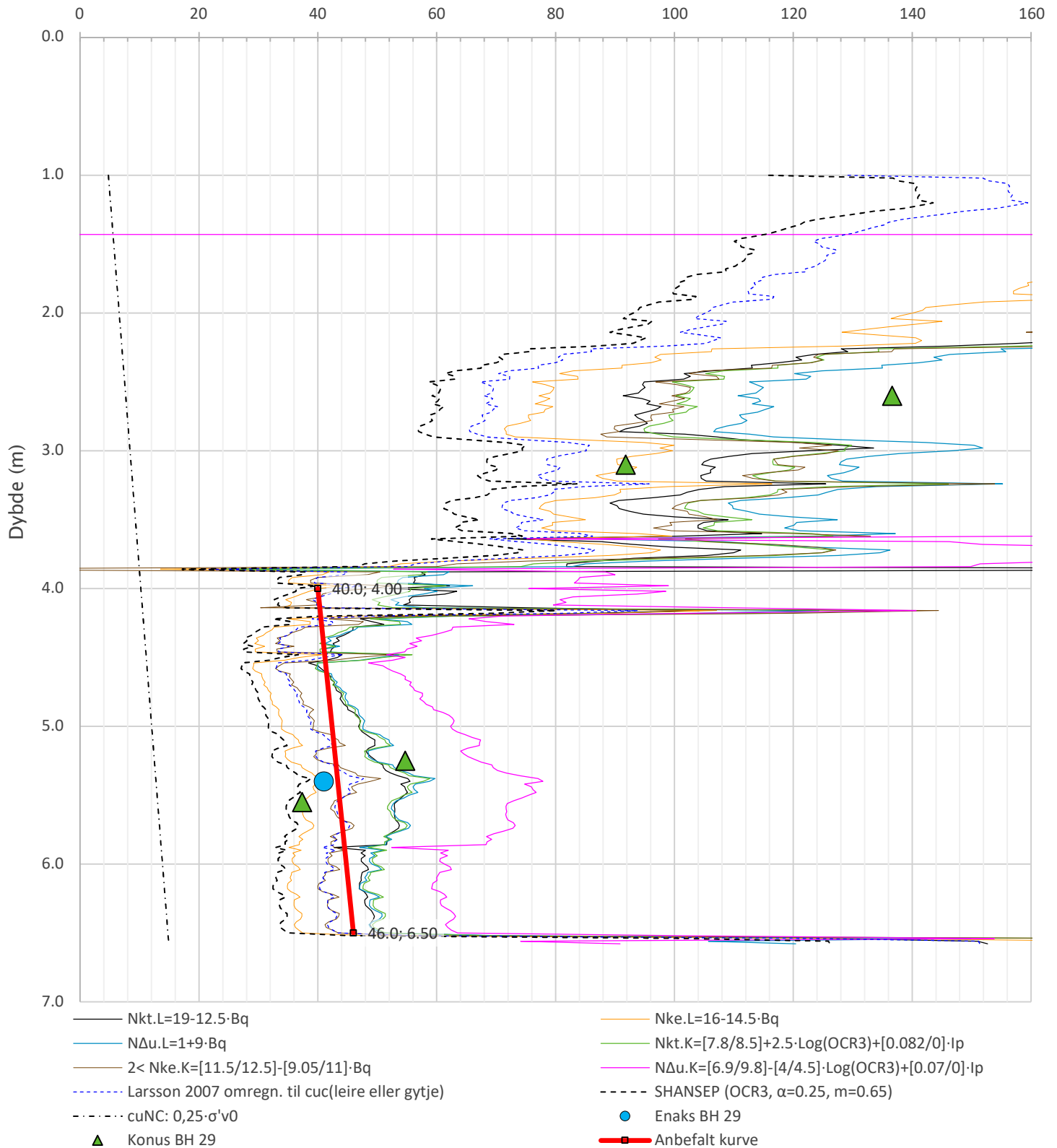
# MIP-00-A-14025 - SuA-profil, CPTu med labdata og NIFS tolkning


Anisotropiforhold i figur.

Enaks BH 29:  $c_{uc}/c_{ucptu} = \text{var. (min:0.648 max:0.660)}$

Konus BH 29:  $c_{ufc}/c_{ucptu} = \text{var. (min:0.64 max:0.660)}$

Udrenert aktiv skjærfasthet,  $c_{ucptu}$  (kPa)

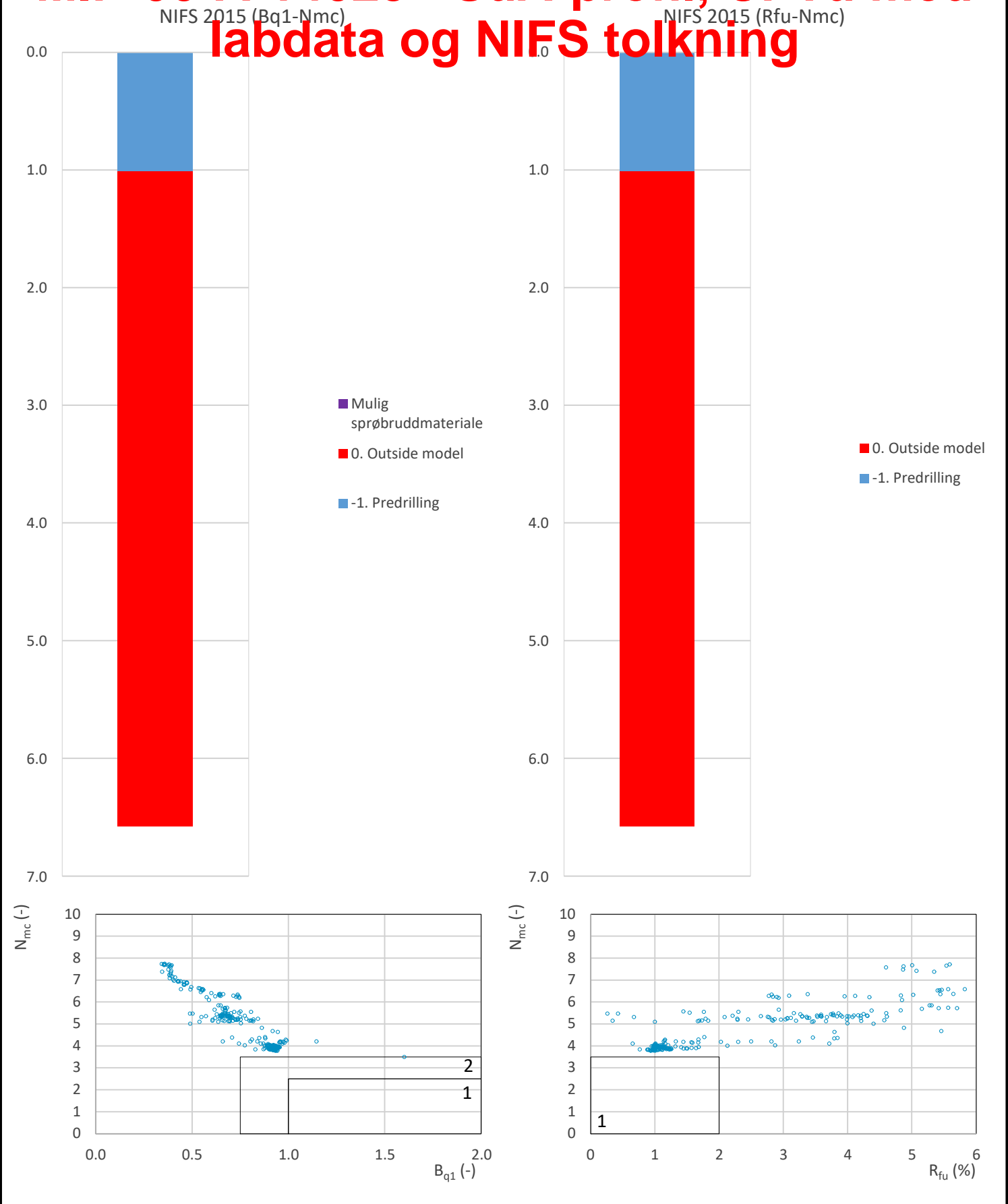



Prosjekt	Prosjektnummer: 900078 Rapportnummer: MIP-00-A-14024			Borhull	29
<b>Ski hensetting</b>				Sondennummer	4634
Innhold	Tolkning av udrenert aktiv skjærfasthet			Anvend.klasse	1
 Statens vegvesen	Utført	Kontrollert	Godkjent	Figur	5
	SOHJ	ABC	TTR		
Divisjon	Dato sondering	Revisjon	Rev. dato		
Ekstern konsulent	12.08.2021				

**B43**



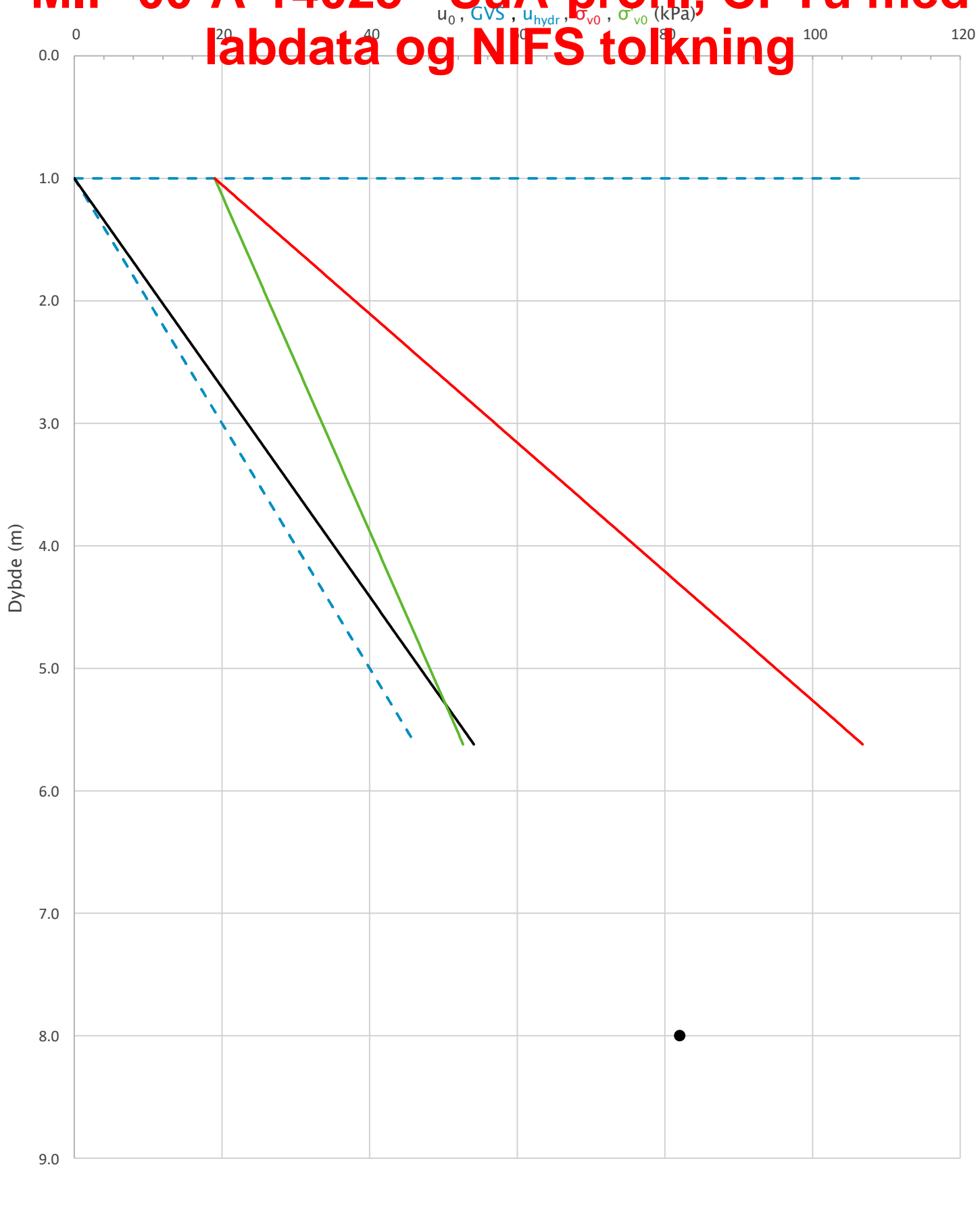
# MIP-00-A-14025 - SuA-profil, CPTu med labdata og NIFS tolkning



Prosjekt		Prosjektnummer: 900078 Rapportnummer: MIP-00-A-14024		Borhull
<b>Ski hensetting</b>				<b>29</b>
Innhold				Sondennummer
Jordartsklassifisering etter NIFS 2015 – detektering av sensitive materialer				<b>4634</b>
 <b>Statens vegvesen</b>	Utført	Kontrollert	Godkjent	Anvend.klasse
	SOHJ	ABC	TTR	<b>1</b>
	Divisjon	Dato sondering	Revisjon	Figur
	Ekstern konsulent	12.08.2021	Rev. dato	<b>21</b>

**B44**

# MIP-00-A-14025 - SuA-profil, CPTu med labdata og NIFS tolkning

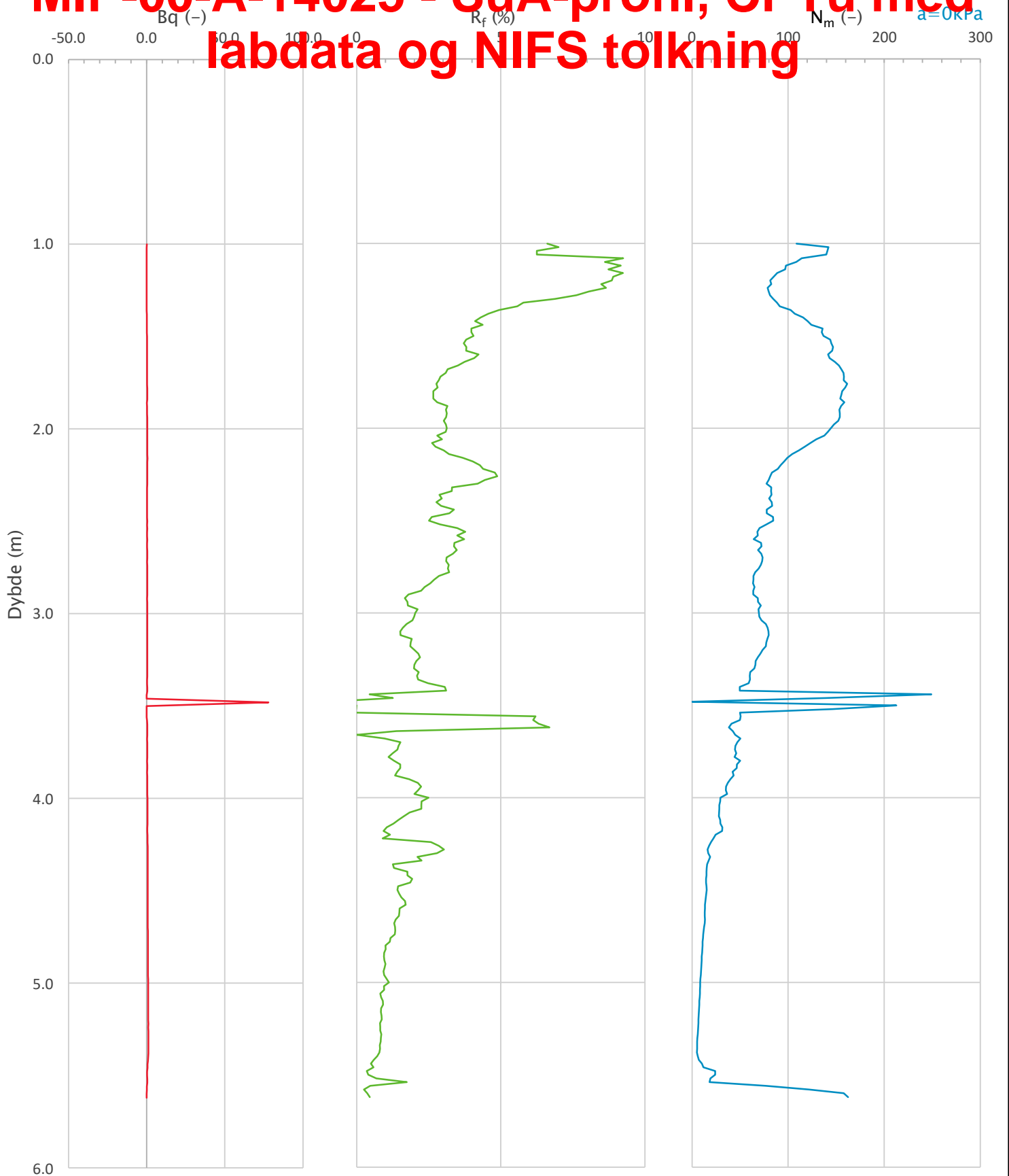



Prosjekt		Prosjektnummer: 900078 Rapportnummer: MIP-00-A-14024		Borhull	Kote +109.7
<b>Ski Hensetting</b>				<b>31</b>	
Innhold				Sondenummer	
In-situ poretrykk, total- og effektiv vertikalspenning i beregninger				<b>4634</b>	
 <b>Statens vegvesen</b>	Utført	Kontrollert	Godkjent	Anvend.klasse	
	SOHJ	ABC	TTR	1	
Divisjon Ekstern konsulent	Dato sondering	Revisjon	Figur		
	12.08.2021	Rev. dato	2		

**B45**



# MIP-00-A-14025 - SuA-profil, CPTu med labdata og NIFS tolkning

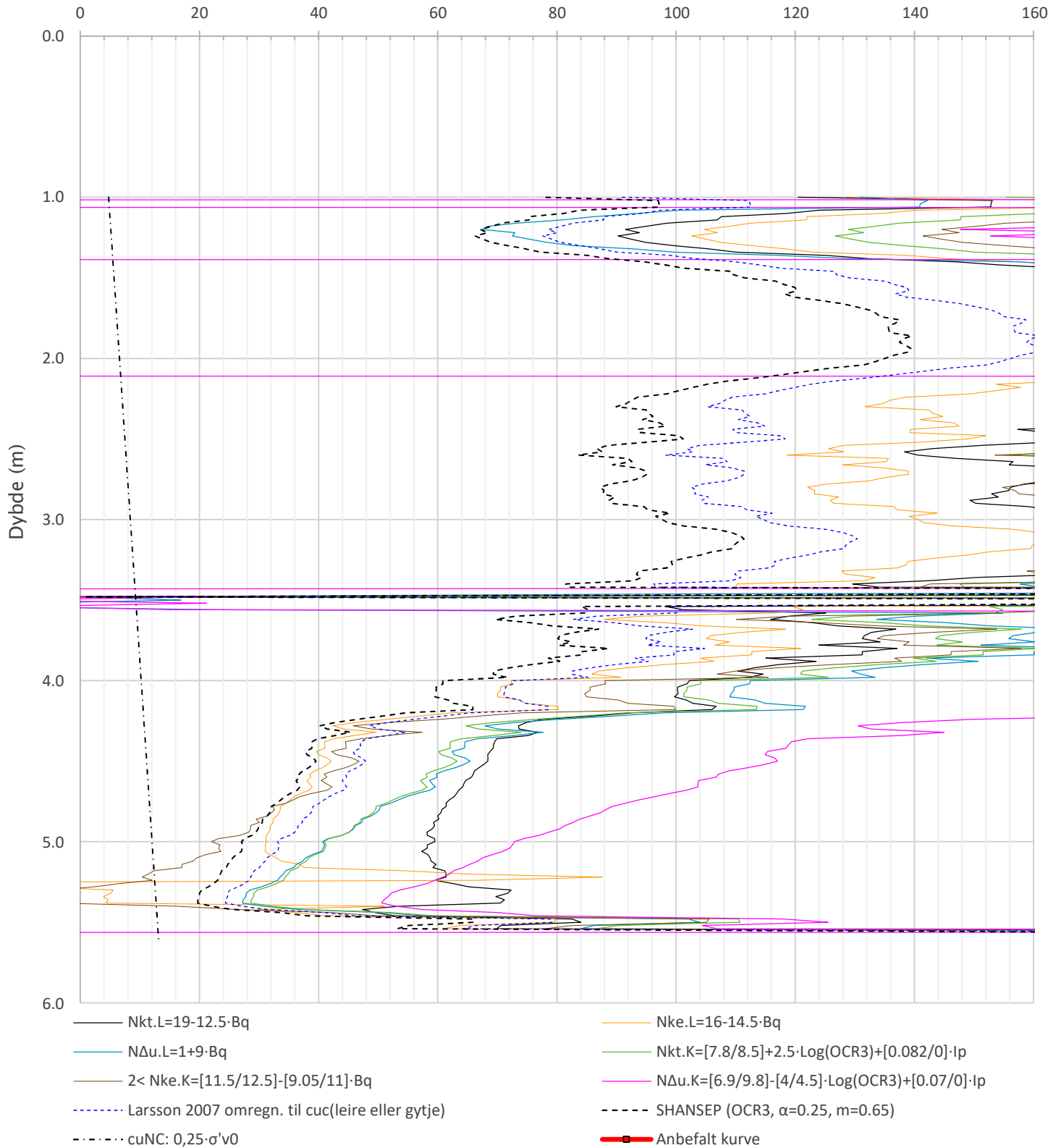



Prosjekt		Prosjektnummer: 900078 Rapportnummer: MIP-00-A-14024		Borhull	Kote +109.7
<b>Ski Hensetting</b>				<b>31</b>	
Innhold				Sondennummer	
Avledede dimensjonsløse forhold				<b>4634</b>	
 <b>Statens vegvesen</b>	Utført	Kontrollert	Godkjent	Anvend.klasse	<b>1</b>
	SOHJ	ABC	TTR	Figur	<b>4</b>
	Divisjon	Dato sondering	Revisjon		
	Ekstern konsulent	12.08.2021	Rev. dato		

**B46**

# MIP-00-A-14025 - SuA-profil, CPTu med labdata og NIFS tolkning

Udrenert aktiv skjærfasthet,  $c_{ucptu}$  (kPa)

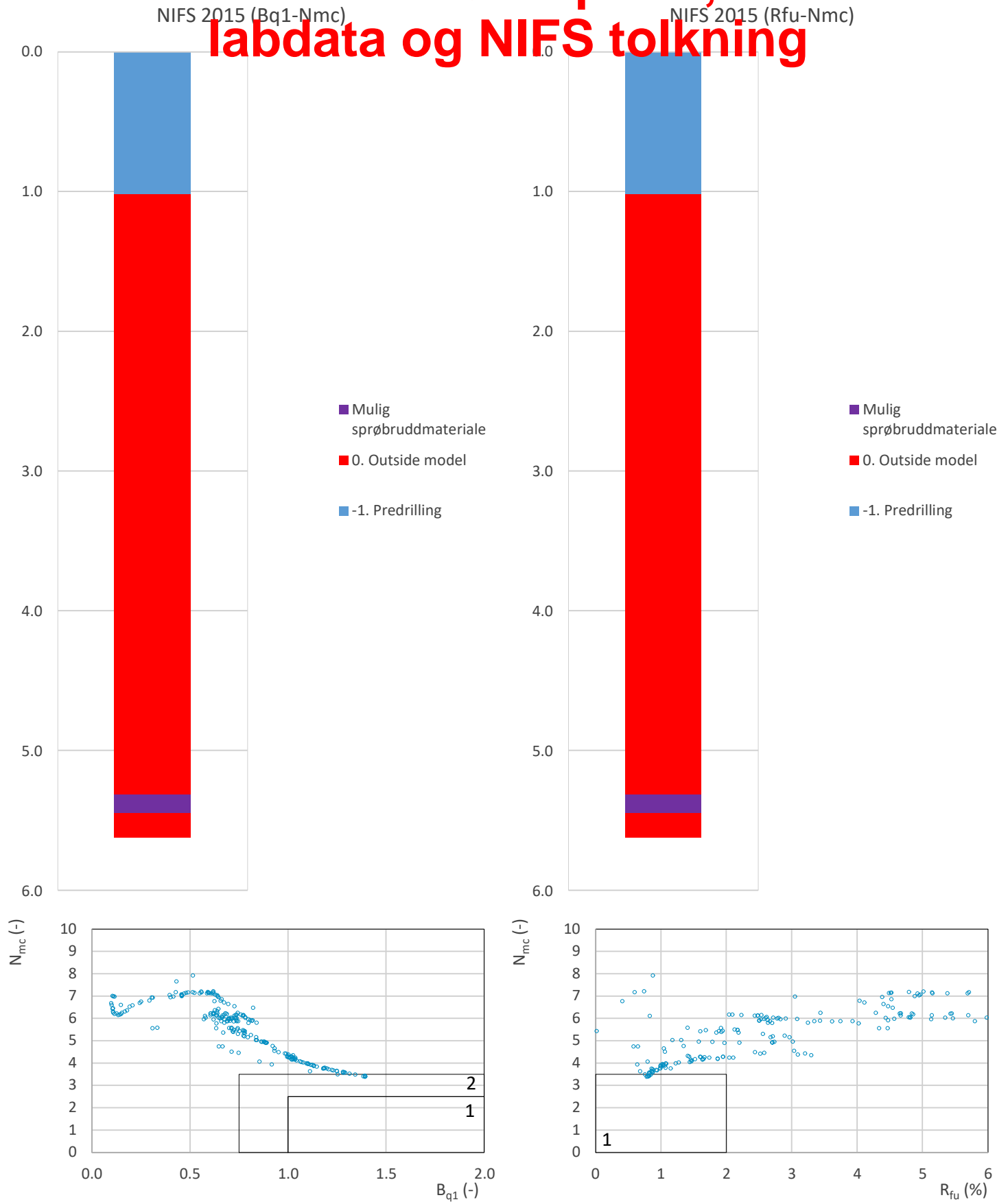


Prosjekt <b>Ski Hensetting</b>	Prosjektnummer: 900078 Rapportnummer: MIP-00-A-14024	Borhull Kote +109.7 <b>31</b>
Innhold Tolkning av udrenert aktiv skjærfasthet		Sondennummer <b>4634</b>
 <b>Statens vegvesen</b>	Utført <b>SOHJ</b>	Kontrollert <b>ABC</b>
	Divisjon Ekstern konsulent	Dato sondering 12.08.2021
	Godkjent <b>TTR</b>	Anvend.klasse <b>1</b>
	Revisjon Rev. dato	Figur <b>5</b>

**B47**



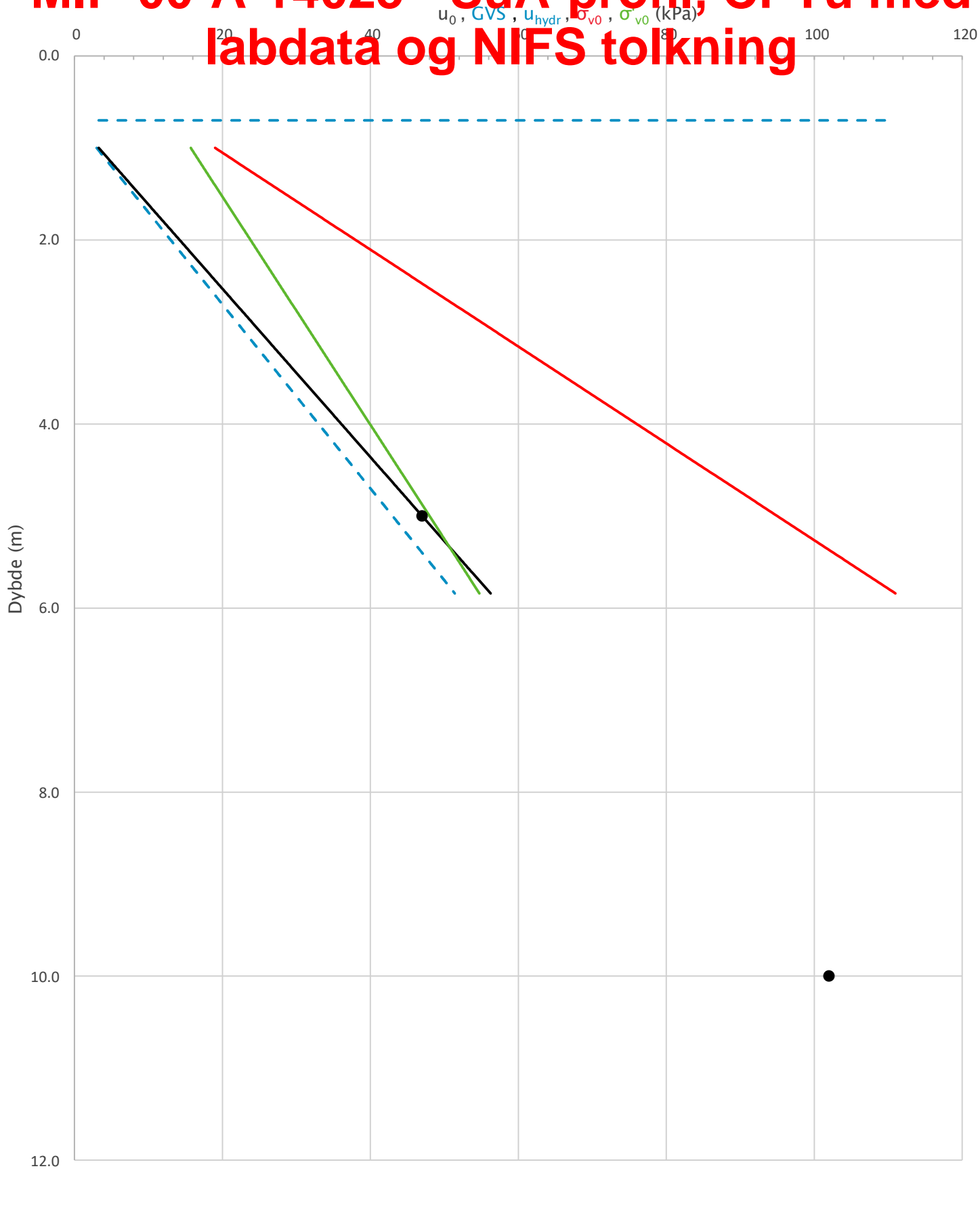
# MIP-00-A-14025 - SuA-profil, CPTu med labdata og NIFS tolkning



Prosjekt		Prosjektnummer: 900078 Rapportnummer: MIP-00-A-14024		Borhull	Kote +109.7
<b>Ski Hensetting</b>				<b>31</b>	
Innhold		Jordartsklassifisering etter NIFS 2015 – detektering av sensitive materialer		Sondennummer	<b>4634</b>
 <b>Statens vegvesen</b>	Utført	Kontrollert	Godkjent	Anvend.klasse	<b>1</b>
	SOHJ	ABC	TTR		
	Divisjon	Dato sondering	Revisjon	Figur	<b>21</b>
	Ekstern konsulent	12.08.2021	Rev. dato		

**B48**

# MIP-00-A-14025 - SuA-profil, CPTu med labdata og NIFS tolkning

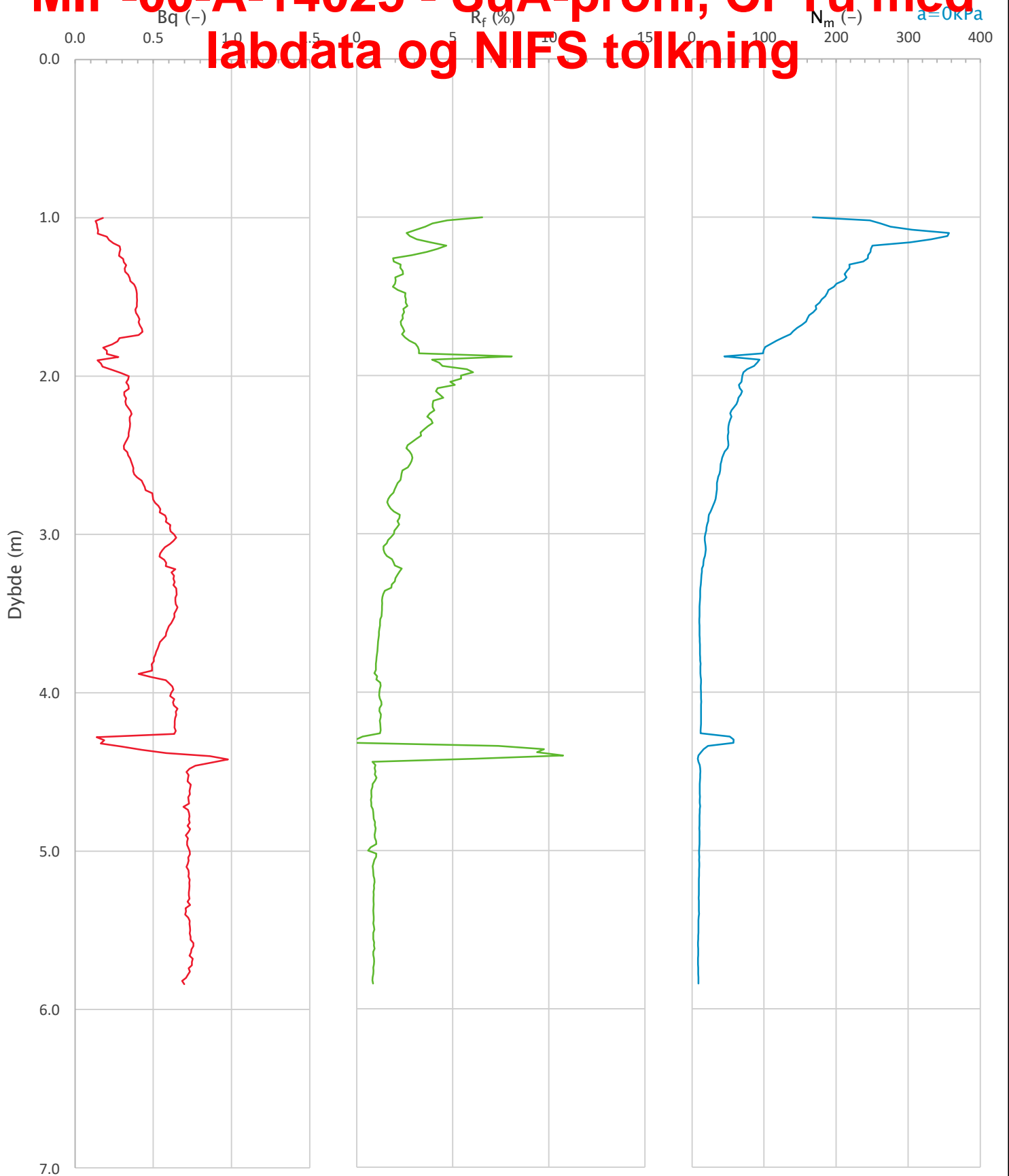



Prosjekt <b>Ski Hensetting</b>			Borhull <b>32</b>
Innhold In-situ poretrykk, total- og effektiv vertikalspenning i beregninger			Sondennummer <b>4634</b>
 <b>Statens vegvesen</b>	Utført SOHJ	Kontrollert ABC	Godkjent TTR
	Divisjon Ekstern konsulent	Dato sondering 12.08.2021	Revisjon Rev. dato
			Anvend.klasse <b>1</b>
			Figur <b>2</b>

**B49**



# MIP-00-A-14025 - SuA-profil, CPTu med labdata og NIFS tolkning

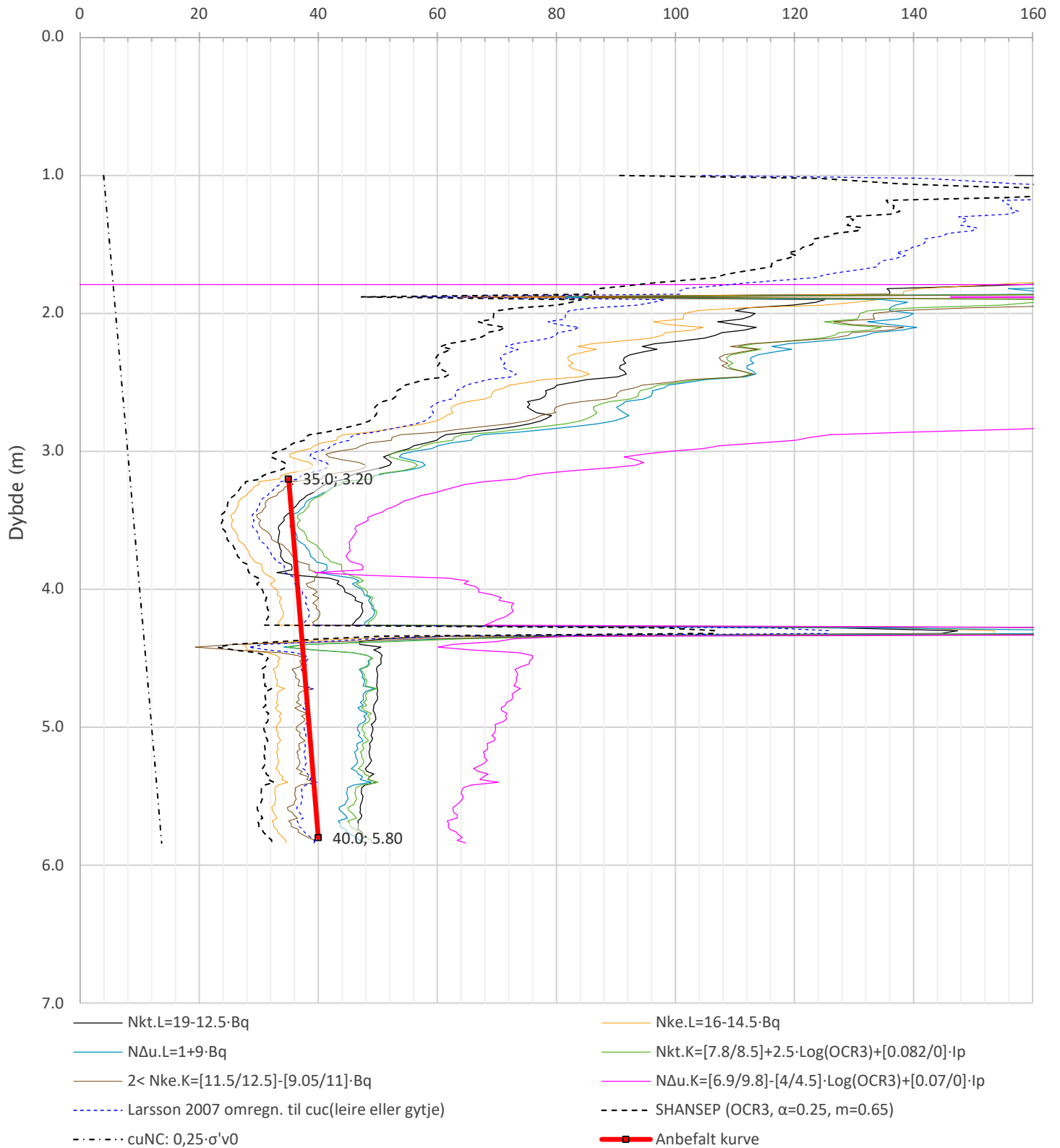



Prosjekt <b>Ski Hensetting</b>			Borhull <b>32</b>
Innhold Avledede dimensjonsløse forhold			Sondennummer <b>4634</b>
 <b>Statens vegvesen</b>	Utført SOHJ	Kontrollert ABC	Godkjent TTR
	Divisjon Ekstern konsulent	Dato sondering 12.08.2021	Revisjon Rev. dato
			Anvend.klasse <b>1</b>
			Figur <b>4</b>

**B50**

# MIP-00-A-14025 - SuA-profil, CPTu med labdata og NIFS tolkning

Udrenert aktiv skjærfasthet,  $c_{ucptu}$  (kPa)

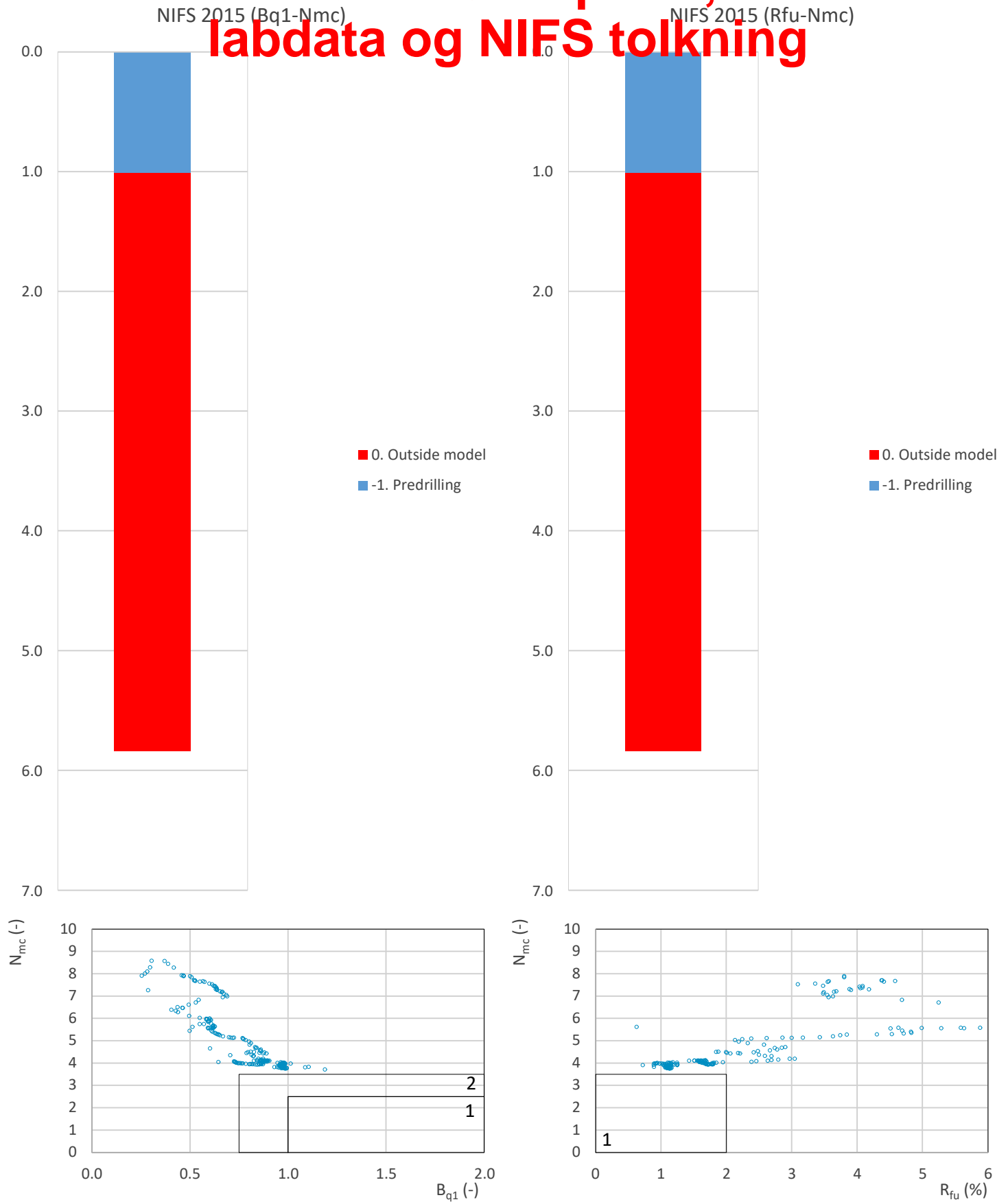



Prosjekt <b>Ski Hensetting</b>			Borhull <b>32</b>
Innhold Tolkning av udrenert aktiv skjærfasthet			Sondennummer <b>4634</b>
 <b>Statens vegvesen</b>	Utført <b>SOHJ</b>	Kontrollert <b>ABC</b>	Godkjent <b>TTR</b>
	Divisjon <b>Ekstern konsulent</b>	Dato sondering <b>12.08.2021</b>	Revisjon Rev. dato
			Anvend.klasse <b>1</b>
			Figur <b>5</b>

**B51**



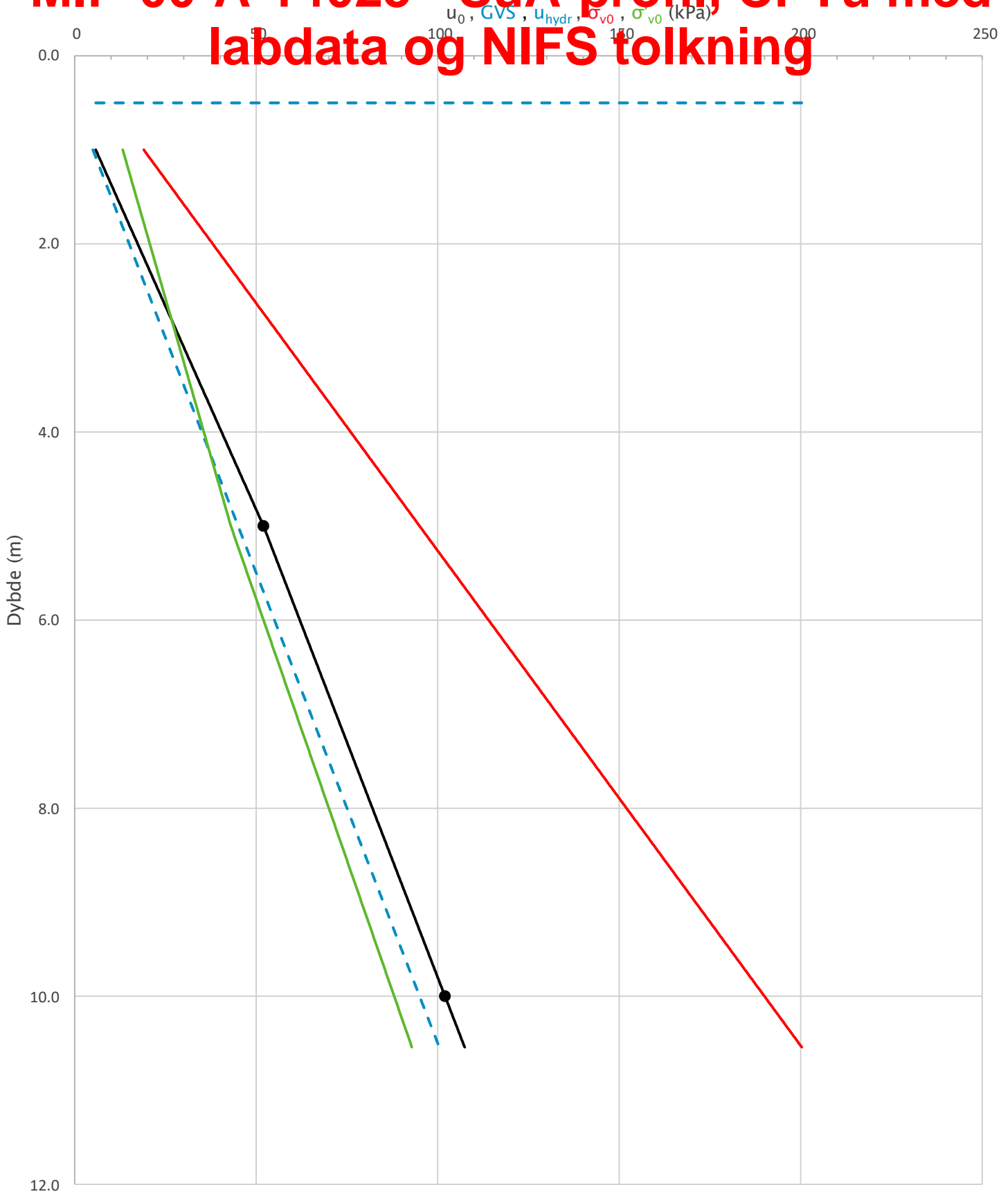
# MIP-00-A-14025 - SuA-profil, CPTu med labdata og NIFS tolkning



Prosjekt			<b>Ski Hensetting</b>		Borhull	<b>32</b>
Innhold			Jordartsklassifisering etter NIFS 2015 - detektering av sensitive materialer		Sondennummer	<b>4634</b>
 <b>Statens vegvesen</b>	Utført	SOHJ	Kontrollert	ABC	Godkjent	TTR
	Divisjon	Ekstern konsulent	Dato sondering	12.08.2021	Revisjon	
					Anvend.klasse	<b>1</b>
					Figur	<b>21</b>

**B52**

# MIP-00-A-14025 - SuA-profil, CPTu med labdata og NIFS tolkning

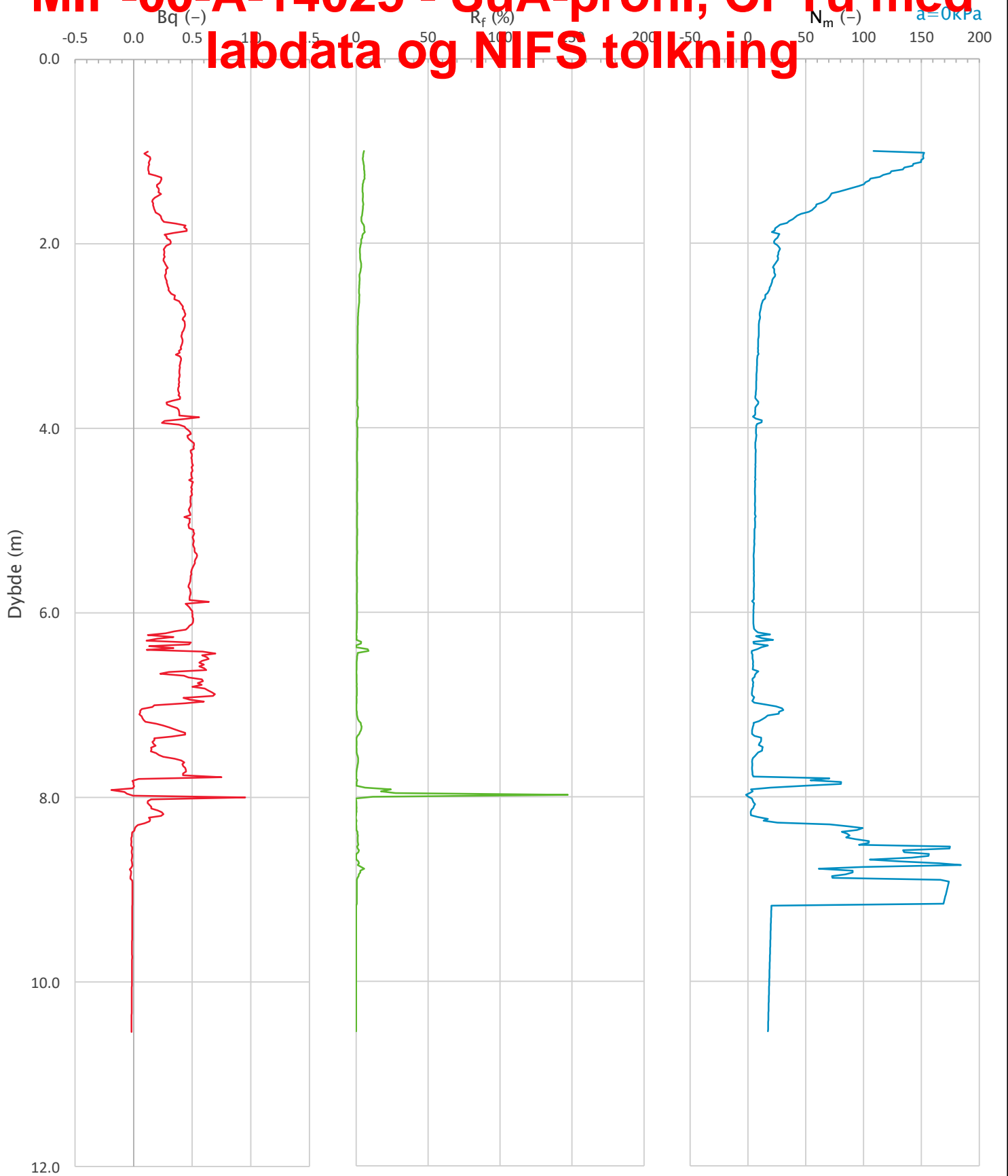



Prosjekt		Prosjektnummer: 900078 Rapportnummer: MIP-00-A-14024		Borhull	Kote +98.8
<b>Ski Hensetting</b>				<b>33</b>	
Innhold				Sondennummer	
In-situ poretrykk, total- og effektiv vertikalspenning i beregninger				<b>4634</b>	
 <b>Statens vegvesen</b>	Utført	Kontrollert	Godkjent	Anvend.klasse	1
	SOHJ	ABC	TTR		
	Divisjon	Dato sondering	Revisjon	Figur	2
	Ekstern konsulent	12.08.2021	Rev. dato		

**B53**



# MIP-00-A-14025 - SuA-profil, CPTu med labdata og NIFS tolkning



Prosjekt		Prosjektnummer: 900078 Rapportnummer: MIP-00-A-14024		Borhull	Kote +98.8
<b>Ski Hensetting</b>				<b>33</b>	
Innhold				Sondennummer	
Avledede dimensjonsløse forhold				<b>4634</b>	
 <b>Statens vegvesen</b>	Utført	Kontrollert	Godkjent	Anvend.klasse	1
	SOHJ	ABC	TTR		
	Divisjon	Dato sondering	Revisjon	Figur	4
	Ekstern konsulent	12.08.2021	Rev. dato		

**B54**

# MIP-00-A-14025 - SuA-profil, CPTu med labdata og NIFS tolkning

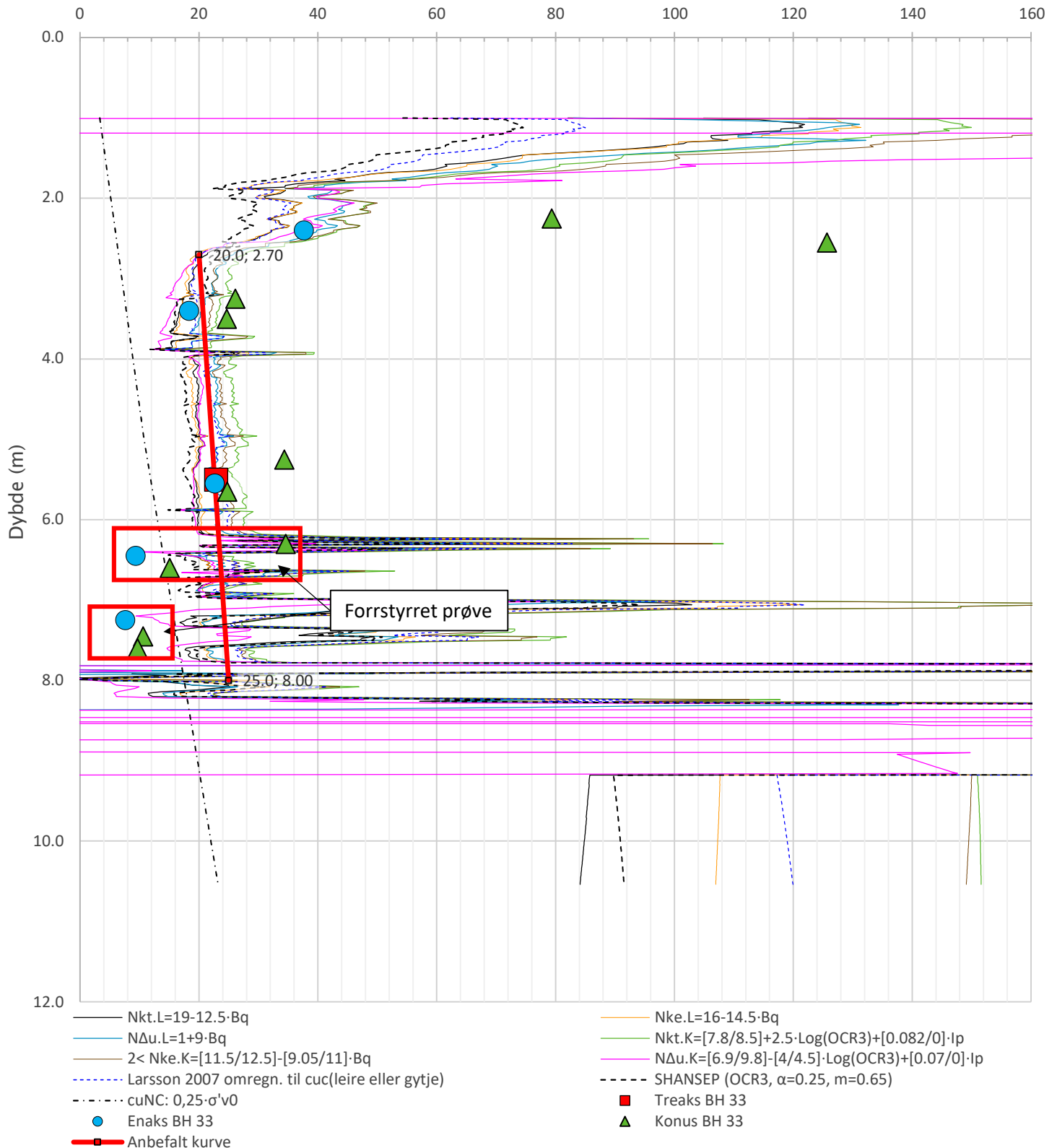
Anisotropiforhold i figur.


Treaks BH 33:  $c_uC/c_{ucptu} = 1.000$

Enaks BH 33:  $c_{uc}/c_{ucptu} = 1.000$  (min: 0.630 max: 0.650)

Konus BH 33:  $c_{ufc}/c_{ucptu} = \text{var. (min:0.630 max:0.650)}$

Udrenert aktiv skjærfasthet,  $c_{ucptu}$  (kPa)

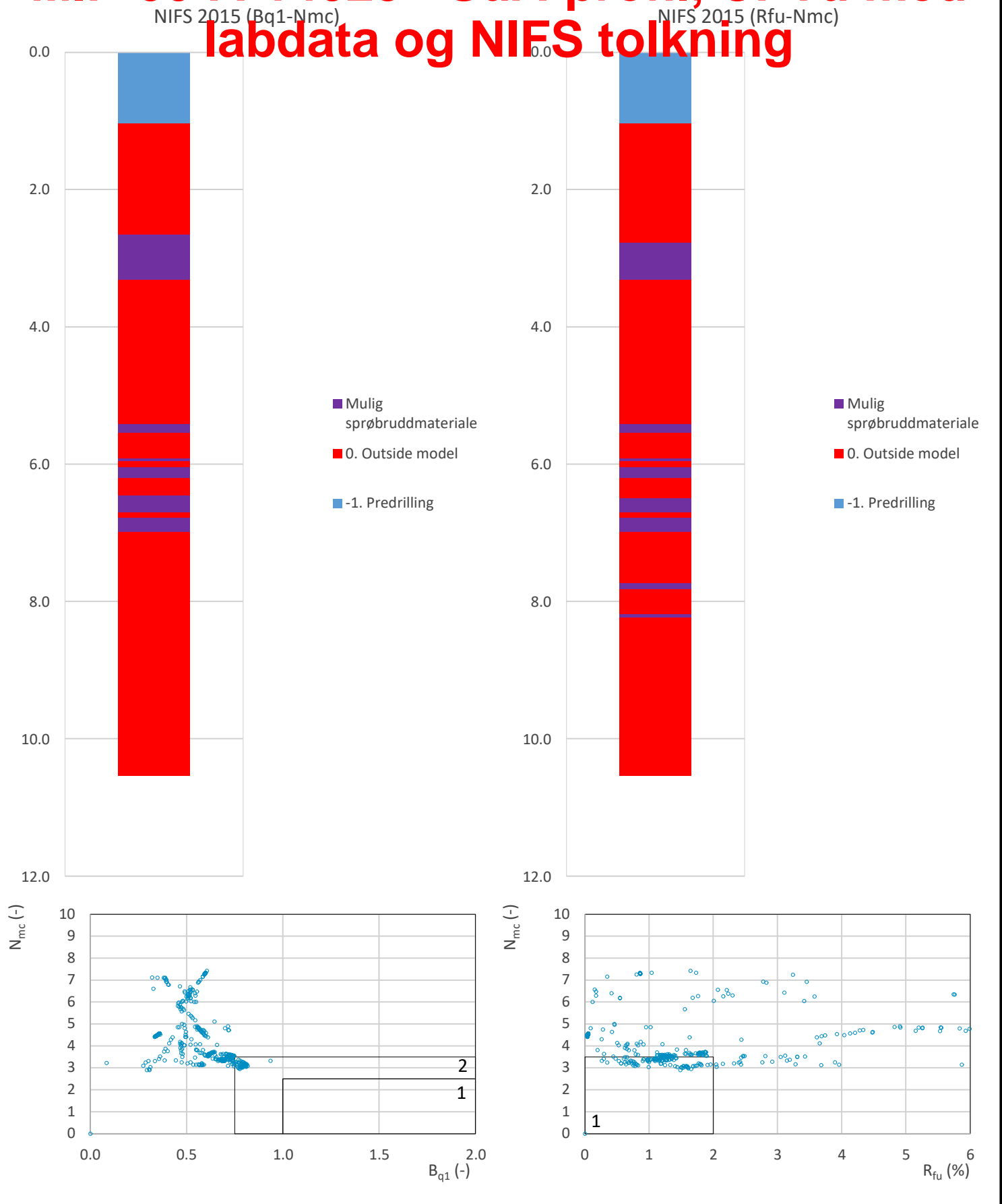



Prosjekt <b>Ski Hensetting</b>	Prosjektnummer: 900078 Rapportnummer: MIP-00-A-14024	Borhull <b>33</b>	Kote +98.8
Innhold Tolkning av udrenert aktiv skjærfasthet		Sondennummer <b>4634</b>	
 <b>Statens vegvesen</b>	Utført <b>SOHJ</b>	Kontrollert <b>ABC</b>	Godkjent <b>TTR</b>
	Divisjon <b>Ekstern konsulent</b>	Dato sondering <b>12.08.2021</b>	Revisjon Rev. dato
		Anvend.klasse <b>1</b>	Figur <b>5</b>

**B55**



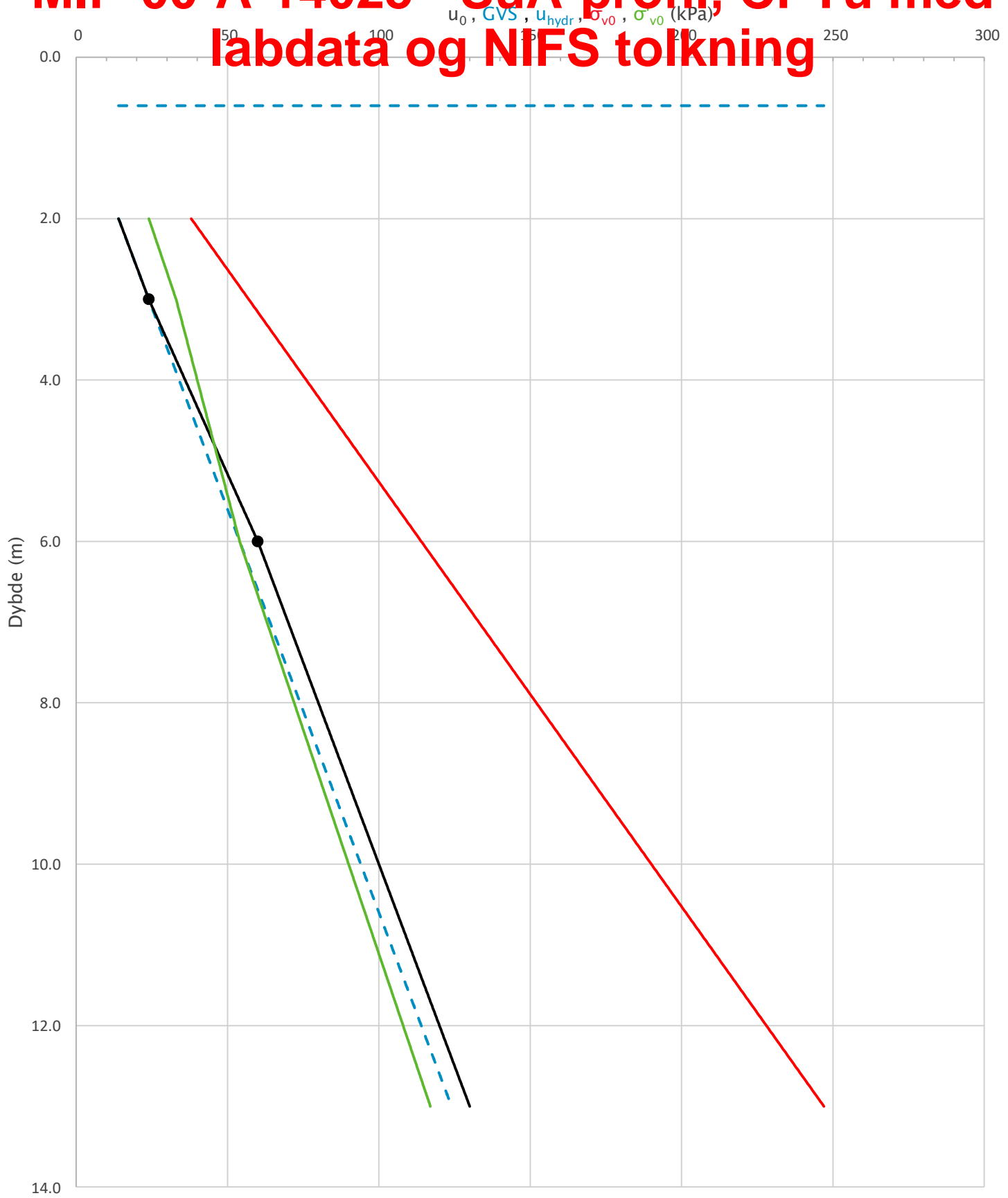
# MIP-00-A-14025 - SuA-profil, CPTu med labdata og NIFS tolkning



Prosjekt		Prosjektnummer: 900078 Rapportnummer: MIP-00-A-14024		Borhull	Kote +98.8
<b>Ski Hensetting</b>				<b>33</b>	
Innhold		Jordartsklassifisering etter NIFS 2015 – detektering av sensitive materialer		Sondennummer	<b>4634</b>
 <b>Statens vegvesen</b>	Utført	Kontrollert	Godkjent	Anvend.klasse	<b>1</b>
	SOHJ	ABC	TTR	Figur	<b>21</b>
	Divisjon	Dato sondering	Revisjon		
	Ekstern konsulent	12.08.2021	Rev. dato		

**B56**

# MIP-00-A-14025 - SuA-profil, CPTu med labdata og NIFS tolkning

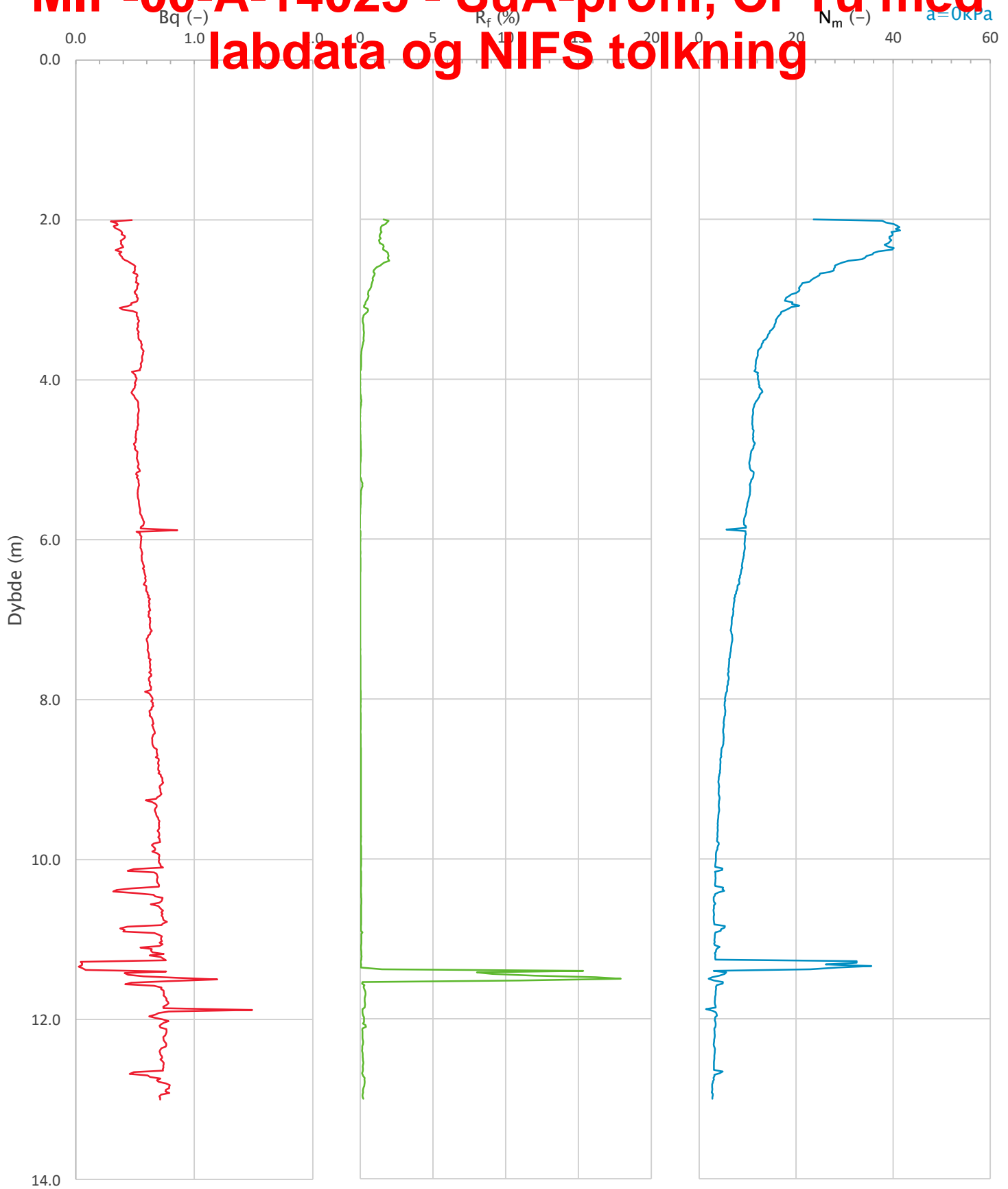



Prosjekt			<b>Ski Hensetting</b>		Borhull	<b>43</b>
Innhold			In-situ poretrykk, total- og effektiv vertikalspenning i beregninger		Sondennummer	<b>5310</b>
 <b>Statens vegvesen</b>	Utført	SOHJ	Kontrollert	ABC	Godkjent	TTR
	Divisjon	Utbygging	Dato sondering	30.06.2021	Revisjon	Rev. dato
					Anvend.klasse	<b>1</b>
					Figur	<b>2</b>

**B57**



# MIP-00-A-14025 - SuA-profil, CPTu med labdata og NIFS tolkning



Prosjekt <b>Ski Hensetting</b>			Borhull <b>43</b>
Innhold Avledede dimensjonsløse forhold			Sondennummer <b>5310</b>
 <b>Statens vegvesen</b>	Utført <b>SOHJ</b>	Kontrollert <b>ABC</b>	Godkjent <b>TTR</b>
	Divisjon <b>Utbygging</b>	Dato sondering <b>30.06.2021</b>	Revisjon Rev. dato
			Anvend.klasse Figur <b>4</b>

**B58**

# MIP-00-A-14025 - SuA-profil, CPTu med labdata og NIFS tolkning

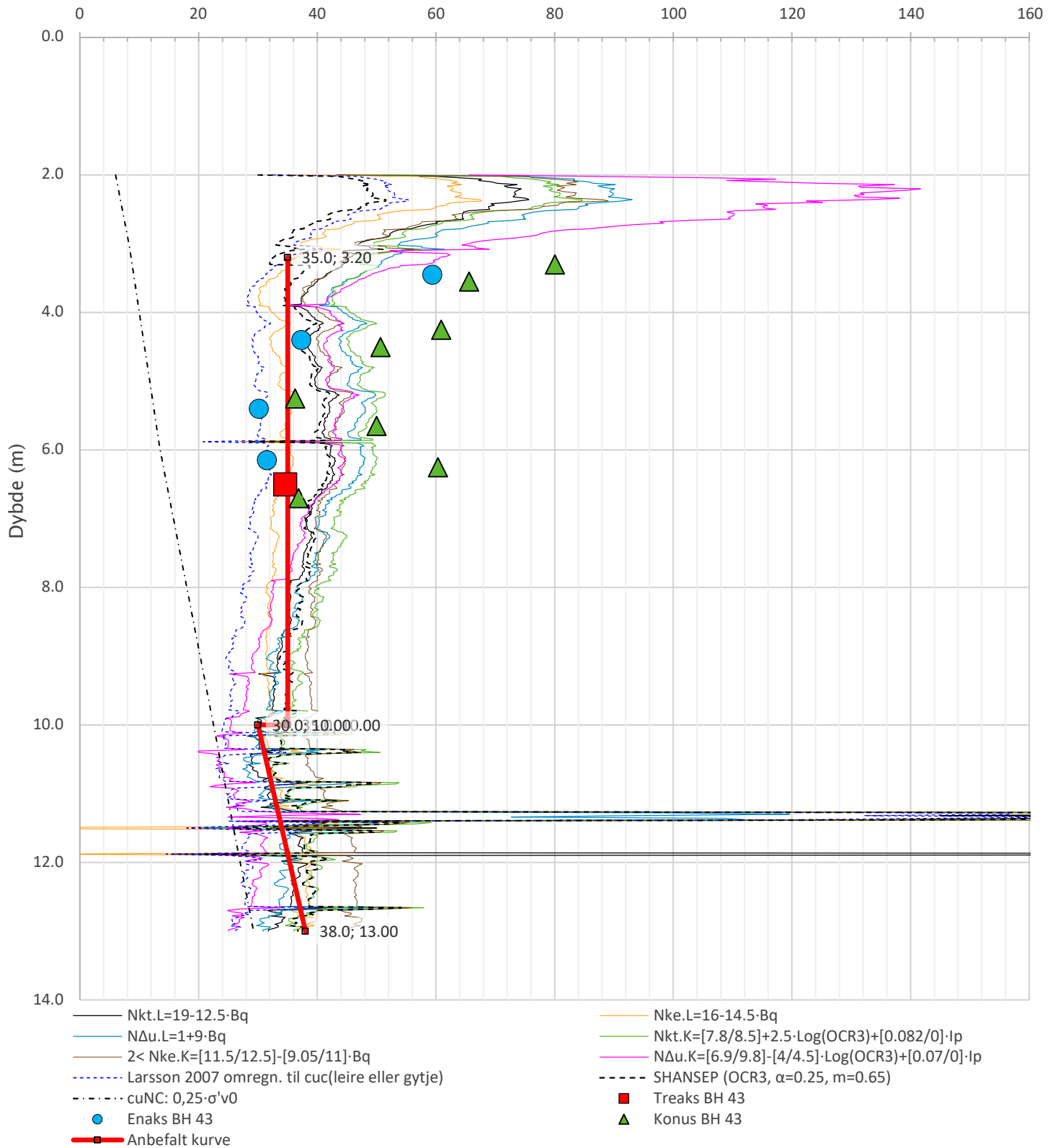
Anisotropiforhold i figur.


Treaks BH 43:  $c_uC/c_{ucptu} = 1.000$

Enaks BH 43:  $c_{uc}/c_{ucptu} = 1.000$  (min: 0.678 max: 0.714)

Konus BH 43:  $c_{ufc}/c_{ucptu} = \text{var. (min:0.678 max:0.714)}$

Udrenert aktiv skjærfasthet,  $c_{ucptu}$  (kPa)

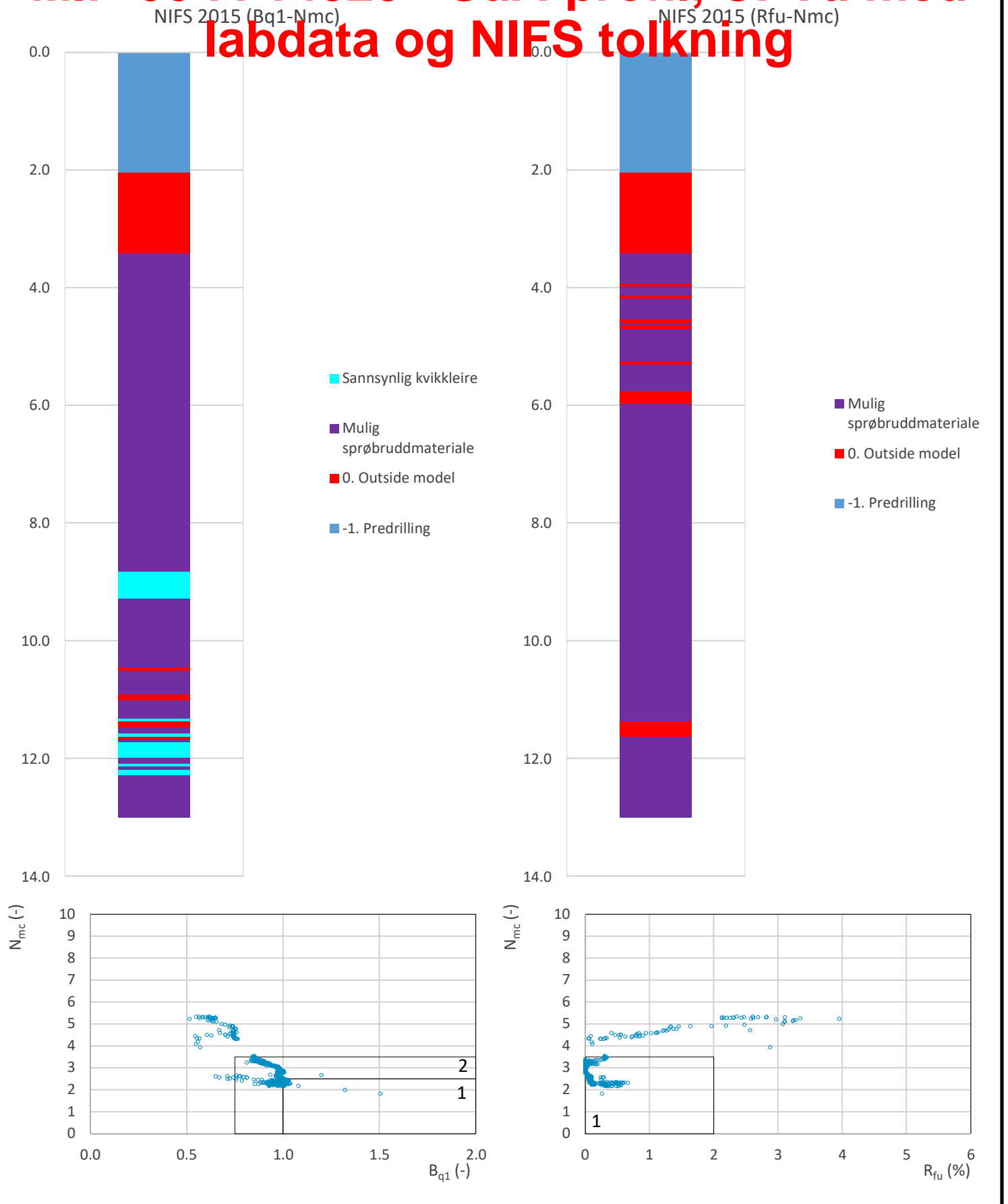



Prosjekt <b>Ski Hensetting</b>			Borhull <b>43</b>
Innhold Tolkning av udrenert aktiv skjærfasthet			Sondennummer <b>5310</b>
 <b>Statens vegvesen</b>	Utført <b>SOHJ</b>	Kontrollert <b>ABC</b>	Godkjent <b>TTR</b>
	Divisjon <b>Utbygging</b>	Dato sondering <b>30.06.2021</b>	Revisjon Rev. dato
			Anvend.klasse <b>5</b>

**B59**



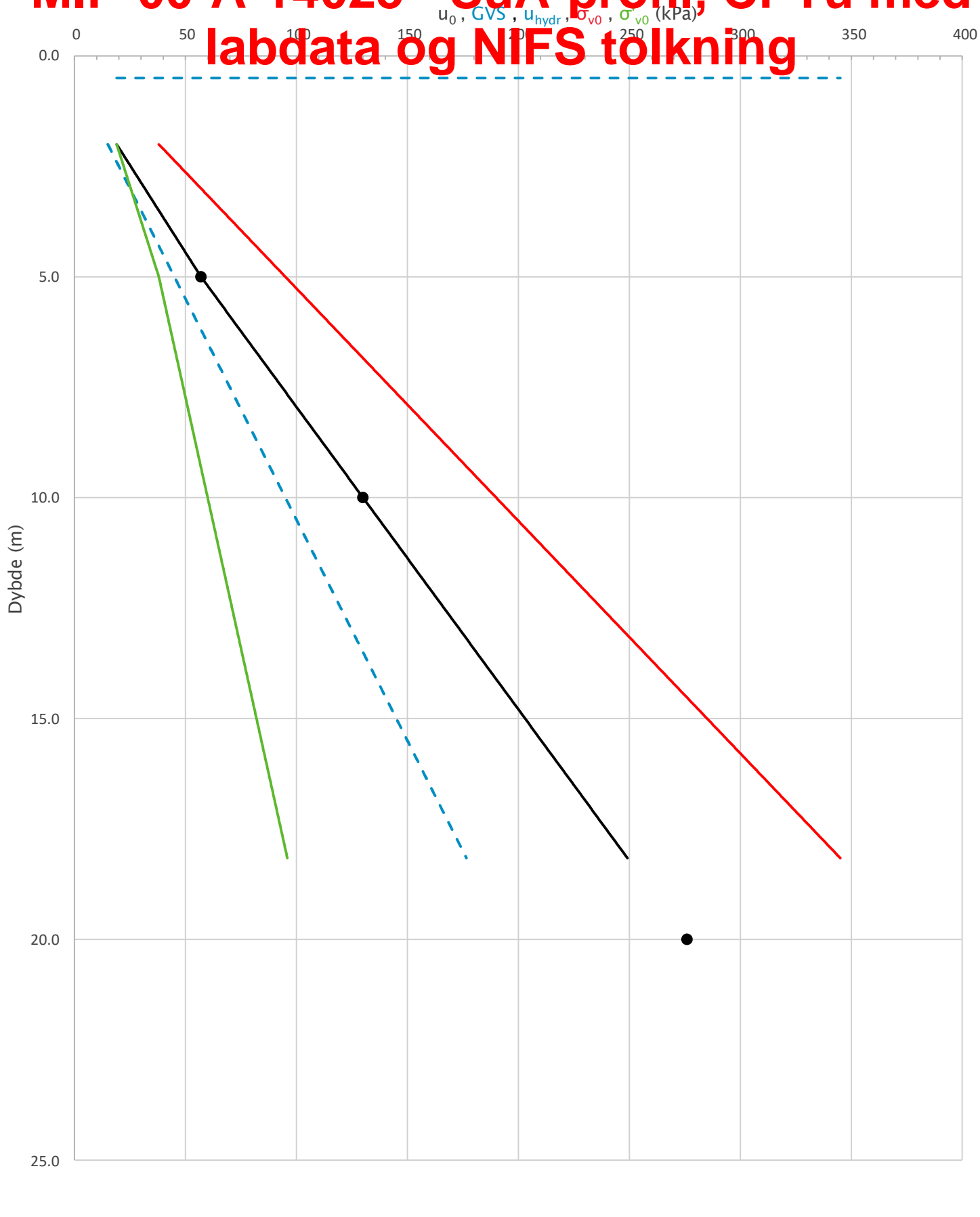
# MIP-00-A-14025 - SuA-profil, CPTu med labdata og NIFS tolkning




Prosjekt			<b>Ski Hensetting</b>		Borhull		<b>43</b>			
Innhold			Jordartsklassifisering etter NIFS 2015 – detektering av sensitive materialer				Sondenummer		<b>5310</b>	
 <b>Statens vegvesen</b>	Utført SOHJ		Kontrollert ABC		Godkjent TTR		Anvend.klasse			
	Divisjon Utbygging		Dato sondering 30.06.2021		Revisjon		Figur			<b>21</b>
				Rev. dato						

**B60**

# MIP-00-A-14025 - SuA-profil, CPTu med labdata og NIFS tolkning

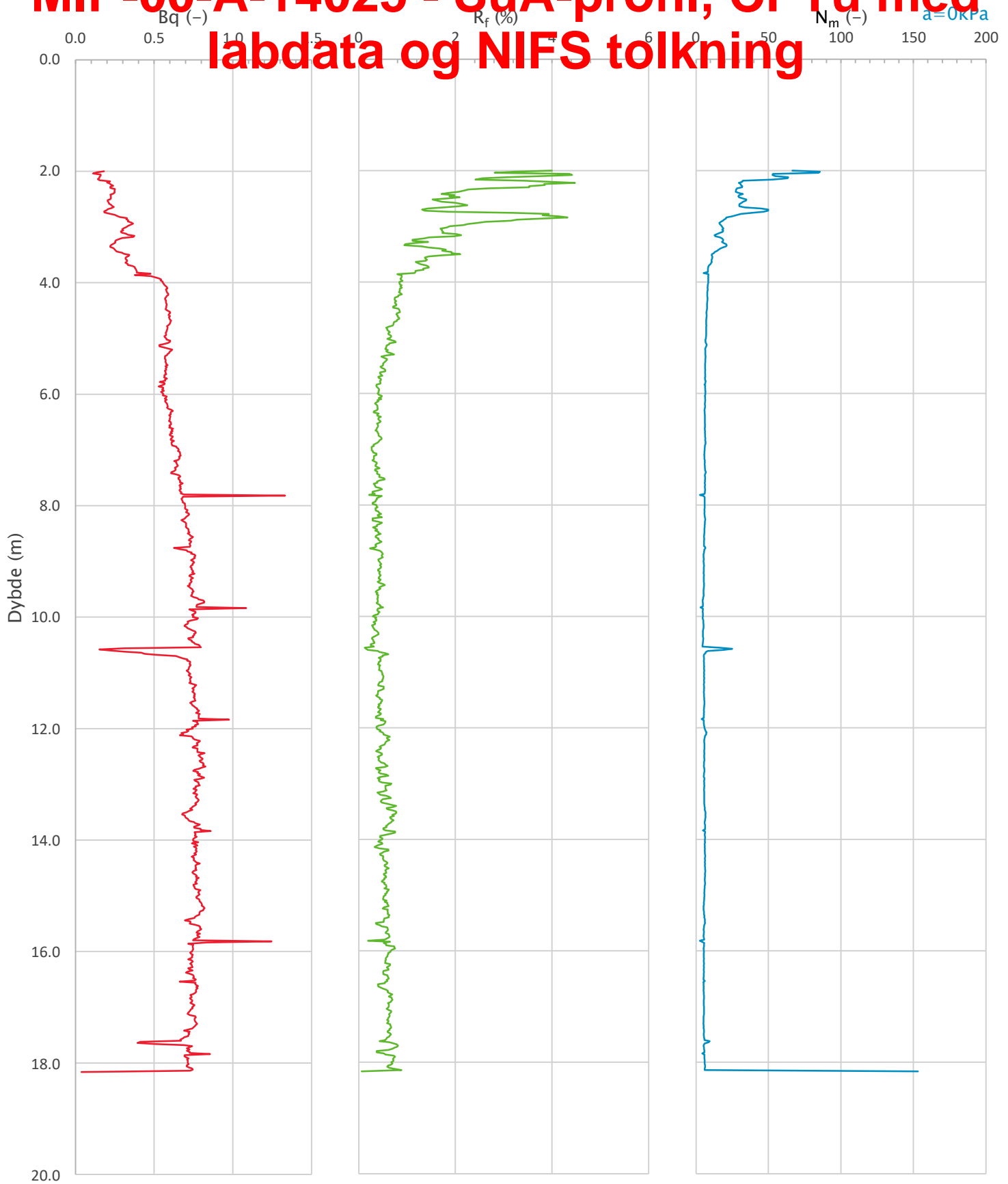



Prosjekt		Ski Hensetting		Prosjektnummer: SKI 60-01	Borhull
					57
Innhold				Sondenummer	
In-situ poretrykk, total- og effektiv vertikalspenning i beregninger				4634	
 <b>Statens vegvesen</b>	Utført	Kontrollert	Godkjent	Anvend.klasse	
	SOHJ	ABC	TTR	1	
	Divisjon	Dato sondering	Revisjon	Figur	
	Utbygging	10.08.2021	Rev. dato	2	

**B61**



# MIP-00-A-14025 - SuA-profil, CPTu med labdata og NIFS tolkning



Prosjekt		Ski Hensetting		Prosjektnummer: SKI 60-01	Borhull			
					57			
Innhold				Sondennummer				
Avledede dimensjonsløse forhold				4634				
 <b>Statens vegvesen</b>	Utført	SOHJ	Kontrollert	ABC	Godkjent	TTR	Anvend.klasse	1
	Divisjon	Utbygging	Dato sondering	10.08.2021	Revisjon		Figur	4
				Rev. dato				

**B62**

# MIP-00-A-14025 - SuA-profil, CPTu med labdata og NIFS tolkning

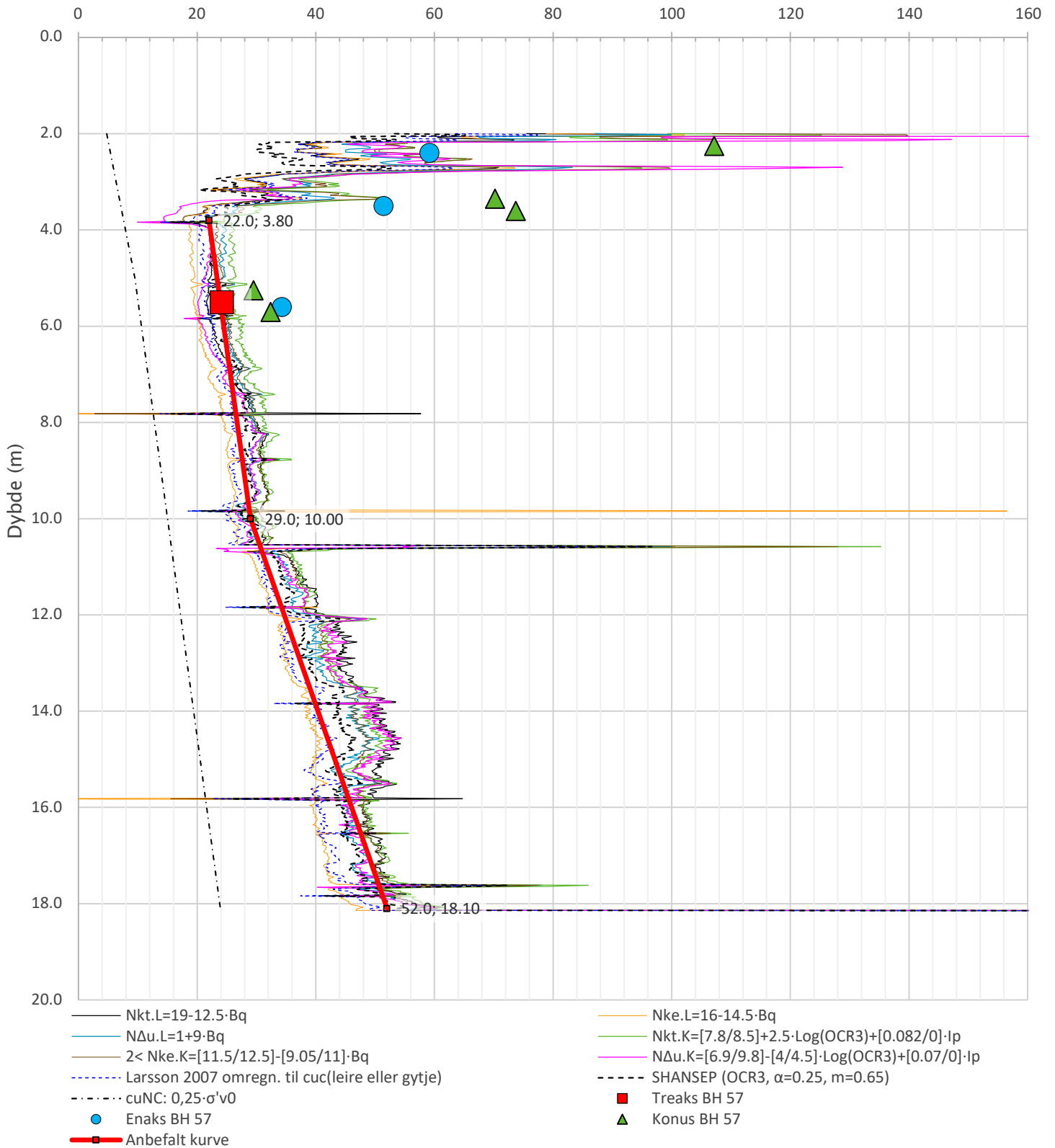
Anisotropiforhold i figur.


Treaks BH 57:  $c_{uC}/c_{uCPTu} = 1,000$

Enaks BH 57:  $c_{uuc}/c_{uucPTu} = \text{var. (min:0.630 max:0.634)}$

Konus BH 57:  $c_{ufc}/c_{ufcPTu} = \text{var. (min:0.630 max:0.634)}$

Udrenert aktiv skjærfasthet,  $c_{uCPTu}$  (kPa)

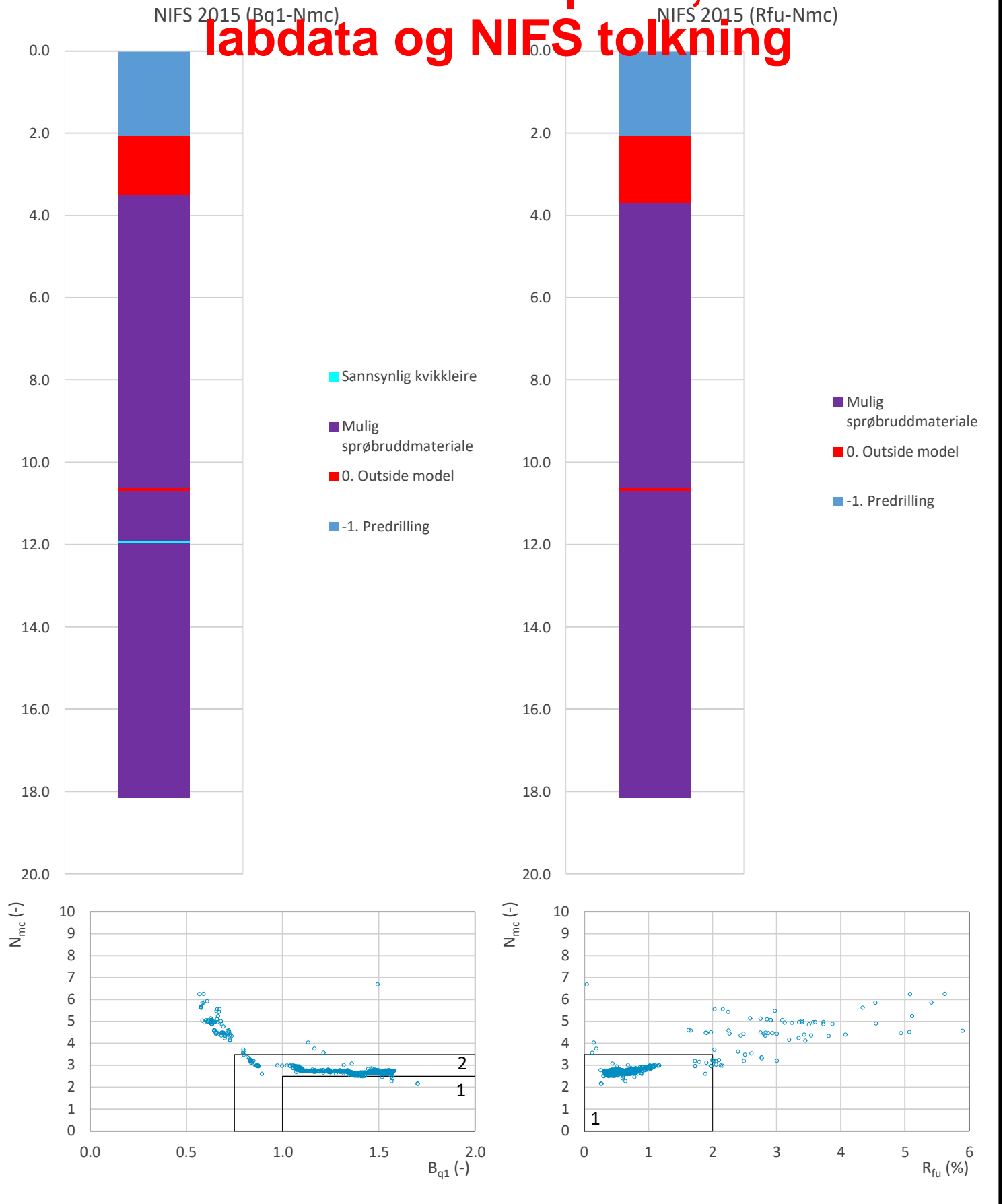



Prosjekt		Ski Hensetting		Prosjektnummer: SKI 60-01	Borhull
					57
Innhold					Sondennummer
Tolkning av udrenert aktiv skjærfasthet					4634
 Statens vegvesen	Utført	Kontrollert	Godkjent	Anvend.klasse	1
	SOHJ	ABC	TTR		
Divisjon	Dato sondering	Revisjon	Figur		5
Utbygging	10.08.2021	Rev. dato			

**B63**



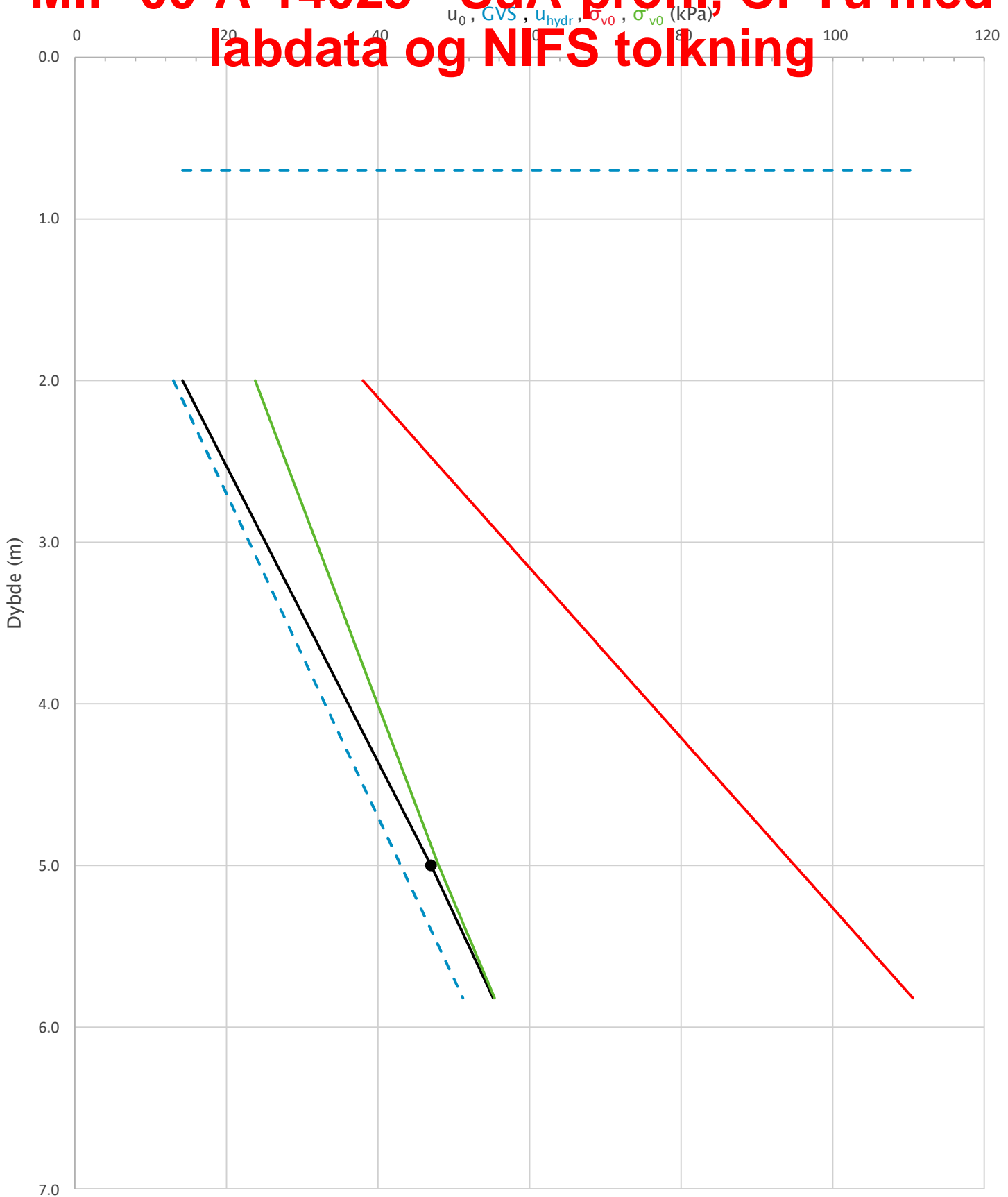
# MIP-00-A-14025 - SuA-profil, CPTu med labdata og NIFS tolkning



Prosjekt			Ski Hensetting		Prosjektnummer: SKI 60-01		Borhull			
							57			
Innhold			Jordartsklassifisering etter NIFS 2015 - detektering av sensitive materialer						Sondenummer	
									4634	
 <b>Statens vegvesen</b>	Utført SOHJ		Kontrollert ABC		Godkjent TTR		Anvend.klasse			
	Divisjon Utbygging		Dato sondering 10.08.2021		Revisjon		Figur			
				Rev. dato		1				
						21				

**B64**

# MIP-00-A-14025 - SuA-profil, CPTu med labdata og NIFS tolkning

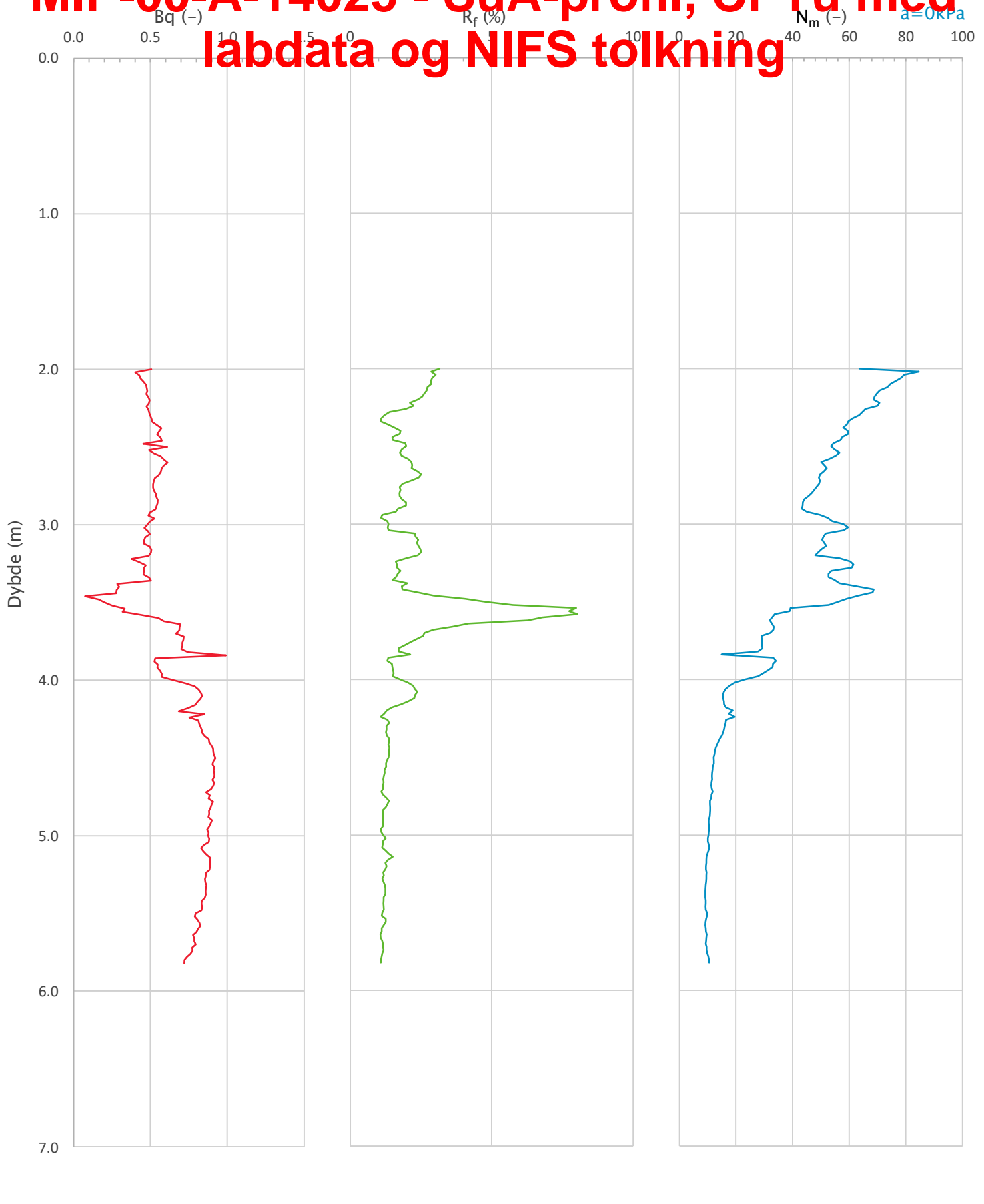



Prosjekt		Ski Hensetting		Prosjektnummer: SKI 60-10	Borhull
					58
Innhold				Sondennummer	
In-situ poretrykk, total- og effektiv vertikalspenning i beregninger				4634	
 <b>Statens vegvesen</b>	Utført	Kontrollert	Godkjent	Anvend.klasse	
	SOHJ	ABC	TTR	ASSE	
	Divisjon	Dato sondering	Revisjon	Figur	
	Utbygging	10.08.2021	Rev. dato	2	

**B65**



# MIP-00-A-14025 - SuA-profil, CPTu med labdata og NIFS tolkning



Prosjekt		Ski Hensetting		Prosjektnummer: SKI 60-10	Borhull			
					58			
Innhold					Sondennummer			
Avledede dimensjonsløse forhold					4634			
 <b>Statens vegvesen</b>	Utført	SOHJ	Kontrollert	ABC	Godkjent	TTR	Anvend.klasse	ASSE
	Divisjon	Utbygging	Dato sondering	10.08.2021	Revisjon		Figur	4
					Rev. dato			

**B66**

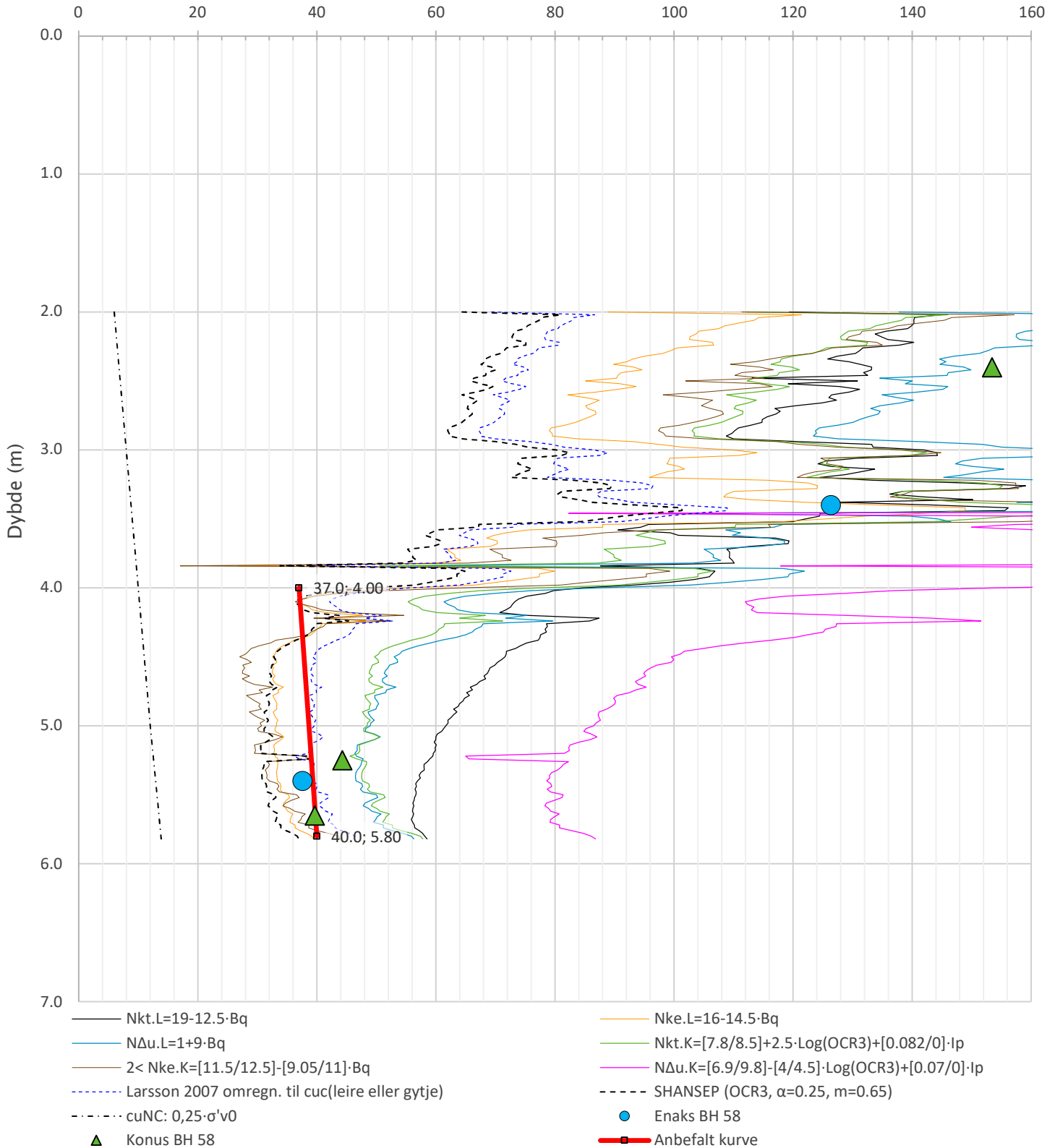
# MIP-00-A-14025 - SuA-profil, CPTu med labdata og NIFS tolkning


Anisotropiforhold i figur.

Enaks BH 58:  $c_{uc}/c_{ucptu} = \text{var. (min:0.630 max:0.676)}$

Konus BH 58:  $c_{ufc}/c_{ucptu} = \text{var. (min:0.637 max:0.676)}$

Udrenert aktiv skjærfasthet,  $c_{ucptu}$  (kPa)

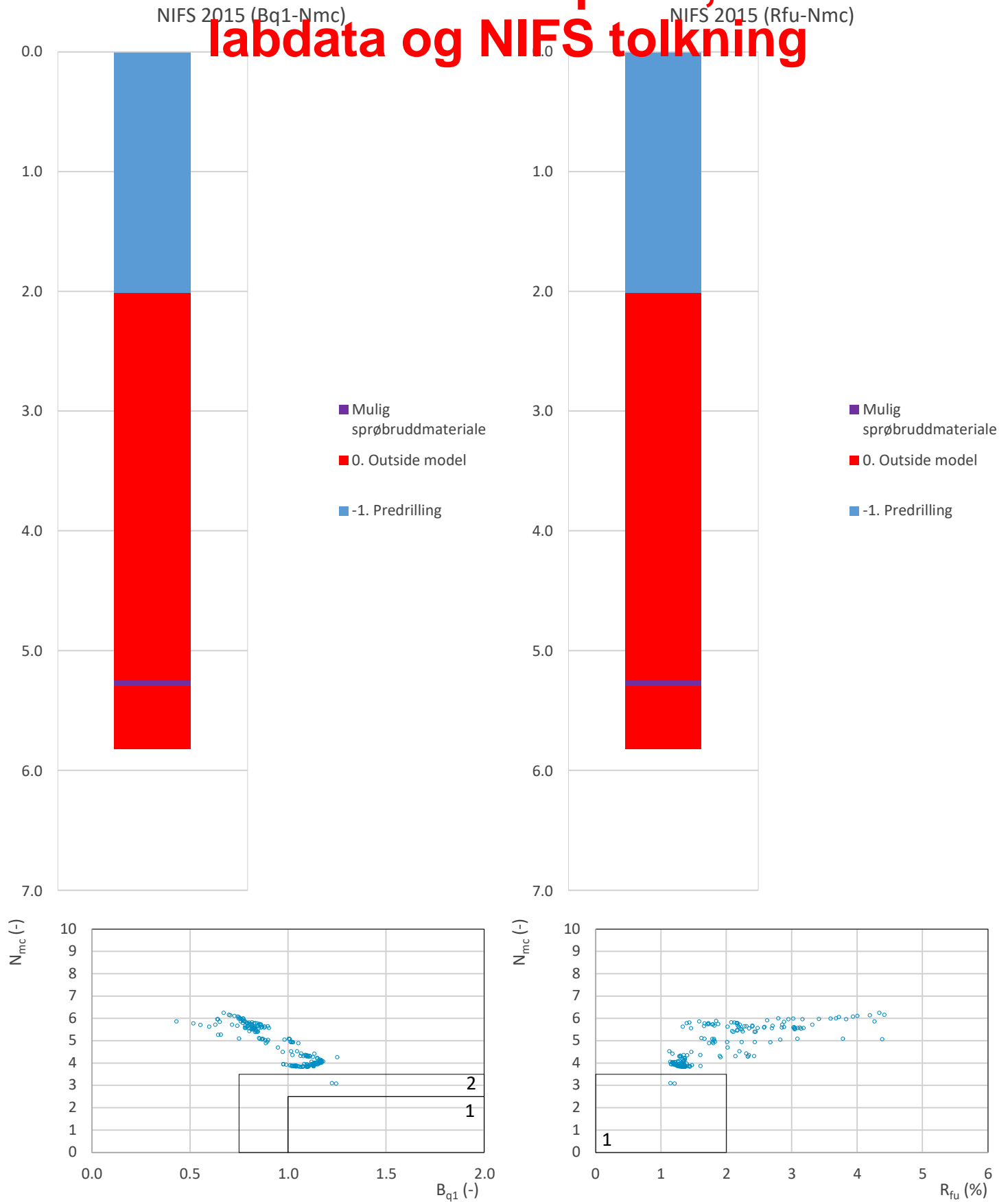



Prosjekt		Ski Hensetting		Prosjektnummer: SKI 60-10	Borhull
					58
Innhold		Tolkning av udrenert aktiv skjærfasthet		Sondennummer	4634
 Statens vegvesen	Utført	Kontrollert	Godkjent	Anvend.klasse	
	SOHJ	ABC	TTR	ASSE	
Divisjon	Dato sondering	Revisjon	Figur		
Utbygging	10.08.2021	Rev. dato	5		

**B67**



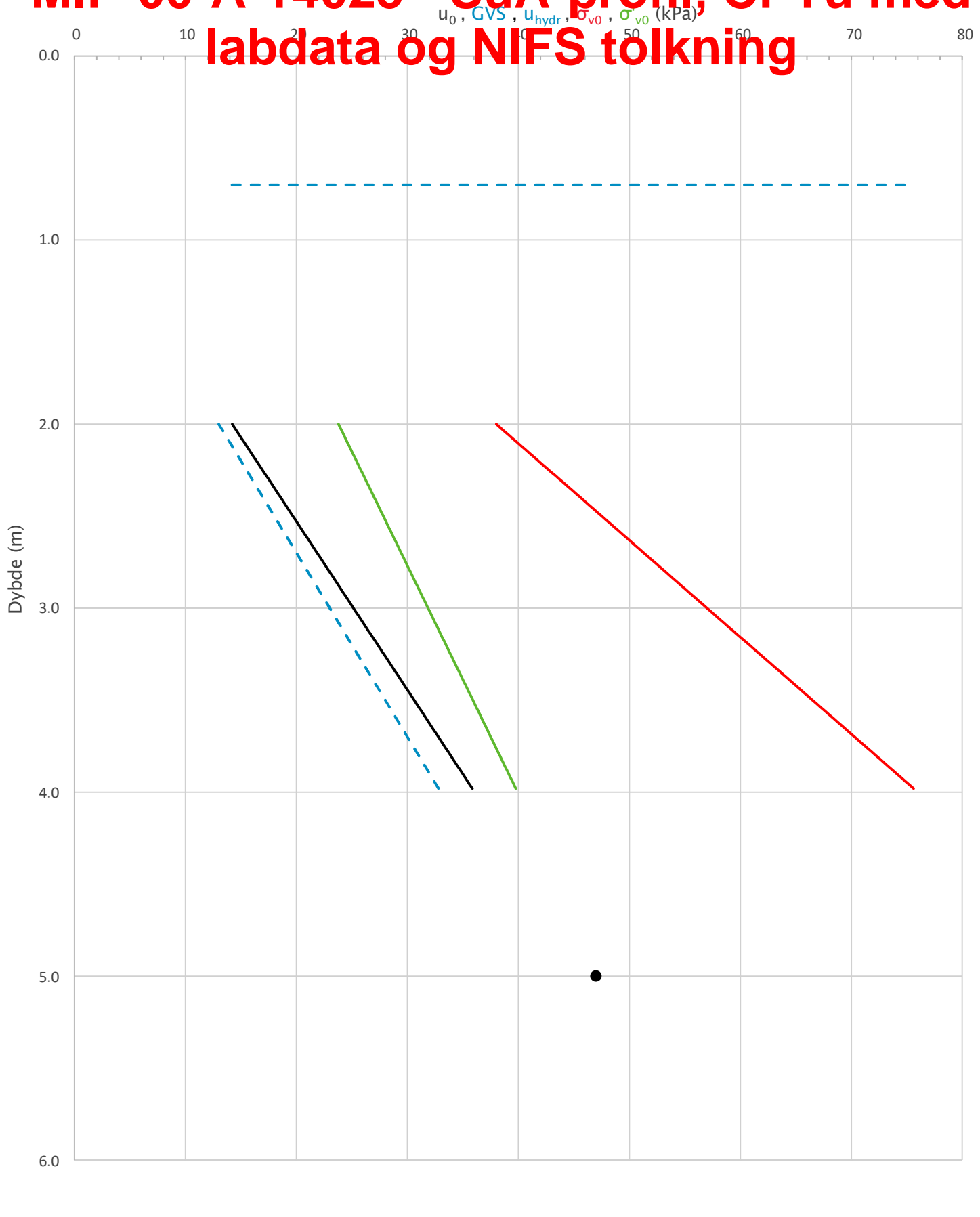
# MIP-00-A-14025 - SuA-profil, CPTu med labdata og NIFS tolkning



Prosjekt <b>Ski Hensetting</b>			Prosjektnummer: SKI 60-10	Borhull <b>58</b>
Innhold Jordartsklassifisering etter NIFS 2015 – detektering av sensitive materialer				Sondennummer <b>4634</b>
 <b>Statens vegvesen</b>	Utført <b>SOHJ</b>	Kontrollert <b>ABC</b>	Godkjent <b>TTR</b>	Anvend.klasse <b>ASSE</b>
	Divisjon <b>Utbygging</b>	Dato sondering <b>10.08.2021</b>	Revisjon Rev. dato	Figur <b>21</b>

**B68**

# MIP-00-A-14025 - SuA-profil, CPTu med labdata og NIFS tolkning

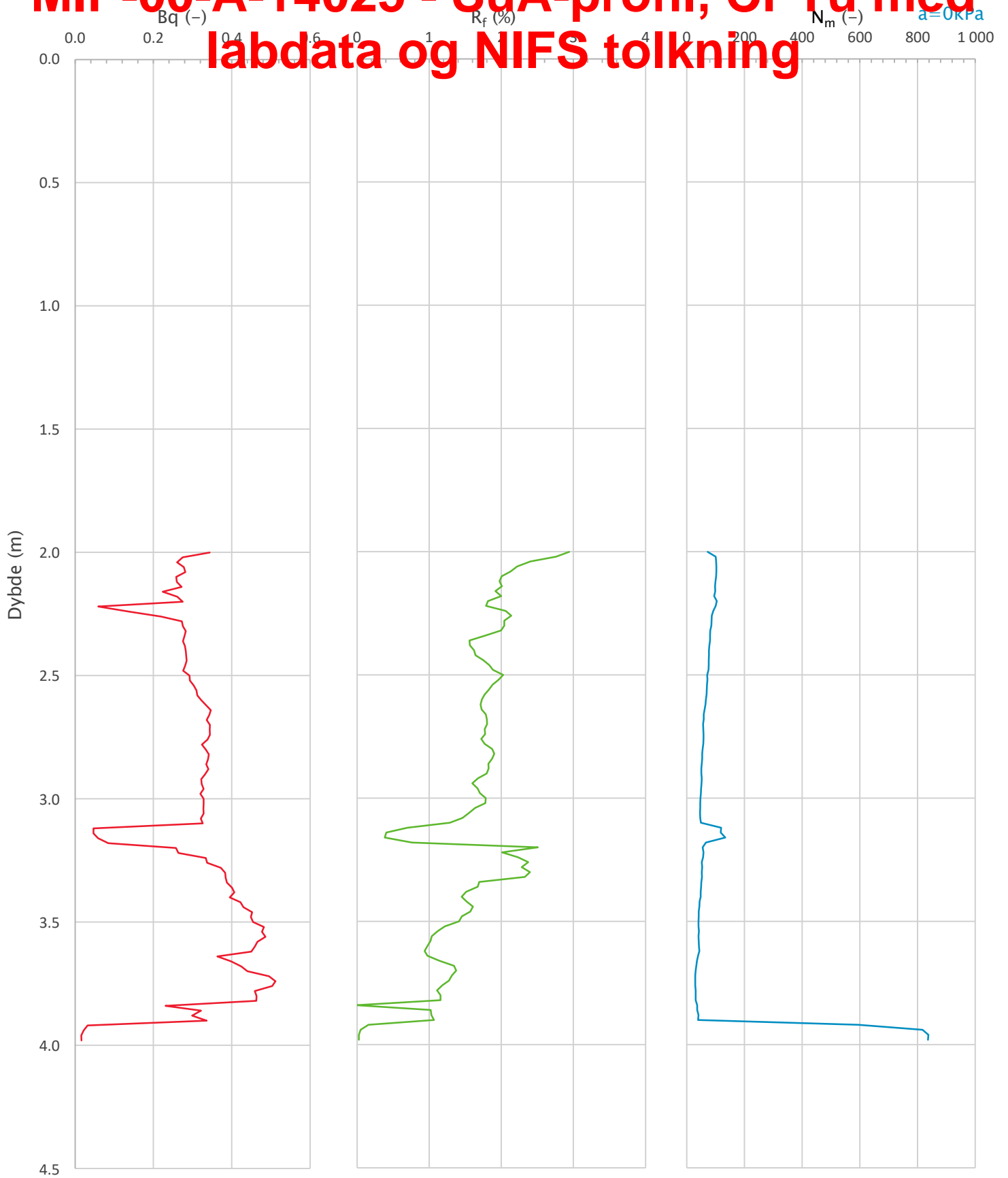



Prosjekt <b>Ski Hensetting</b>			Borhull <b>61</b>
Innhold In-situ poretrykk, total- og effektiv vertikalspenning i beregninger			Sondennummer <b>5310</b>
 <b>Statens vegvesen</b>	Utført SOHJ	Kontrollert ABC	Godkjent TTR
	Divisjon Utbygging	Dato sondering 28.06.2021	Revisjon Rev. dato
			Anvend.klasse <b>2</b>
			Figur <b>2</b>

**B69**



# MIP-00-A-14025 - SuA-profil, CPTu med labdata og NIFS tolkning



Prosjekt <b>Ski Hensetting</b>			Borhull <b>61</b>
Innhold Avledede dimensjonsløse forhold			Sondennummer <b>5310</b>
 <b>Statens vegvesen</b>	Utført <b>SOHJ</b>	Kontrollert <b>ABC</b>	Godkjent <b>TTR</b>
	Divisjon <b>Utbygging</b>	Dato sondering <b>28.06.2021</b>	Revisjon Rev. dato
			Anvend.klasse Figur <b>4</b>

**B70**

# MIP-00-A-14025 - SuA-profil, CPTu med labdata og NIFS tolkning

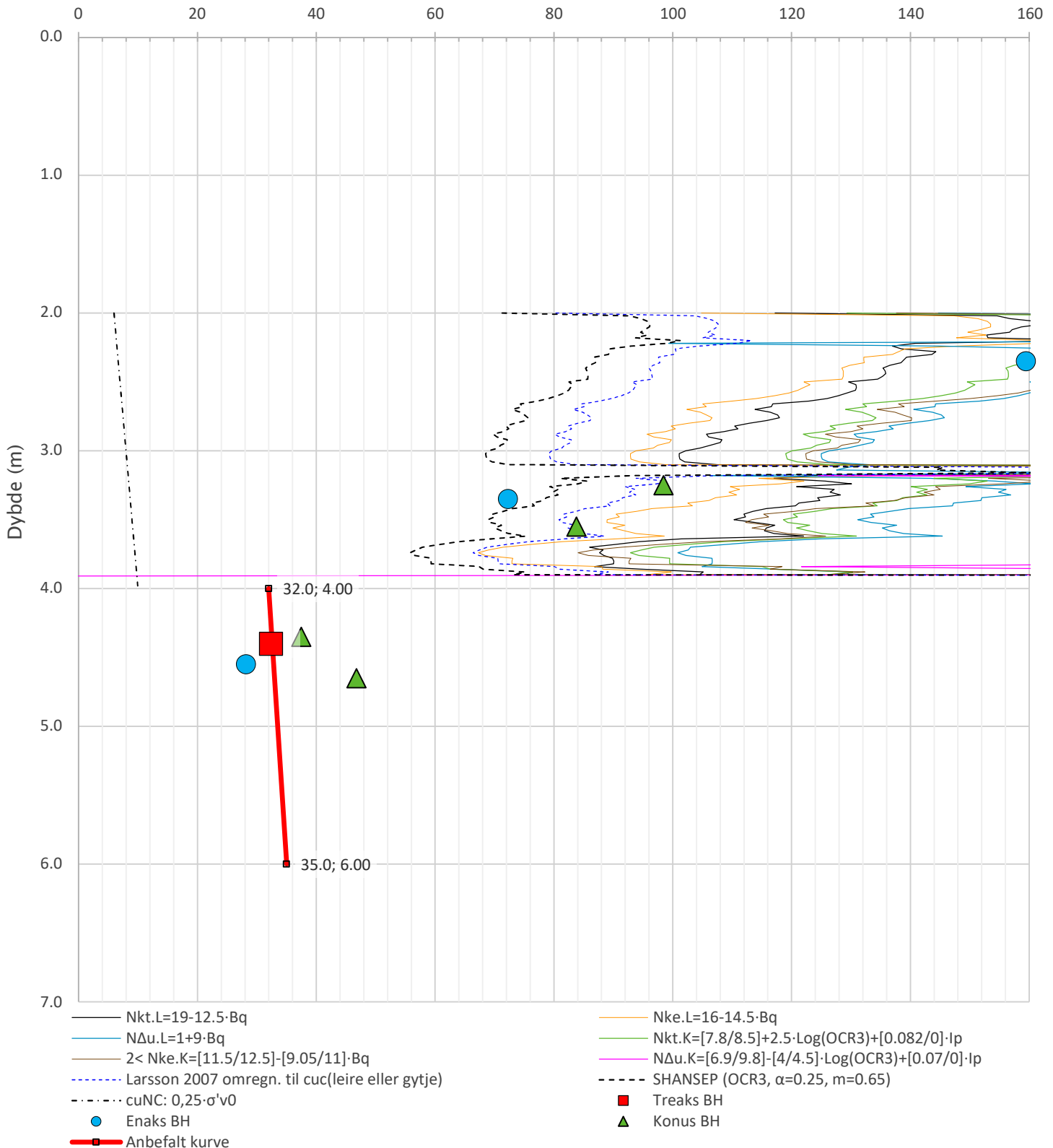
Anisotropiforhold i figur.


Treaks BH :  $c_uC/c_{ucptu} = 1.000$

Enaks BH :  $c_{uc}/c_{ucptu} = \text{var. (min:0.646 max:1.739)}$

Konus BH :  $c_{ufc}/c_{ucptu} = \text{var. (min:0.646 max:0.659)}$

Udrenert aktiv skjærfasthet,  $c_{ucptu}$  (kPa)

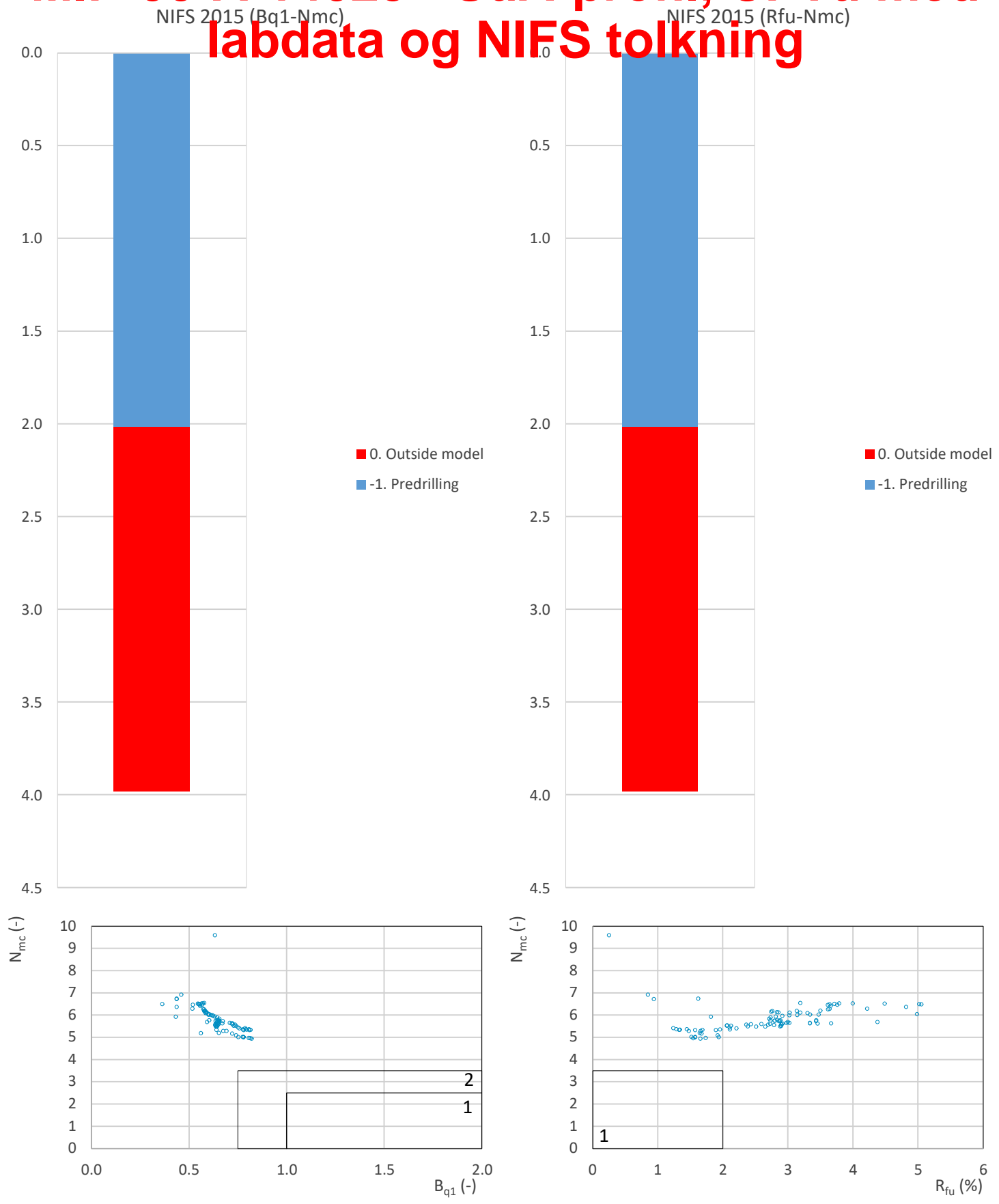



Prosjekt <b>Ski Hensetting</b>			Borhull <b>61</b>
Innhold Tolkning av udrenert aktiv skjærfasthet			Sondennummer <b>5310</b>
 <b>Statens vegvesen</b>	Utført <b>SOHJ</b>	Kontrollert <b>ABC</b>	Godkjent <b>TTR</b>
	Divisjon <b>Utbygging</b>	Dato sondering <b>28.06.2021</b>	Revisjon Rev. dato
			Anvend.klasse Figur <b>5</b>

**B71**



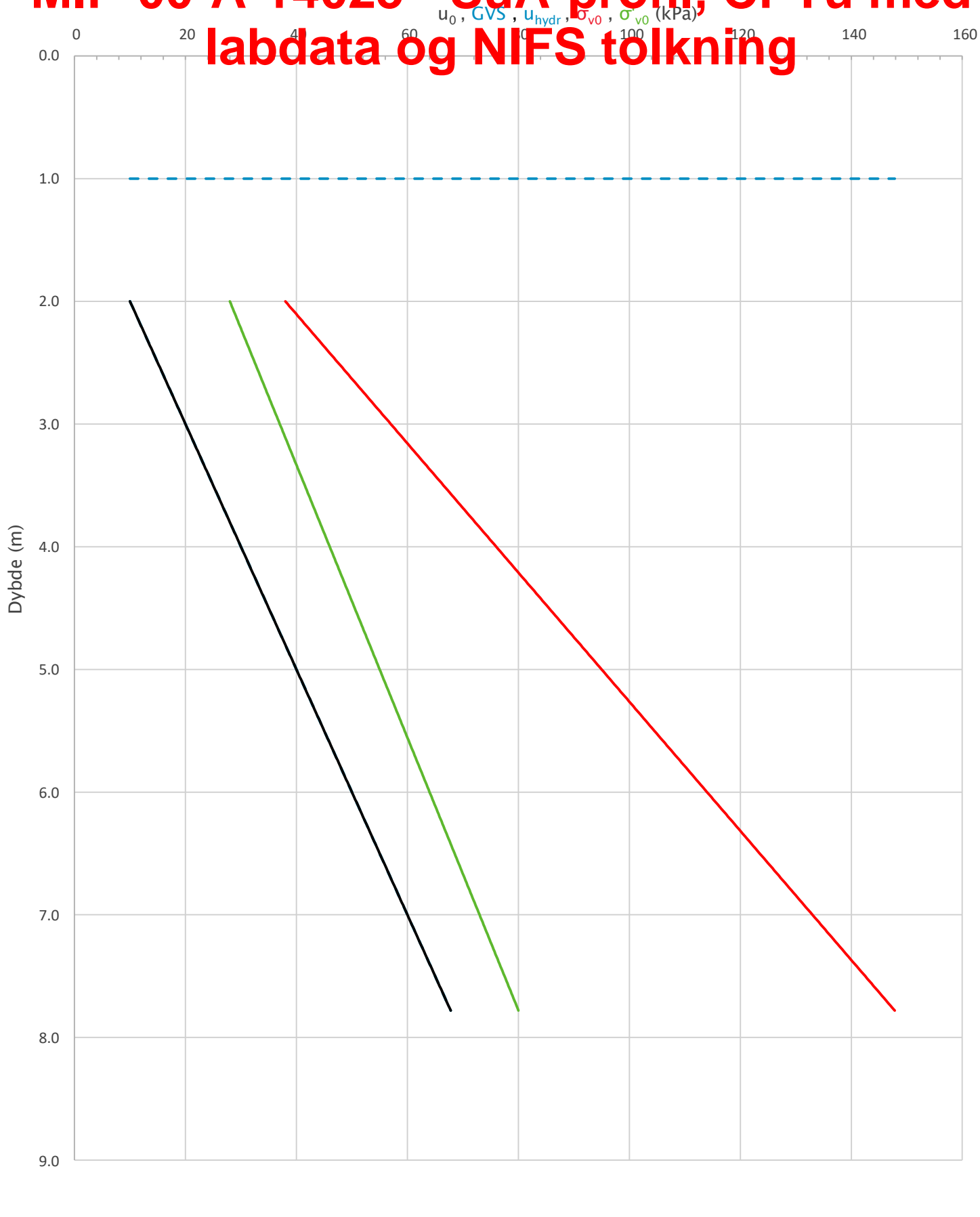
# MIP-00-A-14025 - SuA-profil, CPTu med labdata og NIFS tolkning



Prosjekt			<b>Ski Hensetting</b>		Borhull	<b>61</b>
Innhold			Jordartsklassifisering etter NIFS 2015 – detektering av sensitive materialer		Sondennummer	<b>5310</b>
 <b>Statens vegvesen</b>	Utført	SOHJ	Kontrollert	ABC	Godkjent	TTR
	Divisjon	Utbygging	Dato sondering	28.06.2021	Revisjon	Rev. dato
					Anvend.klasse	Figur
						<b>21</b>

**B72**

# MIP-00-A-14025 - SuA-profil, CPTu med labdata og NIFS tolkning

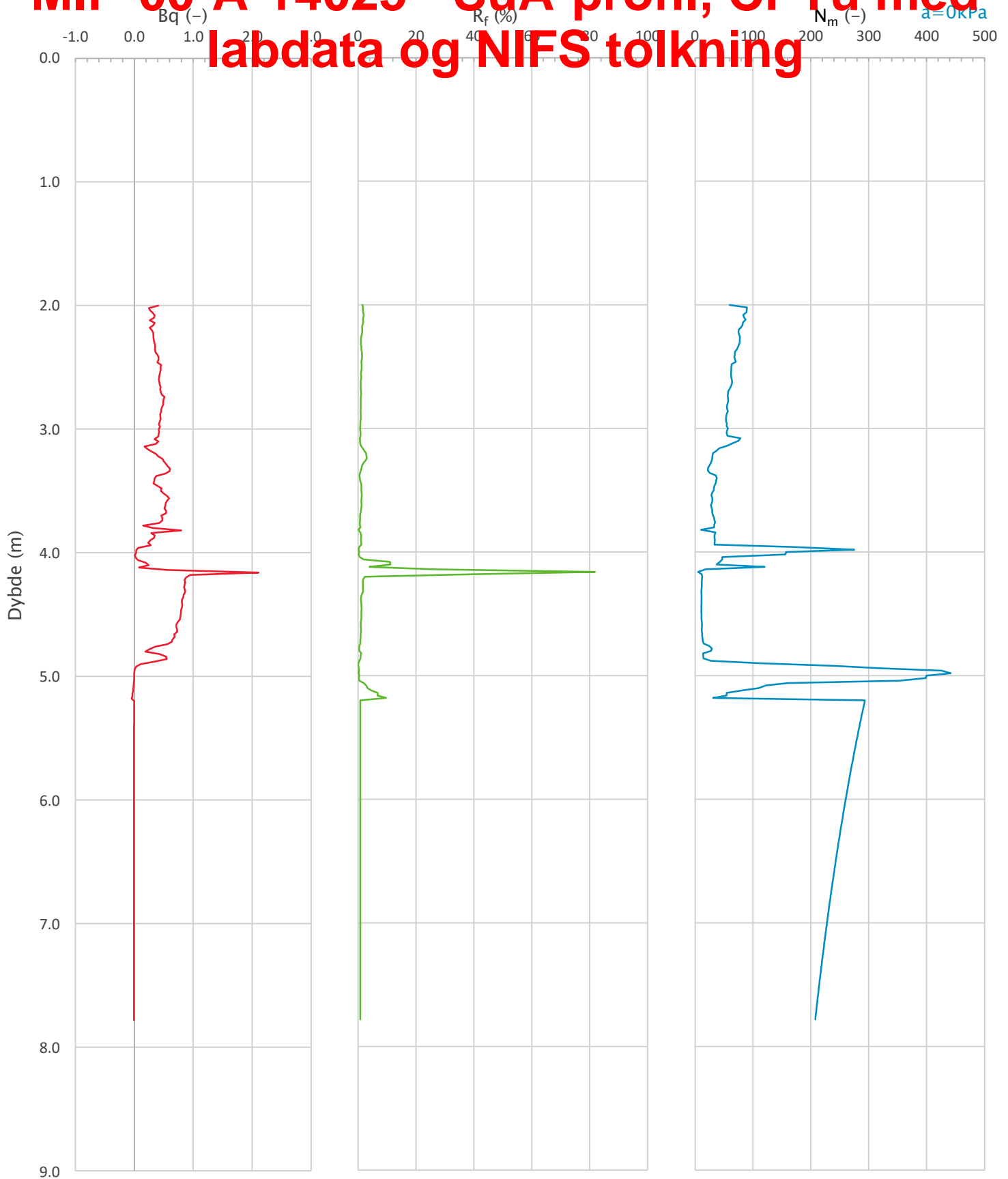



Prosjekt <b>Ski Hensetting</b>			Borhull <b>65</b>
Innhold In-situ poretrykk, total- og effektiv vertikalspenning i beregninger			Sondennummer <b>5310</b>
 <b>Statens vegvesen</b>	Utført <b>SOHJ</b>	Kontrollert <b>ABC</b>	Godkjent <b>TTR</b>
	Divisjon <b>Utbygging</b>	Dato sondering <b>28.06.2021</b>	Revisjon Rev. dato
			Anvend.klasse <b>1</b>
			Figur <b>2</b>

**B73**



# MIP-00-A-14025 - SuA-profil, CPTu med labdata og NIFS tolkning



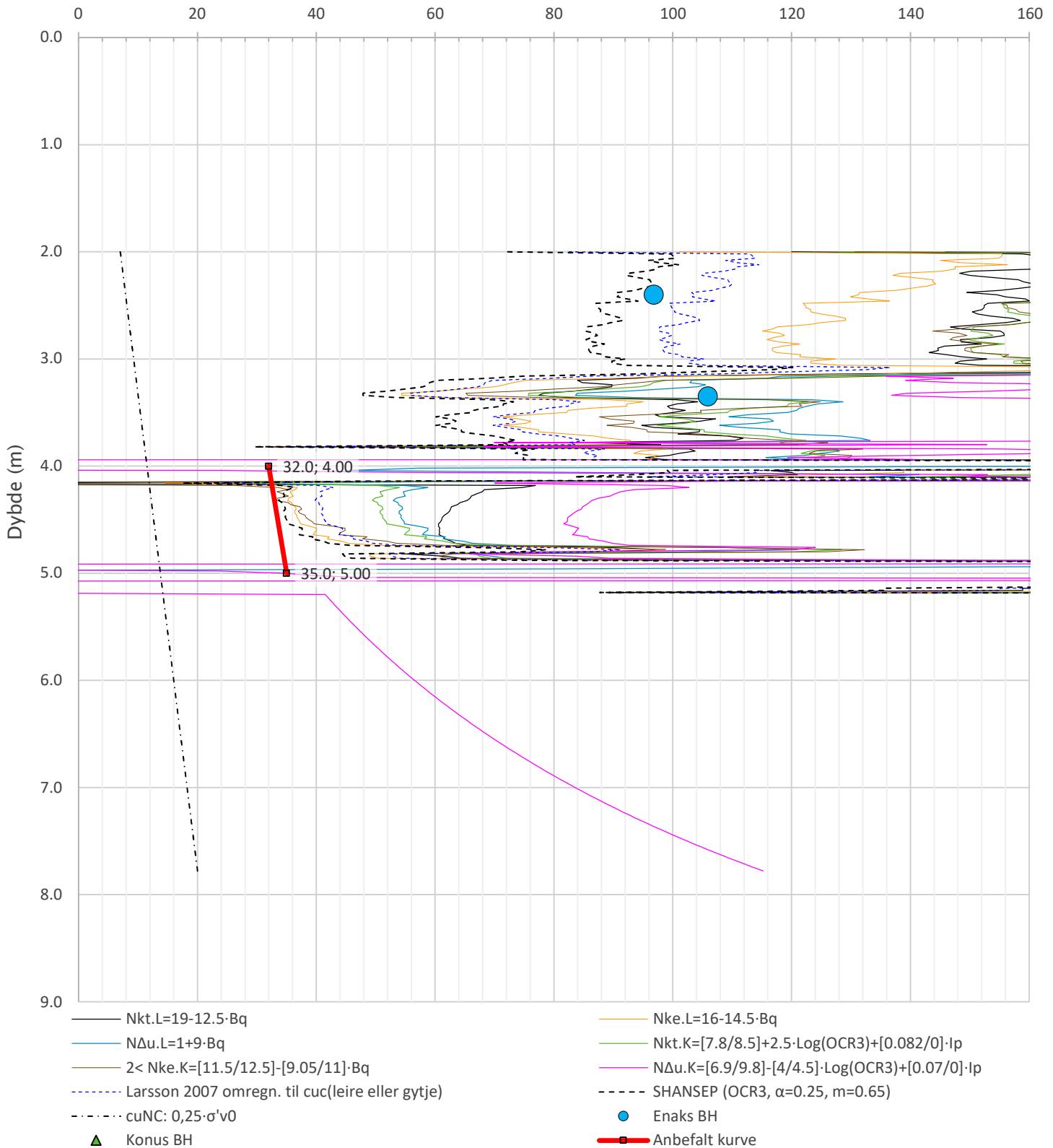
Prosjekt <b>Ski Hensetting</b>			Borhull <b>65</b>
Innhold Avledede dimensjonsløse forhold			Sondennummer <b>5310</b>
 <b>Statens vegvesen</b>	Utført <b>SOHJ</b>	Kontrollert <b>ABC</b>	Godkjent <b>TTR</b>
	Divisjon <b>Utbygging</b>	Dato sondering <b>28.06.2021</b>	Revisjon Rev. dato
			Anvend.klasse Figur <b>4</b>


**B74**

# MIP-00-A-14025 - SuA-profil, CPTu med labdata og NIFS tolkning

Anisotropiforhold i figur.  
 Enaks BH :  $c_{uc}/c_{ucptu} = 0.659$   
 Konus BH :  $c_{ufc}/c_{ucptu} = 0.152$

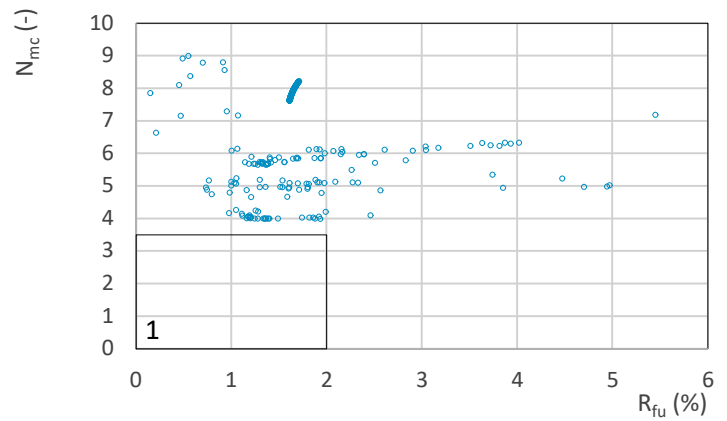
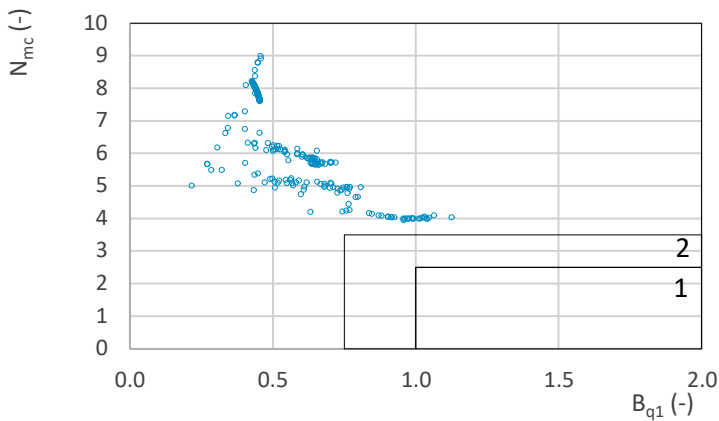
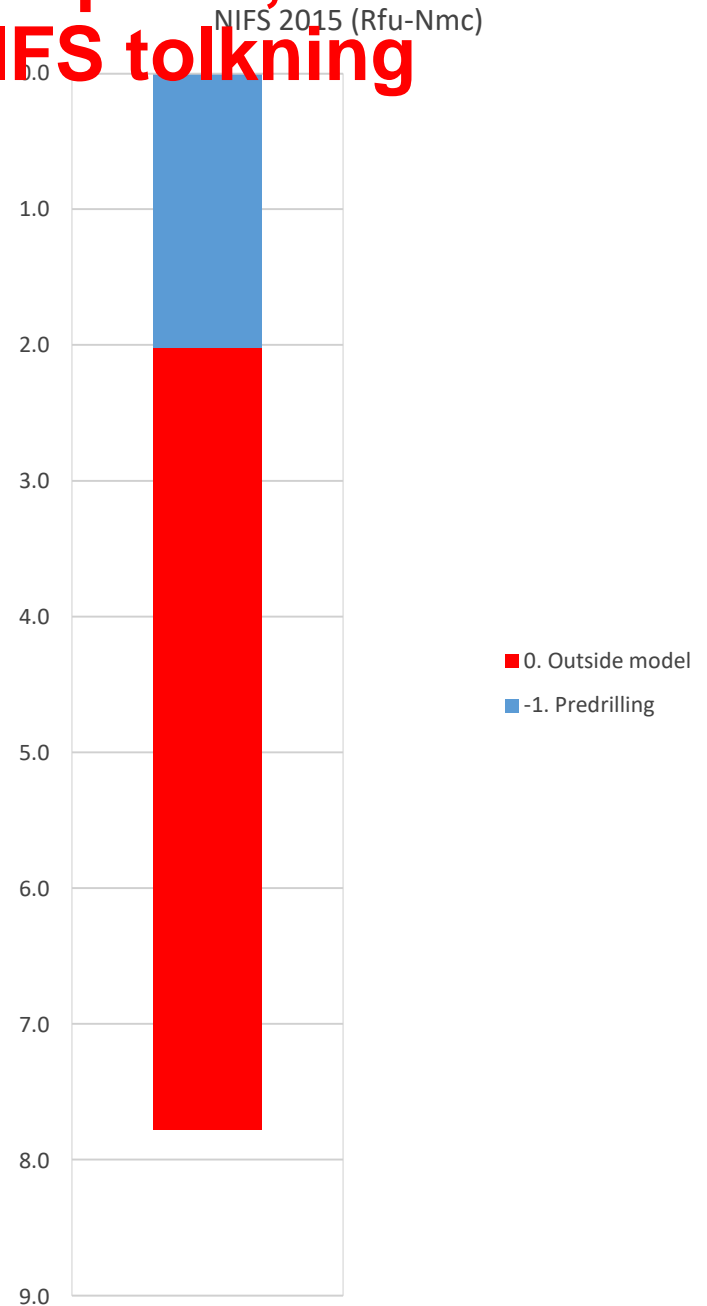
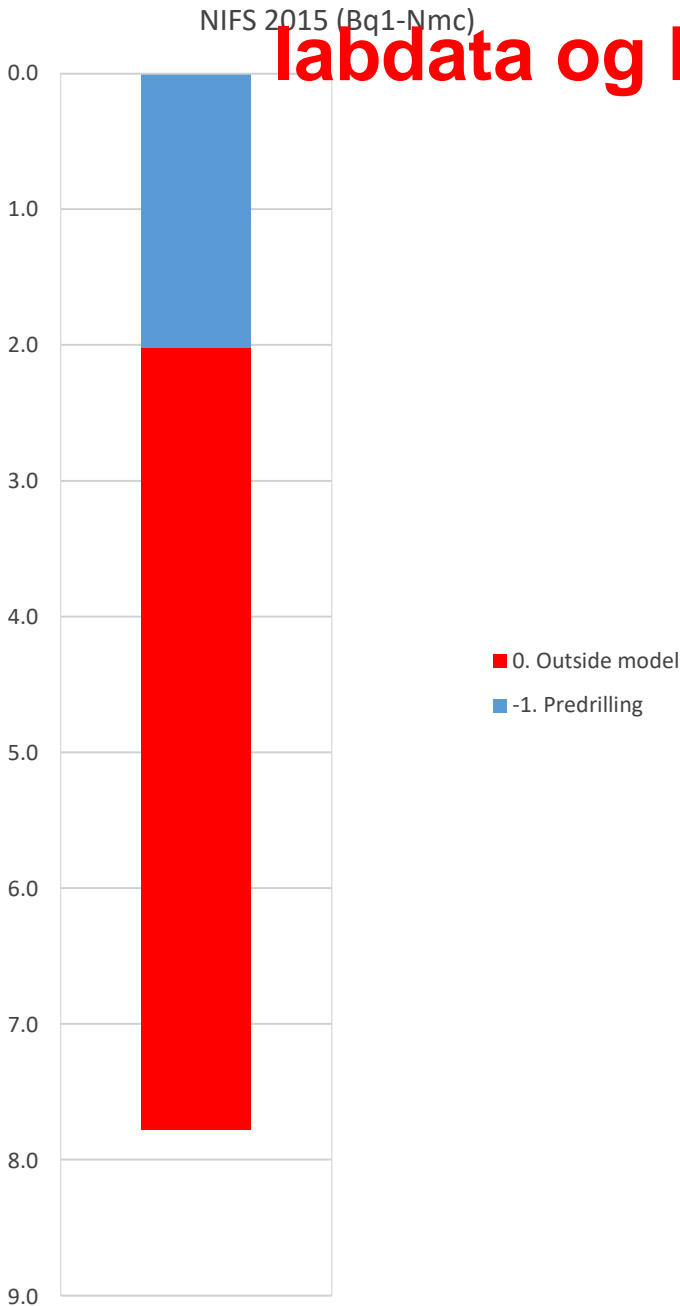
Udrenert aktiv skjærfasthet,  $c_{ucptu}$  (kPa)



Prosjekt <b>Ski Hensetting</b>			Borhull <b>65</b>
Innhold Tolkning av udrenert aktiv skjærfasthet			Sondennummer <b>5310</b>
 <b>Statens vegvesen</b>	Utført <b>SOHJ</b>	Kontrollert <b>ABC</b>	Godkjent <b>TTR</b>
	Divisjon <b>Utbygging</b>	Dato sondering <b>28.06.2021</b>	Revisjon Rev. dato
			Anvend.klasse Figur <b>5</b>

**B75**

# MIP-00-A-14025 - SuA-profil, CPTu med labdata og NIFS tolkning

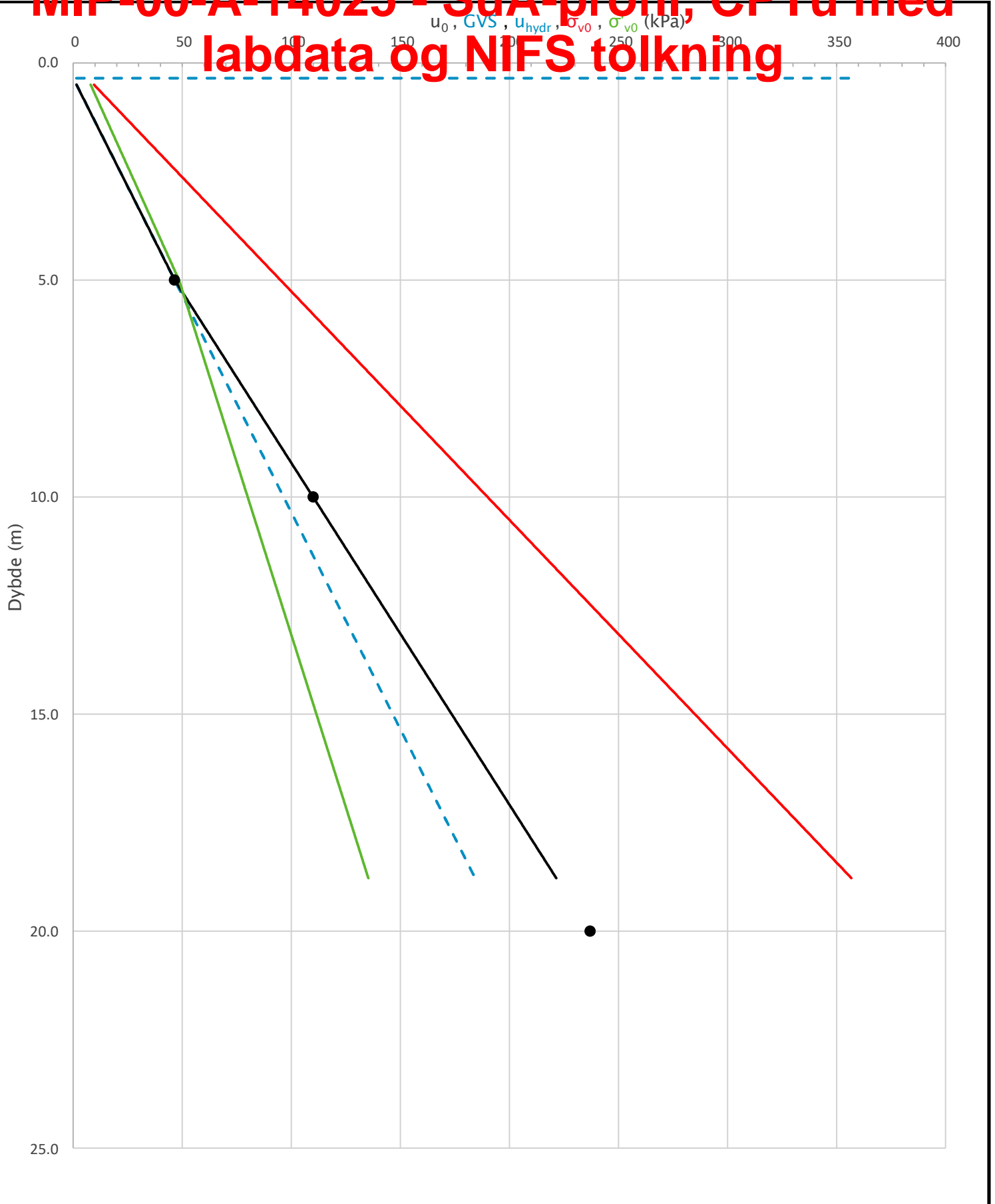



Prosjekt				Borhull
<b>Ski Hensetting</b>				<b>65</b>
Innhold				Sondennummer
Jordartsklassifisering etter NIFS 2015 - detektering av sensitive materialer				<b>5310</b>
 <b>Statens vegvesen</b>	Utført	Kontrollert	Godkjent	Anvend.klasse
	SOHJ	ABC	TTR	
Divisjon	Dato sondering	Revisjon	Figur	<b>21</b>
Utbygging	28.06.2021	Rev. dato		

B76



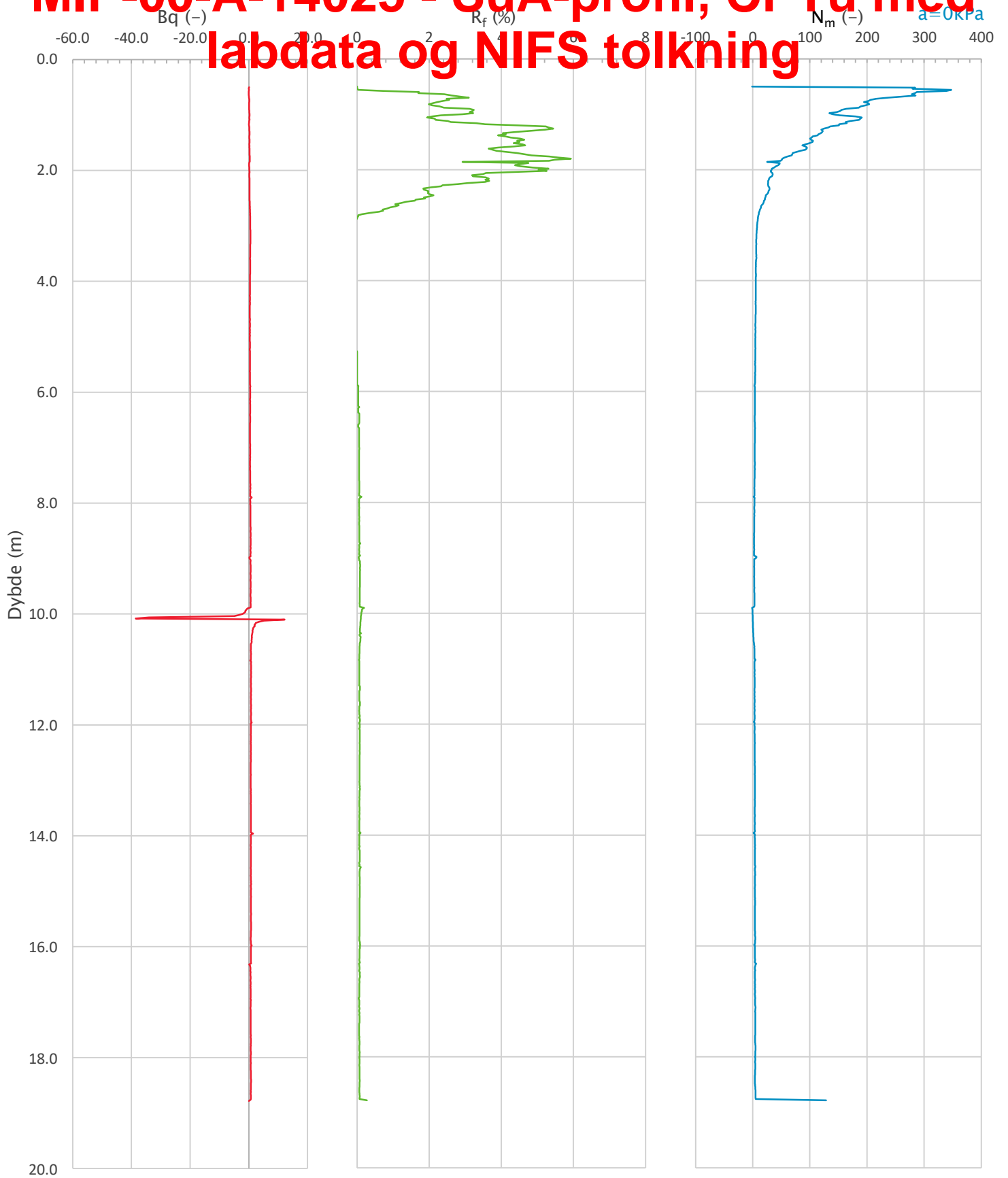
# MIP-00-A-14025 - SuA-profil, CPTu med labdata og NIFS tolkning




Prosjekt		Prosjektnummer: 900078 Rapportnummer: MIP-00-A-14024		Borhull	Kote +94.4
<b>Ski Hensetting</b>				<b>A241</b>	
Innhold		In-situ poretrykk, total- og effektiv vertikalspenning i beregninger		Sondennummer	<b>4489</b>
 <b>Statens vegvesen</b>	Utført	Kontrollert	Godkjent	Anvend.klasse	
	SOHJ/JAJE	ABC	TTR	1	
	Divisjon	Dato sondering	Revisjon	Figur	
	Ekstern konsulent	20.04.2020	Rev. dato	2	

**B77**

# MIP-00-A-14025 - SuA-profil, CPTu med labdata og NIFS tolkning



Prosjekt		Prosjektnummer: 900078 Rapportnummer: MIP-00-A-14024		Borhull	Kote +94.4
<b>Ski Hensetting</b>				<b>A241</b>	
Innhold				Sondenummer	
Avledede dimensjonsløse forhold				<b>4489</b>	
 <b>Statens vegvesen</b>	Utført	Kontrollert	Godkjent	Anvend.klasse	
	SOHJ/JAJE	ABC	TTR	<b>1</b>	
Divisjon Ekstern konsulent	Dato sondering	Revisjon	Rev. dato	Figur	
	20.04.2020			<b>4</b>	

**B78**

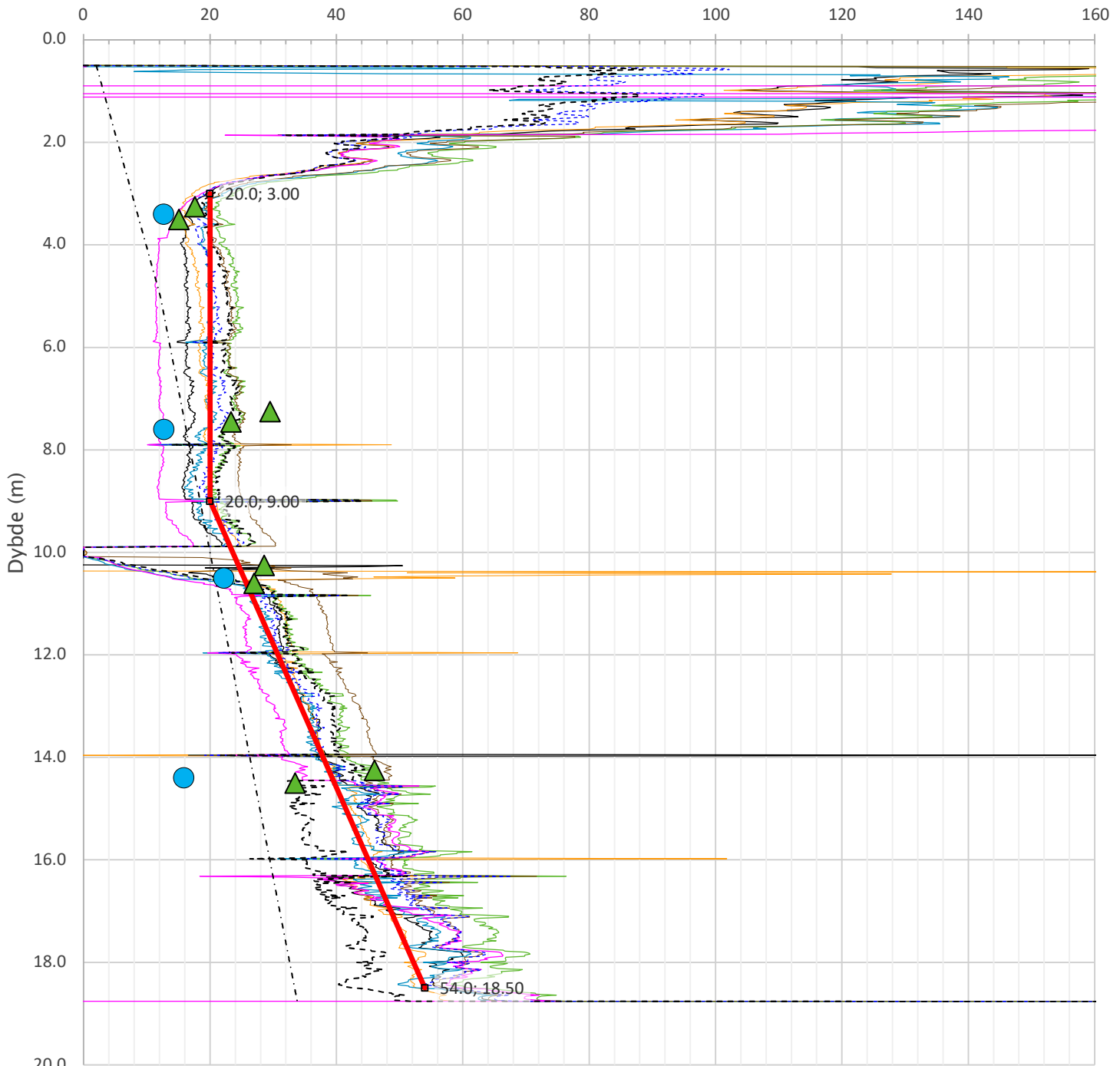
# MIP-00-A-14025 - SuA-profil, CPTu med labdata og NIFS tolkning

Anisotropiforhold i figur.


Enaks BH A241:  $c_{uc}/c_{ucptu} = \text{var}$  (min:0.630 max:0.630)

Konus BH A241:  $c_{ufc}/c_{ucptu} = \text{var}$  (min:0.630 max:0.630)

Udrenert aktiv skjærfasthet,  $c_{ucptu}$  (kPa)



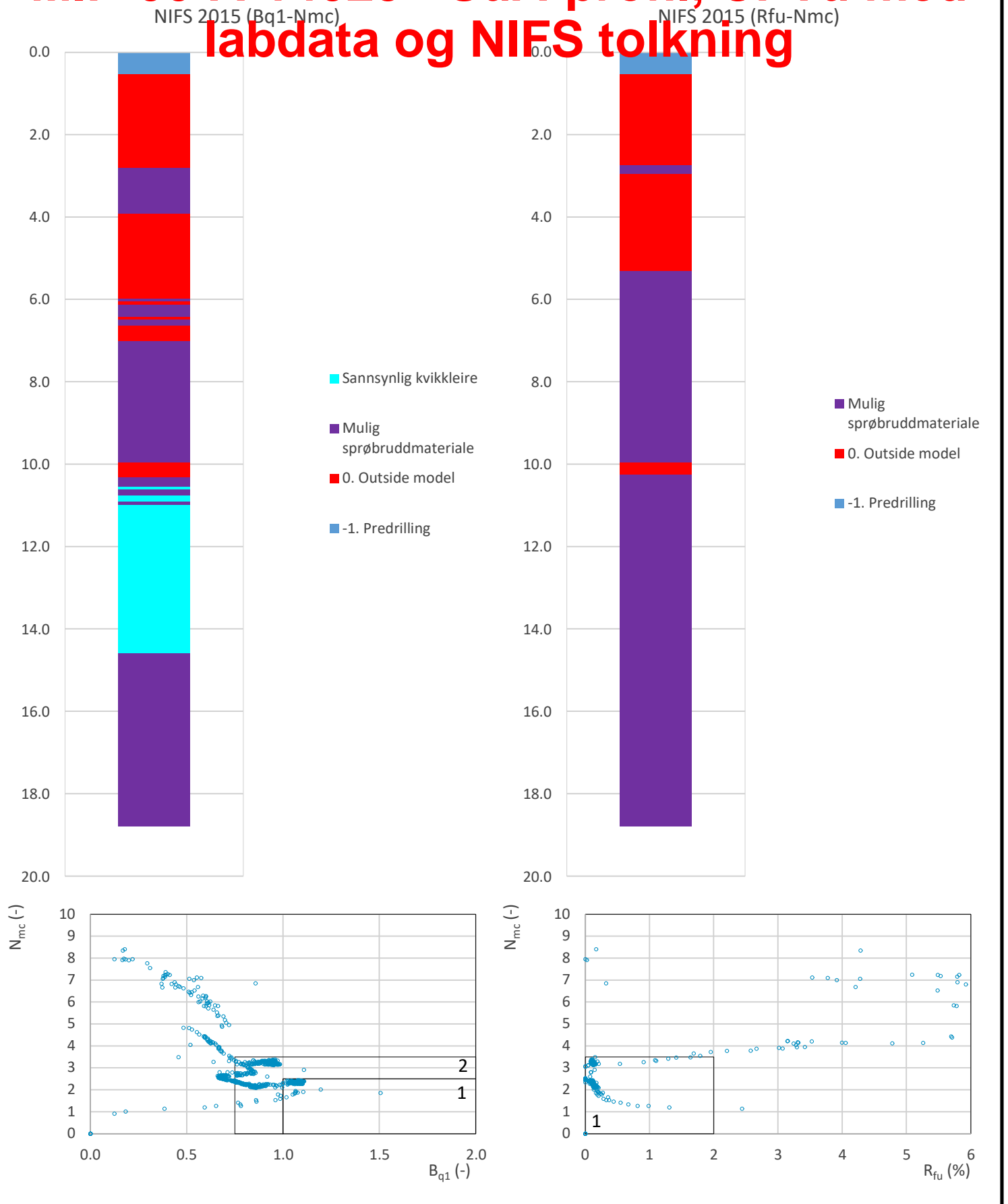
- Nkt.L=19-12.5-Bq
- Nke.L=16-14.5-Bq
- NΔu.L=1+9-Bq
- Nkt.K=[7.8/8.5]+2.5·Log(OCR3)+[0.082/0]·Ip
- 2< Nke.K=[11.5/12.5]-[9.05/11]·Bq
- NΔu.K=[6.9/9.8]-[4/4.5]·Log(OCR3)+[0.07/0]·Ip
- Larsson 2007 omregn. til cuc(leire eller gytje)
- SHANSEP (OCR3, α=0.25, m=0.65)
- cuNC: 0,25·σ'v0
- Enaks BH A241
- Treaks BH A241
- ▲ Konus BH A241
- Anbefalt kurve

Prosjekt	Prosjektnummer: 900078 Rapportnummer: MIP-00-A-14024	Borhull	Kote +94.4
<b>Ski Hensetting</b>		<b>A241</b>	
Innhold		Sondennummer	
Tolkning av udrenert aktiv skjærfasthet		<b>4489</b>	
 <b>Statens vegvesen</b>	Utført	Kontrollert	Godkjent
	SOHJ/JAJE	ABC	TTR
Divisjon	Dato sondering	Revisjon	Anvend.klasse
Ekstern konsulent	20.04.2020	Rev. dato	1
			Figur
			<b>5</b>

B79



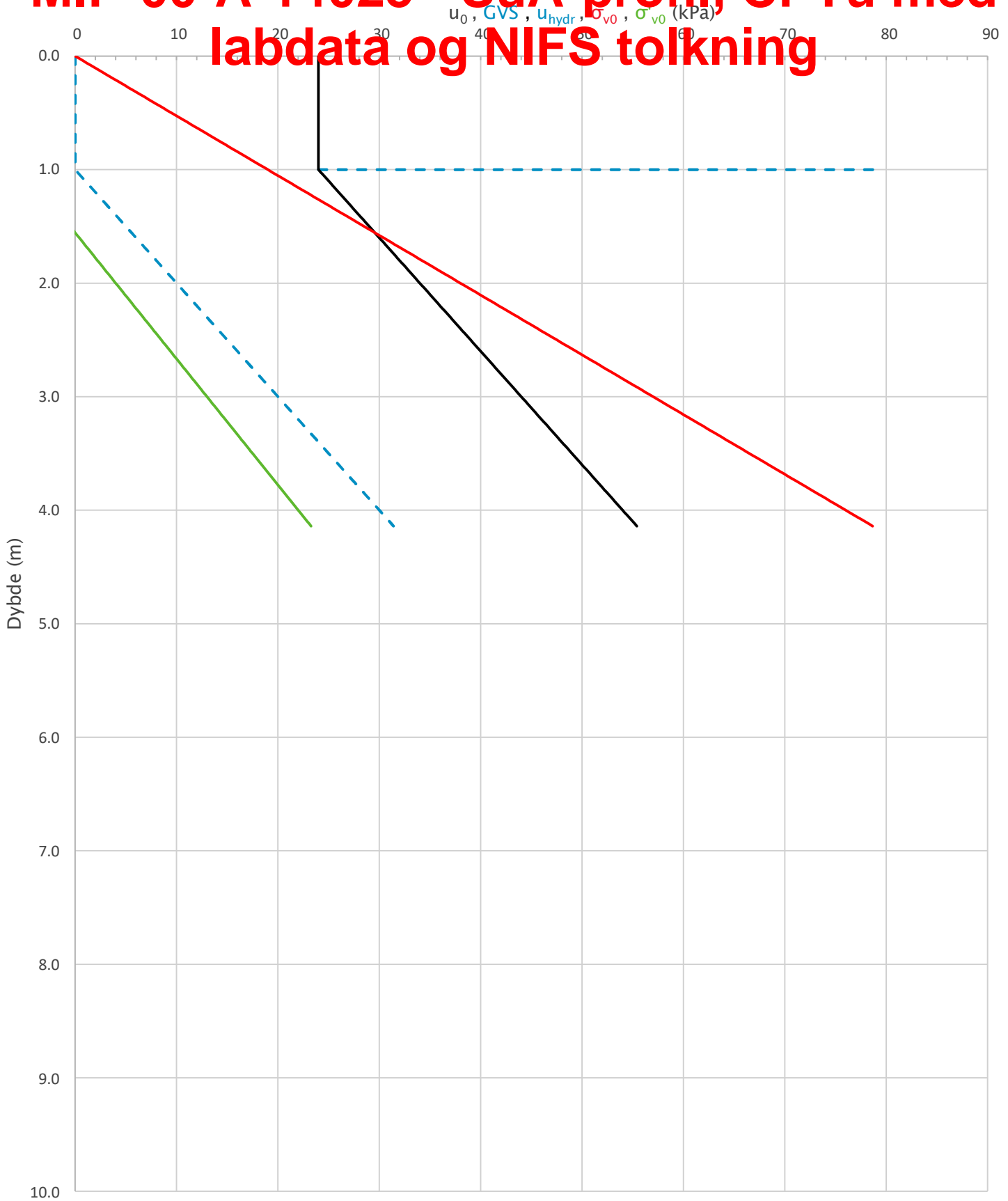
# MIP-00-A-14025 - SuA-profil, CPTu med labdata og NIFS tolkning



Prosjekt		Prosjektnummer: 900078 Rapportnummer: MIP-00-A-14024		Borhull	Kote +94.4
<b>Ski Hensetting</b>				<b>A241</b>	
Innhold		Jordartsklassifisering etter NIFS 2015 – detektering av sensitive materialer		Sondennummer	<b>4489</b>
 <b>Statens vegvesen</b>	Utført	Kontrollert	Godkjent	Anvend.klasse	<b>1</b>
	SOHJ/JAJE	ABC	TTR		
	Divisjon	Dato sondering	Revisjon	Figur	<b>21</b>
	Ekstern konsulent	20.04.2020	Rev. dato		

**B80**

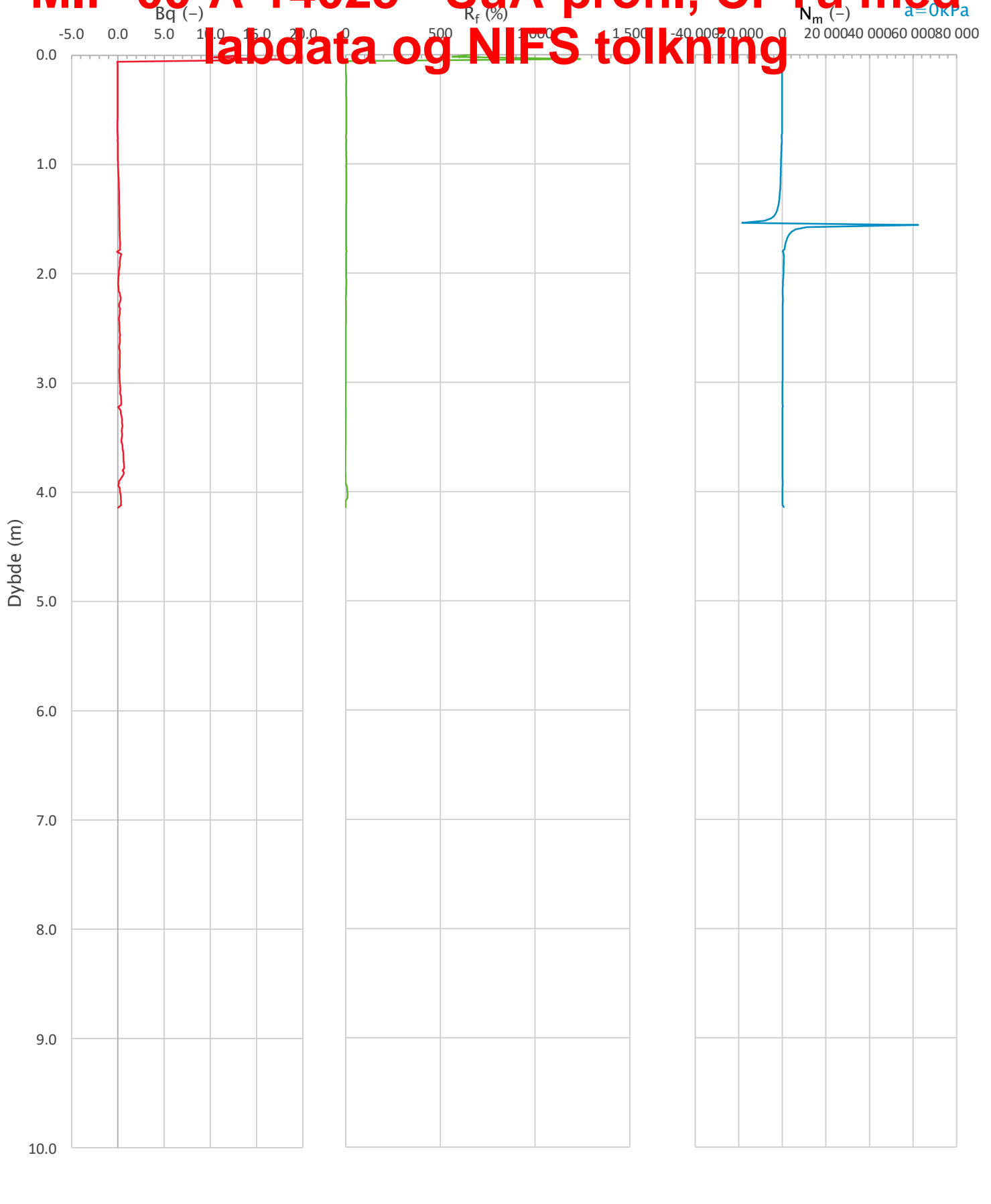
# MIP-00-A-14025 - SuA-profil, CPTu med labdata og NIFS tolkning




Prosjekt		Prosjektnummer: 900078 Rapportnummer: MIP-00-A-14024		Borhull	Kote +109.2
<b>Ski Hensetting</b>				<b>A350</b>	
Innhold		In-situ poretrykk, total- og effektiv vertikalspenning i beregninger		Sondennummer	<b>4634</b>
 <b>Statens vegvesen</b>	Utført	Kontrollert	Godkjent	Anvend.klasse	<b>1</b>
	SOHJ/JAJE	ABC	TTR		
	Divisjon	Dato sondering	Revisjon	Figur	<b>2</b>
	Ekstern konsulent	19.05.2020	Rev. dato		

**B81**

# MIP-00-A-14025 - SuA-profil, CPTu med labdata og NIFS tolkning



Prosjekt		Prosjektnummer: 900078 Rapportnummer: MIP-00-A-14024		Borhull	Kote +109.2
<b>Ski Hensetting</b>				<b>A350</b>	
Innhold				Sondennummer	
Avledede dimensjonsløse forhold				<b>4634</b>	
 <b>Statens vegvesen</b>	Utført	Kontrollert	Godkjent	Anvend.klasse	<b>1</b>
	SOHJ/JAJE	ABC	TTR		
	Divisjon	Dato sondering	Revisjon	Figur	<b>4</b>
	Ekstern konsulent	19.05.2020	Rev. dato		

**B82**



# MIP-00-A-14025 - SuA-profil, CPTu med labdata og NIFS tolkning

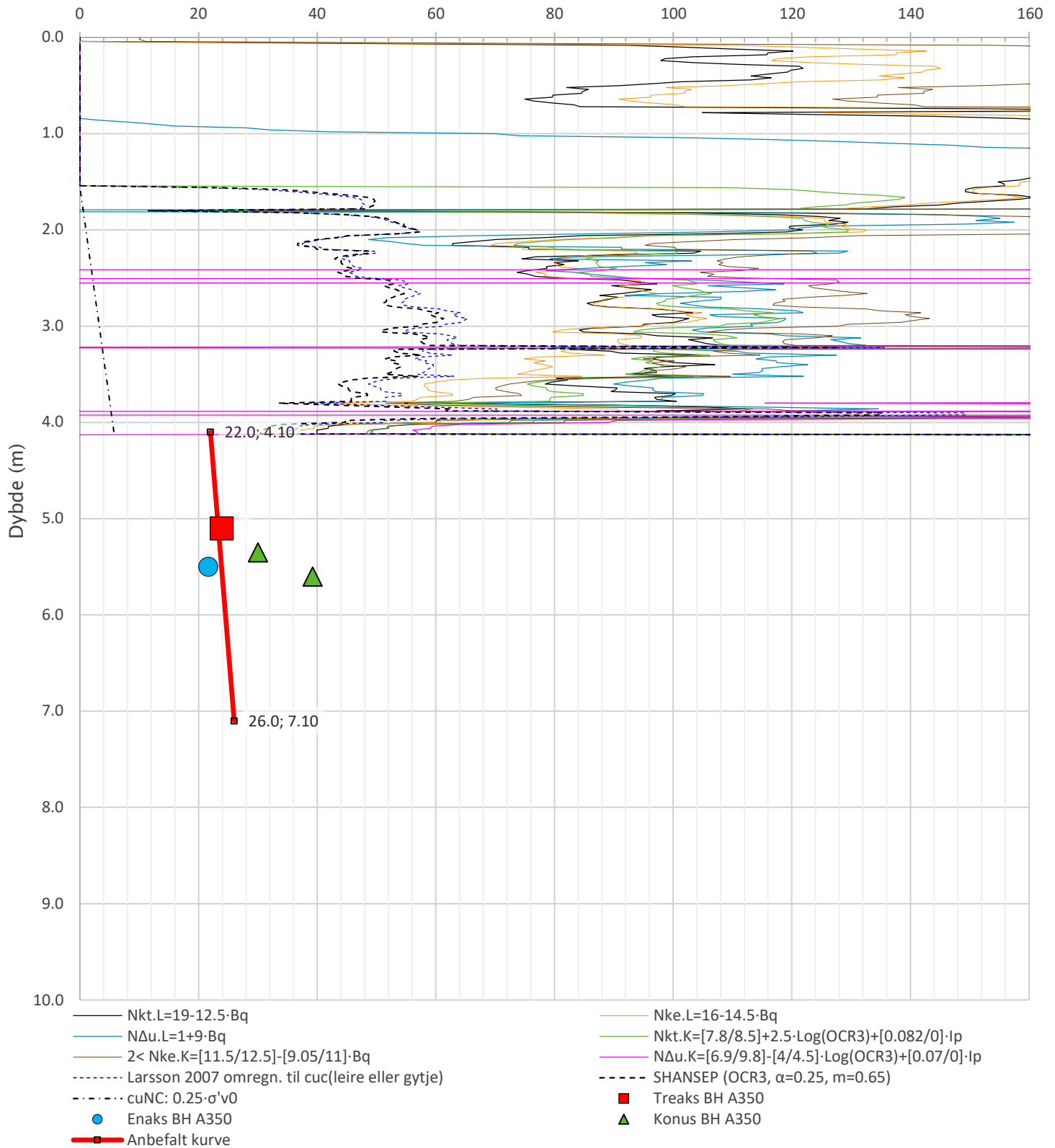
Anisotropiforhold i figur.


Treaks BH A350:  $c_uC/c_{ucptu} = 1.000$

Enaks BH A350:  $c_{uc}/c_{ucptu} = 0.660$

Konus BH A350:  $c_{ufc}/c_{ucptu} = 0.660$

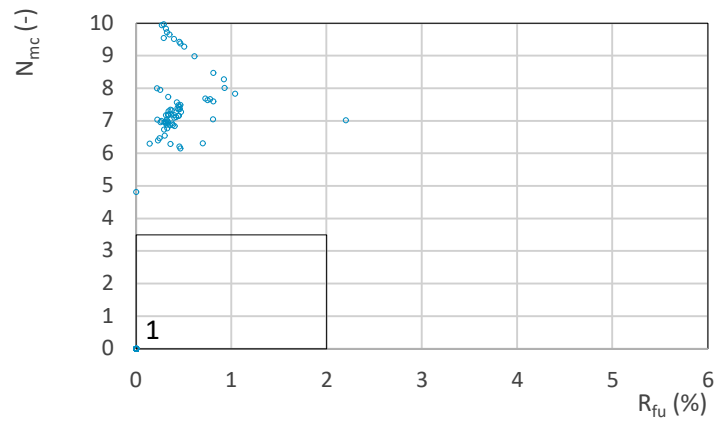
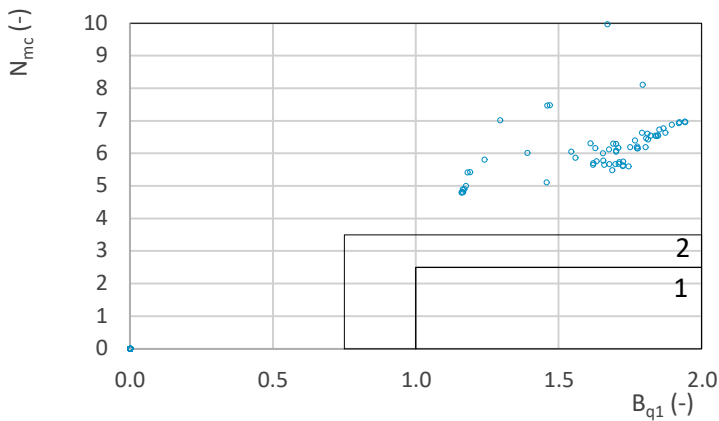
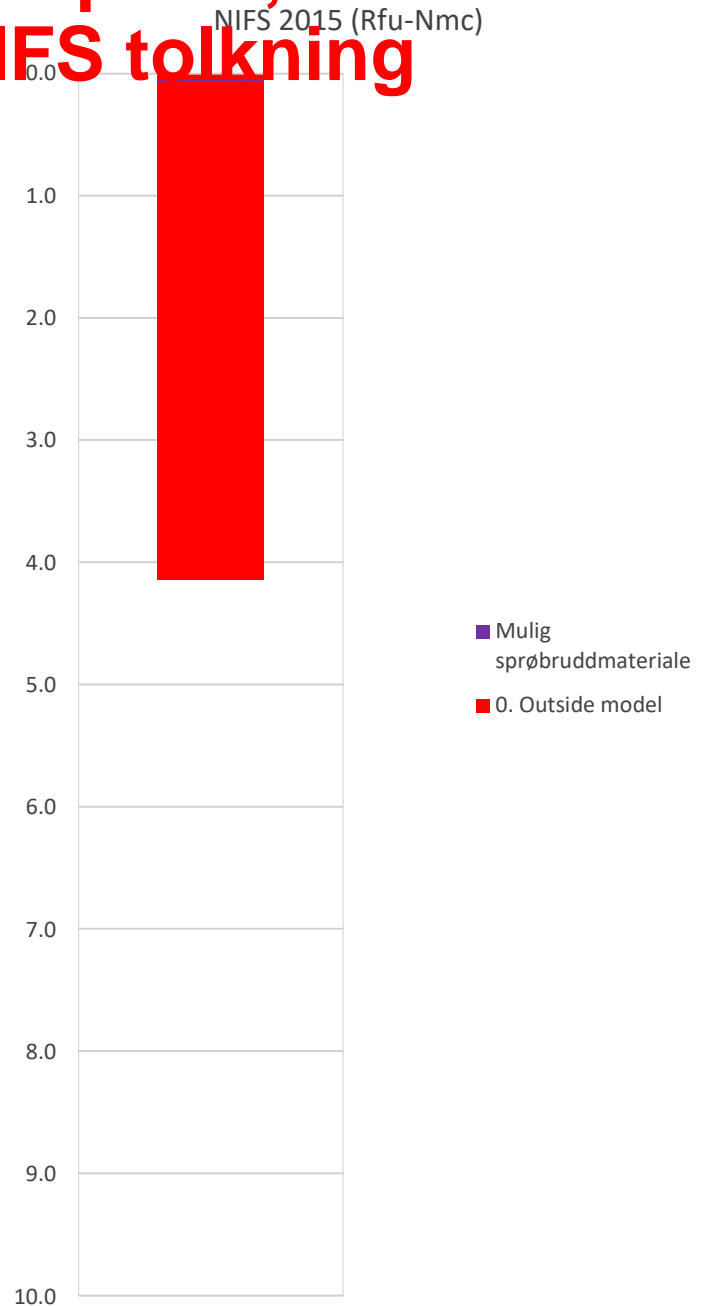
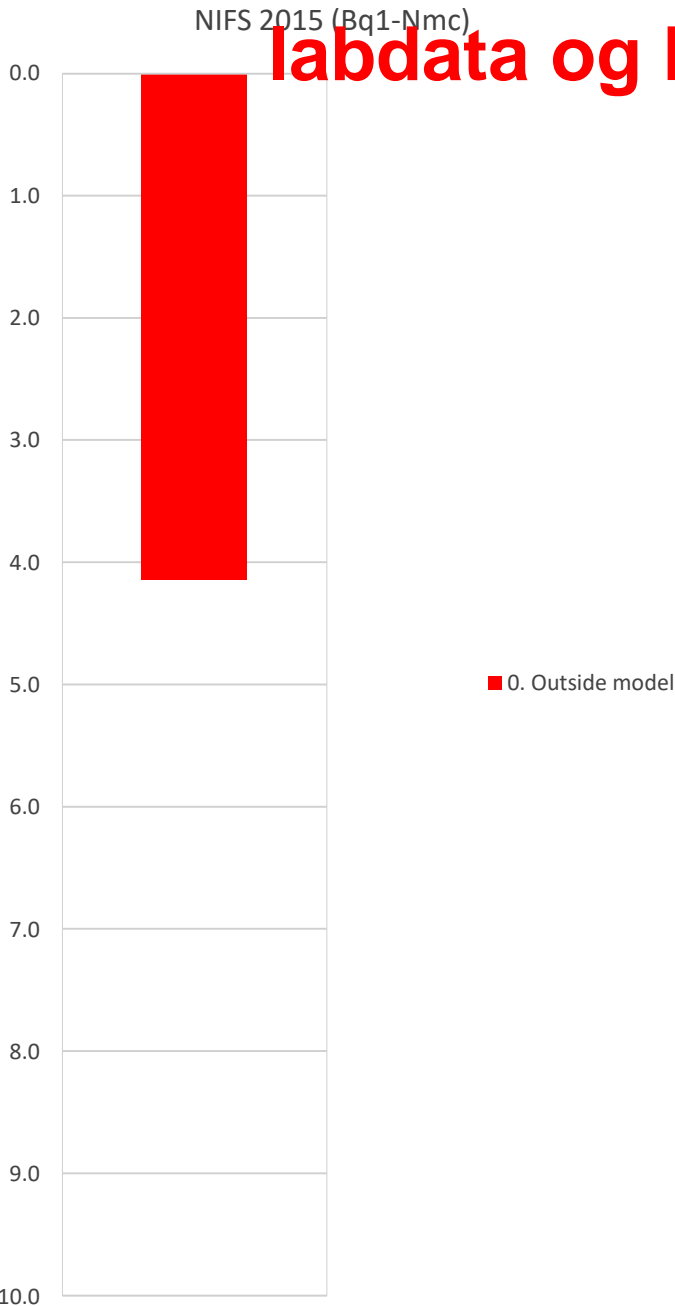
Udrenert aktiv skjærfasthet,  $c_{ucptu}$  (kPa)



Prosjekt	Prosjektnummer: 900078 Rapportnummer: MIP-00-A-14024		Borhull	Kote +109.2
<b>Ski Hensetting</b>			<b>A350</b>	
Innhold			Sondennummer	
Tolkning av udrenert aktiv skjærfasthet			<b>4634</b>	
 Statens vegvesen	Utført	Kontrollert	Godkjent	Anvend.klasse
	SOHJ/JAJE	ABC	TTR	1
	Divisjon	Dato sondering	Revisjon	Figur
	Ekstern konsulent	19.05.2020	Rev. dato	5

**B83**

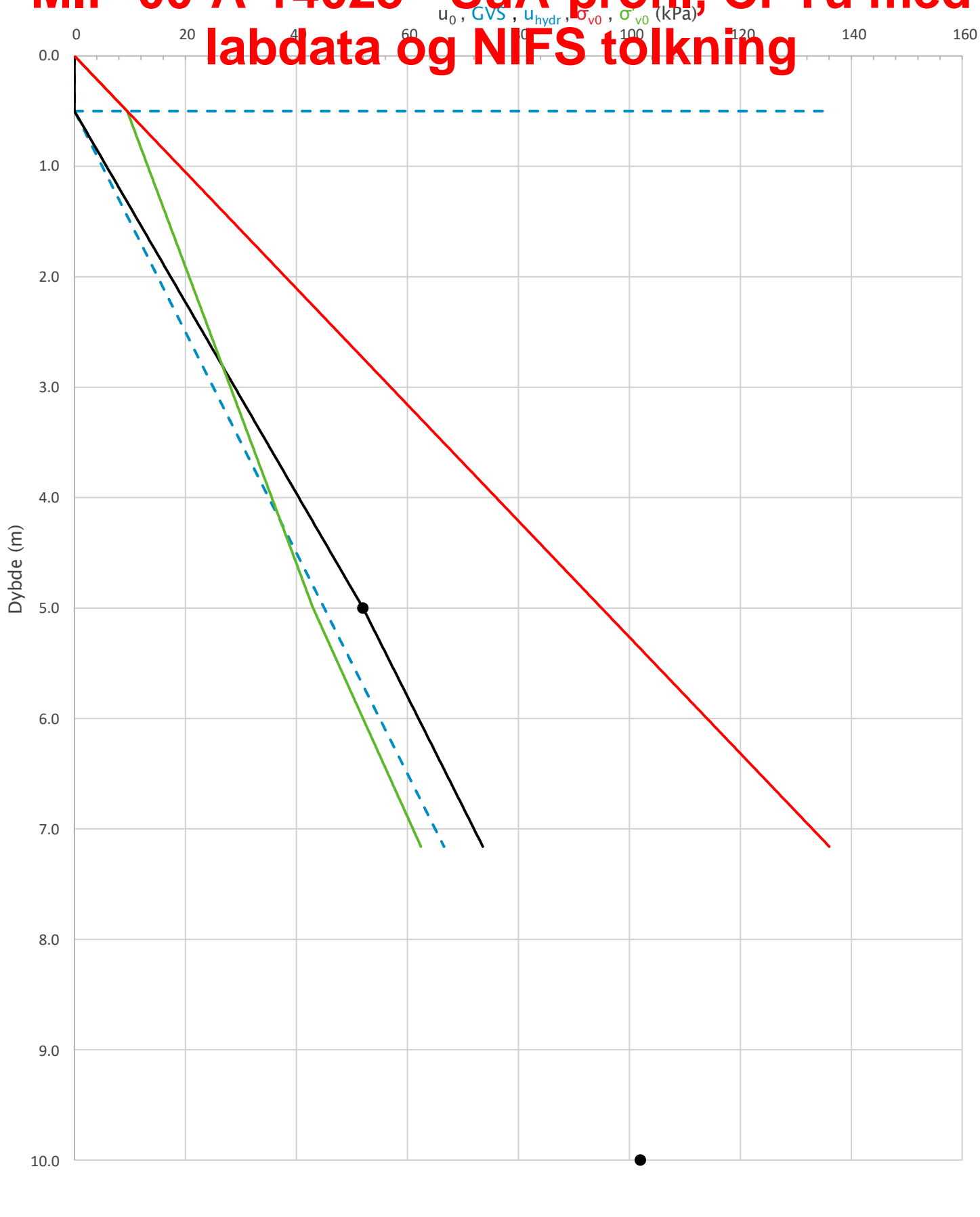
# MIP-00-A-14025 - SuA-profil, CPTu med labdata og NIFS tolkning



Prosjekt <b>Ski Hensetting</b>		Prosjektnummer: 900078 Rapportnummer: MIP-00-A-14024		Borhull Kote +109.2 <b>A350</b>
Innhold Jordartsklassifisering etter NIFS 2015 - detektering av sensitive materialer				Sondennummer <b>4634</b>
 <b>Statens vegvesen</b>	Utført SOHJ/JAJE	Kontrollert ABC	Godkjent TTR	Anvend.klasse <b>1</b>
	Divisjon Ekstern konsulent	Dato sondering 19.05.2020	Revisjon Rev. dato	Figur <b>21</b>

**B84**

# MIP-00-A-14025 - SuA-profil, CPTu med labdata og NIFS tolkning

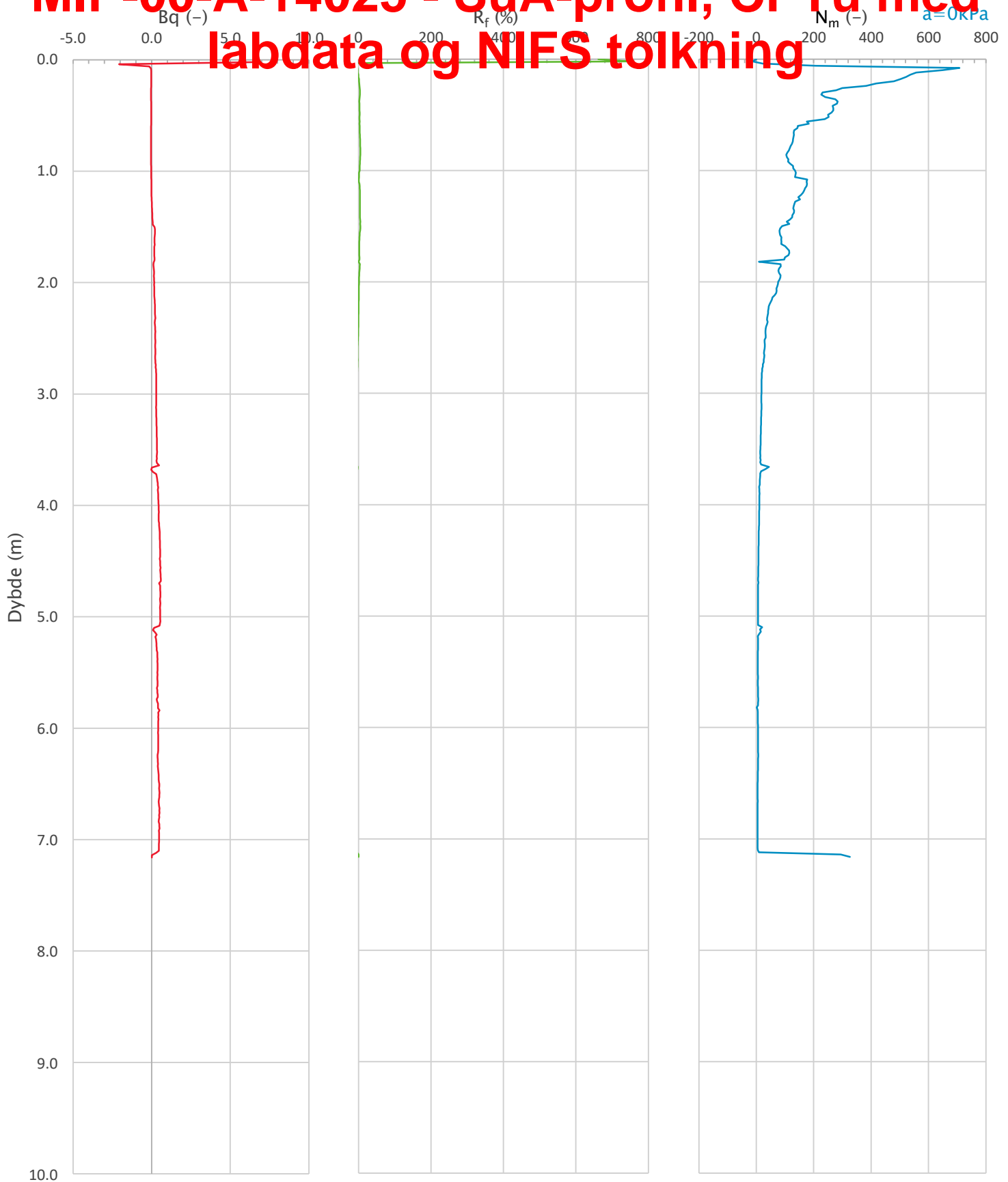



Prosjekt		Prosjektnummer: 900078 Rapportnummer: MIP-00-A-14024		Borhull	Kote +101.4
<b>Ski Hensetting</b>				<b>A352</b>	
Innhold		In-situ poretrykk, total- og effektiv vertikalspenning i beregninger		Sondennummer	<b>4634</b>
 <b>Statens vegvesen</b>	Utført	Kontrollert	Godkjent	Anvend.klasse	<b>1</b>
	SOHJ/JAJE	ABC	TTR		
	Divisjon	Dato sondering	Revisjon	Figur	<b>2</b>
	Ekstern konsulent	19.05.2020	Rev. dato		

**B85**



# MIP-00-A-14025 - SuA-profil, CPTu med labdata og NIFS tolkning



Prosjekt		Prosjektnummer: 900078 Rapportnummer: MIP-00-A-14024		Borhull	Kote +101.4
<b>Ski Hensetting</b>				<b>A352</b>	
Innhold				Sondenummer	
Avledede dimensjonsløse forhold				<b>4634</b>	
 <b>Statens vegvesen</b>	Utført	Kontrollert	Godkjent	Anvend.klasse	
	SOHJ/JAJE	ABC	TTR	<b>1</b>	
Divisjon	Dato sondering	Revisjon	Figur		
	Ekstern konsulent	19.05.2020	Rev. dato	<b>4</b>	

**B86**

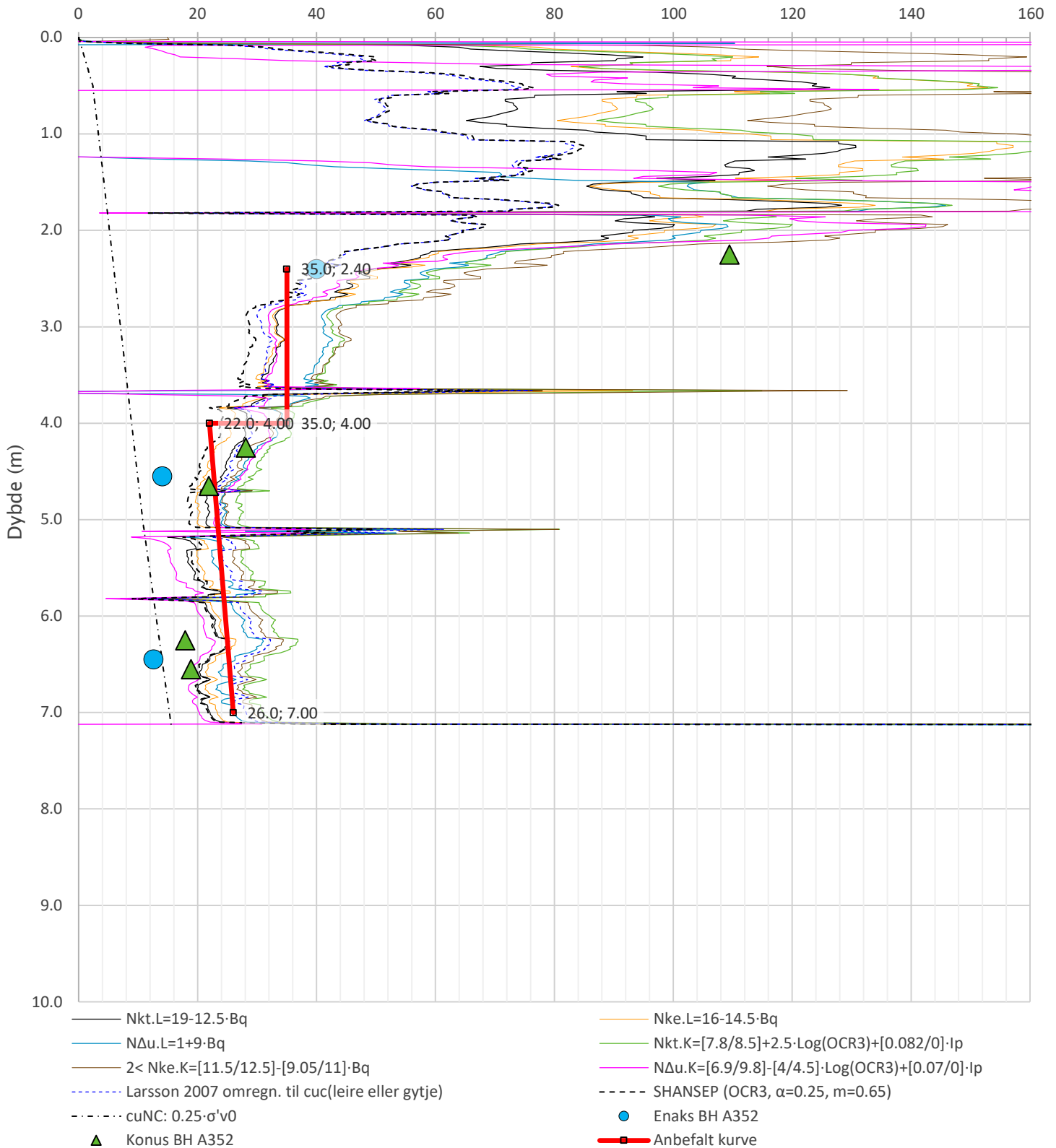
# MIP-00-A-14025 - SuA-profil, CPTu med labdata og NIFS tolkning


Anisotropiforhold i figur.

Enaks BH A352:  $c_{uc}/c_{ucptu} = var$  (min:0.635 max:0.700)

Konus BH A352:  $c_{ufc}/c_{ucptu} = var$  (min:0.725 max:0.770)

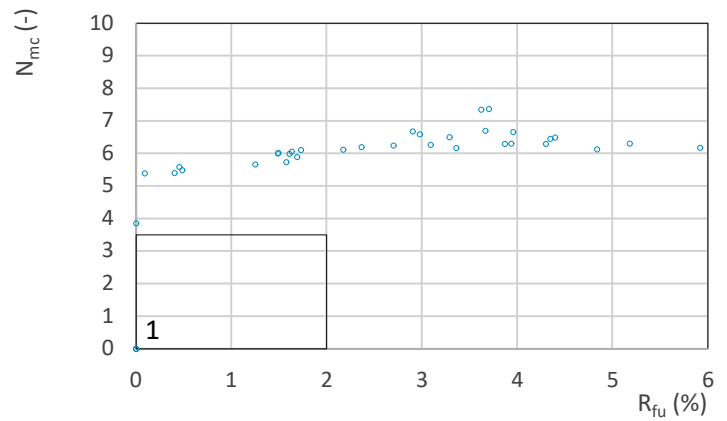
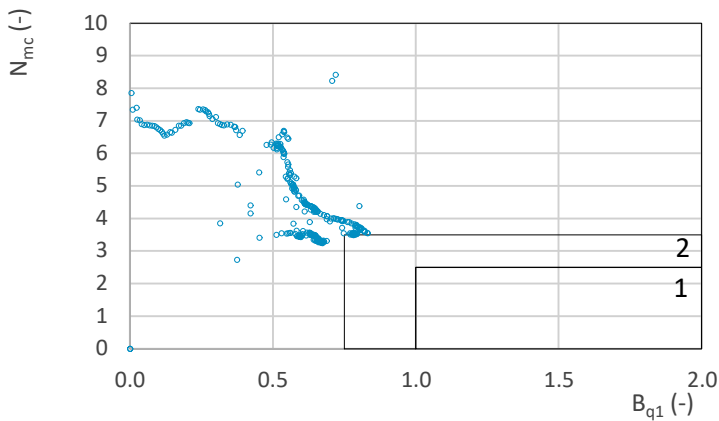
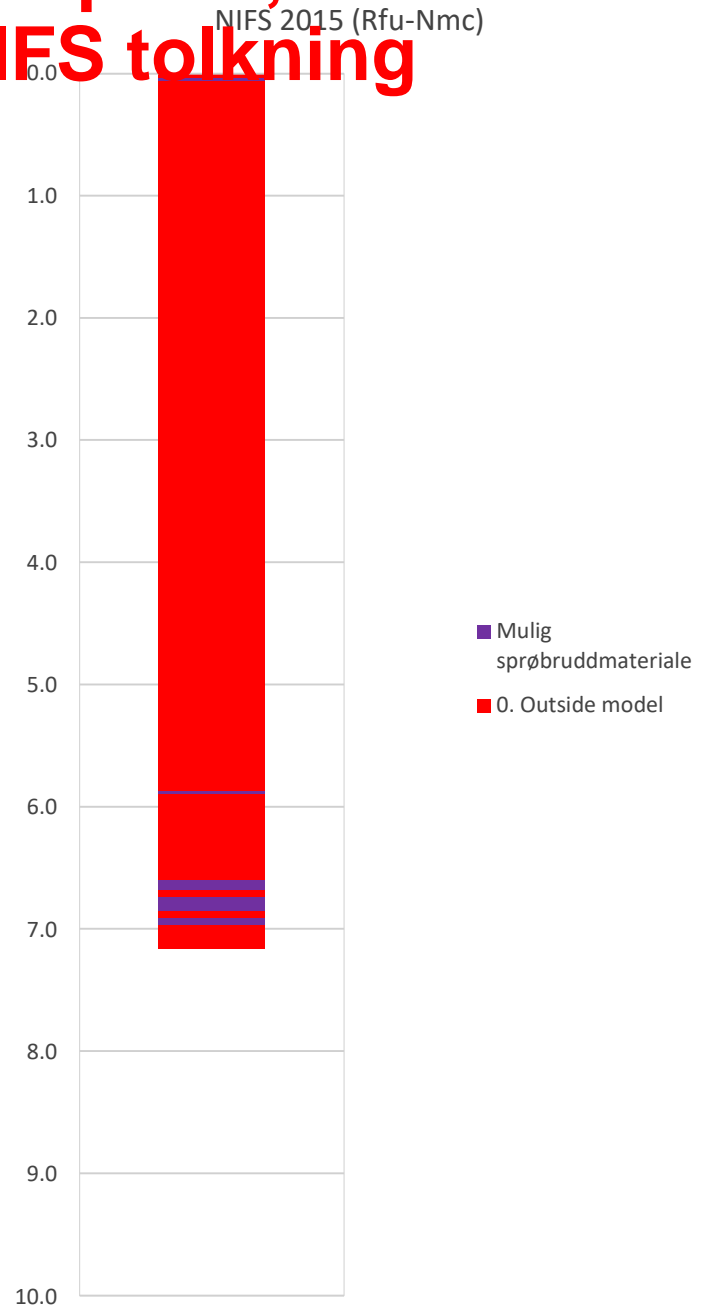
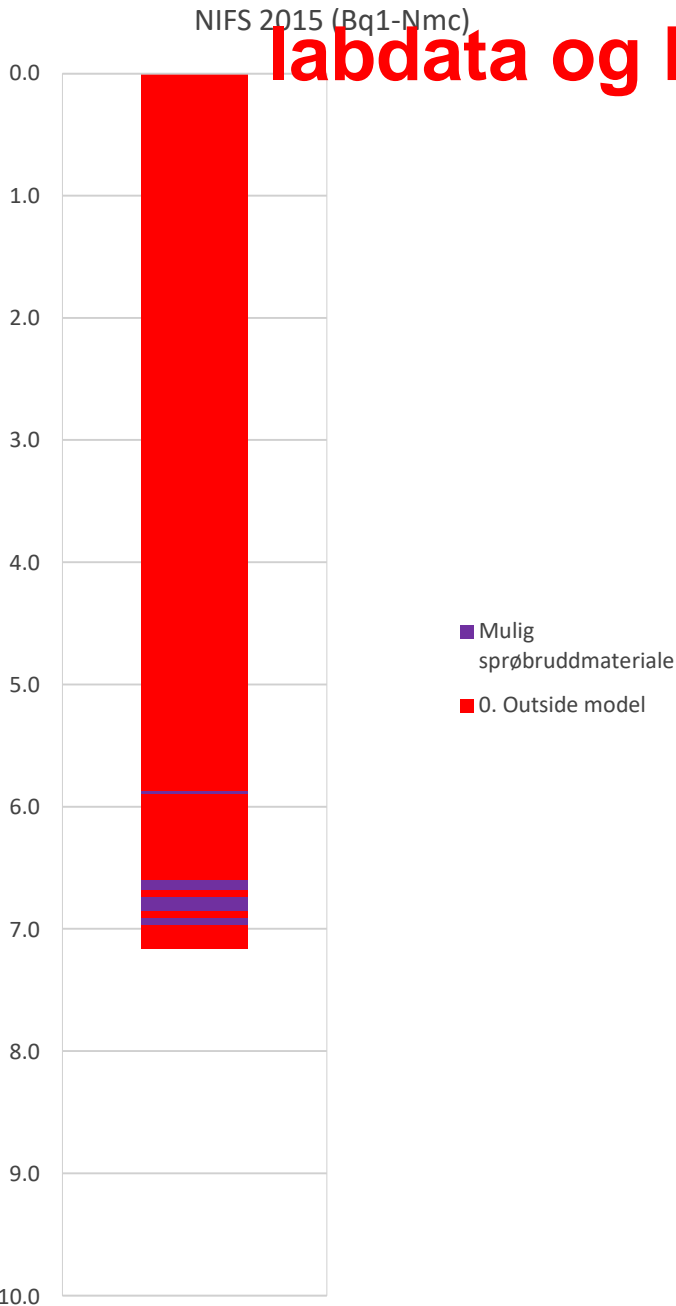
Udrenert aktiv skjærfasthet,  $c_{ucptu}$  (kPa)




Prosjekt <b>Ski Hensetting</b>	Prosjektnummer: 900078 Rapportnummer: MIP-00-A-14024	Borhull Kote +101.4 <b>A352</b>
Innhold Tolkning av udrenert aktiv skjærfasthet		Sondennummer <b>4634</b>
 <b>Statens vegvesen</b>	Utført SOHJ/JAJE	Kontrollert ABC
	Divisjon Ekstern konsulent	Dato sondering 19.05.2020
	Godkjent TTR	Anvend.klasse <b>1</b>
	Revisjon Rev. dato	Figur <b>5</b>

**B87**

# MIP-00-A-14025 - SuA-profil, CPTu med labdata og NIFS tolkning

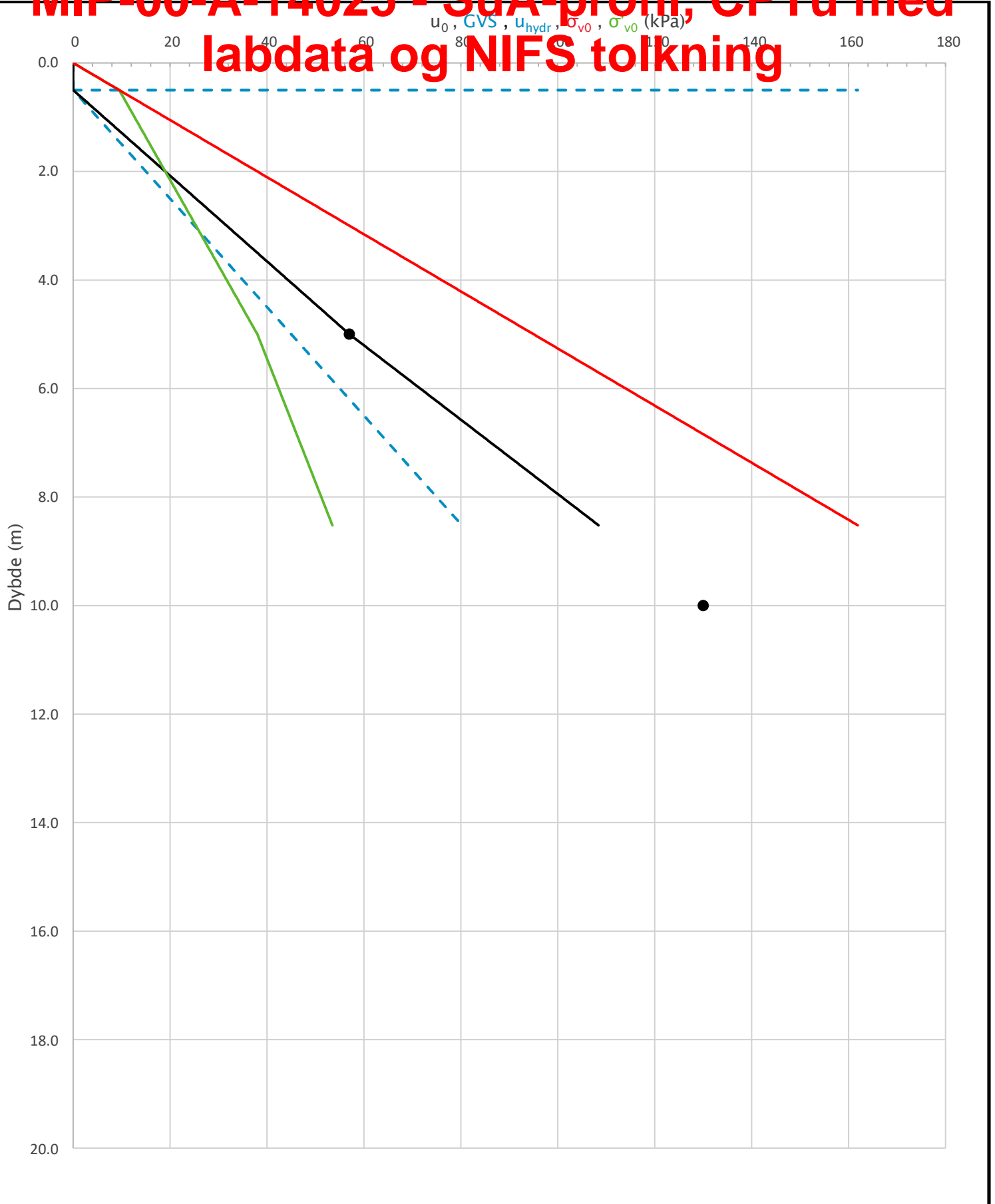


Prosjekt		Prosjektnummer: 900078 Rapportnummer: MIP-00-A-14024		Borhull	Kote +101.4
<b>Ski Hensetting</b>				<b>A352</b>	
Innhold				Sondennummer	
Jordartsklassifisering etter NIFS 2015 - detektering av sensitive materialer				<b>4634</b>	
 <b>Statens vegvesen</b>	Utført	Kontrollert	Godkjent	Anvend.klasse	
	SOHJ/JAJE	ABC	TTR	<b>1</b>	
	Divisjon	Dato sondering	Revisjon	Figur	
	Ekstern konsulent	19.05.2020	Rev. dato	<b>21</b>	

**B88**



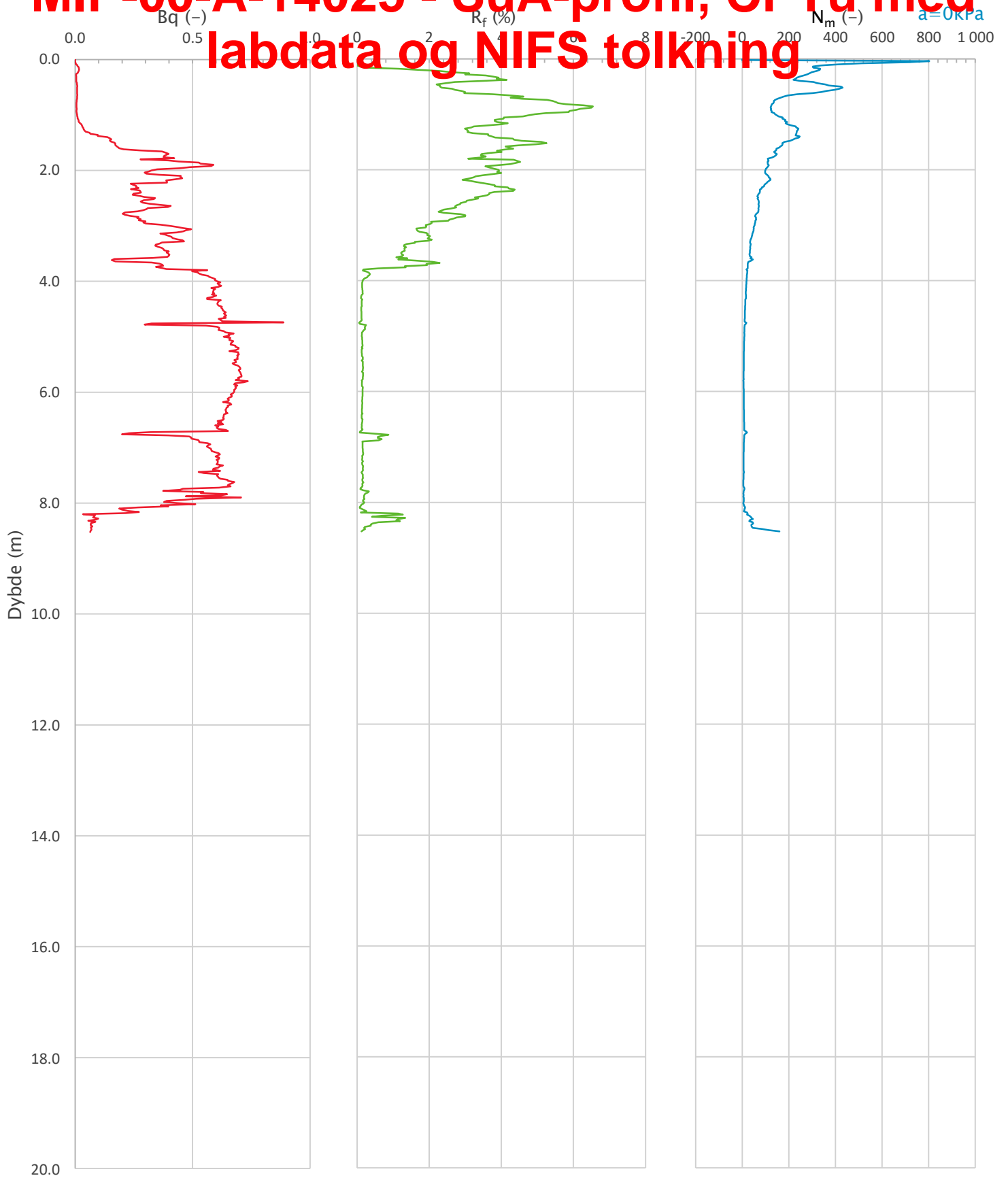
# MIP-00-A-14025 - SuA-profil, CPTu med labdata og NIFS tolkning




Prosjekt		Prosjektnummer: 900078 Rapportnummer: MIP-00-A-14024		Borhull	Kote +102.9
<b>Ski Hensetting</b>				<b>A367</b>	
Innhold		In-situ poretrykk, total- og effektiv vertikalspenning i beregninger		Sondennummer	<b>4634</b>
 <b>Statens vegvesen</b>	Utført	Kontrollert	Godkjent	Anvend.klasse	<b>1</b>
	SOHJ/JAJE	ABC	TTR		
	Divisjon	Dato sondering	Revisjon	Figur	<b>2</b>
	Ekstern konsulent	20.05.2020	Rev. dato		

**B89**

# MIP-00-A-14025 - SuA-profil, CPTu med labdata og NIFS tolkning



Prosjekt		Prosjektnummer: 900078 Rapportnummer: MIP-00-A-14024		Borhull	Kote +102.9
<b>Ski Hensetting</b>				<b>A367</b>	
Innhold				Sondennummer	
Avledede dimensjonsløse forhold				<b>4634</b>	
 <b>Statens vegvesen</b>	Utført	Kontrollert	Godkjent	Anvend.klasse	1
	SOHJ/JAJE	ABC	TTR		
	Divisjon	Dato sondering	Revisjon	Figur	4
	Ekstern konsulent	20.05.2020	Rev. dato		

**B90**

# MIP-00-A-14025 - SuA-profil, CPTu med labdata og NIFS tolkning

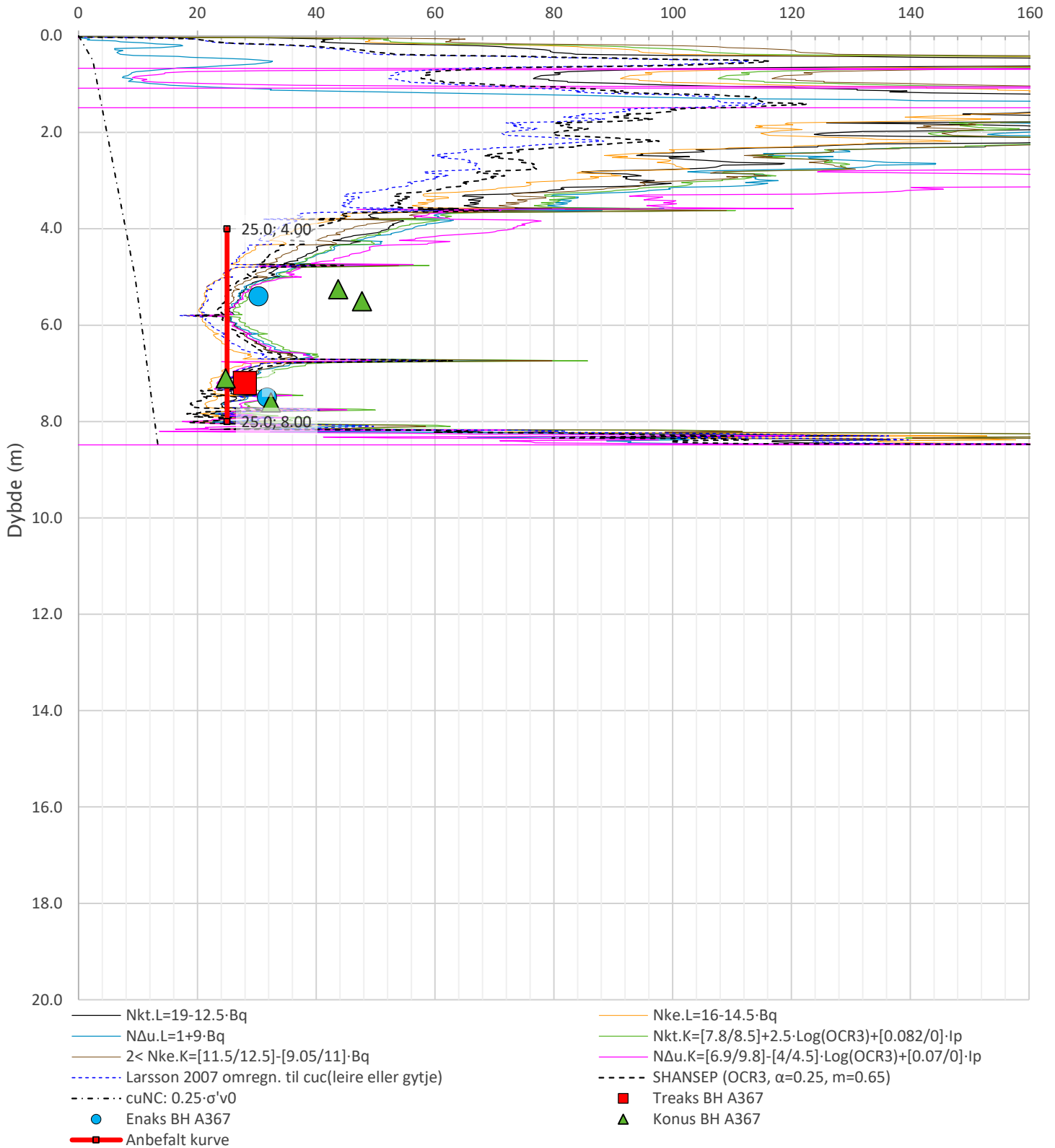
Anisotropiforhold i figur.


Treaks BH A367:  $c_uC/c_{ucptu} = 1.000$

Enaks BH A367:  $c_{uc}/c_{ucptu} = \text{var. (min:0.630 max:0.664)}$

Konus BH A367:  $c_{ufc}/c_{ucptu} = \text{var. (min:0.630 max:0.664)}$

Udrenert aktiv skjærfasthet,  $c_{ucptu}$  (kPa)

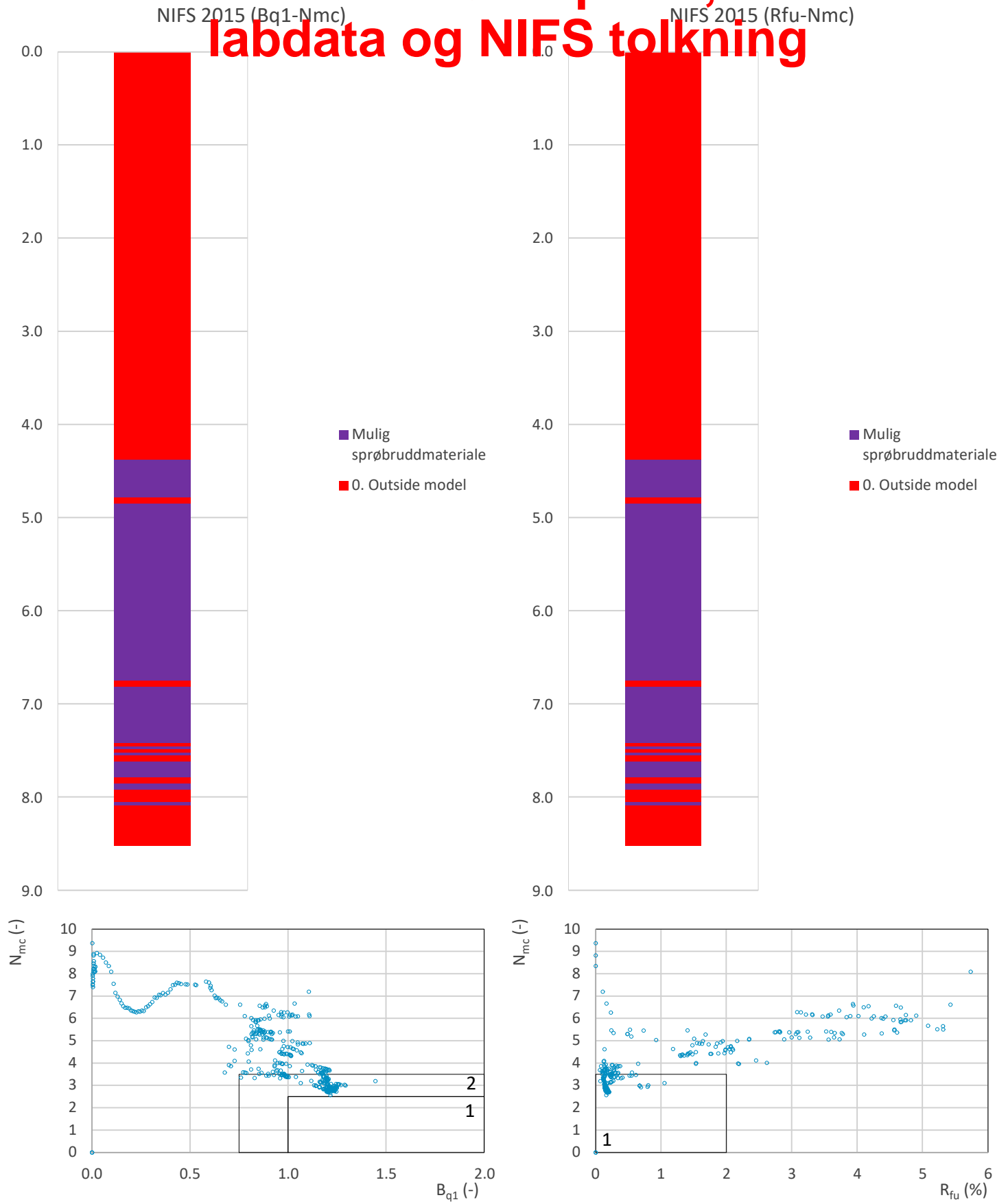



Prosjekt	Prosjektnummer: 900078 Rapportnummer: MIP-00-A-14024		Borhull	Kote +102.9
<b>Ski Hensetting</b>			<b>A367</b>	
Innhold			Sondennummer	
Tolkning av udrenert aktiv skjærfasthet			<b>4634</b>	
 <b>Statens vegvesen</b>	Utført	Kontrollert	Godkjent	Anvend.klasse
	SOHJ/JAJE	ABC	TTR	<b>1</b>
	Divisjon	Dato sondering	Revisjon	Figur
	Ekstern konsulent	20.05.2020	Rev. dato	<b>5</b>

**B91**



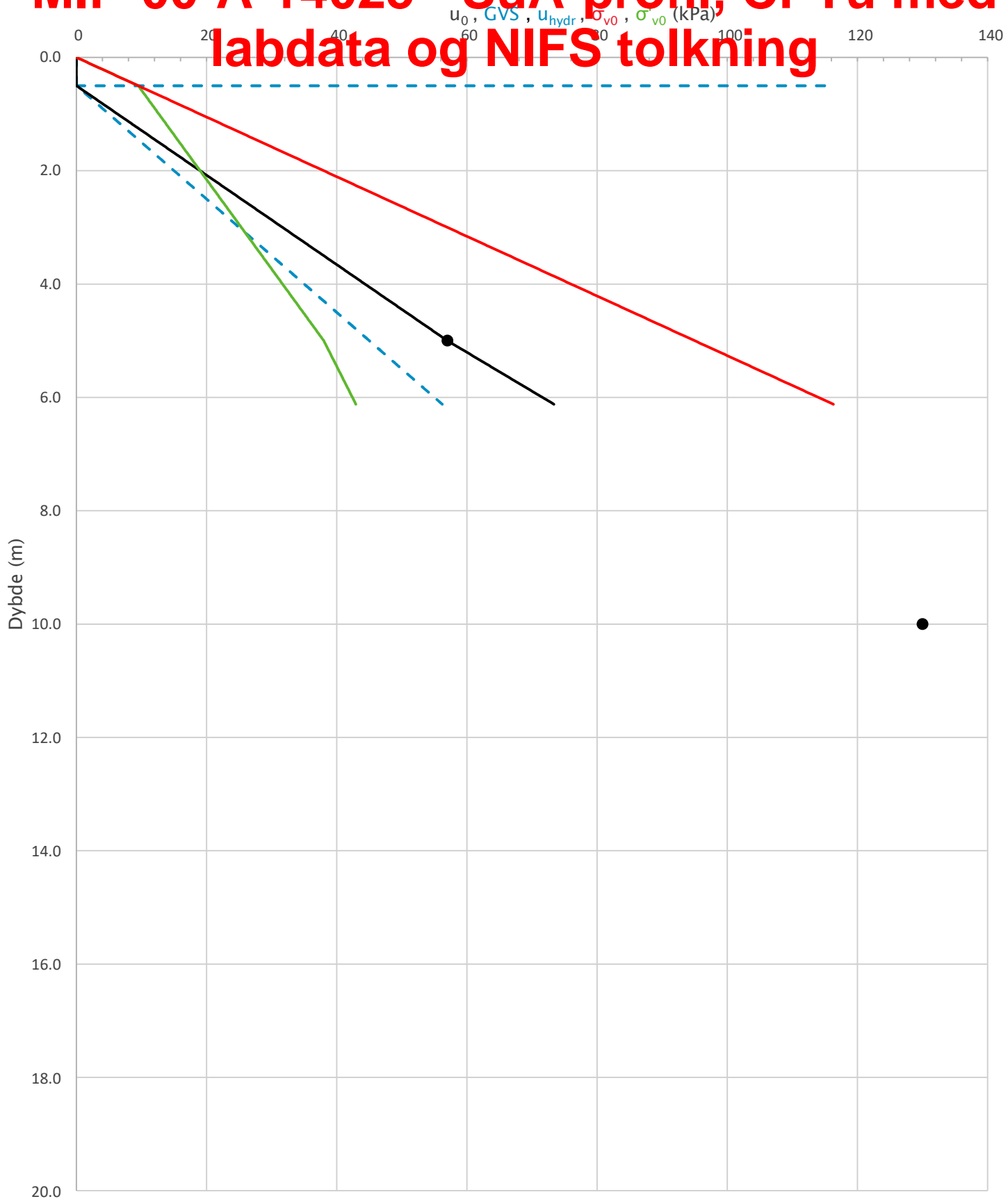
# MIP-00-A-14025 - SuA-profil, CPTu med labdata og NIFS tolkning



Prosjekt		Prosjektnummer: 900078 Rapportnummer: MIP-00-A-14024		Borhull	Kote +102.9
<b>Ski Hensetting</b>				<b>A367</b>	
Innhold				Sondenummer	
Jordartsklassifisering etter NIFS 2015 - detektering av sensitive materialer				<b>4634</b>	
 <b>Statens vegvesen</b>	Utført	Kontrollert	Godkjent	Anvend.klasse	
	SOHJ/JAJE	ABC	TTR	<b>1</b>	
	Divisjon	Dato sondering	Revisjon	Figur	
	Ekstern konsulent	20.05.2020	Rev. dato	<b>21</b>	

**B92**

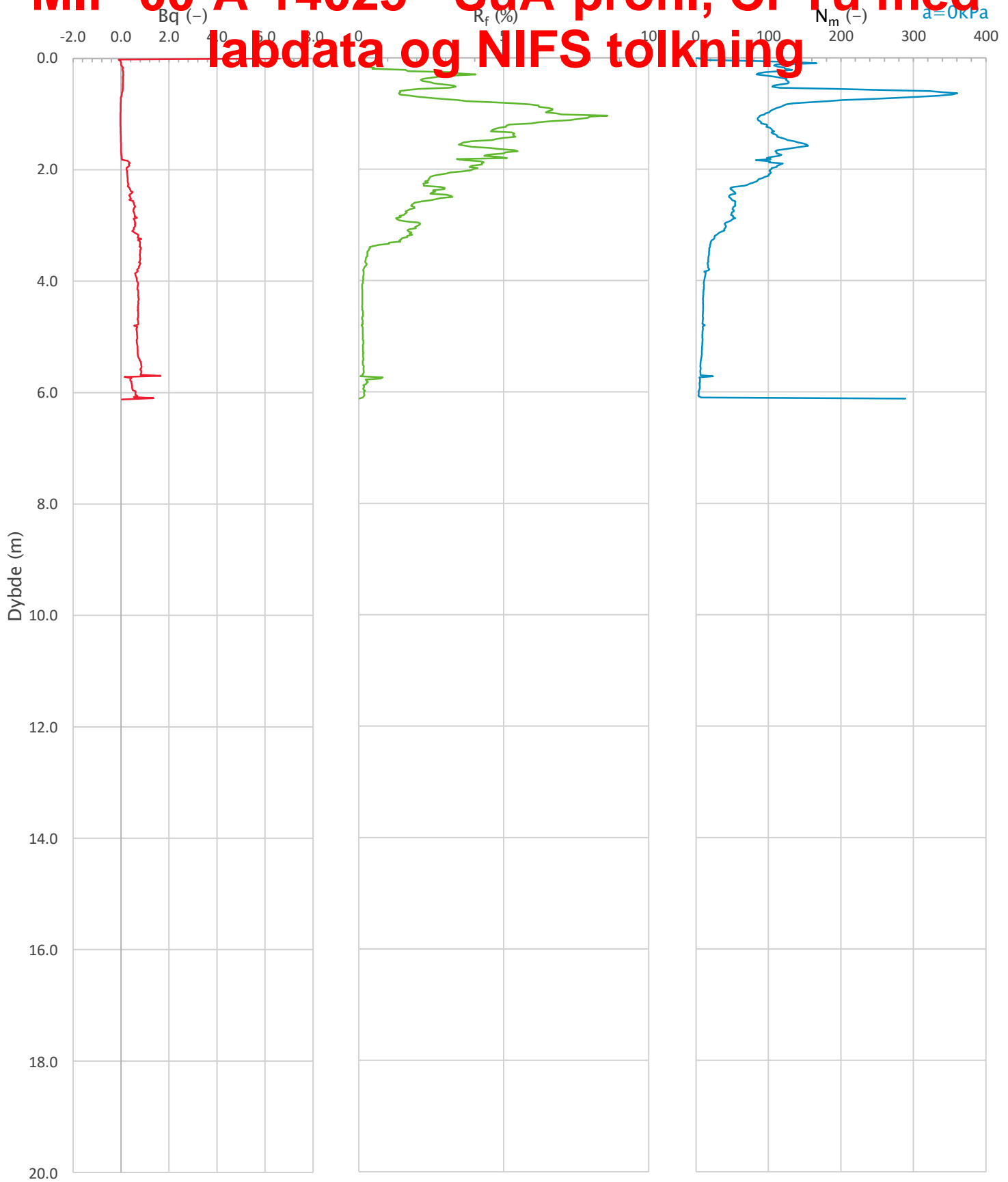
# MIP-00-A-14025 - SuA-profil, CPTu med labdata og NIFS tolkning




Prosjekt		Prosjektnummer: 900078 Rapportnummer: MIP-00-A-14024		Borhull	Kote +102.1
<b>Ski Hensetting</b>				<b>A369</b>	
Innhold		In-situ poretrykk, total- og effektiv vertikalspenning i beregninger		Sondennummer	<b>4634</b>
 <b>Statens vegvesen</b>	Utført	Kontrollert	Godkjent	Anvend.klasse	<b>1</b>
	SOHJ/JAJE	ABC	TTR		
	Divisjon	Dato sondering	Revisjon	Figur	<b>2</b>
	Ekstern konsulent	29.04.2020	Rev. dato		

**B93**

# MIP-00-A-14025 - SuA-profil, CPTu med labdata og NIFS tolkning



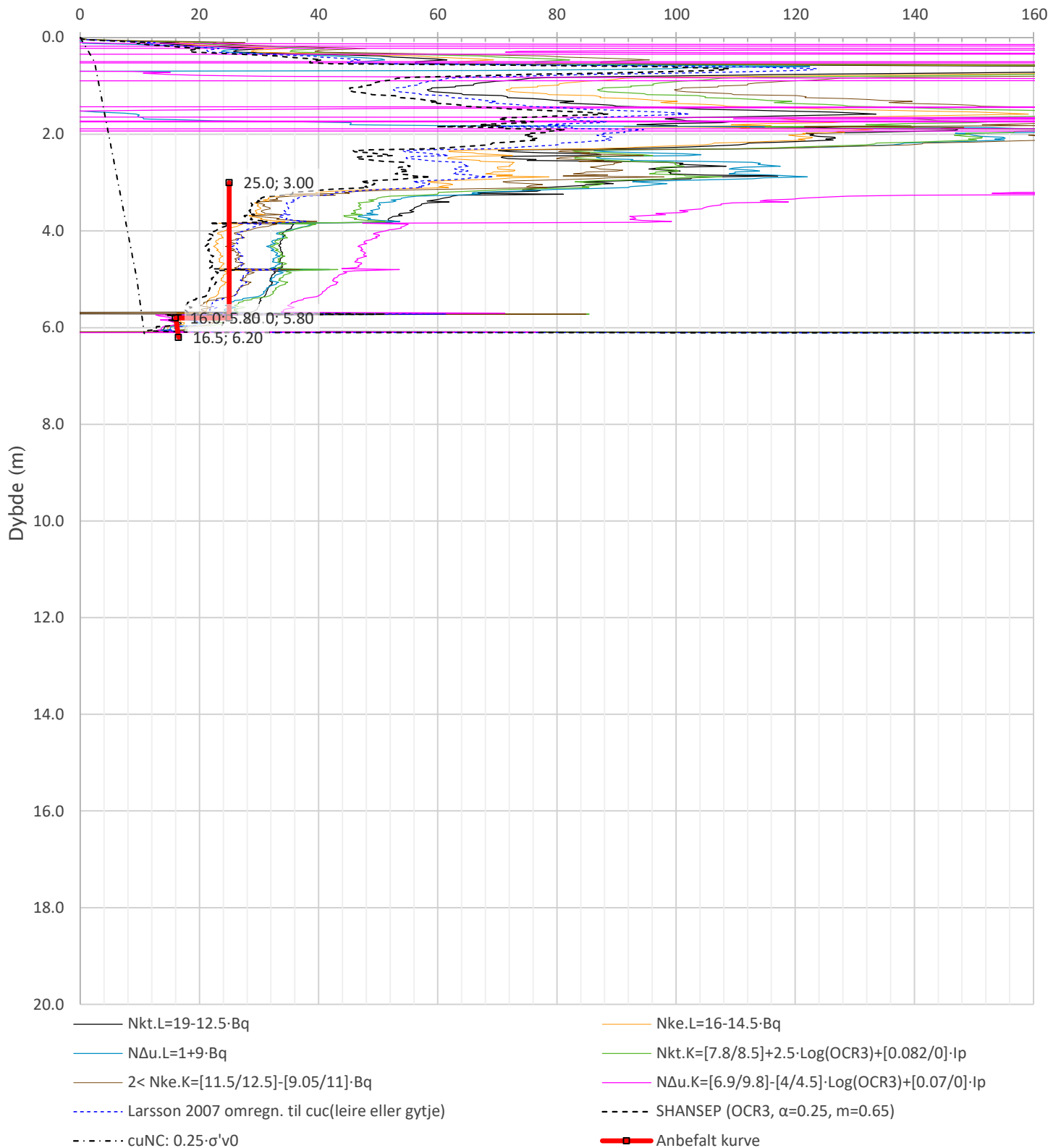
Prosjekt		Prosjektnummer: 900078 Rapportnummer: MIP-00-A-14024		Borhull	Kote +102.1
<b>Ski Hensetting</b>				<b>A369</b>	
Innhold				Sondennummer	
Avledede dimensjonsløse forhold				<b>4634</b>	
 <b>Statens vegvesen</b>	Utført	Kontrollert	Godkjent	Anvend.klasse	1
	SOHJ/JAJE	ABC	TTR		
	Divisjon	Dato sondering	Revisjon	Figur	4
	Ekstern konsulent	29.04.2020	Rev. dato		


**B94**



# MIP-00-A-14025 - SuA-profil, CPTu med labdata og NIFS tolkning

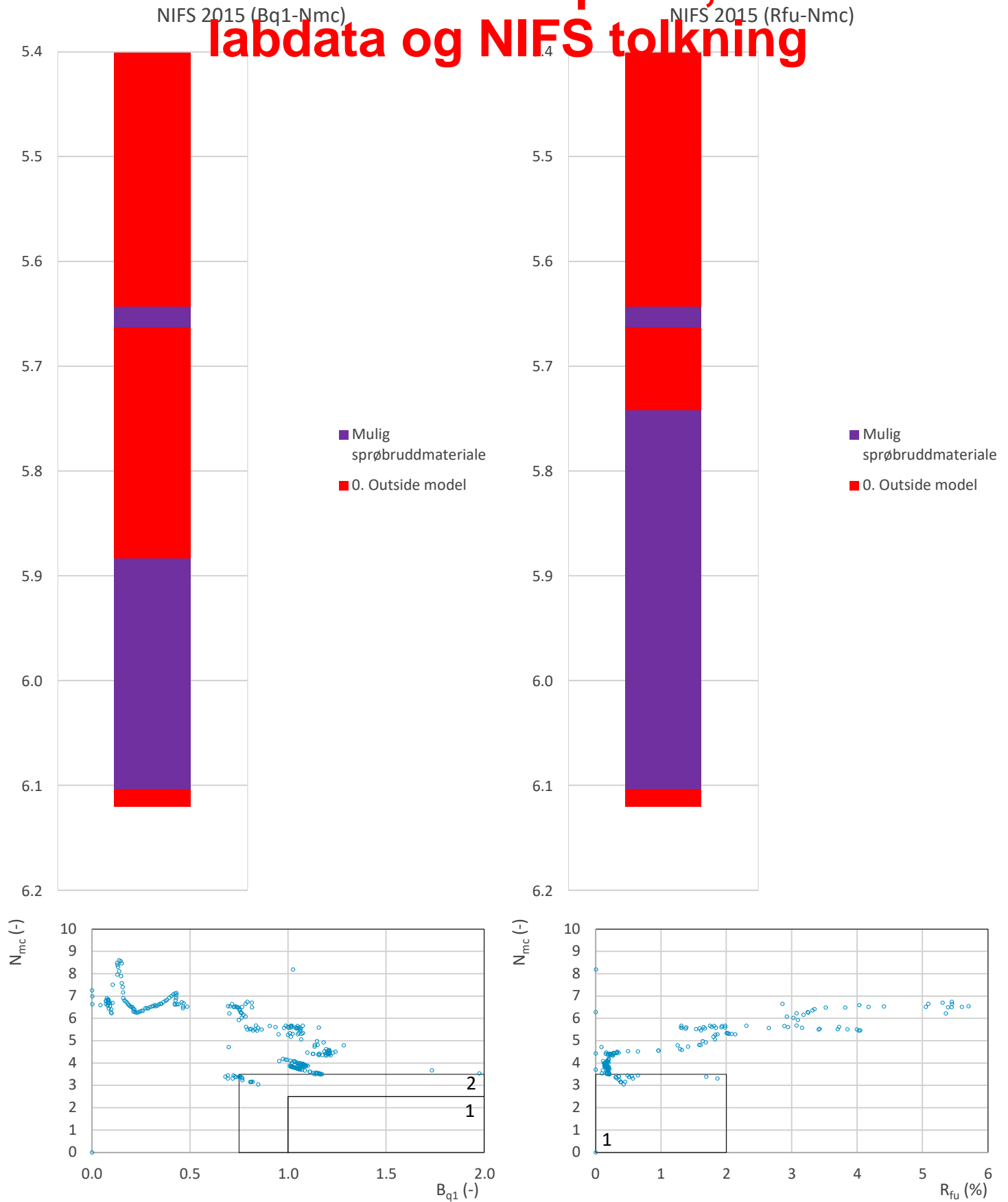
Udrenert aktiv skjærfasthet,  $c_{ucptu}$  (kPa)




Prosjekt <b>Ski Hensetting</b>	Prosjektnummer: 900078 Rapportnummer: MIP-00-A-14024	Borhull Kote +102.1 <b>A369</b>
Innhold Tolkning av udrenert aktiv skjærfasthet		Sondennummer <b>4634</b>
 <b>Statens vegvesen</b>	Utført SOHJ/JAJE	Kontrollert ABC
	Divisjon Ekstern konsulent	Dato sondering 29.04.2020
	Godkjent TTR	Anvend.klasse <b>1</b>
	Revisjon Rev. dato	Figur <b>5</b>

**B95**

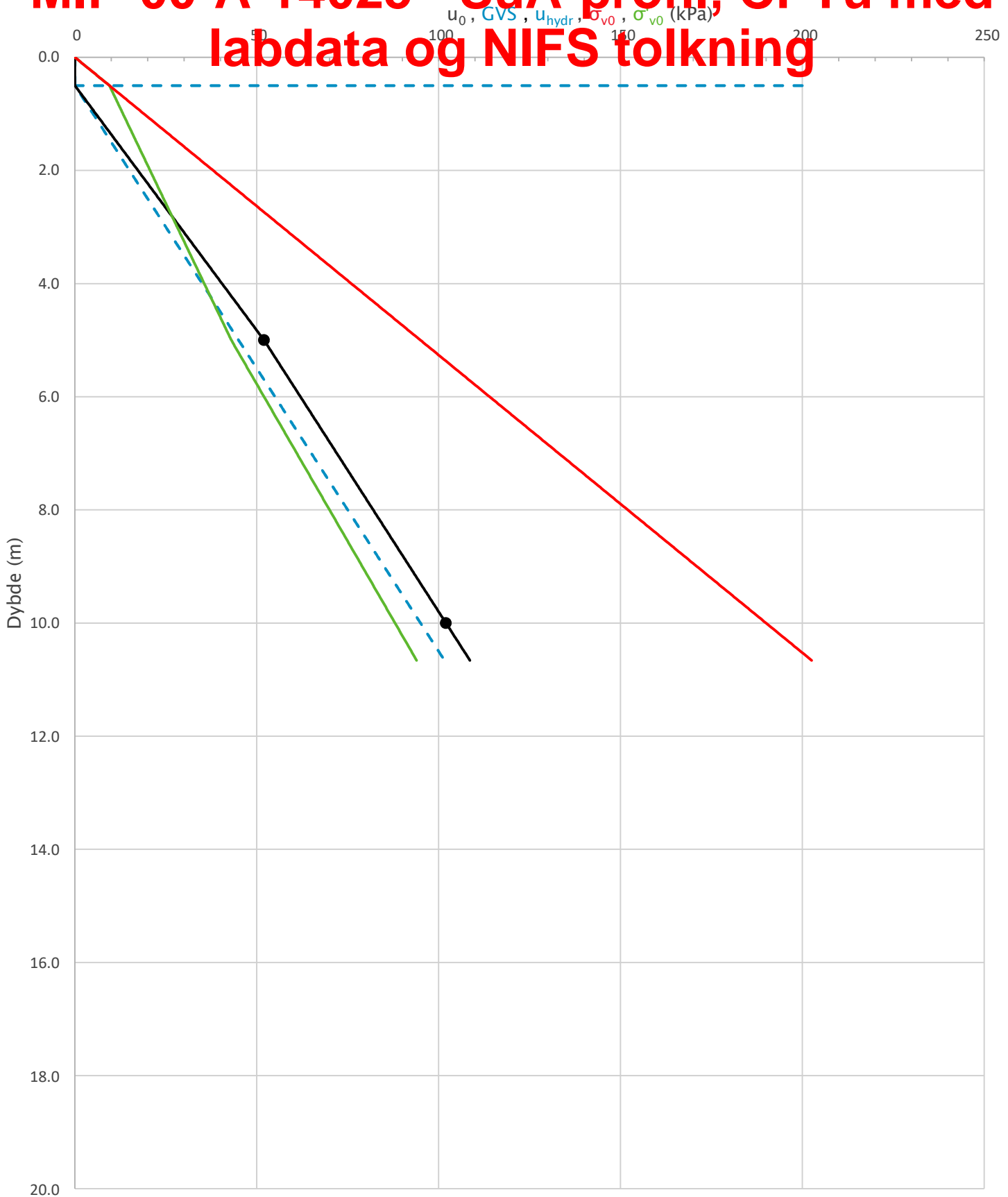
# MIP-00-A-14025 - SuA-profil, CPTu med labdata og NIFS tolkning



Prosjekt		Prosjektnummer: 900078 Rapportnummer: MIP-00-A-14024		Borhull	Kote +102.1
<b>Ski Hensetting</b>				<b>A369</b>	
Innhold		Jordartsklassifisering etter NIFS 2015 – detektering av sensitive materialer		Sondenummer	
				<b>4634</b>	
 <b>Statens vegvesen</b>	Utført	Kontrollert	Godkjent	Anvend.klasse	
	SOHJ/JAJE	ABC	TTR	<b>1</b>	
	Divisjon	Dato sondering	Revisjon	Figur	
	Ekstern konsulent	29.04.2020	Rev. dato	<b>21</b>	

**B96**

# MIP-00-A-14025 - SuA-profil, CPTu med labdata og NIFS tolkning



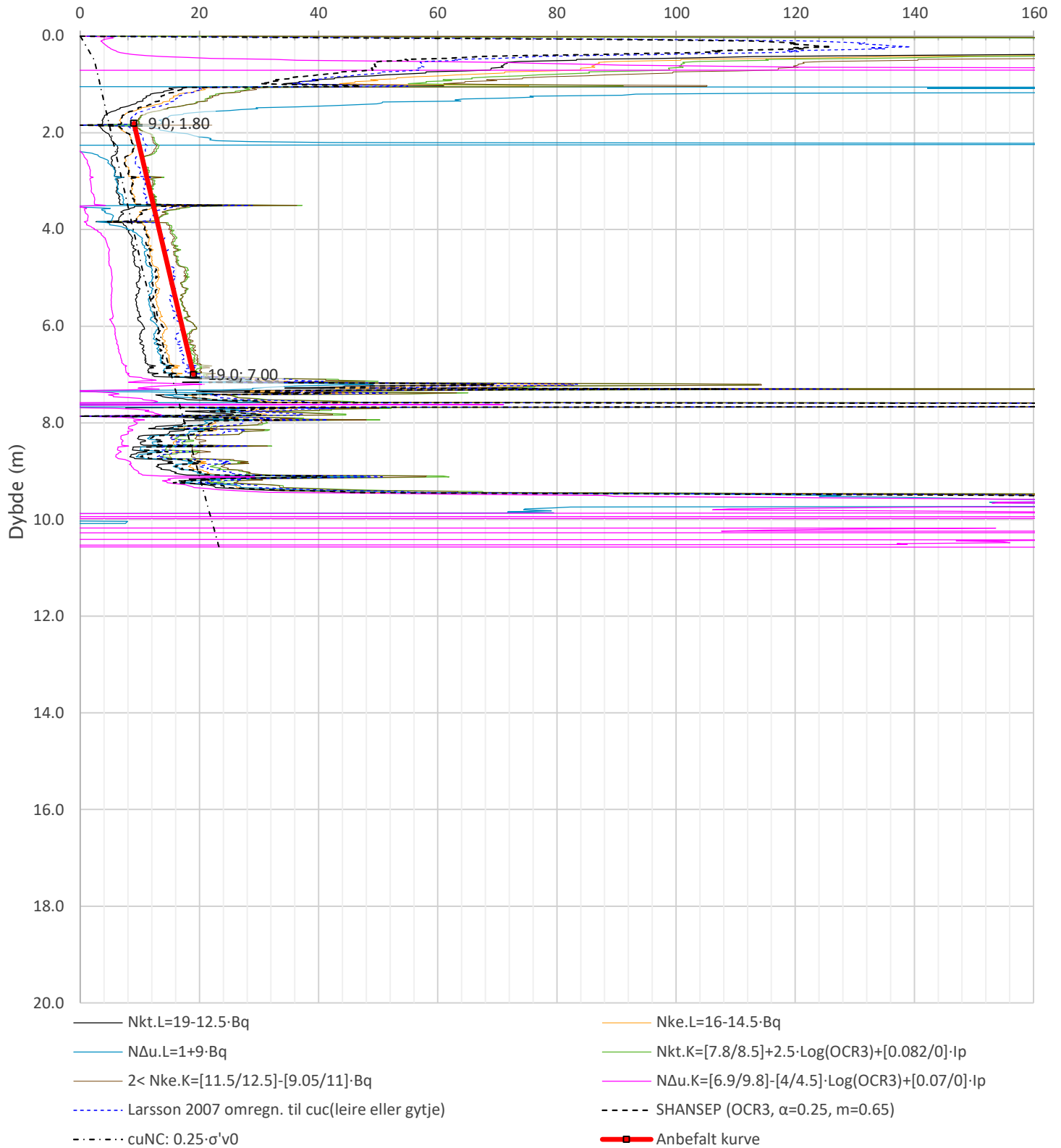
Prosjekt		Prosjektnummer: 900078 Rapportnummer: MIP-00-A-14024		Borhull	Kote +97.8
<b>Ski Hensetting</b>				<b>A390</b>	
Innhold		In-situ poretrykk, total- og effektiv vertikalspenning i beregninger		Sondennummer	<b>4489</b>
 <b>Statens vegvesen</b>	Utført	Kontrollert	Godkjent	Anvend.klasse	<b>1</b>
	SOHJ/JAJE	ABC	TTR		
	Divisjon	Dato sondering	Revisjon	Figur	<b>2</b>
	Ekstern konsulent	17.06.2020	Rev. dato		


**B97**



# MIP-00-A-14025 - SuA-profil, CPTu med labdata og NIFS tolkning

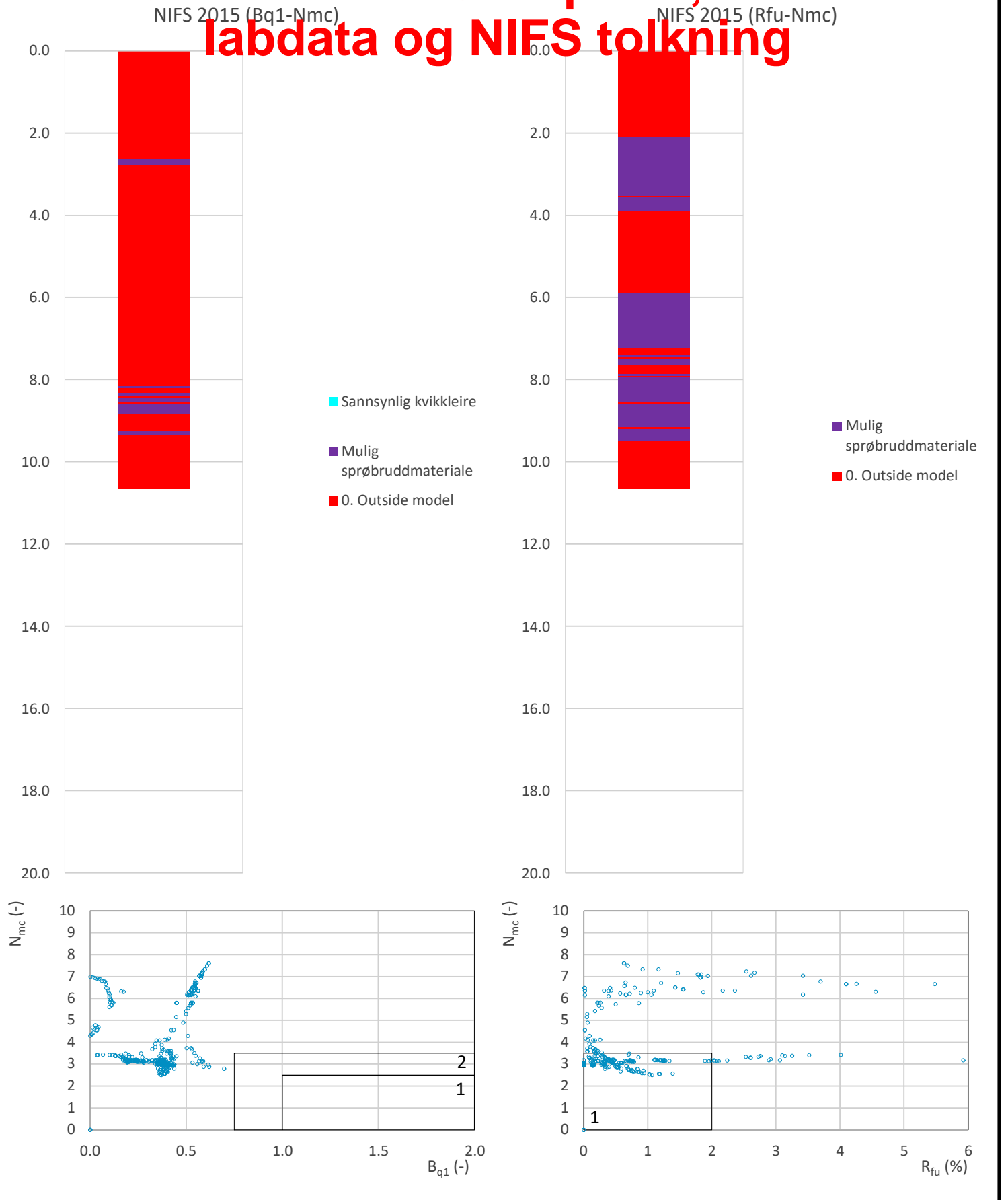
Udrenert aktiv skjærfasthet,  $c_{ucptu}$  (kPa)



Prosjekt <b>Ski Hensetting</b>	Prosjektnummer: 900078 Rapportnummer: MIP-00-A-14024	Borhull Kote +97.8 <b>A390</b>
Innhold Tolkning av udrenert aktiv skjærfasthet		Sondennummer <b>4489</b>
 <b>Statens vegvesen</b>	Utført SOHJ/JAJE	Kontrollert ABC
	Divisjon Ekstern konsulent	Dato sondering 17.06.2020
	Godkjent TTR	Anvend.klasse <b>1</b>
	Revisjon Rev. dato	Figur <b>5</b>

**B98**

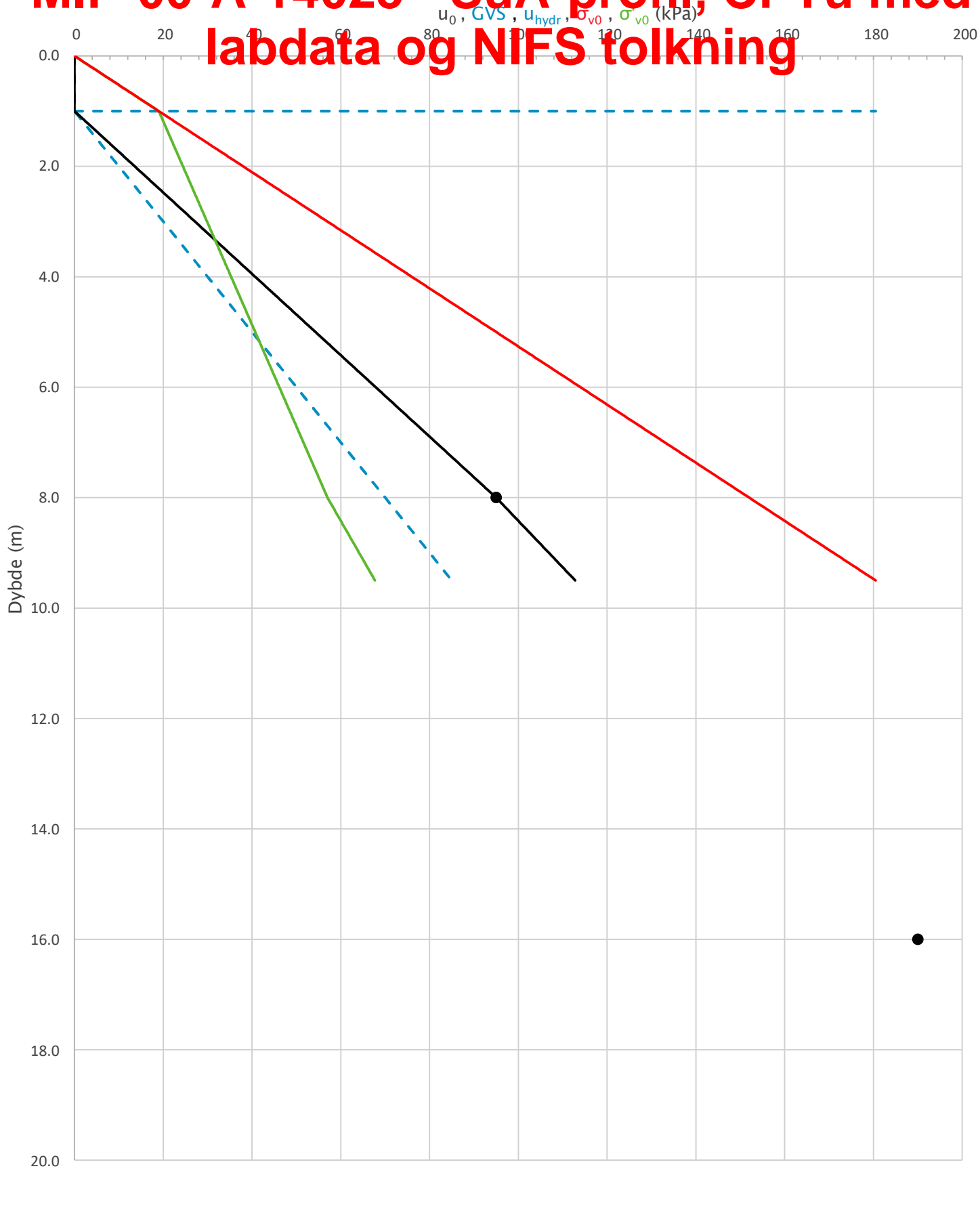
# MIP-00-A-14025 - SuA-profil, CPTu med labdata og NIFS tolkning



Prosjekt		Prosjektnummer: 900078 Rapportnummer: MIP-00-A-14024		Borhull	Kote +97.8
<b>Ski Hensetting</b>				<b>A390</b>	
Innhold		Jordartsklassifisering etter NIFS 2015 – detektering av sensitive materialer		Sondennummer	<b>4489</b>
 <b>Statens vegvesen</b>	Utført	Kontrollert	Godkjent	Anvend.klasse	<b>1</b>
	SOHJ/JAJE	ABC	TTR		
	Divisjon	Dato sondering	Revisjon	Figur	<b>21</b>
	Ekstern konsulent	17.06.2020	Rev. dato		

**B99**

# MIP-00-A-14025 - SuA-profil, CPTu med labdata og NIFS tolkning



Prosjekt		Prosjektnummer: 900078 Rapportnummer: MIP-00-A-14024		Borhull	Kote +107.6
<b>Ski Hensetting</b>				<b>A399</b>	
Innhold		In-situ poretrykk, total- og effektiv vertikalspenning i beregninger		Sondennummer	<b>4489</b>
 <b>Statens vegvesen</b>	Utført	Kontrollert	Godkjent	Anvend.klasse	<b>1</b>
	SOHJ/JAJE	ABC	TTR		
	Divisjon	Dato sondering	Revisjon	Figur	<b>2</b>
	Ekstern konsulent	11.06.2020	Rev. dato		

**B100**



# MIP-00-A-14025 - SuA-profil, CPTu med labdata og NIFS tolkning

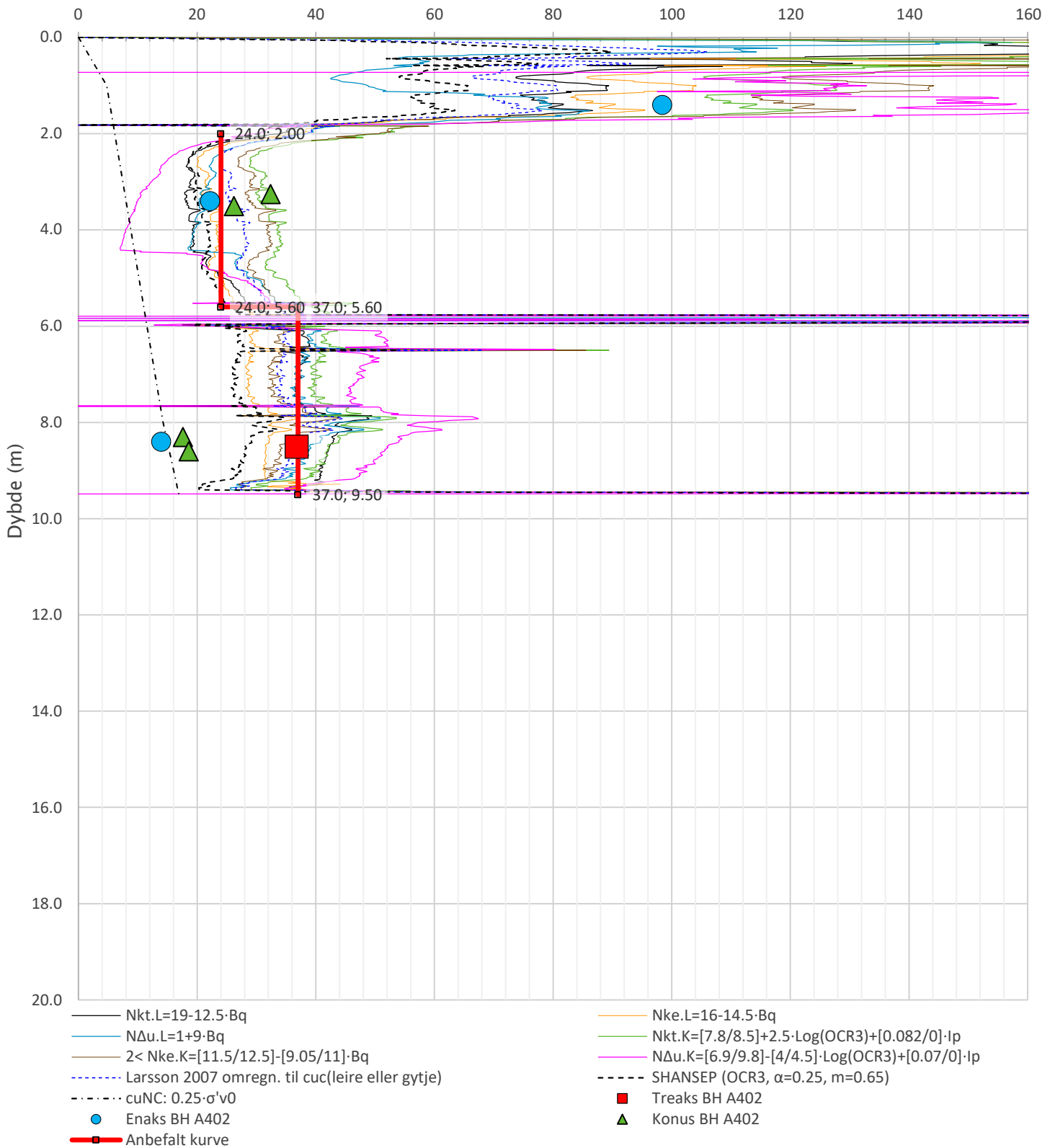
Anisotropiforhold i figur.


Treaks BH A402:  $c_uC/c_{ucptu} = 1.000$

Enaks BH A402:  $c_{uc}/c_{ucptu} = 0.630$

Konus BH A402:  $c_{ufc}/c_{ucptu} = 0.630$

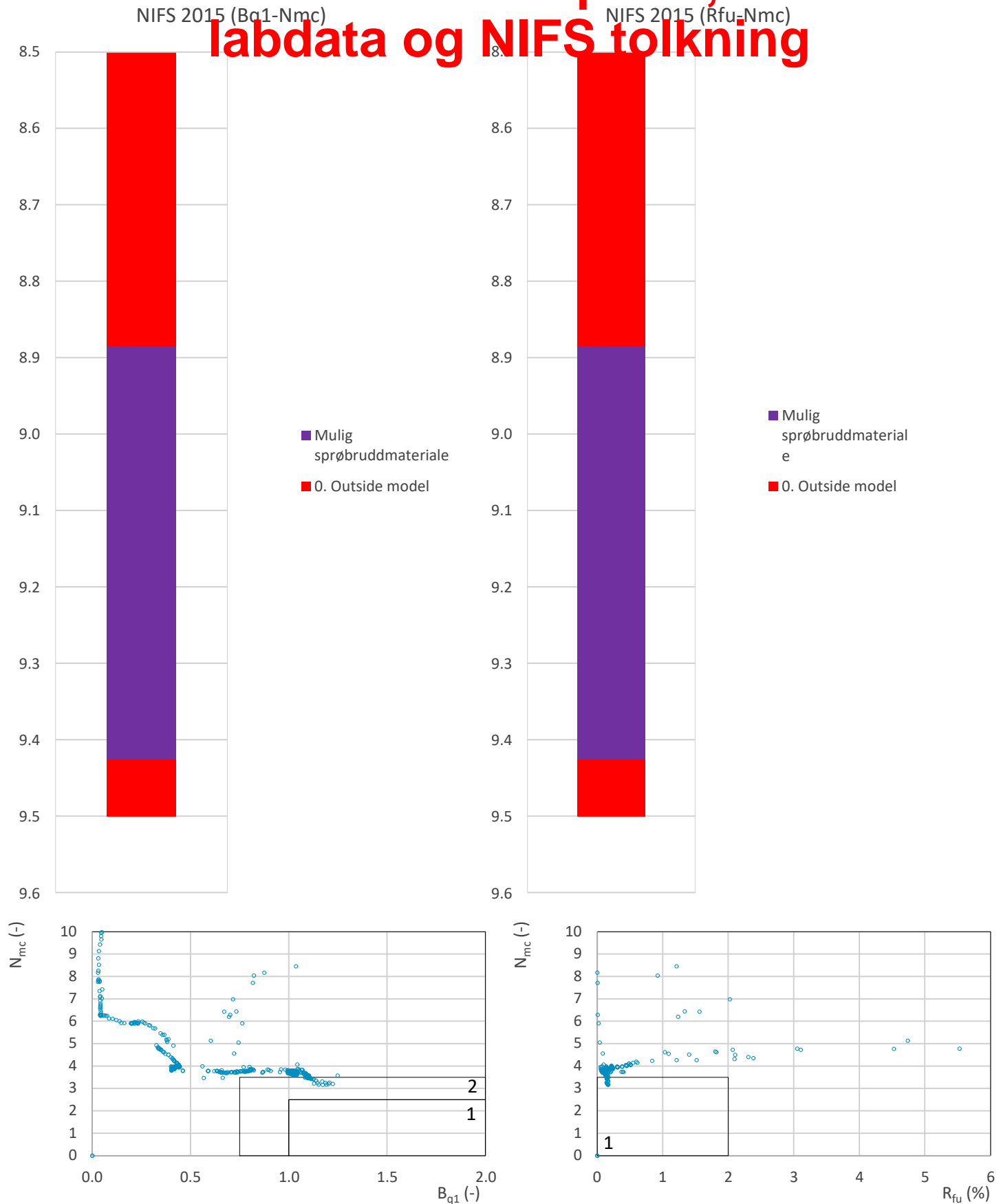
Udrenert aktiv skjærfasthet,  $c_{ucptu}$  (kPa)




Prosjekt <b>Ski Hensetting</b>	Prosjektnummer: 900078 Rapportnummer: MIP-00-A-14024	Borhull Kote +107.6 <b>A399</b>		
Innhold Tolkning av udrenert aktiv skjærfasthet		Sondennummer <b>4489</b>		
 <b>Statens vegvesen</b>	Utført SOHJ/JAJE	Kontrollert ABC	Godkjent TTR	Anvend.klasse <b>1</b>
	Divisjon Ekstern konsulent	Dato sondering 11.06.2020	Revisjon Rev. dato	Figur <b>5</b>

**B101**

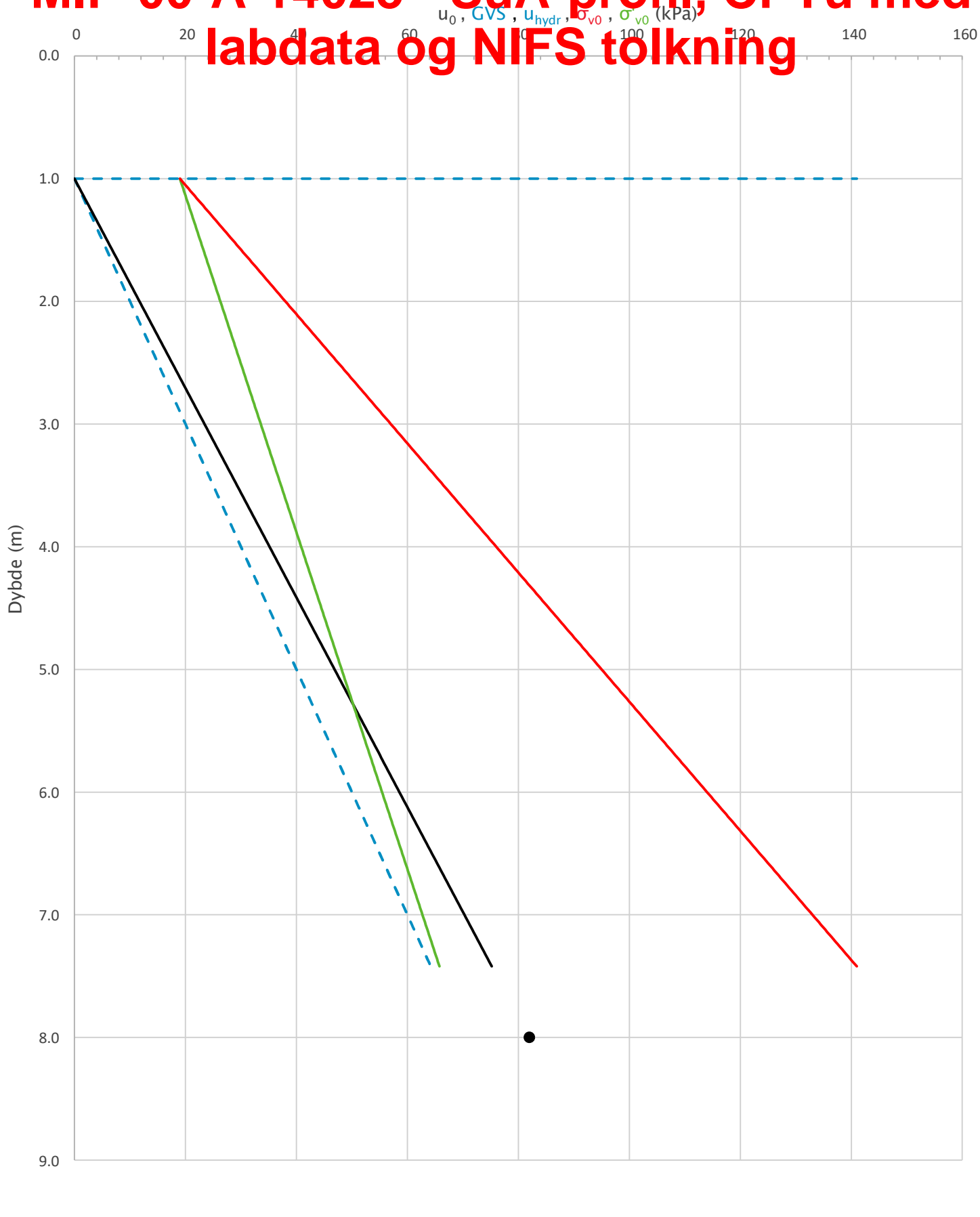
# MIP-00-A-14025 - SuA-profil, CPTu med labdata og NIFS tolkning



Prosjekt		Prosjektnummer: 900078 Rapportnummer: MIP-00-A-14024		Borhull	Kote +107.6
<b>Ski Hensetting</b>				<b>A399</b>	
Innhold		Jordartsklassifisering etter NIFS 2015 - detektering av sensitive materialer		Sondennummer	<b>4489</b>
 <b>Statens vegvesen</b>	Utført	Kontrollert	Godkjent	Anvend.klasse	<b>1</b>
	SOHJ/JAJE	ABC	TTR	Figur	<b>21</b>
	Divisjon	Dato sondering	Revisjon		
	Ekstern konsulent	11.06.2020	Rev. dato		

**B102**

# MIP-00-A-14025 - SuA-profil, CPTu med labdata og NIFS tolkning

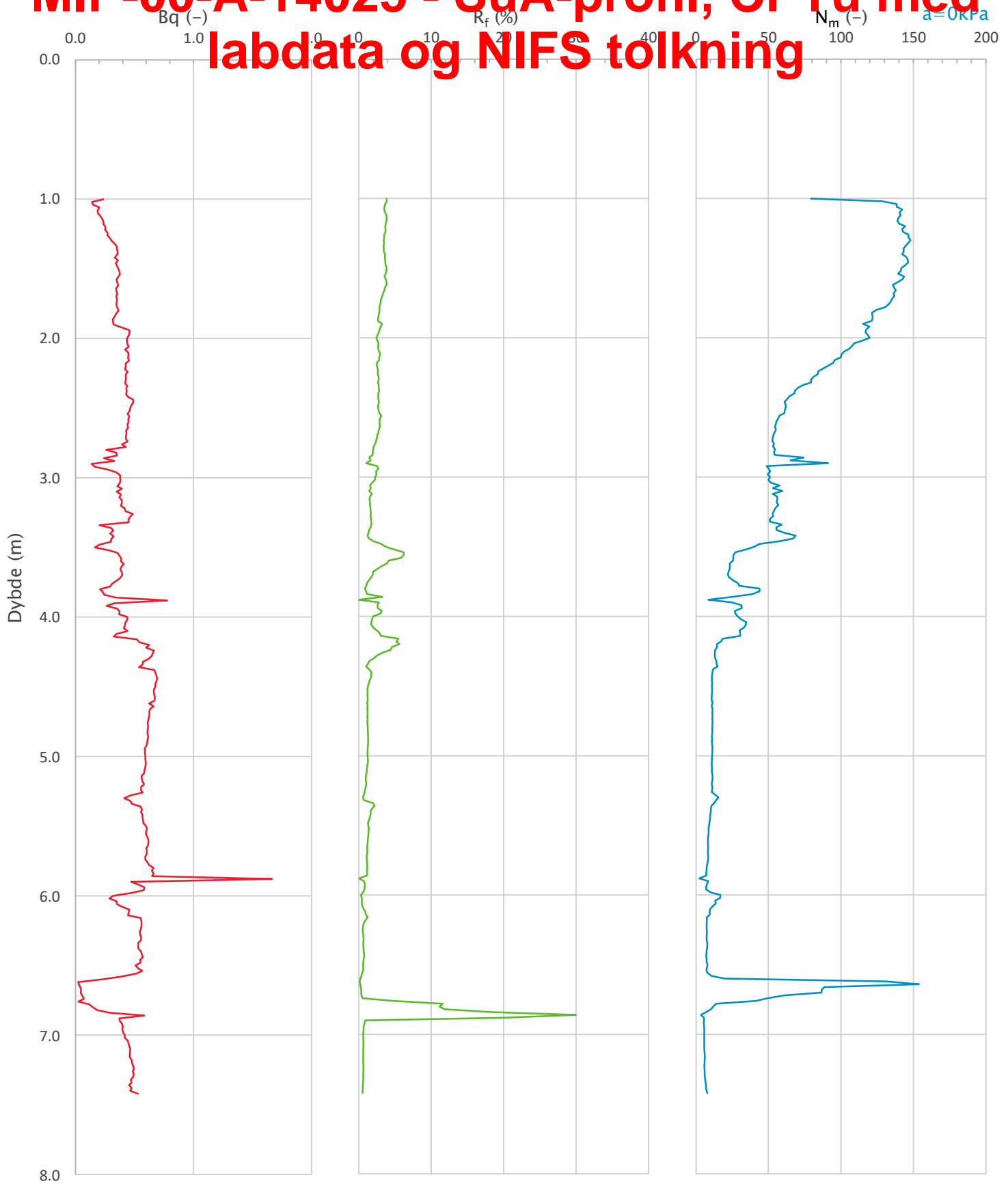



Prosjekt			Ski hensetting		Borhull		A411			
Innhold			In-situ poretrykk, total- og effektiv vertikalspenning i beregninger				Sondennummer		5310	
 <b>Statens vegvesen</b>	Utført		Kontrollert		Godkjent		Anvend.klasse			
	SOHJ		ABC		TTR		1			
Divisjon		Dato sondering		Revisjon		Figur		2		
Utbygging		05.07.2021		Rev. dato						

**B103**



# MIP-00-A-14025 - SuA-profil, CPTu med labdata og NIFS tolkning



Prosjekt <b>Ski hensetting</b>			Borhull <b>A411</b>	
Innhold Avledede dimensjonsløse forhold			Sondenummer <b>5310</b>	
 <b>Statens vegvesen</b>	Utført SOHJ	Kontrollert ABC	Godkjent TTR	Anvend.klasse
	Divisjon Utbygging	Dato sondering 05.07.2021	Revisjon Rev. dato	Figur <b>4</b>

**B104**

# MIP-00-A-14025 - SuA-profil, CPTu med labdata og NIFS tolkning

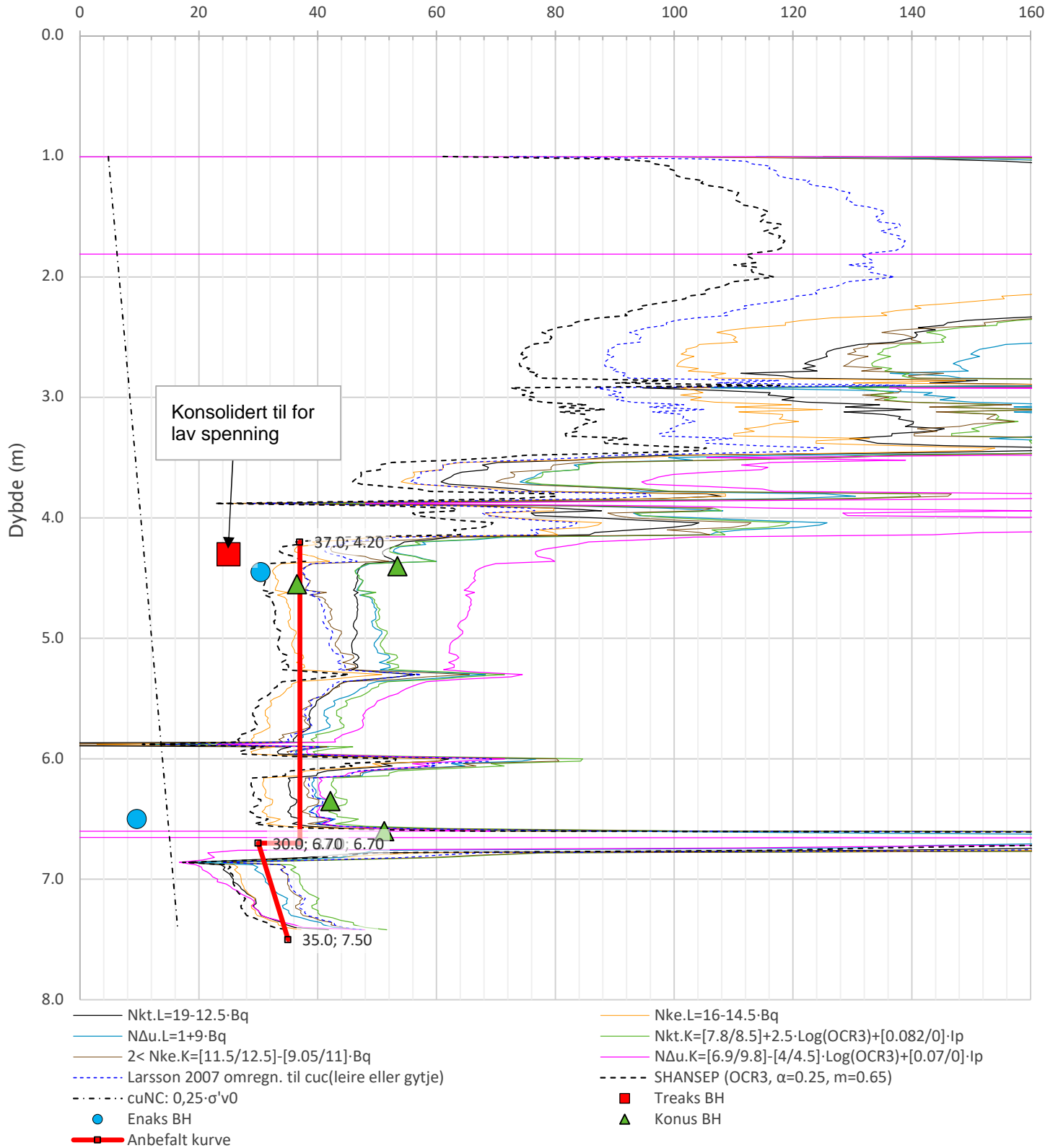
Anisotropiforhold i figur.


Treaks BH :  $c_uC/c_{ucptu} = 1.000$

Enaks BH :  $c_{uc}/c_{ucptu} = 0.136$

Konus BH :  $c_{ufc}/c_{ucptu} = 0.638$

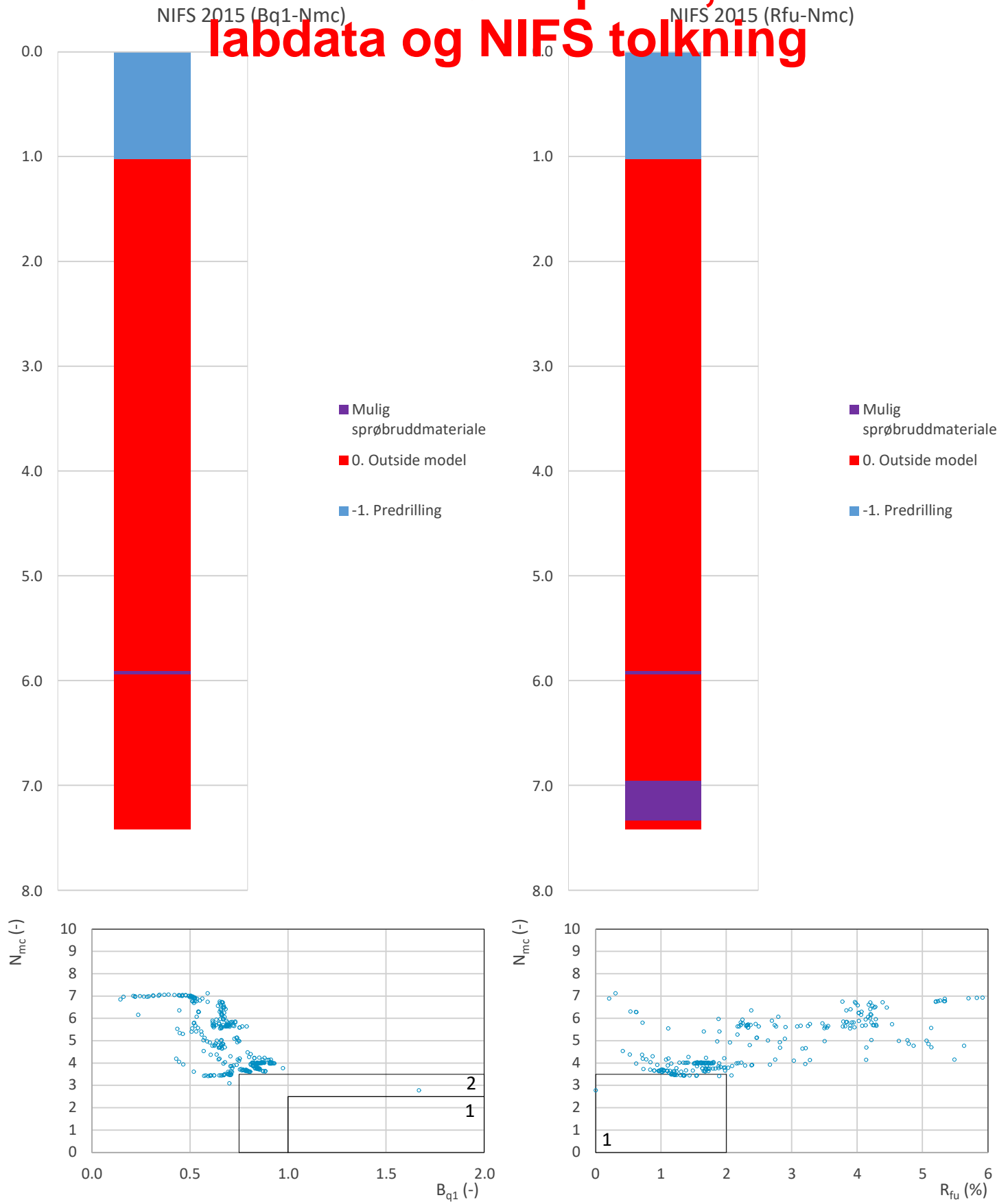
Udrenert aktiv skjærfasthet,  $c_{ucptu}$  (kPa)



Prosjekt			Ski hensetting		Borhull		A411						
Innhold			Tolkning av udrenert aktiv skjærfasthet				Sondennummer		5310				
 Statens vegvesen	Utført		SOHJ		Kontrollert		ABC		Godkjent		TTR		
	Divisjon		Utbygging		Dato sondering		05.07.2021		Revisjon		Figur		5

**B105**

# MIP-00-A-14025 - SuA-profil, CPTu med labdata og NIFS tolkning

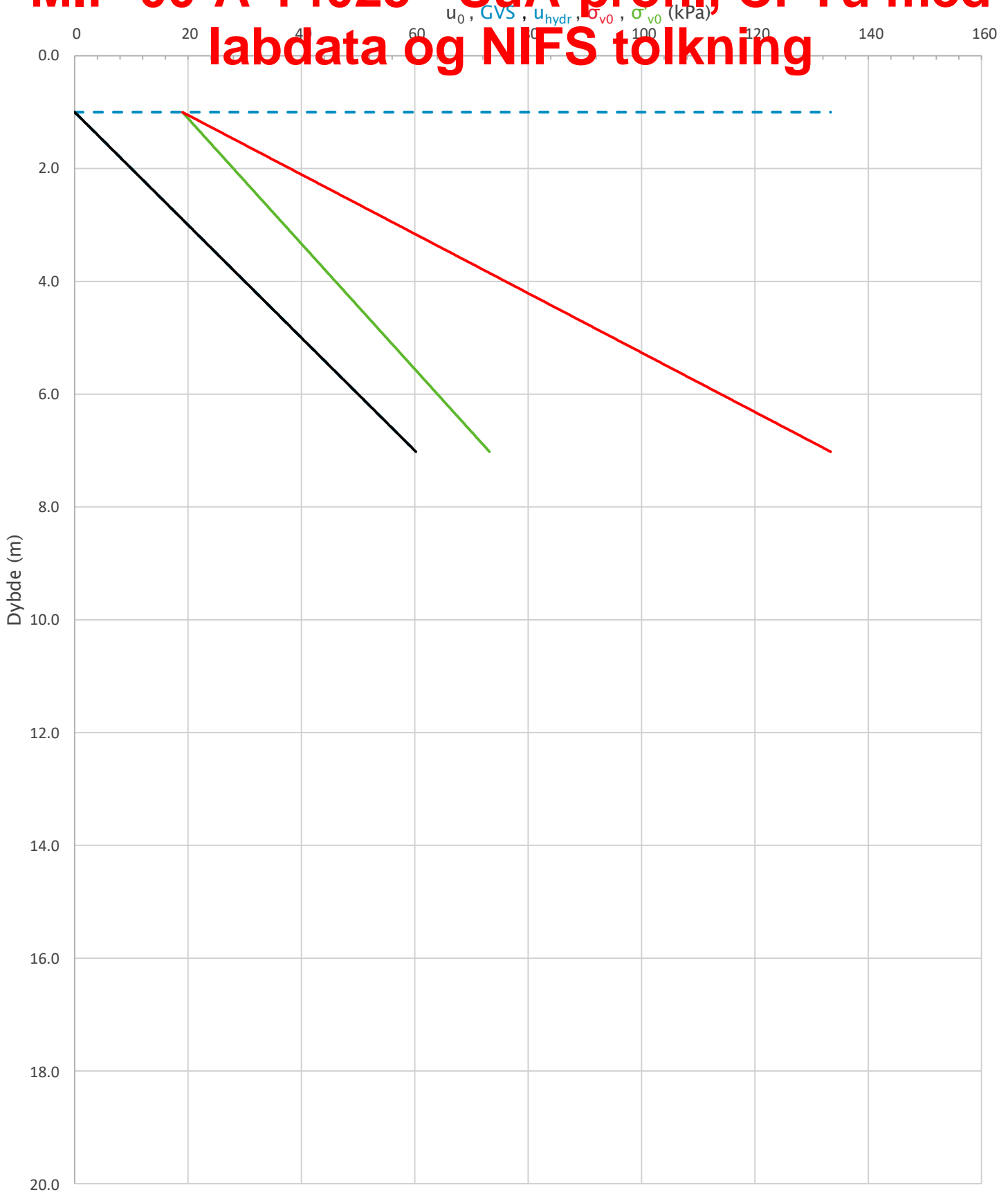


Prosjekt			Ski hensetting		Borhull		A411						
Innhold			Jordartsklassifisering etter NIFS 2015 – detektering av sensitive materialer					Sondennummer		5310			
 <b>Statens vegvesen</b>	Utført		SOHJ		Kontrollert		ABC		Godkjent		TTR		
	Divisjon		Utbygging		Dato sondering		05.07.2021		Revisjon		Figur		21

**B106**



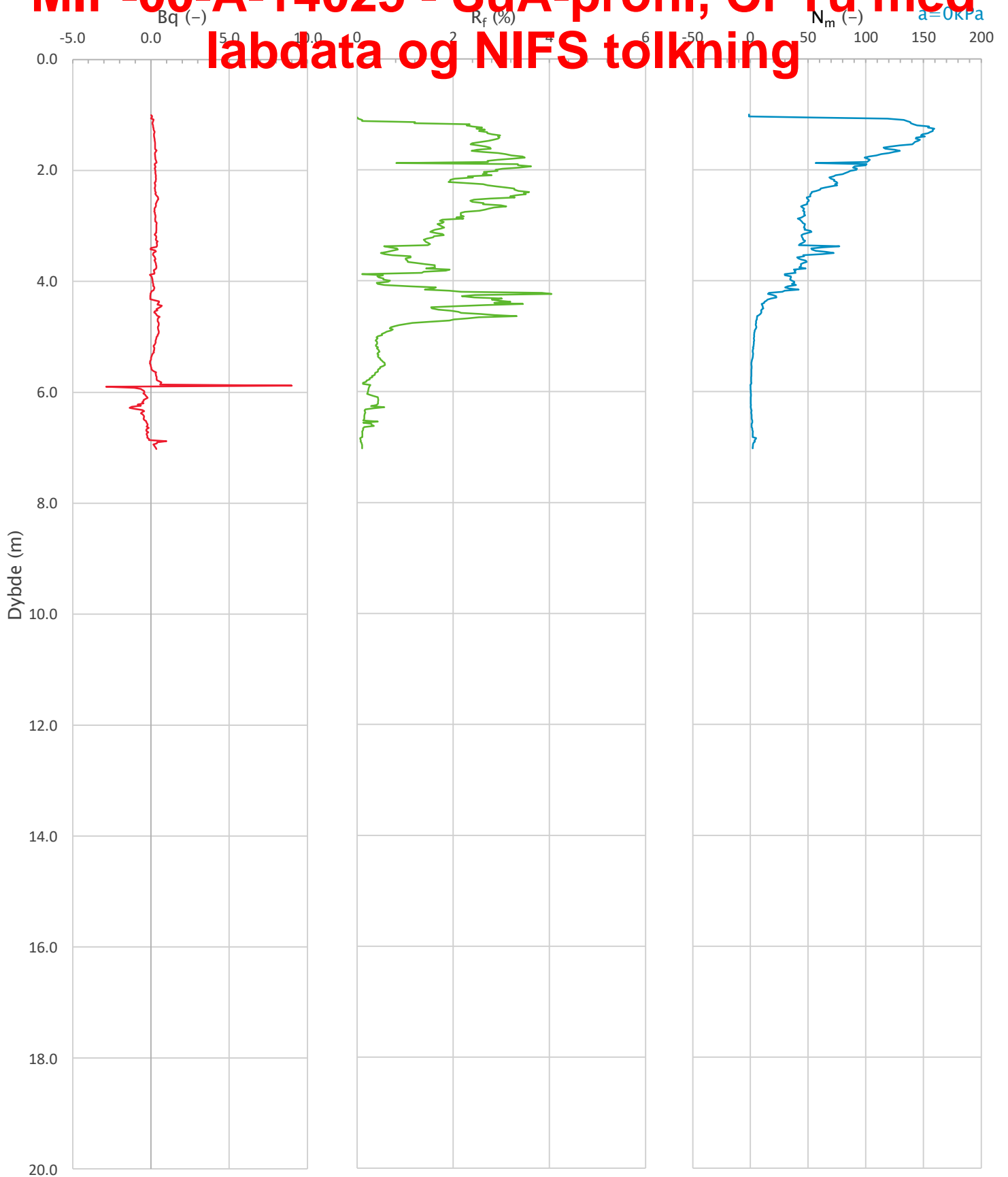
# MIP-00-A-14025 - SuA-profil, CPTu med labdata og NIFS tolkning




Prosjekt		Prosjektnummer: 900078 Rapportnummer: MIP-00-A-14024		Borhull	Kote +103.6
<b>Ski Hensetting</b>				<b>A425</b>	
Innhold		In-situ poretrykk, total- og effektiv vertikalspenning i beregninger		Sondennummer	<b>4634</b>
 <b>Statens vegvesen</b>	Utført	Kontrollert	Godkjent	Anvend.klasse	<b>1</b>
	SOHJ/JAJE	ABC	TTR		
	Divisjon	Dato sondering	Revisjon	Figur	<b>2</b>
	Ekstern konsulent	29.06.2020	Rev. dato		

**B107**

# MIP-00-A-14025 - SuA-profil, CPTu med labdata og NIFS tolkning



Prosjekt		Prosjektnummer: 900078 Rapportnummer: MIP-00-A-14024		Borhull	Kote +103.6
<b>Ski Hensetting</b>				<b>A425</b>	
Innhold				Sondennummer	
Avledede dimensjonsløse forhold				<b>4634</b>	
 <b>Statens vegvesen</b>	Utført	Kontrollert	Godkjent	Anvend.klasse	
	SOHJ/JAJE	ABC	TTR	<b>1</b>	
Divisjon Ekstern konsulent	Dato sondering	Revisjon	Rev. dato	Figur	
	29.06.2020			<b>4</b>	

**B108**

# MIP-00-A-14025 - SuA-profil, CPTu med labdata og NIFS tolkning

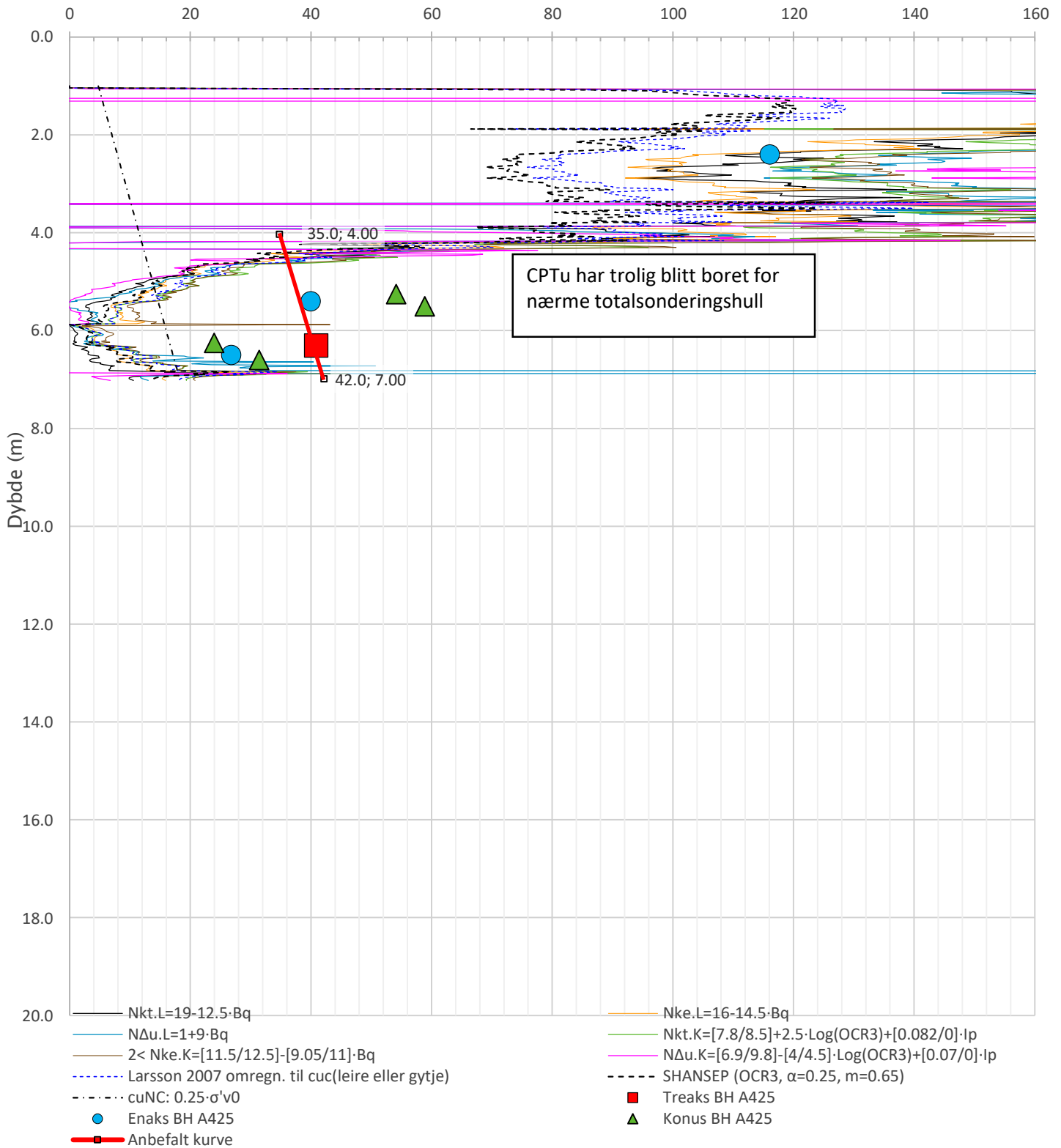
Anisotropiforhold i figur.


Treaks BH A425:  $c_uC/cuc_{CPTu} = 1.000$

Enaks BH A425:  $c_uC/cuc_{CPTu} = var. (min:0.630 max:0.670)$

Konus BH A425:  $c_{ufc}/cuc_{CPTu} = var. (min:0.630 max:0.670)$

Udrenert aktiv skjærfasthet,  $c_{uc_{CPTu}}$  (kPa)

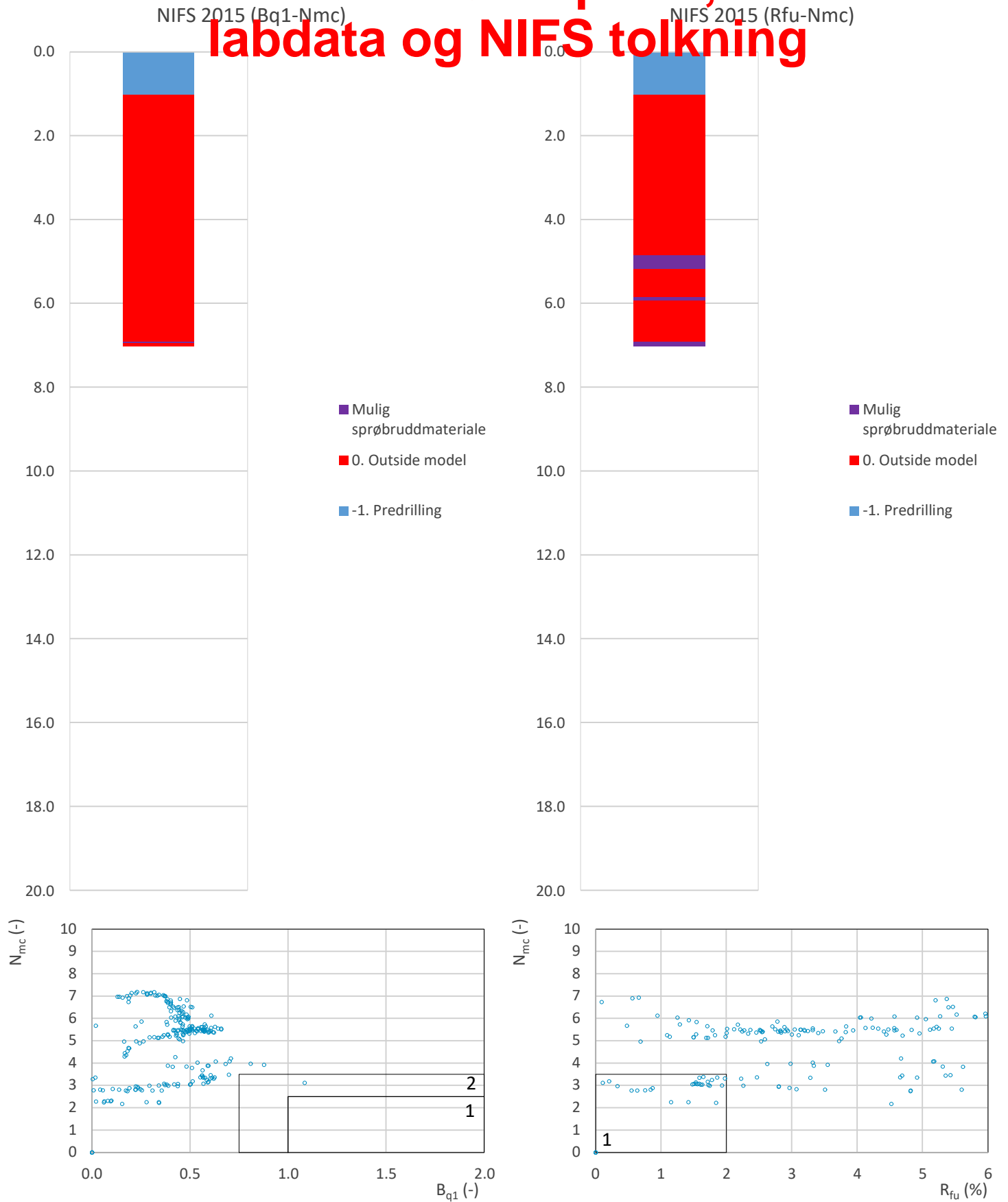


Prosjekt		Prosjektnummer: 900078 Rapportnummer: MIP-00-A-14024		Borhull	Kote +103.6
<b>Ski Hensetting</b>				<b>A425</b>	
Innhold				Sondennummer	
Tolkning av udrenert aktiv skjærfasthet				<b>4634</b>	
 <b>Statens vegvesen</b>	Utført	Kontrollert	Godkjent	Anvend.klasse	1
	SOHJ/JAJE	ABC	TTR		
	Divisjon	Dato sondering	Revisjon	Figur	5
	Ekstern konsulent	29.06.2020	Rev. dato		

**B109**



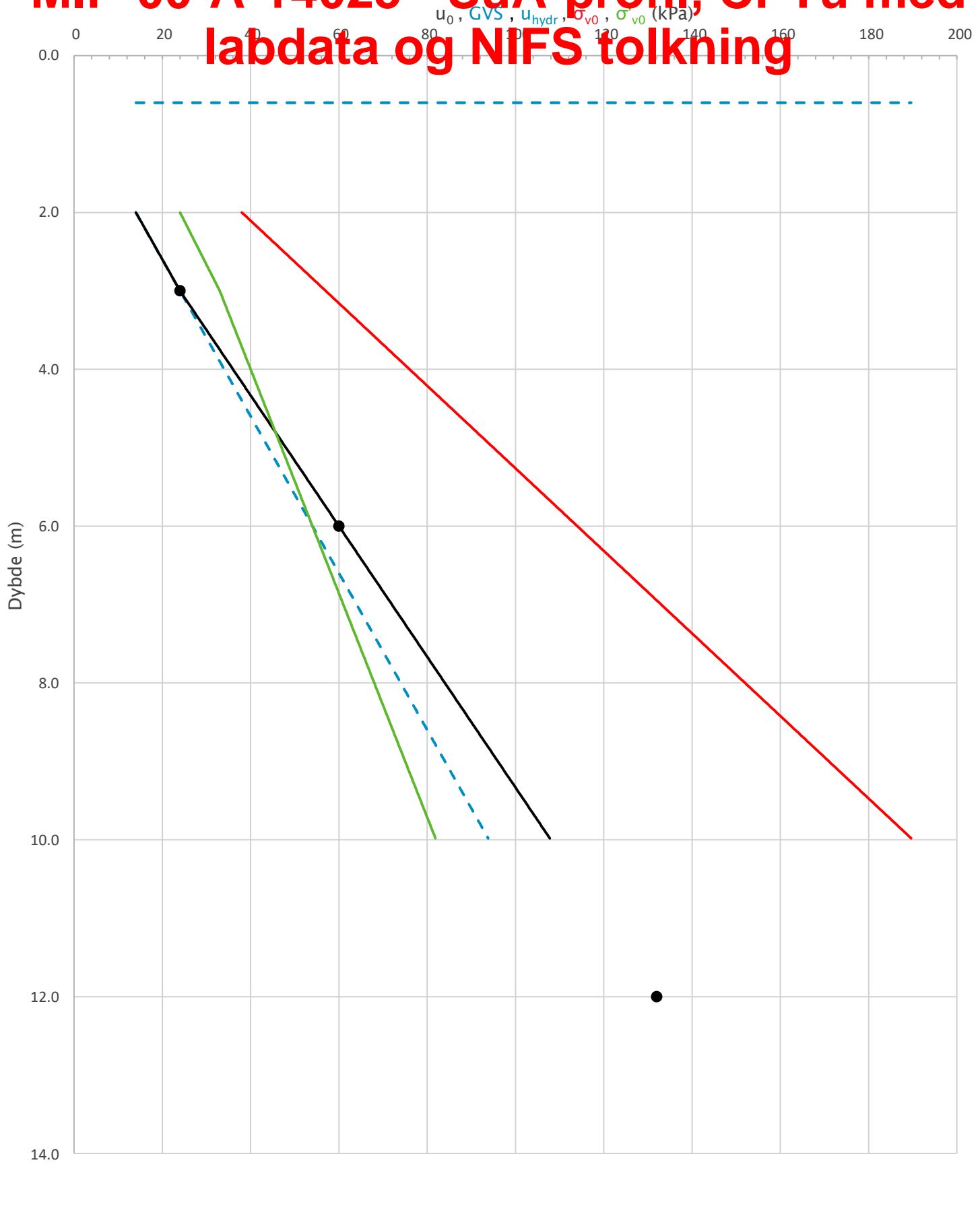
# MIP-00-A-14025 - SuA-profil, CPTu med labdata og NIFS tolkning



Prosjekt		Prosjektnummer: 900078 Rapportnummer: MIP-00-A-14024		Borhull	Kote +103.6
<b>Ski Hensetting</b>				<b>A425</b>	
Innhold		Jordartsklassifisering etter NIFS 2015 – detektering av sensitive materialer		Sondennummer	
				<b>4634</b>	
 Statens vegvesen	Utført	Kontrollert	Godkjent	Anvend.klasse	
	SOHJ/JAJE	ABC	TTR	<b>1</b>	
	Divisjon	Dato sondering	Revisjon	Figur	
	Ekstern konsulent	29.06.2020	Rev. dato	<b>21</b>	

**B110**

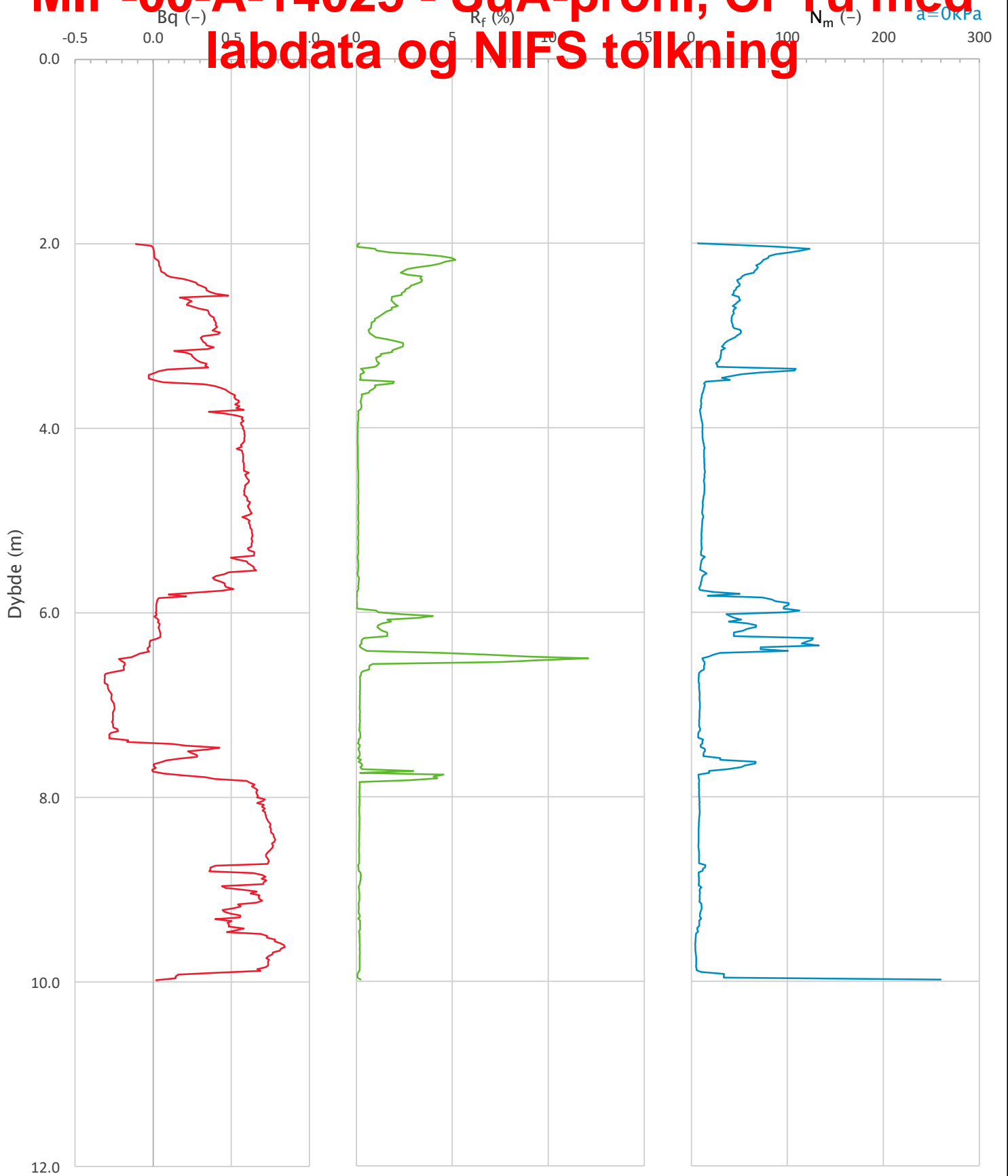
# MIP-00-A-14025 - SuA-profil, CPTu med labdata og NIFS tolkning




Prosjekt		Prosjektnummer: 900078 Rapportnummer: MIP-00-A-14024		Borhull	Kote +100.5
<b>Ski Hensetting</b>				<b>A430</b>	
Innhold				Sondenummer	
In-situ poretrykk, total- og effektiv vertikalspenning i beregninger				<b>4634</b>	
 <b>Statens vegvesen</b>	Utført	Kontrollert	Godkjent	Anvend.klasse	
	SOHJ/JAJE	ABC	TTR	1	
	Divisjon	Dato sondering	Revisjon	Figur	
	Ekstern konsulent	25.06.2020	Rev. dato	2	

**B111**

# MIP-00-A-14025 - SuA-profil, CPTu med labdata og NIFS tolkning



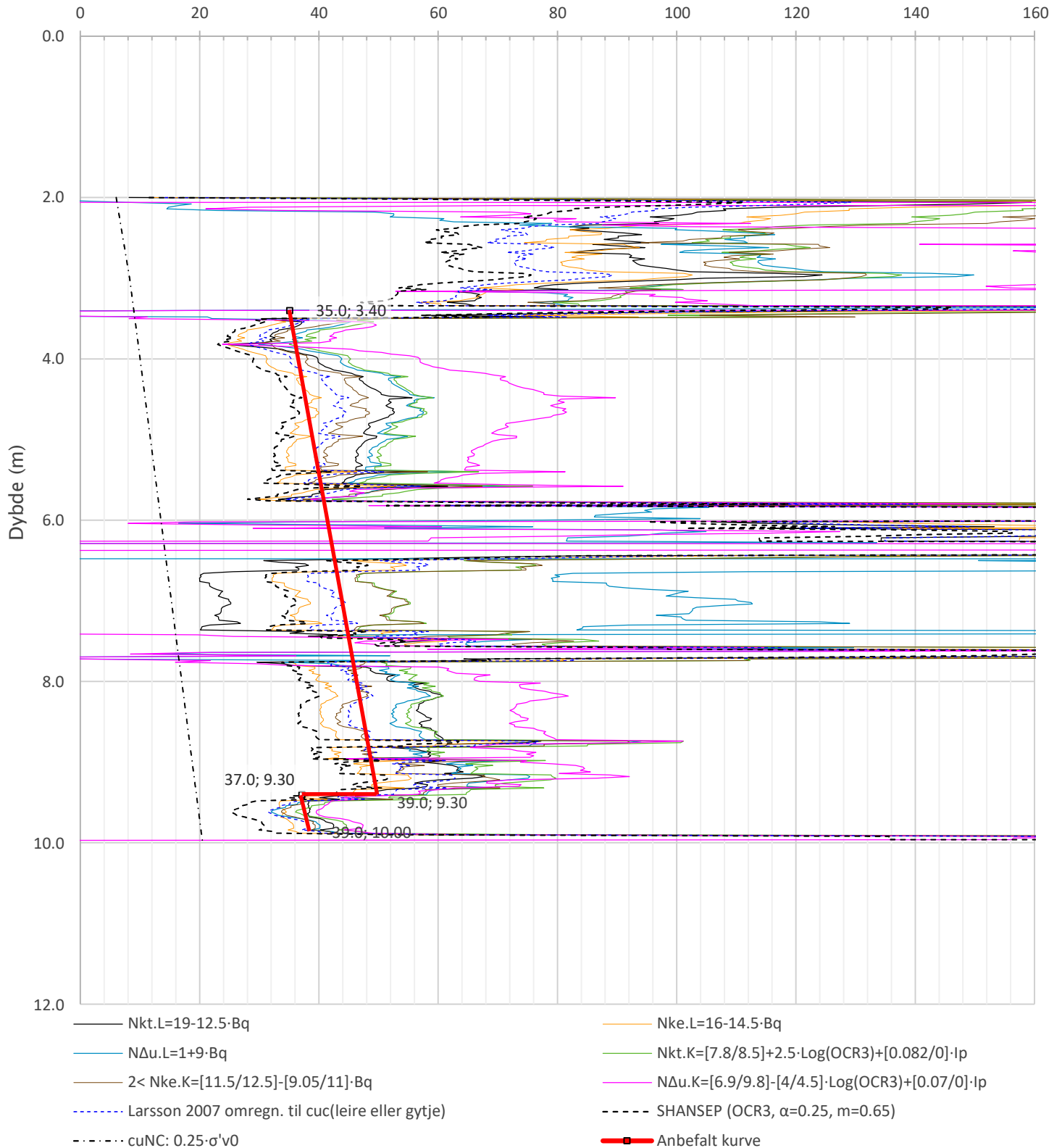
Prosjekt		Prosjektnummer: 900078 Rapportnummer: MIP-00-A-14024		Borhull	Kote +100.5
<b>Ski Hensetting</b>				<b>A430</b>	
Innhold				Sondennummer	
Avledede dimensjonsløse forhold				<b>4634</b>	
 <b>Statens vegvesen</b>	Utført	Kontrollert	Godkjent	Anvend.klasse	1
	SOHJ/JAJE	ABC	TTR		
	Divisjon	Dato sondering	Revisjon	Figur	4
	Ekstern konsulent	25.06.2020	Rev. dato		


**B112**



# MIP-00-A-14025 - SuA-profil, CPTu med labdata og NIFS tolkning

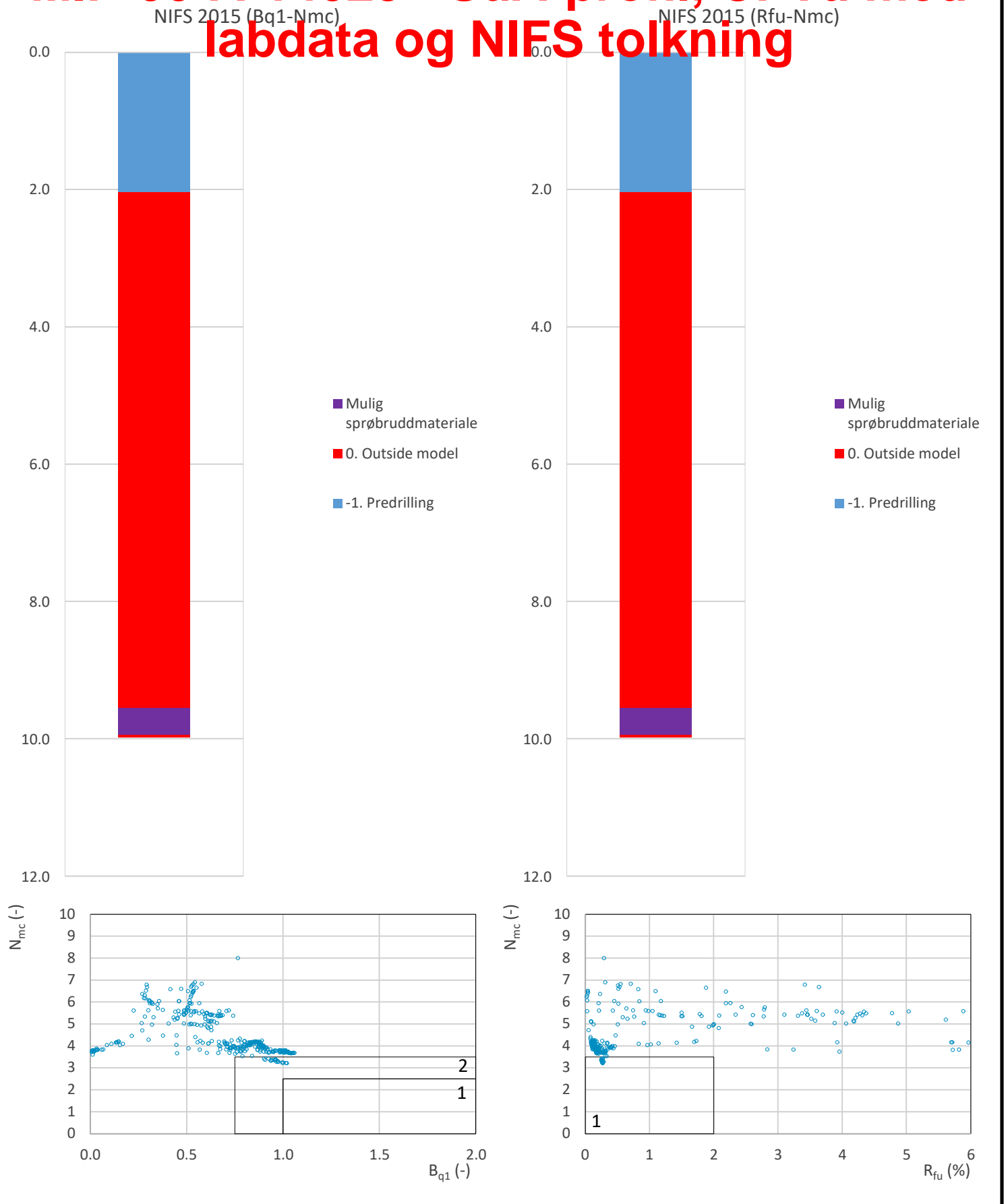
Udrenert aktiv skjærfasthet,  $c_{ucptu}$  (kPa)



Prosjekt <b>Ski Hensetting</b>	Prosjektnummer: 900078 Rapportnummer: MIP-00-A-14024	Borhull Kote +100.5 <b>A430</b>
Innhold Tolkning av udrenert aktiv skjærfasthet		Sondennummer <b>4634</b>
 <b>Statens vegvesen</b>	Utført SOHJ/JAJE	Kontrollert ABC
	Divisjon Ekstern konsulent	Dato sondering 25.06.2020
	Godkjent TTR	Anvend.klasse <b>1</b>
	Revisjon Rev. dato	Figur <b>5</b>

**B113**

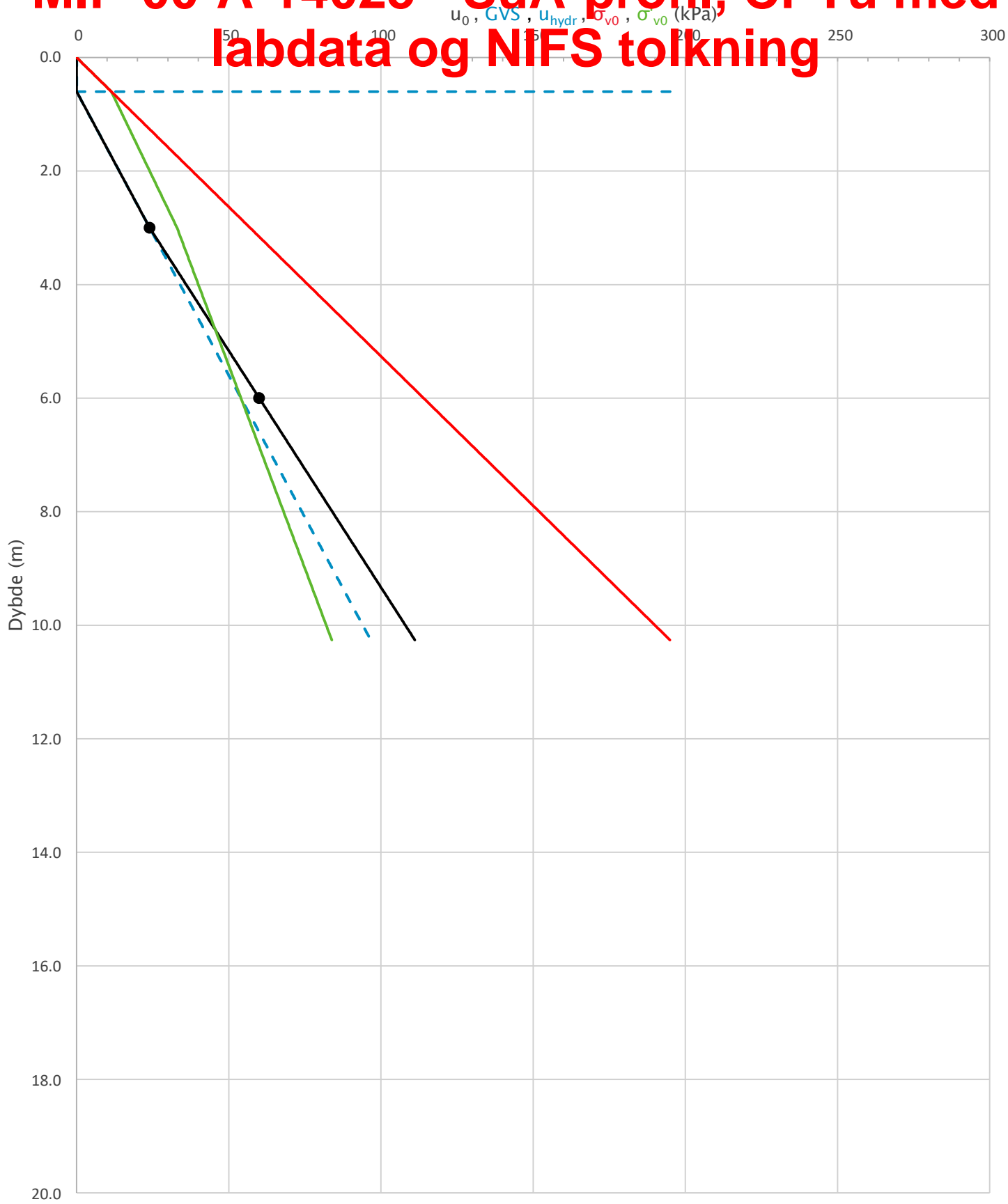
# MIP-00-A-14025 - SuA-profil, CPTu med labdata og NIFS tolkning



Prosjekt		Prosjektnummer: 900078 Rapportnummer: MIP-00-A-14024		Borhull	Kote +100.5
<b>Ski Hensetting</b>				<b>A430</b>	
Innhold		Jordartsklassifisering etter NIFS 2015 – detektering av sensitive materialer		Sondennummer	
				<b>4634</b>	
 <b>Statens vegvesen</b>	Utført	Kontrollert	Godkjent	Anvend.klasse	
	SOHJ/JAJE	ABC	TTR	<b>1</b>	
	Divisjon	Dato sondering	Revisjon	Figur	
	Ekstern konsulent	25.06.2020	Rev. dato	<b>21</b>	

**B114**

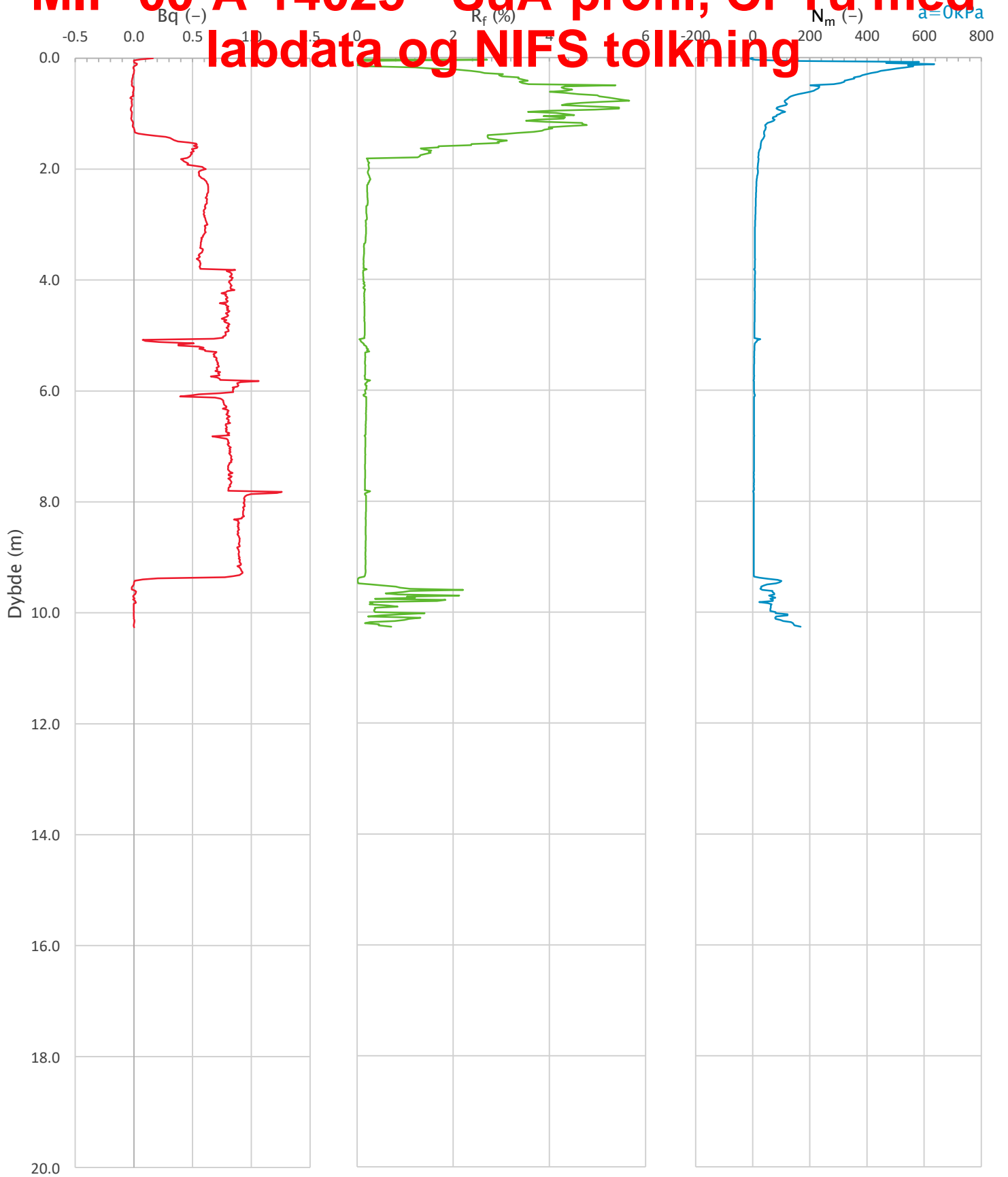
# MIP-00-A-14025 - SuA-profil, CPTu med labdata og NIFS tolkning




Prosjekt		Prosjektnummer: 900078 Rapportnummer: MIP-00-A-14024		Borhull	Kote +92.3
<b>Ski Hensetting</b>				<b>A436</b>	
Innhold		In-situ poretrykk, total- og effektiv vertikalspenning i beregninger		Sondennummer	<b>4634</b>
 <b>Statens vegvesen</b>	Utført	Kontrollert	Godkjent	Anvend.klasse	<b>1</b>
	SOHJ/JAJE	ABC	TTR		
	Divisjon	Dato sondering	Revisjon	Figur	<b>2</b>
	Ekstern konsulent	23.06.2020	Rev. dato		

**B115**

# MIP-00-A-14025 - SuA-profil, CPTu med labdata og NIFS tolkning



Prosjekt		Prosjektnummer: 900078 Rapportnummer: MIP-00-A-14024		Borhull	Kote +92.3
<b>Ski Hensetting</b>				<b>A436</b>	
Innhold				Sondennummer	
Avledede dimensjonsløse forhold				<b>4634</b>	
 <b>Statens vegvesen</b>	Utført	Kontrollert	Godkjent	Anvend.klasse	<b>1</b>
	SOHJ/JAJE	ABC	TTR		
	Divisjon	Dato sondering	Revisjon	Figur	<b>4</b>
	Ekstern konsulent	23.06.2020	Rev. dato		

**B116**



# MIP-00-A-14025 - SuA-profil, CPTu med labdata og NIFS tolkning

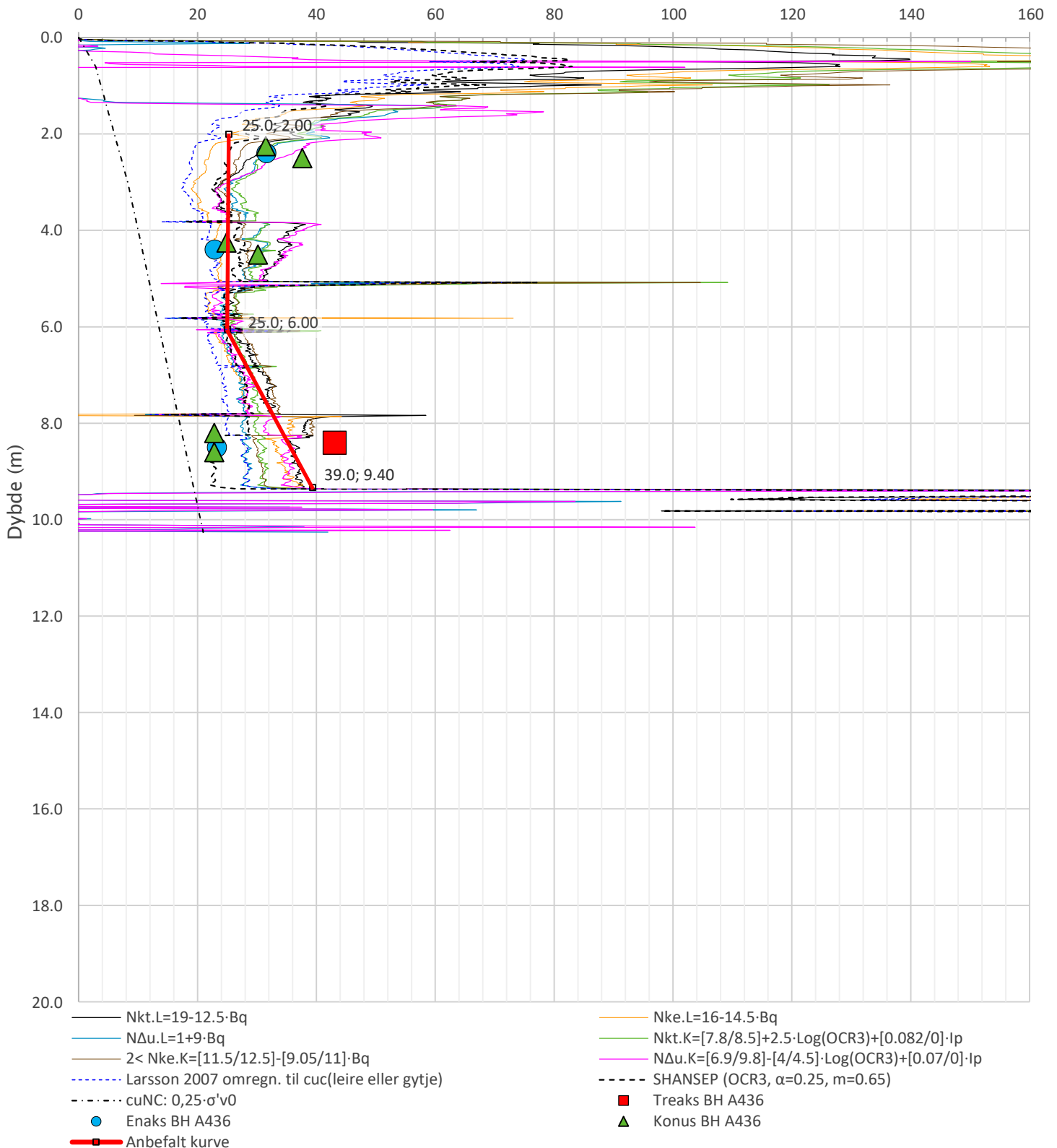
Anisotropiforhold i figur.


Treaks BH A436:  $c_u c / c_{ucptu} = 1.000$

Enaks BH A436:  $c_{uc} / c_{ucptu} = \text{var. (min: 0.644 max: 0.714)}$

Konus BH A436:  $c_{ufc} / c_{ucptu} = \text{var. (min: 0.644 max: 0.714)}$

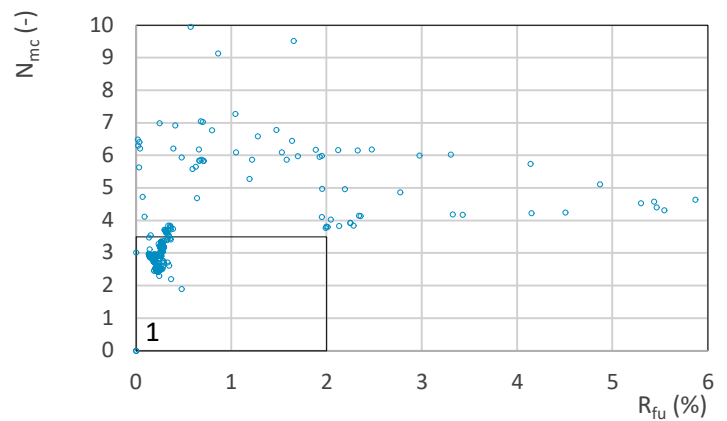
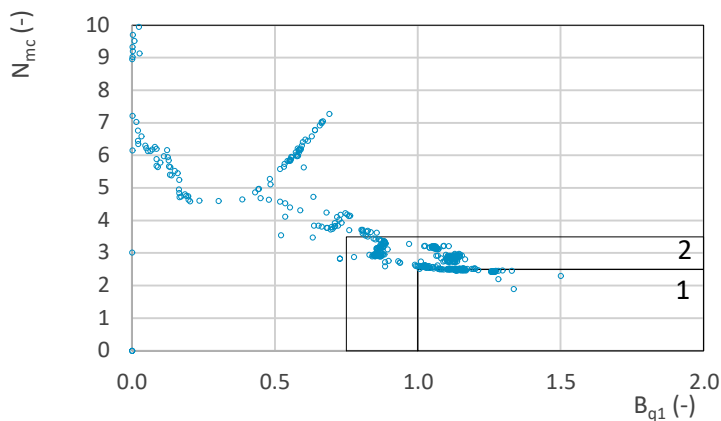
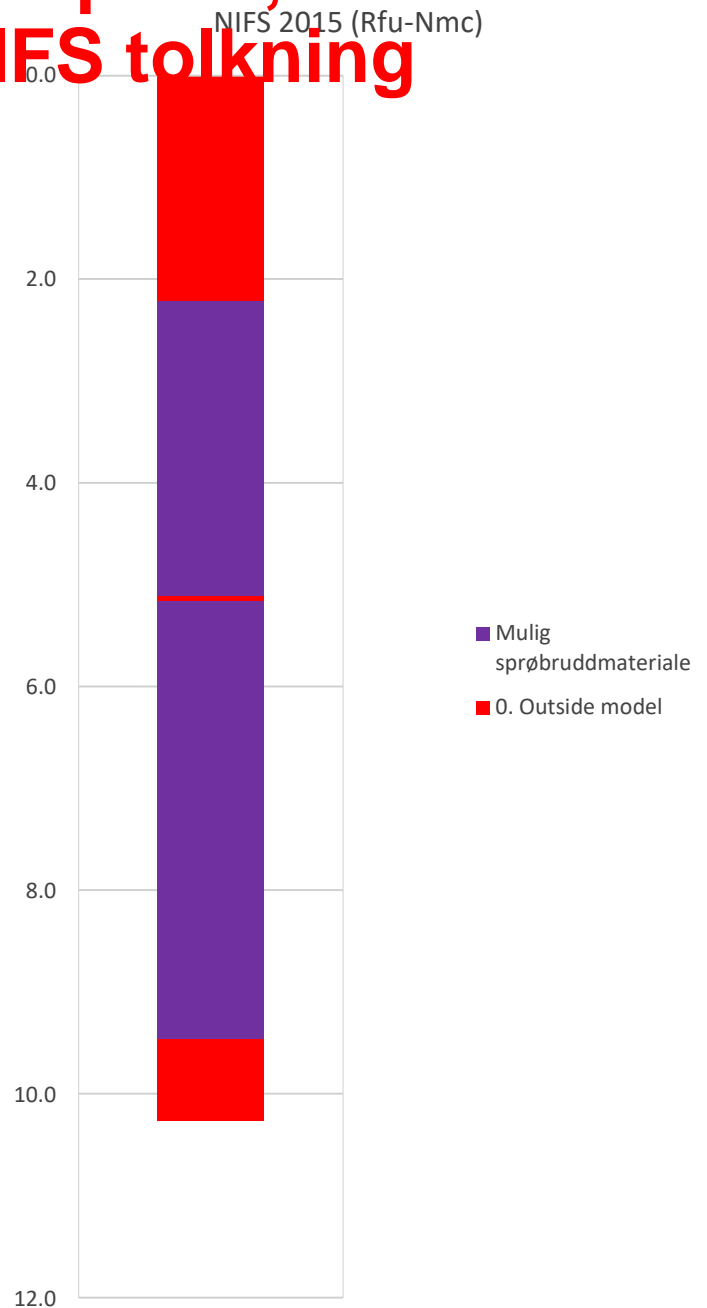
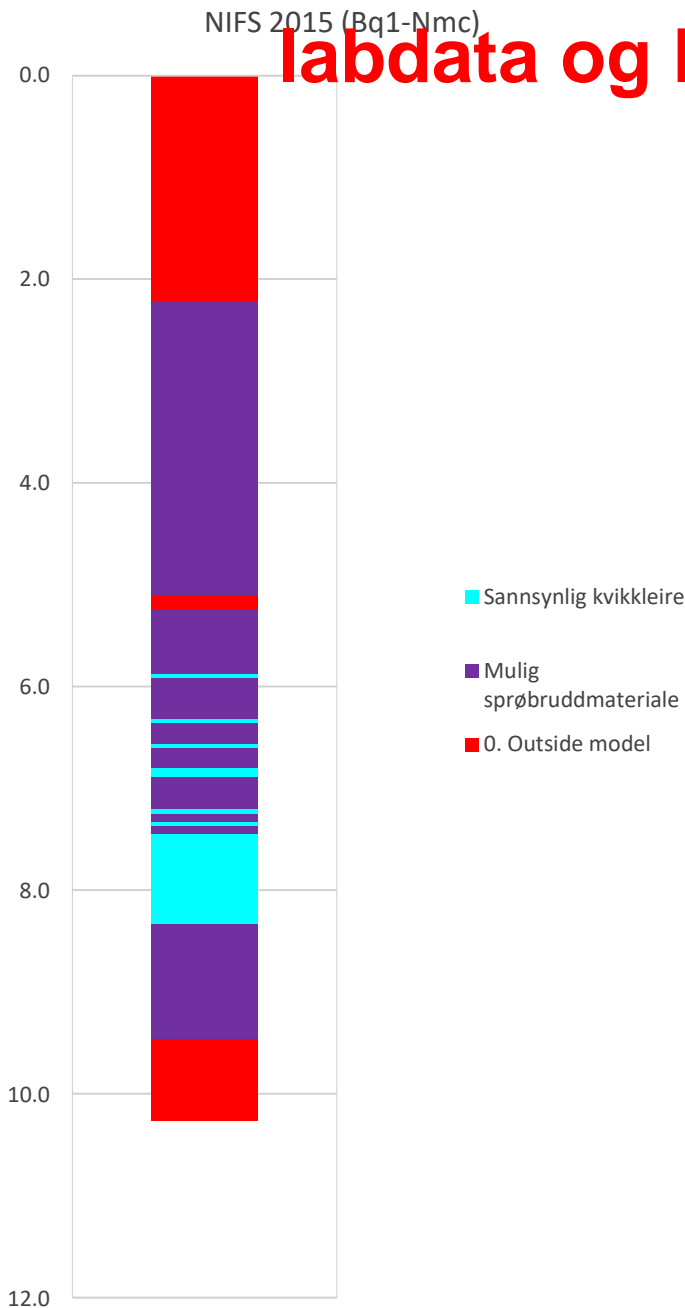
Udrenert aktiv skjærfasthet,  $c_{ucptu}$  (kPa)



Prosjekt <b>Ski Hensetting</b>	Prosjektnummer: 900078 Rapportnummer: MIP-00-A-14024	Borhull <b>A436</b>	Kote +92.3
Innhold Tolkning av udrenert aktiv skjærfasthet		Sondennummer <b>4634</b>	
 <b>Statens vegvesen</b>	Utført SOHJ/JAJE	Kontrollert ABC	Godkjent TTR
	Divisjon Ekstern konsulent	Dato sondering 23.06.2020	Revisjon Rev. dato
		Anvend.klasse <b>1</b>	Figur <b>5</b>

**B117**

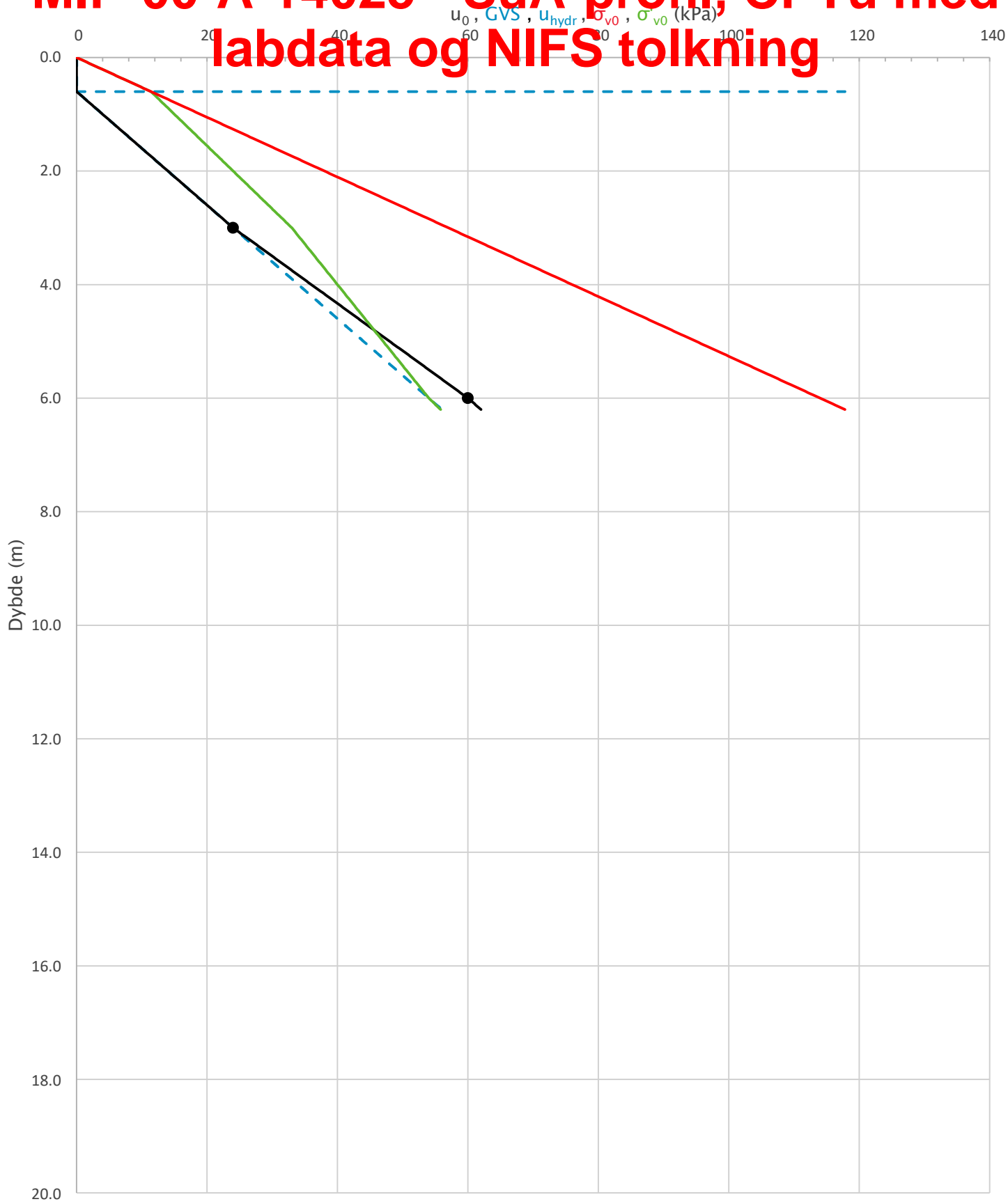
# MIP-00-A-14025 - SuA-profil, CPTu med labdata og NIFS tolkning



Prosjekt		Prosjektnummer: 900078 Rapportnummer: MIP-00-A-14024		Borhull	Kote +92.3
<b>Ski Hensetting</b>				<b>A436</b>	
Innhold		Jordartsklassifisering etter NIFS 2015 – detektering av sensitive materialer		Sondennummer	
				<b>4634</b>	
 <b>Statens vegvesen</b>	Utført	Kontrollert	Godkjent	Anvend.klasse	
	SOHJ/JAJE	ABC	TTR	<b>1</b>	
	Divisjon	Dato sondering	Revisjon	Figur	
	Ekstern konsulent	23.06.2020	Rev. dato	<b>21</b>	

**B118**

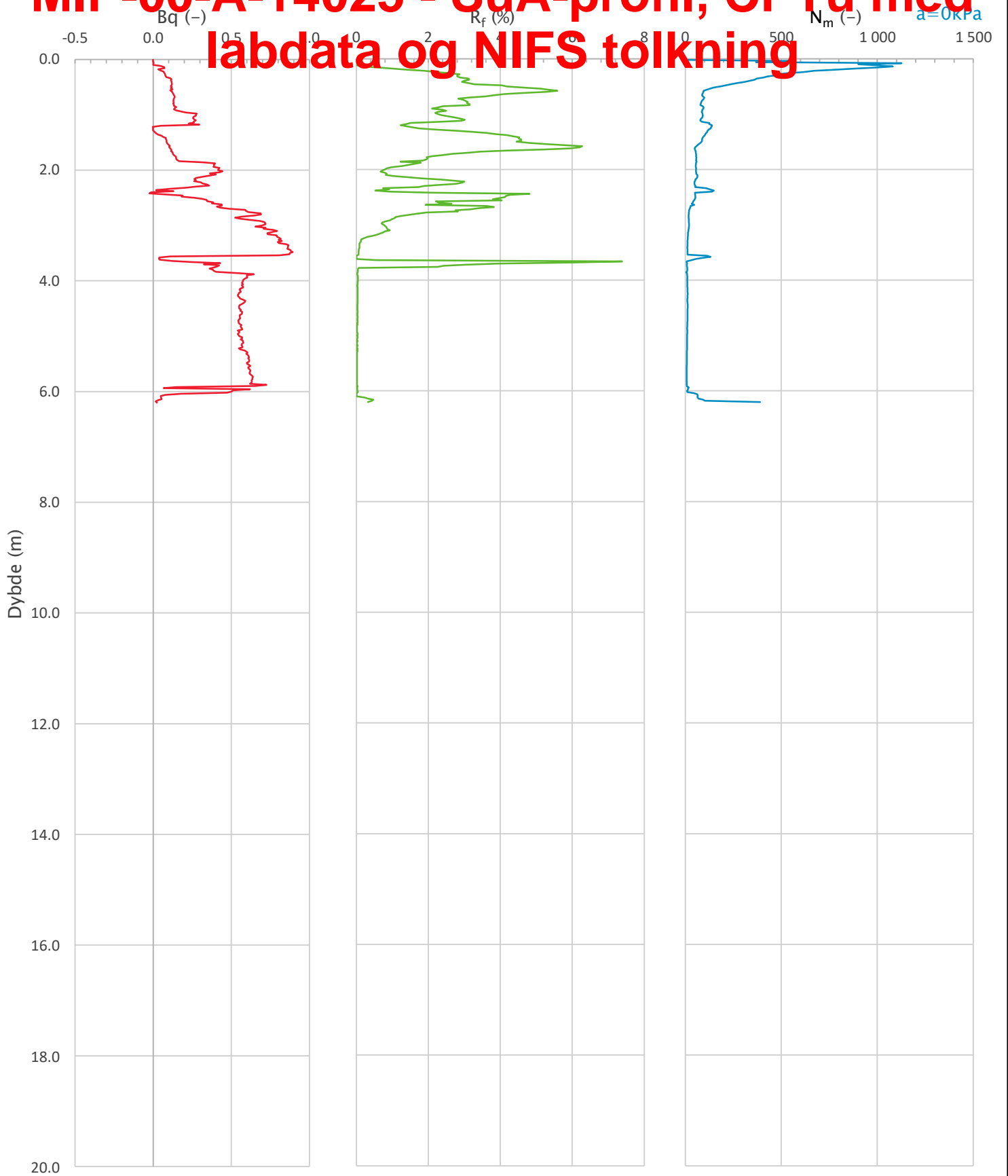
# MIP-00-A-14025 - SuA-profil, CPTu med labdata og NIFS tolkning




Prosjekt		Prosjektnummer: 900078 Rapportnummer: MIP-00-A-14024		Borhull	Kote +93.7
<b>Ski Hensetting</b>				<b>A439</b>	
Innhold		In-situ poretrykk, total- og effektiv vertikalspenning i beregninger		Sondennummer	<b>4489</b>
 <b>Statens vegvesen</b>	Utført	Kontrollert	Godkjent	Anvend.klasse	<b>1</b>
	SOHJ/JAJE	ABC	TTR		
	Divisjon	Dato sondering	Revisjon	Figur	<b>2</b>
	Ekstern konsulent	08.09.2020	Rev. dato		

**B119**

# MIP-00-A-14025 - SuA-profil, CPTu med labdata og NIFS tolkning



Prosjekt		Prosjektnummer: 900078 Rapportnummer: MIP-00-A-14024		Borhull	Kote +93.7
<b>Ski Hensetting</b>				<b>A439</b>	
Innhold				Sondennummer	
Avledede dimensjonsløse forhold				<b>4489</b>	
 <b>Statens vegvesen</b>	Utført	Kontrollert	Godkjent	Anvend.klasse	1
	SOHJ/JAJE	ABC	TTR		
	Divisjon	Dato sondering	Revisjon	Figur	4
	Ekstern konsulent	08.09.2020	Rev. dato		

**B120**



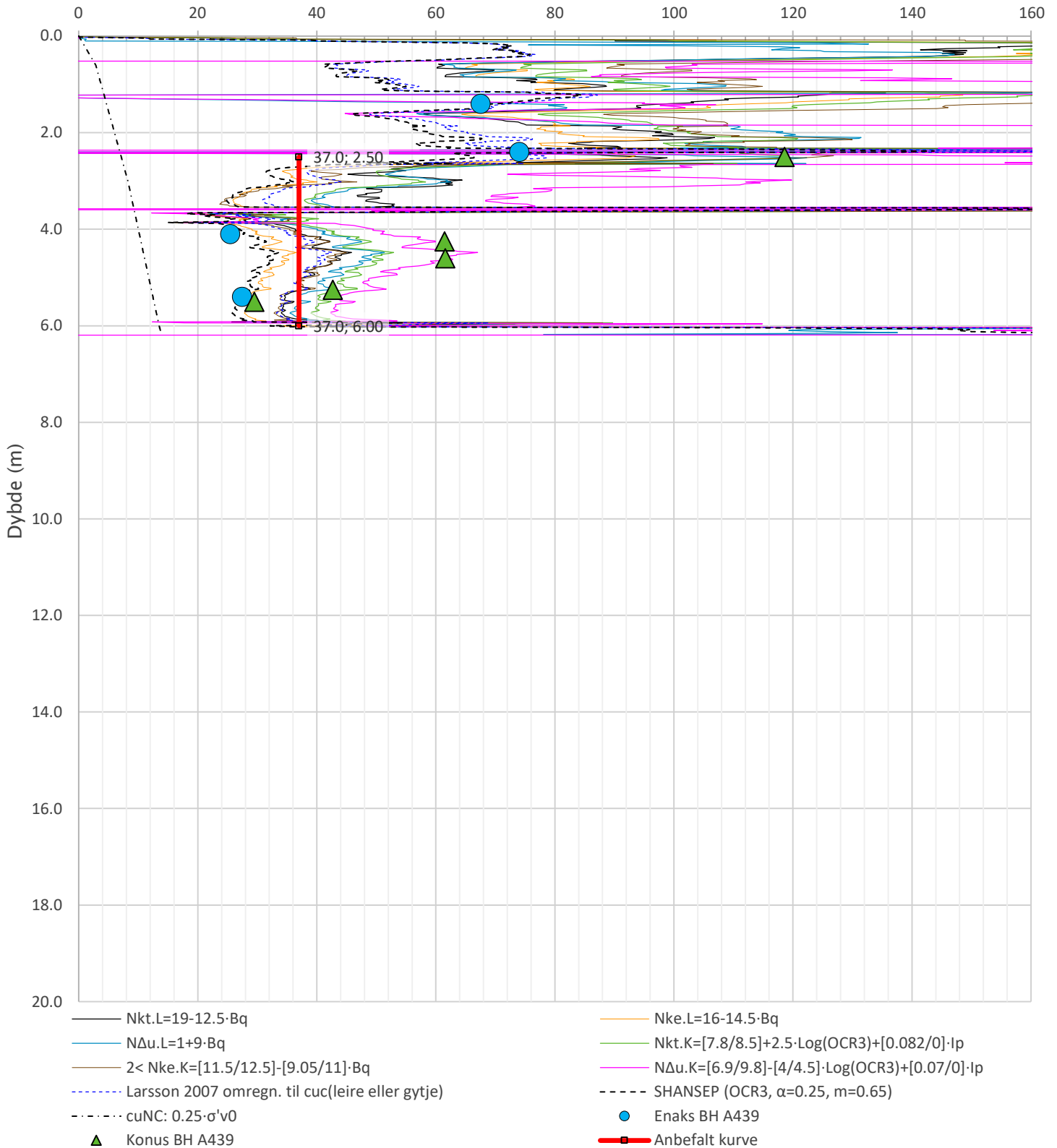
# MIP-00-A-14025 - SuA-profil, CPTu med labdata og NIFS tolkning


Anisotropiforhold i figur.

Enaks BH A439:  $c_{uc}/c_{ucptu} = var$  (min: 0.630 max: 0.682)

Konus BH A439:  $c_{ufc}/c_{ucptu} = var$  (min: 0.720 max: 0.682)

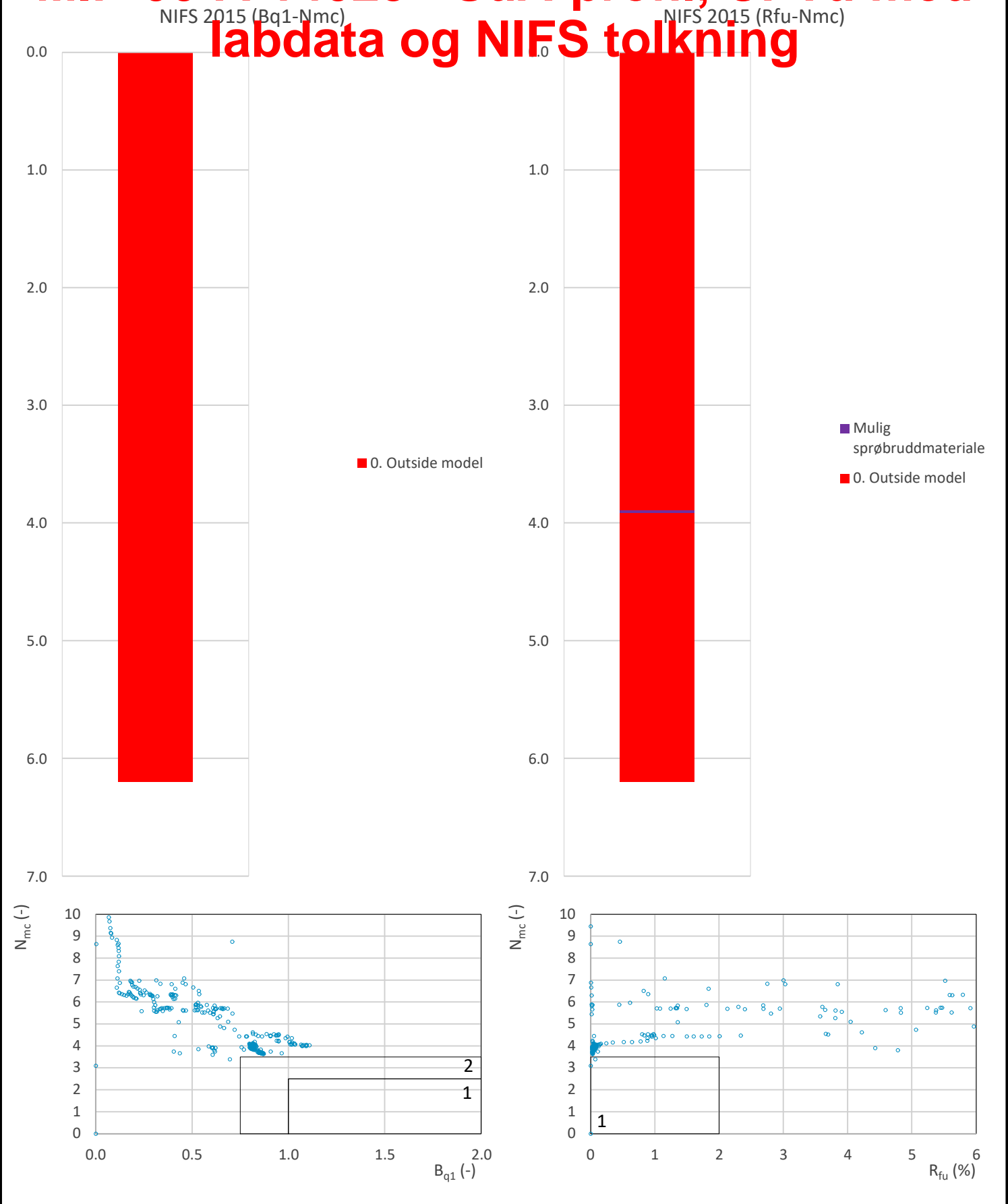
Udrenert aktiv skjærfasthet,  $c_{ucptu}$  (kPa)



Prosjekt <b>Ski Hensetting</b>	Prosjektnummer: 900078 Rapportnummer: MIP-00-A-14024	Borhull Kote +93.7 <b>A439</b>
Innhold Tolkning av udrenert aktiv skjærfasthet		Sondennummer <b>4489</b>
 <b>Statens vegvesen</b>	Utført SOHJ/JAJE	Kontrollert ABC
	Divisjon Ekstern konsulent	Dato sondering 08.09.2020
	Godkjent TTR	Anvend.klasse <b>1</b>
	Revisjon Rev. dato	Figur <b>5</b>

**B121**

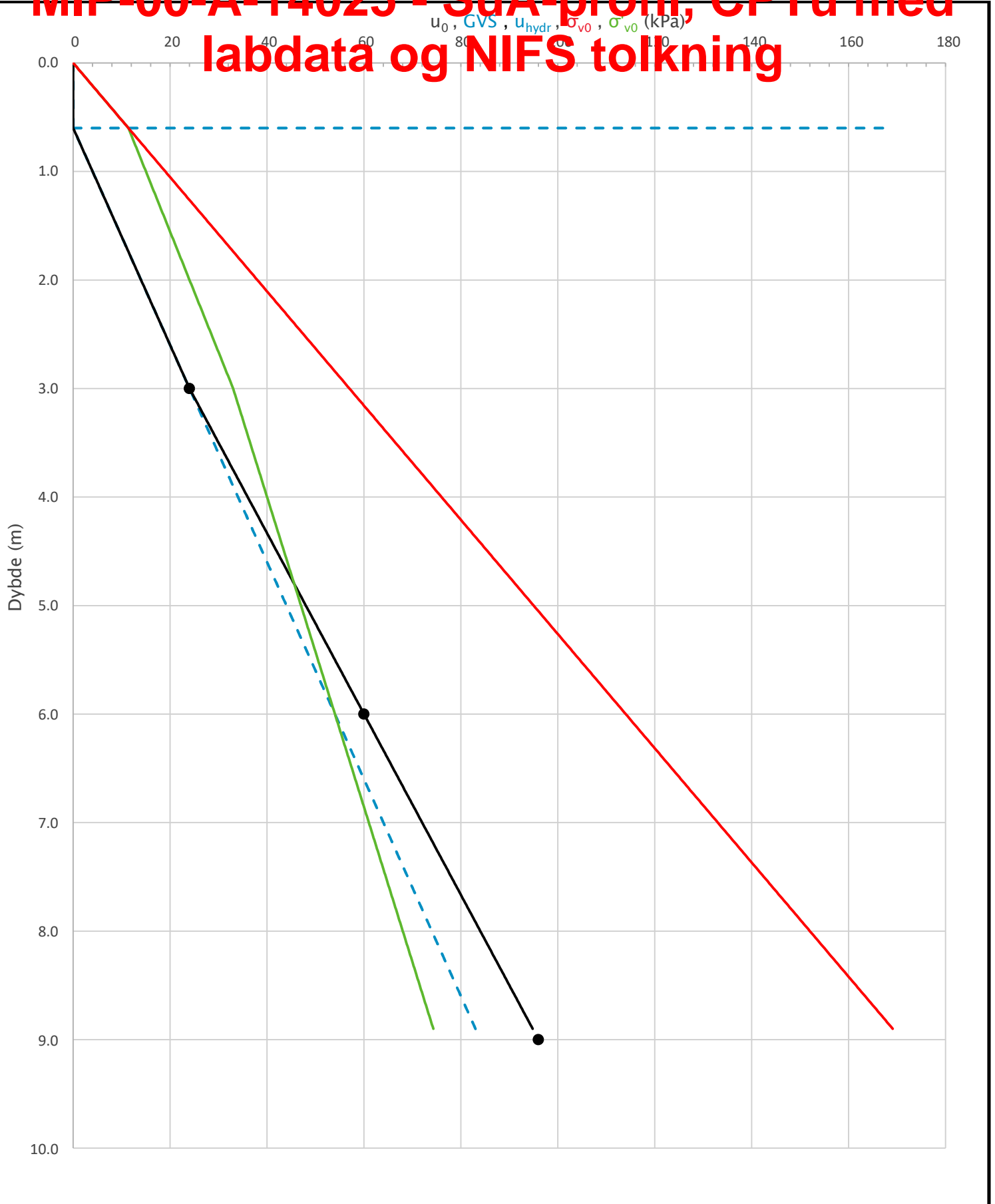
# MIP-00-A-14025 - SuA-profil, CPTu med labdata og NIFS tolkning



Prosjekt		Prosjektnummer: 900078 Rapportnummer: MIP-00-A-14024		Borhull	Kote +93.7
<b>Ski Hensetting</b>				<b>A439</b>	
Innhold		Jordartsklassifisering etter NIFS 2015 - detektering av sensitive materialer		Sondennummer	
				<b>4489</b>	
 <b>Statens vegvesen</b>	Utført	Kontrollert	Godkjent	Anvend.klasse	
	SOHJ/JAJE	ABC	TTR	<b>1</b>	
	Divisjon	Dato sondering	Revisjon	Figur	
	Ekstern konsulent	08.09.2020	Rev. dato	<b>21</b>	

**B122**

# MIP-00-A-14025 - SuA-profil, CPTu med labdata og NIFS tolkning



Prosjekt		Prosjektnummer: 900078 Rapportnummer: MIP-00-A-14024		Borhull	Kote +98
<b>Ski Hensetting</b>				<b>A444</b>	
Innhold		In-situ poretrykk, total- og effektiv vertikalspenning i beregninger		Sondennummer	<b>4489</b>
 <b>Statens vegvesen</b>	Utført	Kontrollert	Godkjent	Anvend.klasse	<b>1</b>
	SOHJ/JAJE	ABC	TTR		
	Divisjon	Dato sondering	Revisjon	Figur	<b>2</b>
	Ekstern konsulent	03.09.2020	Rev. dato		

**B123**

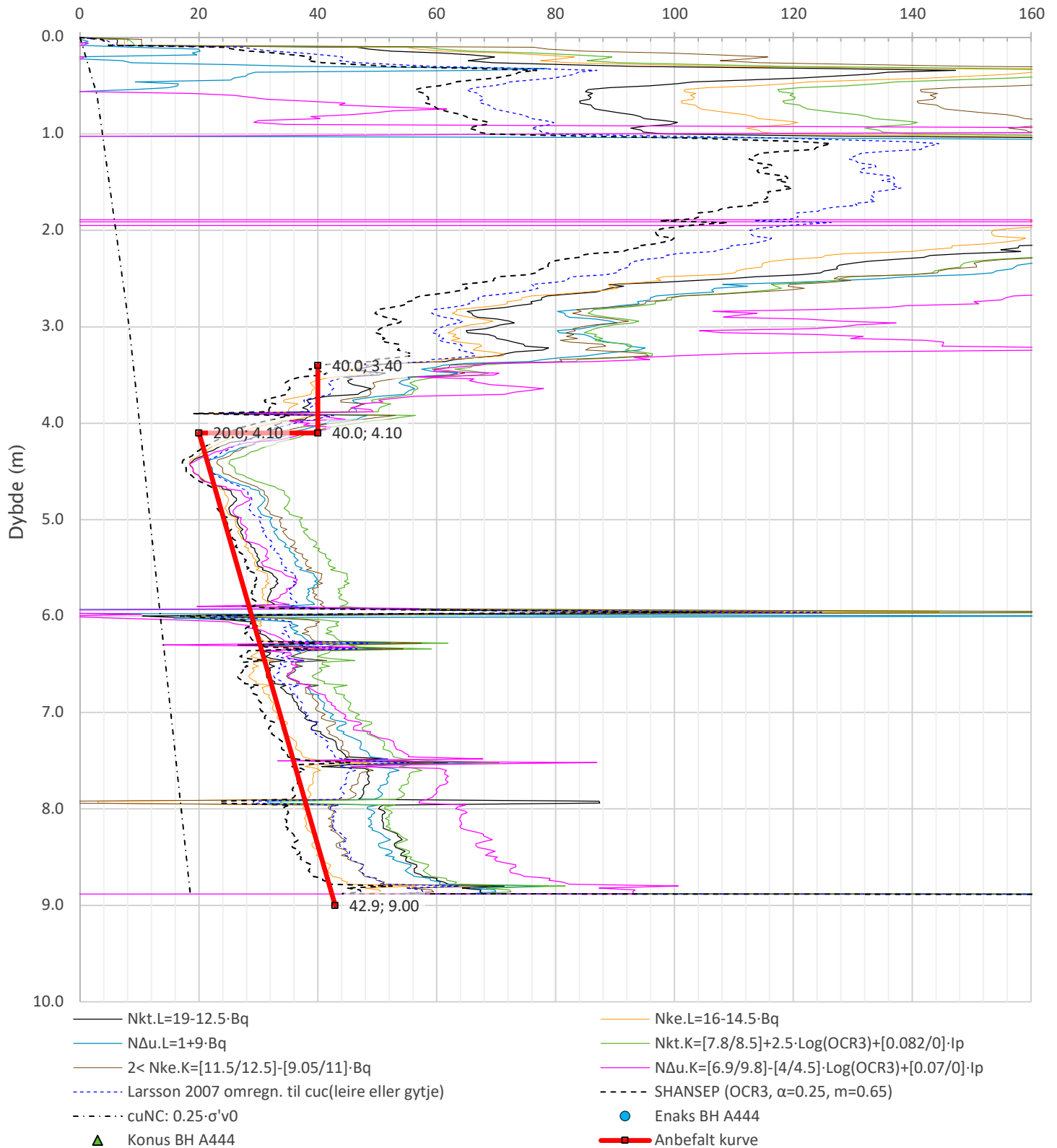
# MIP-00-A-14025 - SuA-profil, CPTu med labdata og NIFS tolkning


Anisotropiforhold i figur.

Enaks BH A444:  $c_{uc}/c_{ucptu} = 0.630$

Konus BH A444:  $c_{ufc}/c_{ucptu} = 0.630$

Udrenert aktiv skjærfasthet,  $c_{ucptu}$  (kPa)

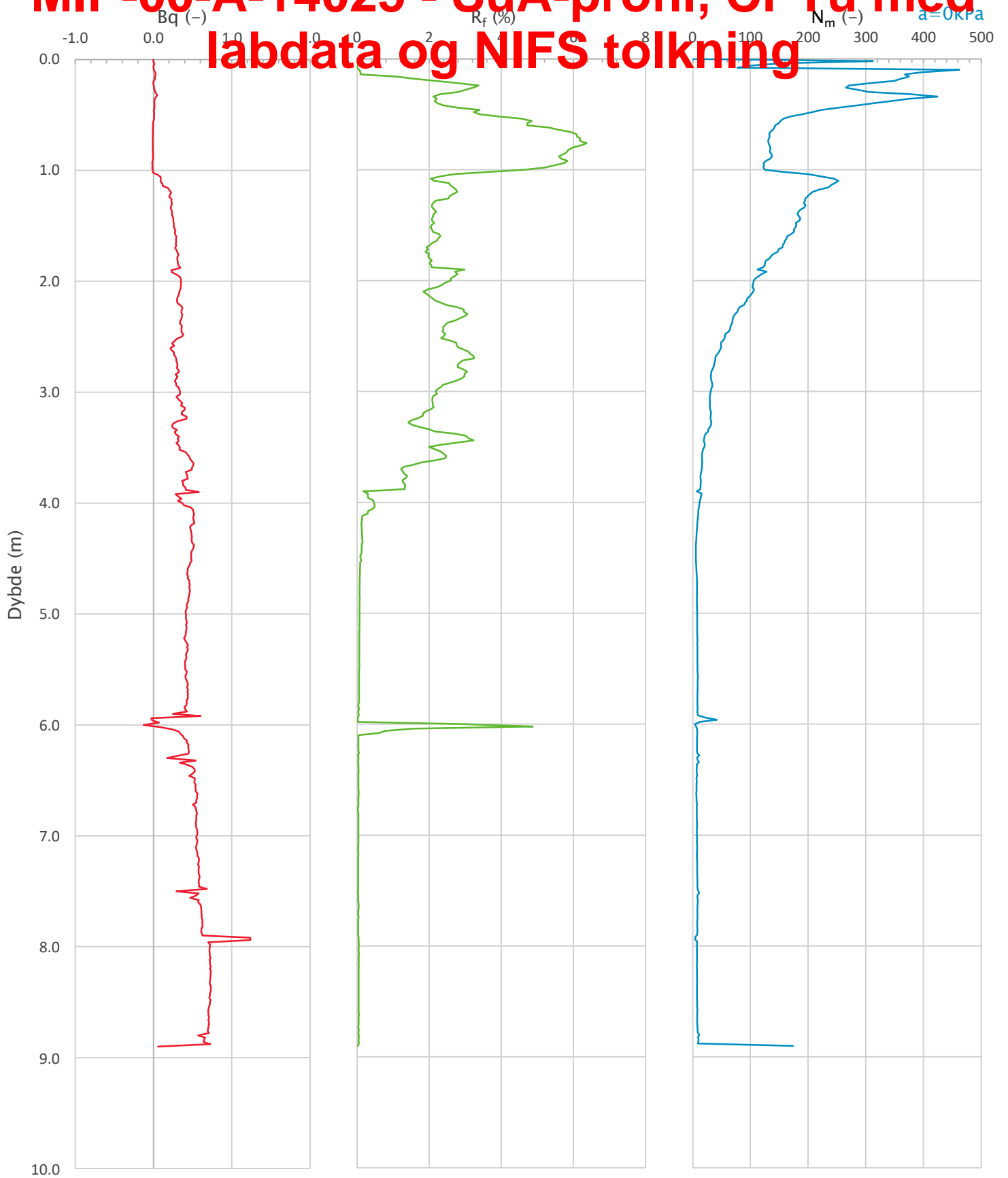



Prosjekt <b>Ski Hensetting</b>	Prosjektnummer: 900078 Rapportnummer: MIP-00-A-14024	Borhull <b>A444</b>	Kote +98
Innhold Tolkning av udrenert aktiv skjærfasthet		Sondennummer <b>4489</b>	
 <b>Statens vegvesen</b>	Utført SOHJ/JAJE	Kontrollert ABC	Godkjent TTR
	Divisjon Ekstern konsulent	Dato sondering 03.09.2020	Revisjon Rev. dato
		Anvend.klasse <b>1</b>	
		Figur <b>5</b>	

**B124**



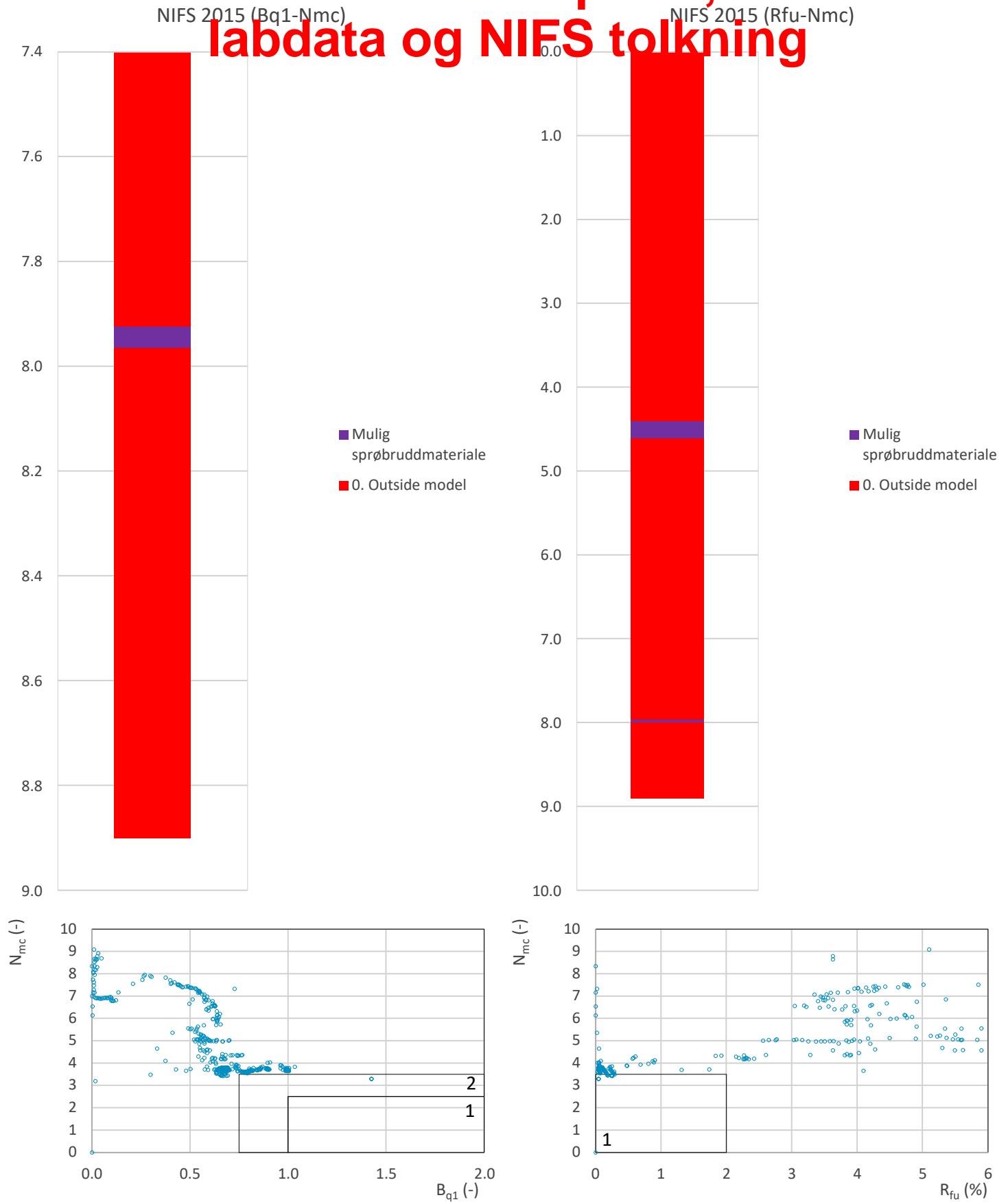
# MIP-00-A-14025 - SuA-profil, CPTu med labdata og NIFS tolkning




Prosjekt		Prosjektnummer: 900078 Rapportnummer: MIP-00-A-14024		Borhull	Kote +98
<b>Ski Hensetting</b>				<b>A444</b>	
Innhold				Sondennummer	
Avledede dimensjonsløse forhold				<b>4489</b>	
 <b>Statens vegvesen</b>	Utført	Kontrollert	Godkjent	Anvend.klasse	1
	SOHJ/JAJE	ABC	TTR		
	Divisjon	Dato sondering	Revisjon	Figur	4
	Ekstern konsulent	03.09.2020	Rev. dato		

**B125**

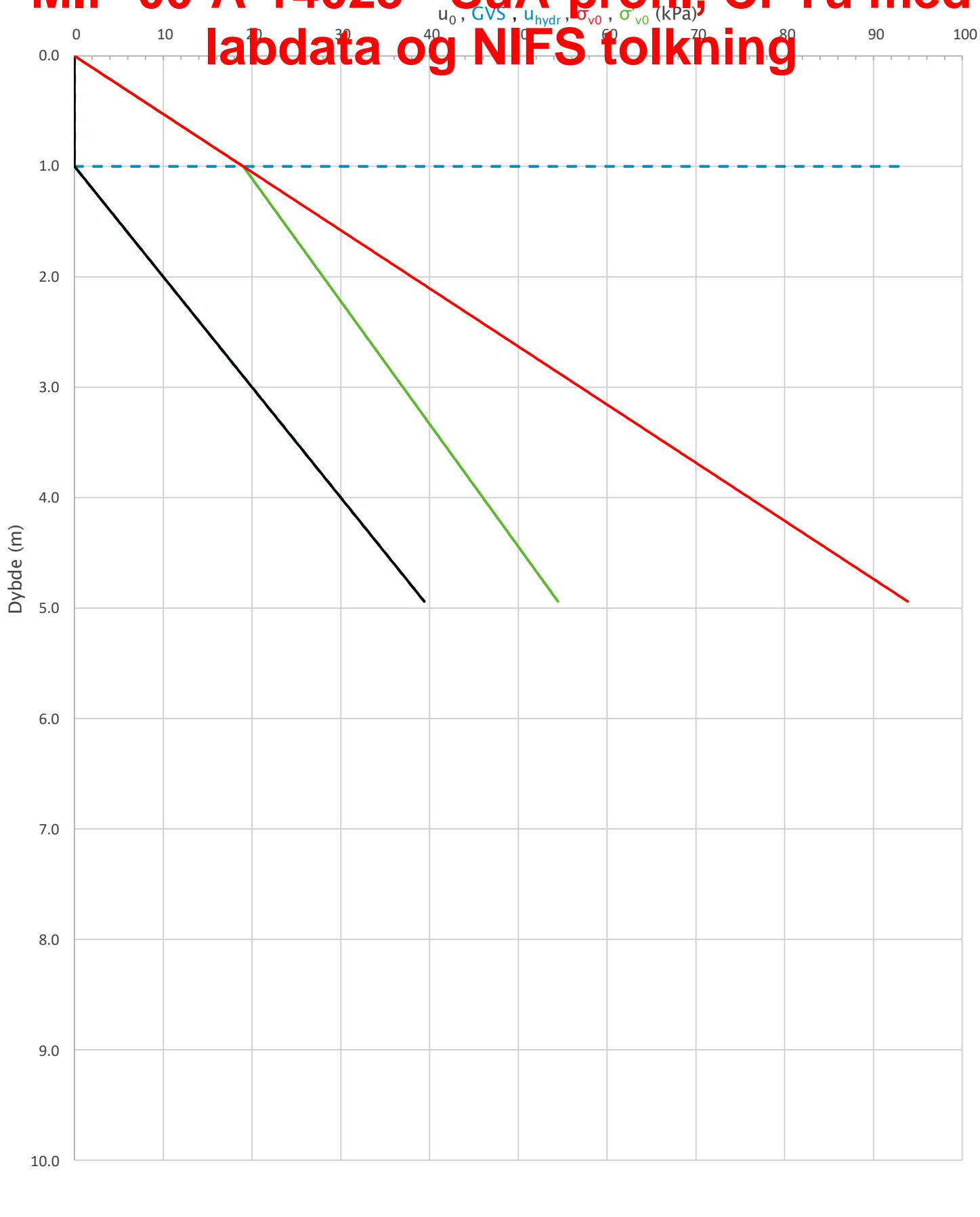
# MIP-00-A-14025 - SuA-profil, CPTu med labdata og NIFS tolkning



Prosjekt		Prosjektnummer: 900078 Rapportnummer: MIP-00-A-14024		Borhull	Kote +98
<b>Ski Hensetting</b>				<b>A444</b>	
Innhold		Jordartsklassifisering etter NIFS 2015 - detektering av sensitive materialer		Sondennummer	
				<b>4489</b>	
 <b>Statens vegvesen</b>	Utført	Kontrollert	Godkjent	Anvend.klasse	
	SOHJ/JAJE	ABC	TTR	<b>1</b>	
	Divisjon	Dato sondering	Revisjon	Figur	
	Ekstern konsulent	03.09.2020	Rev. dato	<b>21</b>	

**B126**

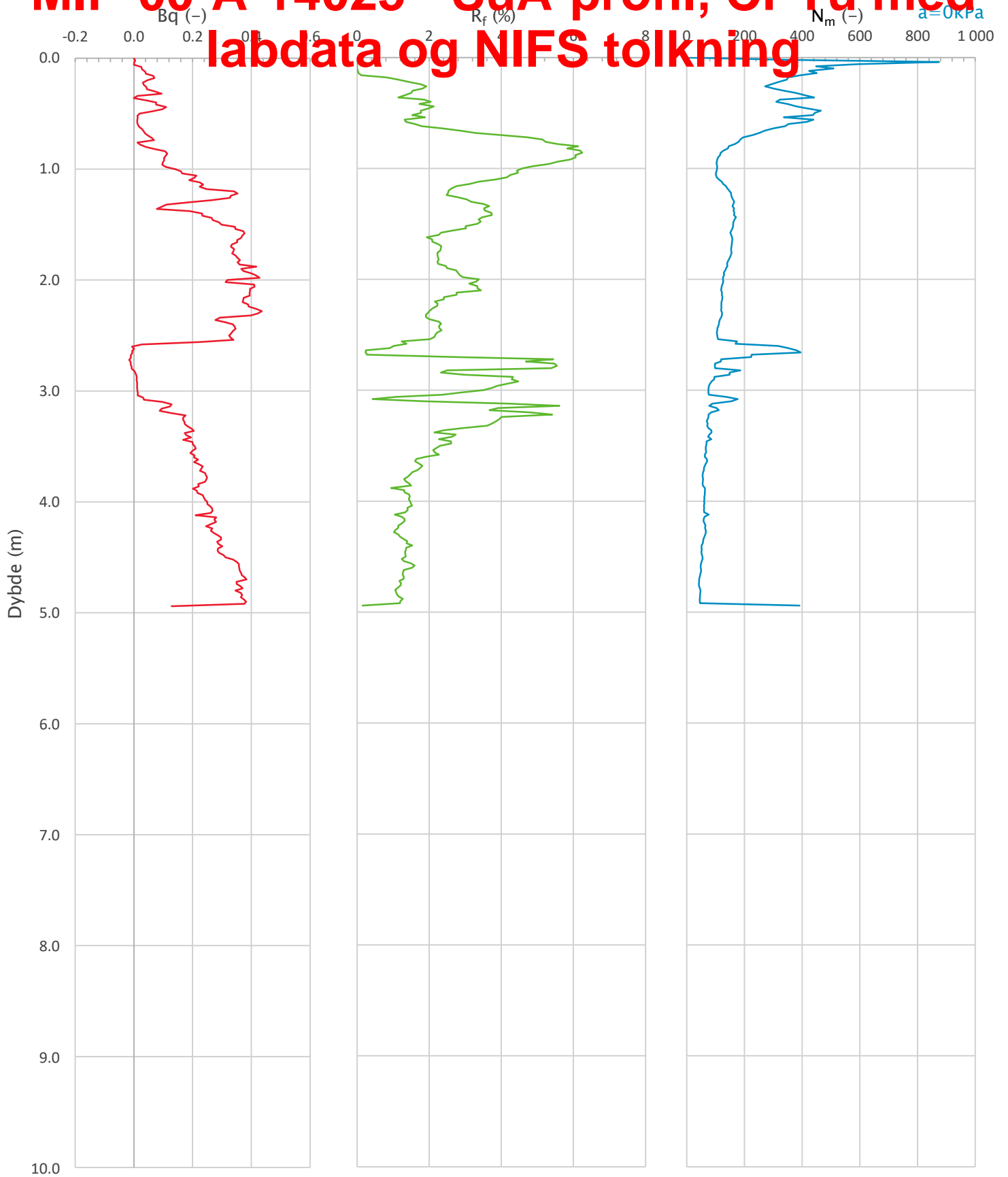
# MIP-00-A-14025 - SuA-profil, CPTu med labdata og NIFS tolkning




Prosjekt		Prosjektnummer: 900078 Rapportnummer: MIP-00-A-14024		Borhull	Kote +101.5
<b>Ski Hensetting</b>				<b>A448</b>	
Innhold		In-situ poretrykk, total- og effektiv vertikalspenning i beregninger		Sondennummer	
				<b>4489</b>	
 <b>Statens vegvesen</b>	Utført	Kontrollert	Godkjent	Anvend.klasse	1
	SOHJ/JAJE	ABC	TTR		
	Divisjon	Dato sondering	Revisjon	Figur	2
	Ekstern konsulent	08.09.2020	Rev. dato		

**B127**

# MIP-00-A-14025 - SuA-profil, CPTu med labdata og NIFS tolkning



Prosjekt		Prosjektnummer: 900078 Rapportnummer: MIP-00-A-14024		Borhull	Kote +101.5
<b>Ski Hensetting</b>				<b>A448</b>	
Innhold				Sondennummer	
Avledede dimensjonsløse forhold				<b>4489</b>	
 <b>Statens vegvesen</b>	Utført	Kontrollert	Godkjent	Anvend.klasse	1
	SOHJ/JAJE	ABC	TTR		
	Divisjon	Dato sondering	Revisjon	Figur	4
	Ekstern konsulent	08.09.2020	Rev. dato		

**B128**



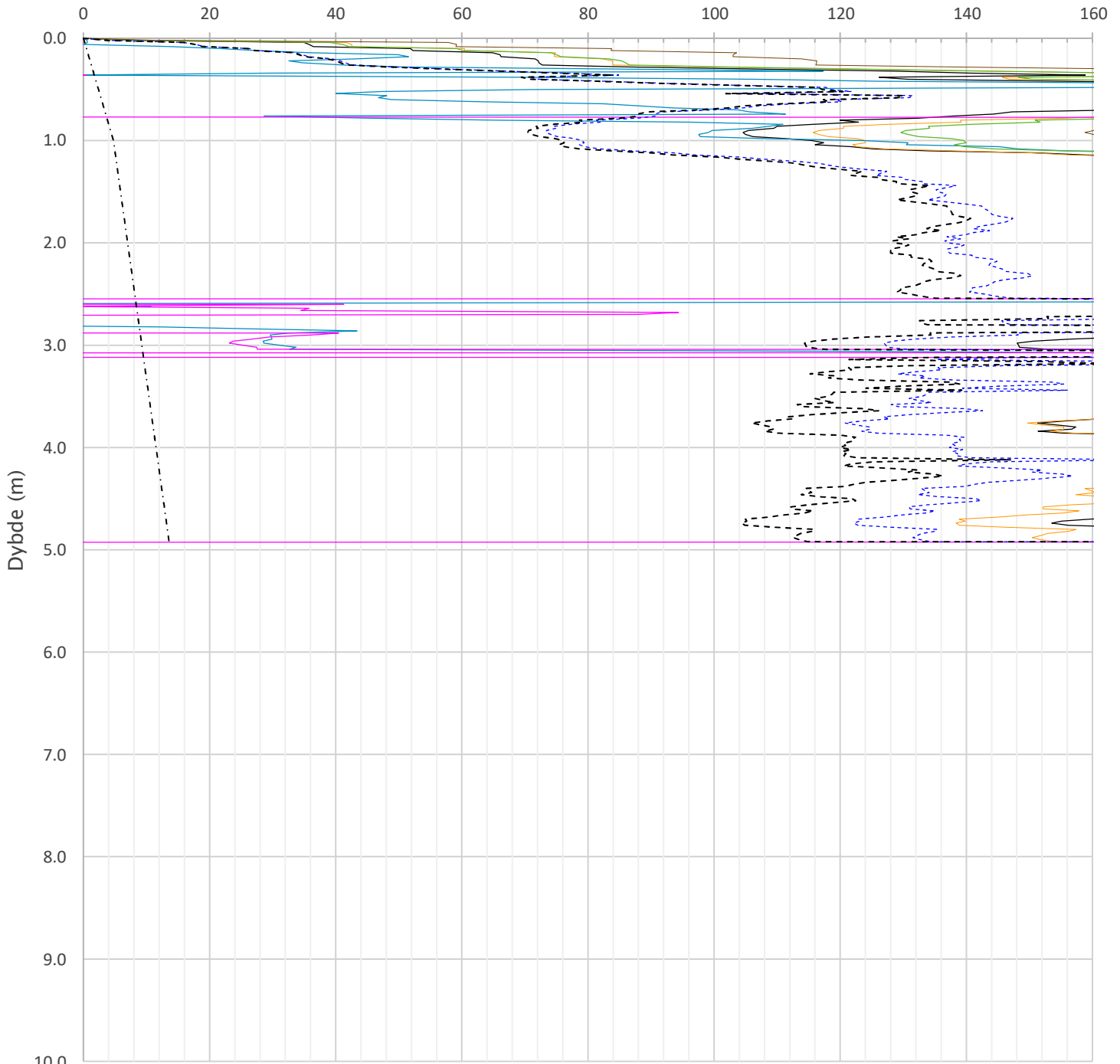
# MIP-00-A-14025 - SuA-profil, CPTu med labdata og NIFS tolkning

Anisotropiforhold i figur.

Enaks BH A448:  $c_{uc}/c_{ucptu} = var$  (min:0.648 max:0.683)

Konus BH A448:  $c_{ufc}/c_{ucptu} = var$  (min:0.743 max:0.683)

Udrenert aktiv skjærfasthet,  $c_{ucptu}$  (kPa)



— Nkt.L=19-12.5·Bq

— NΔu.L=1+9·Bq

— 2 < Nke.K=[11.5/12.5]-[9.05/11]·Bq

- - - - - Larsson 2007 omregn. til cuc(leire eller gytje)

- - - - - cuNC: 0.25·σ'v0

▲ Konus BH A448

— Nke.L=16-14.5·Bq


— Nkt.K=[7.8/8.5]+2.5·Log(OCR3)+[0.082/0]·Ip

— NΔu.K=[6.9/9.8]-[4/4.5]·Log(OCR3)+[0.07/0]·Ip

- - - - - SHANSEP (OCR3, α=0.25, m=0.65)

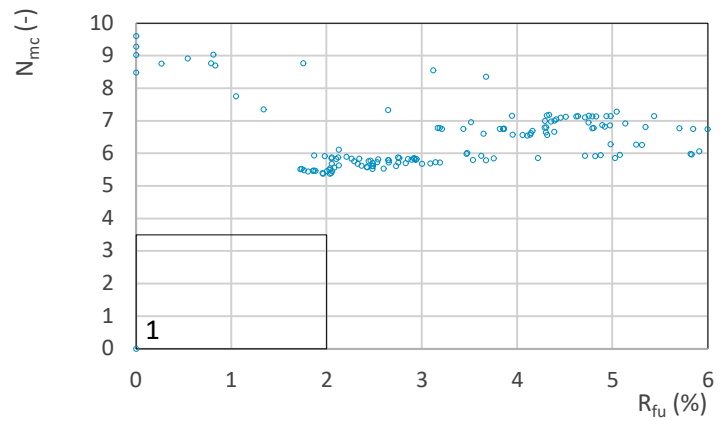
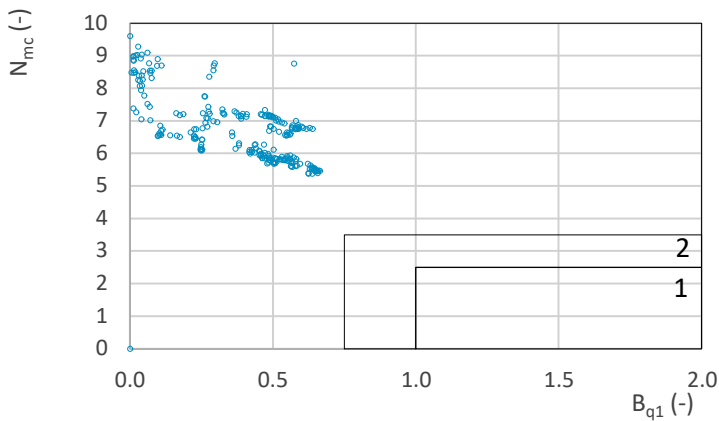
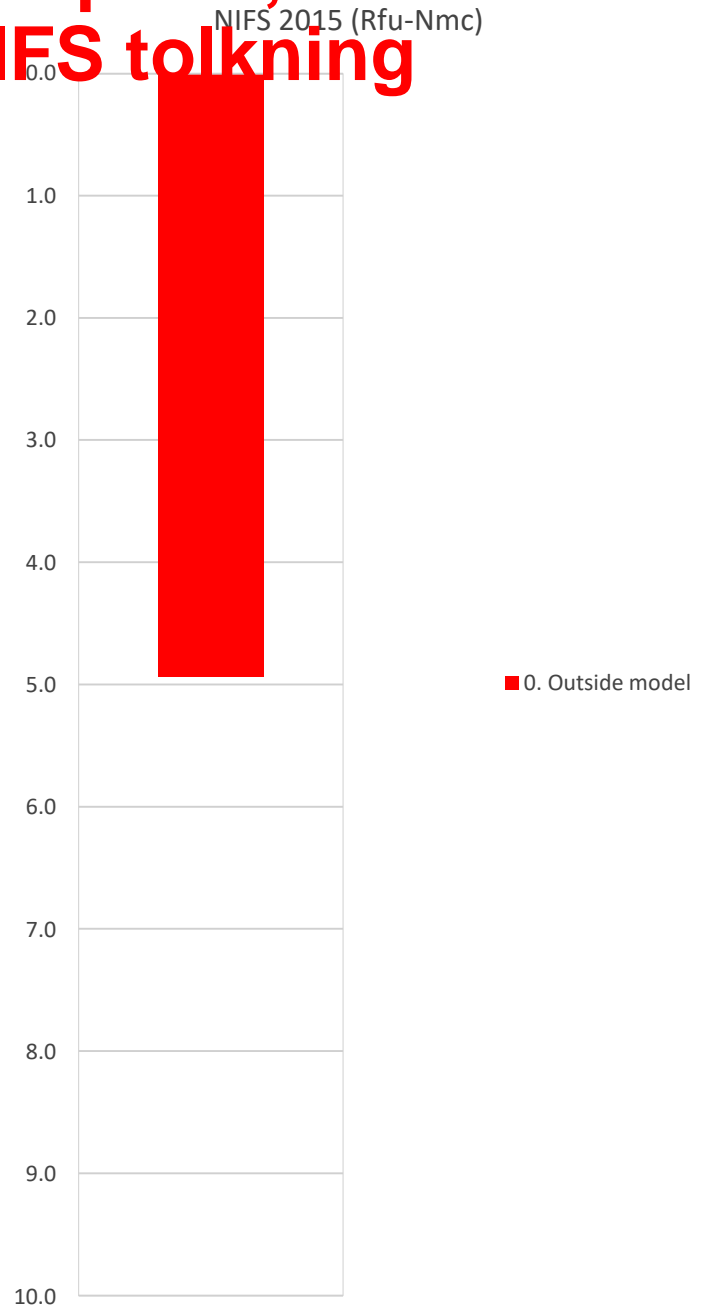
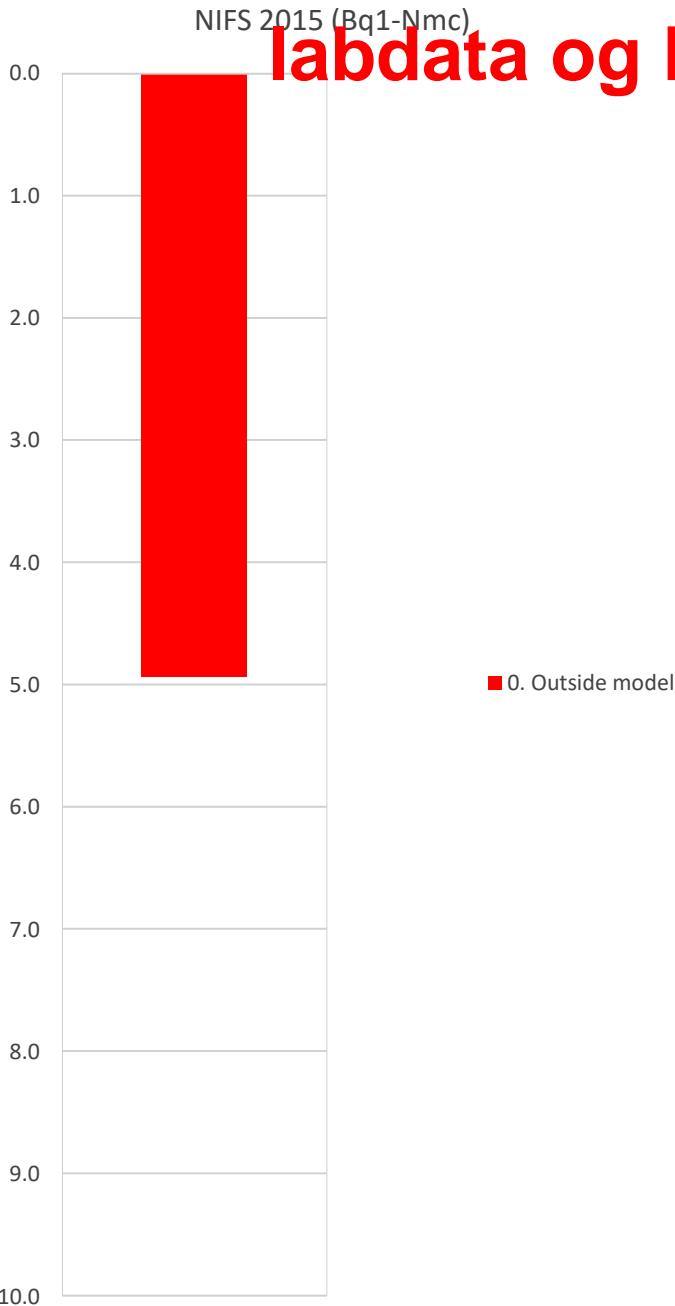
● Enaks BH A448

■ Anbefalt kurve

Prosjekt		Prosjektnummer: 900078 Rapportnummer: MIP-00-A-14024		Borhull	Kote +101.5
<b>Ski Hensetting</b>				<b>A448</b>	
Innhold				Sondennummer	
Tolkning av udrenert aktiv skjærfasthet				<b>4489</b>	
 <b>Statens vegvesen</b>	Utført	Kontrollert	Godkjent	Anvend.klasse	1
	SOHJ/JAJE	ABC	TTR		
	Divisjon	Dato sondering	Revisjon	Figur	5
	Ekstern konsulent	08.09.2020	Rev. dato		

**B129**

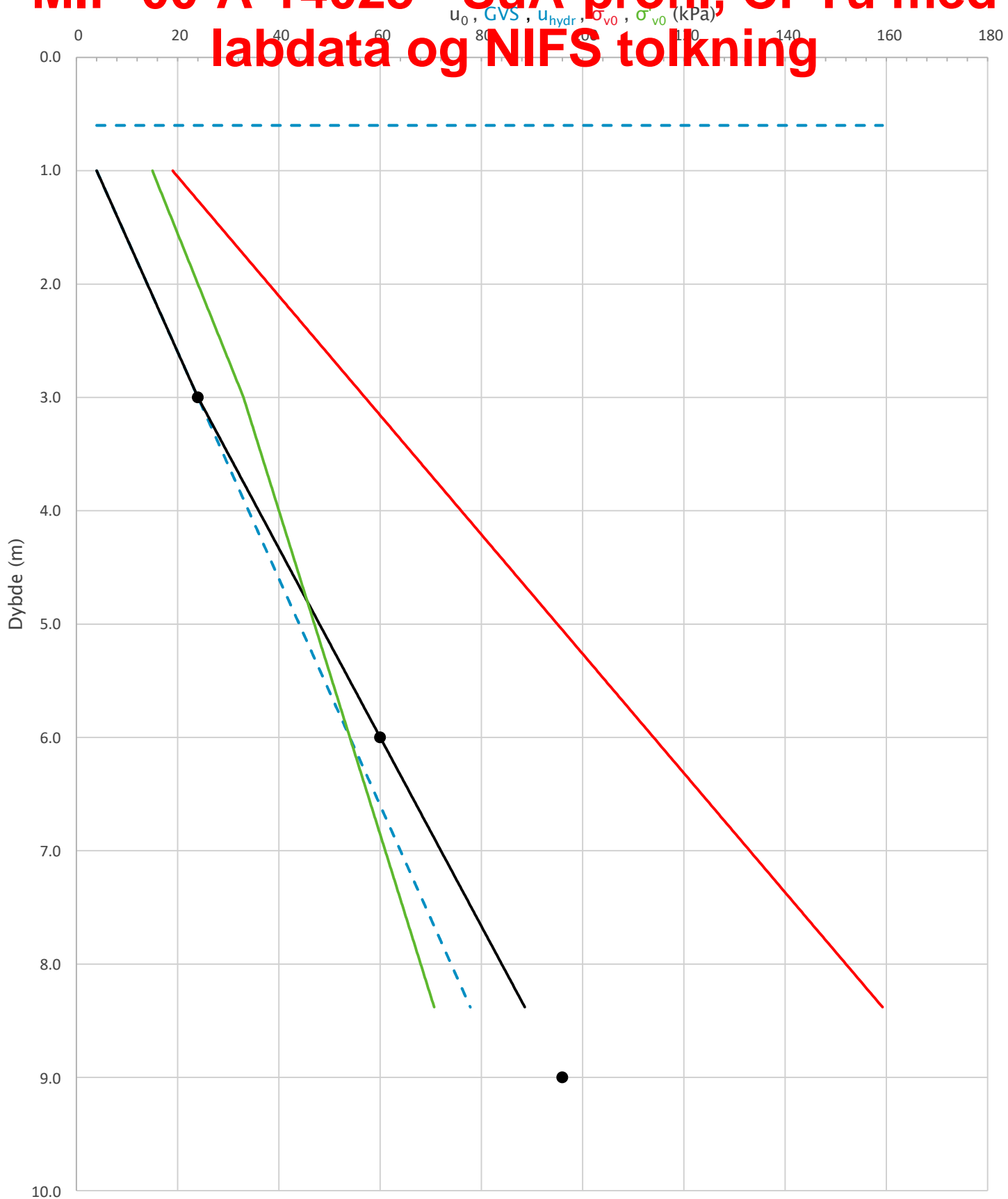
# MIP-00-A-14025 - SuA-profil, CPTu med labdata og NIFS tolkning



Prosjekt		Prosjektnummer: 900078 Rapportnummer: MIP-00-A-14024		Borhull	Kote +101.5
<b>Ski Hensetting</b>				<b>A448</b>	
Innhold		Jordartsklassifisering etter NIFS 2015 - detektering av sensitive materialer		Sondennummer	
				<b>4489</b>	
 <b>Statens vegvesen</b>	Utført	Kontrollert	Godkjent	Anvend.klasse	
	SOHJ/JAJE	ABC	TTR	<b>1</b>	
	Divisjon	Dato sondering	Revisjon	Figur	
	Ekstern konsulent	08.09.2020	Rev. dato	<b>21</b>	

**B130**

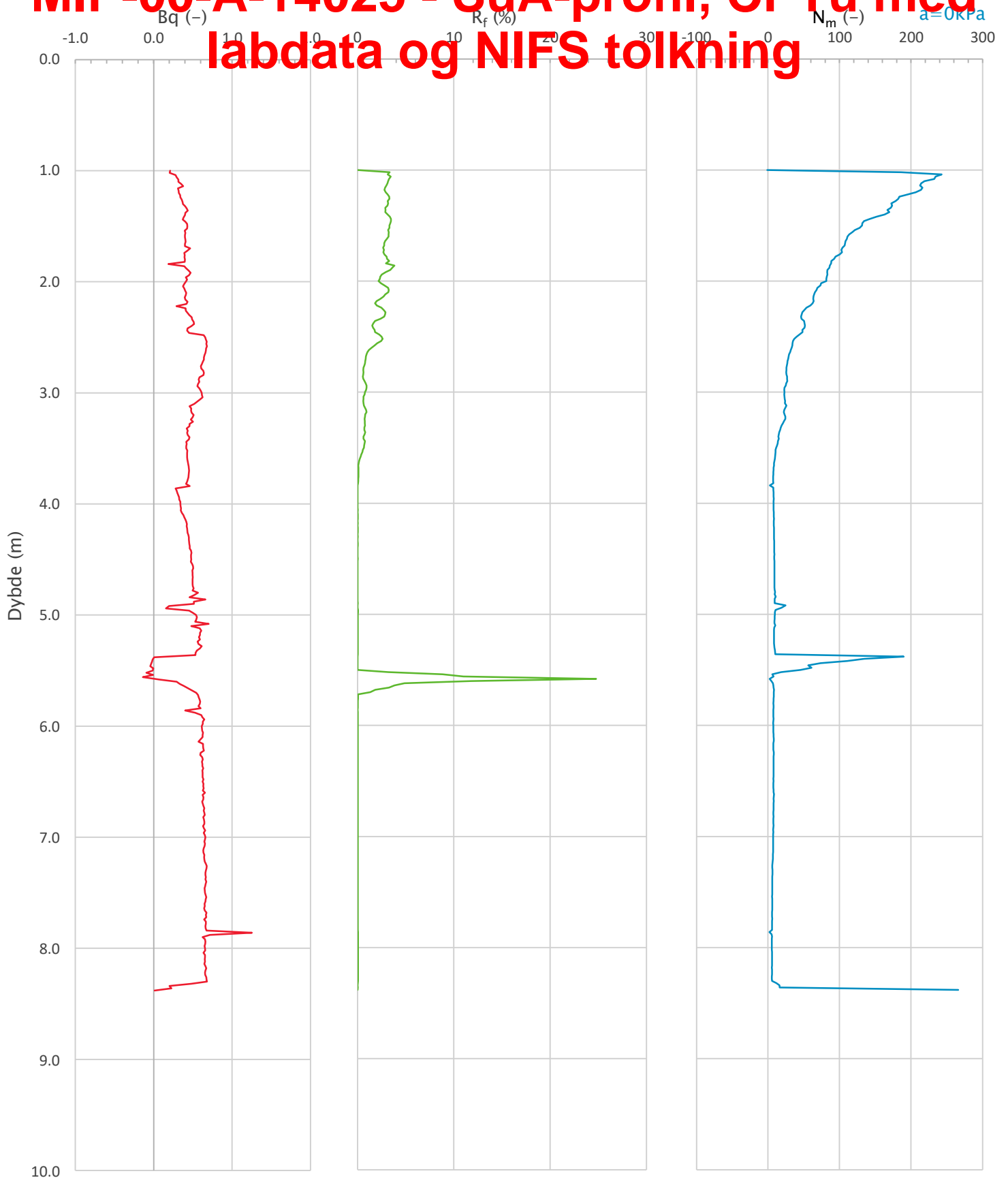
# MIP-00-A-14025 - SuA-profil, CPTu med labdata og NIFS tolkning




Prosjekt		Prosjektnummer: 900078 Rapportnummer: MIP-00-A-14024		Borhull	Kote +99.4
<b>Ski Hensetting</b>				<b>A451</b>	
Innhold		In-situ poretrykk, total- og effektiv vertikalspenning i beregninger		Sondennummer	<b>4489</b>
 <b>Statens vegvesen</b>	Utført	Kontrollert	Godkjent	Anvend.klasse	
	SOHJ/JAJE	ABC	TTR	1	
Divisjon	Dato sondering	Revisjon	Figur		
Ekstern konsulent	22.09.2020	Rev. dato	2		

**B131**

# MIP-00-A-14025 - SuA-profil, CPTu med labdata og NIFS tolkning



Prosjekt		Prosjektnummer: 900078 Rapportnummer: MIP-00-A-14024		Borhull	Kote +99.4
<b>Ski Hensetting</b>				<b>A451</b>	
Innhold				Sondennummer	
Avledede dimensjonsløse forhold				<b>4489</b>	
 <b>Statens vegvesen</b>	Utført	Kontrollert	Godkjent	Anvend.klasse	<b>1</b>
	SOHJ/JAJE	ABC	TTR		
	Divisjon	Dato sondering	Revisjon	Figur	<b>4</b>
	Ekstern konsulent	22.09.2020	Rev. dato		

**B132**



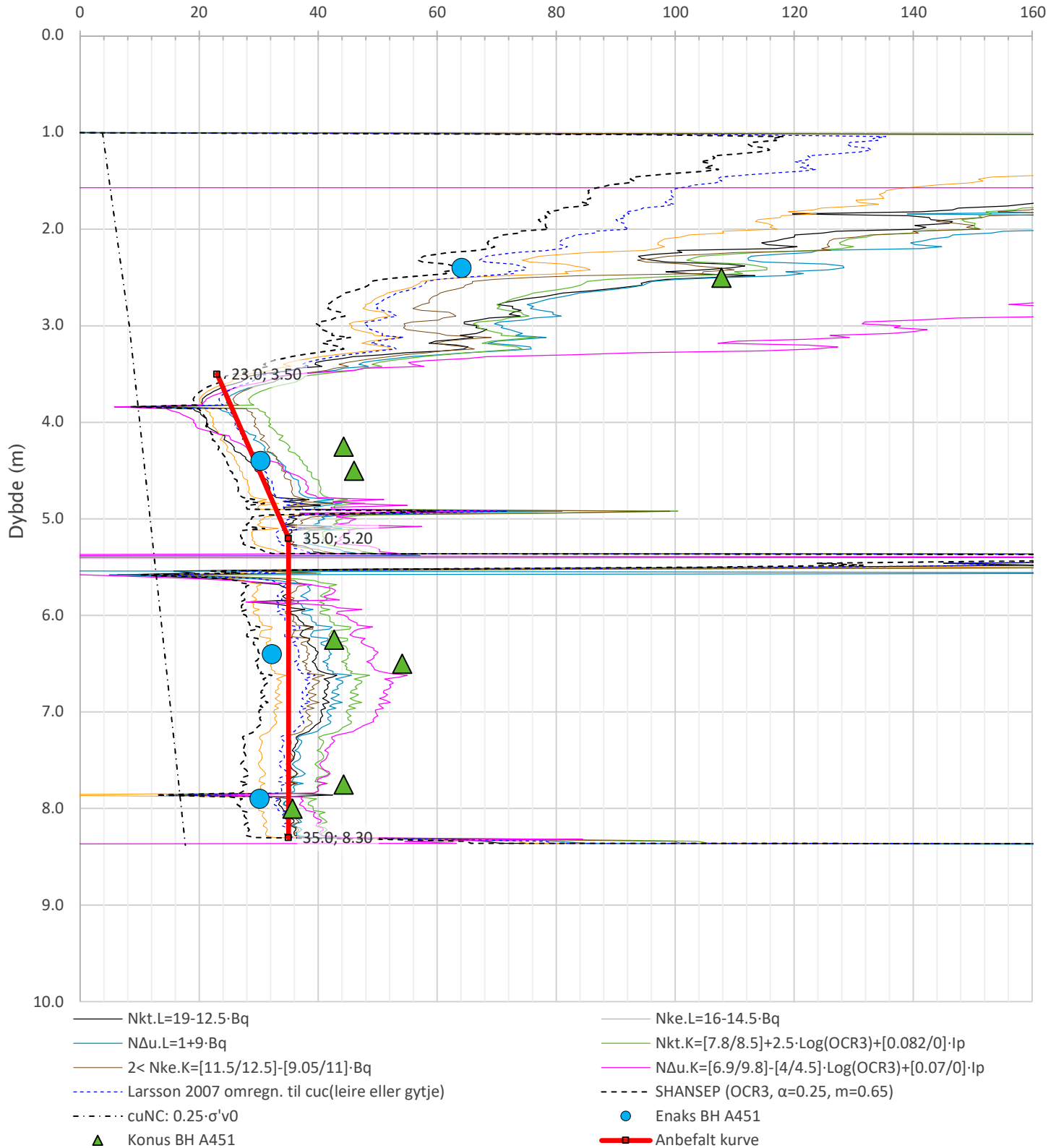
# MIP-00-A-14025 - SuA-profil, CPTu med labdata og NIFS tolkning


Anisotropiforhold i figur.

Enaks BH A451:  $c_{uc}/c_{ucptu} = 0.630$

Konus BH A451:  $c_{ufc}/c_{ucptu} = 0.630$

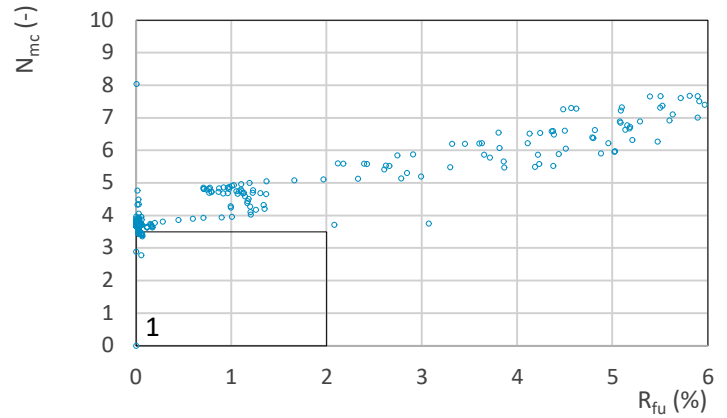
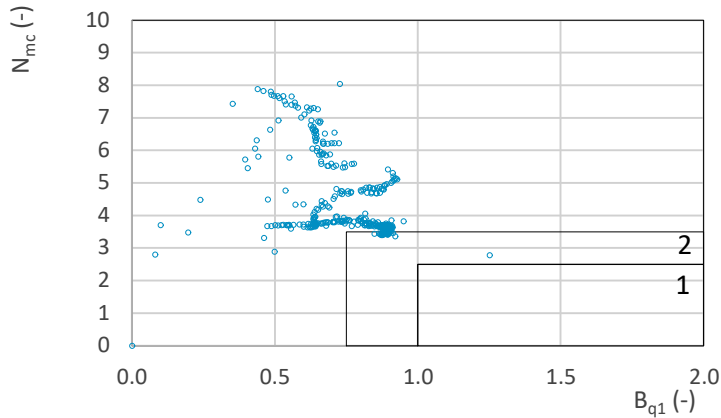
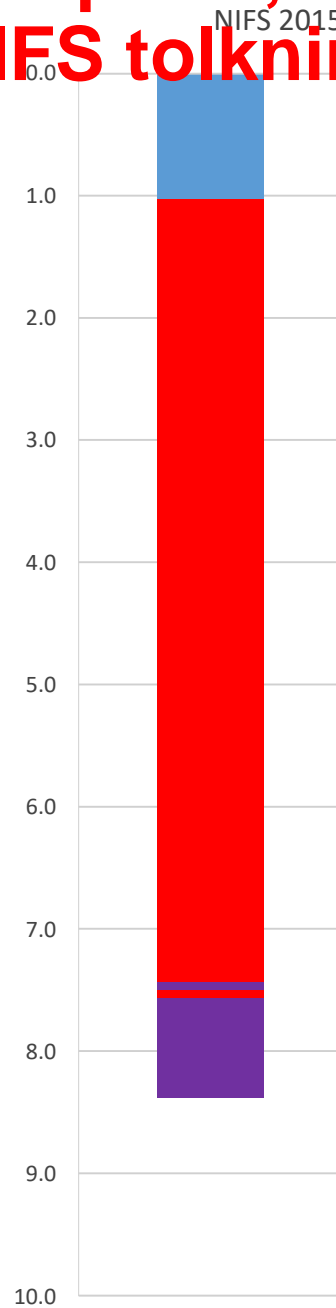
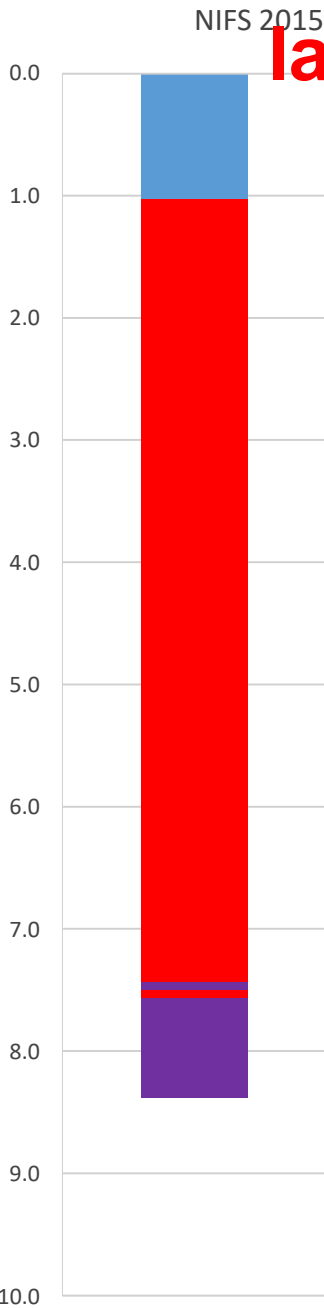
Udrenert aktiv skjærfasthet,  $c_{ucptu}$  (kPa)



Prosjekt <b>Ski Hensetting</b>	Prosjektnummer: 900078 Rapportnummer: MIP-00-A-14024	Borhull Kote +99.4 <b>A451</b>
Innhold Tolkning av udrenert aktiv skjærfasthet		Sondennummer <b>4489</b>
 <b>Statens vegvesen</b>	Utført SOHJ/JAJE	Kontrollert ABC
	Divisjon Ekstern konsulent	Dato sondering 22.09.2020
	Godkjent TTR	Anvend.klasse <b>1</b>
	Revisjon Rev. dato	Figur <b>5</b>

**B133**

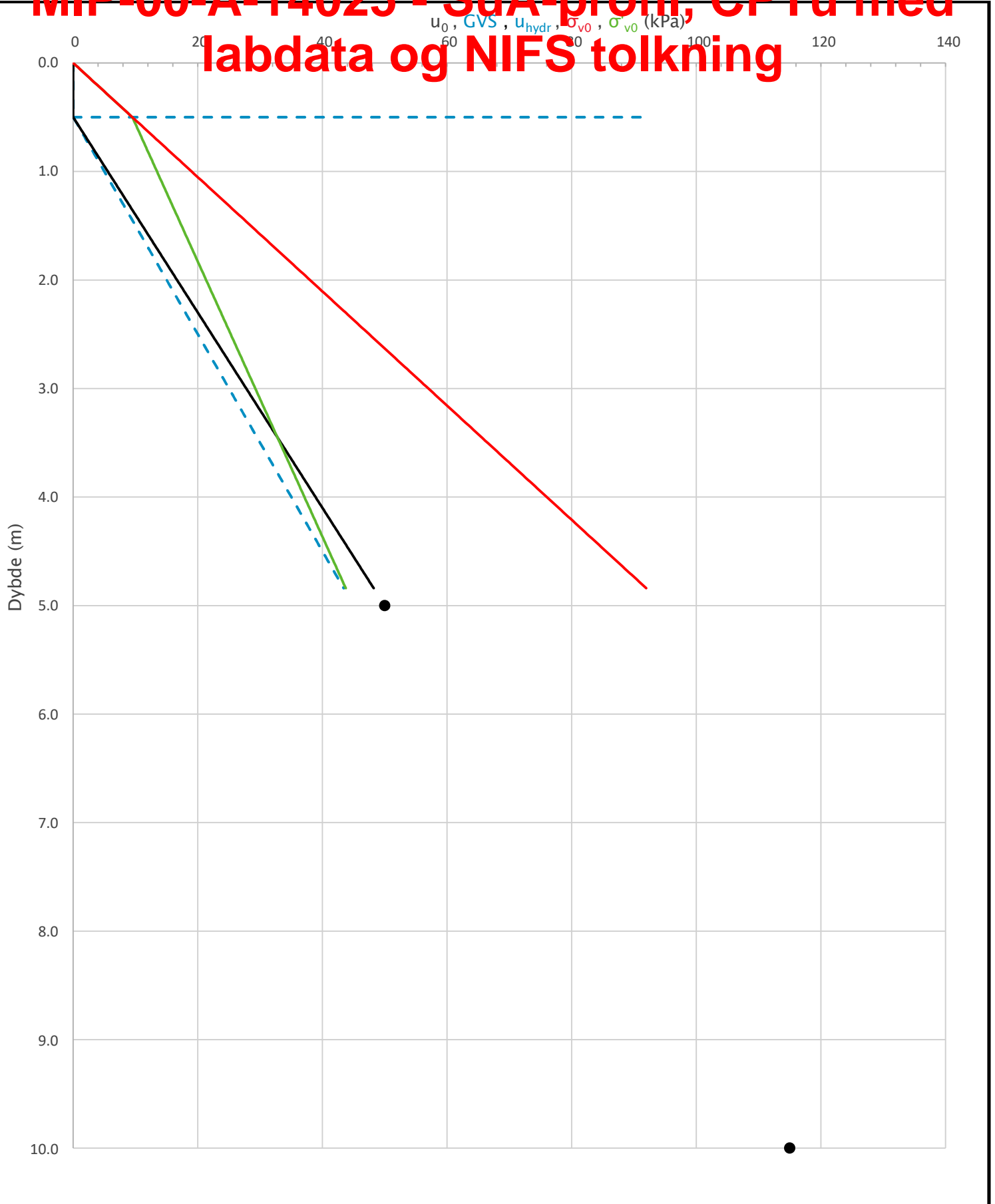
# MIP-00-A-14025 - SuA-profil, CPTu med labdata og NIFS tolkning



Prosjekt		Prosjektnummer: 900078 Rapportnummer: MIP-00-A-14024		Borhull	Kote +99.4
<b>Ski Hensetting</b>				<b>A451</b>	
Innhold		Jordartsklassifisering etter NIFS 2015 – detektering av sensitive materialer		Sondennummer	<b>4489</b>
 <b>Statens vegvesen</b>	Utført	Kontrollert	Godkjent	Anvend.klasse	<b>1</b>
	SOHJ/JAJE	ABC	TTR	Figur	<b>21</b>
	Divisjon	Dato sondering	Revisjon		
	Ekstern konsulent	22.09.2020	Rev. dato		

**B134**

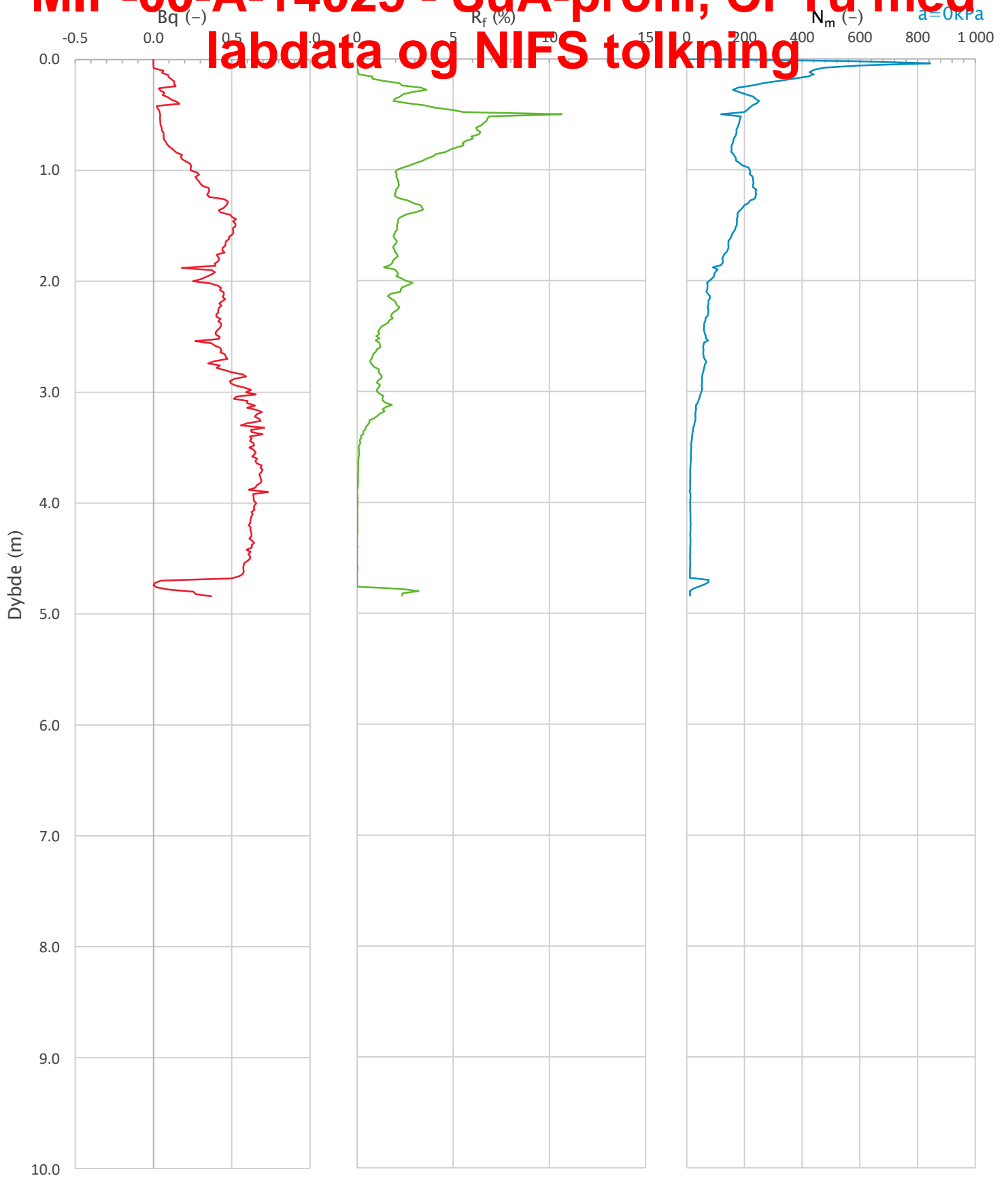
# MIP-00-A-14025 - SuA-profil, CPTu med labdata og NIFS tolkning




Prosjekt		Prosjektnummer: 900078 Rapportnummer: MIP-00-A-14024		Borhull	Kote +96.8
<b>Ski Hensetting</b>				<b>A457</b>	
Innhold		In-situ poretrykk, total- og effektiv vertikalspenning i beregninger		Sondennummer	<b>4489</b>
 <b>Statens vegvesen</b>	Utført	Kontrollert	Godkjent	Anvend.klasse	<b>1</b>
	SOHJ/JAJE	ABC	TTR		
	Divisjon	Dato sondering	Revisjon	Figur	<b>2</b>
	Ekstern konsulent	14.09.2020	Rev. dato		

**B135**

# MIP-00-A-14025 - SuA-profil, CPTu med labdata og NIFS tolkning



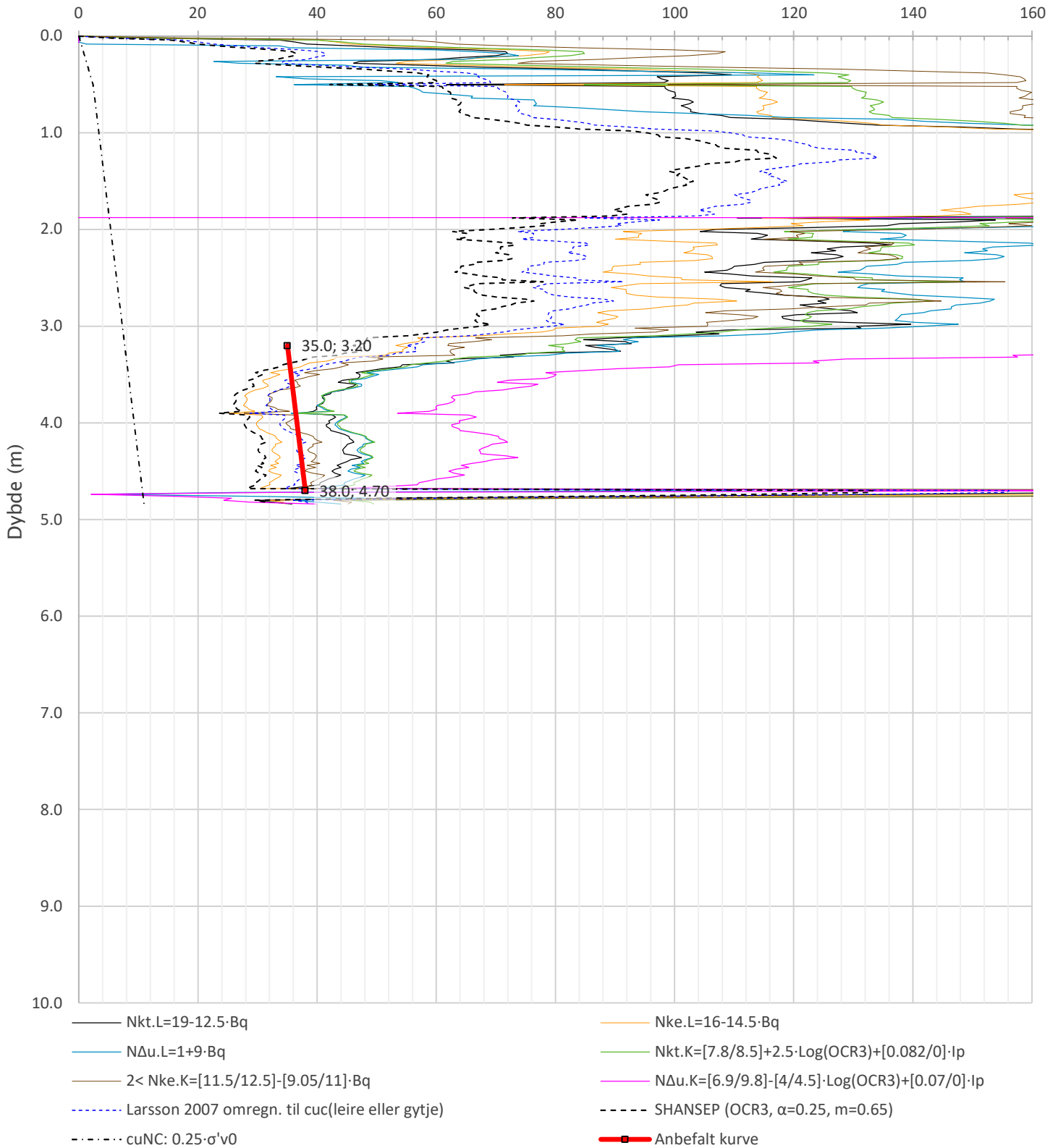
Prosjekt		Prosjektnummer: 900078 Rapportnummer: MIP-00-A-14024		Borhull	Kote +96.8
<b>Ski Hensetting</b>				<b>A457</b>	
Innhold				Sondennummer	
Avledede dimensjonsløse forhold				<b>4489</b>	
 <b>Statens vegvesen</b>	Utført	Kontrollert	Godkjent	Anvend.klasse	1
	SOHJ/JAJE	ABC	TTR		
	Divisjon	Dato sondering	Revisjon	Figur	4
	Ekstern konsulent	14.09.2020	Rev. dato		


**B136**



# MIP-00-A-14025 - SuA-profil, CPTu med labdata og NIFS tolkning

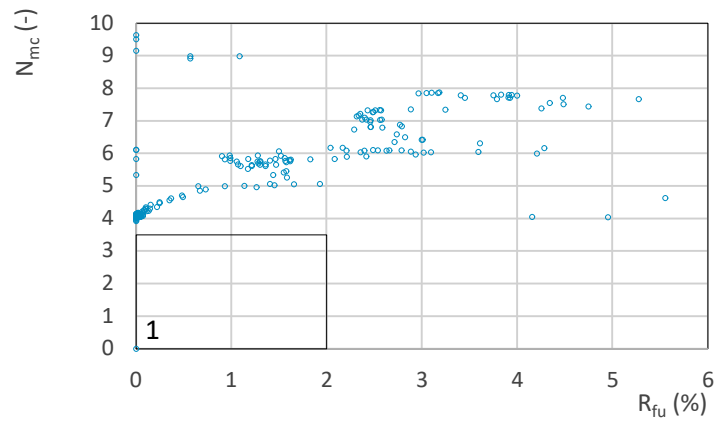
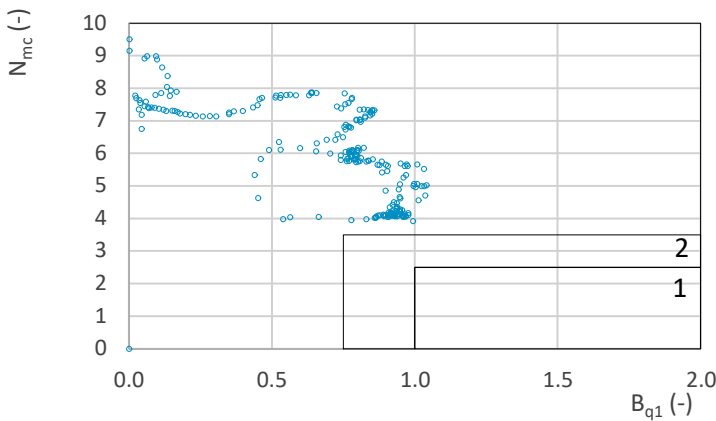
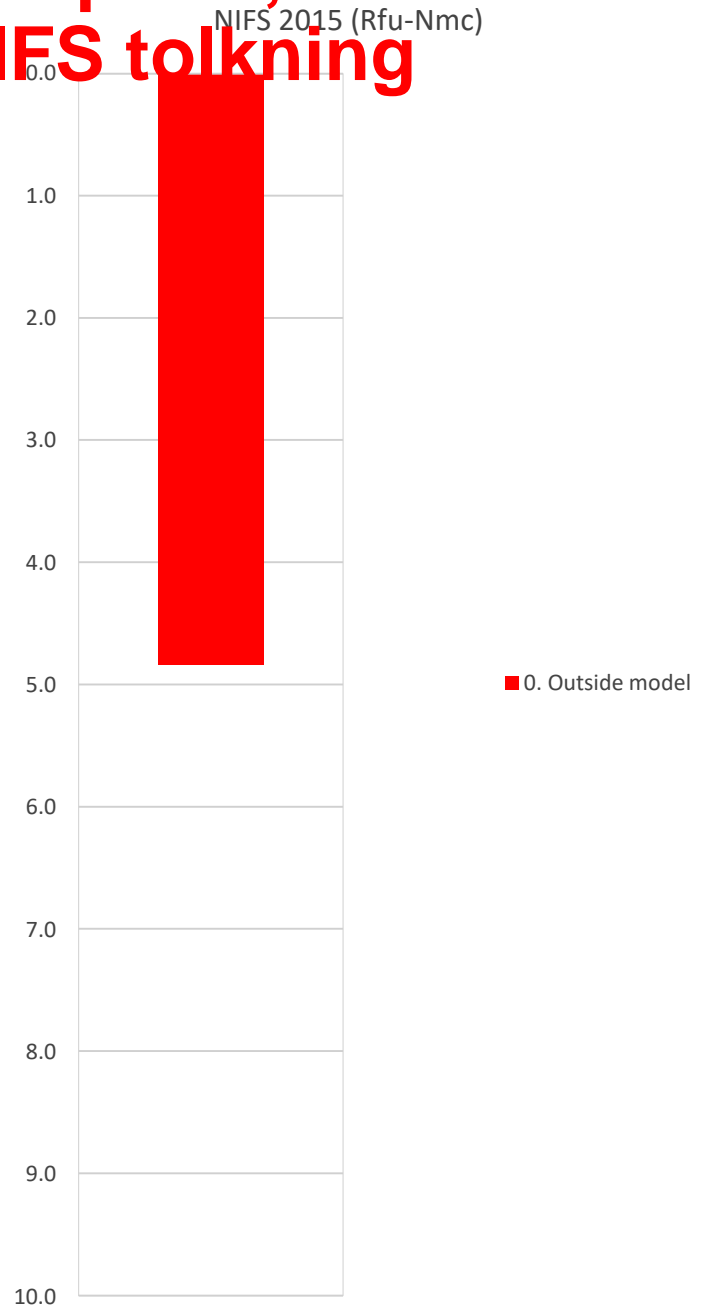
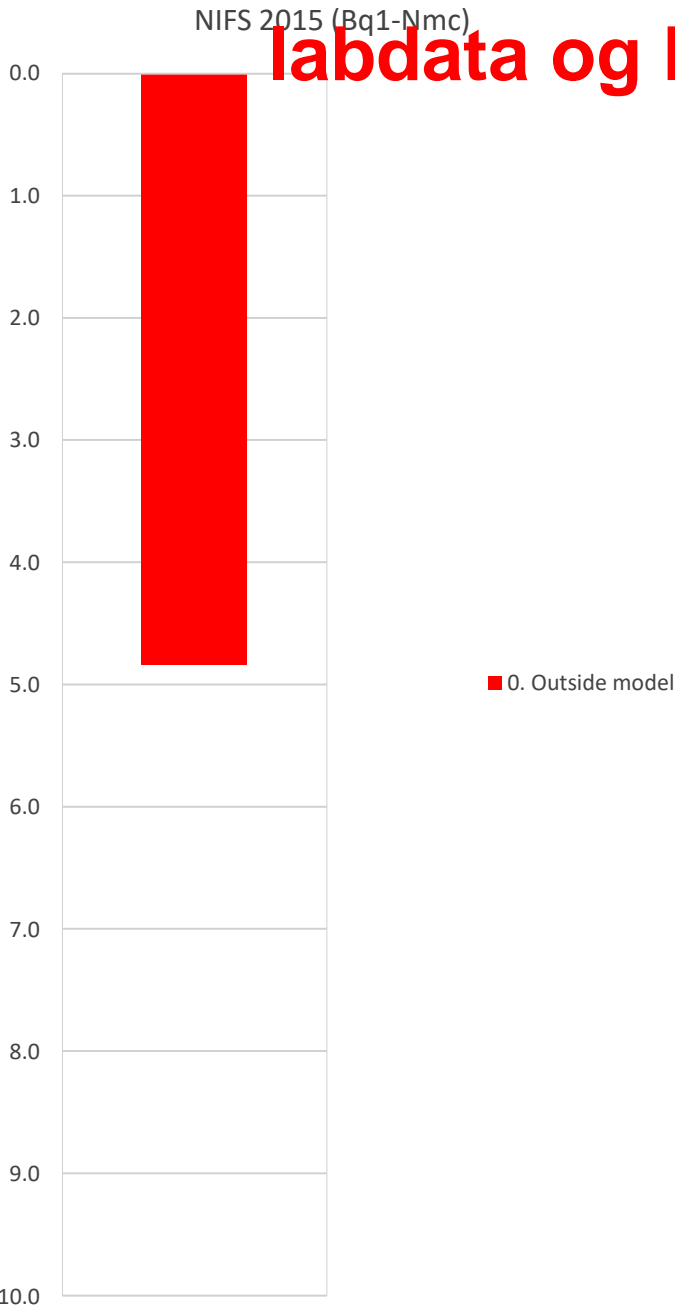
Udrenert aktiv skjærfasthet,  $c_{ucptu}$  (kPa)



Prosjekt <b>Ski Hensetting</b>	Prosjektnummer: 900078 Rapportnummer: MIP-00-A-14024	Borhull Kote +96.8 <b>A457</b>
Innhold Tolkning av udrenert aktiv skjærfasthet		Sondennummer <b>4489</b>
 <b>Statens vegvesen</b>	Utført SOHJ/JAJE	Kontrollert ABC
	Divisjon Ekstern konsulent	Dato sondering 14.09.2020
	Godkjent TTR	Anvend.klasse <b>1</b>
	Revisjon Rev. dato	Figur <b>5</b>

**B137**

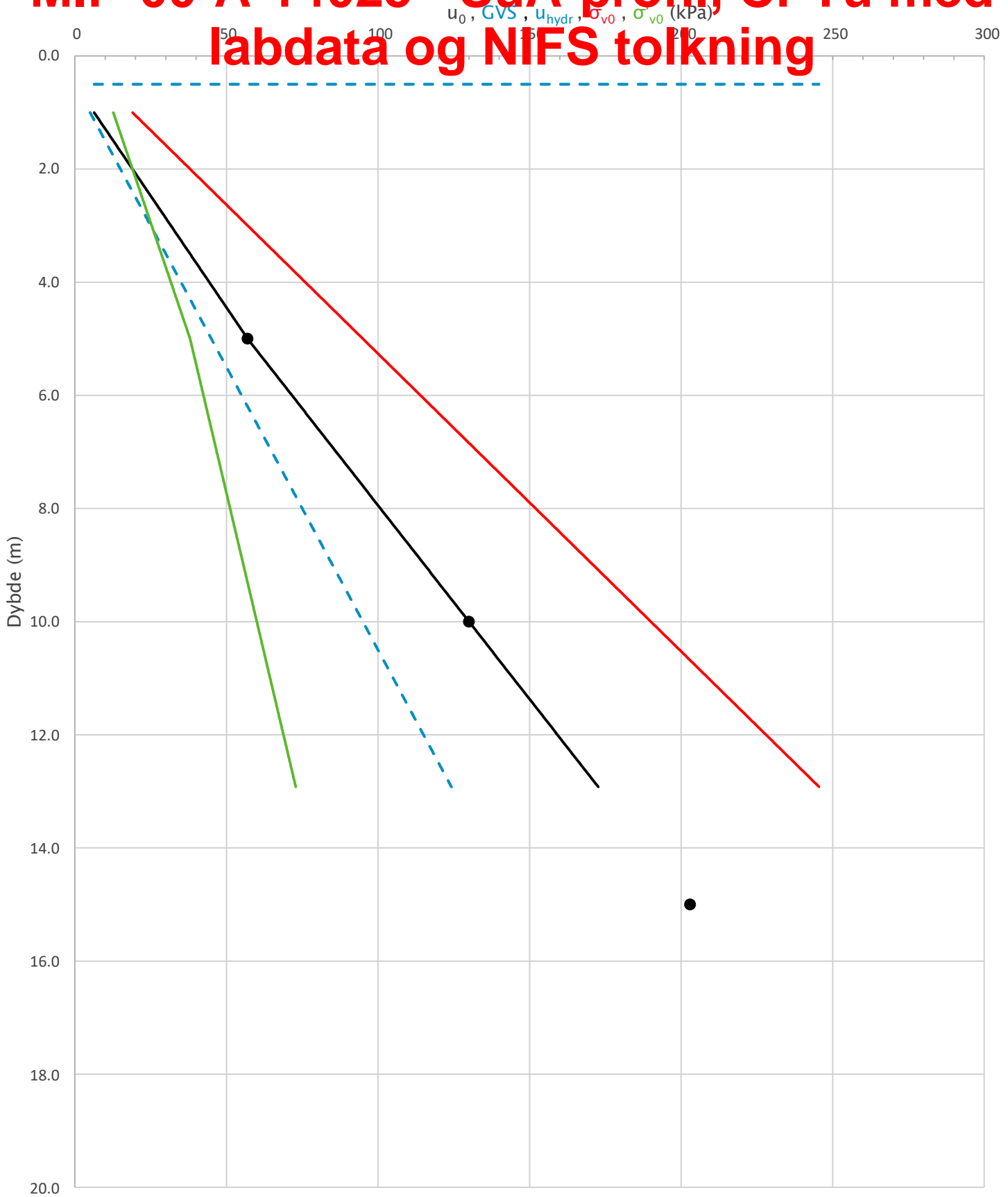
# MIP-00-A-14025 - SuA-profil, CPTu med labdata og NIFS tolkning



Prosjekt		Prosjektnummer: 900078 Rapportnummer: MIP-00-A-14024		Borhull	Kote +96.8
<b>Ski Hensetting</b>				<b>A457</b>	
Innhold		Jordartsklassifisering etter NIFS 2015 - detektering av sensitive materialer		Sondennummer	
				<b>4489</b>	
 <b>Statens vegvesen</b>	Utført	Kontrollert	Godkjent	Anvend.klasse	
	SOHJ/JAJE	ABC	TTR	<b>1</b>	
	Divisjon	Dato sondering	Revisjon	Figur	
	Ekstern konsulent	14.09.2020	Rev. dato	<b>21</b>	

**B138**

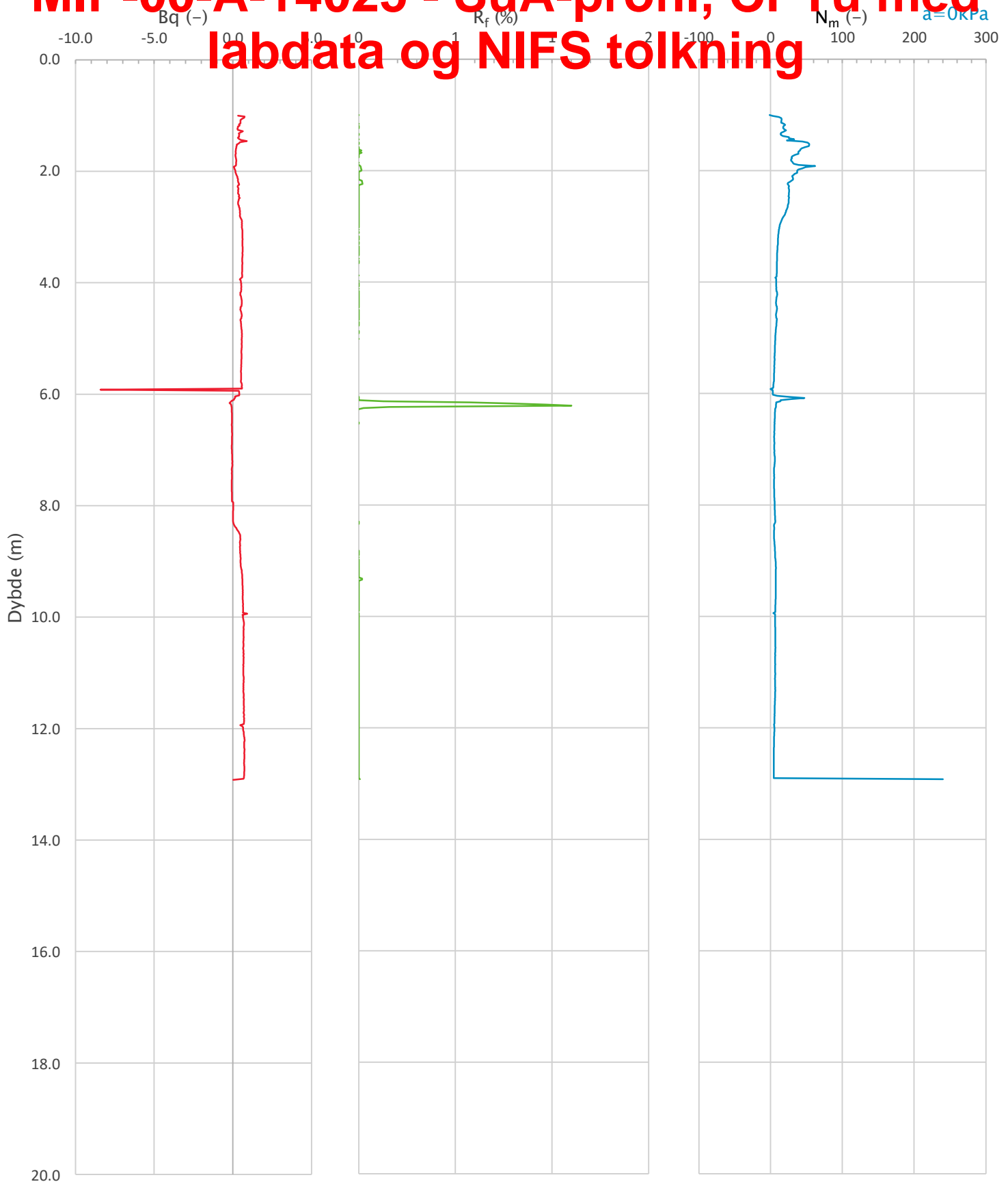
# MIP-00-A-14025 - SuA-profil, CPTu med labdata og NIFS tolkning




Prosjekt		Prosjektnummer: 900078 Rapportnummer: MIP-00-A-14024		Borhull	Kote +91.9
<b>Ski Hensetting</b>				<b>A468</b>	
Innhold		In-situ poretrykk, total- og effektiv vertikalspenning i beregninger		Sondennummer	<b>4489</b>
 <b>Statens vegvesen</b>	Utført	Kontrollert	Godkjent	Anvend.klasse	<b>3</b>
	SOHJ/JAJE	ABC	TTR		
	Divisjon	Dato sondering	Revisjon	Figur	<b>2</b>
	Utbygging	13.10.2020	Rev. dato		

**B139**

# MIP-00-A-14025 - SuA-profil, CPTu med labdata og NIFS tolkning



Prosjekt		Prosjektnummer: 900078 Rapportnummer: MIP-00-A-14024		Borhull	Kote +91.9
<b>Ski Hensetting</b>				<b>A468</b>	
Innhold				Sondennummer	
Avledede dimensjonsløse forhold				<b>4489</b>	
 <b>Statens vegvesen</b>	Utført	Kontrollert	Godkjent	Anvend.klasse	<b>3</b>
	SOHJ/JAJE	ABC	TTR		
	Divisjon	Dato sondering	Revisjon	Figur	<b>4</b>
	Utbygging	13.10.2020	Rev. dato		

**B140**



# MIP-00-A-14025 - SuA-profil, CPTu med labdata og NIFS tolkning

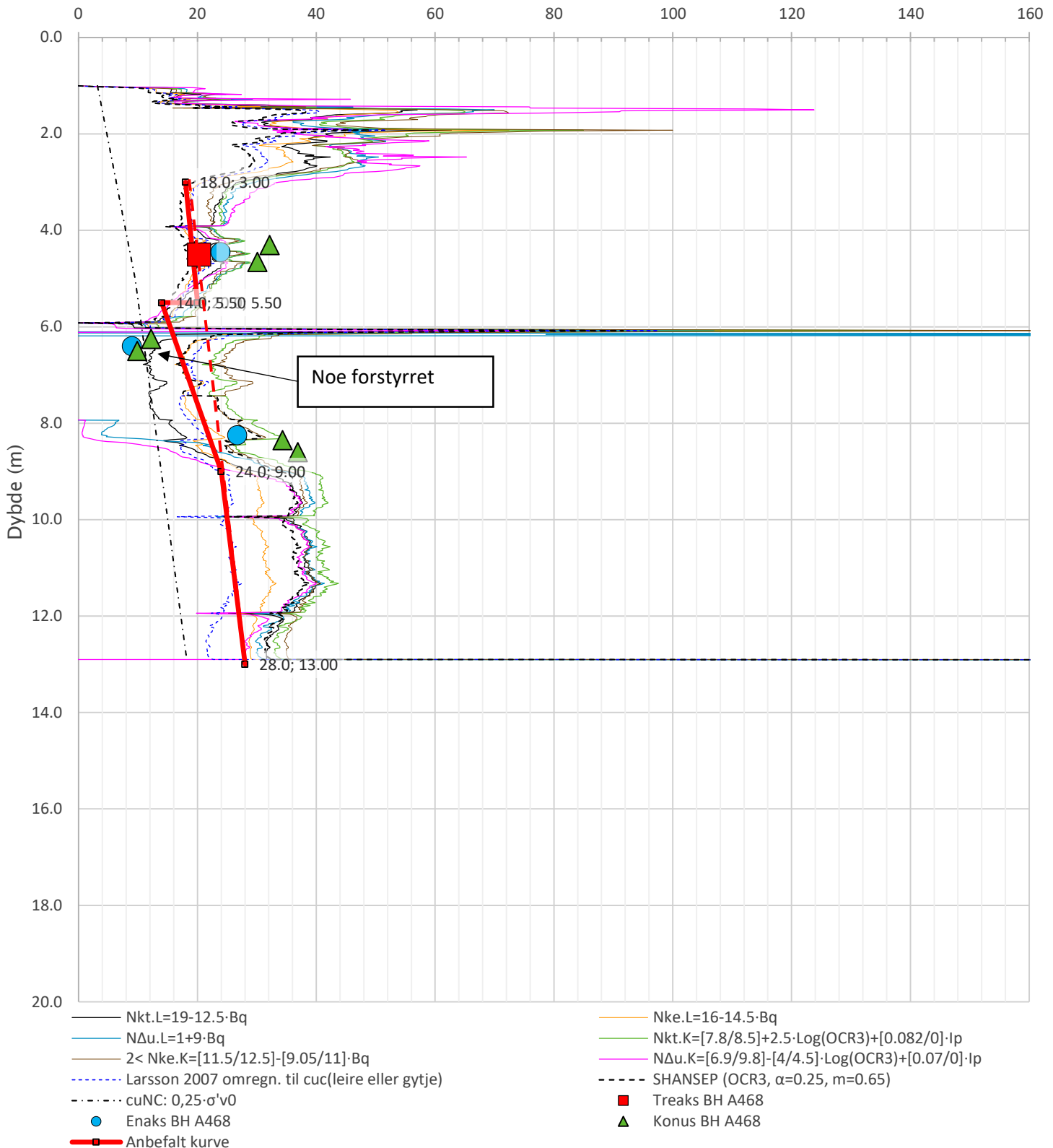
Anisotropiforhold i figur.


Treaks BH A468:  $c_u/c_{ucptu} = 1.000$

Enaks BH A468:  $c_{uc}/c_{ucptu} = \text{var. (min:0.773 max:0.726)}$

Konus BH A468:  $c_{ufc}/c_{ucptu} = \text{var. (min:0.678 max:0.729)}$

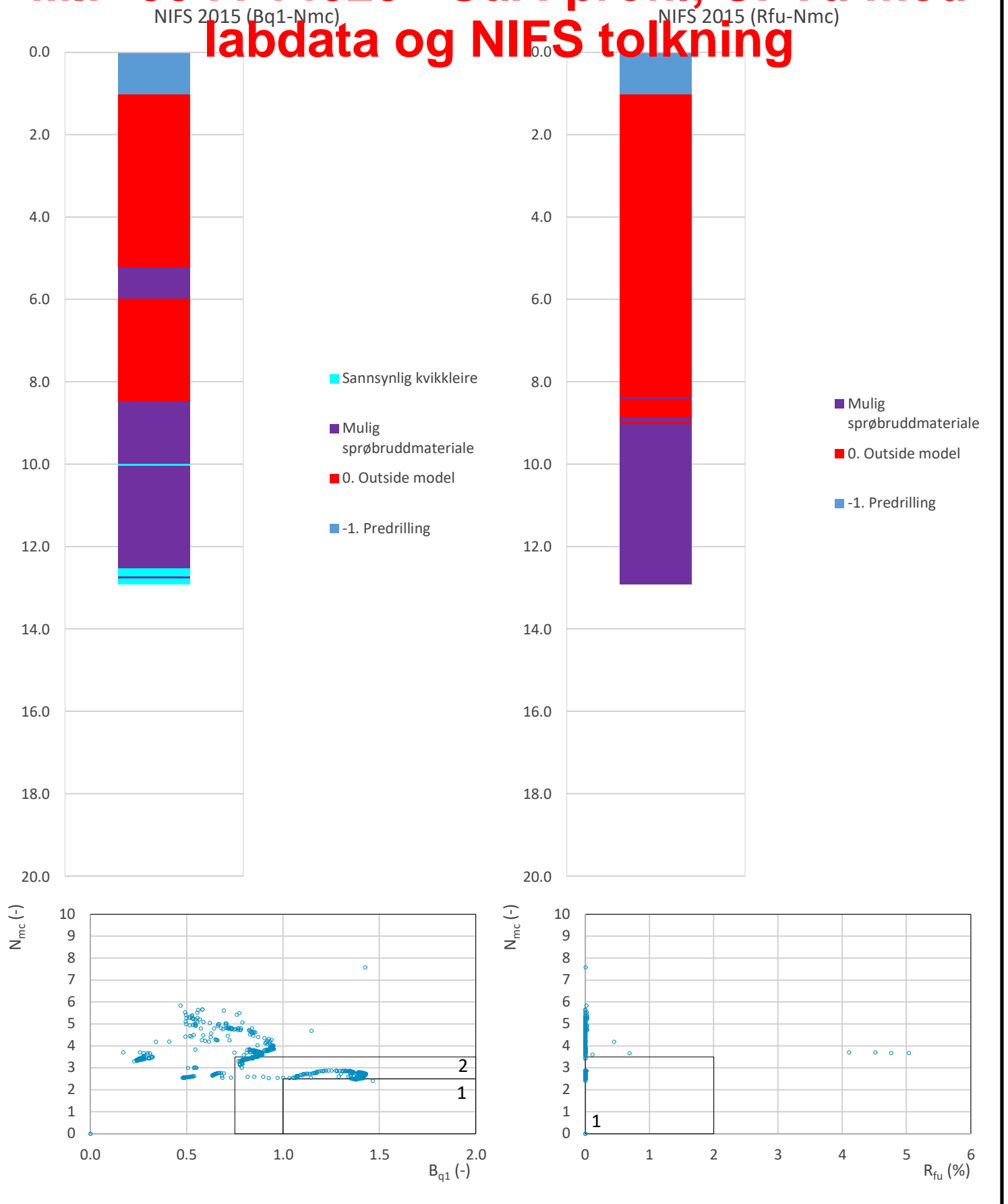
Udrenert aktiv skjærfasthet,  $c_{ucptu}$  (kPa)




Prosjekt	Prosjektnummer: 900078 Rapportnummer: MIP-00-A-14024		Borhull	Kote +91.9
<b>Ski Hensetting</b>			<b>A468</b>	
Innhold			Sondennummer	
Tolkning av udrenert aktiv skjærfasthet			<b>4489</b>	
 <b>Statens vegvesen</b>	Utført	Kontrollert	Godkjent	Anvend.klasse
	SOHJ/JAJE	ABC	TTR	<b>3</b>
Divisjon	Dato sondering	Revisjon	Figur	
Utbygging	13.10.2020	Rev. dato	<b>5</b>	

**B141**

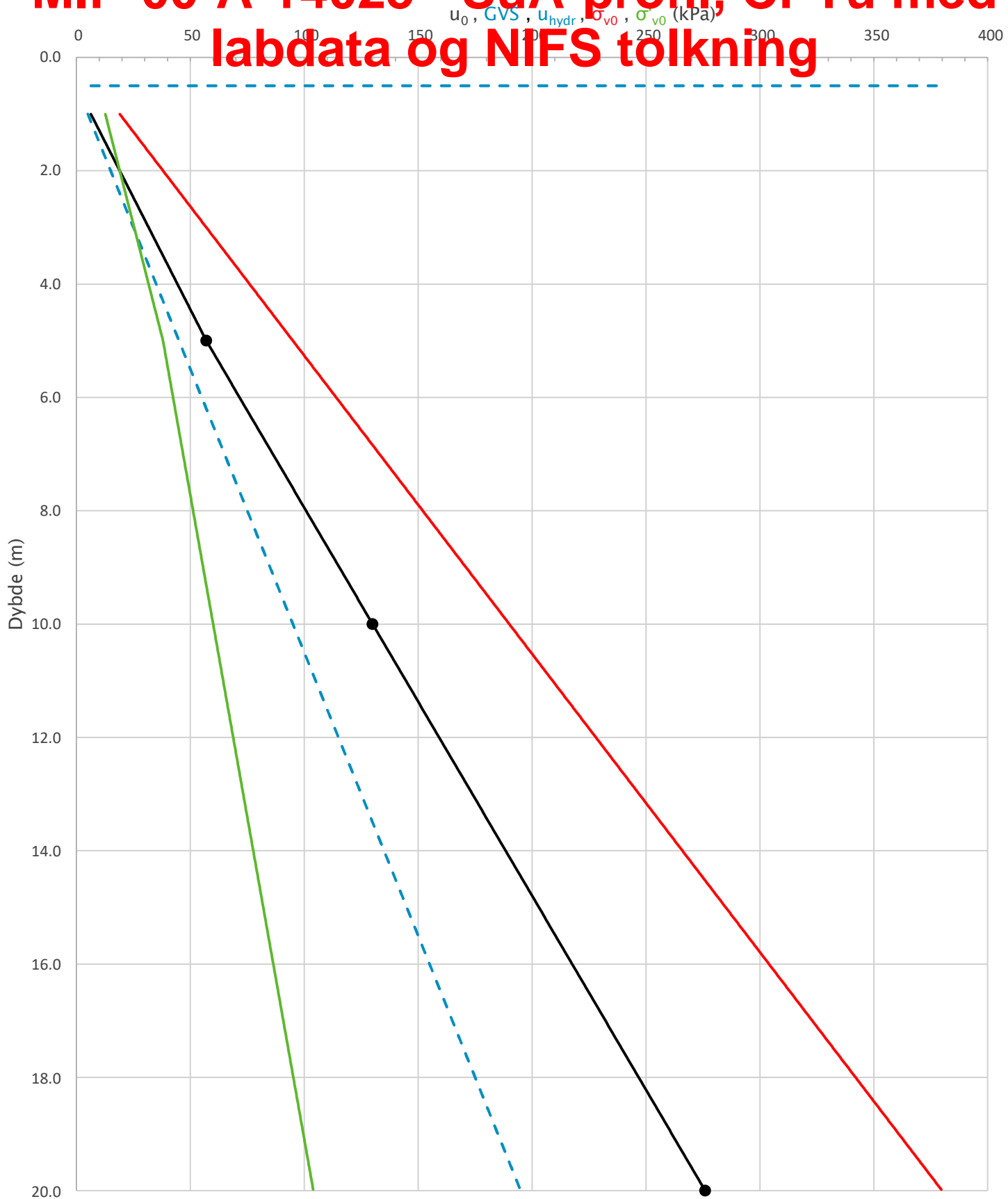
# MIP-00-A-14025 - SuA-profil, CPTu med labdata og NIFS tolkning



Prosjekt		Prosjektnummer: 900078 Rapportnummer: MIP-00-A-14024		Borhull	Kote +91.9
<b>Ski Hensetting</b>				<b>A468</b>	
Innhold		Jordartsklassifisering etter NIFS 2015 – detektering av sensitive materialer		Sondenummer	<b>4489</b>
 <b>Statens vegvesen</b>	Utført	Kontrollert	Godkjent	Anvend.klasse	<b>3</b>
	SOHJ/JAJE	ABC	TTR	Figur	<b>21</b>
	Divisjon	Dato sondering	Revisjon		
	Utbygging	13.10.2020	Rev. dato		

**B142**

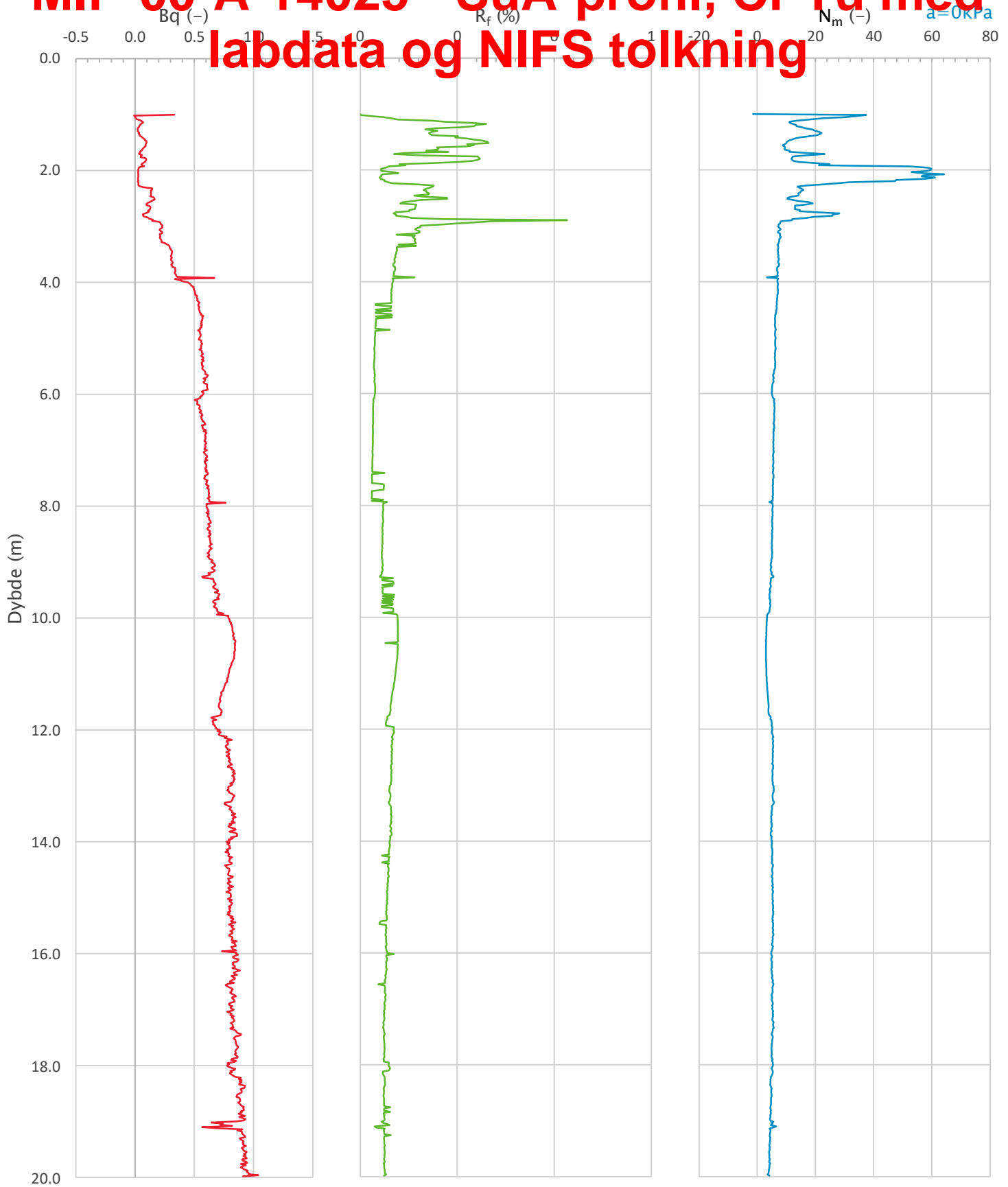
# MIP-00-A-14025 - SuA-profil, CPTu med labdata og NIFS tolkning




Prosjekt		Prosjektnummer: 900078 Rapportnummer: MIP-00-A-14024		Borhull	Kote +90.6
<b>Ski Hensetting</b>				<b>A473</b>	
Innhold		In-situ poretrykk, total- og effektiv vertikalspenning i beregninger		Sondennummer	<b>4489</b>
 <b>Statens vegvesen</b>	Utført	Kontrollert	Godkjent	Anvend.klasse	<b>2</b>
	SOHJ/JAJE	ABC	TTR		
	Divisjon	Dato sondering	Revisjon	Figur	<b>2</b>
	Ekstern konsulent	23.09.2020	Rev. dato		

**B143**

# MIP-00-A-14025 - SuA-profil, CPTu med labdata og NIFS tolkning



Prosjekt		Prosjektnummer: 900078 Rapportnummer: MIP-00-A-14024		Borhull	Kote +90.6
<b>Ski Hensetting</b>				<b>A473</b>	
Innhold				Sondennummer	
Avledede dimensjonsløse forhold				<b>4489</b>	
 <b>Statens vegvesen</b>	Utført	Kontrollert	Godkjent	Anvend.klasse	<b>2</b>
	SOHJ/JAJE	ABC	TTR		
	Divisjon	Dato sondering	Revisjon	Figur	<b>4</b>
	Ekstern konsulent	23.09.2020	Rev. dato		

**B144**



# MIP-00-A-14025 - SuA-profil, CPTu med labdata og NIFS tolkning

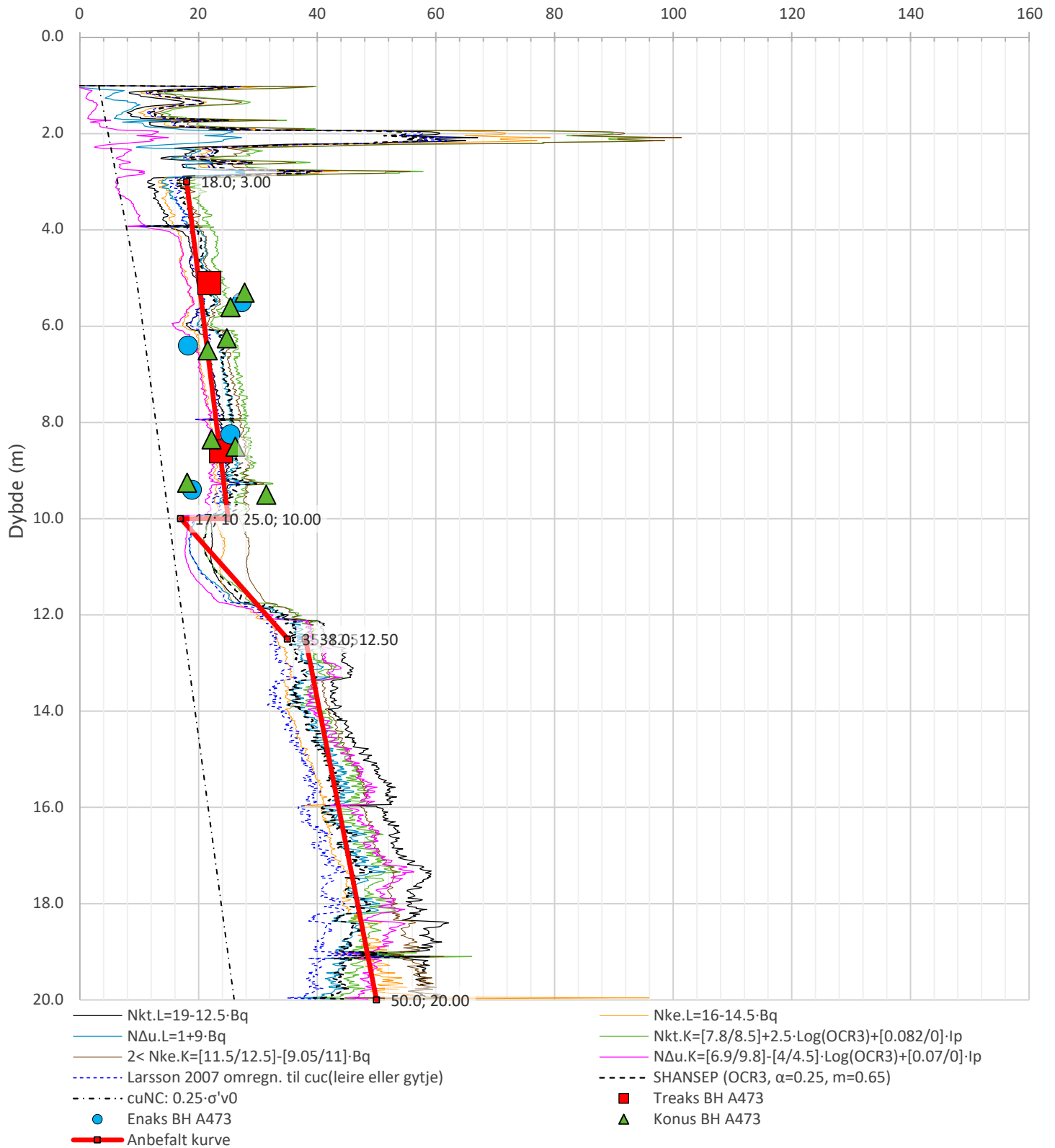
Anisotropiforhold i figur.


Treaks BH A473:  $c_u C / c_{ucptu} = 1.000$

Enaks BH A473:  $c_{uc} / c_{ucptu} = \text{var. (min: 0.250 max: 0.631)}$

Konus BH A473:  $c_{ufc} / c_{ucptu} = \text{var. (min: 0.630 max: 0.631)}$

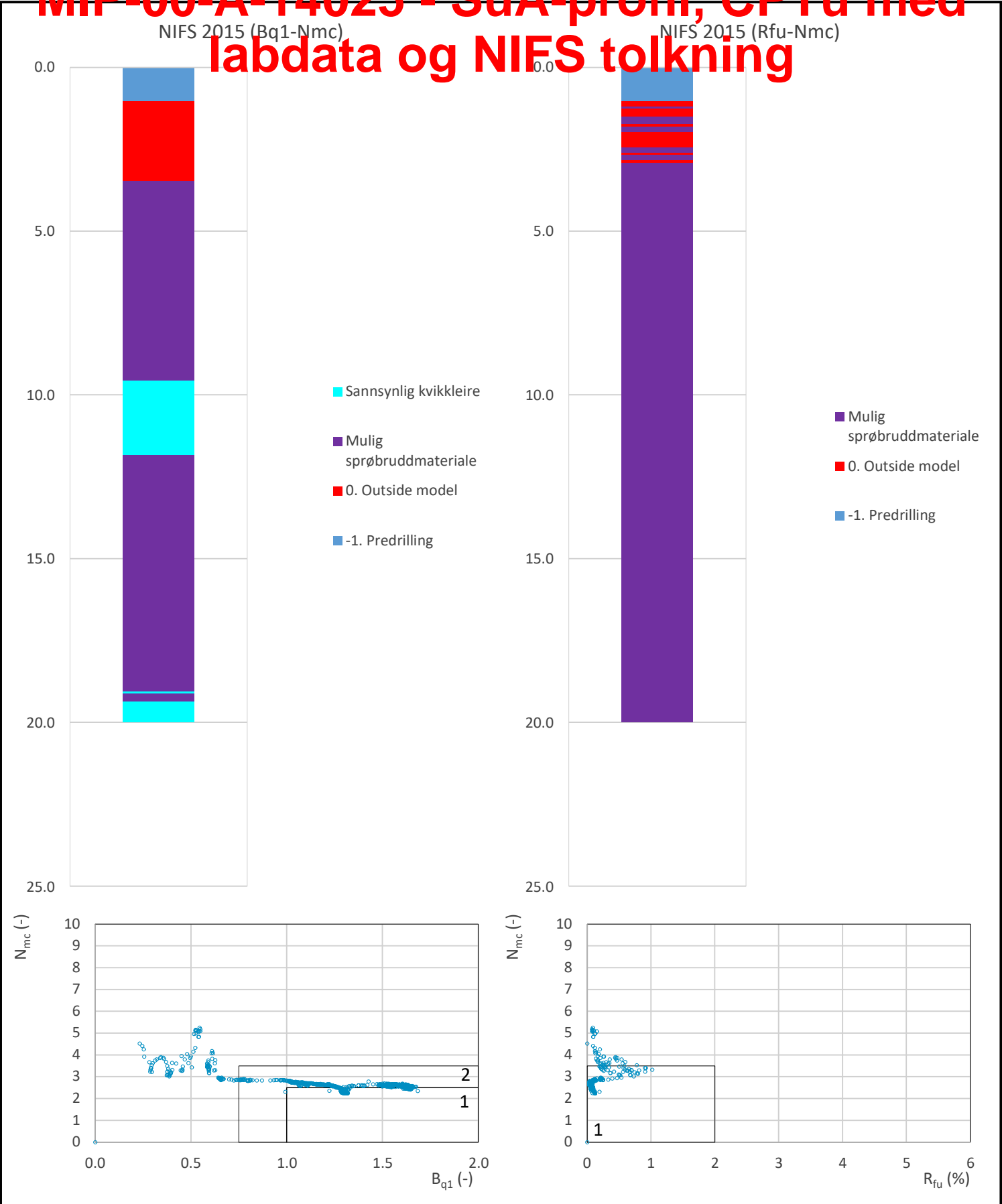
Udrenert aktiv skjærfasthet,  $c_{ucptu}$  (kPa)



Prosjekt	Prosjektnummer: 900078 Rapportnummer: MIP-00-A-14024		Borhull	Kote +90.6
<b>Ski Hensetting</b>			<b>A473</b>	
Innhold			Sondennummer	
Tolkning av udrenert aktiv skjærfasthet			<b>4489</b>	
 <b>Statens vegvesen</b>	Utført	Kontrollert	Godkjent	Anvend.klasse
	SOHJ/JAJE	ABC	TTR	<b>2</b>
	Divisjon	Dato sondering	Revisjon	Figur
	Ekstern konsulent	23.09.2020	Rev. dato	<b>5</b>

**B145**

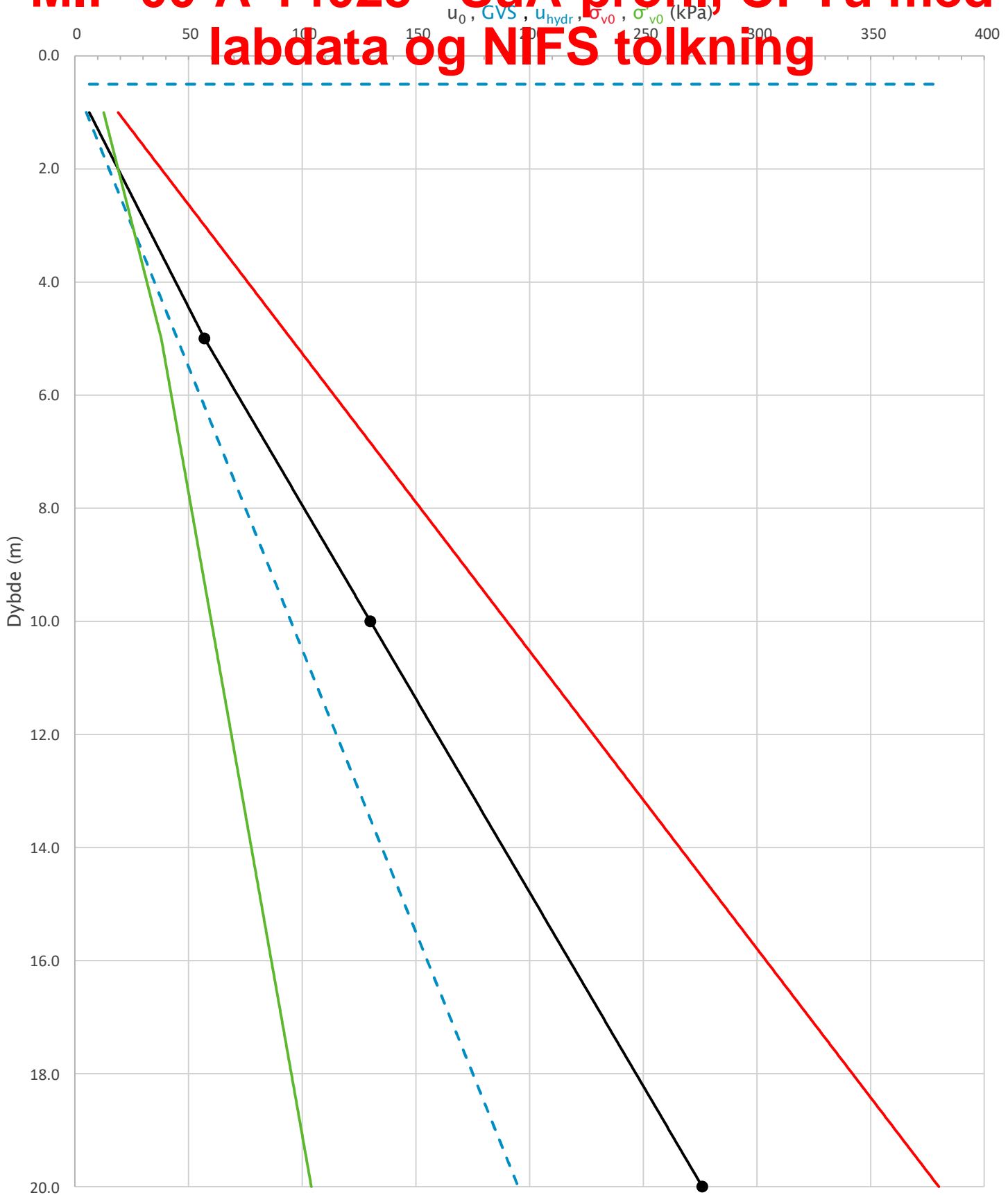
# MIP-00-A-14025 - SuA-profil, CPTu med labdata og NIFS tolkning



Prosjekt		Prosjektnummer: 900078 Rapportnummer: MIP-00-A-14024		Borhull	Kote +90.6
<b>Ski Hensetting</b>				<b>A473</b>	
Innhold		Jordartsklassifisering etter NIFS 2015 – detektering av sensitive materialer		Sondenummer	
				<b>4489</b>	
 <b>Statens vegvesen</b>	Utført	Kontrollert	Godkjent	Anvend.klasse	
	SOHJ/JAJE	ABC	TTR	<b>2</b>	
	Divisjon	Dato sondering	Revisjon	Figur	
	Ekstern konsulent	23.09.2020	Rev. dato	<b>21</b>	

**B146**

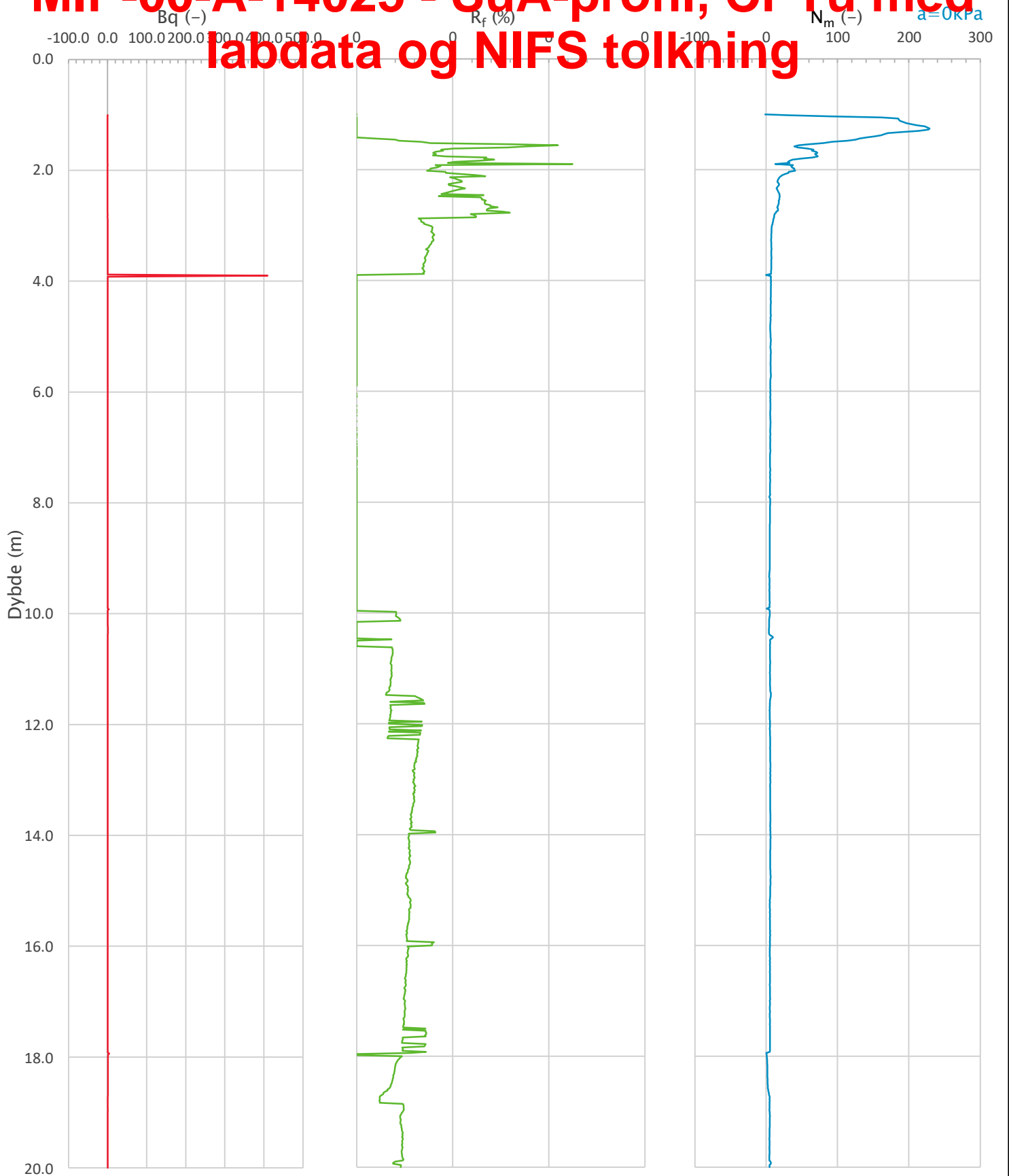
# MIP-00-A-14025 - SuA-profil, CPTu med labdata og NIFS tolkning




Prosjekt		Prosjektnummer: 900078 Rapportnummer: MIP-00-A-14024		Borhull	Kote +91.1
<b>Ski Hensetting</b>				<b>A478</b>	
Innhold		In-situ poretrykk, total- og effektiv vertikalspenning i beregninger		Sondennummer	<b>4489</b>
 <b>Statens vegvesen</b>	Utført	Kontrollert	Godkjent	Anvend.klasse	<b>1</b>
	SOHJ/JAJE	ABC	TTR		
	Divisjon	Dato sondering	Revisjon	Figur	<b>2</b>
	Ekstern konsulent	13.10.2020	Rev. dato		

**B147**

# MIP-00-A-14025 - SuA-profil, CPTu med labdata og NIFS tolkning



Prosjekt		Prosjektnummer: 900078 Rapportnummer: MIP-00-A-14024		Borhull	Kote +91.1
<b>Ski Hensetting</b>				<b>A478</b>	
Innhold				Sondennummer	
Avledede dimensjonsløse forhold				<b>4489</b>	
 <b>Statens vegvesen</b>	Utført	Kontrollert	Godkjent	Anvend.klasse	1
	SOHJ/JAJE	ABC	TTR		
	Divisjon	Dato sondering	Revisjon	Figur	4
	Ekstern konsulent	13.10.2020	Rev. dato		

**B148**



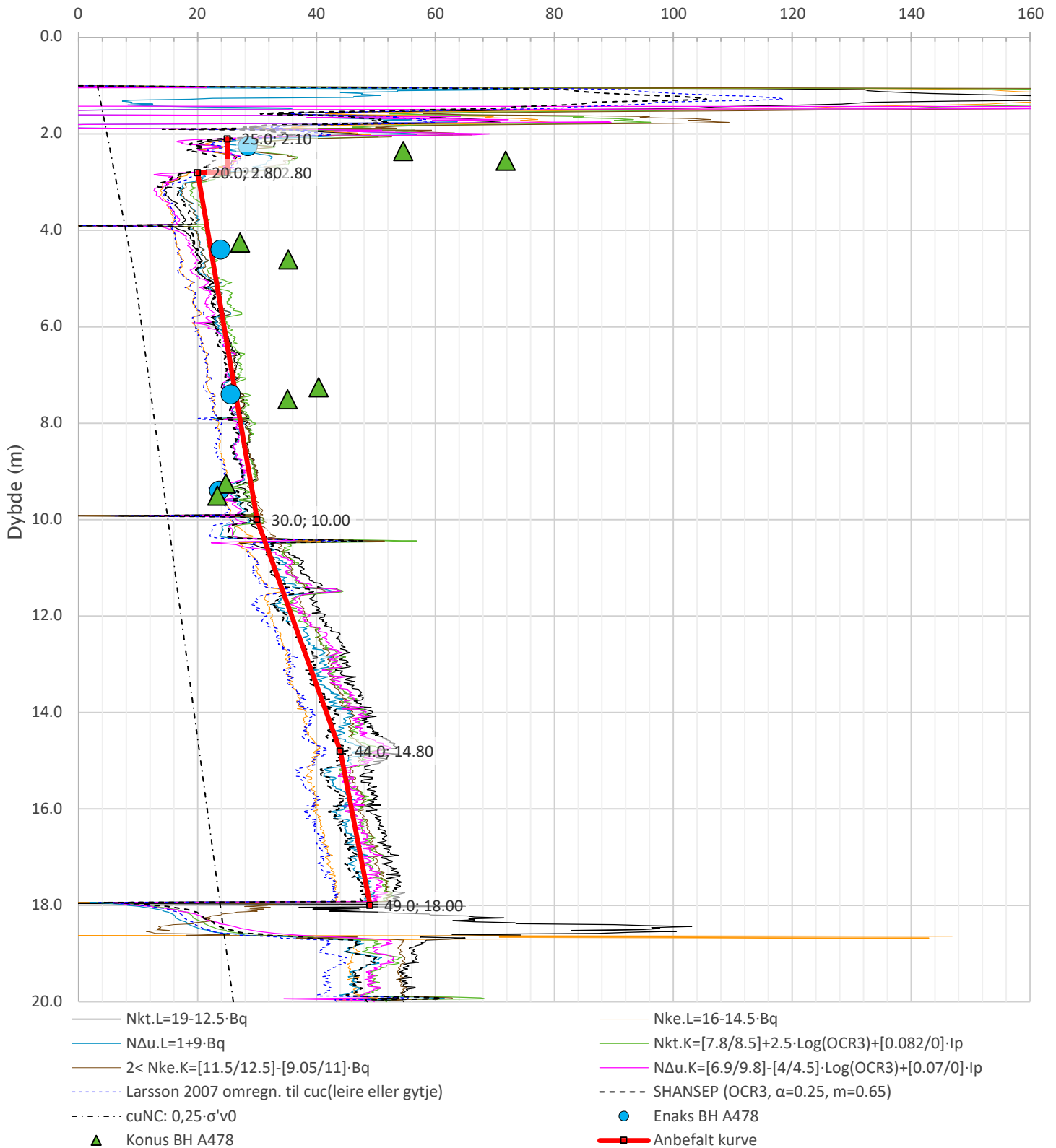
# MIP-00-A-14025 - SuA-profil, CPTu med labdata og NIFS tolkning


Anisotropiforhold i figur.

Enaks BH A478:  $c_{uc}/c_{ucptu} = var$  (min:0.630 max:0.662)

Konus BH A478:  $c_{ufc}/c_{ucptu} = var$  (min:0.720 max:0.663)

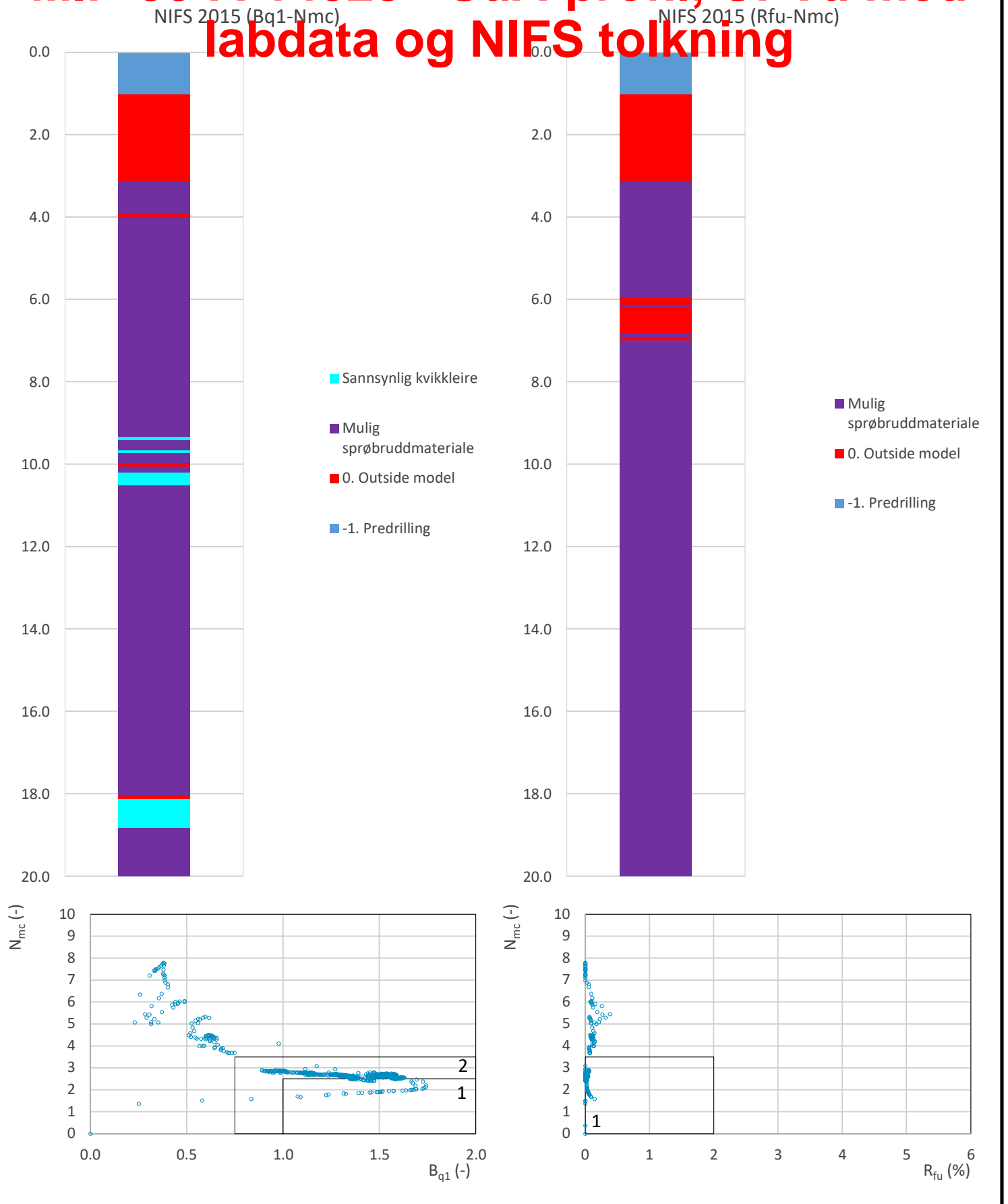
Udrenert aktiv skjærfasthet,  $c_{ucptu}$  (kPa)




Prosjekt <b>Ski Hensetting</b>	Prosjektnummer: 900078 Rapportnummer: MIP-00-A-14024	Borhull Kote +91.1 <b>A478</b>
Innhold Tolkning av udrenert aktiv skjærfasthet		Sondennummer <b>4489</b>
 <b>Statens vegvesen</b>	Utført SOHJ/JAJE	Kontrollert ABC
	Divisjon Ekstern konsulent	Dato sondering 13.10.2020
	Godkjent TTR	Anvend.klasse <b>1</b>
	Revisjon Rev. dato	Figur <b>5</b>

**B149**

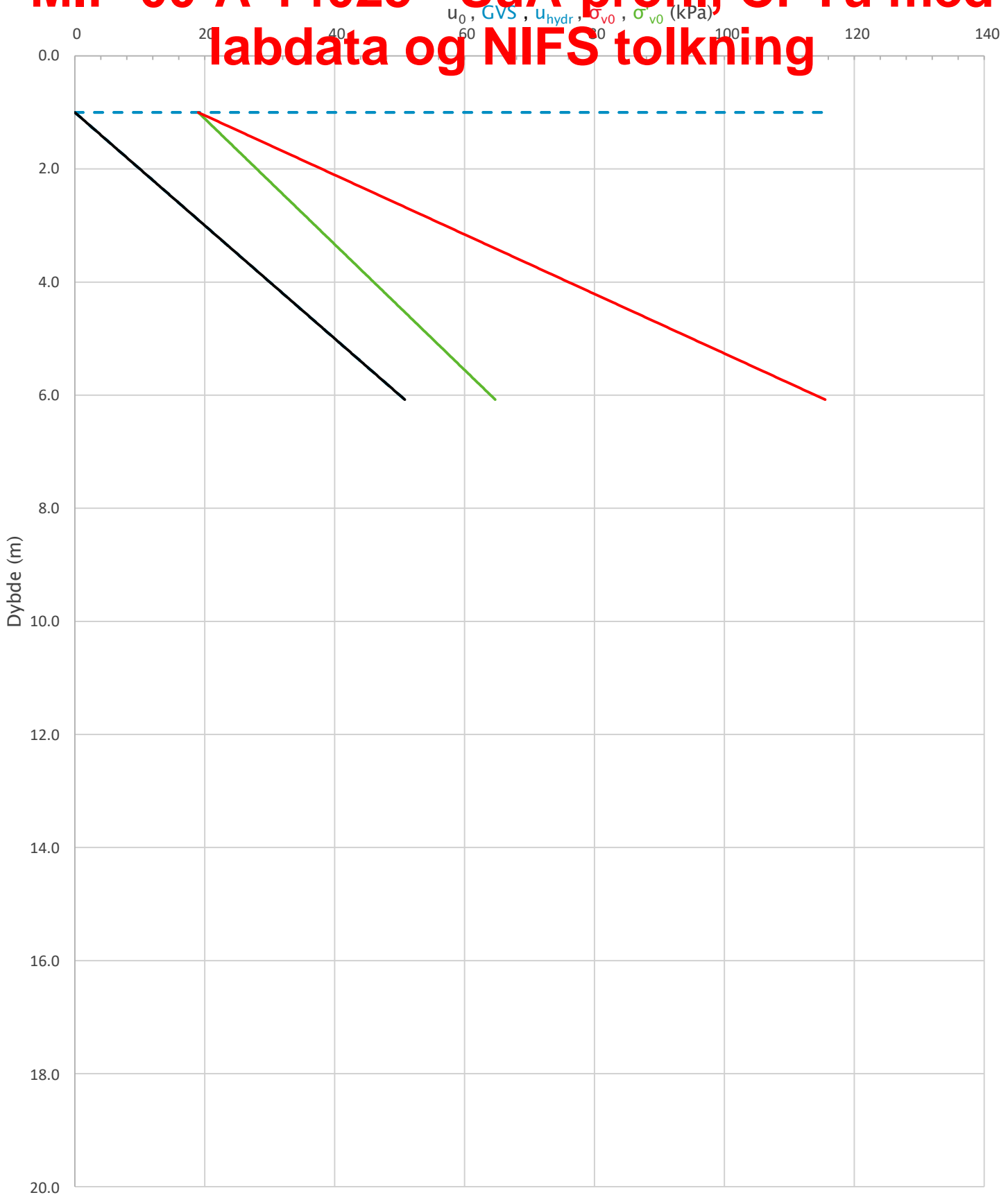
# MIP-00-A-14025 - SuA-profil, CPTu med labdata og NIFS tolkning



Prosjekt		Prosjektnummer: 900078 Rapportnummer: MIP-00-A-14024		Borhull	Kote +91.1
<b>Ski Hensetting</b>				<b>A478</b>	
Innhold		Jordartsklassifisering etter NIFS 2015 – detektering av sensitive materialer		Sondennummer	<b>4489</b>
 Statens vegvesen	Utført	Kontrollert	Godkjent	Anvend.klasse	<b>1</b>
	SOHJ/JAJE	ABC	TTR	Figur	<b>21</b>
	Divisjon	Dato sondering	Revisjon		
	Ekstern konsulent	13.10.2020	Rev. dato		

**B150**

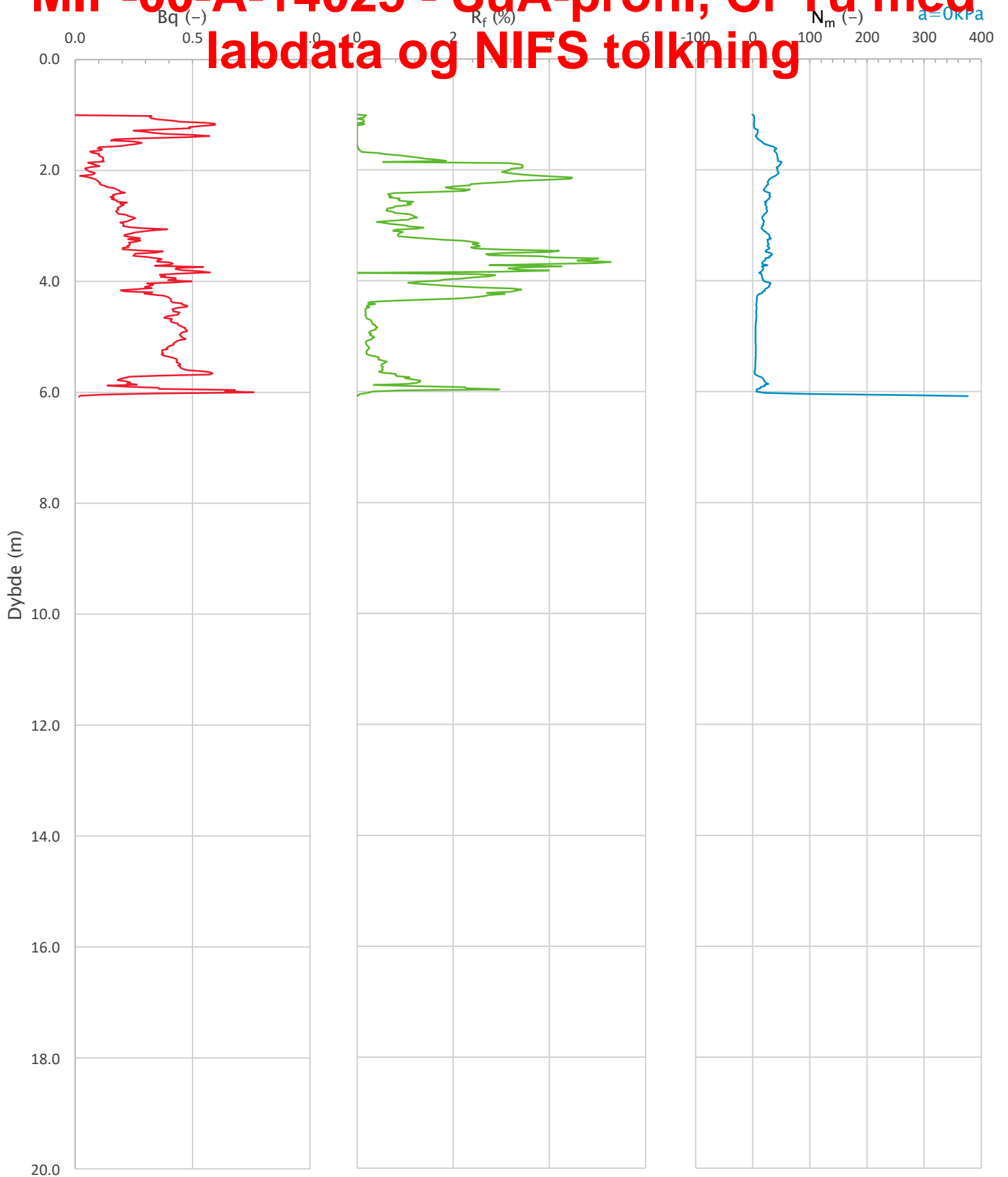
# MIP-00-A-14025 - SuA-profil, CPTu med labdata og NIFS tolkning




Prosjekt		Prosjektnummer: 900078 Rapportnummer: MIP-00-A-14024		Borhull	Kote +98.9
<b>Ski hensetting</b>				<b>A479</b>	
Innhold		In-situ poretrykk, total- og effektiv vertikalspenning i beregninger		Sondennummer	<b>4489</b>
 <b>Statens vegvesen</b>	Utført	Kontrollert	Godkjent	Anvend.klasse	<b>1</b>
	SOHJ/JAJE	ABC	TTR		
	Divisjon	Dato sondering	Revisjon	Figur	<b>2</b>
	Ekstern konsulent	19.10.2020	Rev. dato		

**B151**

# MIP-00-A-14025 - SuA-profil, CPTu med labdata og NIFS tolkning



Prosjekt		Prosjektnummer: 900078 Rapportnummer: MIP-00-A-14024		Borhull	Kote +98.9
<b>Ski hensetting</b>				<b>A479</b>	
Innhold				Sondennummer	
Avledede dimensjonsløse forhold				<b>4489</b>	
 <b>Statens vegvesen</b>	Utført	Kontrollert	Godkjent	Anvend.klasse	1
	SOHJ/JAJE	ABC	TTR		
	Divisjon	Dato sondering	Revisjon	Figur	4
	Ekstern konsulent	19.10.2020	Rev. dato		

**B152**



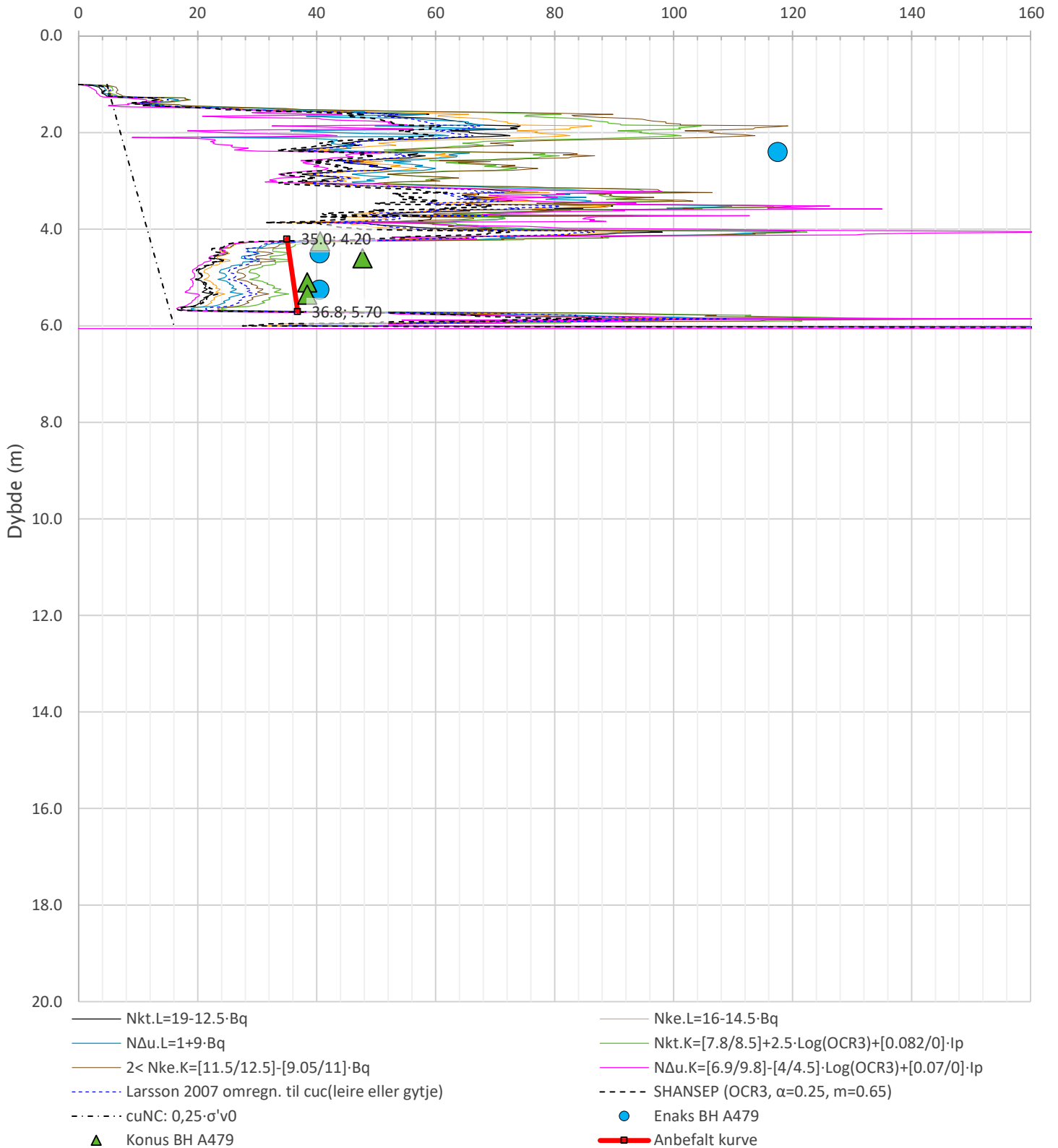
# MIP-00-A-14025 - SuA-profil, CPTu med labdata og NIFS tolkning


Anisotropiforhold i figur.

Enaks BH A479:  $c_{uc}/c_{ucptu} = var$  (min:0.630 max:0.666)

Konus BH A479:  $c_{ufc}/c_{ucptu} = var$  (min:0.720 max:0.666)

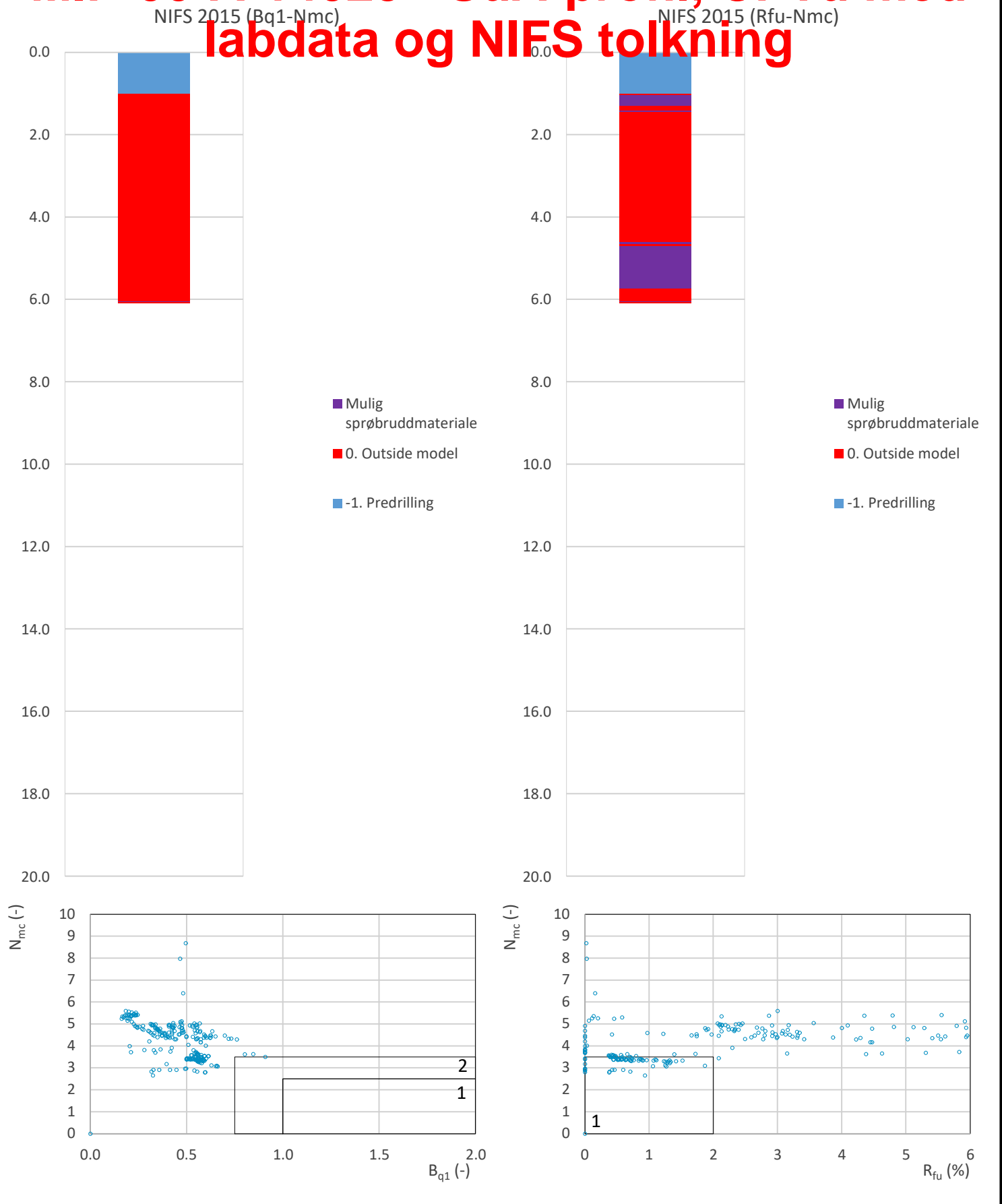
Udrenert aktiv skjærfasthet,  $c_{ucptu}$  (kPa)



Prosjekt	Prosjektnummer: 900078 Rapportnummer: MIP-00-A-14024		Borhull	Kote +98.9
<b>Ski hensetting</b>			<b>A479</b>	
Innhold			Sondennummer	
Tolkning av udrenert aktiv skjærfasthet			<b>4489</b>	
 Statens vegvesen	Utført	Kontrollert	Godkjent	Anvend.klasse
	SOHJ/JAJE	ABC	TTR	1
Divisjon	Dato sondering	Revisjon	Figur	
Ekstern konsulent	19.10.2020	Rev. dato	5	

**B153**

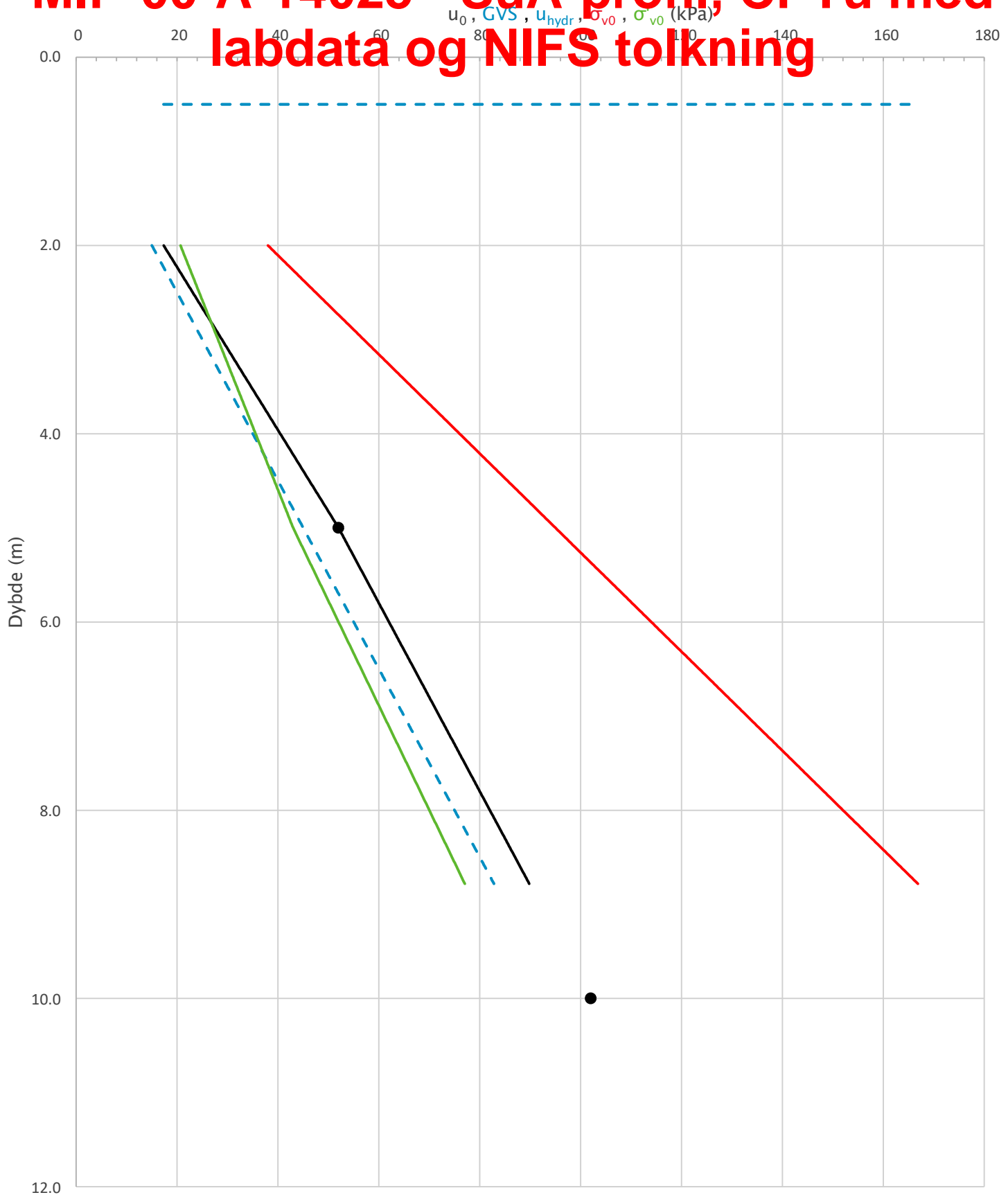
# MIP-00-A-14025 - SuA-profil, CPTu med labdata og NIFS tolkning



Prosjekt		Prosjektnummer: 900078 Rapportnummer: MIP-00-A-14024		Borhull	Kote +98.9
<b>Ski hensetting</b>				<b>A479</b>	
Innhold				Sondenummer	
Jordartsklassifisering etter NIFS 2015 - detektering av sensitive materialer				<b>4489</b>	
 <b>Statens vegvesen</b>	Utført	Kontrollert	Godkjent	Anvend.klasse	
	SOHJ/JAJE	ABC	TTR	<b>1</b>	
	Divisjon	Dato sondering	Revisjon	Figur	
	Ekstern konsulent	19.10.2020	Rev. dato	<b>21</b>	

**B154**

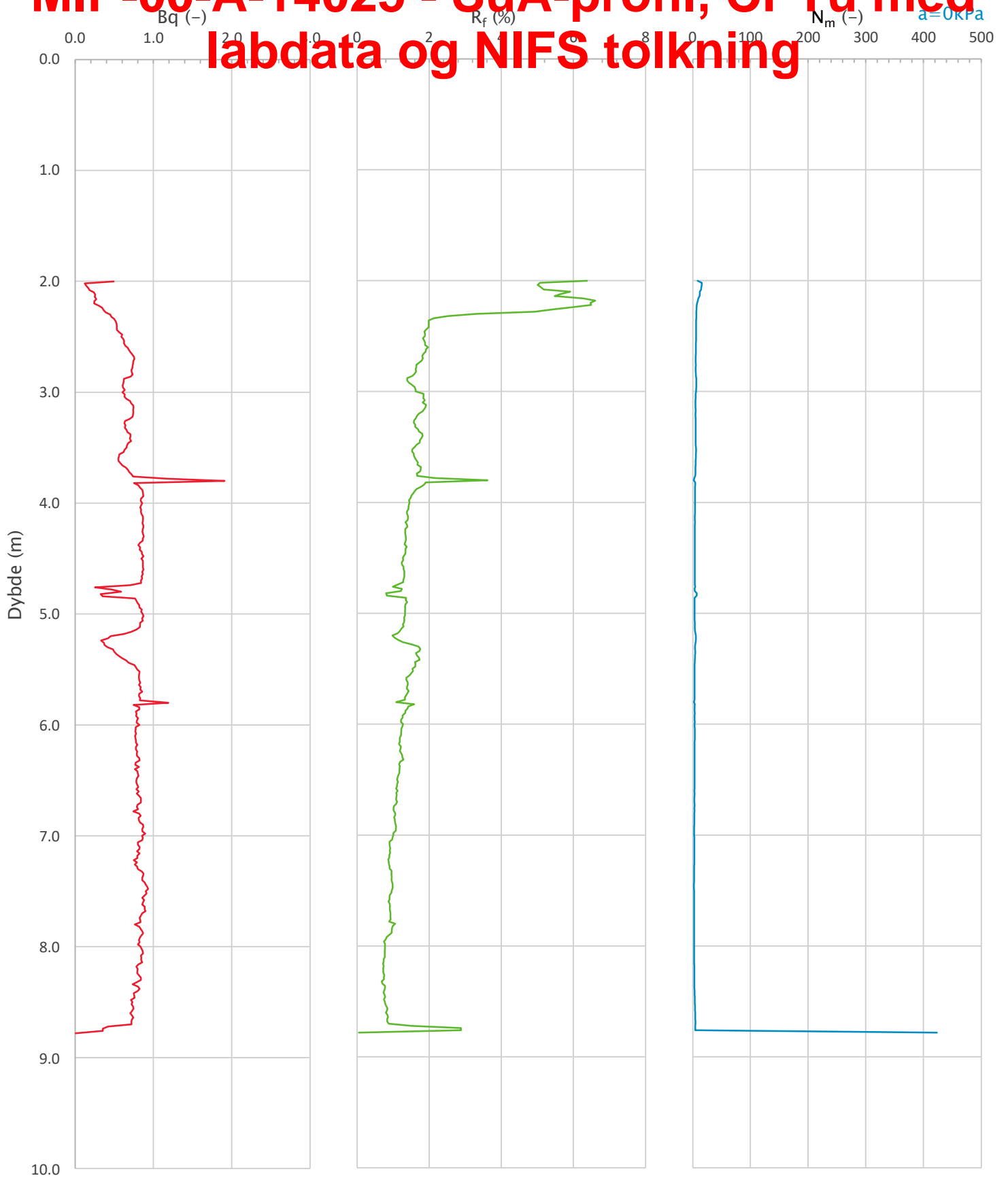
# MIP-00-A-14025 - SuA-profil, CPTu med labdata og NIFS tolkning




Prosjekt		Prosjektnummer: 900078 Rapportnummer: MIP-00-A-14024		Borhull	Kote +99
<b>Ski hensetting</b>				<b>NGI1</b>	
Innhold		In-situ poretrykk, total- og effektiv vertikalspenning i beregninger		Sondennummer	<b>4980</b>
 <b>Statens vegvesen</b>	Utført	Kontrollert	Godkjent	Anvend.klasse	
	SOHJ/JAJE	ABC	TTR	<b>1</b>	
Divisjon	Dato sondering	Revisjon	Figur		
Utbygging	11.02.2019	Rev. dato	<b>2</b>		

**B155**

# MIP-00-A-14025 - SuA-profil, CPTu med labdata og NIFS tolkning



Prosjekt		Prosjektnummer: 900078 Rapportnummer: MIP-00-A-14024		Borhull	Kote +99
<b>Ski hensetting</b>				<b>NGI1</b>	
Innhold				Sondenummer	
Avledede dimensjonsløse forhold				<b>4980</b>	
 <b>Statens vegvesen</b>	Utført	Kontrollert	Godkjent	Anvend.klasse	
	SOHJ/JAJE	ABC	TTR		
	Divisjon	Dato sondering	Revisjon	Figur	
	Utbygging	11.02.2019	Rev. dato	<b>4</b>	

**B156**



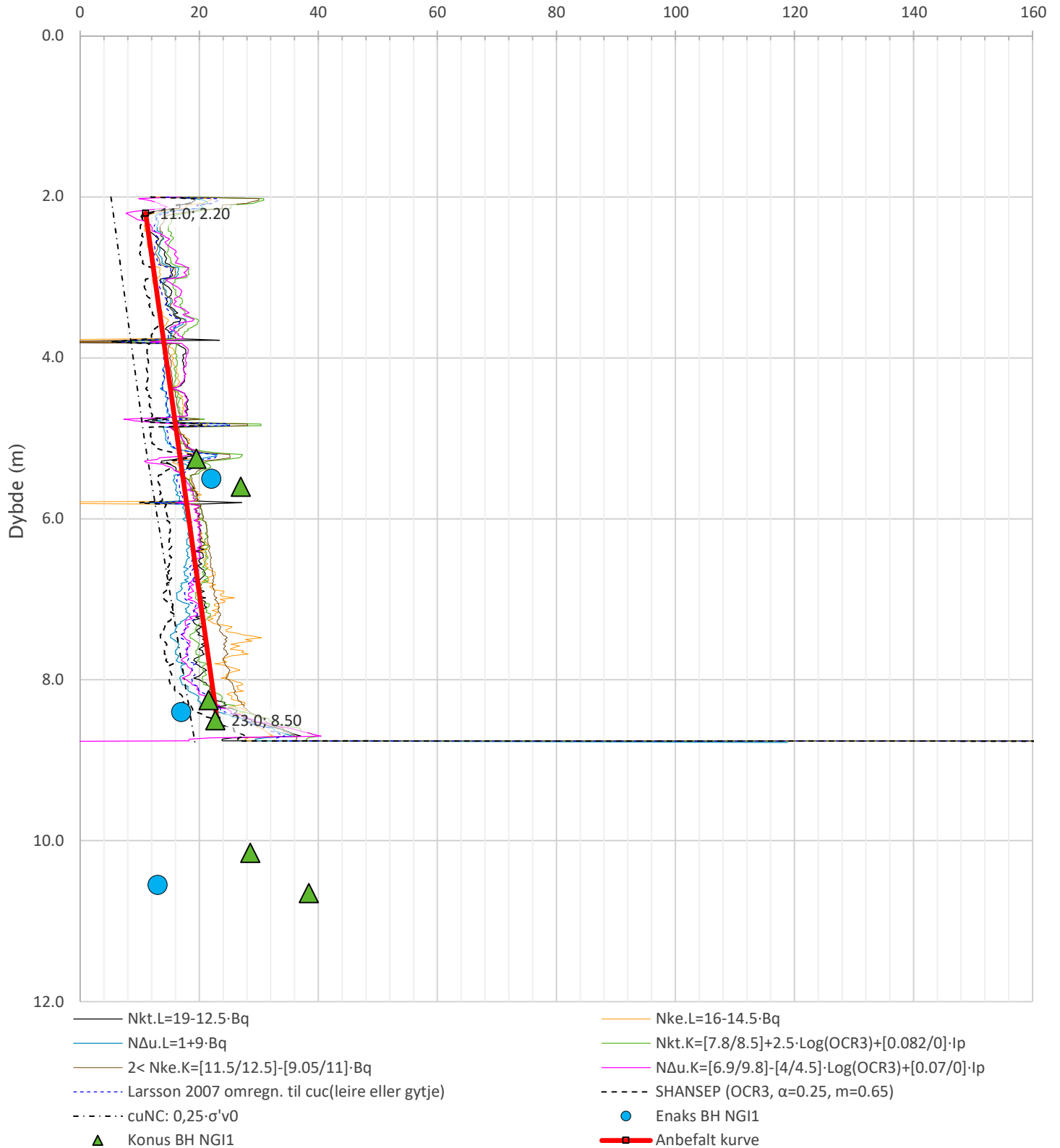
# MIP-00-A-14025 - SuA-profil, CPTu med labdata og NIFS tolkning

Anisotropiforhold i figur.

Enaks BH NGI1:  $c_{uc}/c_{ucptu} = 0.670$

Konus BH NGI1:  $c_{ufc}/c_{ucptu} = 0.670$

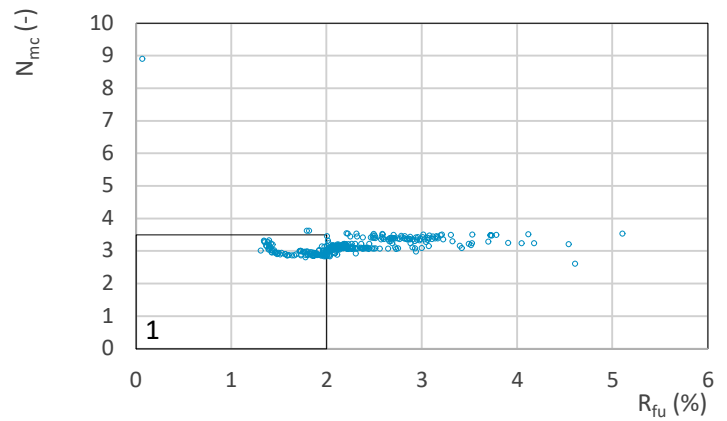
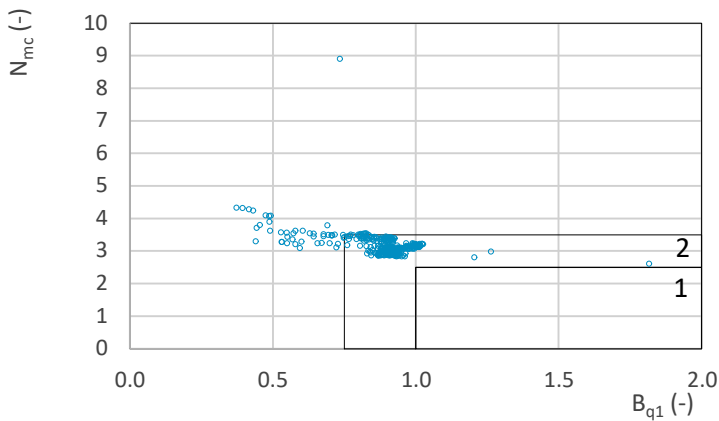
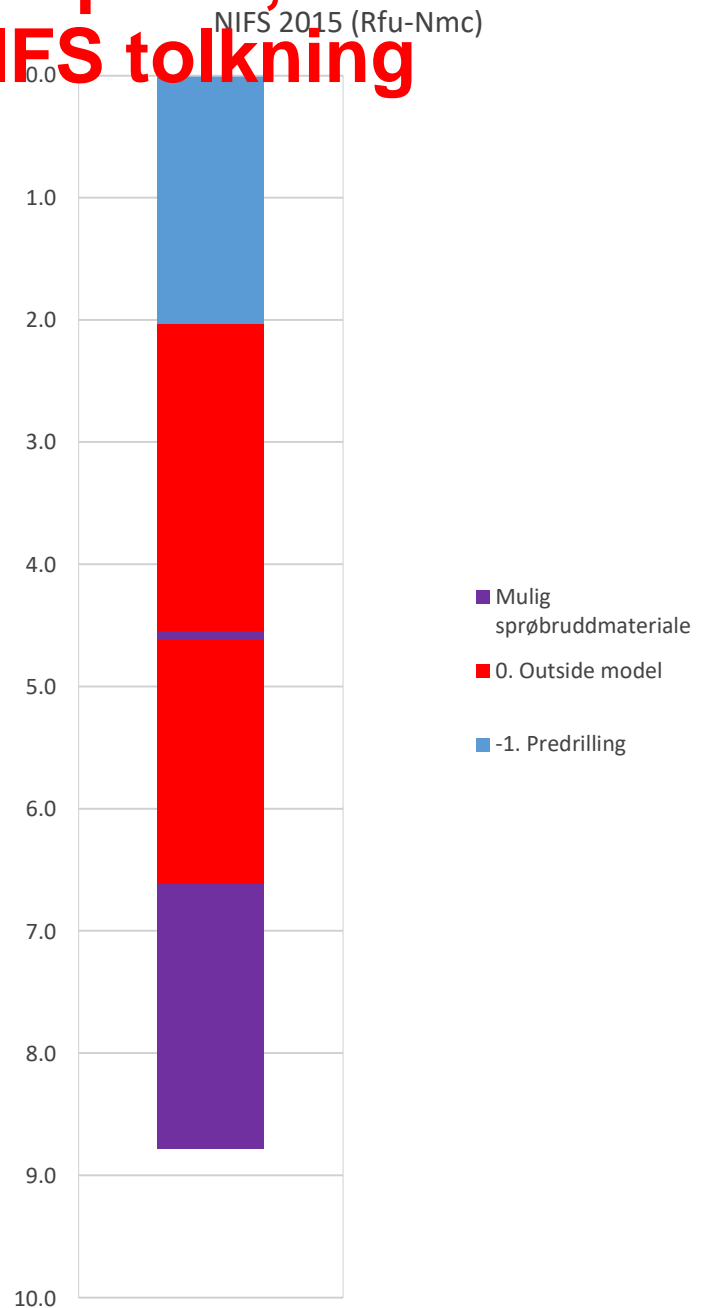
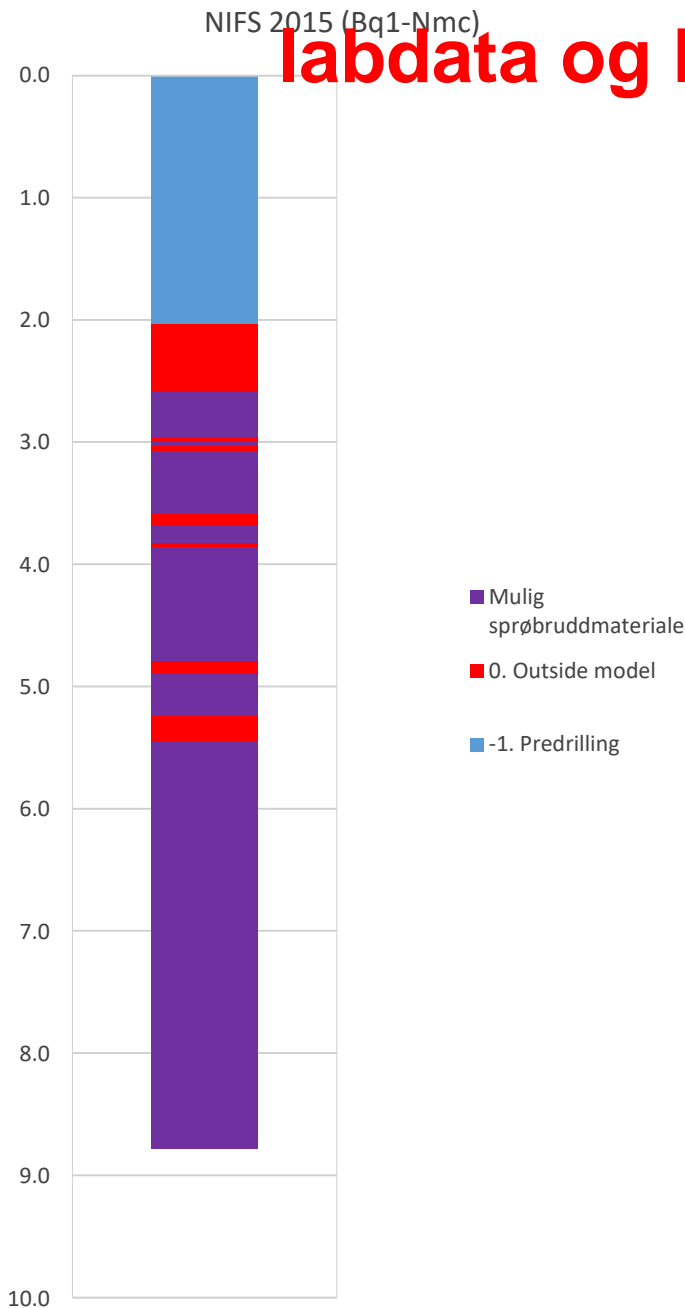
Udrenert aktiv skjærfasthet,  $c_{ucptu}$  (kPa)



Prosjekt		Prosjektnummer: 900078 Rapportnummer: MIP-00-A-14024		Borhull	Kote +99
<b>Ski hensetting</b>				<b>NGI1</b>	
Innhold				Sondenummer	
Tolkning av udrenert aktiv skjærfasthet				<b>4980</b>	
	Utført	Kontrollert	Godkjent	Anvend.klasse	
	SOHJ/JAJE	ABC	TTR		
Divisjon	Dato sondering	Revisjon	Figur		
Utbygging	11.02.2019	Rev. dato	<b>5</b>		

**B157**

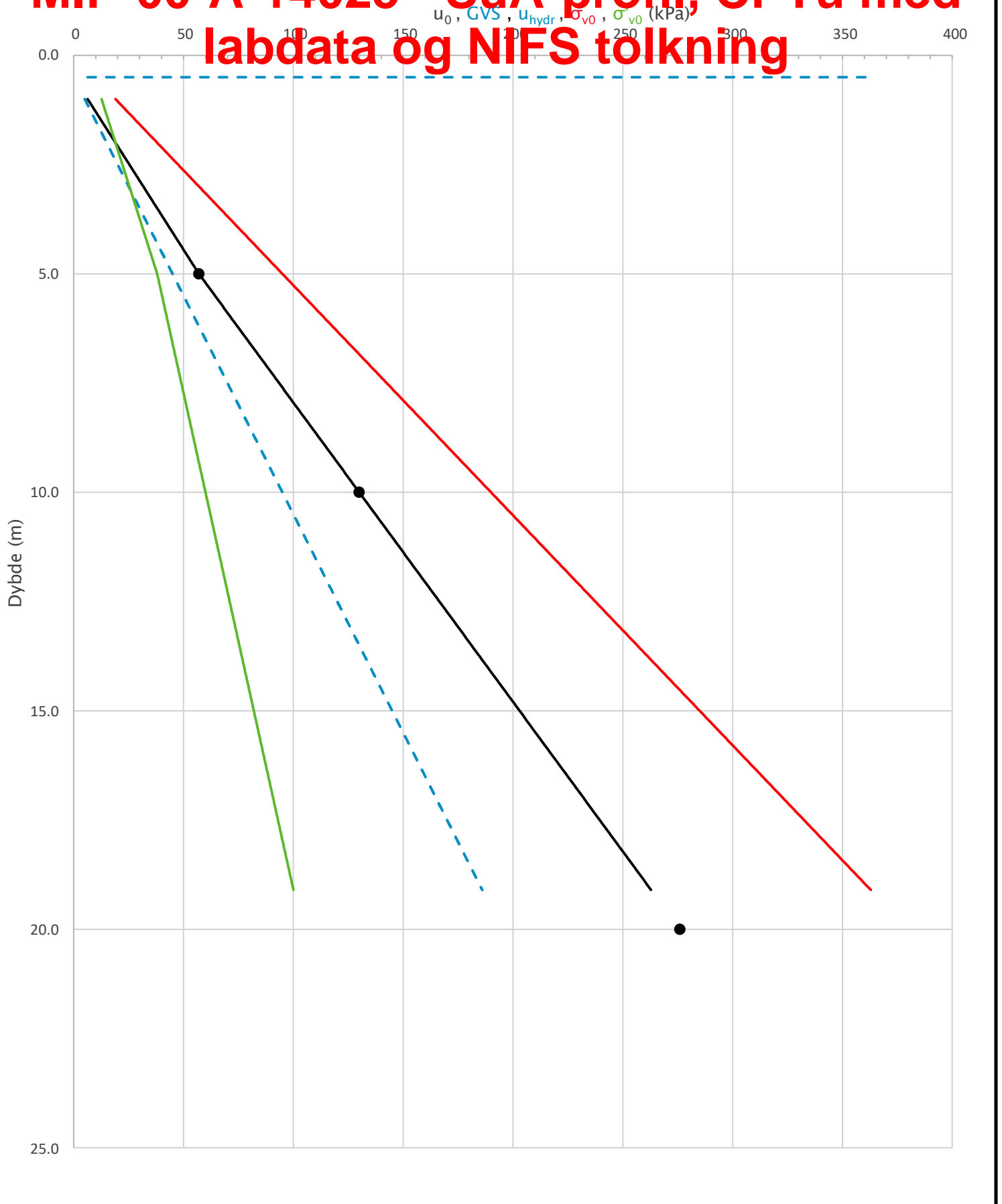
# MIP-00-A-14025 - SuA-profil, CPTu med labdata og NIFS tolkning



Prosjekt <b>Ski hensetting</b>		Prosjektnummer: 900078 Rapportnummer: MIP-00-A-14024		Borhull Kote +99 <b>NGI1</b>
Innhold Jordartsklassifisering etter NIFS 2015 – detektering av sensitive materialer				Sondennummer <b>4980</b>
 <b>Statens vegvesen</b>	Utført SOHJ/JAJE	Kontrollert ABC	Godkjent TTR	Anvend.klasse
	Divisjon Utbygging	Dato sondering 11.02.2019	Revisjon Rev. dato	Figur <b>21</b>

**B158**

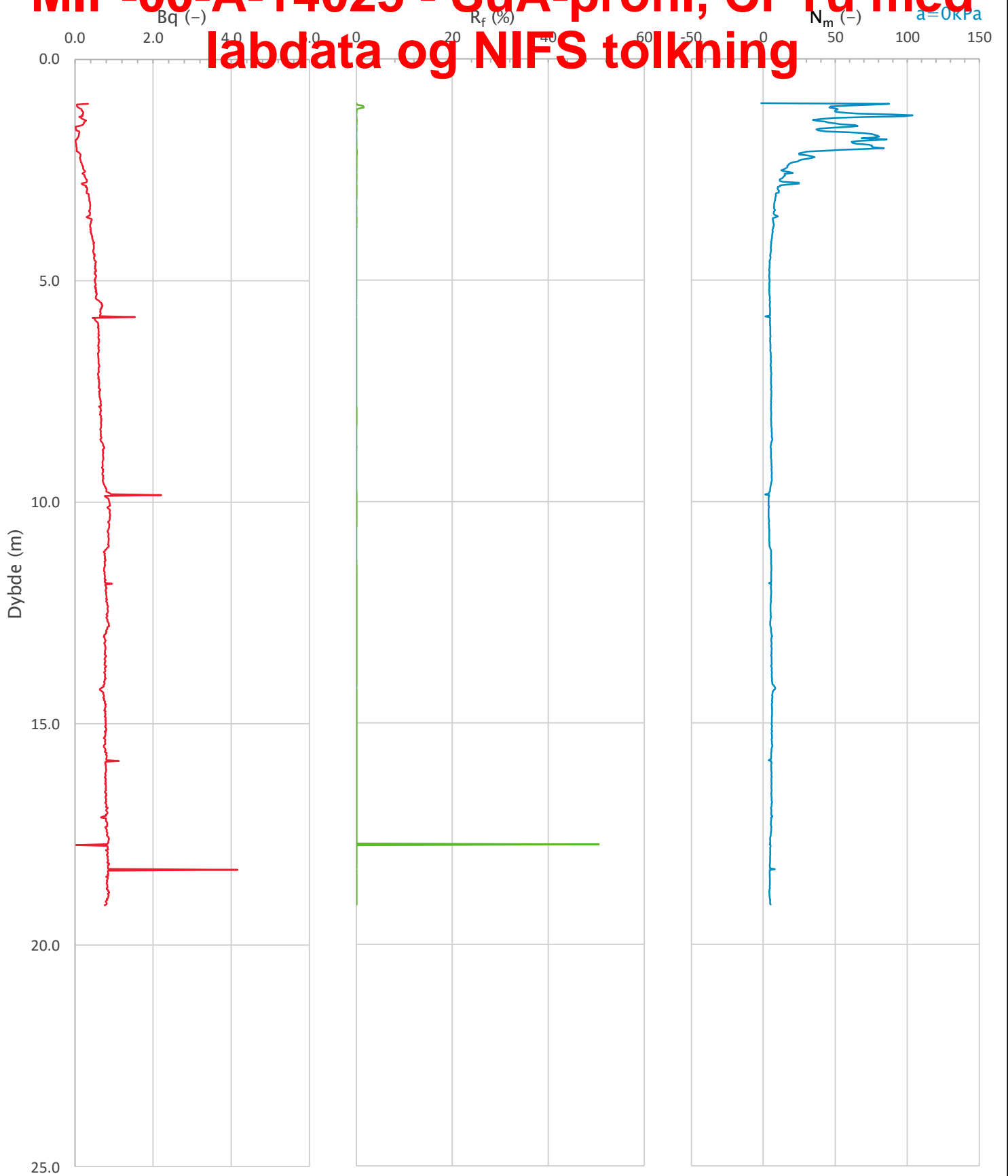
# MIP-00-A-14025 - SuA-profil, CPTu med labdata og NIFS tolkning




Prosjekt		Prosjektnummer: 900078 Rapportnummer: MIP-00-A-14024		Borhull	Kote +90.9
<b>Ski Hensetting</b>				<b>A459</b>	
Innhold		In-situ poretrykk, total- og effektiv vertikalspenning i beregninger		Sondennummer	<b>4489</b>
 <b>Statens vegvesen</b>	Utført	Kontrollert	Godkjent	Anvend.klasse	<b>1</b>
	SOHJ/JAJE	ABC	TTR		
	Divisjon	Dato sondering	Revisjon	Figur	<b>2</b>
	Ekstern konsulent	22.09.2020	Rev. dato		

**B159**

# MIP-00-A-14025 - SuA-profil, CPTu med labdata og NIFS tolkning



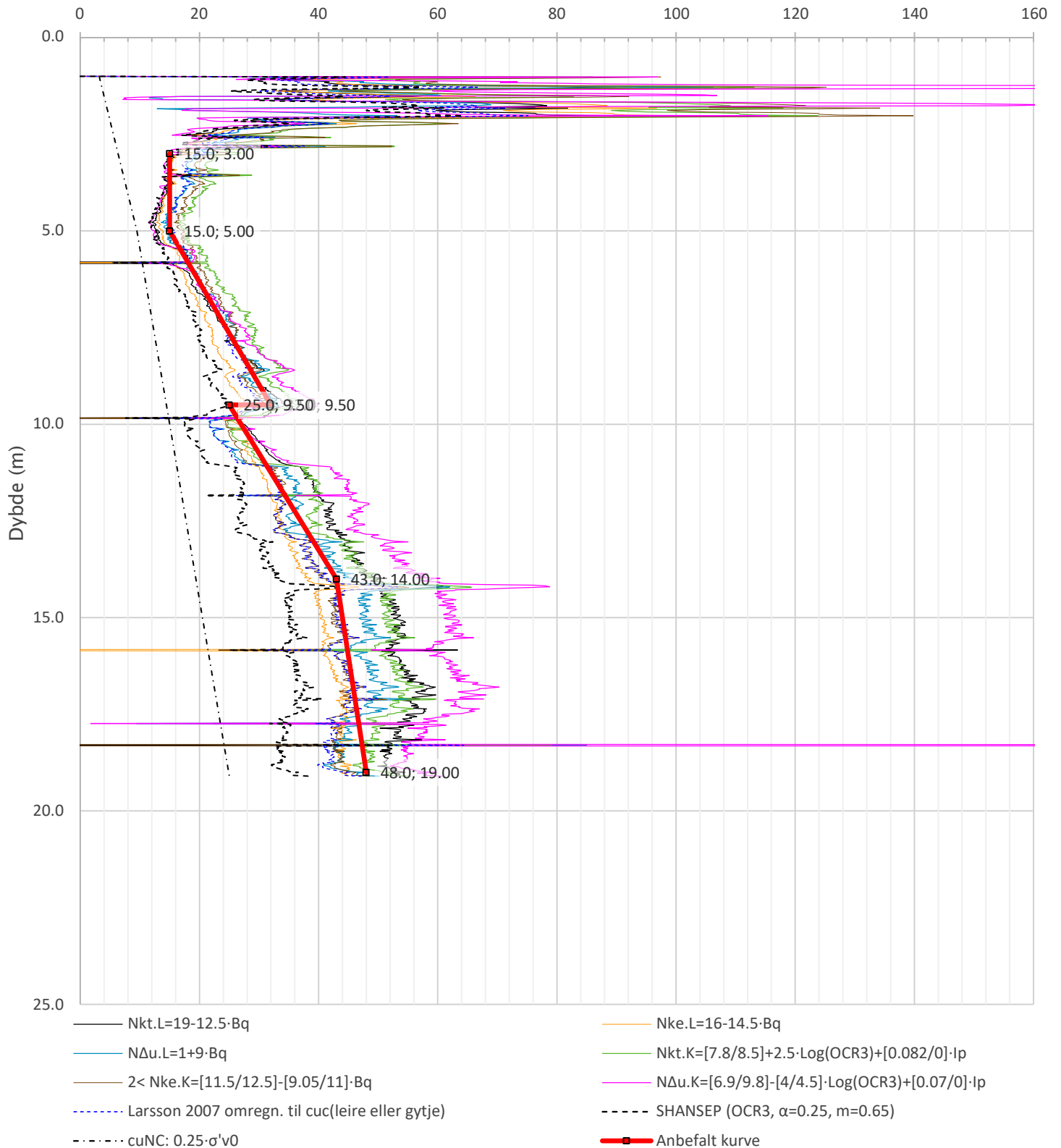
Prosjekt		Prosjektnummer: 900078 Rapportnummer: MIP-00-A-14024		Borhull	Kote +90.9
<b>Ski Hensetting</b>				<b>A459</b>	
Innhold				Sondenummer	
Avledede dimensjonsløse forhold				<b>4489</b>	
 <b>Statens vegvesen</b>	Utført	Kontrollert	Godkjent	Anvend.klasse	
	SOHJ/JAJE	ABC	TTR	<b>1</b>	
Divisjon Ekstern konsulent	Dato sondering	Revisjon	Figur		
	22.09.2020	Rev. dato	<b>4</b>		


**B160**



# MIP-00-A-14025 - SuA-profil, CPTu med labdata og NIFS tolkning

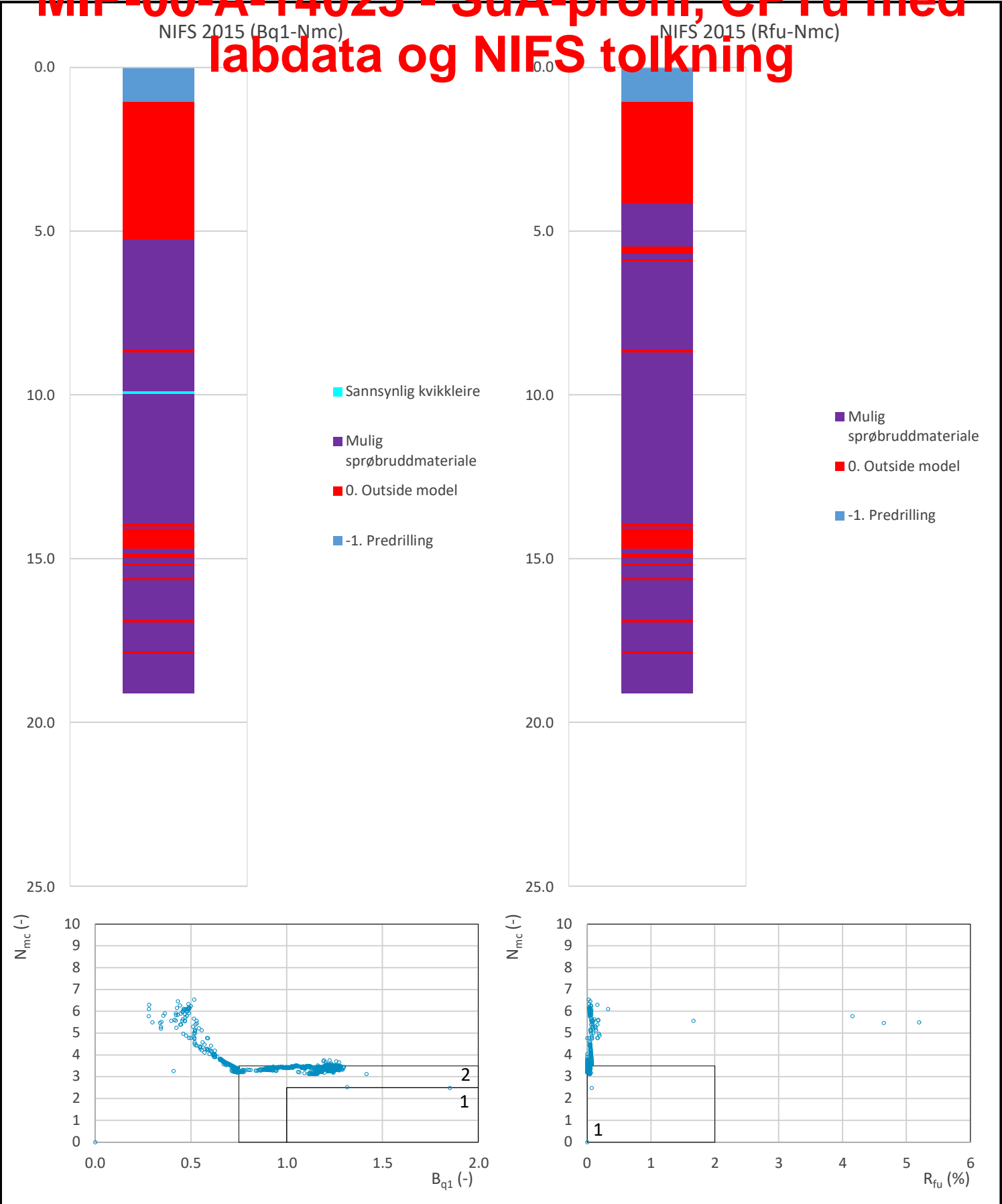
Udrenert aktiv skjærfasthet,  $c_{ucptu}$  (kPa)




Prosjekt		Prosjektnummer: 900078 Rapportnummer: MIP-00-A-14024		Borhull	Kote +90.9
<b>Ski Hensetting</b>				<b>A459</b>	
Innhold				Sondenummer	
Tolkning av udrenert aktiv skjærfasthet				<b>4489</b>	
 Statens vegvesen	Utført	Kontrollert	Godkjent	Anvend.klasse	
	SOHJ/JAJE	ABC	TTR	1	
Divisjon	Dato sondering	Revisjon	Figur		
Ekstern konsulent	22.09.2020	Rev. dato	5		

**B161**

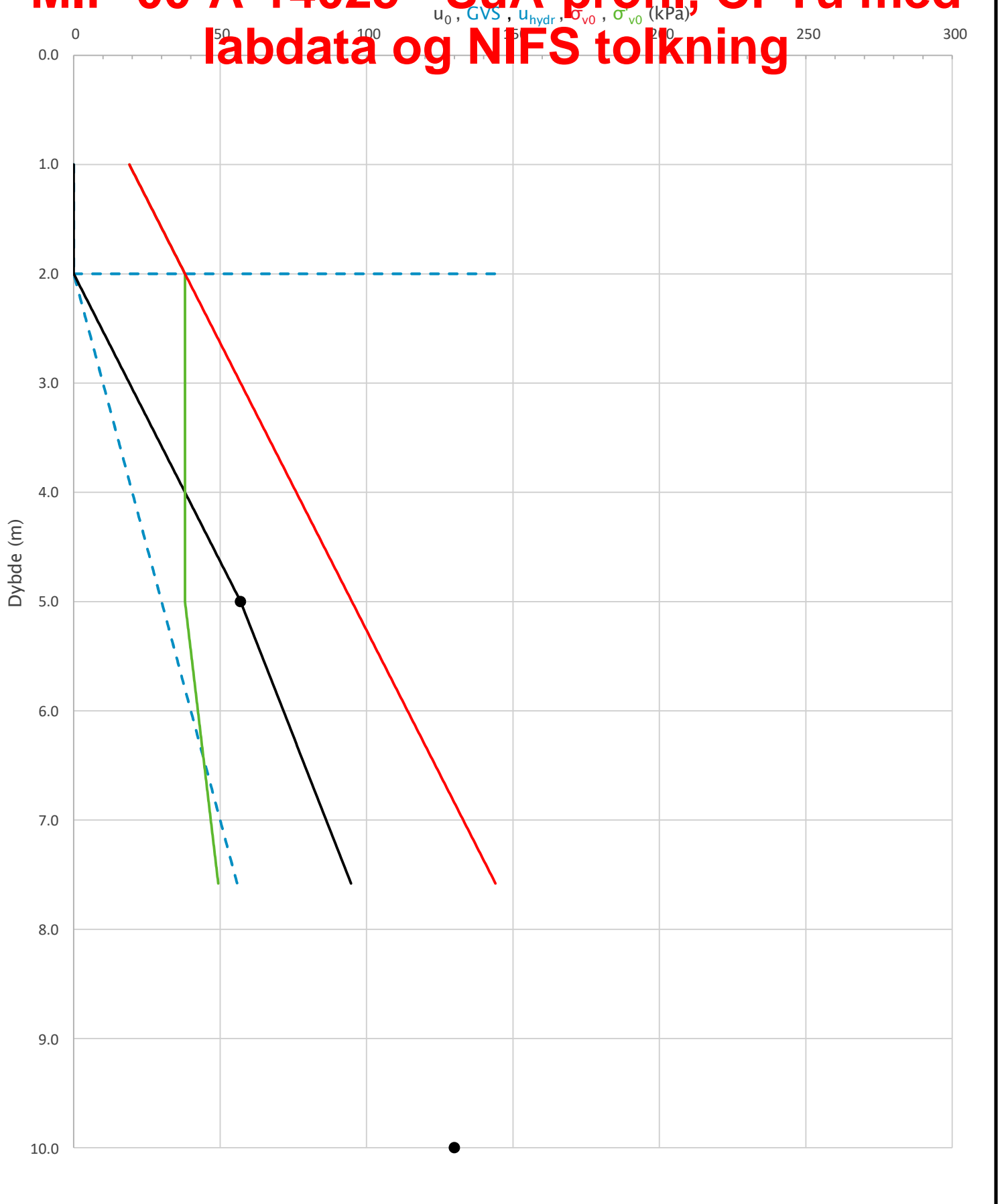
# MIP-00-A-14025 - SuA-profil, CPTu med labdata og NIFS tolkning



Prosjekt		Prosjektnummer: 900078 Rapportnummer: MIP-00-A-14024		Borhull	Kote +90.9
<b>Ski Hensetting</b>				<b>A459</b>	
Innhold		Jordartsklassifisering etter NIFS 2015 – detektering av sensitive materialer		Sondennummer	
				<b>4489</b>	
 <b>Statens vegvesen</b>	Utført	Kontrollert	Godkjent	Anvend.klasse	
	SOHJ/JAJE	ABC	TTR	<b>1</b>	
	Divisjon	Dato sondering	Revisjon	Figur	
	Ekstern konsulent	22.09.2020	Rev. dato	<b>21</b>	

**B162**

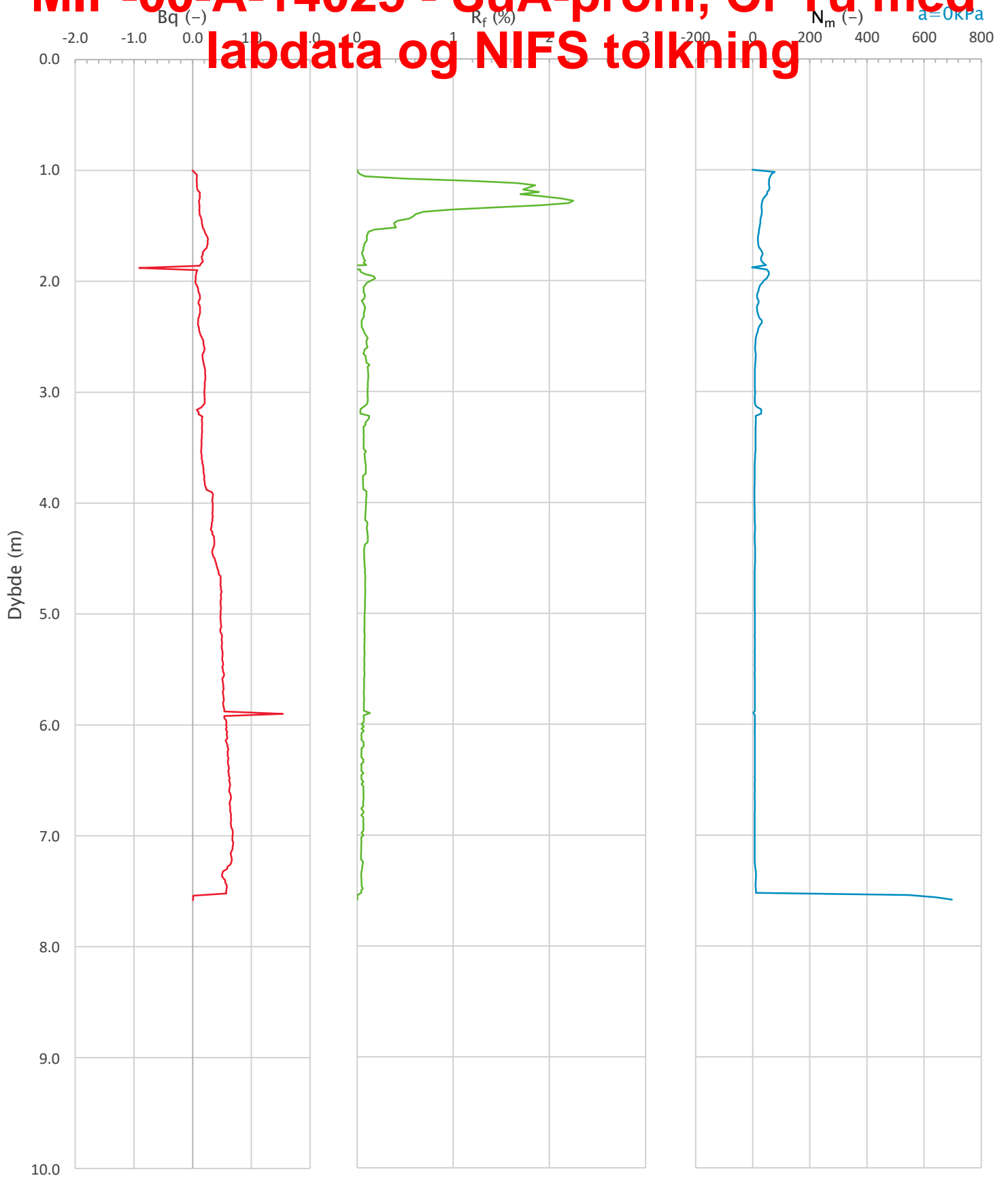
# MIP-00-A-14025 - SuA-profil, CPTu med labdata og NIFS tolkning




Prosjekt <b>Ski Hensetting</b>		Prosjektnummer: 900078 Rapportnummer: MIP-00-A-14024		Borhull Kote +90.6 <b>A482</b>
Innhold In-situ poretrykk, total- og effektiv vertikalspenning i beregninger				Sondennummer <b>4489</b>
 <b>Statens vegvesen</b>	Utført SOHJ/JAJE	Kontrollert ABC	Godkjent TTR	Anvend.klasse <b>1</b>
	Divisjon Ekstern konsulent	Dato sondering 19.10.2020	Revisjon Rev. dato	Figur <b>2</b>

**B163**

# MIP-00-A-14025 - SuA-profil, CPTu med labdata og NIFS tolkning



Prosjekt		Prosjektnummer: 900078 Rapportnummer: MIP-00-A-14024		Borhull	Kote +90.6
<b>Ski Hensetting</b>				<b>A482</b>	
Innhold				Sondenummer	
Avledede dimensjonsløse forhold				<b>4489</b>	
 <b>Statens vegvesen</b>	Utført	Kontrollert	Godkjent	Anvend.klasse	
	SOHJ/JAJE	ABC	TTR	<b>1</b>	
Divisjon Ekstern konsulent	Dato sondering	Revisjon	Rev. dato	Figur	
	19.10.2020			<b>4</b>	

**B164**



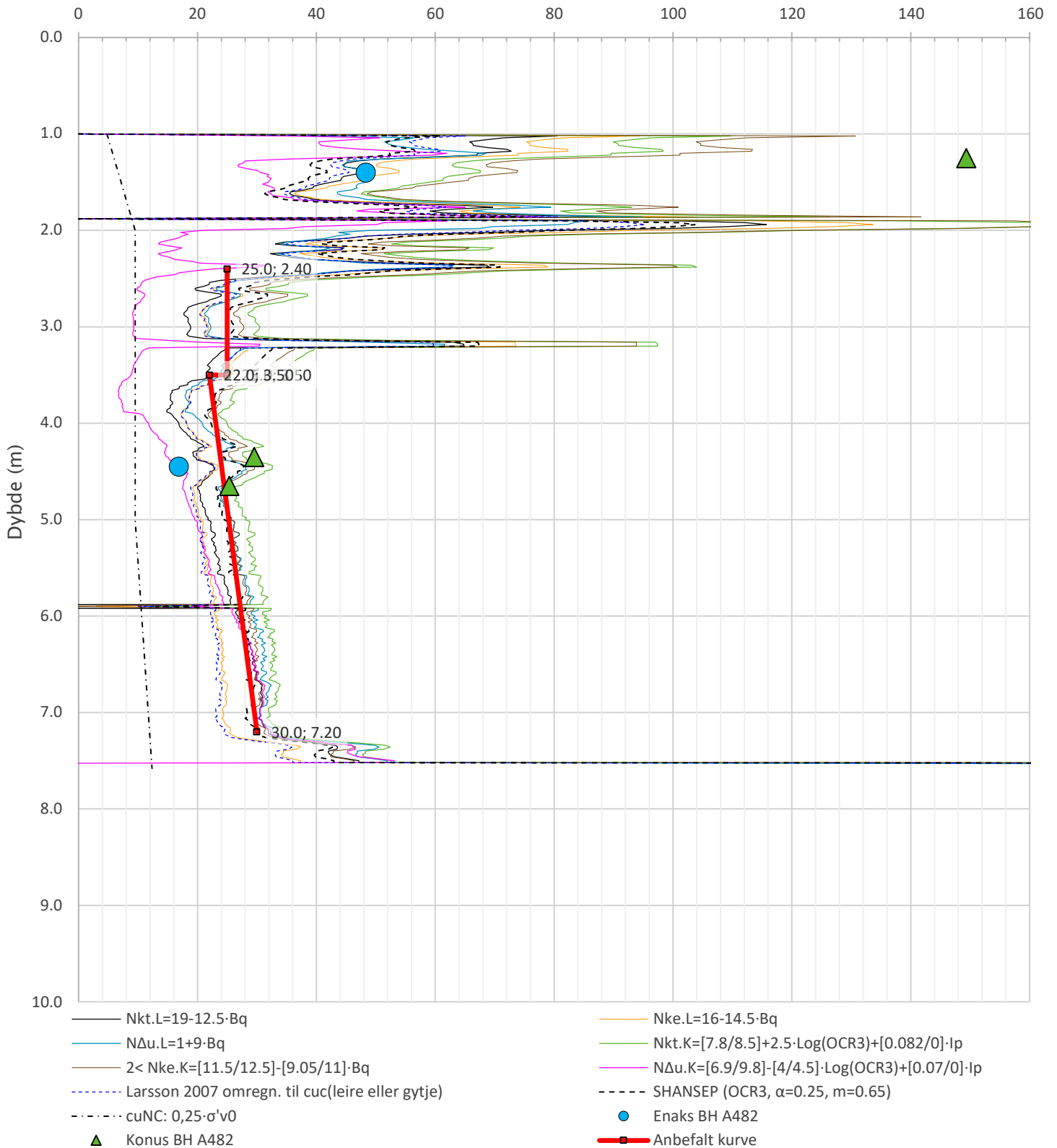
# MIP-00-A-14025 - SuA-profil, CPTu med labdata og NIFS tolkning


Anisotropiforhold i figur.

Enaks BH A482:  $c_{uc}/c_{ucptu} = 0.670$

Konus BH A482:  $c_{ufc}/c_{ucptu} = 0.670$

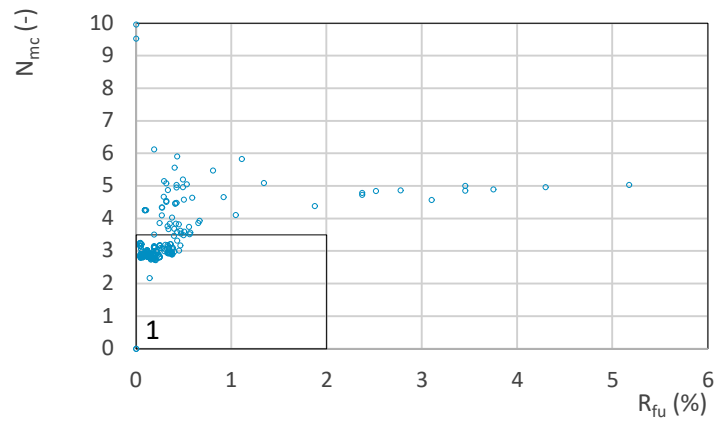
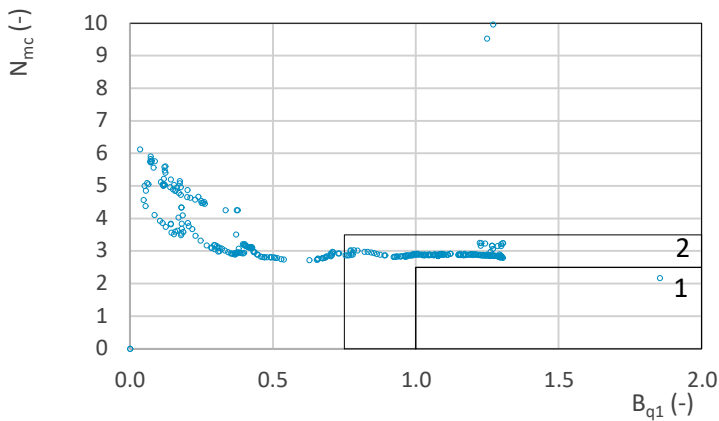
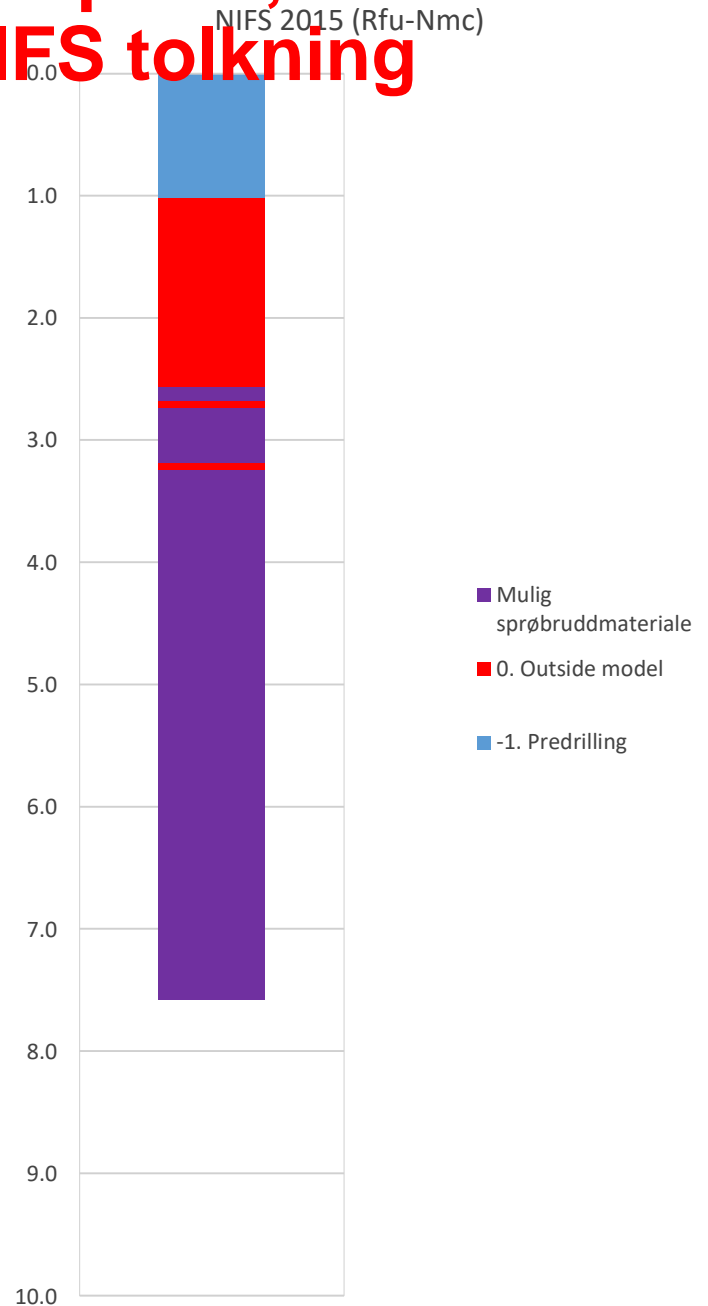
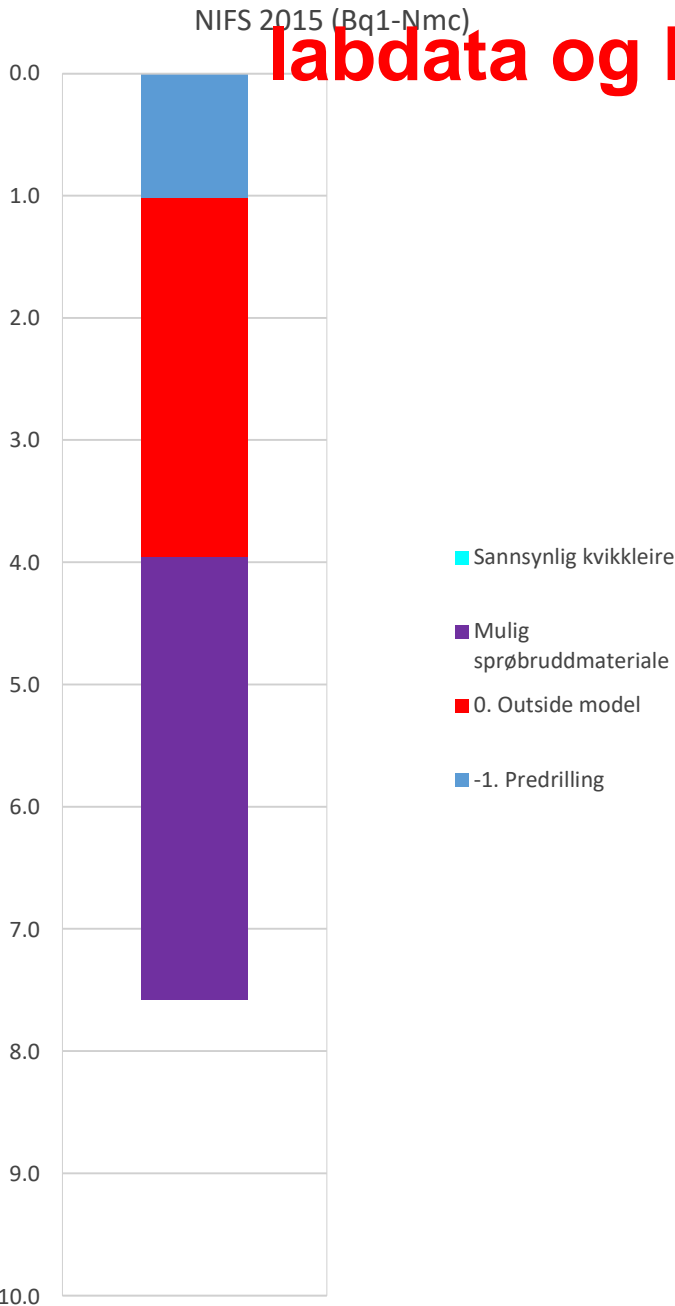
Udrenert aktiv skjærfasthet,  $c_{ucptu}$  (kPa)



Prosjekt <b>Ski Hensetting</b>	Prosjektnummer: 900078 Rapportnummer: MIP-00-A-14024	Borhull Kote +90.6 <b>A482</b>
Innhold Tolkning av udrenert aktiv skjærfasthet		Sondennummer <b>4489</b>
 <b>Statens vegvesen</b>	Utført SOHJ/JAJE	Kontrollert ABC
	Divisjon Ekstern konsulent	Dato sondering 19.10.2020
	Godkjent TTR	Anvend.klasse <b>1</b>
	Revisjon Rev. dato	Figur <b>5</b>

**B165**

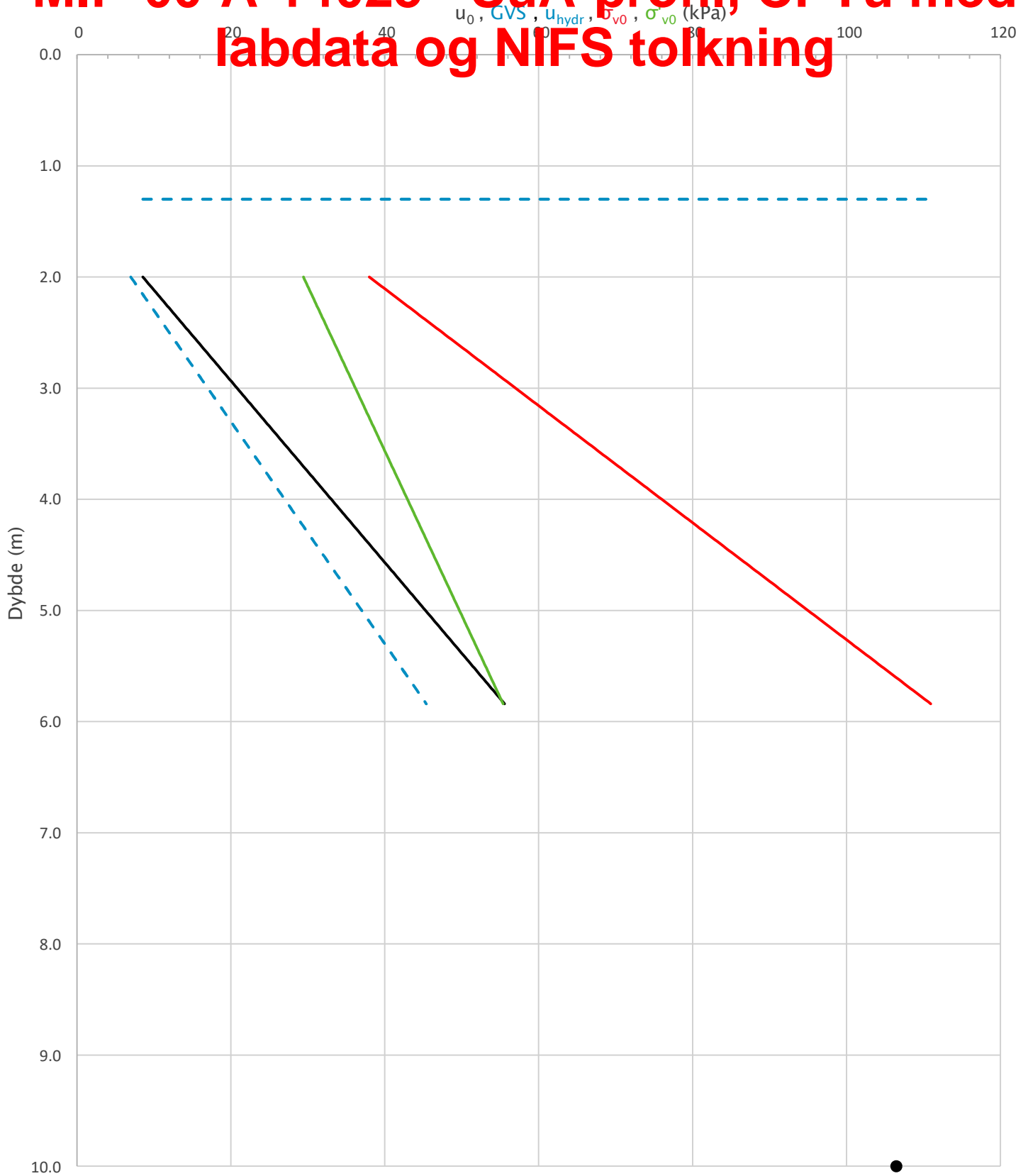
# MIP-00-A-14025 - SuA-profil, CPTu med labdata og NIFS tolkning



Prosjekt		Prosjektnummer: 900078 Rapportnummer: MIP-00-A-14024		Borhull	Kote +90.6
<b>Ski Hensetting</b>				<b>A482</b>	
Innhold		Jordartsklassifisering etter NIFS 2015 – detektering av sensitive materialer		Sondenummer	
				<b>4489</b>	
 <b>Statens vegvesen</b>	Utført	Kontrollert	Godkjent	Anvend.klasse	
	SOHJ/JAJE	ABC	TTR	<b>1</b>	
	Divisjon	Dato sondering	Revisjon	Figur	
	Ekstern konsulent	19.10.2020	Rev. dato	<b>21</b>	

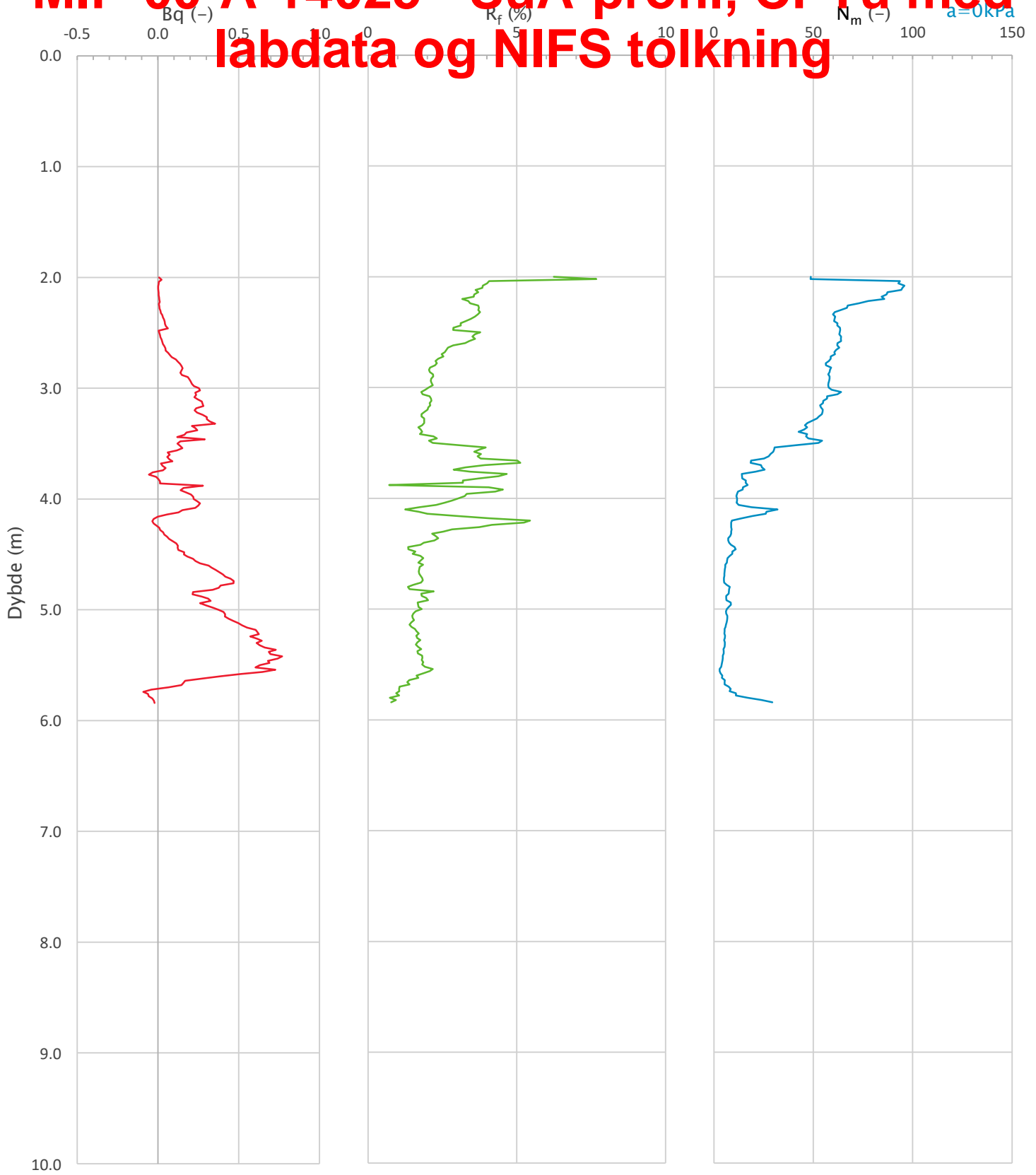
**B166**


# MIP-00-A-14025 - SuA-profil, CPTu med labdata og NIFS tolkning



Prosjekt		Prosjektnummer: 900078 Rapportnummer: MIP-00-A-14024		Borhull	Kote +110.3
<b>Ski Hensetting</b>				<b>H246</b>	
Innhold		In-situ poretrykk, total- og effektiv vertikalspenning i beregninger		Sondennummer	<b>4980</b>
 <b>Statens vegvesen</b>	Utført	Kontrollert	Godkjent	Anvend.klasse	1
	SOHJ	JAJE	TTR		
	Divisjon	Dato sondering	Revisjon	Figur	2
	Ekstern konsulent	07.10.2020	Rev. dato		

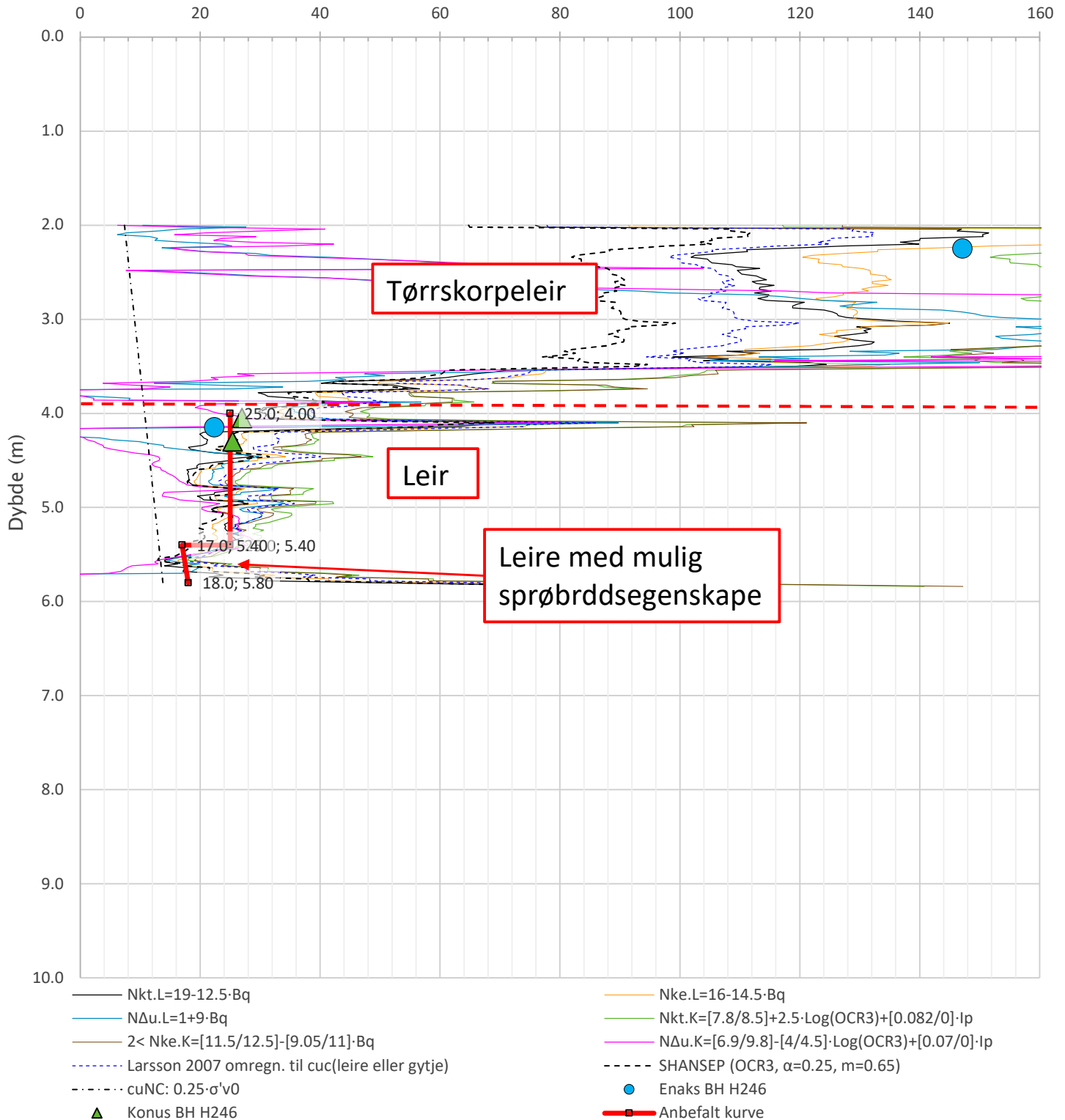
# MIP-00-A-14025 - SuA-profil, CPTu med labdata og NIFS tolkning




Prosjekt		Prosjektnummer: 900078 Rapportnummer: MIP-00-A-14024		Borhull	Kote +110.3
<b>Ski Hensetting</b>				<b>H246</b>	
Innhold				Sondennummer	
Avledede dimensjonsløse forhold				<b>4980</b>	
 <b>Statens vegvesen</b>	Utført	Kontrollert	Godkjent	Anvend.klasse	
	SOHJ	JAJE	TTR	1	
	Divisjon	Dato sondering	Revisjon	Figur	
	Ekstern konsulent	07.10.2020	Rev. dato	4	

# MIP-00-A-14025 - SuA-profil, CPTu med labdata og NIFS tolkning

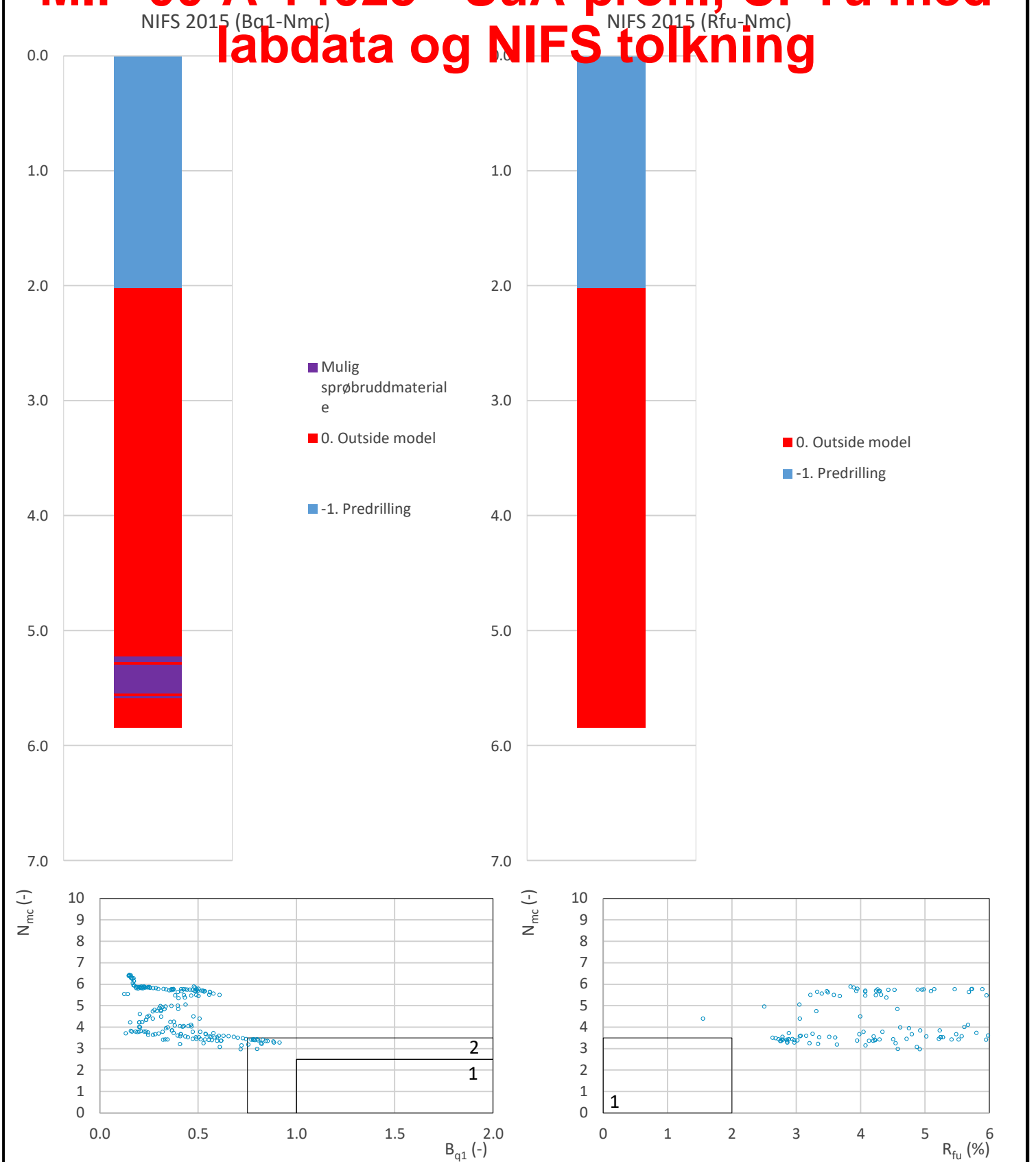
Udrenert aktiv skjærfasthet,  $c_{ucptu}$  (kPa)



Prosjekt	Prosjektnummer: 900078 Rapportnummer: MIP-00-A-14024			Borhull	Kote +110.3
<b>Ski Hensetting</b>				<b>H246</b>	
Innhold	Tolkning av udrenert aktiv skjærfasthet			Sondennummer	<b>4980</b>
 <b>Statens vegvesen</b>	Utført	Kontrollert	Godkjent	Anvend.klasse	1
	SOHJ	JAJE	TTR	Figur	5
	Divisjon Ekstern konsulent	Dato sondering 07.10.2020	Revisjon Rev. dato		

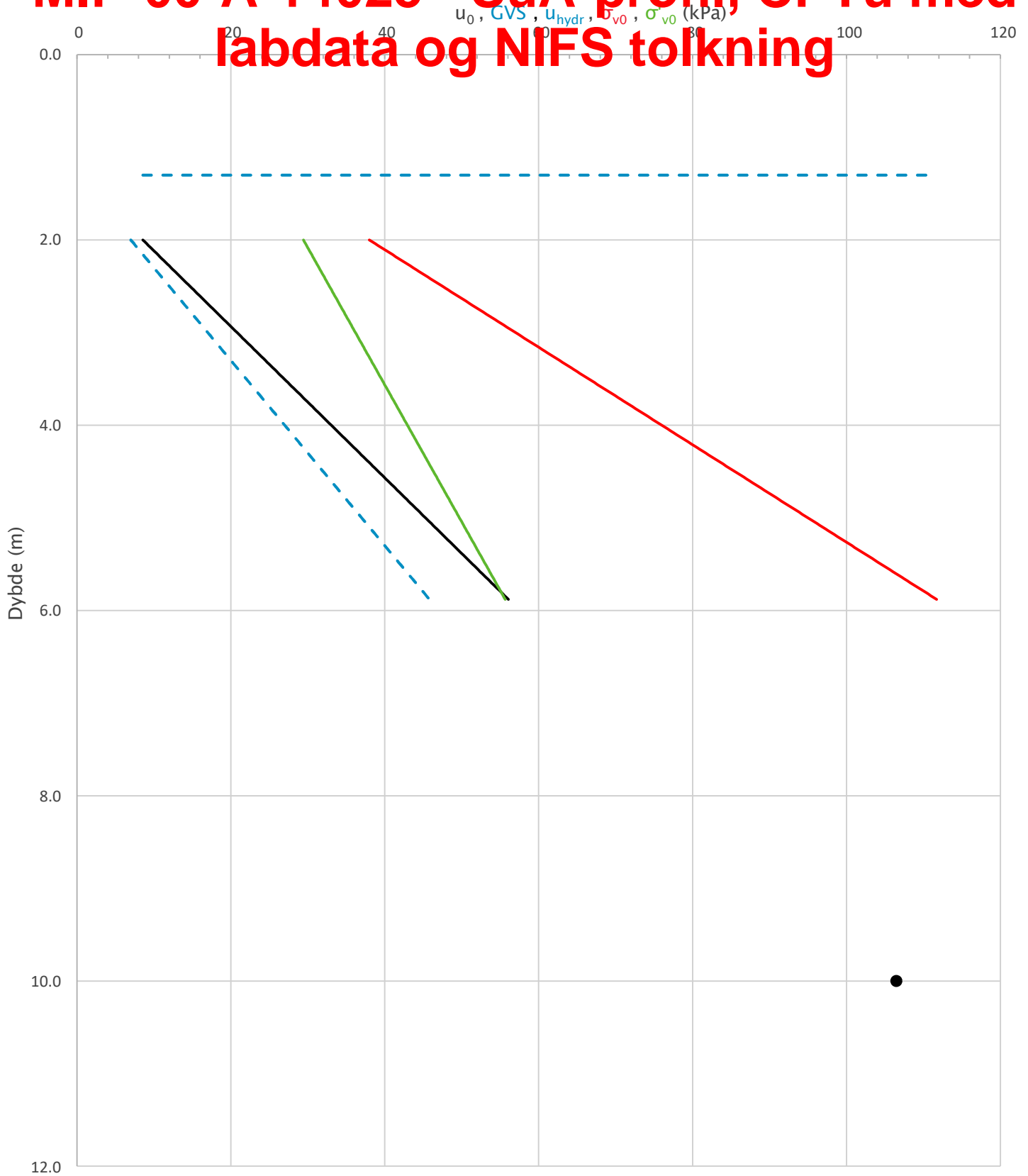


# MIP-00-A-14025 - SuA-profil, CPTu med labdata og NIFS tolkning



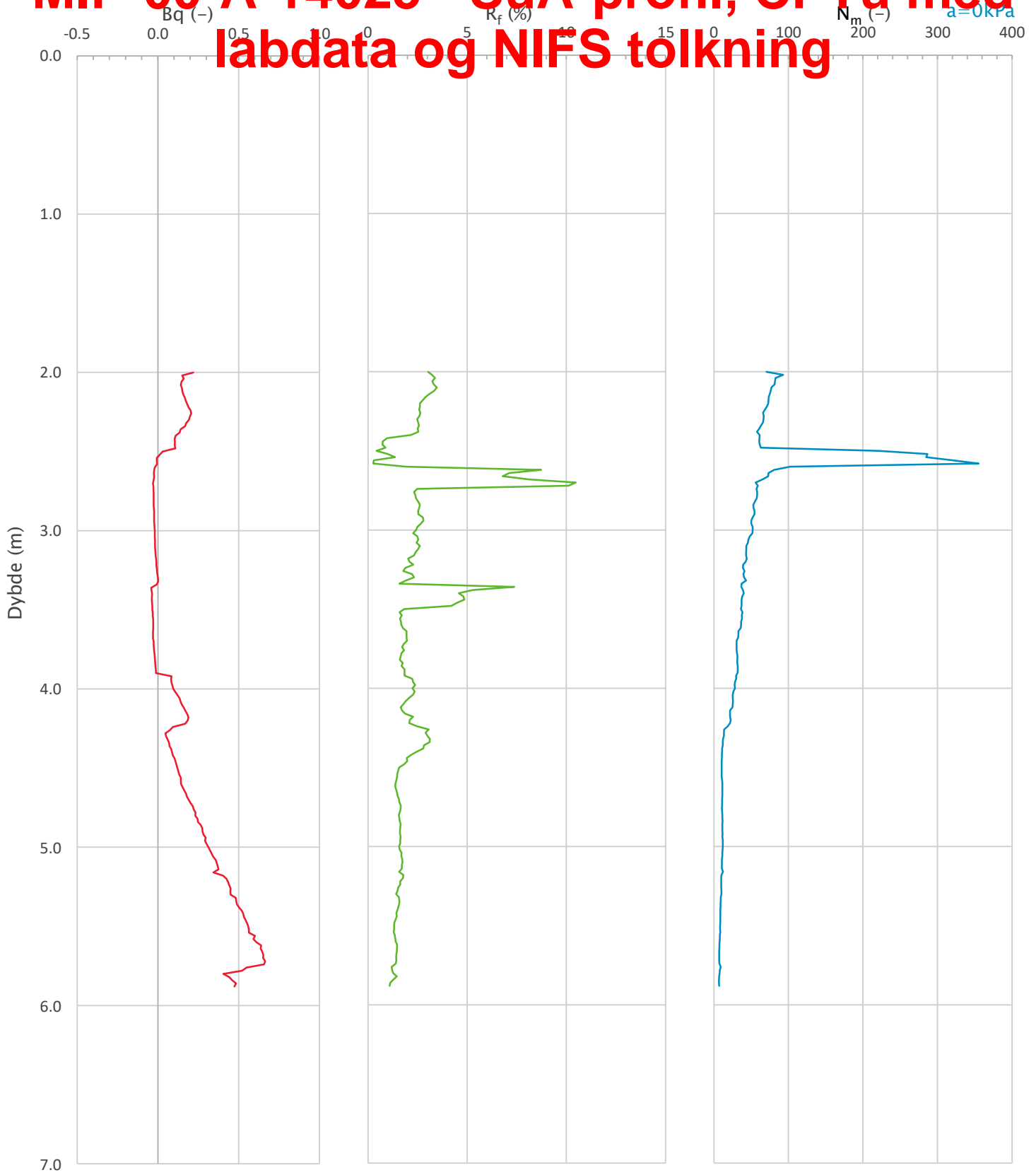
Prosjekt		Prosjektnummer: 900078 Rapportnummer: MIP-00-A-14024		Borhull	Kote +110.3
<b>Ski Hensetting</b>				<b>H246</b>	
Innhold		Jordartsklassifisering etter NIFS 2015 – detektering av sensitive materialer		Sondenummer	
				<b>4980</b>	
 Statens vegvesen	Utført	Kontrollert	Godkjent	Anvend.klasse	1
	SOHJ	JAJE	TTR		
	Divisjon	Dato sondering	Revisjon	Figur	21
	Ekstern konsulent	07.10.2020	Rev. dato		


# MIP-00-A-14025 - SuA-profil, CPTu med labdata og NIFS tolkning



Prosjekt		Prosjektnummer: 900078 Rapportnummer: MIP-00-A-14024		Borhull	Kote +110.8
<b>Ski Hensetting</b>				<b>H248</b>	
Innhold		In-situ poretrykk, total- og effektiv vertikalspenning i beregninger		Sondennummer	
				<b>4980</b>	
 <b>Statens vegvesen</b>	Utført	Kontrollert	Godkjent	Anvend.klasse	
	SOHJ/JAJE	ABC	TTR	1	
	Divisjon	Dato sondering	Revisjon	Figur	
	Ekstern konsulent	07.10.2020	Rev. dato	2	

# MIP-00-A-14025 - SuA-profil, CPTu med labdata og NIFS tolkning



Prosjekt		Prosjektnummer: 900078 Rapportnummer: MIP-00-A-14024		Borhull	Kote +110.8
<b>Ski Hensetting</b>				<b>H248</b>	
Innhold				Sondennummer	
Avledede dimensjonsløse forhold				<b>4980</b>	
 <b>Statens vegvesen</b>	Utført	Kontrollert	Godkjent	Anvend.klasse	
	SOHJ/JAJE	ABC	TTR	1	
Divisjon Ekstern konsulent	Dato sondering	Revisjon	Figur		
	07.10.2020	Rev. dato			

# MIP-00-A-14025 - SuA-profil, CPTu med labdata og NIFS tolkning

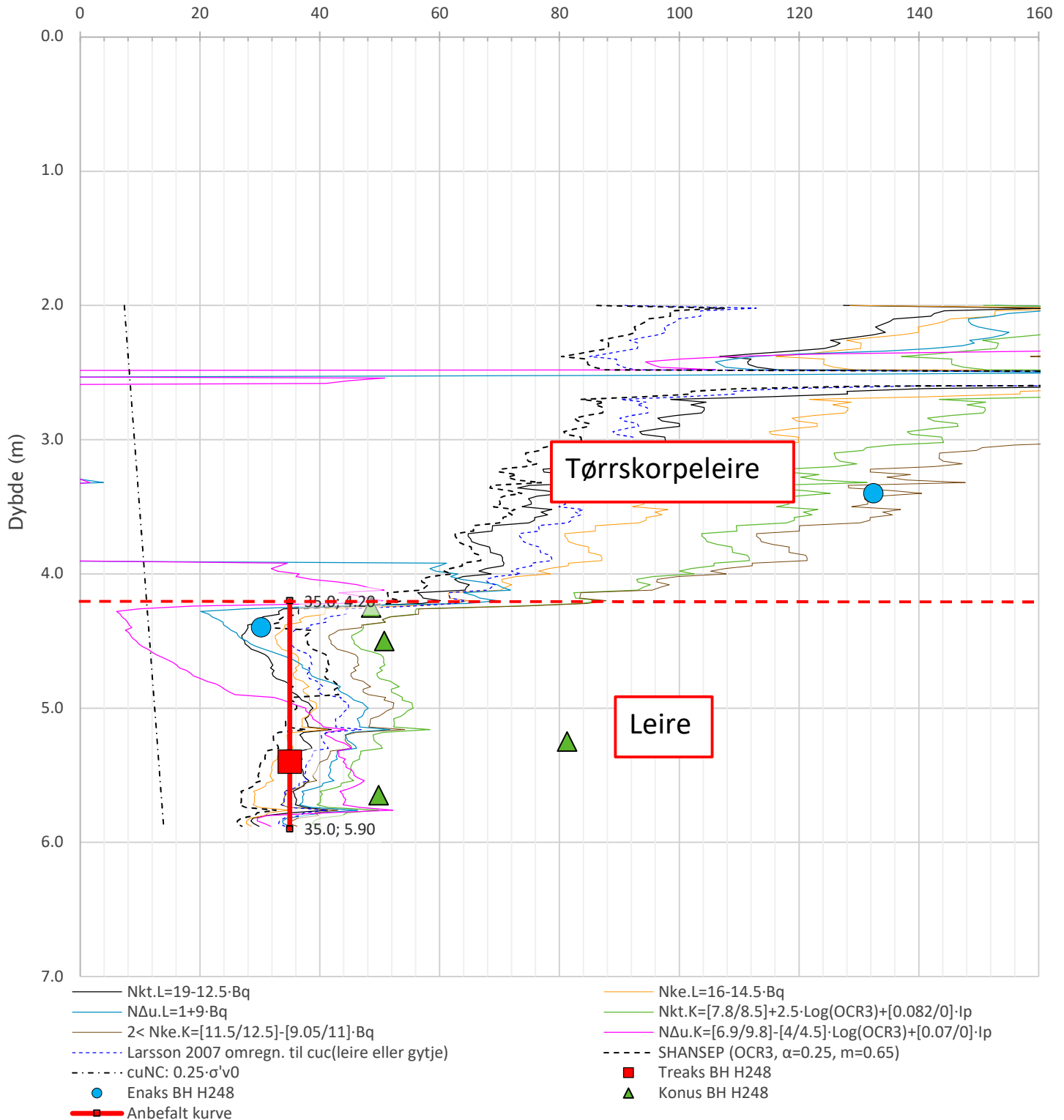
Anisotropiforhold i figur.


Treks BH H248:  $c_u/c_{u\text{CPTu}} = 1.000$

Enaks BH H248:  $c_{uc}/c_{u\text{CPTu}} = \text{var. (min:0.630 max:0.682)}$

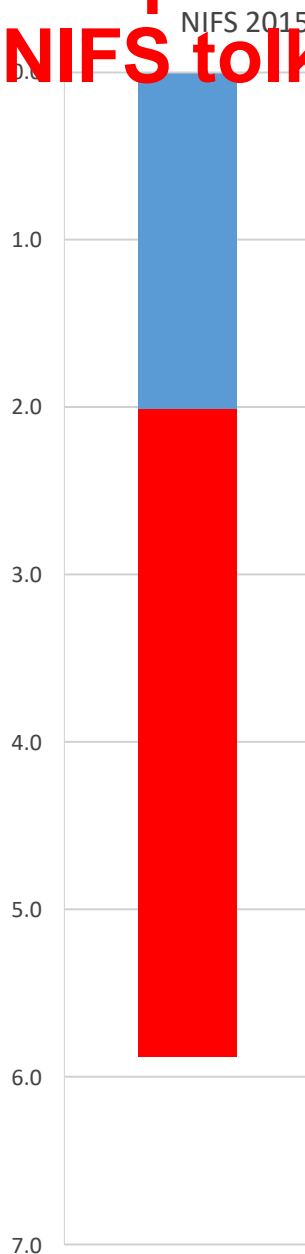
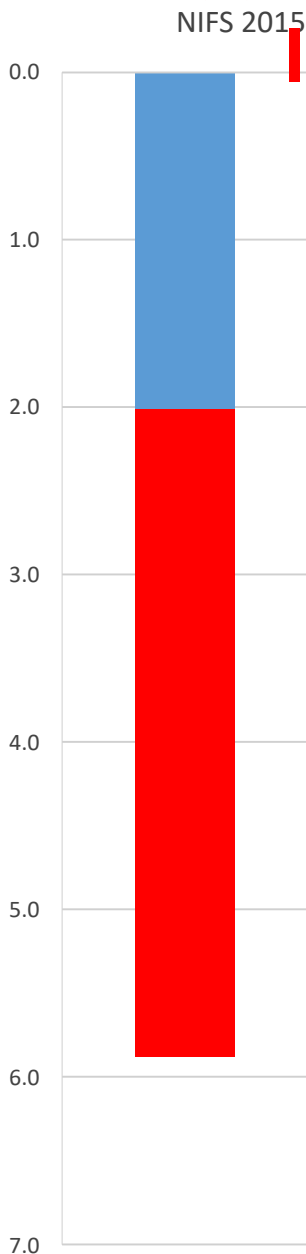
Konus BH H248:  $c_{ufc}/c_{u\text{CPTu}} = \text{var. (min:0.630 max:0.682)}$

Udrenert aktiv skjærfasthet,  $c_{u\text{CPTu}}$  (kPa)



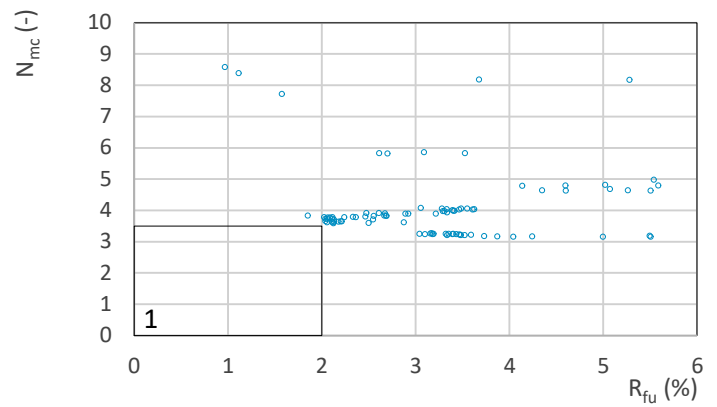
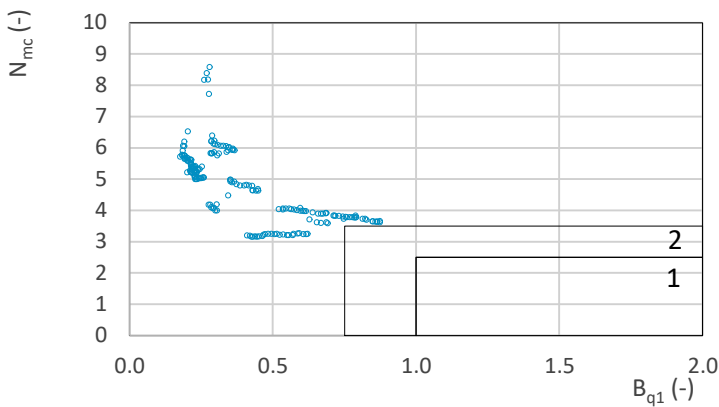
Prosjekt	Prosjektnummer: 900078 Rapportnummer: MIP-00-A-14024		Borhull	Kote +110.8
<b>Ski Hensetting</b>			<b>H248</b>	
Innhold	Tolkning av udrenert aktiv skjærfasthet		Sondennummer	<b>4980</b>
 Statens vegvesen	Utført	Kontrollert	Godkjent	Anvend.klasse
	SOHJ/JAJE	ABC	TTR	1
	Divisjon	Dato sondering	Revisjon	Figur
Ekstern konsulent	07.10.2020	Rev. dato	5	

# MIP-00-A-14025 - SuA-profil, CPTu med labdata og NIFS tolkning



■ 0. Outside model  
■ -1. Predrilling

■ 0. Outside model  
■ -1. Predrilling

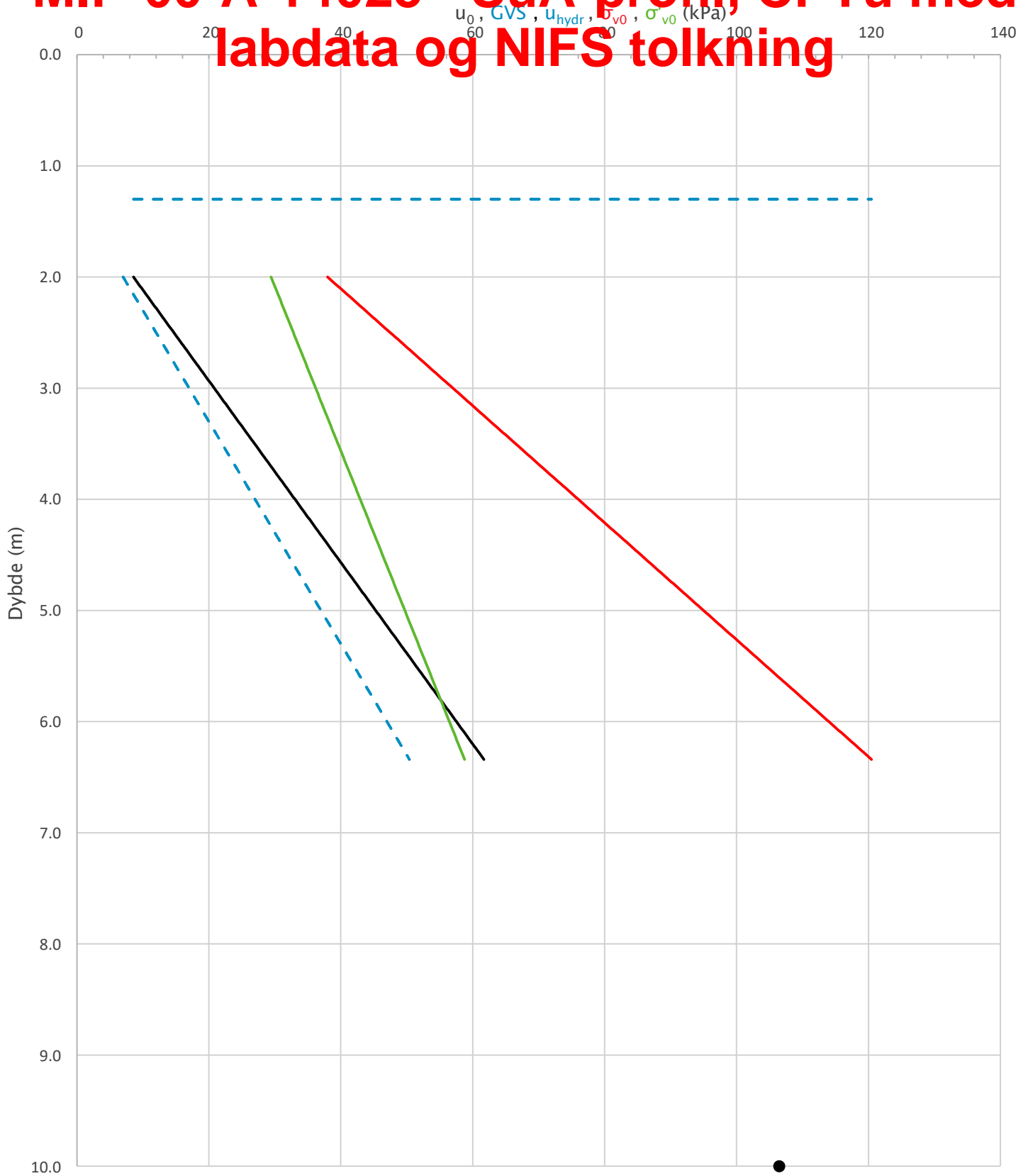


Prosjekt		Prosjektnummer: 900078 Rapportnummer: MIP-00-A-14024		Borhull	Kote +110.8
<b>Ski Hensetting</b>				<b>H248</b>	
Innhold		Jordartsklassifisering etter NIFS 2015 – detektering av sensitive materialer		Sondenummer	
				<b>4980</b>	
 <b>Statens vegvesen</b>	Utført	Kontrollert	Godkjent	Anvend.klasse	1
	SOHJ/JAJE	ABC	TTR		
	Divisjon	Dato sondering	Revisjon	Figur	21
	Ekstern konsulent	07.10.2020	Rev. dato		

**B174**

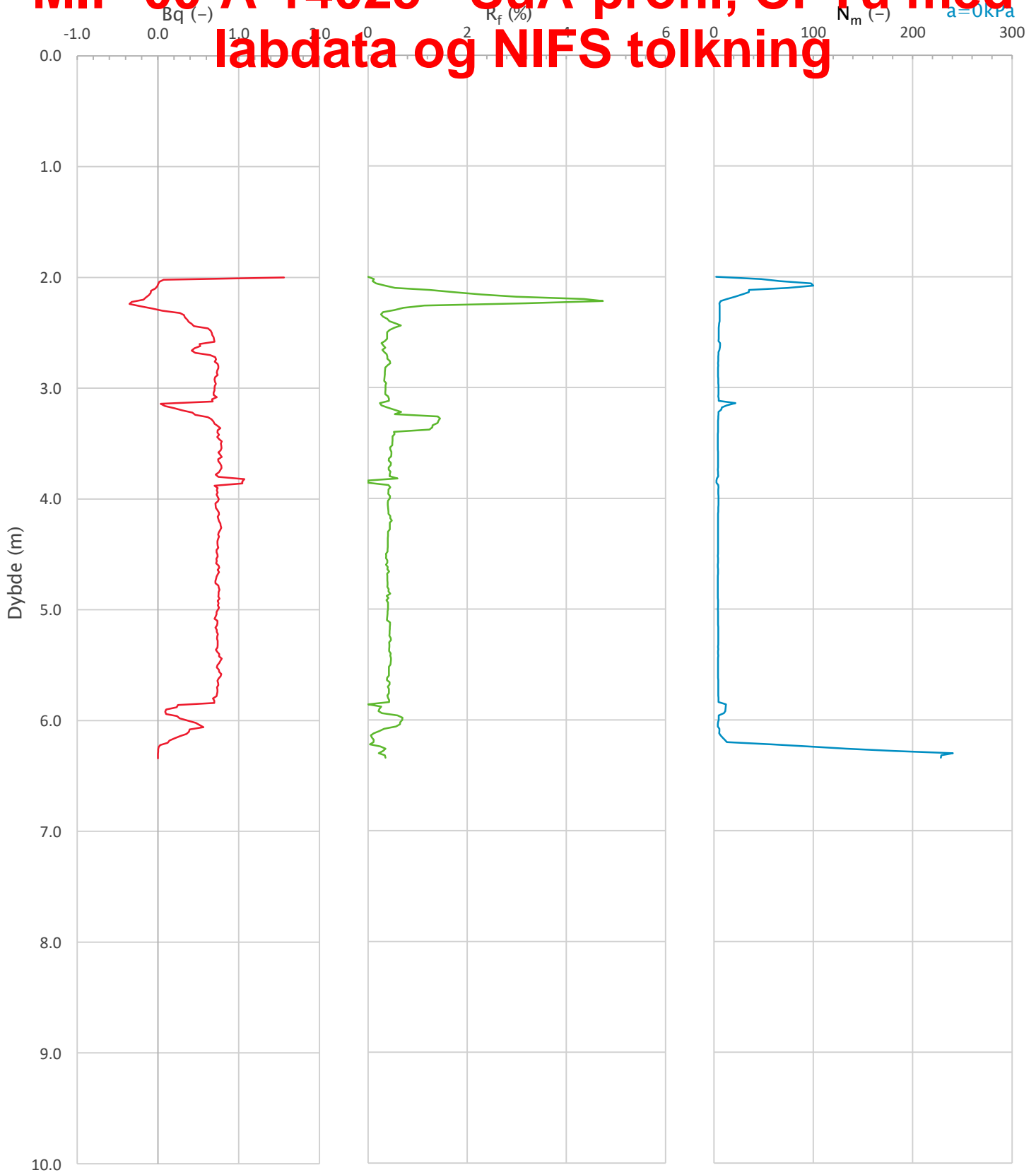



# MIP-00-A-14025 - SuA-profil, CPTu med labdata og NIFS tolkning



Prosjekt		Prosjektnummer: 900078 Rapportnummer: MIP-00-A-14024		Borhull	Kote +106.6
<b>Ski Hensetting</b>				<b>H253</b>	
Innhold		In-situ poretrykk, total- og effektiv vertikalspenning i beregninger		Sondennummer	<b>4980</b>
 <b>Statens vegvesen</b>	Utført	Kontrollert	Godkjent	Anvend.klasse	1
	SOHJ	JAJE	TTR		
	Divisjon	Dato sondering	Revisjon	Figur	2
	Ekstern konsulent	12.10.2020	Rev. dato		

# MIP-00-A-14025 - SuA-profil, CPTu med labdata og NIFS tolkning



Prosjekt		Prosjektnummer: 900078 Rapportnummer: MIP-00-A-14024		Borhull	Kote +106.6
<b>Ski Hensetting</b>				<b>H253</b>	
Innhold				Sondennummer	
Avledede dimensjonsløse forhold				<b>4980</b>	
 <b>Statens vegvesen</b>	Utført	Kontrollert	Godkjent	Anvend.klasse	
	SOHJ	JAJE	TTR	1	
	Divisjon	Dato sondering	Revisjon	Figur	
	Ekstern konsulent	12.10.2020	Rev. dato	4	

# MIP-00-A-14025 - SuA-profil, CPTu med labdata og NIFS tolkning

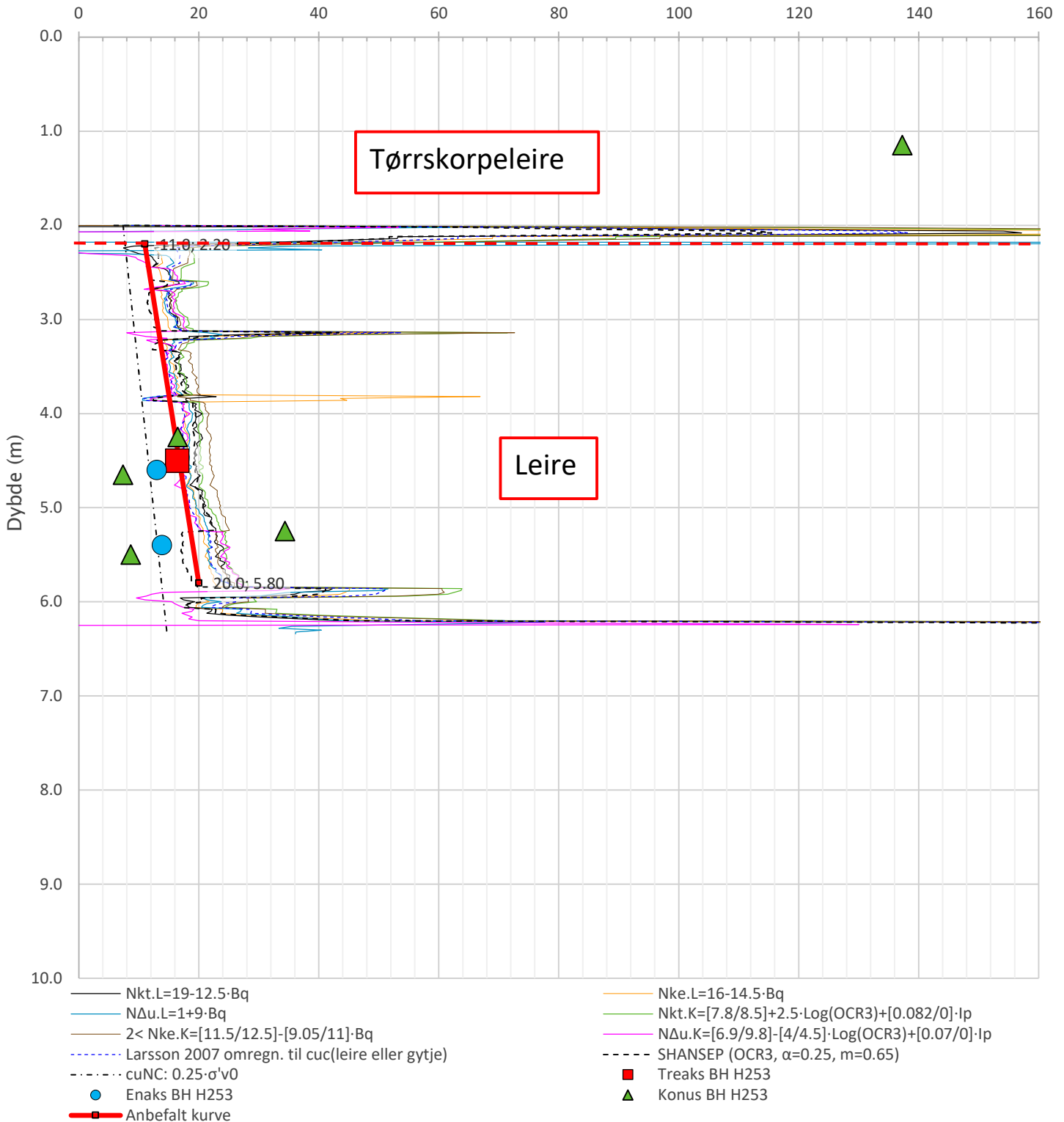
Anisotropiforhold i figur.


Treks BH H253:  $c_uC/cucptu = 1.000$

Enaks BH H253:  $c_uC/cucptu = var. (min:0.630 max:0.634)$

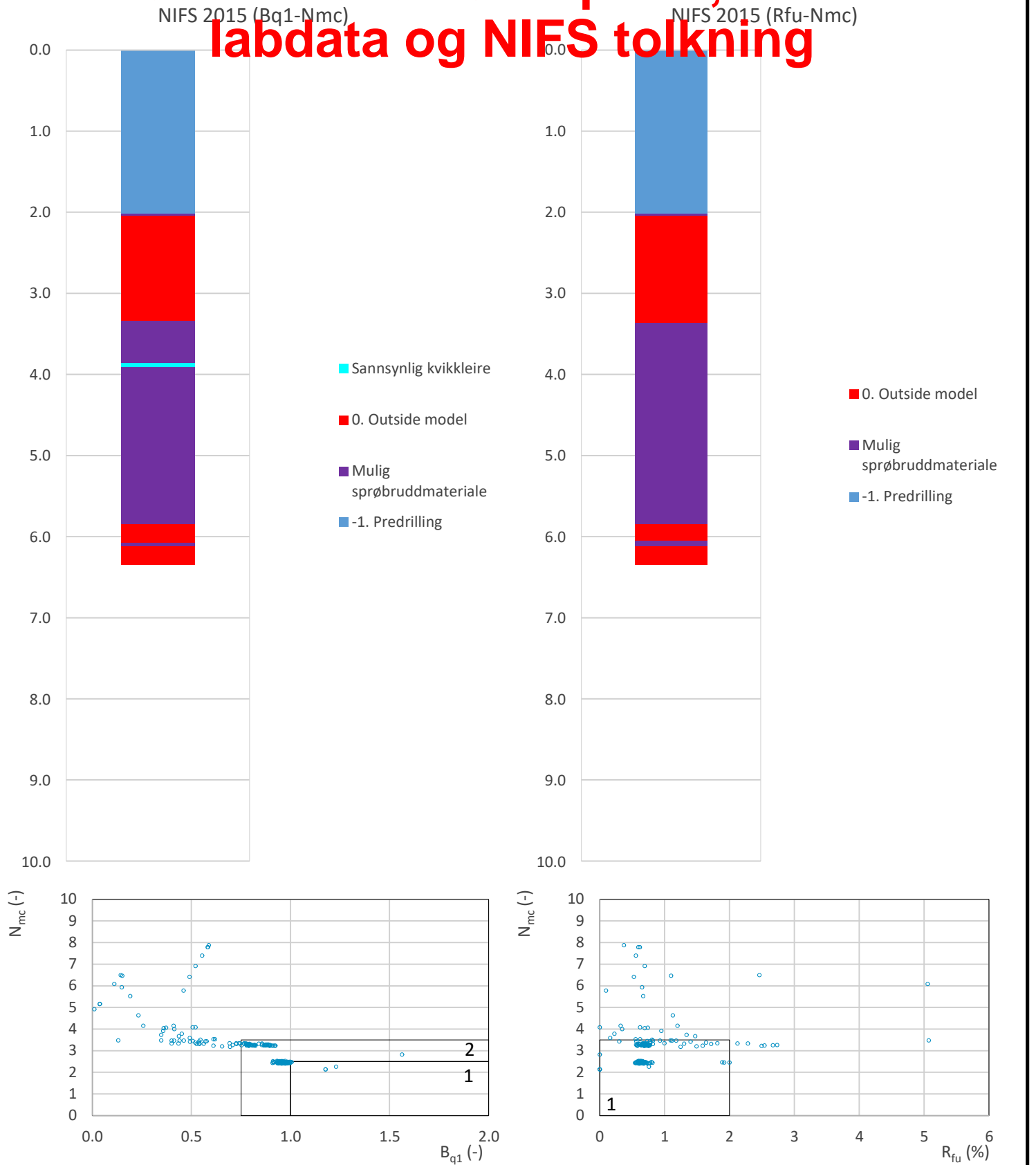
Konus BH H253:  $c_{ufc}/cucptu = var. (min:0.630 max:0.635)$

Udrenert aktiv skjærfasthet,  $c_{ucptu}$  (kPa)



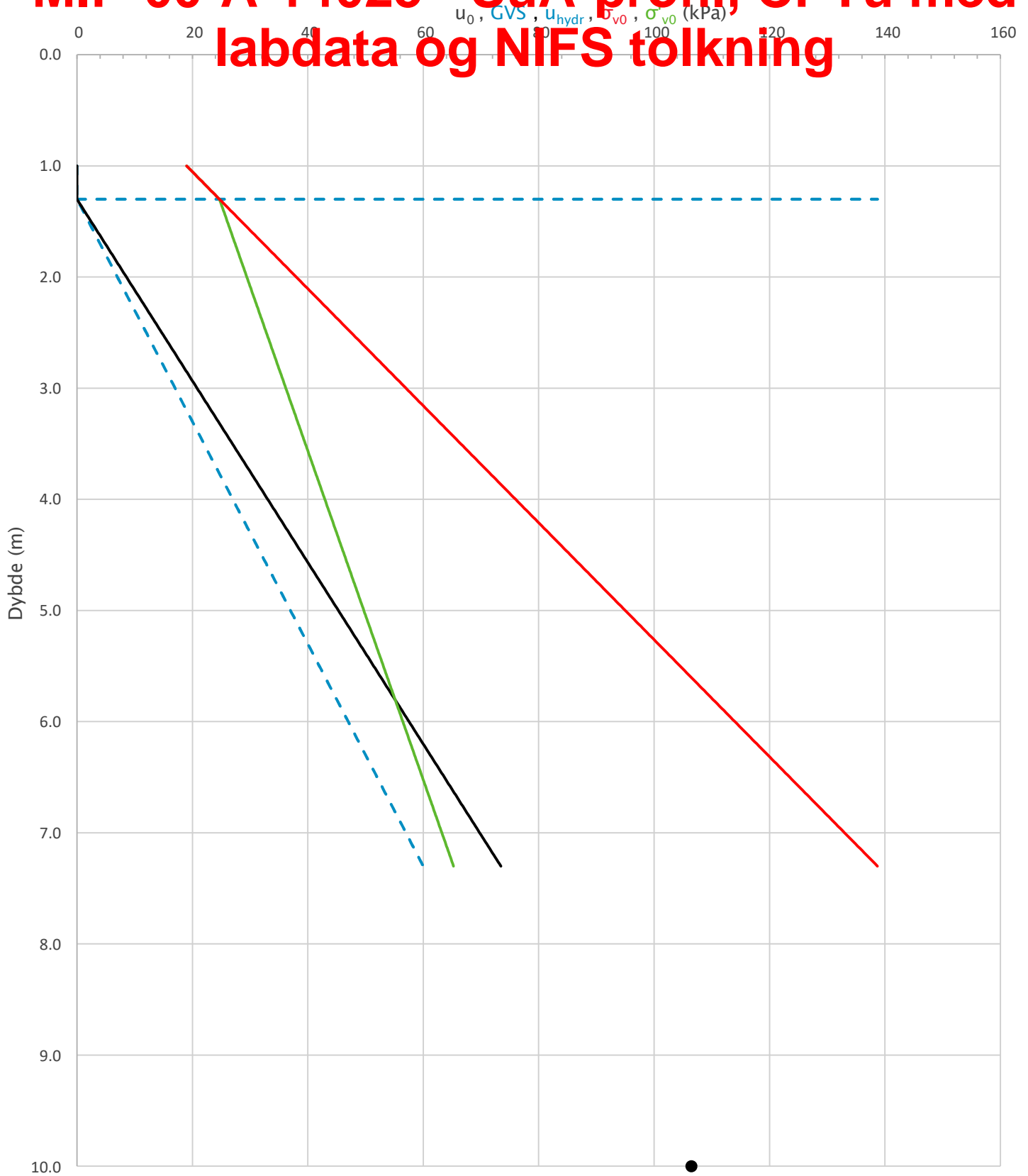
Prosjekt	Prosjektnummer: 900078 Rapportnummer: MIP-00-A-14024		Borhull	Kote +106.6
<b>Ski Hensetting</b>			<b>H253</b>	
Innhold			Sondennummer	
Tolkning av udrenert aktiv skjærfasthet			<b>4980</b>	
 <b>Statens vegvesen</b>	Utført	Kontrollert	Godkjent	Anvend.klasse
	SOHJ	JAJE	TTR	1
	Divisjon	Dato sondering	Revisjon	Figur
	Ekstern konsulent	12.10.2020	Rev. dato	5

# MIP-00-A-14025 - SuA-profil, CPTu med labdata og NIFS tolkning



Prosjekt		Prosjektnummer: 900078 Rapportnummer: MIP-00-A-14024		Borhull	Kote +106.6
<b>Ski Hensetting</b>				<b>H253</b>	
Innhold		Jordartsklassifisering etter NIFS 2015 – detektering av sensitive materialer		Sondenummer	
				<b>4980</b>	
 <b>Statens vegvesen</b>	Utført	Kontrollert	Godkjent	Anvend.klasse	1
	SOHJ	JAJE	TTR		
	Divisjon	Dato sondering	Revisjon	Figur	21
	Ekstern konsulent	12.10.2020	Rev. dato		

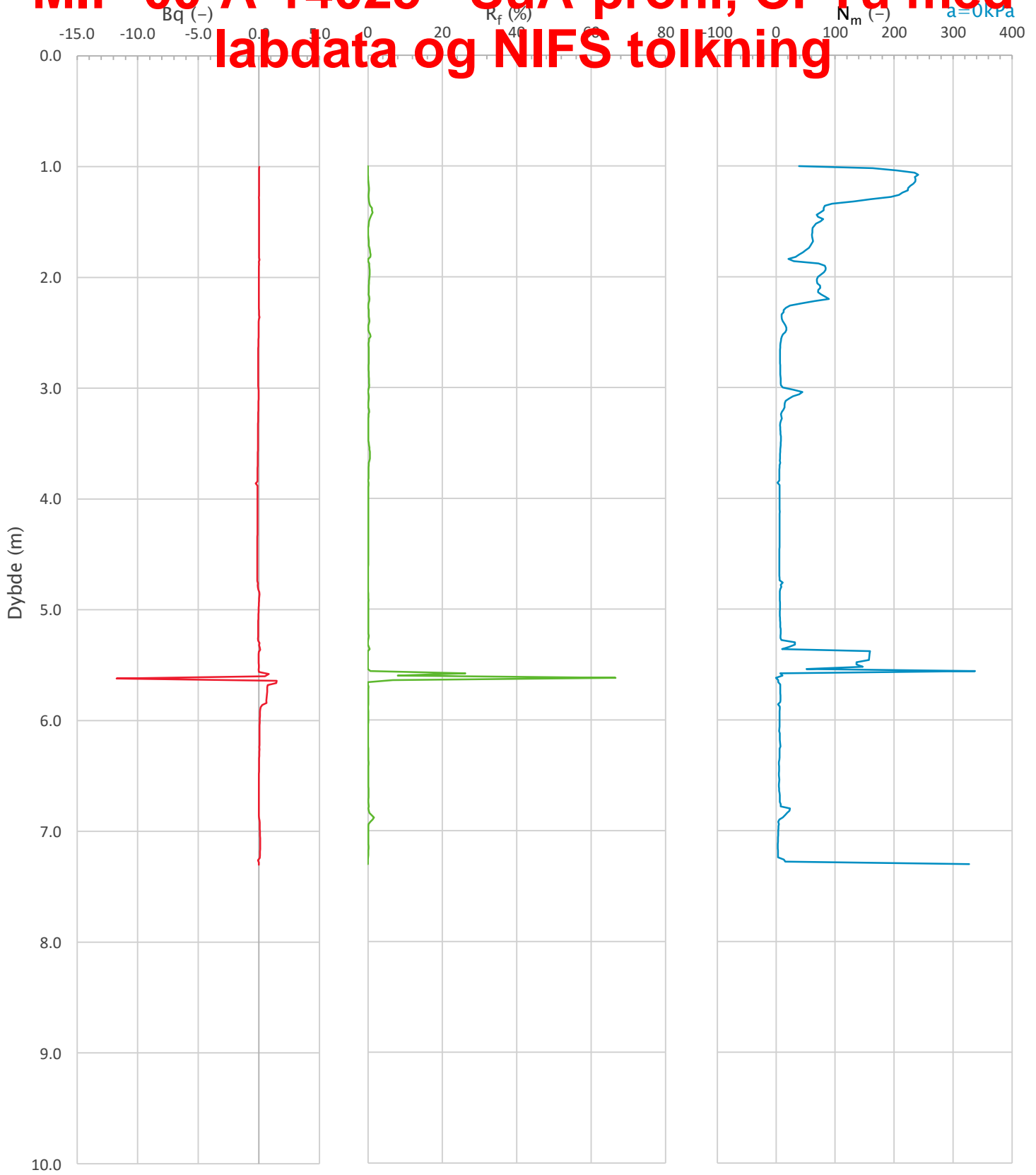
# MIP-00-A-14025 - SuA-profil, CPTu med labdata og NIFS tolkning




Prosjekt		Prosjektnummer: 900078 Rapportnummer: MIP-00-A-14024		Borhull	Kote +108.5
<b>Ski hensetting</b>				<b>H262</b>	
Innhold		In-situ poretrykk, total- og effektiv vertikalspenning i beregninger		Sondennummer	<b>4634</b>
 <b>Statens vegvesen</b>	Utført	Kontrollert	Godkjent	Anvend.klasse	<b>1</b>
	SOHJ/JAJE	ABC	TTR		
	Divisjon	Dato sondering	Revisjon	Figur	<b>2</b>
	Ekstern konsulent	21.10.2020	Rev. dato		



# MIP-00-A-14025 - SuA-profil, CPTu med labdata og NIFS tolkning



Prosjekt		Prosjektnummer: 900078 Rapportnummer: MIP-00-A-14024		Borhull	Kote +108.5
<b>Ski hensetting</b>				<b>H262</b>	
Innhold				Sondennummer	
Avledede dimensjonsløse forhold				<b>4634</b>	
 <b>Statens vegvesen</b>	Utført	Kontrollert	Godkjent	Anvend.klasse	
	SOHJ/JAJE	ABC	TTR	1	
Divisjon Ekstern konsulent	Dato sondering	Revisjon	Figur		
	21.10.2020	Rev. dato			

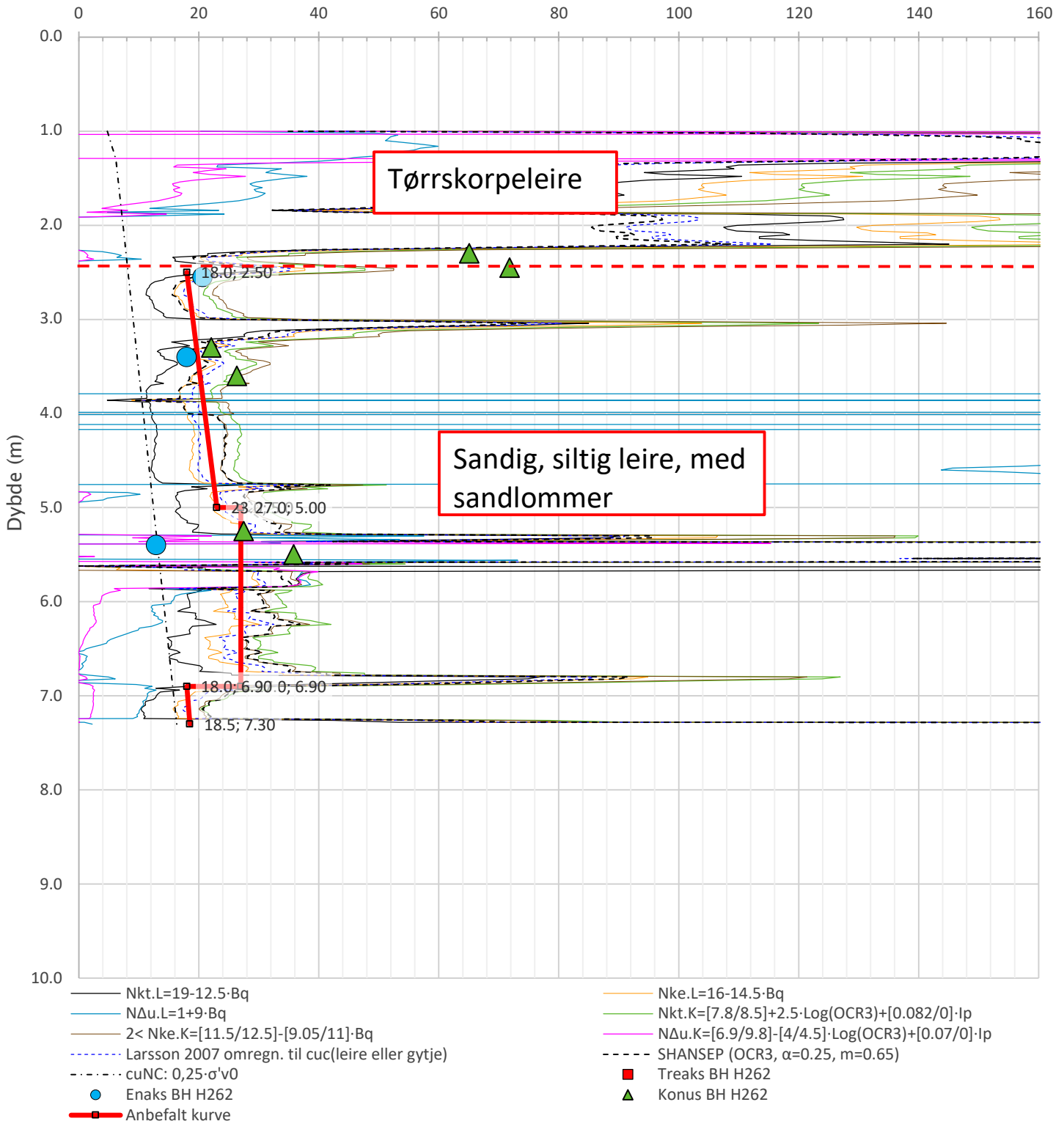
# MIP-00-A-14025 - SuA-profil, CPTu med labdata og NIFS tolkning


Anisotropiforhold i figur.

Enaks BH H262:  $c_{uc}/c_{ucptu} = \text{var}$  (min:0.652 max:0.683)

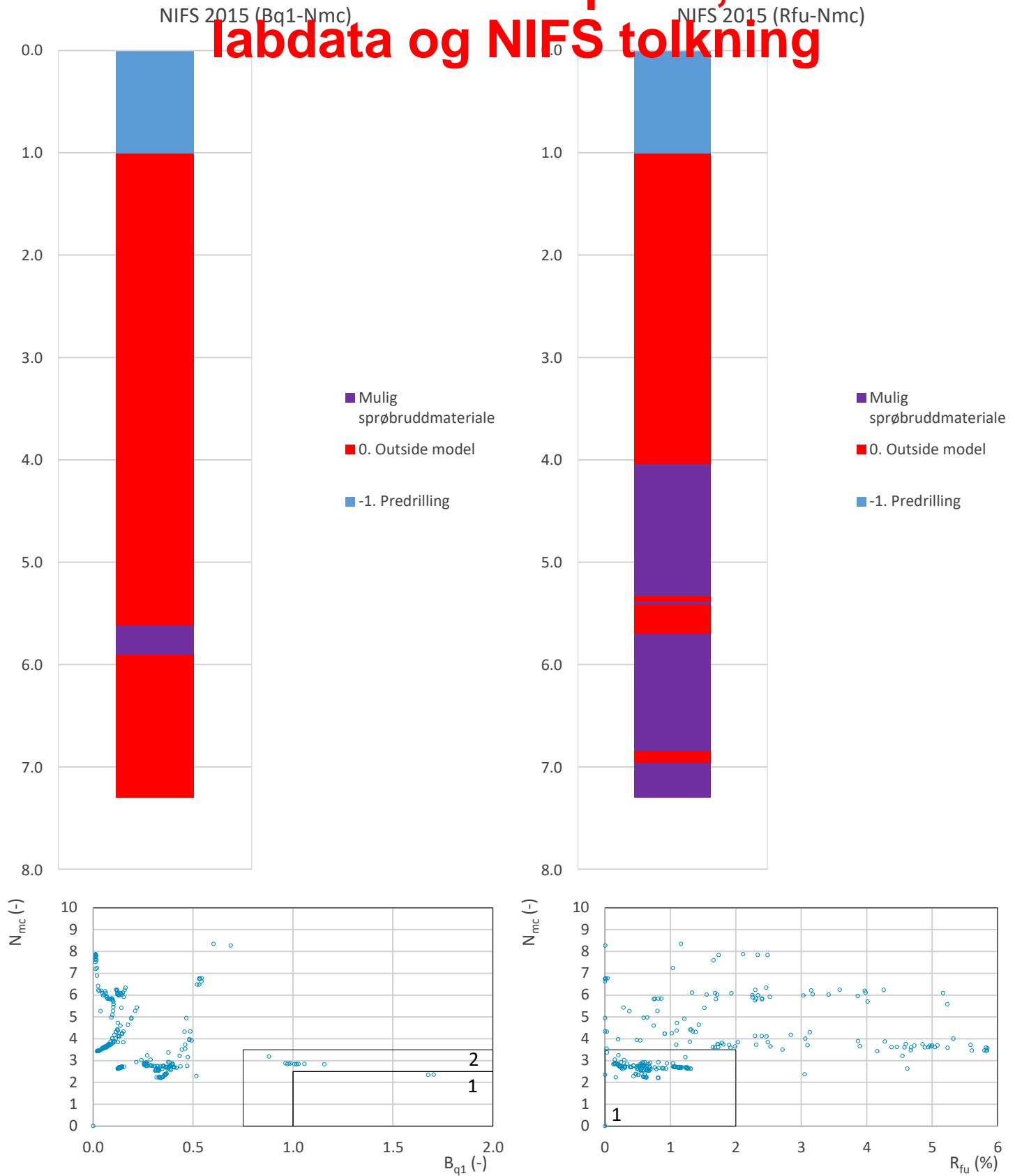
Konus BH H262:  $c_{ufc}/c_{ucptu} = \text{var}$  (min:0.720 max:0.683)

Udrenert aktiv skjærfasthet,  $c_{ucptu}$  (kPa)



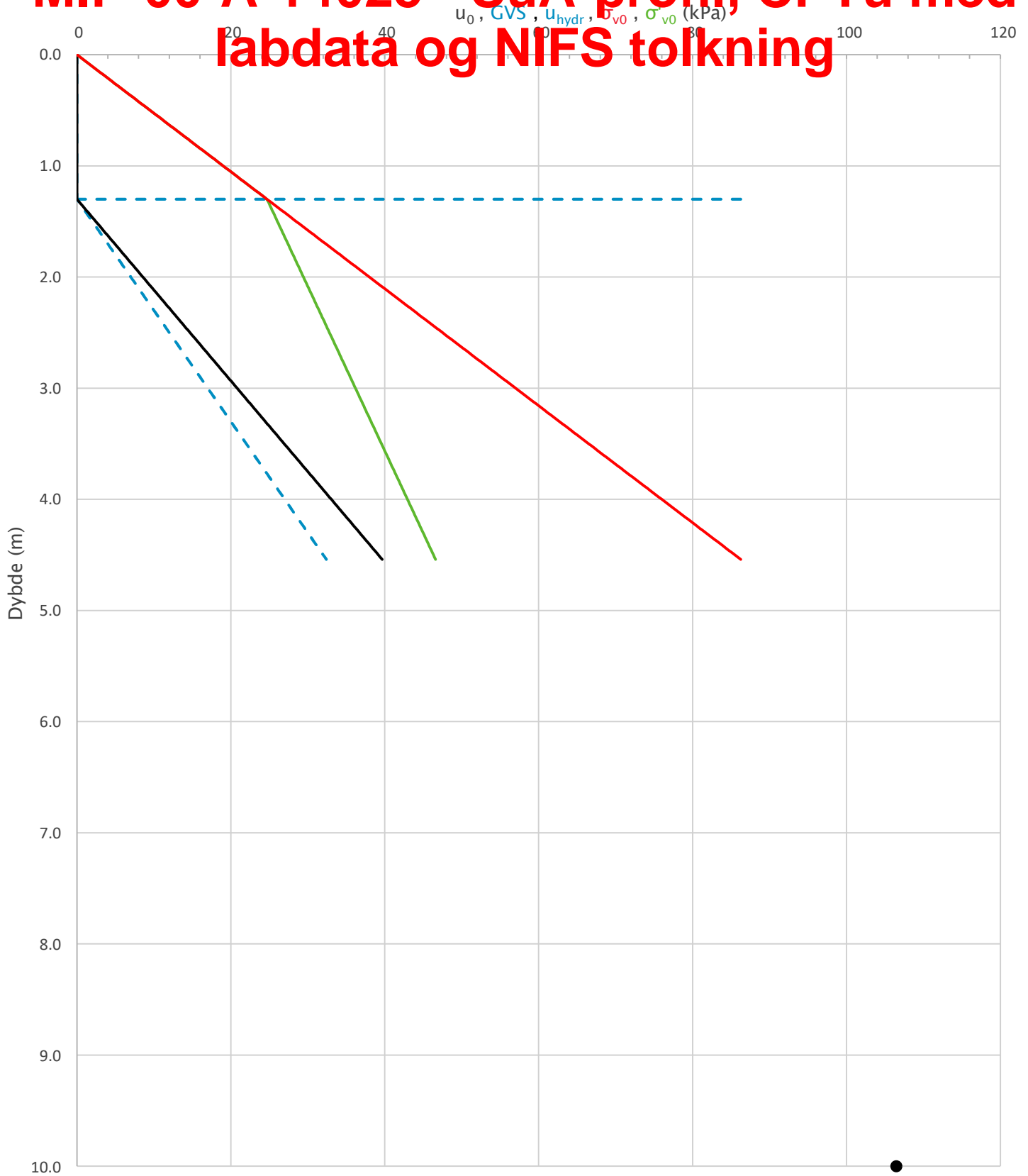
Prosjekt	Prosjektnummer: 900078 Rapportnummer: MIP-00-A-14024			Borhull	Kote +108.5
<b>Ski hensetting</b>				<b>H262</b>	
Innhold	Tolkning av udrenert aktiv skjærfasthet			Sondennummer	<b>4634</b>
 <b>Statens vegvesen</b>	Utført	Kontrollert	Godkjent	Anvend.klasse	<b>1</b>
	SOHJ/JAJE	ABC	TTR		
	Divisjon	Dato sondering	Revisjon	Figur	<b>5</b>
Ekstern konsulent	21.10.2020	Rev. dato			


# MIP-00-A-14025 - SuA-profil, CPTu med labdata og NIFS tolkning



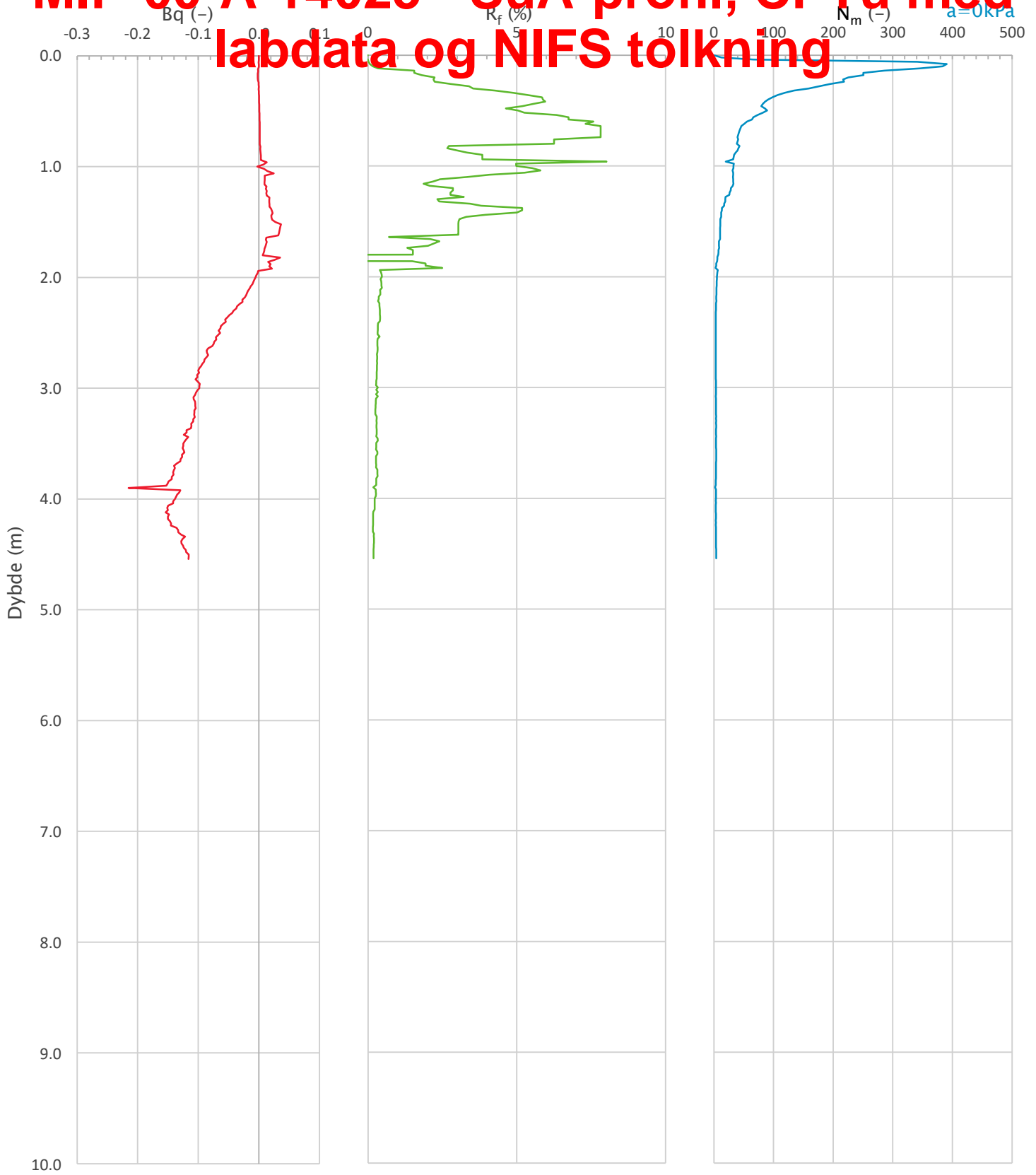
Prosjekt		Prosjektnummer: 900078 Rapportnummer: MIP-00-A-14024		Borhull	Kote +108.5
<b>Ski hensetting</b>				<b>H262</b>	
Innhold		Jordartsklassifisering etter NIFS 2015 – detektering av sensitive materialer		Sondennummer	
				<b>4634</b>	
 <b>Statens vegvesen</b>	Utført	Kontrollert	Godkjent	Anvend.klasse	1
	SOHJ/JAJE	ABC	TTR	Figur	21
	Divisjon	Dato sondering	Revisjon		
	Ekstern konsulent	21.10.2020	Rev. dato		


# MIP-00-A-14025 - SuA-profil, CPTu med labdata og NIFS tolkning



Prosjekt		Prosjektnummer: 900078 Rapportnummer: MIP-00-A-14024		Borhull	Kote +107.2
<b>Ski Hensetting</b>				<b>H269</b>	
Innhold		In-situ poretrykk, total- og effektiv vertikalspenning i beregninger		Sondennummer	<b>4634</b>
 <b>Statens vegvesen</b>	Utført	Kontrollert	Godkjent	Anvend.klasse	
	SOHJ/JAJE	ABC	TTR	<b>3</b>	
	Divisjon	Dato sondering	Revisjon	Figur	
	Ekstern konsulent	19.10.2020	Rev. dato	<b>2</b>	

# MIP-00-A-14025 - SuA-profil, CPTu med labdata og NIFS tolkning



Prosjekt		Prosjektnummer: 900078 Rapportnummer: MIP-00-A-14024		Borhull	Kote +107.2
<b>Ski Hensetting</b>				<b>H269</b>	
Innhold				Sondennummer	
Avledede dimensjonsløse forhold				<b>4634</b>	
 <b>Statens vegvesen</b>	Utført	Kontrollert	Godkjent	Anvend.klasse	
	SOHJ/JAJE	ABC	TTR	<b>3</b>	
	Divisjon	Dato sondering	Revisjon	Figur	
	Ekstern konsulent	19.10.2020	Rev. dato	<b>4</b>	



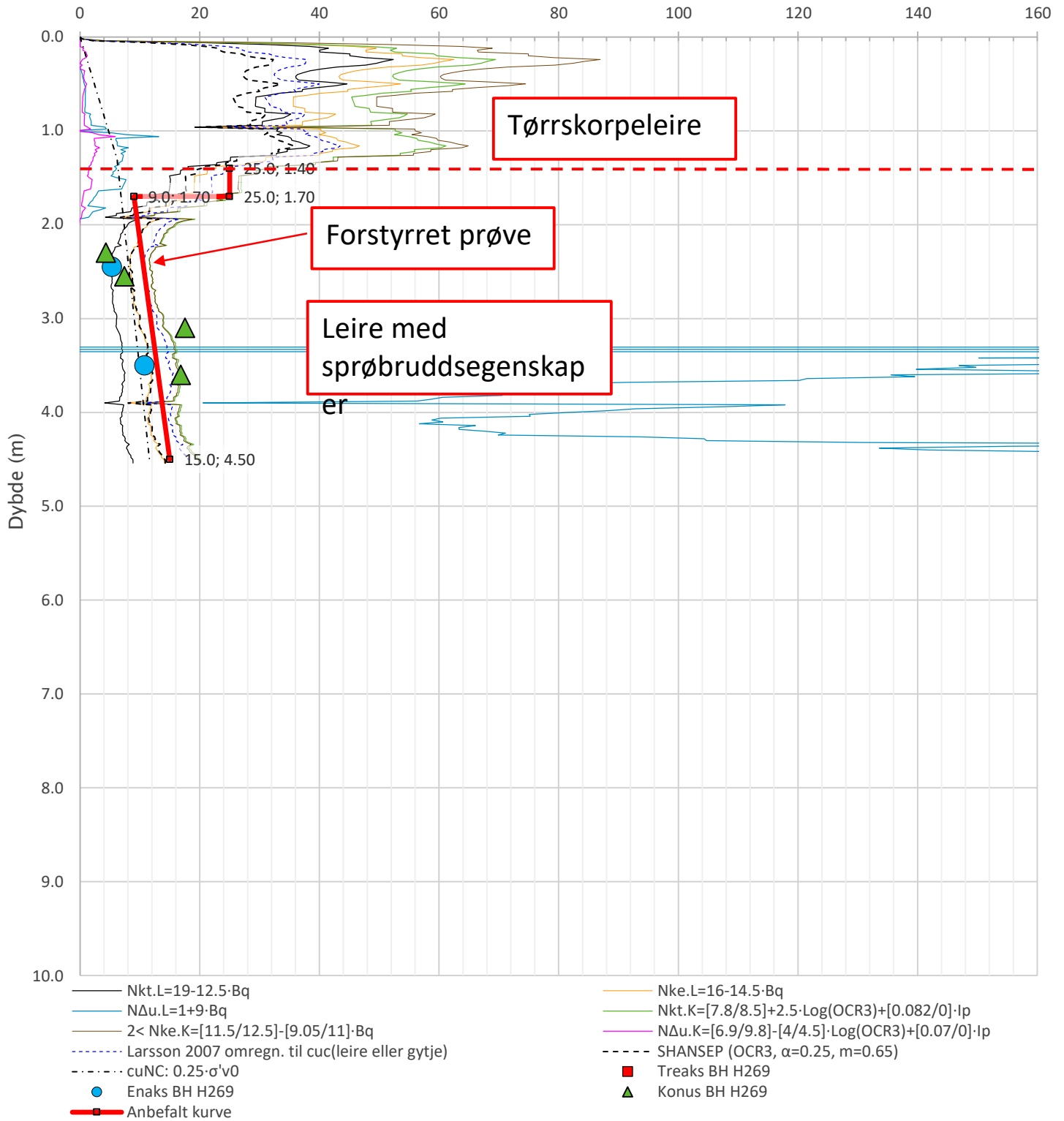
# MIP-00-A-14025 - SuA-profil, CPTu med labdata og NIFS tolkning


Anisotropiforhold i figur.

Enaks BH H269:  $c_{uc}/c_{ucptu} = var$  (min:0.630 max:0.635)

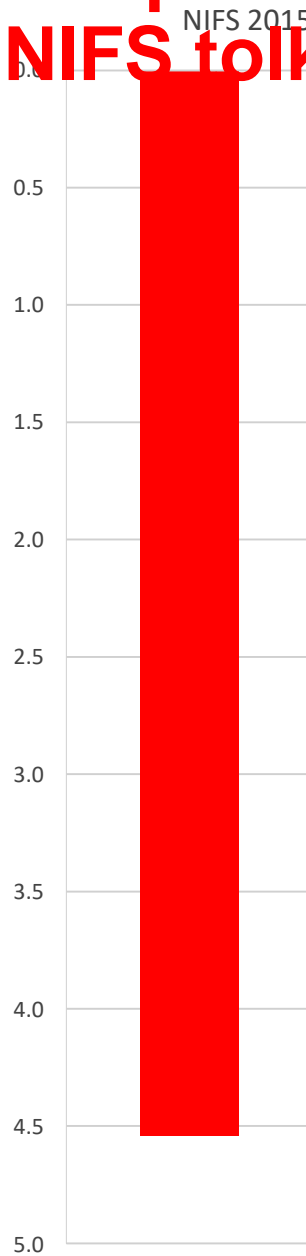
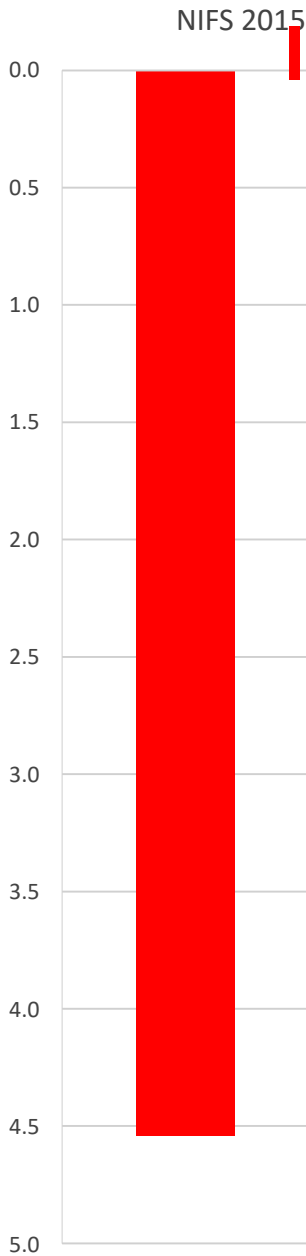
Konus BH H269:  $c_{ufc}/c_{ucptu} = var$  (min:0.630 max:0.636)

Udrenert aktiv skjærfasthet,  $c_{ucptu}$  (kPa)



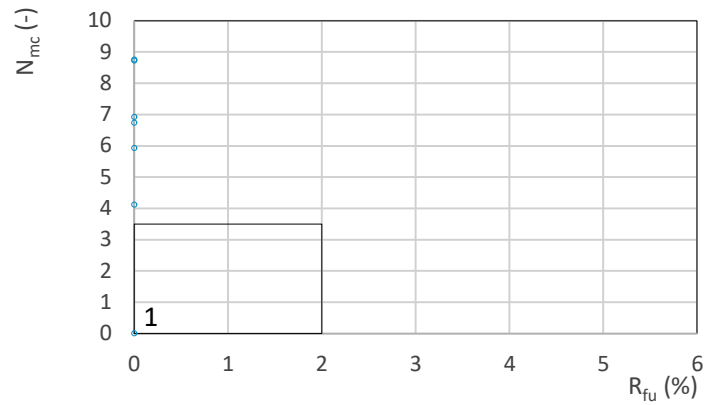
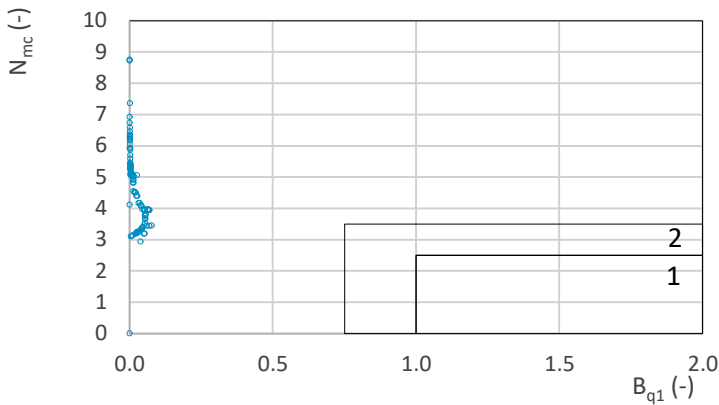
Prosjekt		Prosjektnummer: 900078 Rapportnummer: MIP-00-A-14024		Borhull	Kote +107.2
<b>Ski Hensetting</b>				<b>H269</b>	
Innhold				Sondenummer	
Tolkning av udrenert aktiv skjærfasthet				<b>4634</b>	
 <b>Statens vegvesen</b>	Utført	Kontrollert	Godkjent	Anvend.klasse	
	SOHJ/JAJE	ABC	TTR	<b>3</b>	
	Divisjon	Dato sondering	Revisjon	Figur	
Ekstern konsulent	19.10.2020	Rev. dato	<b>5</b>		

# MIP-00-A-14025 - SuA-profil, CPTu med labdata og NIFS tolkning



■ 0. Outside model

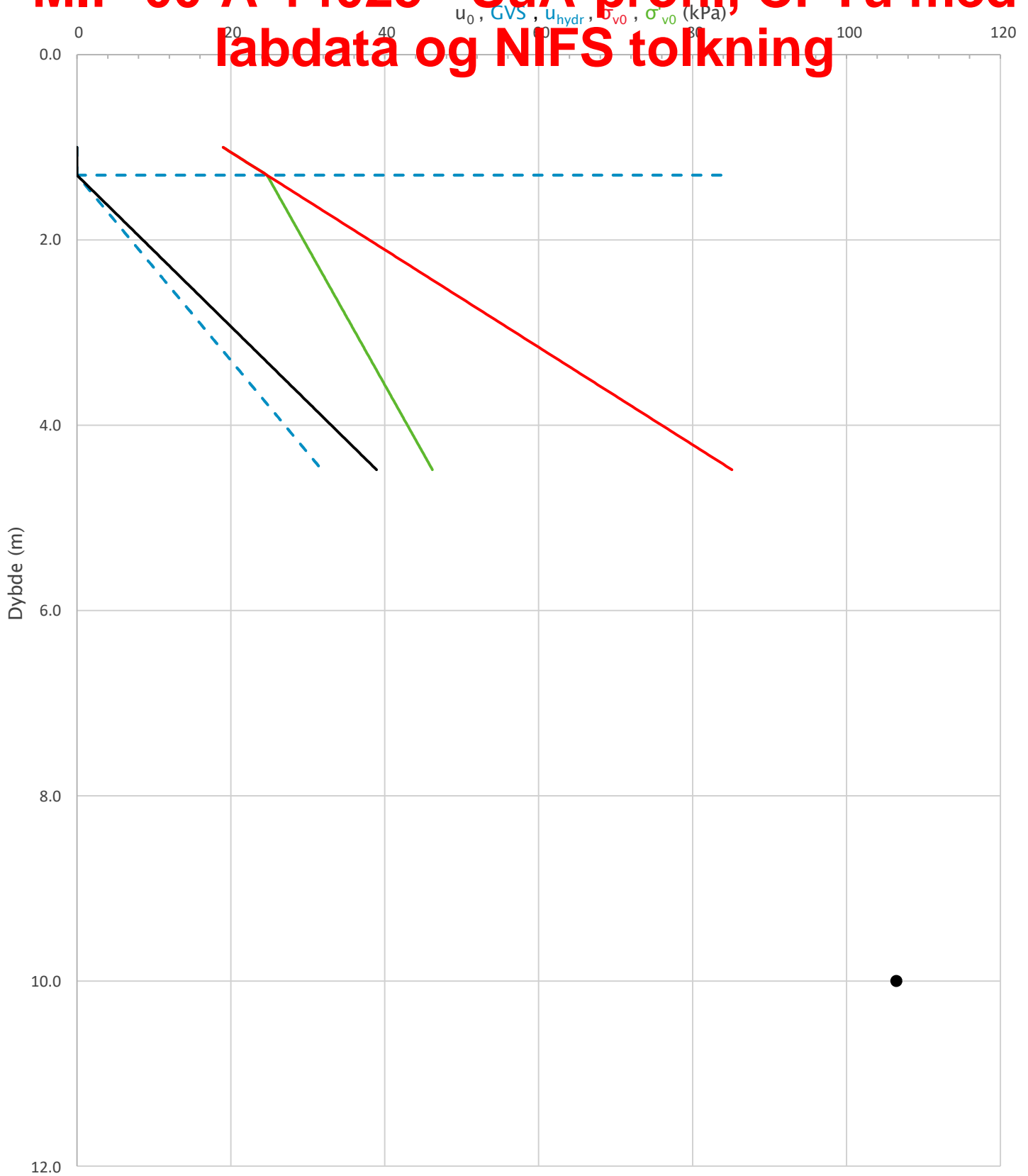
■ 0. Outside model




Prosjekt		Prosjektnummer: 900078 Rapportnummer: MIP-00-A-14024		Borhull	Kote +107.2
<b>Ski Hensetting</b>				<b>H269</b>	
Innhold		Jordartsklassifisering etter NIFS 2015 – detektering av sensitive materialer		Sondennummer	
				<b>4634</b>	
 <b>Statens vegvesen</b>	Utført	Kontrollert	Godkjent	Anvend.klasse	
	SOHJ/JAJE	ABC	TTR	<b>3</b>	
	Divisjon	Dato sondering	Revisjon	Figur	
	Ekstern konsulent	19.10.2020	Rev. dato	<b>21</b>	

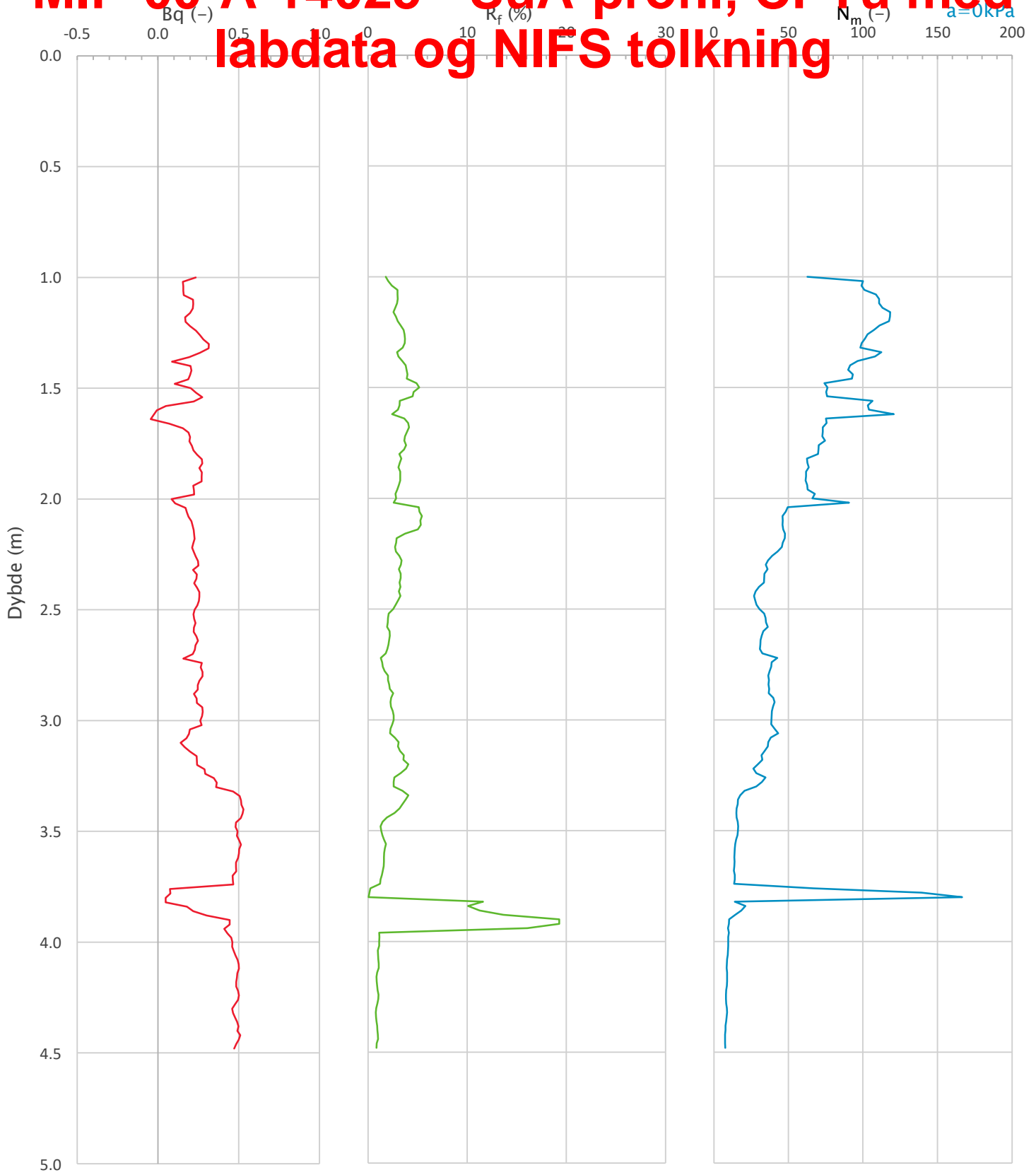
**B186**


# MIP-00-A-14025 - SuA-profil, CPTu med labdata og NIFS tolkning



Prosjekt	Prosjektnummer: 900078 Rapportnummer: MIP-00-A-14024			Borhull	Kote +108.9
<b>Ski Hensetting</b>				<b>H281</b>	
Innhold	In-situ poretrykk, total- og effektiv vertikalspenning i beregninger			Sondennummer	<b>5310</b>
 <b>Statens vegvesen</b>	Utført	Kontrollert	Godkjent	Anvend.klasse	<b>2</b>
	SOHJ	JAJE	TTR	Figur	<b>2</b>
	Divisjon	Dato sondering	Revisjon		
	Ekstern konsulent	28.09.2020	Rev. dato		

# MIP-00-A-14025 - SuA-profil, CPTu med labdata og NIFS tolkning



Prosjekt		Prosjektnummer: 900078 Rapportnummer: MIP-00-A-14024		Borhull	Kote +108.9
<b>Ski Hensetting</b>				<b>H281</b>	
Innhold				Sondennummer	
Avledede dimensjonsløse forhold				<b>5310</b>	
 <b>Statens vegvesen</b>	Utført	Kontrollert	Godkjent	Anvend.klasse	
	SOHJ	JAJE	TTR	2	
	Divisjon	Dato sondering	Revisjon	Figur	
	Ekstern konsulent	28.09.2020	Rev. dato	4	

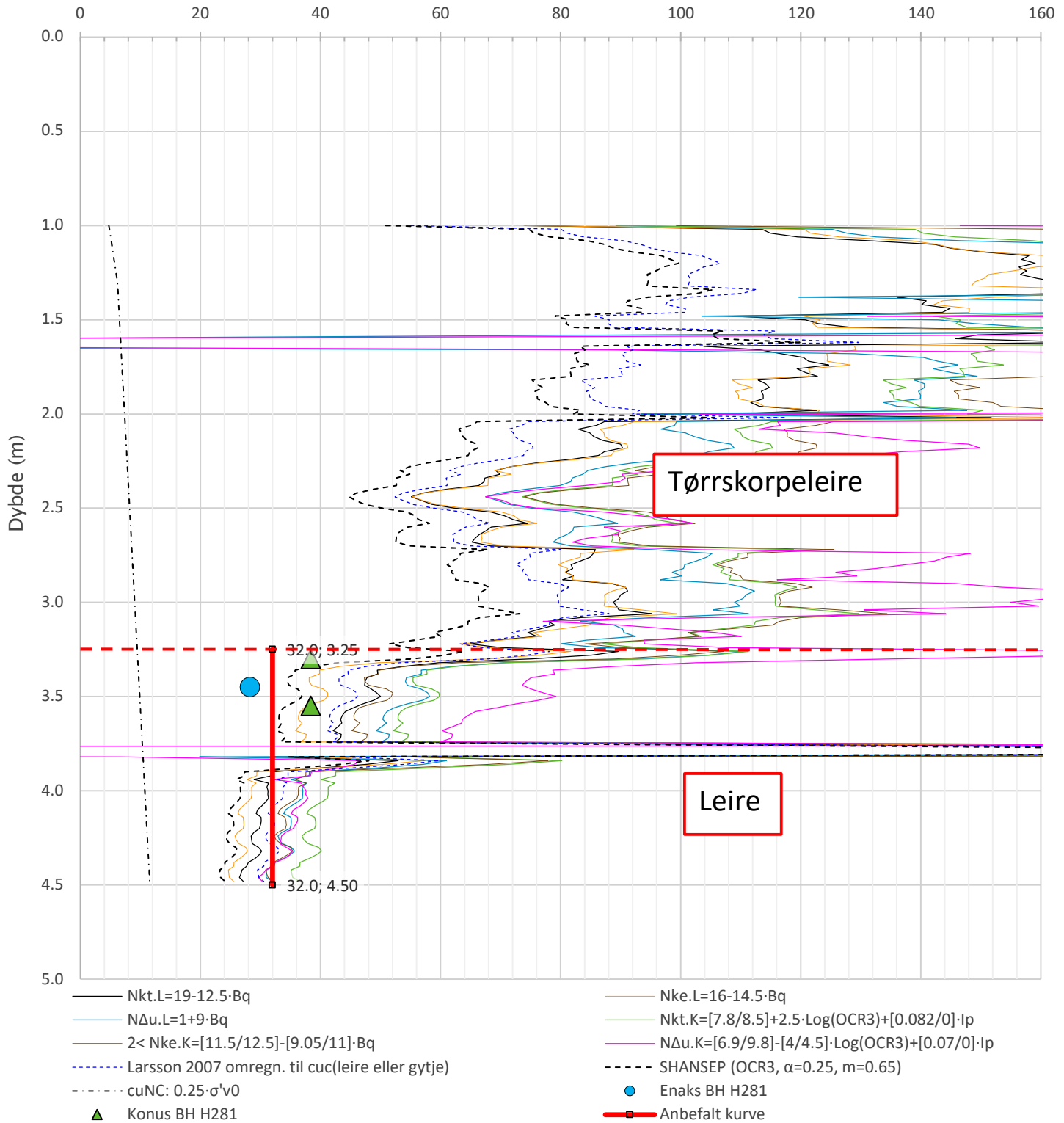
# MIP-00-A-14025 - SuA-profil, CPTu med labdata og NIFS tolkning


Anisotropiforhold i figur.

Enaks BH H281:  $c_{uc}/c_{ucptu} = var$  (min:0.630 max:0.669)

Konus BH H281:  $c_{ufc}/c_{ucptu} = var$  (min:0.630 max:0.669)

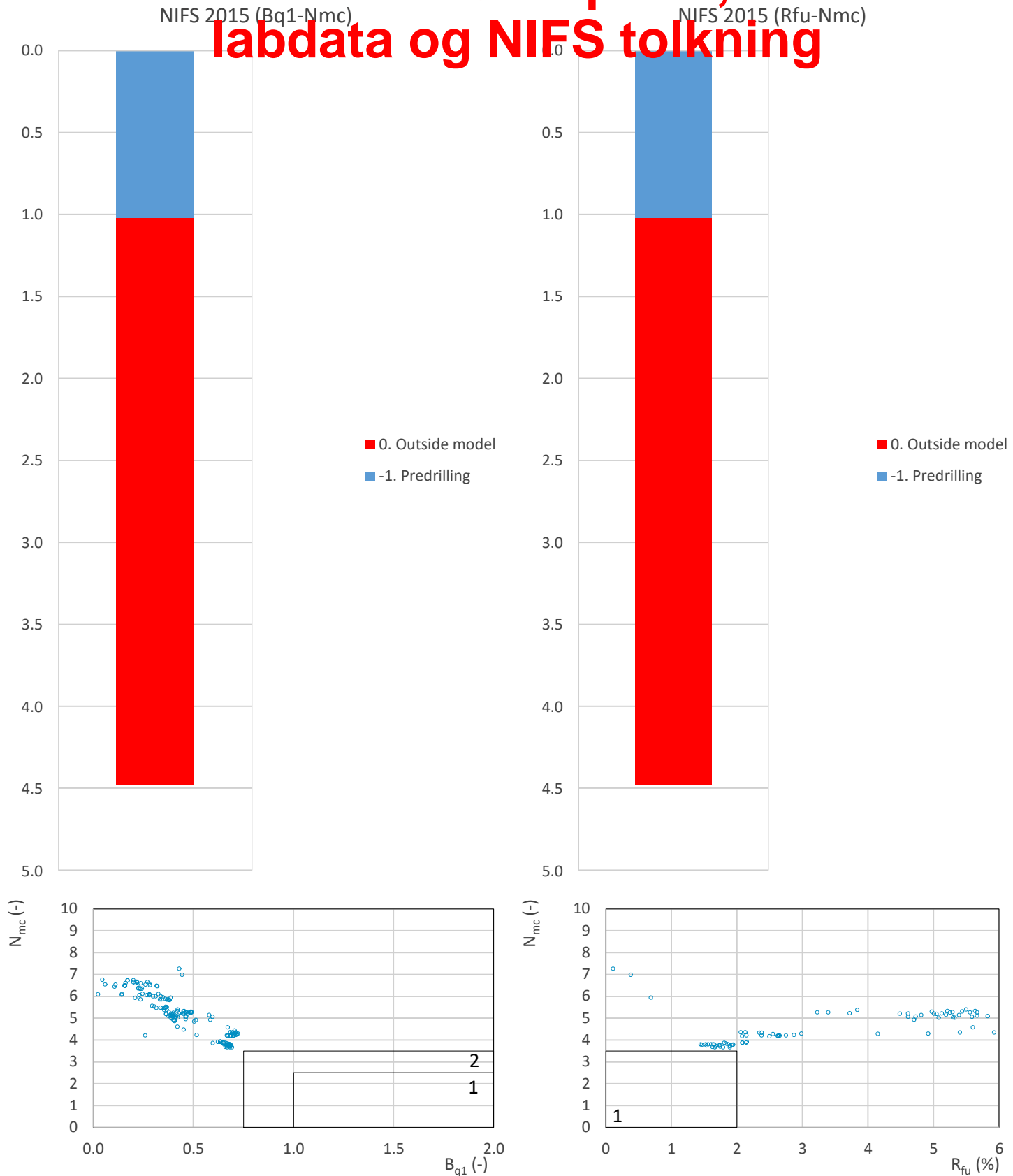
Udrenert aktiv skjærfasthet,  $c_{ucptu}$  (kPa)



Prosjekt	Prosjektnummer: 900078 Rapportnummer: MIP-00-A-14024		Borhull	Kote +108.9
<b>Ski Hensetting</b>			<b>H281</b>	
Innhold			Sondenummer	
Tolkning av udrenert aktiv skjærfasthet			<b>5310</b>	
 <b>Statens vegvesen</b>	Utført	Kontrollert	Godkjent	Anvend.klasse
	SOHJ	JAJE	TTR	<b>2</b>
	Divisjon	Dato sondering	Revisjon	Figur
Ekstern konsulent	28.09.2020	Rev. dato	<b>5</b>	

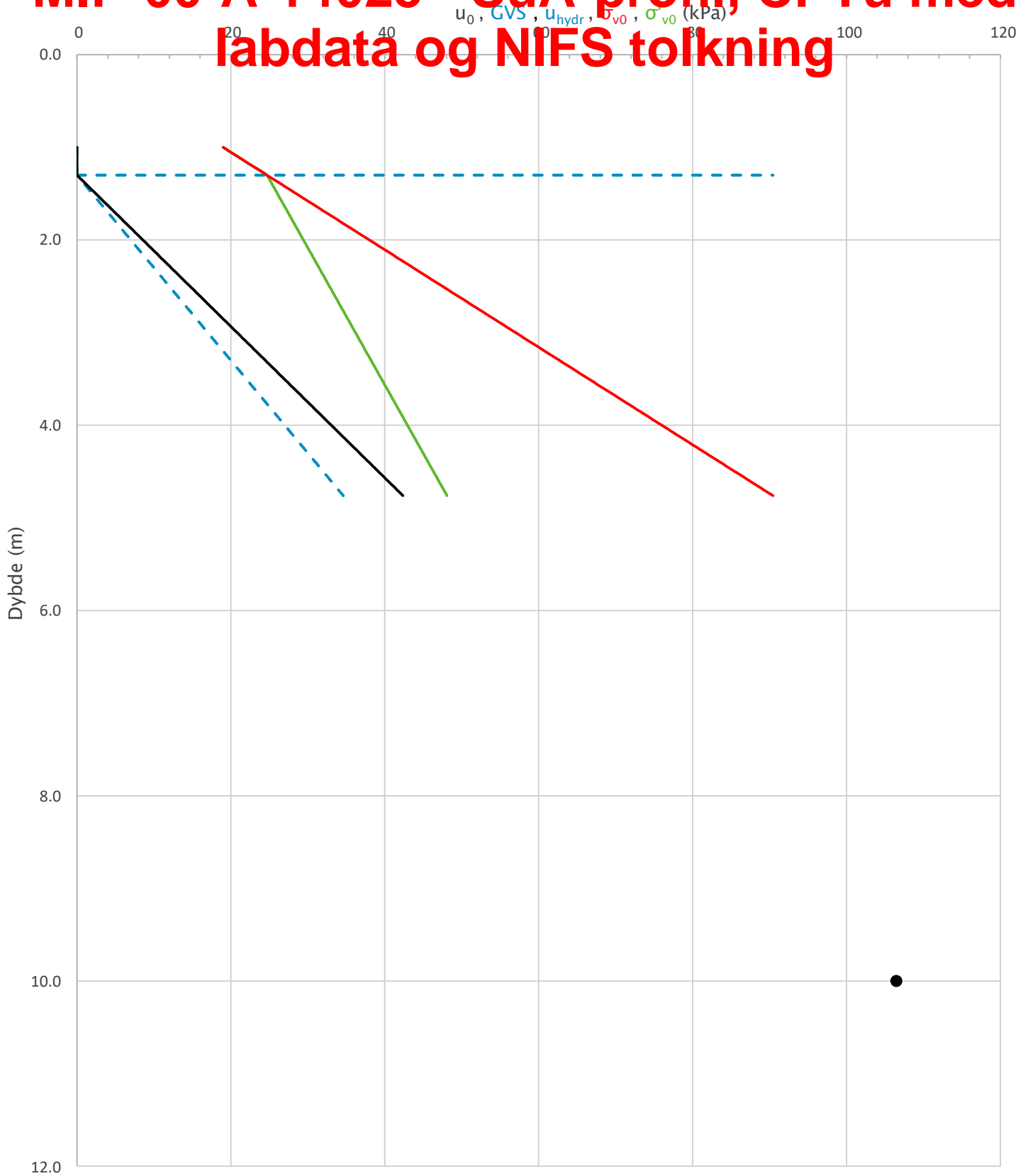



# MIP-00-A-14025 - SuA-profil, CPTu med labdata og NIFS tolkning



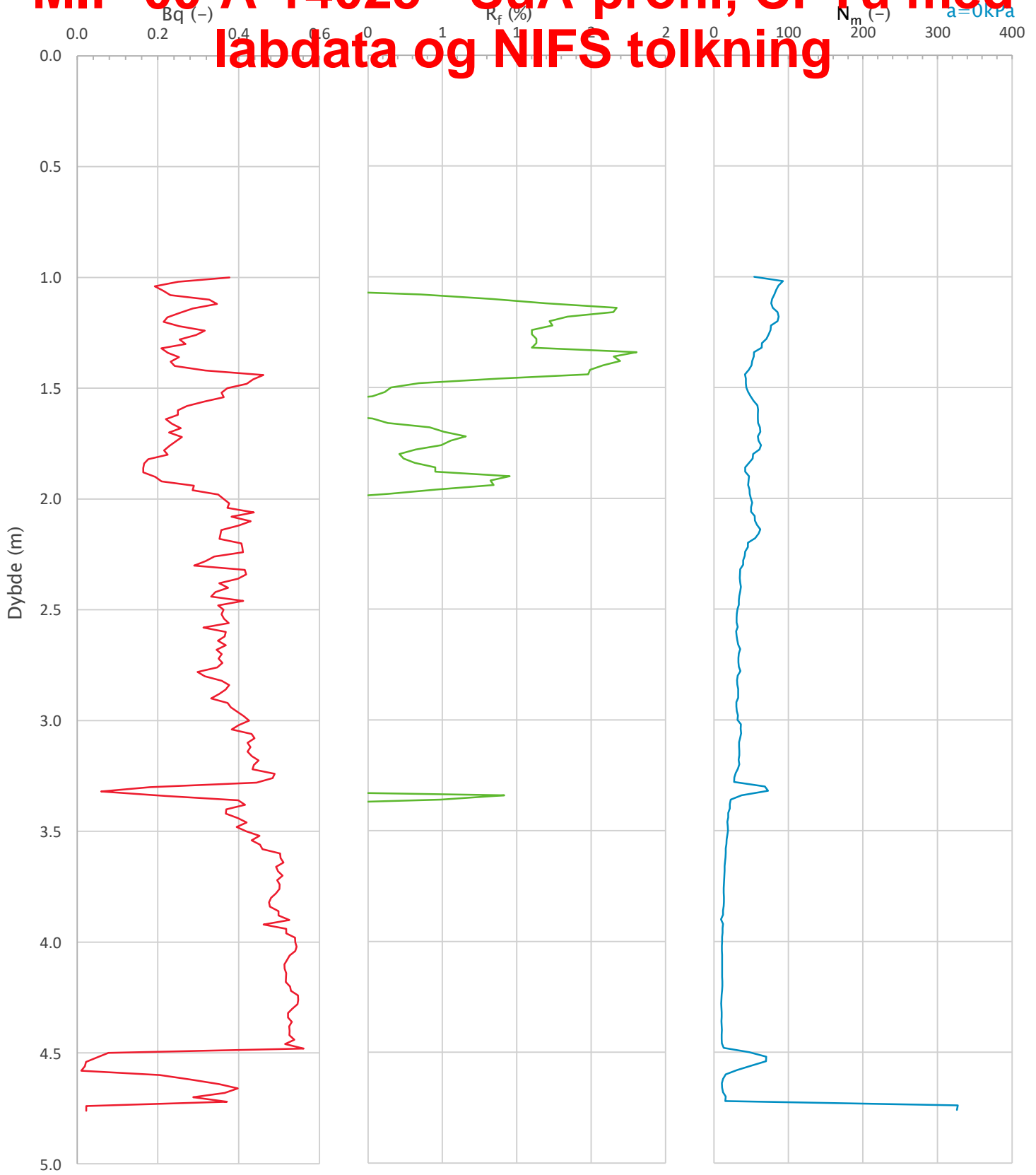
Prosjekt		Prosjektnummer: 900078 Rapportnummer: MIP-00-A-14024		Borhull	Kote +108.9
<b>Ski Hensetting</b>				<b>H281</b>	
Innhold		Jordartsklassifisering etter NIFS 2015 – detektering av sensitive materialer		Sondenummer	
				<b>5310</b>	
 <b>Statens vegvesen</b>	Utført	Kontrollert	Godkjent	Anvend.klasse	<b>2</b>
	SOHJ	JAJE	TTR		
	Divisjon	Dato sondering	Revisjon	Figur	<b>21</b>
	Ekstern konsulent	28.09.2020	Rev. dato		


# MIP-00-A-14025 - SuA-profil, CPTu med labdata og NIFS tolkning



Prosjekt	Prosjektnummer: 900078 Rapportnummer: MIP-00-A-14024			Borhull	Kote +110
<b>Ski Hensetting</b>				<b>H284</b>	
Innhold	In-situ poretrykk, total- og effektiv vertikalspenning i beregninger			Sondennummer	<b>5310</b>
 <b>Statens vegvesen</b>	Utført	Kontrollert	Godkjent	Anvend.klasse	<b>2</b>
	SOHJ	JAJE	TTR	Figur	<b>2</b>
	Divisjon	Dato sondering	Revisjon		
	Ekstern konsulent	28.09.2020	Rev. dato		

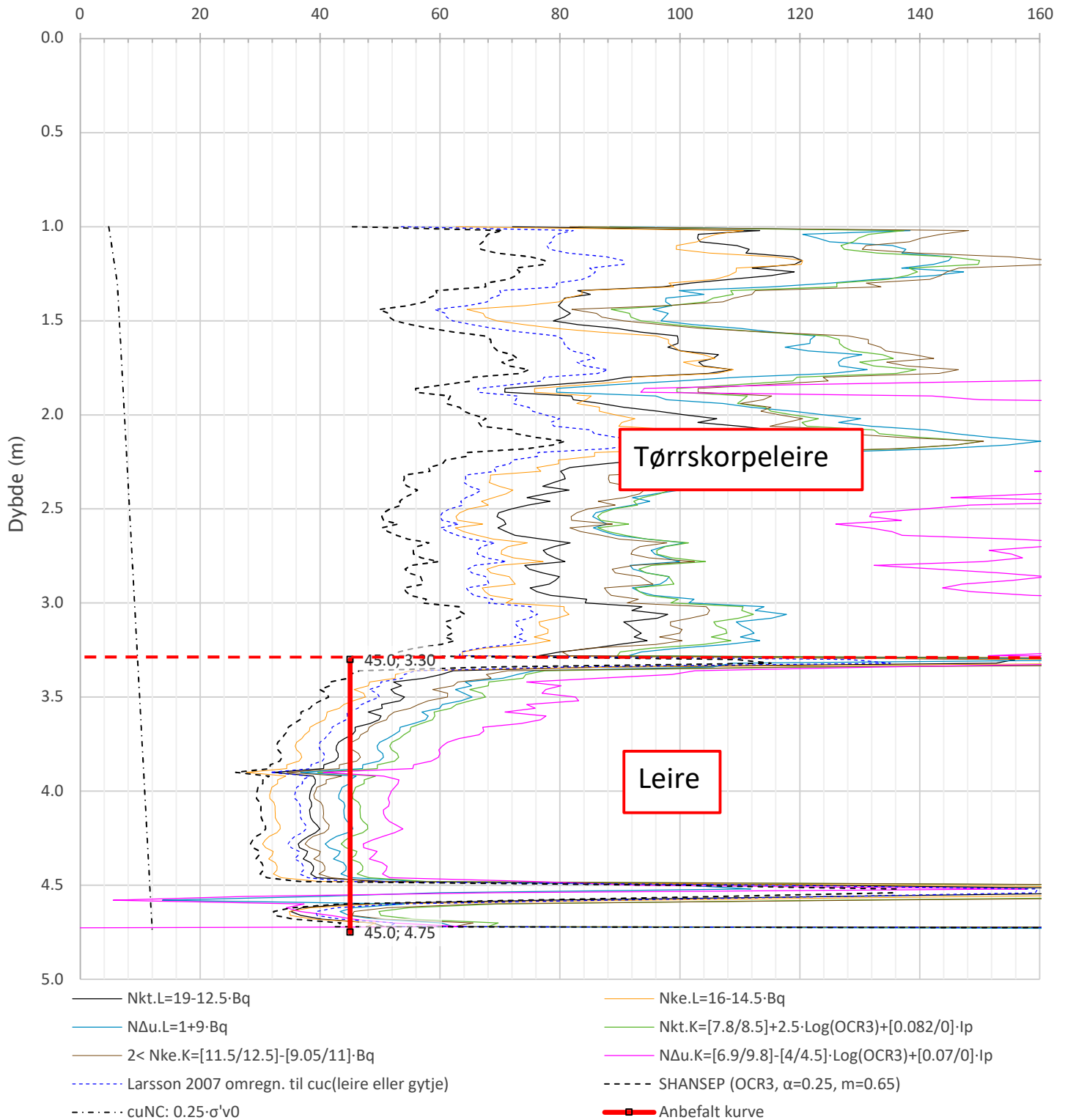
# MIP-00-A-14025 - SuA-profil, CPTu med labdata og NIFS tolkning




Prosjekt		Prosjektnummer: 900078 Rapportnummer: MIP-00-A-14024		Borhull	Kote +110
<b>Ski Hensetting</b>				<b>H284</b>	
Innhold				Sondennummer	
Avledede dimensjonsløse forhold				<b>5310</b>	
 <b>Statens vegvesen</b>	Utført	Kontrollert	Godkjent	Anvend.klasse	
	SOHJ	JAJE	TTR	2	
	Divisjon	Dato sondering	Revisjon	Figur	
	Ekstern konsulent	28.09.2020	Rev. dato	4	

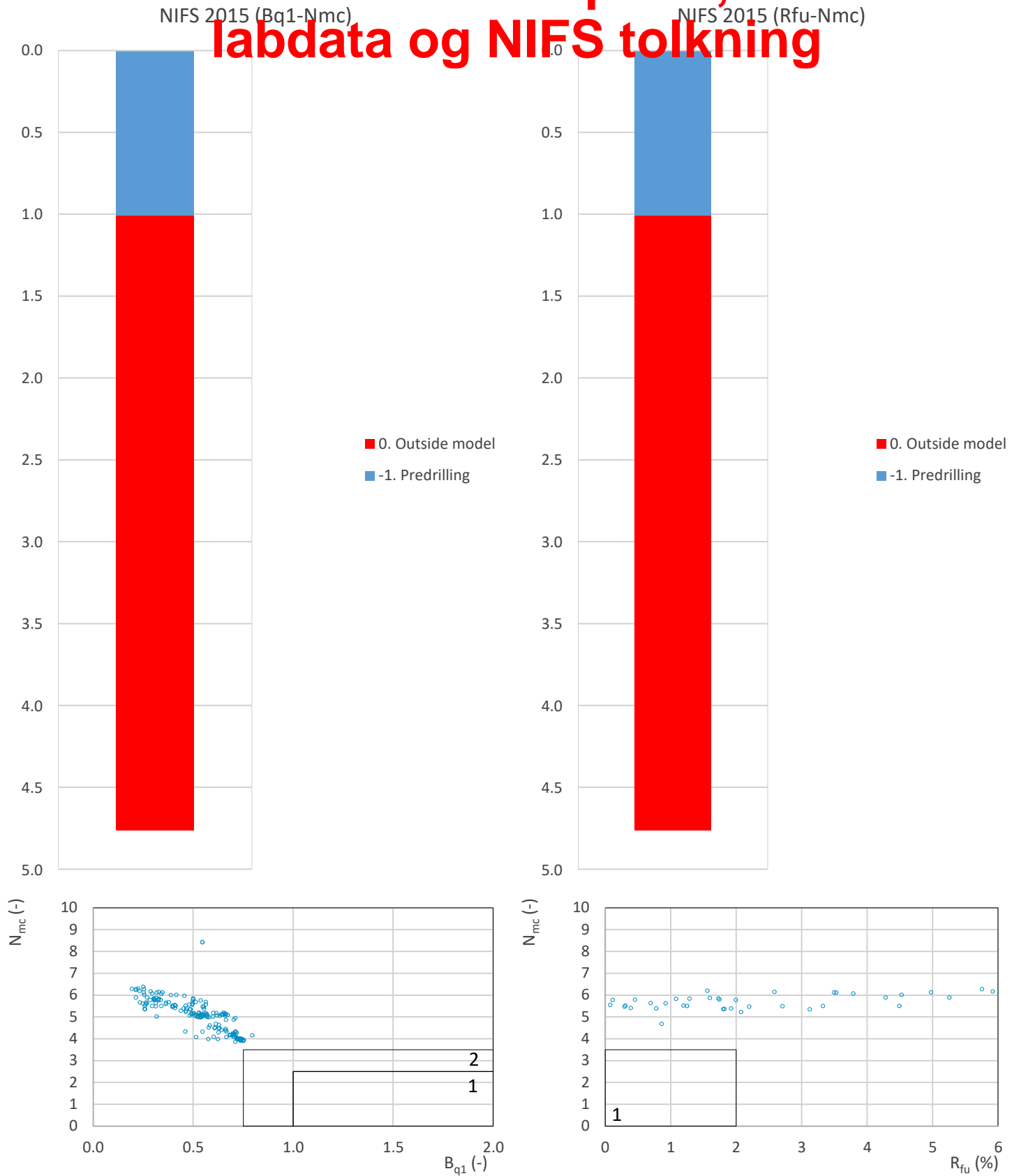
# MIP-00-A-14025 - SuA-profil, CPTu med labdata og NIFS tolkning

Udrenert aktiv skjærfasthet,  $c_{ucptu}$  (kPa)



Prosjekt	Prosjektnummer: 900078 Rapportnummer: MIP-00-A-14024		Borhull	Kote +110
<b>Ski Hensetting</b>			<b>H284</b>	
Innhold			Sondennummer	
Tolkning av udrenert aktiv skjærfasthet			<b>5310</b>	
 <b>Statens vegvesen</b>	Utført	Kontrollert	Godkjent	Anvend.klasse
	SOHJ	JAJE	TTR	<b>2</b>
	Divisjon	Dato sondering	Revisjon	Figur
Ekstern konsulent	28.09.2020	Rev. dato	<b>5</b>	

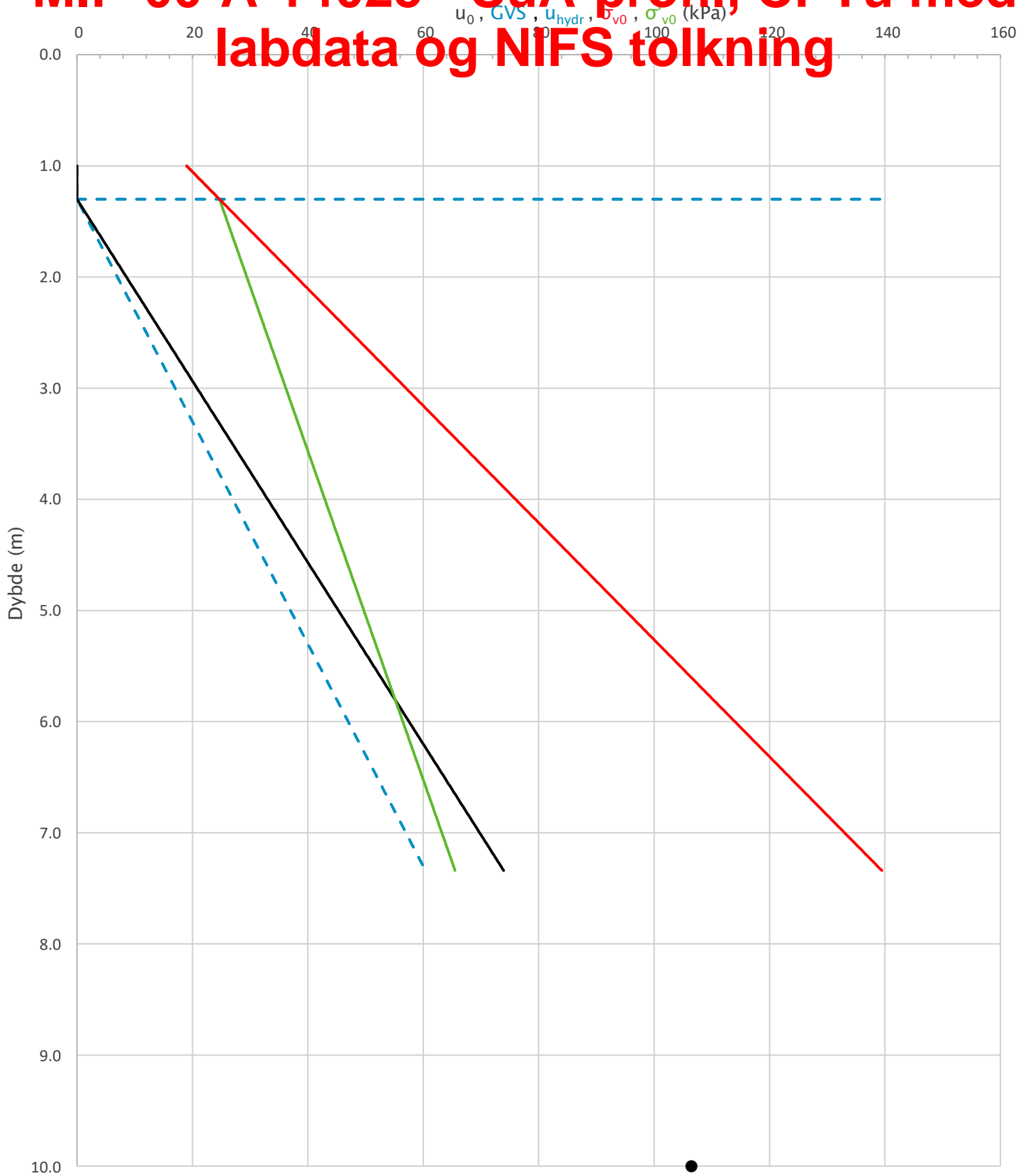
# MIP-00-A-14025 - SuA-profil, CPTu med labdata og NIFS tolkning




Prosjekt		Prosjektnummer: 900078 Rapportnummer: MIP-00-A-14024		Borhull	Kote +110
<b>Ski Hensetting</b>				<b>H284</b>	
Innhold		Jordartsklassifisering etter NIFS 2015 – detektering av sensitive materialer		Sondenummer	
				<b>5310</b>	
 <b>Statens vegvesen</b>	Utført	Kontrollert	Godkjent	Anvend.klasse	<b>2</b>
	SOHJ	JAJE	TTR		
	Divisjon	Dato sondering	Revisjon	Figur	<b>21</b>
	Ekstern konsulent	28.09.2020	Rev. dato		

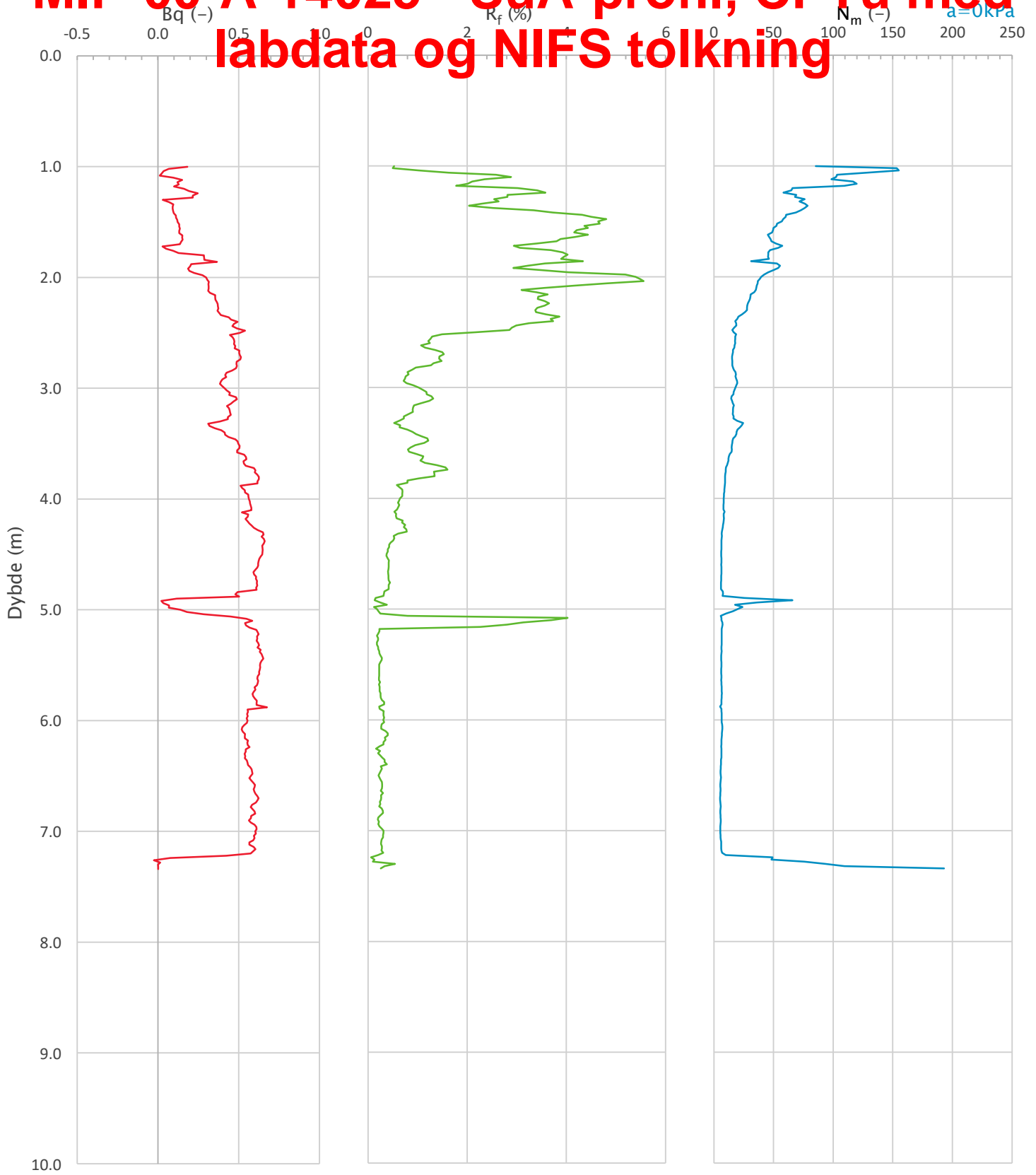



# MIP-00-A-14025 - SuA-profil, CPTu med labdata og NIFS tolkning



Prosjekt		Prosjektnummer: 900078 Rapportnummer: MIP-00-A-14024		Borhull	Kote +113.5
<b>Ski Hensetting</b>				<b>H289</b>	
Innhold		In-situ poretrykk, total- og effektiv vertikalspenning i beregninger		Sondennummer	<b>5310</b>
 <b>Statens vegvesen</b>	Utført	Kontrollert	Godkjent	Anvend.klasse	<b>1</b>
	SOHJ	JAJE	TTR		
	Divisjon	Dato sondering	Revisjon	Figur	<b>2</b>
	Ekstern konsulent	30.09.2020	Rev. dato		

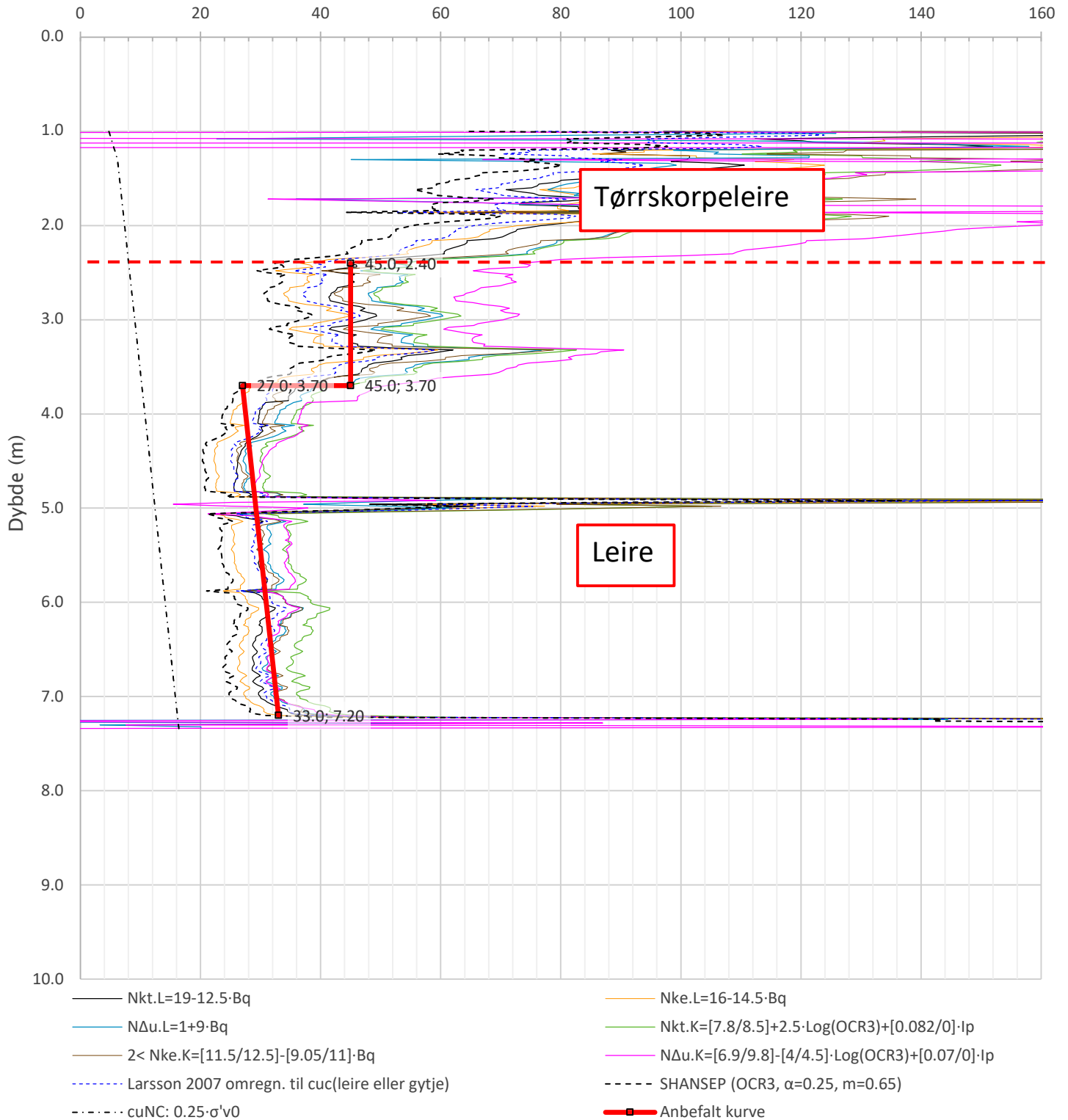
# MIP-00-A-14025 - SuA-profil, CPTu med labdata og NIFS tolkning




Prosjekt		Prosjektnummer: 900078 Rapportnummer: MIP-00-A-14024		Borhull	Kote +113.5
<b>Ski Hensetting</b>				<b>H289</b>	
Innhold				Sondennummer	
Avledede dimensjonsløse forhold				<b>5310</b>	
 <b>Statens vegvesen</b>	Utført	Kontrollert	Godkjent	Anvend.klasse	
	SOHJ	JAJE	TTR	1	
	Divisjon	Dato sondering	Revisjon	Figur	
	Ekstern konsulent	30.09.2020	Rev. dato	4	

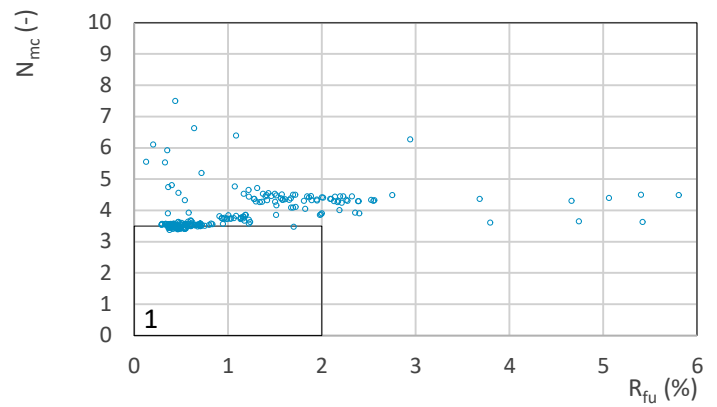
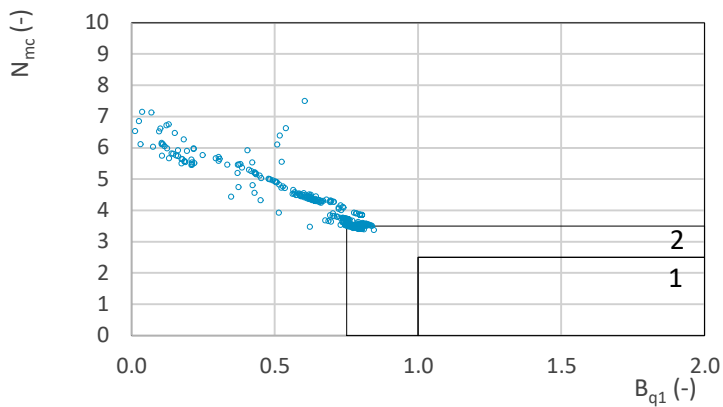
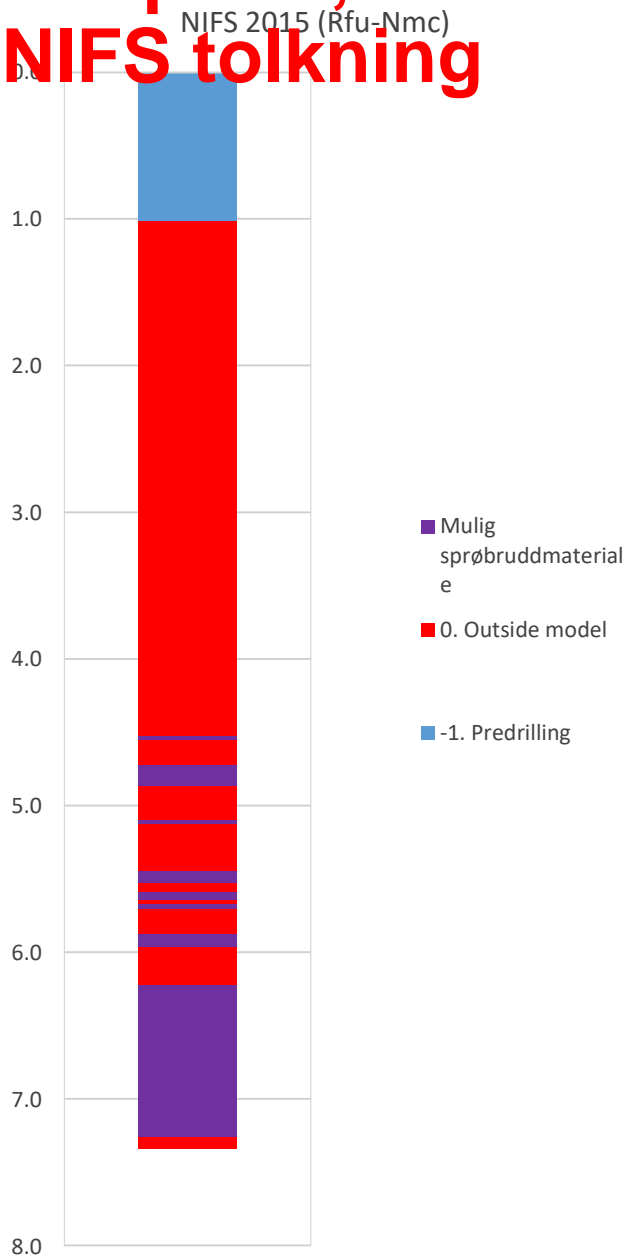
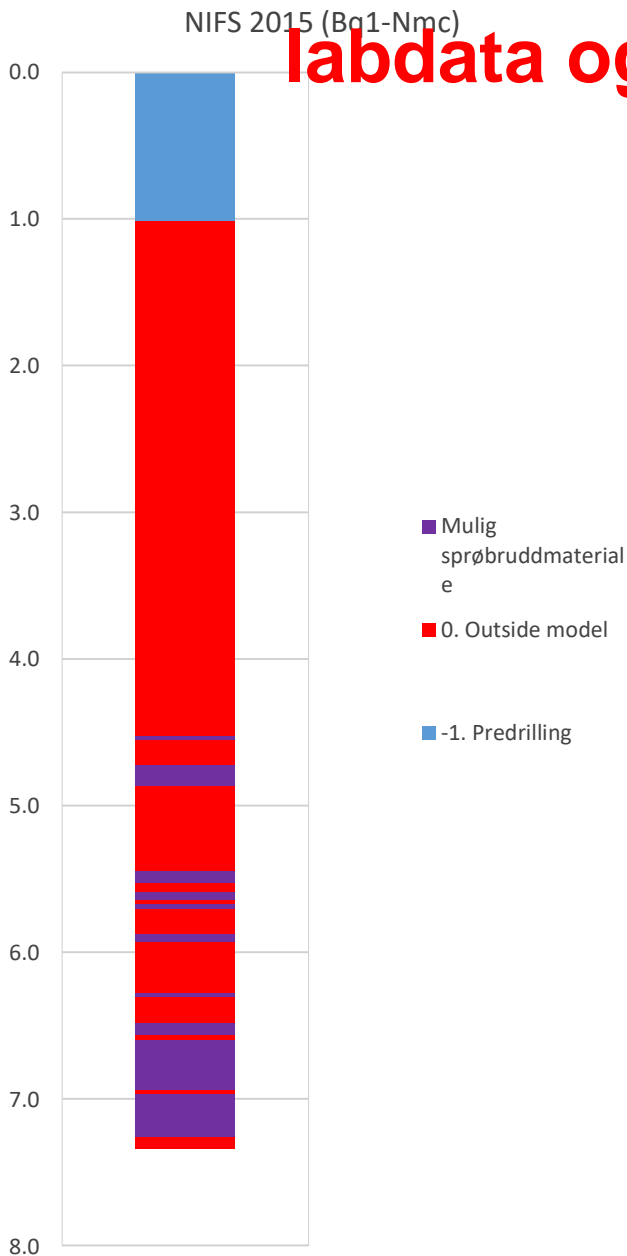
# MIP-00-A-14025 - SuA-profil, CPTu med labdata og NIFS tolkning

Udrenert aktiv skjærfasthet,  $c_{ucptu}$  (kPa)



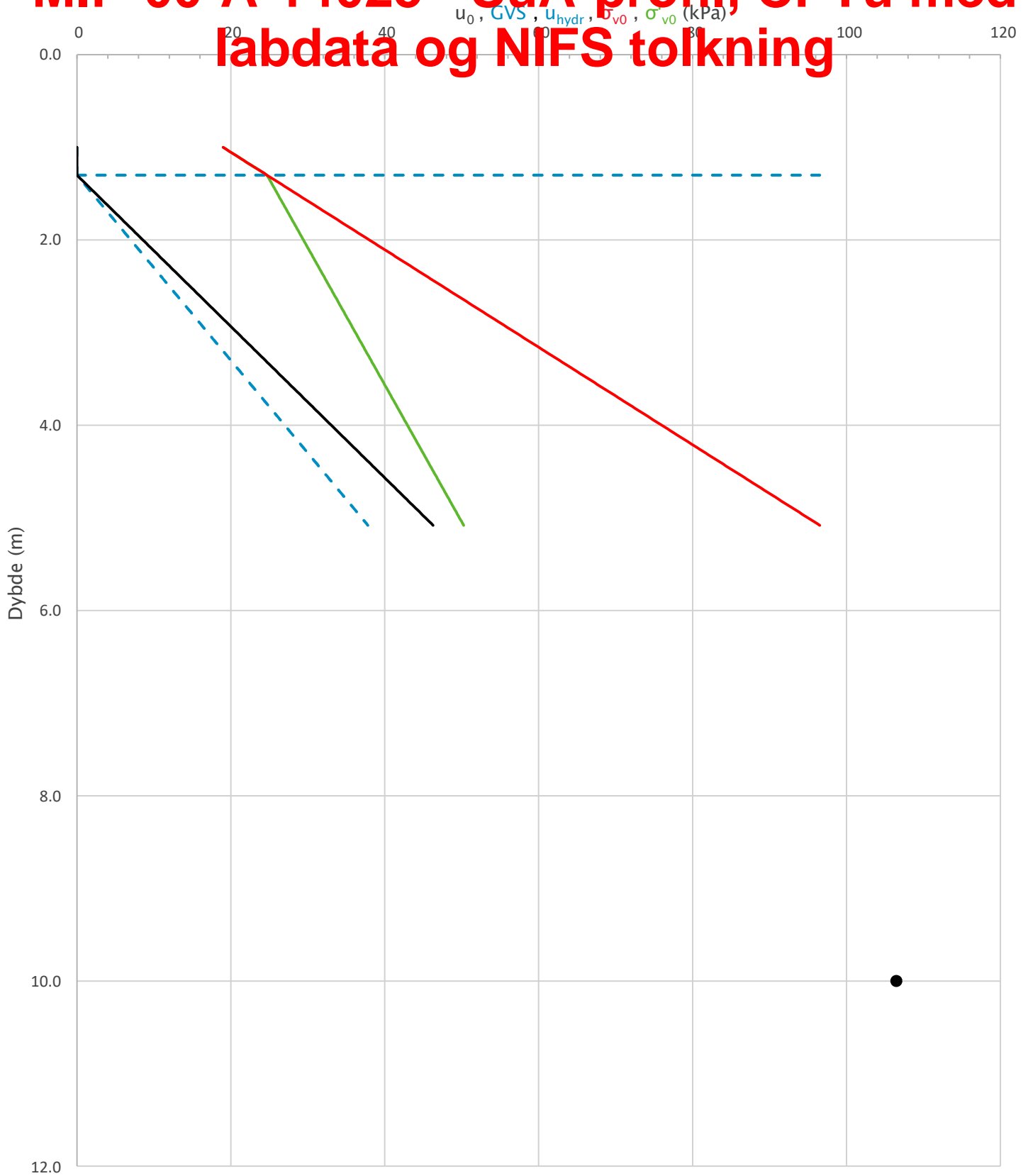
Prosjekt	Prosjektnummer: 900078 Rapportnummer: MIP-00-A-14024		Borhull	Kote +113.5
<b>Ski Hensetting</b>			<b>H289</b>	
Innhold	Tolkning av udrenert aktiv skjærfasthet		Sondennummer	<b>5310</b>
 <b>Statens vegvesen</b>	Utført	Kontrollert	Godkjent	Anvend.klasse
	SOHJ	JAJE	TTR	1
	Divisjon	Dato sondering	Revisjon	Figur
Ekstern konsulent	30.09.2020	Rev. dato	5	


# MIP-00-A-14025 - SuA-profil, CPTu med labdata og NIFS tolkning



Prosjekt			Prosjektnummer: 900078 Rapportnummer: MIP-00-A-14024		Borhull	Kote +113.5
<b>Ski Hensetting</b>					<b>H289</b>	
Innhold			Jordartsklassifisering etter NIFS 2015 – detektering av sensitive materialer		Sondennummer	
					<b>5310</b>	
 <b>Statens vegvesen</b>	Utført	Kontrollert	Godkjent	Anvend.klasse		
	SOHJ	JAJE	TTR	1		
	Divisjon	Dato sondering	Revisjon	Figur		
	Ekstern konsulent	30.09.2020	Rev. dato	21		

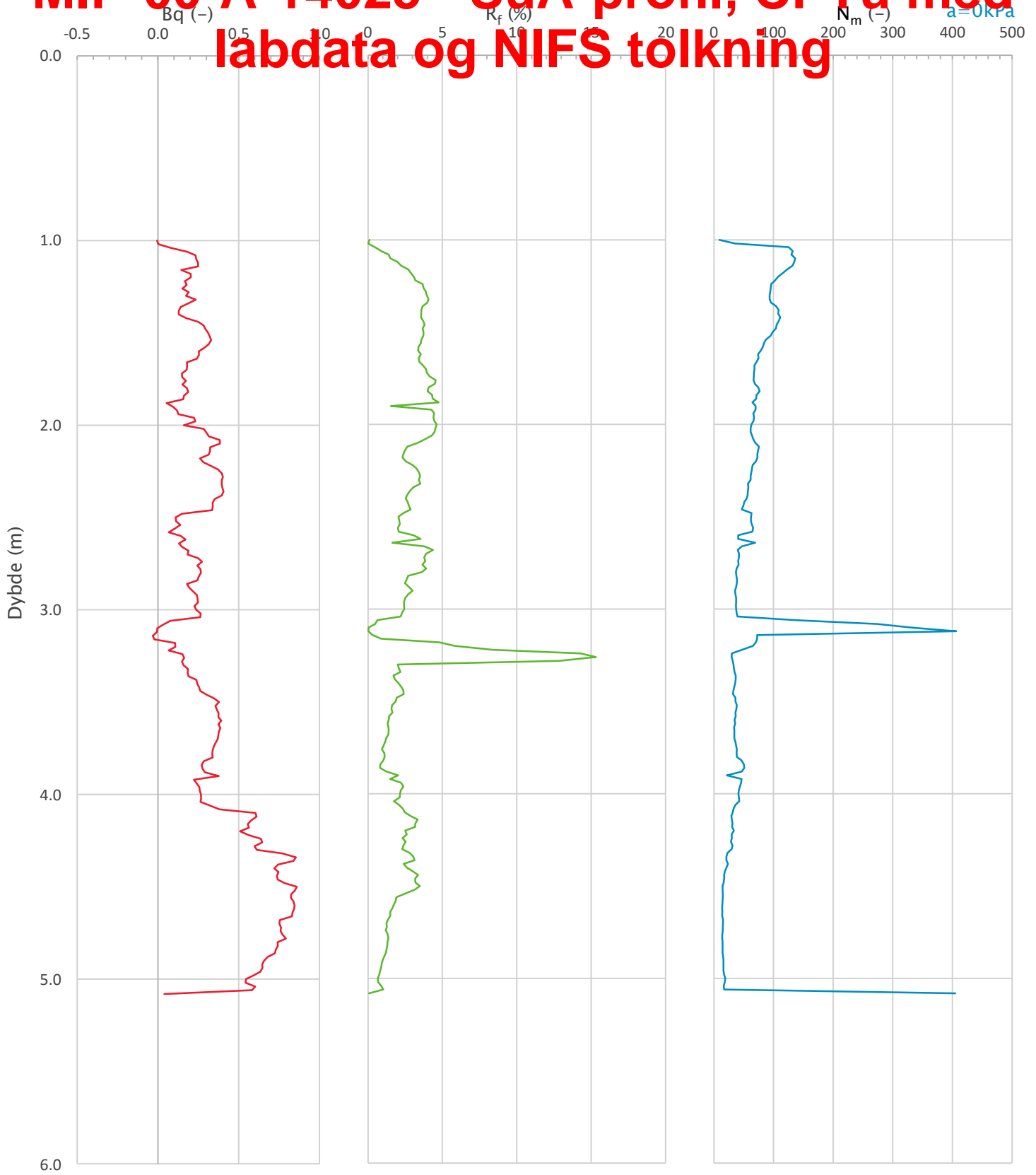
# MIP-00-A-14025 - SuA-profil, CPTu med labdata og NIFS tolkning




Prosjekt		Prosjektnummer: 900078 Rapportnummer: MIP-00-A-14024		Borhull	Kote +116.3
<b>Ski Hensetting</b>				<b>H291</b>	
Innhold		In-situ poretrykk, total- og effektiv vertikalspenning i beregninger		Sondennummer	
				<b>5310</b>	
 <b>Statens vegvesen</b>	Utført	Kontrollert	Godkjent	Anvend.klasse	
	SOHJ	JAJE	TTR	1	
	Divisjon	Dato sondering	Revisjon	Figur	
	Ekstern konsulent	28.09.2020	Rev. dato	2	



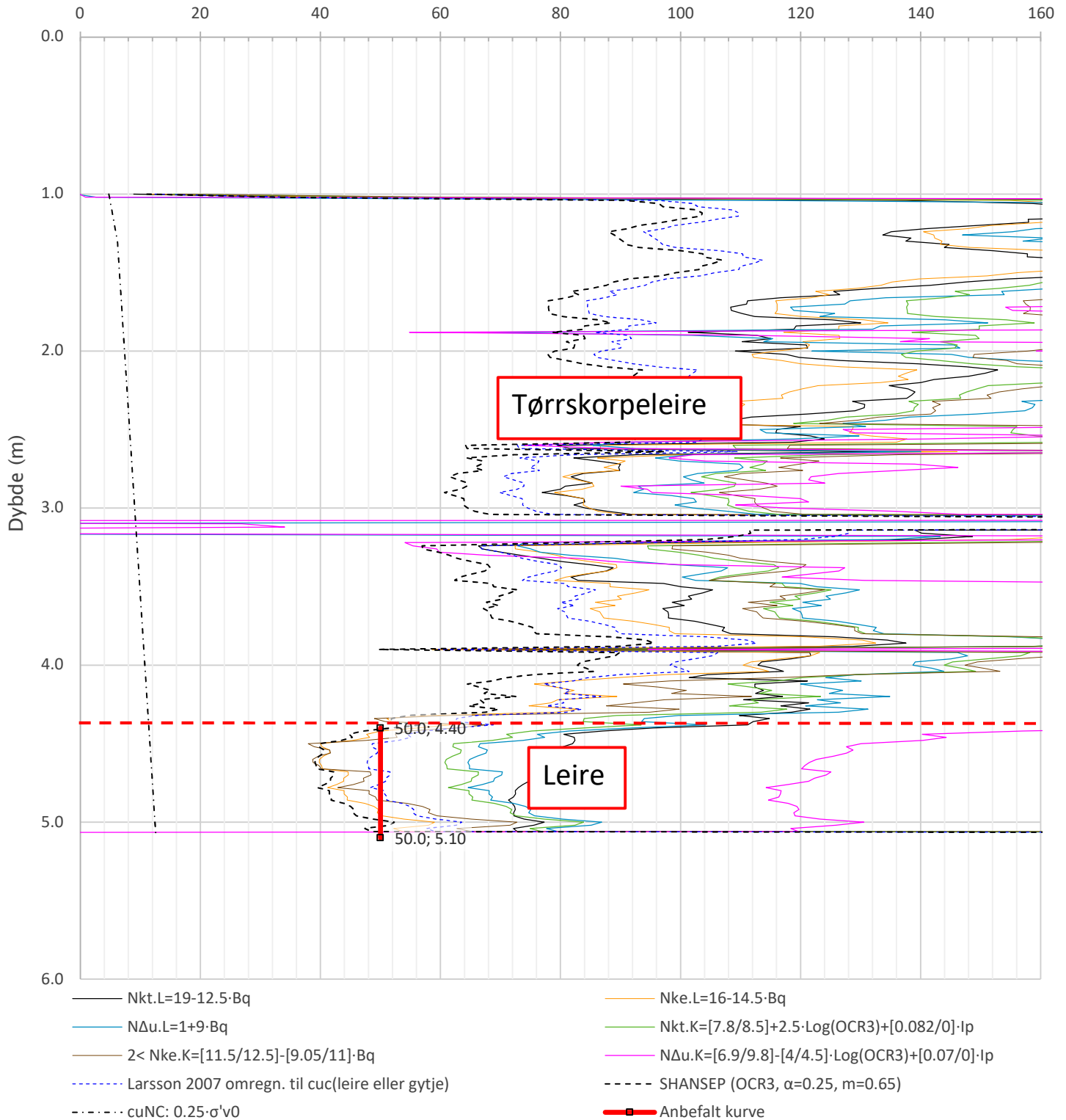
# MIP-00-A-14025 - SuA-profil, CPTu med labdata og NIFS tolkning




Prosjekt		Prosjektnummer: 900078 Rapportnummer: MIP-00-A-14024		Borhull	Kote +116.3
<b>Ski Hensetting</b>				<b>H291</b>	
Innhold				Sondennummer	
Avledede dimensjonsløse forhold				<b>5310</b>	
 <b>Statens vegvesen</b>	Utført	Kontrollert	Godkjent	Anvend.klasse	
	SOHJ	JAJE	TTR	1	
	Divisjon	Dato sondering	Revisjon	Figur	
	Ekstern konsulent	28.09.2020	Rev. dato	4	

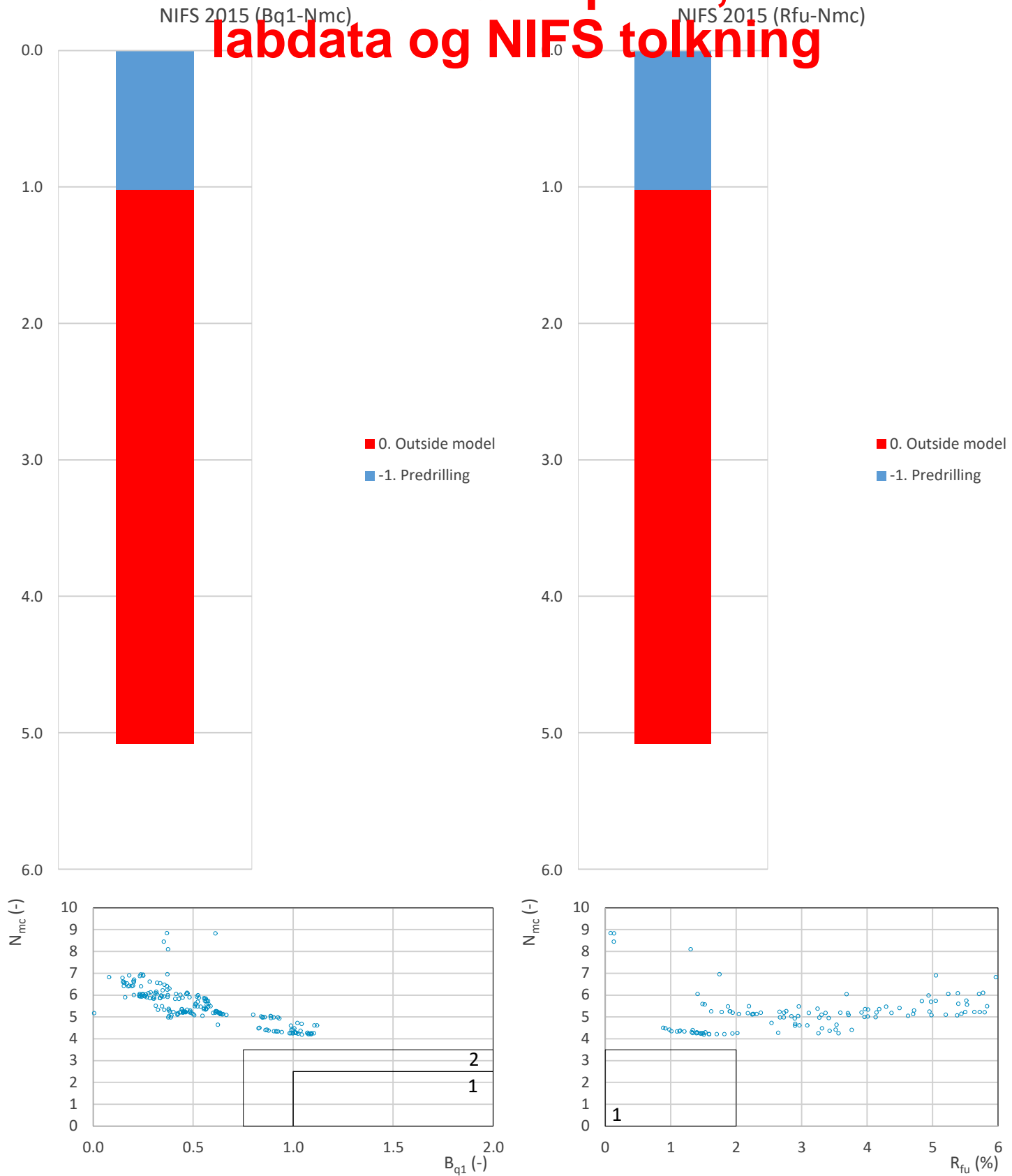
# MIP-00-A-14025 - SuA-profil, CPTu med labdata og NIFS tolkning

Udrenert aktiv skjærfasthet,  $c_{ucptu}$  (kPa)



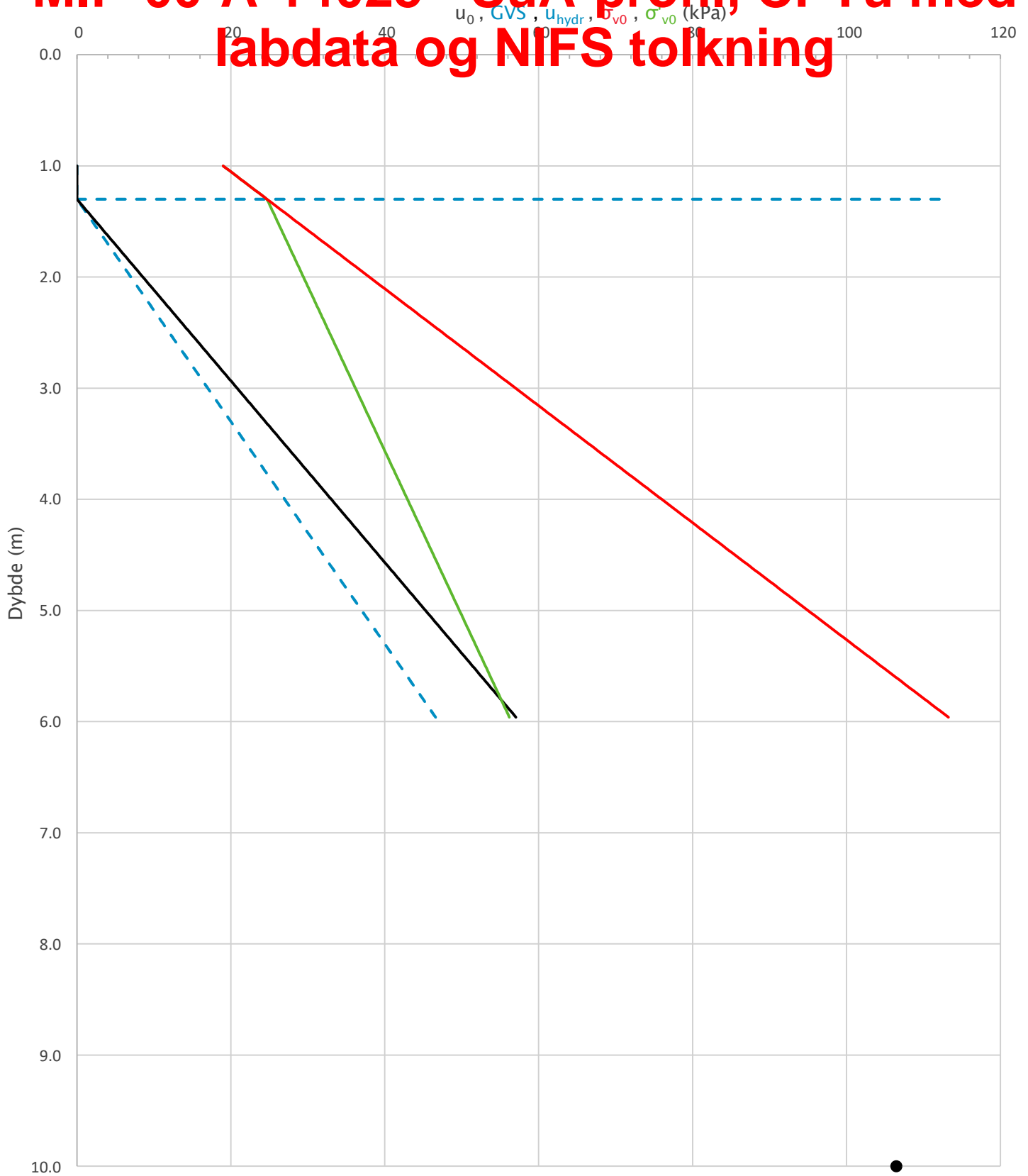
Prosjekt	Prosjektnummer: 900078 Rapportnummer: MIP-00-A-14024			Borhull	Kote +116.3
<b>Ski Hensetting</b>				<b>H291</b>	
Innhold	Tolkning av udrenert aktiv skjærfasthet			Sondennummer	<b>5310</b>
 <b>Statens vegvesen</b>	Utført	Kontrollert	Godkjent	Anvend.klasse	<b>1</b>
	SOHJ	JAJE	TTR	Figur	<b>5</b>
Divisjon	Dato sondering	Revisjon			
Ekstern konsulent	28.09.2020	Rev. dato			

# MIP-00-A-14025 - SuA-profil, CPTu med labdata og NIFS tolkning



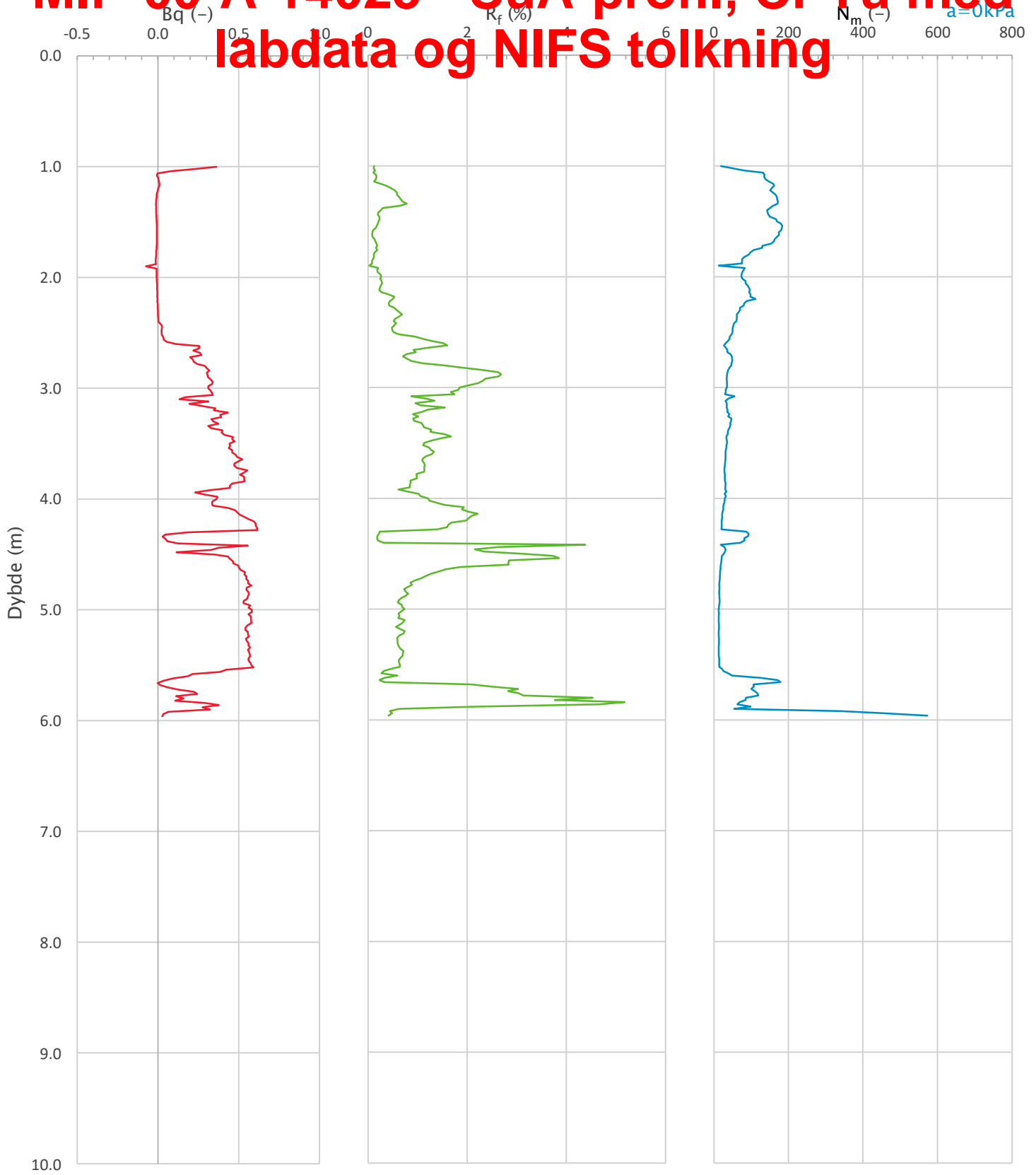
Prosjekt			Prosjektnummer: 900078 Rapportnummer: MIP-00-A-14024		Borhull	Kote +116.3
<b>Ski Hensetting</b>					<b>H291</b>	
Innhold			Jordartsklassifisering etter NIFS 2015 – detektering av sensitive materialer		Sondenummer	
					<b>5310</b>	
 <b>Statens vegvesen</b>	Utført	Kontrollert	Godkjent	Anvend.klasse		
	SOHJ	JAJE	TTR	1		
	Divisjon	Dato sondering	Revisjon	Figur		
	Ekstern konsulent	28.09.2020	Rev. dato	21		


# MIP-00-A-14025 - SuA-profil, CPTu med labdata og NIFS tolkning



Prosjekt		Prosjektnummer: 900078 Rapportnummer: MIP-00-A-14024		Borhull	Kote +113.5
<b>Ski Hensetting</b>				<b>H295</b>	
Innhold		In-situ poretrykk, total- og effektiv vertikalspenning i beregninger		Sondennummer	<b>5310</b>
 <b>Statens vegvesen</b>	Utført	Kontrollert	Godkjent	Anvend.klasse	<b>1</b>
	SOHJ	JAJE	TTR		
	Divisjon	Dato sondering	Revisjon	Figur	<b>2</b>
	Ekstern konsulent	29.09.2020	Rev. dato		

# MIP-00-A-14025 - SuA-profil, CPTu med labdata og NIFS tolkning



Prosjekt		Prosjektnummer: 900078 Rapportnummer: MIP-00-A-14024		Borhull	Kote +113.5
<b>Ski Hensetting</b>				<b>H295</b>	
Innhold				Sondennummer	
Avledede dimensjonsløse forhold				<b>5310</b>	
 <b>Statens vegvesen</b>	Utført	Kontrollert	Godkjent	Anvend.klasse	
	SOHJ	JAJE	TTR	1	
	Divisjon	Dato sondering	Revisjon	Figur	
	Ekstern konsulent	29.09.2020	Rev. dato	4	



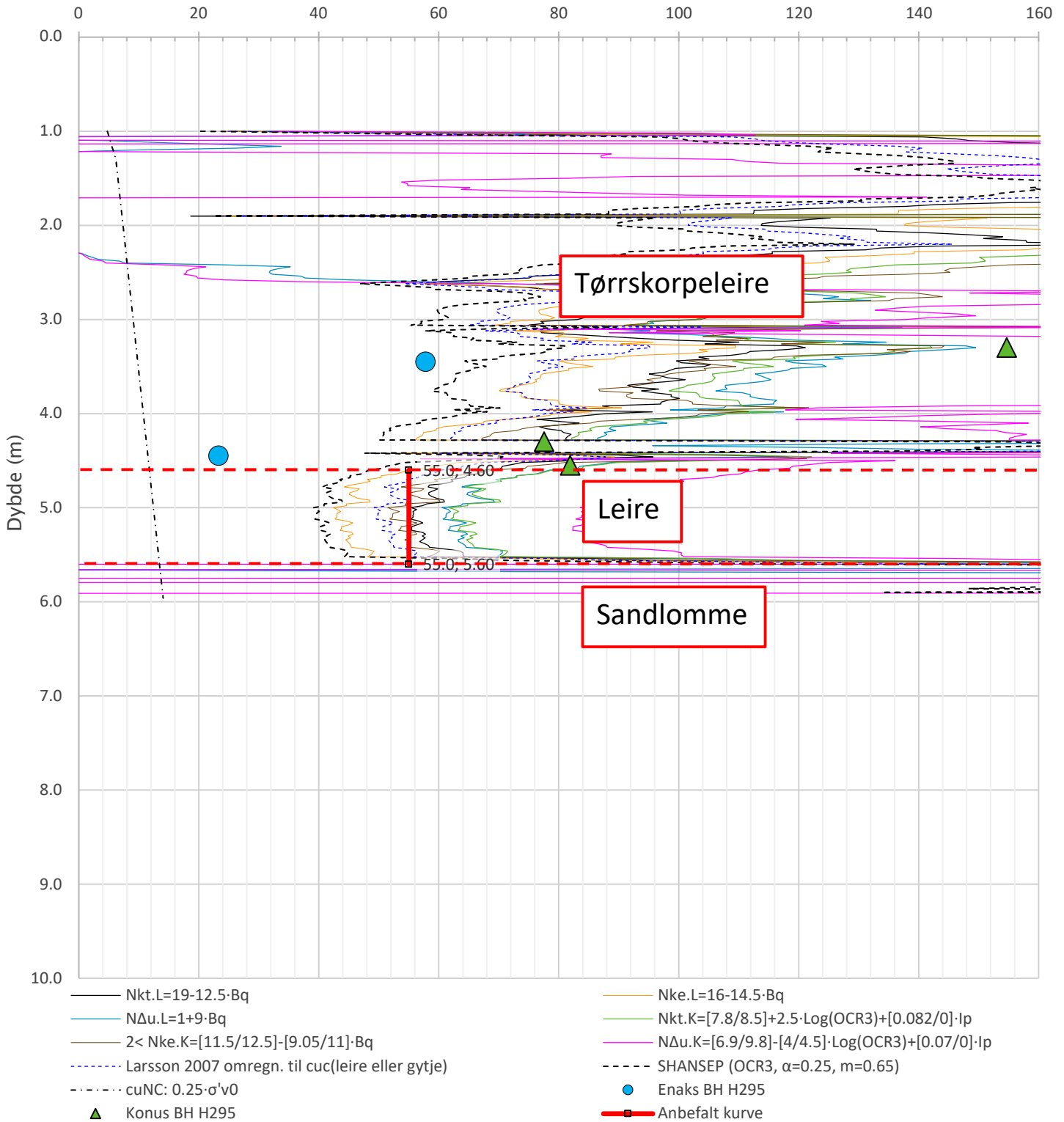
# MIP-00-A-14025 - SuA-profil, CPTu med labdata og NIFS tolkning


Anisotropiforhold i figur.

Enaks BH H295:  $c_{uc}/c_{ucptu} = \text{var}$  (min:0.631 max:0.655)

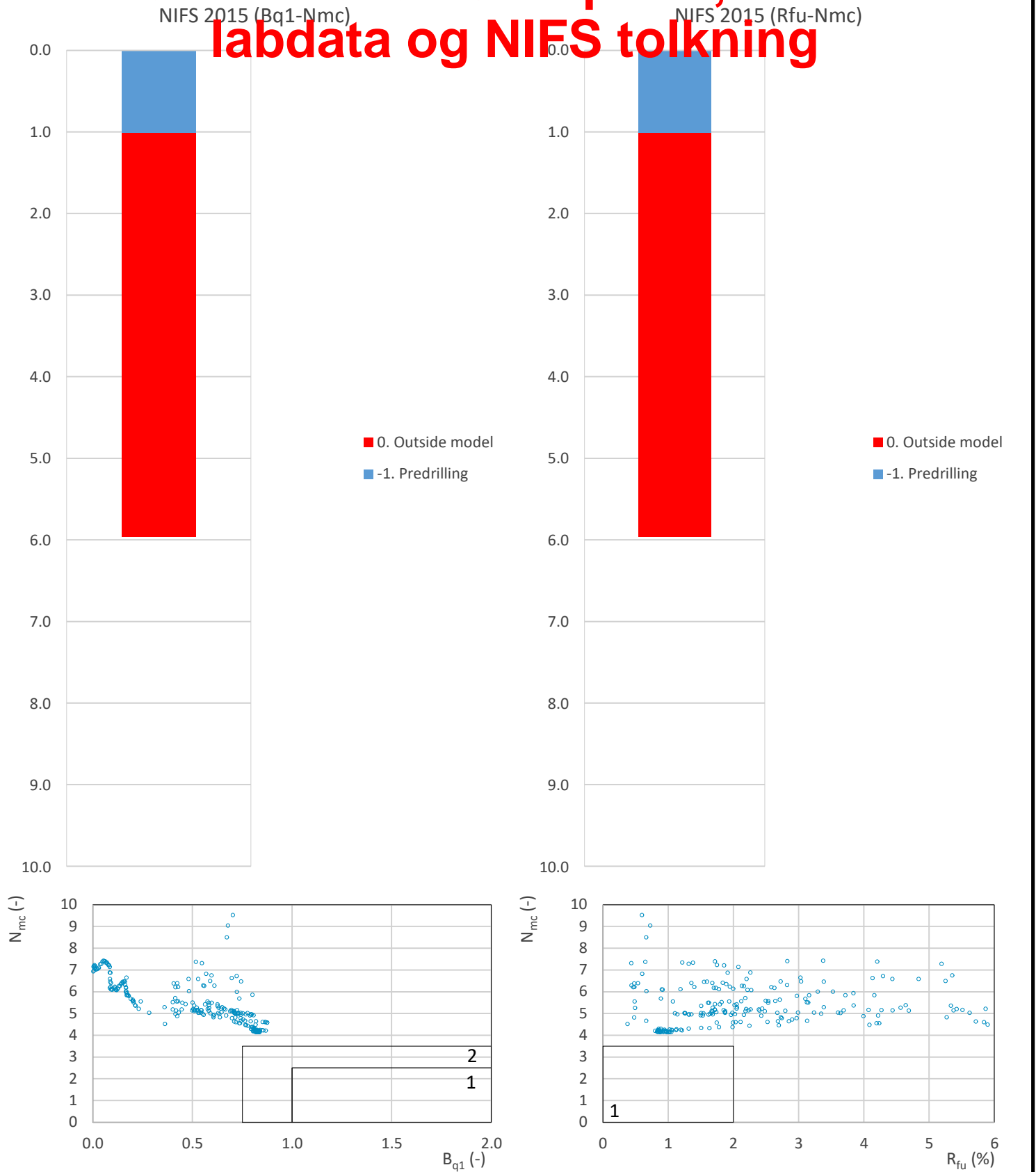
Konus BH H295:  $c_{ufc}/c_{ucptu} = \text{var}$  (min:0.720 max:0.655)

Udrenert aktiv skjærfasthet,  $c_{ucptu}$  (kPa)



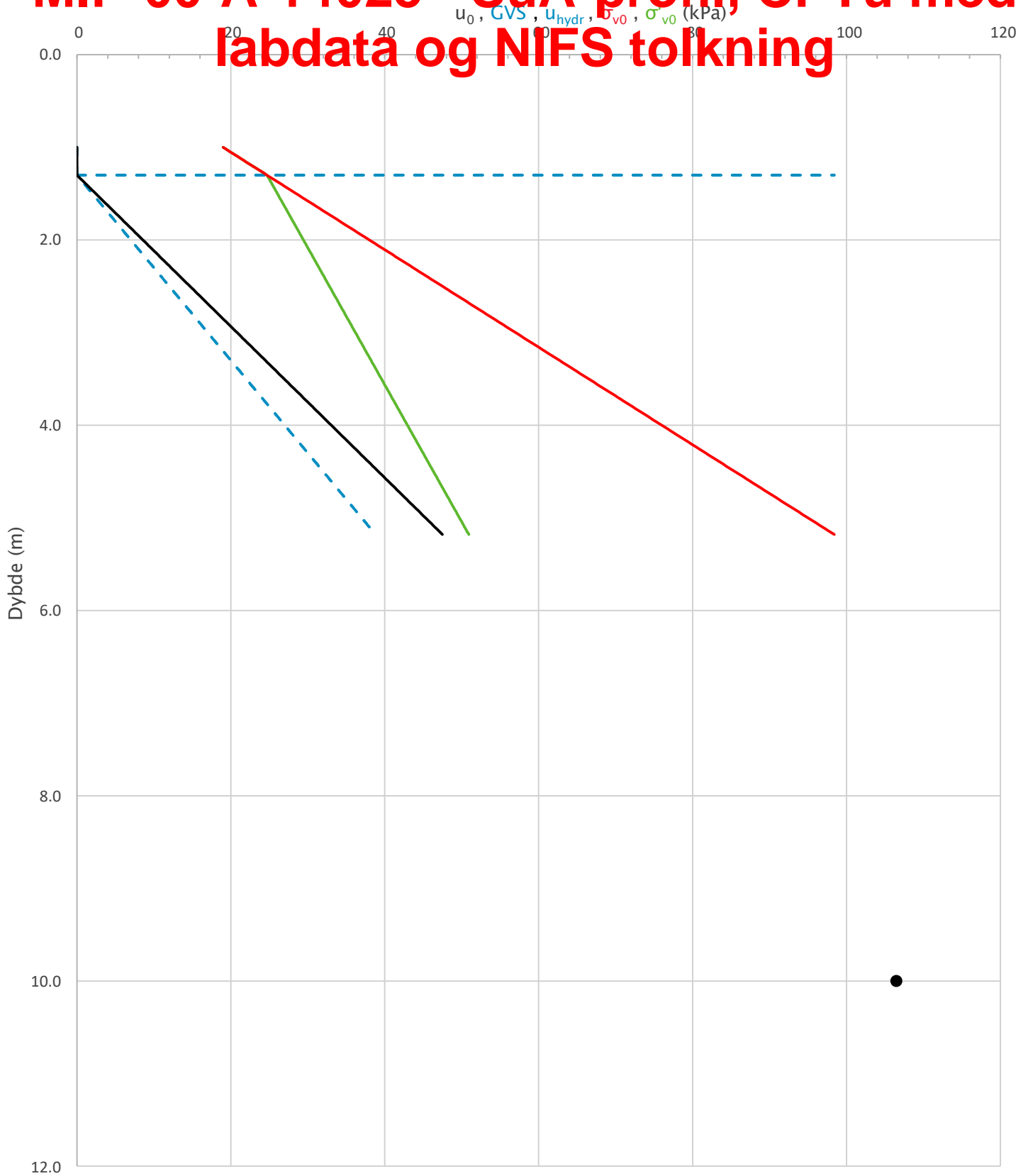
Prosjekt	Prosjektnummer: 900078 Rapportnummer: MIP-00-A-14024		Borhull	Kote +113.5
<b>Ski Hensetting</b>			<b>H295</b>	
Innhold			Sondennummer	
Tolkning av udrenert aktiv skjærfasthet			<b>5310</b>	
 <b>Statens vegvesen</b>	Utført	Kontrollert	Godkjent	Anvend.klasse
	SOHJ	JAJE	TTR	1
	Divisjon	Dato sondering	Revisjon	Figur
	Ekstern konsulent	29.09.2020	Rev. dato	5

# MIP-00-A-14025 - SuA-profil, CPTu med labdata og NIFS tolkning



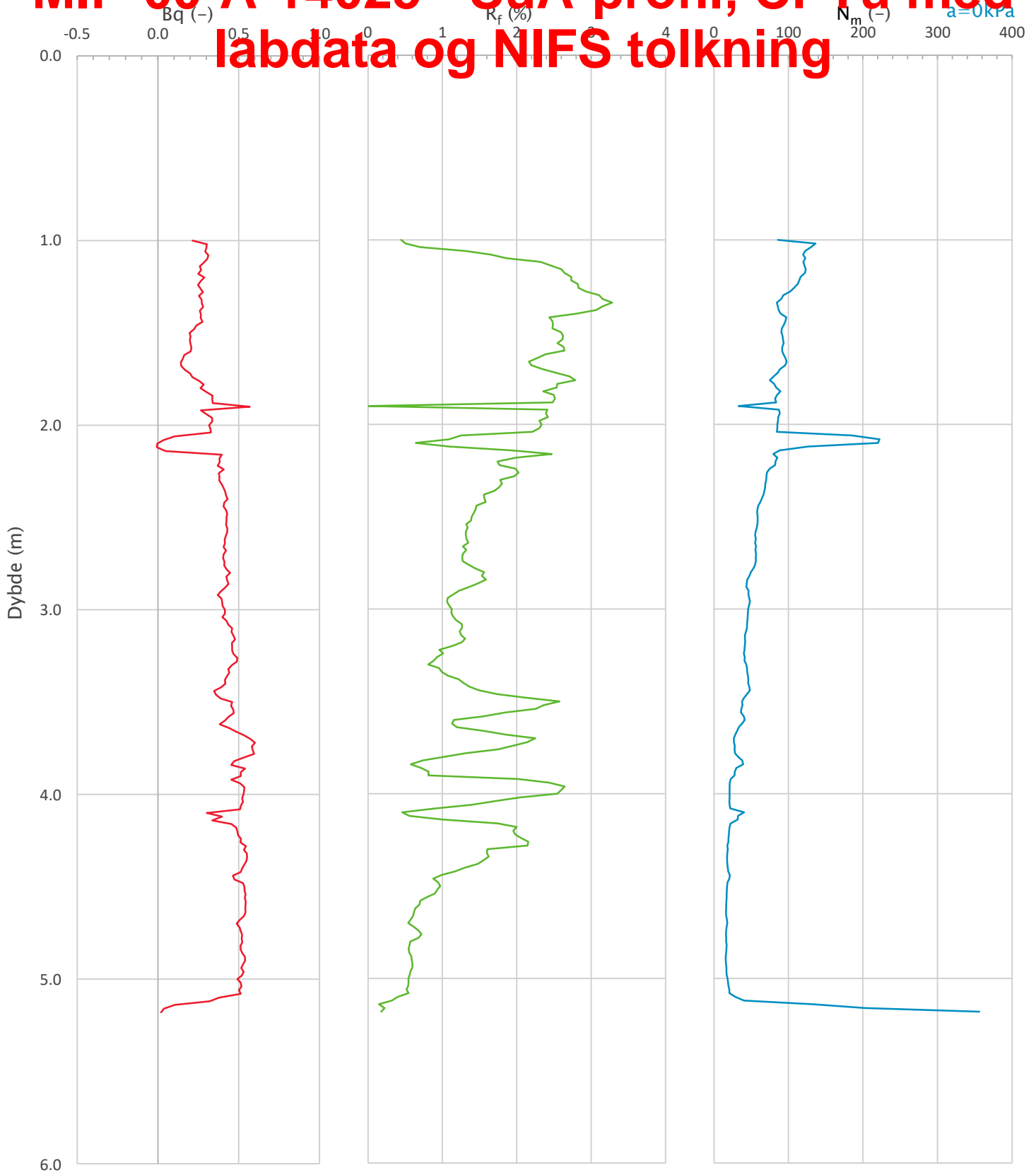
Prosjekt			Prosjektnummer: 900078 Rapportnummer: MIP-00-A-14024		Borhull	Kote +113.5
<b>Ski Hensetting</b>					<b>H295</b>	
Innhold			Jordartsklassifisering etter NIFS 2015 – detektering av sensitive materialer		Sondenummer	
					<b>5310</b>	
 <b>Statens vegvesen</b>	Utført	Kontrollert	Godkjent	Anvend.klasse		
	SOHJ	JAJE	TTR	1		
	Divisjon	Dato sondering	Revisjon	Figur		
	Ekstern konsulent	29.09.2020	Rev. dato	21		


# MIP-00-A-14025 - SuA-profil, CPTu med labdata og NIFS tolkning



Prosjekt	Prosjektnummer: 900078 Rapportnummer: MIP-00-A-14024			Borhull	Kote +116
<b>Ski Hensetting</b>				<b>H297</b>	
Innhold	In-situ poretrykk, total- og effektiv vertikalspenning i beregninger			Sondennummer	<b>5310</b>
 <b>Statens vegvesen</b>	Utført	Kontrollert	Godkjent	Anvend.klasse	1
	SOHJ	JAJE	TTR		
	Divisjon	Dato sondering	Revisjon	Figur	2
	Ekstern konsulent	29.09.2020	Rev. dato		

# MIP-00-A-14025 - SuA-profil, CPTu med labdata og NIFS tolkning



Prosjekt		Prosjektnummer: 900078 Rapportnummer: MIP-00-A-14024		Borhull	Kote +116
<b>Ski Hensetting</b>				<b>H297</b>	
Innhold				Sondennummer	
Avledede dimensjonsløse forhold				<b>5310</b>	
 <b>Statens vegvesen</b>	Utført	Kontrollert	Godkjent	Anvend.klasse	
	SOHJ	JAJE	TTR	1	
	Divisjon	Dato sondering	Revisjon	Figur	
	Ekstern konsulent	29.09.2020	Rev. dato	4	

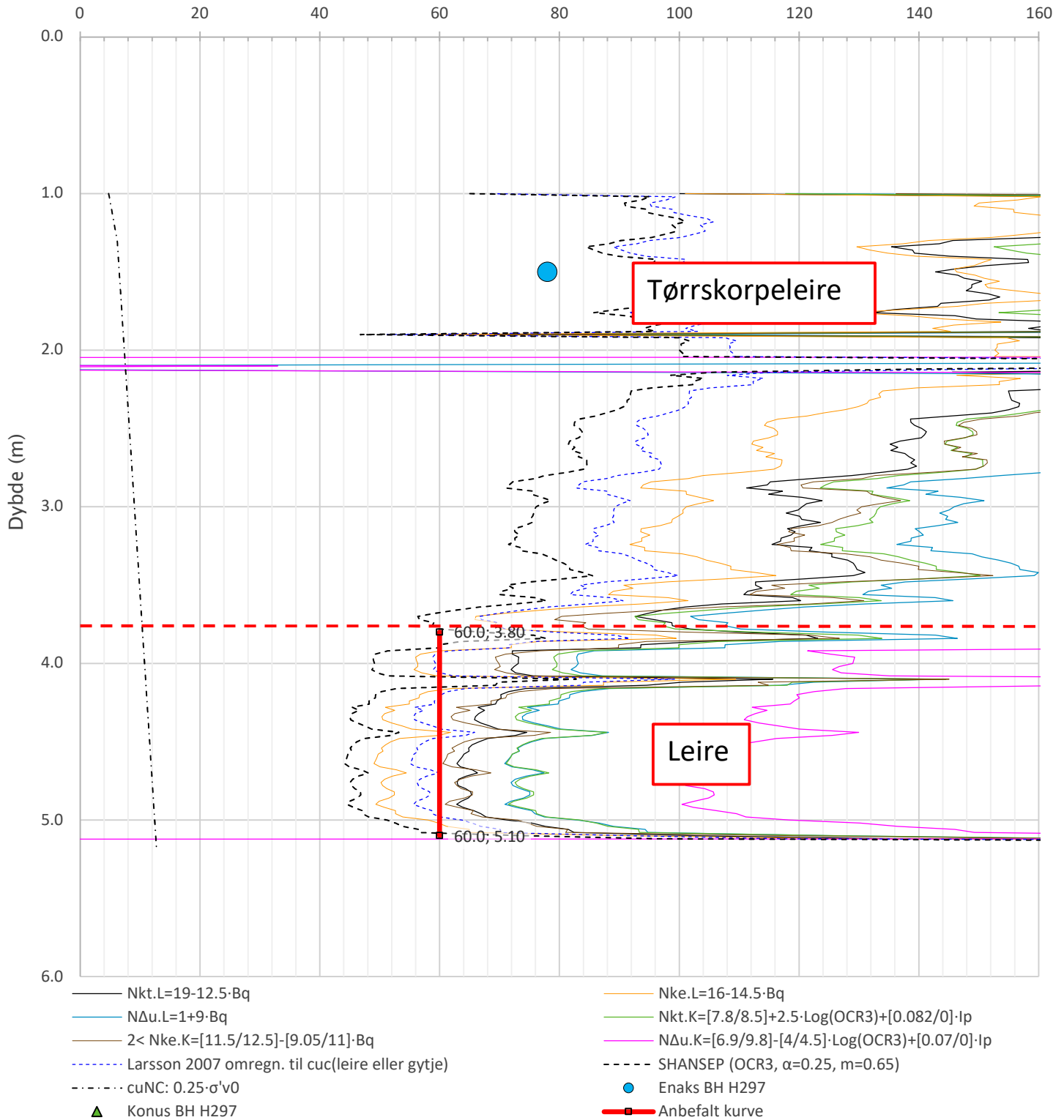
# MIP-00-A-14025 - SuA-profil, CPTu med labdata og NIFS tolkning


Anisotropiforhold i figur:

Enaks BH H297:  $c_{uc}/c_{ucptu} = 0.675$

Konus BH H297:  $c_{ufc}/c_{ucptu} = v_{tr}(m) \cdot 0.743 \cdot n \cdot 0.675$

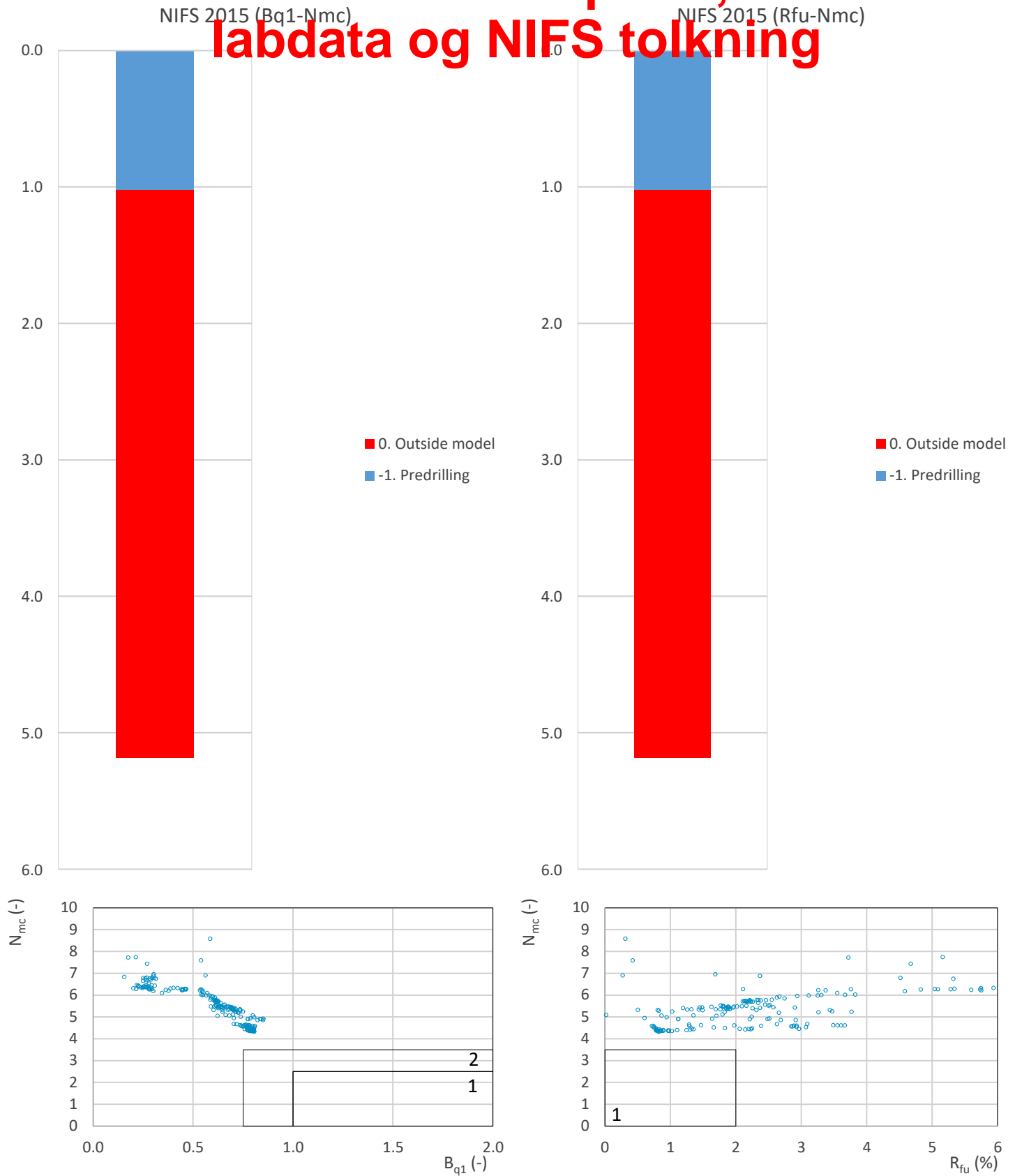
Udrenert aktiv skjærfasthet,  $c_{ucptu}$  (kPa)



Prosjekt		Prosjektnummer: 900078 Rapportnummer: MIP-00-A-14024		Borhull	Kote +116
<b>Ski Hensetting</b>				<b>H297</b>	
Innhold				Sondennummer	
Tolkning av udrenert aktiv skjærfasthet				<b>5310</b>	
 <b>Statens vegvesen</b>	Utført	Kontrollert	Godkjent	Anvend.klasse	1
	SOHJ	JAJE	TTR		
	Divisjon	Dato sondering	Revisjon	Figur	5
	Ekstern konsulent	29.09.2020	Rev. dato		

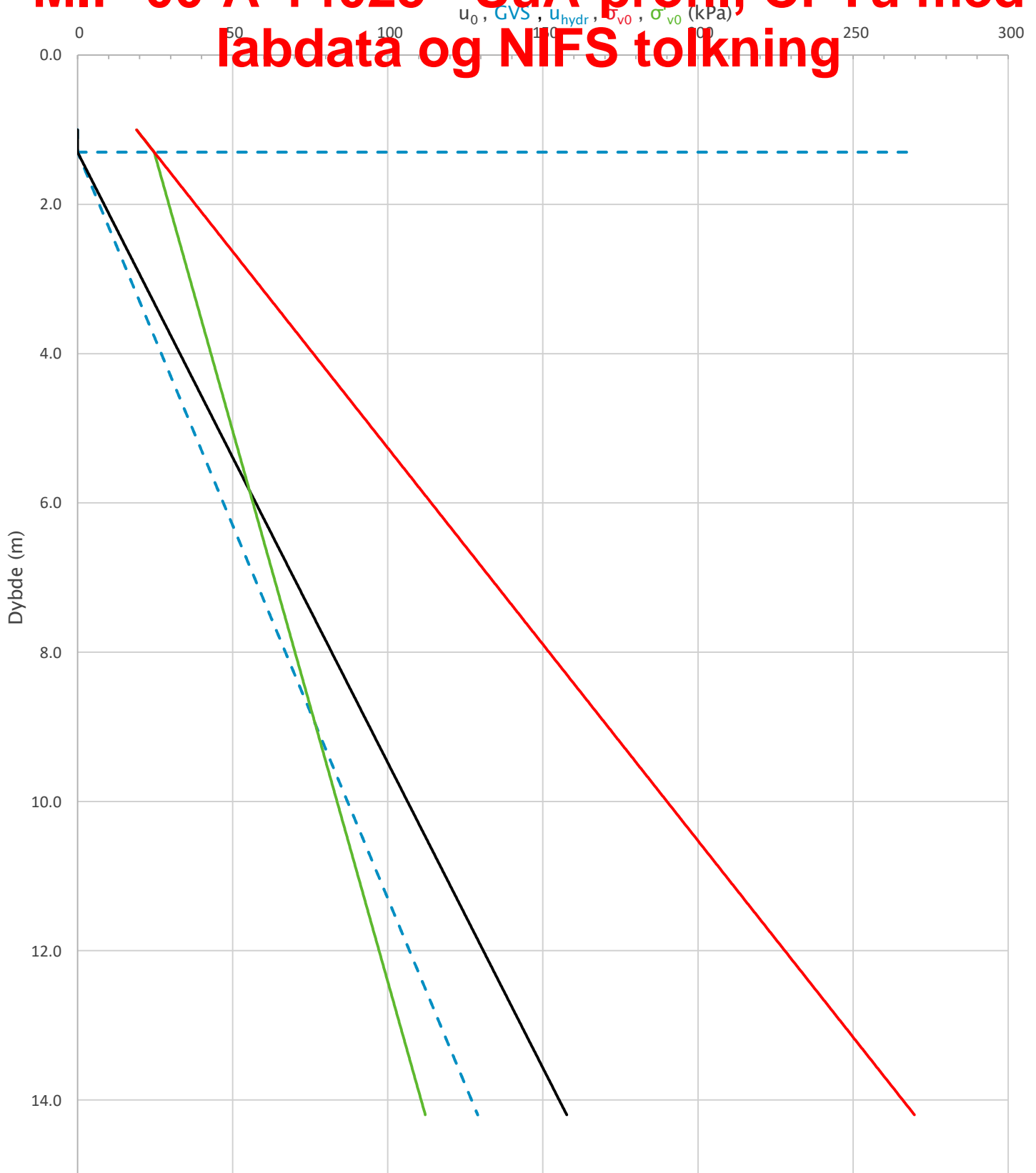


# MIP-00-A-14025 - SuA-profil, CPTu med labdata og NIFS tolkning



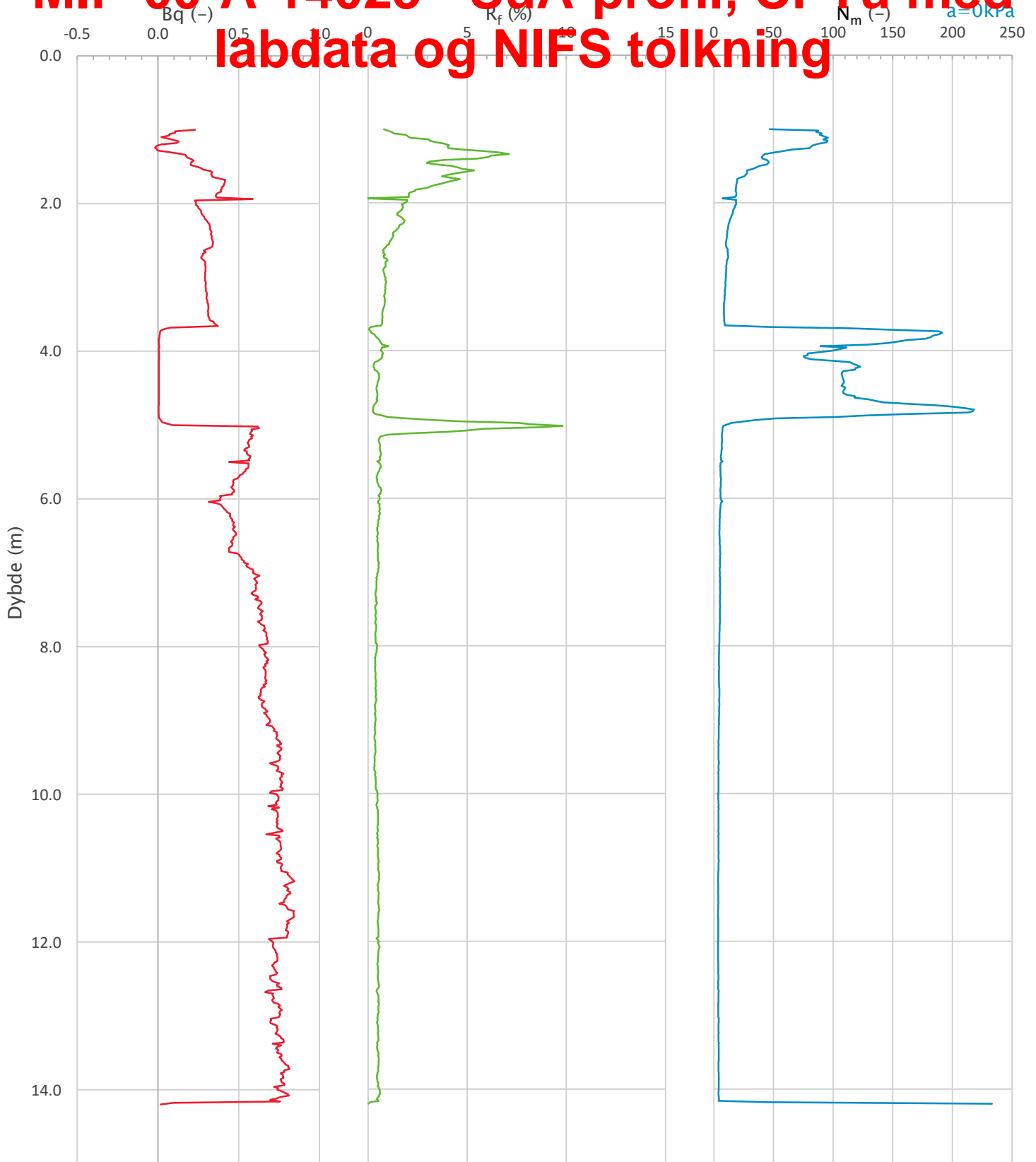
Prosjekt		Prosjektnummer: 900078 Rapportnummer: MIP-00-A-14024		Borhull	Kote +116
<b>Ski Hensetting</b>				<b>H297</b>	
Innhold		Jordartsklassifisering etter NIFS 2015 – detektering av sensitive materialer		Sondennummer	
				<b>5310</b>	
 <b>Statens vegvesen</b>	Utført	Kontrollert	Godkjent	Anvend.klasse	1
	SOHJ	JAJE	TTR	Figur	21
	Divisjon	Dato sondering	Revisjon		
	Ekstern konsulent	29.09.2020	Rev. dato		


# MIP-00-A-14025 - SuA-profil, CPTu med labdata og NIFS tolkning



Prosjekt		Prosjektnummer: 900078 Rapportnummer: MIP-00-A-14024		Borhull	Kote +104.3
<b>Ski Hensetting</b>				<b>H300</b>	
Innhold		In-situ poretrykk, total- og effektiv vertikalspenning i beregninger		Sondennummer	
				<b>5310</b>	
 <b>Statens vegvesen</b>	Utført	Kontrollert	Godkjent	Anvend.klasse	
	SOHJ	JAJE	TTR	1	
	Divisjon	Dato sondering	Revisjon	Figur	
	Ekstern konsulent	29.09.2020	Rev. dato	2	

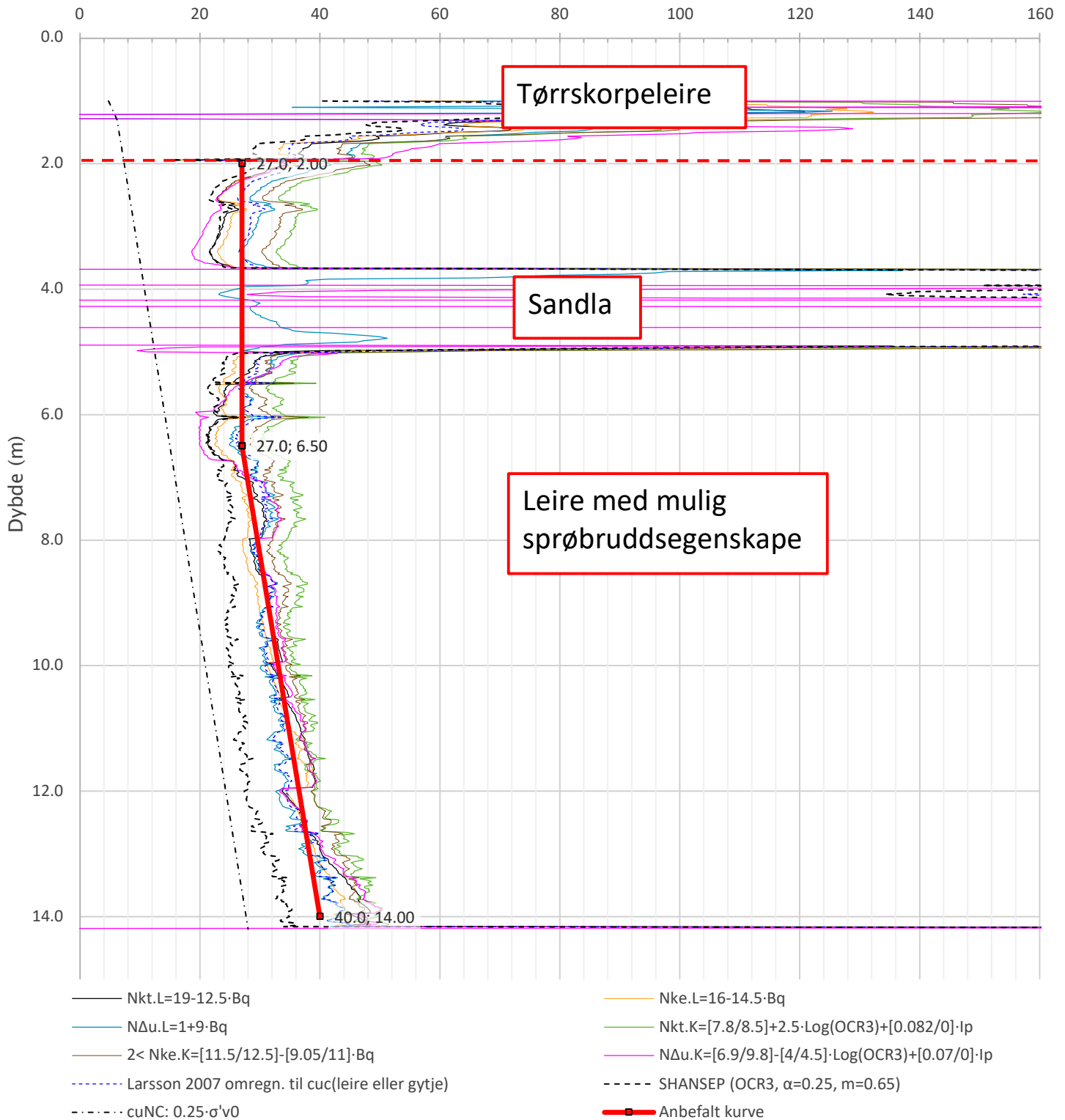
# MIP-00-A-14025 - SuA-profil, CPTu med labdata og NIFS tolkning




Prosjekt		Prosjektnummer: 900078 Rapportnummer: MIP-00-A-14024		Borhull	Kote +104.3
<b>Ski Hensetting</b>				<b>H300</b>	
Innhold				Sondennummer	
Avledede dimensjonsløse forhold				<b>5310</b>	
 <b>Statens vegvesen</b>	Utført	Kontrollert	Godkjent	Anvend.klasse	
	SOHJ	JAJE	TTR	1	
	Divisjon	Dato sondering	Revisjon	Figur	
	Ekstern konsulent	29.09.2020	Rev. dato	4	

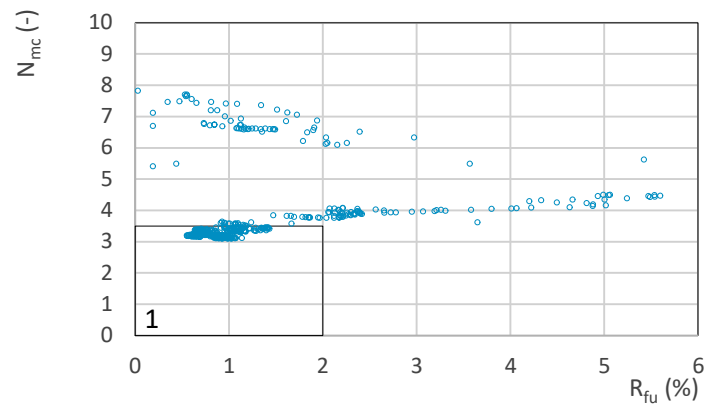
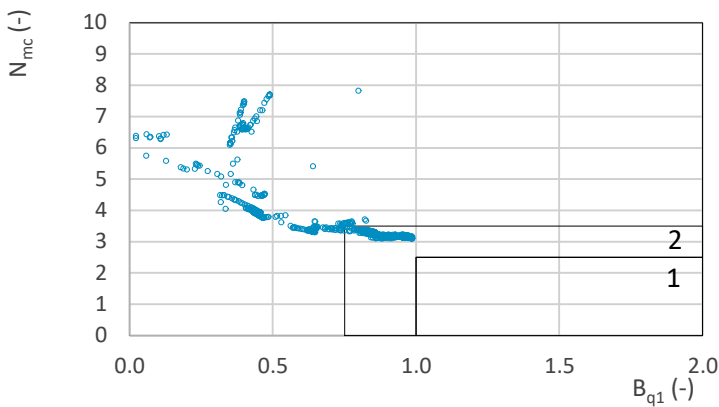
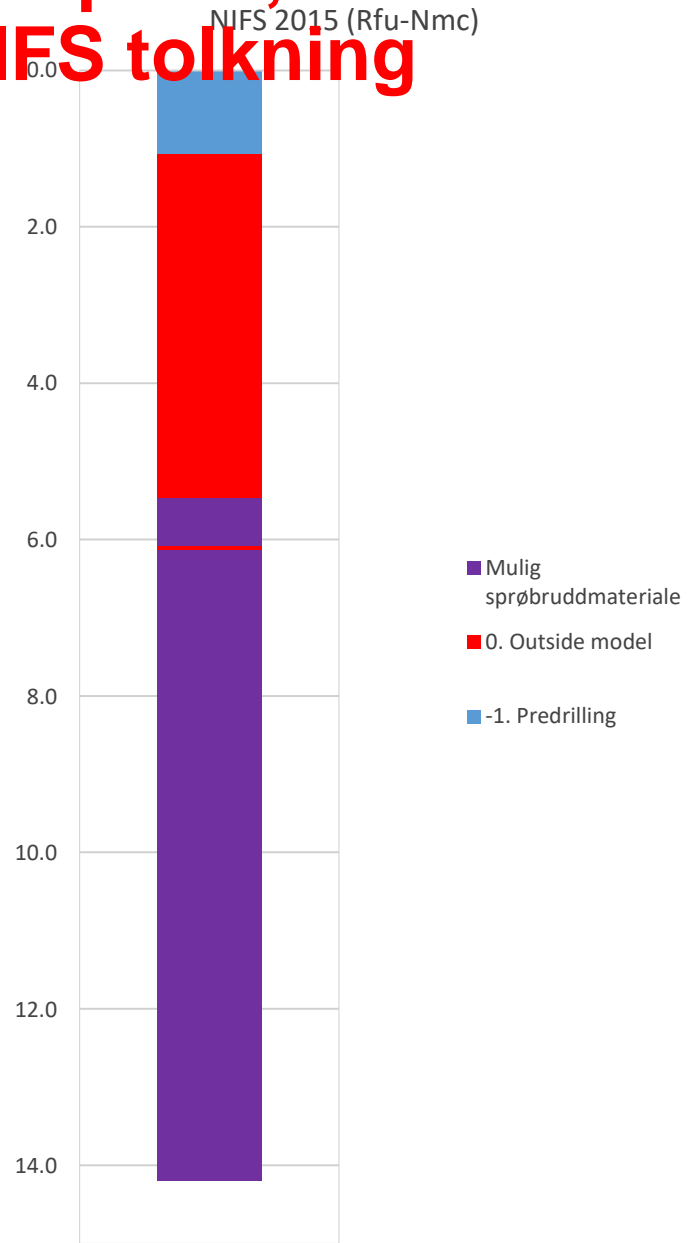
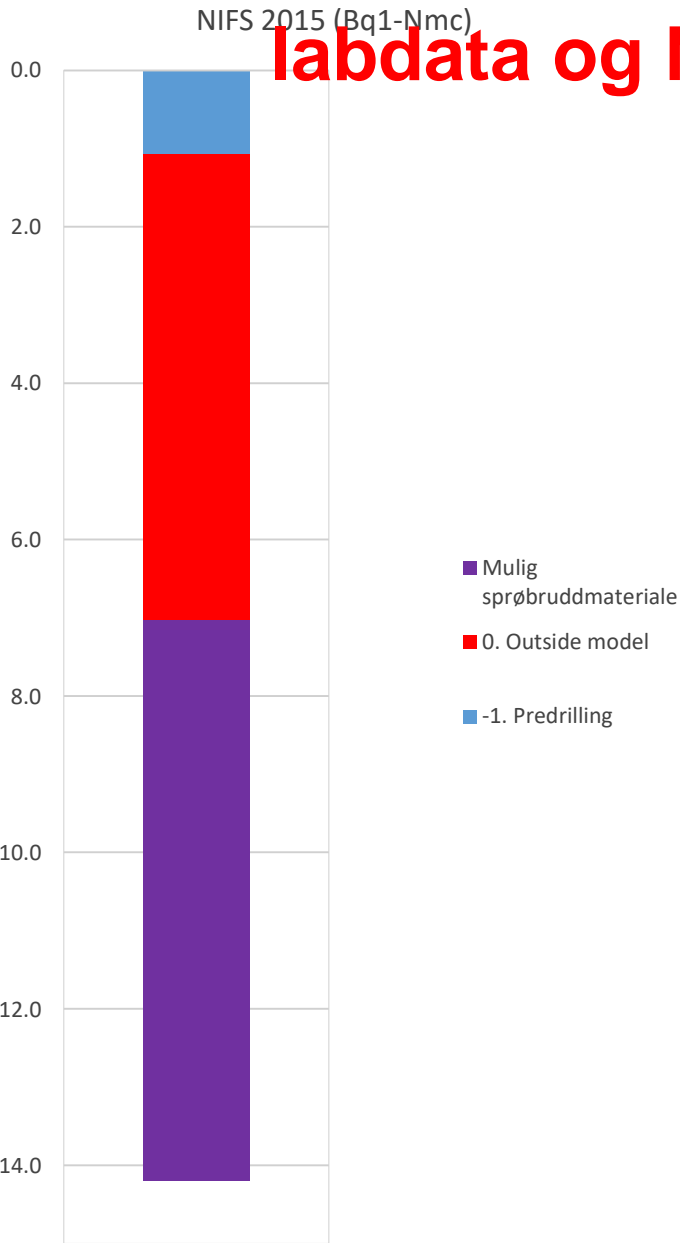
# MIP-00-A-14025 - SuA-profil, CPTu med labdata og NIFS tolkning

Udrenert aktiv skjærfasthet,  $c_{ucptu}$  (kPa)



Prosjekt	Prosjektnummer: 900078 Rapportnummer: MIP-00-A-14024		Borhull	Kote +104.3
<b>Ski Hensetting</b>			<b>H300</b>	
Innhold			Sondennummer	
Tolkning av udrenert aktiv skjærfasthet			<b>5310</b>	
 <b>Statens vegvesen</b>	Utført	Kontrollert	Godkjent	Anvend.klasse
	SOHJ	JAJE	TTR	1
	Divisjon	Dato sondering	Revisjon	Figur
	Ekstern konsulent	29.09.2020	Rev. dato	5

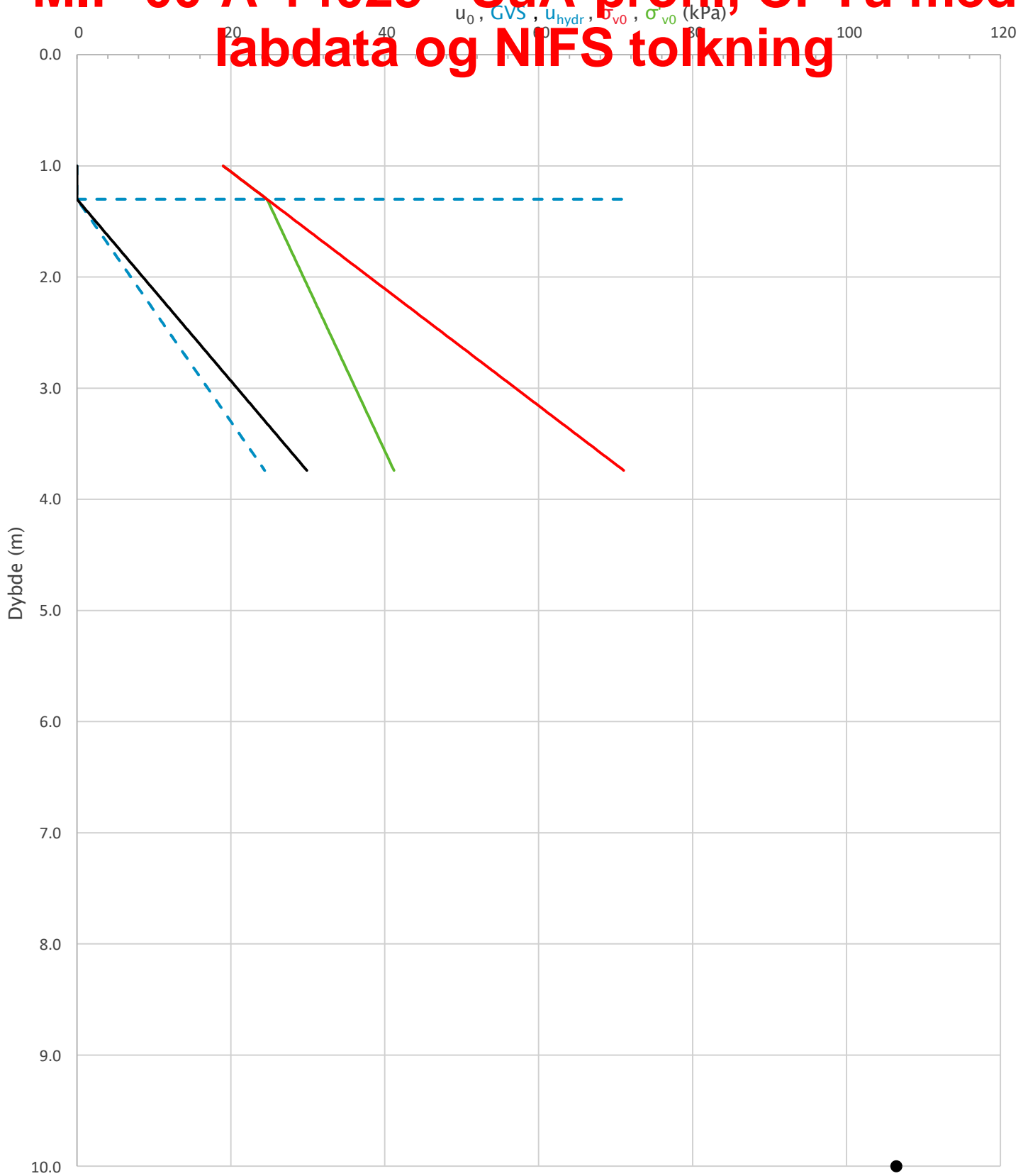
# MIP-00-A-14025 - SuA-profil, CPTu med labdata og NIFS tolkning



Prosjekt		Prosjektnummer: 900078 Rapportnummer: MIP-00-A-14024		Borhull	Kote +104.3
<b>Ski Hensetting</b>				<b>H300</b>	
Innhold		Jordartsklassifisering etter NIFS 2015 – detektering av sensitive materialer		Sondennummer	
				<b>5310</b>	
 <b>Statens vegvesen</b>	Utført	Kontrollert	Godkjent	Anvend.klasse	1
	SOHJ	JAJE	TTR		
	Divisjon	Dato sondering	Revisjon	Figur	21
	Ekstern konsulent	29.09.2020	Rev. dato		

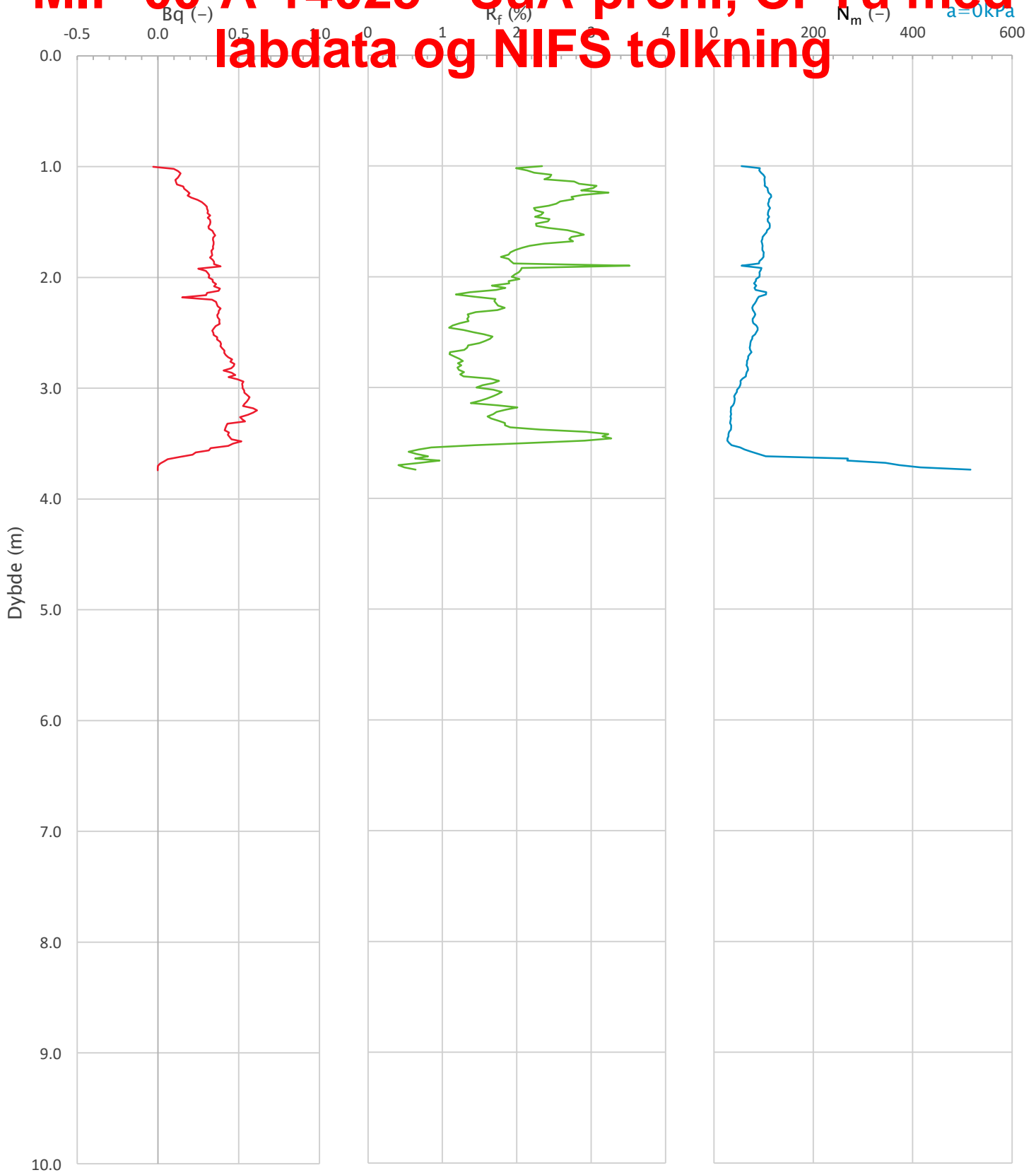



# MIP-00-A-14025 - SuA-profil, CPTu med labdata og NIFS tolkning



Prosjekt		Prosjektnummer: 900078 Rapportnummer: MIP-00-A-14024		Borhull	Kote +116
<b>Ski Hensetting</b>				<b>H303</b>	
Innhold		In-situ poretrykk, total- og effektiv vertikalspenning i beregninger		Sondennummer	<b>5310</b>
 <b>Statens vegvesen</b>	Utført	Kontrollert	Godkjent	Anvend.klasse	1
	SOHJ	JAJE	TTR		
	Divisjon	Dato sondering	Revisjon	Figur	2
	Ekstern konsulent	29.09.2020	Rev. dato		

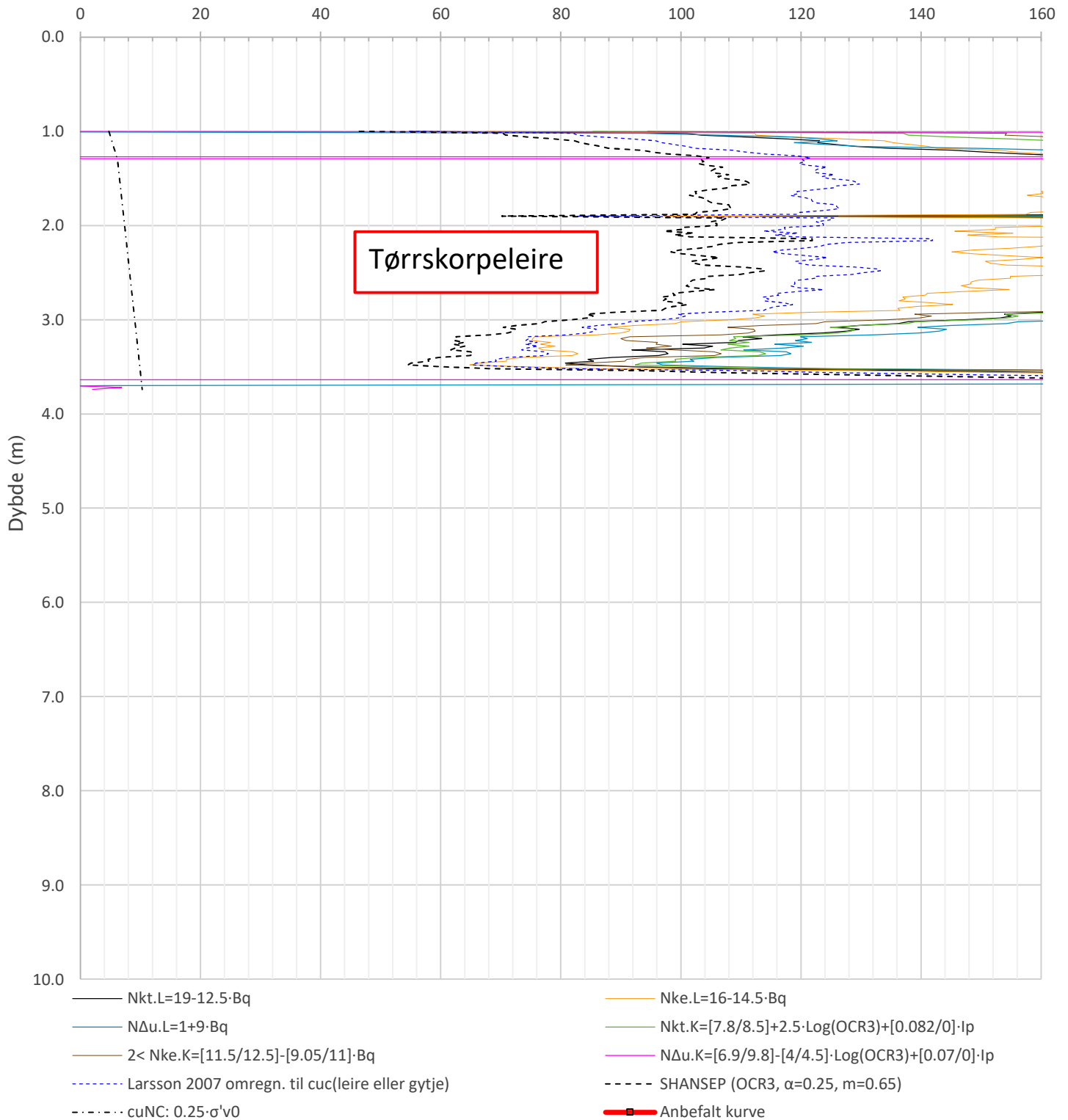
# MIP-00-A-14025 - SuA-profil, CPTu med labdata og NIFS tolkning




Prosjekt		Prosjektnummer: 900078 Rapportnummer: MIP-00-A-14024		Borhull	Kote +116
<b>Ski Hensetting</b>				<b>H303</b>	
Innhold				Sondennummer	
Avledede dimensjonsløse forhold				<b>5310</b>	
 <b>Statens vegvesen</b>	Utført	Kontrollert	Godkjent	Anvend.klasse	
	SOHJ	JAJE	TTR	1	
	Divisjon	Dato sondering	Revisjon	Figur	
	Ekstern konsulent	29.09.2020	Rev. dato	4	

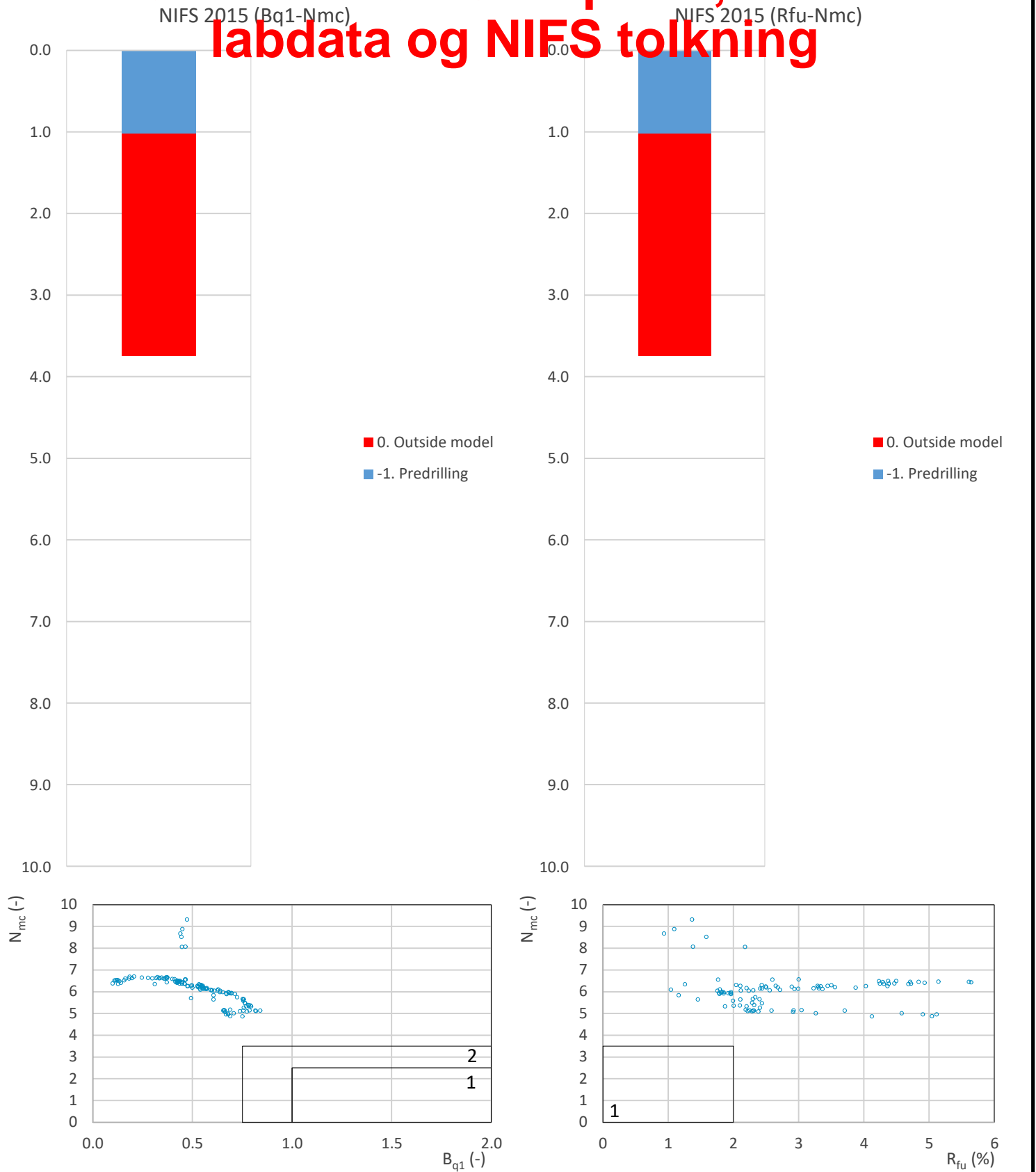
# MIP-00-A-14025 - SuA-profil, CPTu med labdata og NIFS tolkning

Udrenert aktiv skjærfasthet,  $c_{ucptu}$  (kPa)



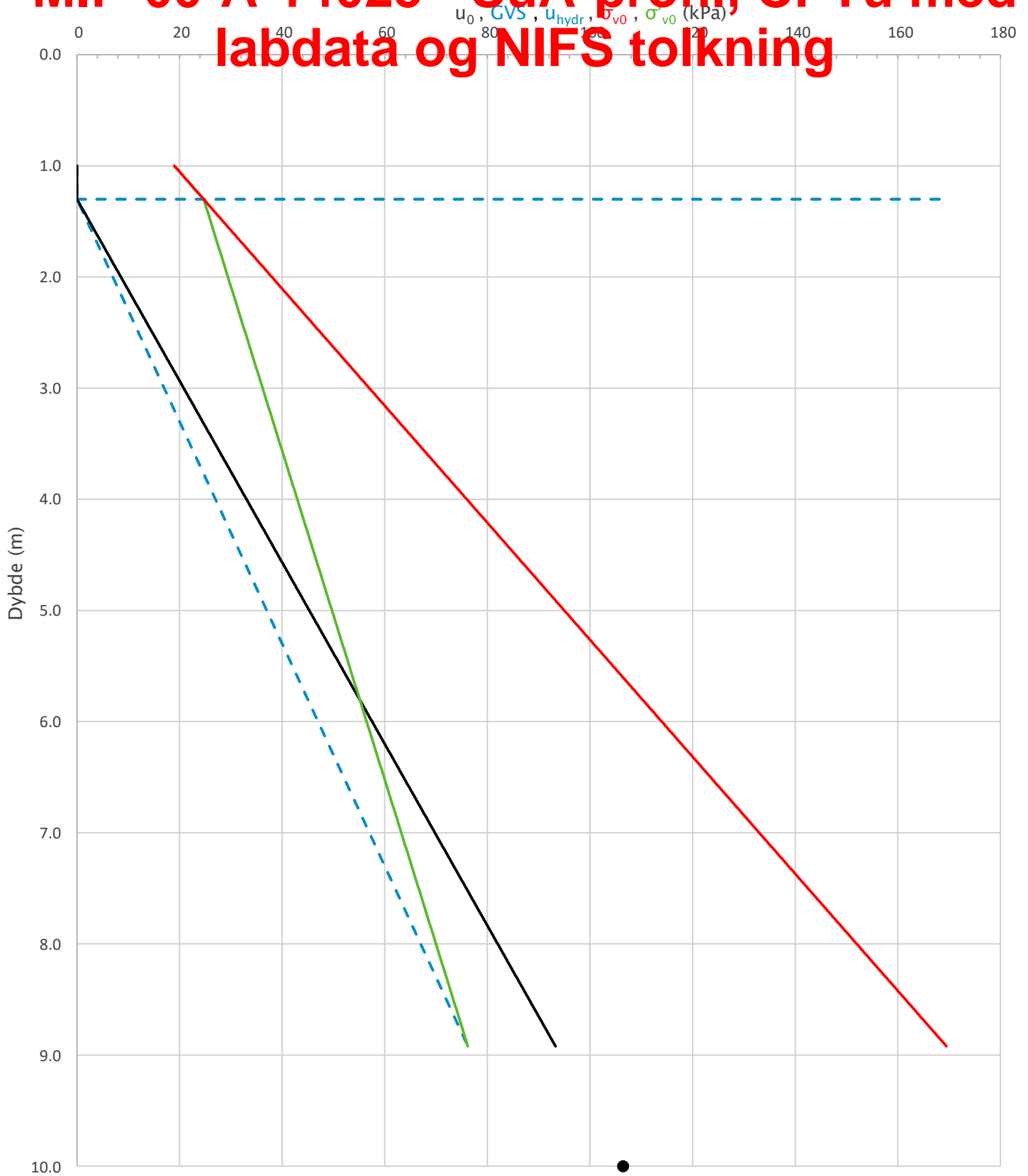
Prosjekt	Prosjektnummer: 900078 Rapportnummer: MIP-00-A-14024			Borhull	Kote +116
<b>Ski Hensetting</b>				<b>H303</b>	
Innhold	Tolkning av udrenert aktiv skjærfasthet			Sondennummer	<b>5310</b>
 <b>Statens vegvesen</b>	Utført	Kontrollert	Godkjent	Anvend.klasse	<b>1</b>
	SOHJ	JAJE	TTR	Figur	<b>5</b>
	Divisjon	Dato sondering	Revisjon		
	Ekstern konsulent	29.09.2020	Rev. dato		

# MIP-00-A-14025 - SuA-profil, CPTu med labdata og NIFS tolkning



Prosjekt		Prosjektnummer: 900078 Rapportnummer: MIP-00-A-14024		Borhull	Kote +116
<b>Ski Hensetting</b>				<b>H303</b>	
Innhold		Jordartsklassifisering etter NIFS 2015 – detektering av sensitive materialer		Sondenummer	
				<b>5310</b>	
 <b>Statens vegvesen</b>	Utført	Kontrollert	Godkjent	Anvend.klasse	1
	SOHJ	JAJE	TTR	Figur	21
	Divisjon	Dato sondering	Revisjon		
	Ekstern konsulent	29.09.2020	Rev. dato		

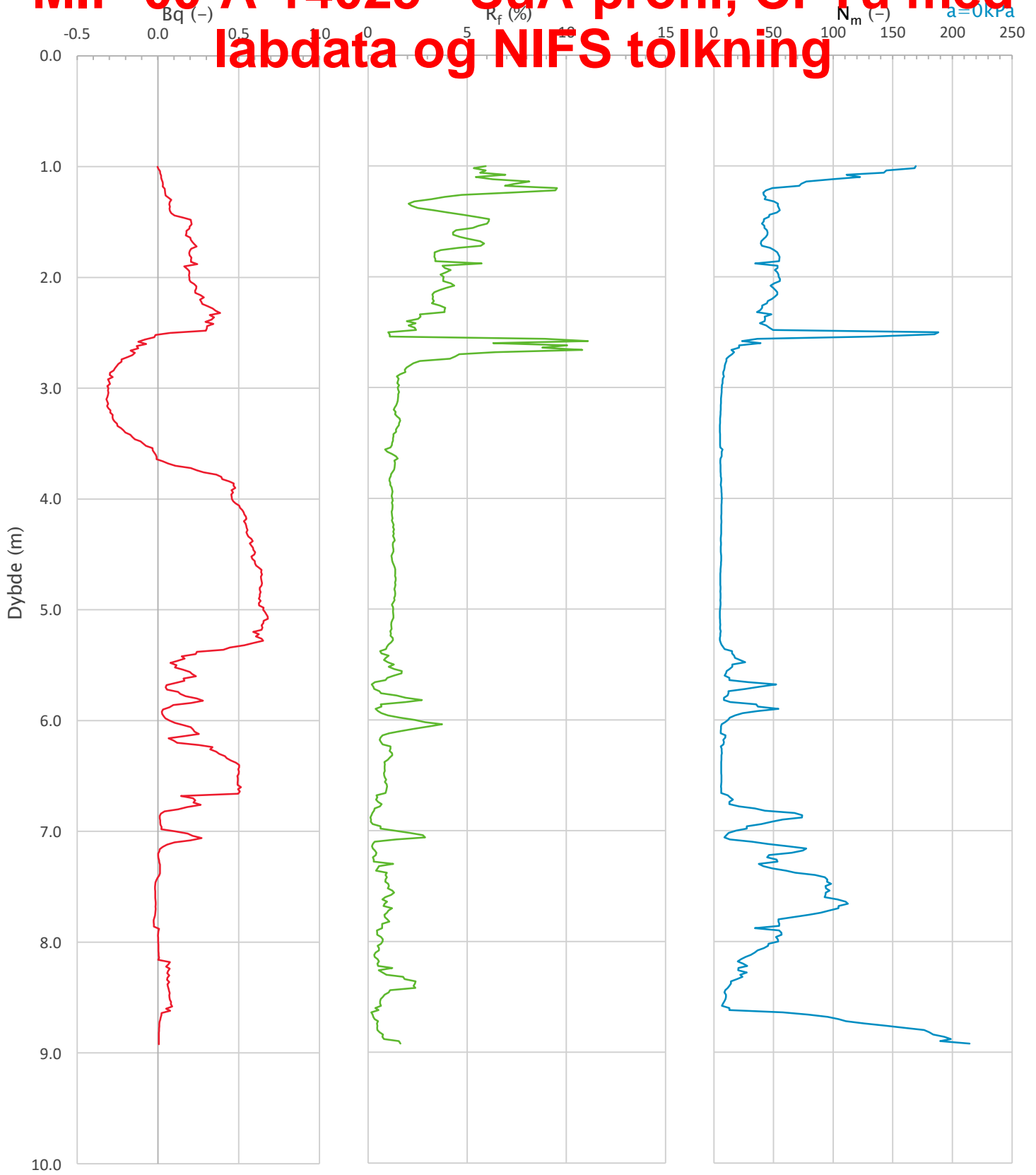
# MIP-00-A-14025 - SuA-profil, CPTu med labdata og NIFS tolkning




Prosjekt		Prosjektnummer: 900078 Rapportnummer: MIP-00-A-14024		Borhull	Kote +116.3
<b>Ski Hensetting</b>				<b>H306</b>	
Innhold		In-situ poretrykk, total- og effektiv vertikalspenning i beregninger		Sondennummer	
				<b>5310</b>	
 <b>Statens vegvesen</b>	Utført	Kontrollert	Godkjent	Anvend.klasse	1
	SOHJ	JAJE	TTR		
	Divisjon	Dato sondering	Revisjon	Figur	2
	Ekstern konsulent	22.09.2020	Rev. dato		



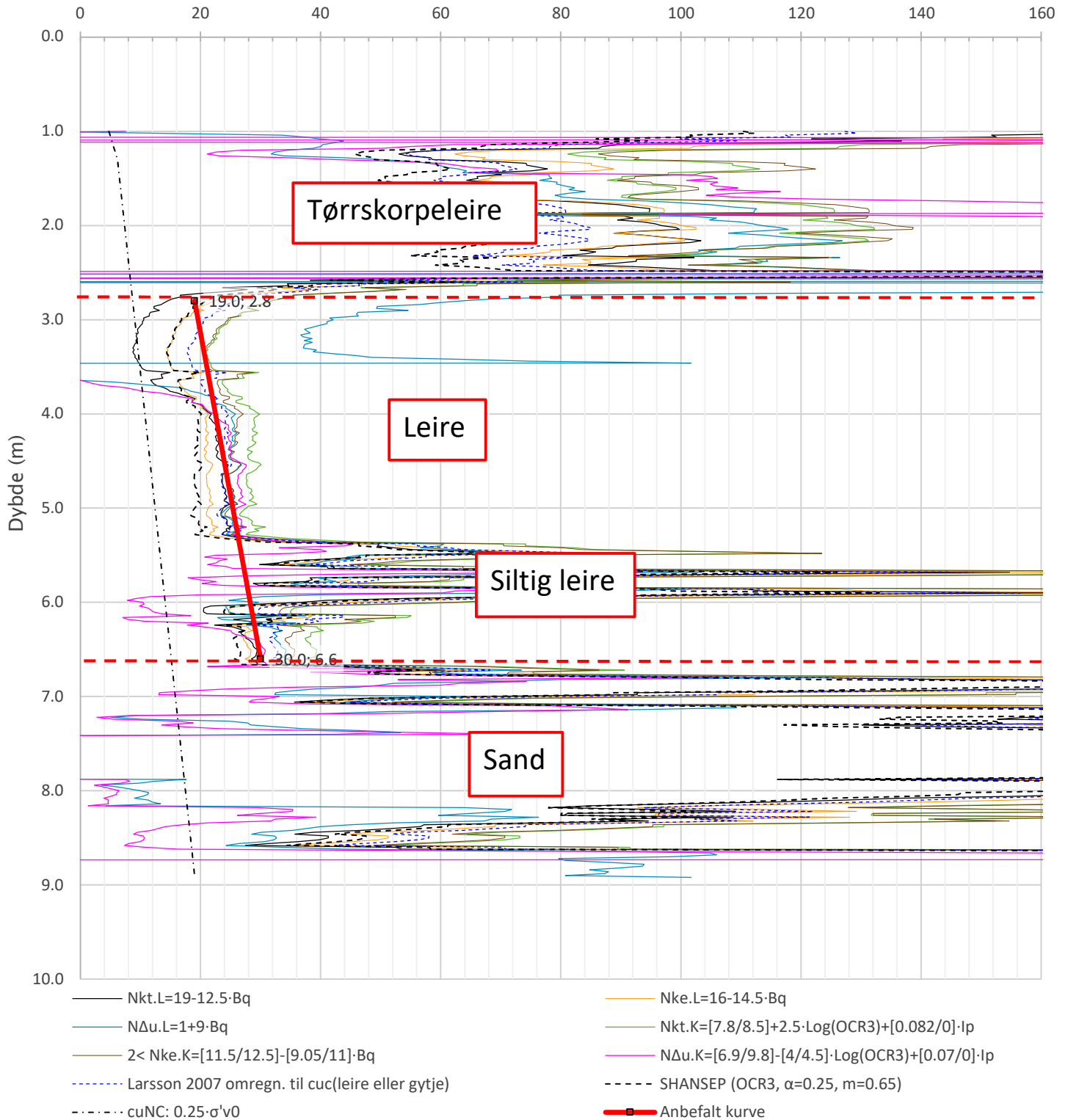
# MIP-00-A-14025 - SuA-profil, CPTu med labdata og NIFS tolkning




Prosjekt		Prosjektnummer: 900078 Rapportnummer: MIP-00-A-14024		Borhull	Kote +116.3
<b>Ski Hensetting</b>				<b>H306</b>	
Innhold				Sondennummer	
Avledede dimensjonsløse forhold				<b>5310</b>	
 <b>Statens vegvesen</b>	Utført	Kontrollert	Godkjent	Anvend.klasse	
	SOHJ	JAJE	TTR	1	
	Divisjon	Dato sondering	Revisjon	Figur	
	Ekstern konsulent	22.09.2020	Rev. dato	4	

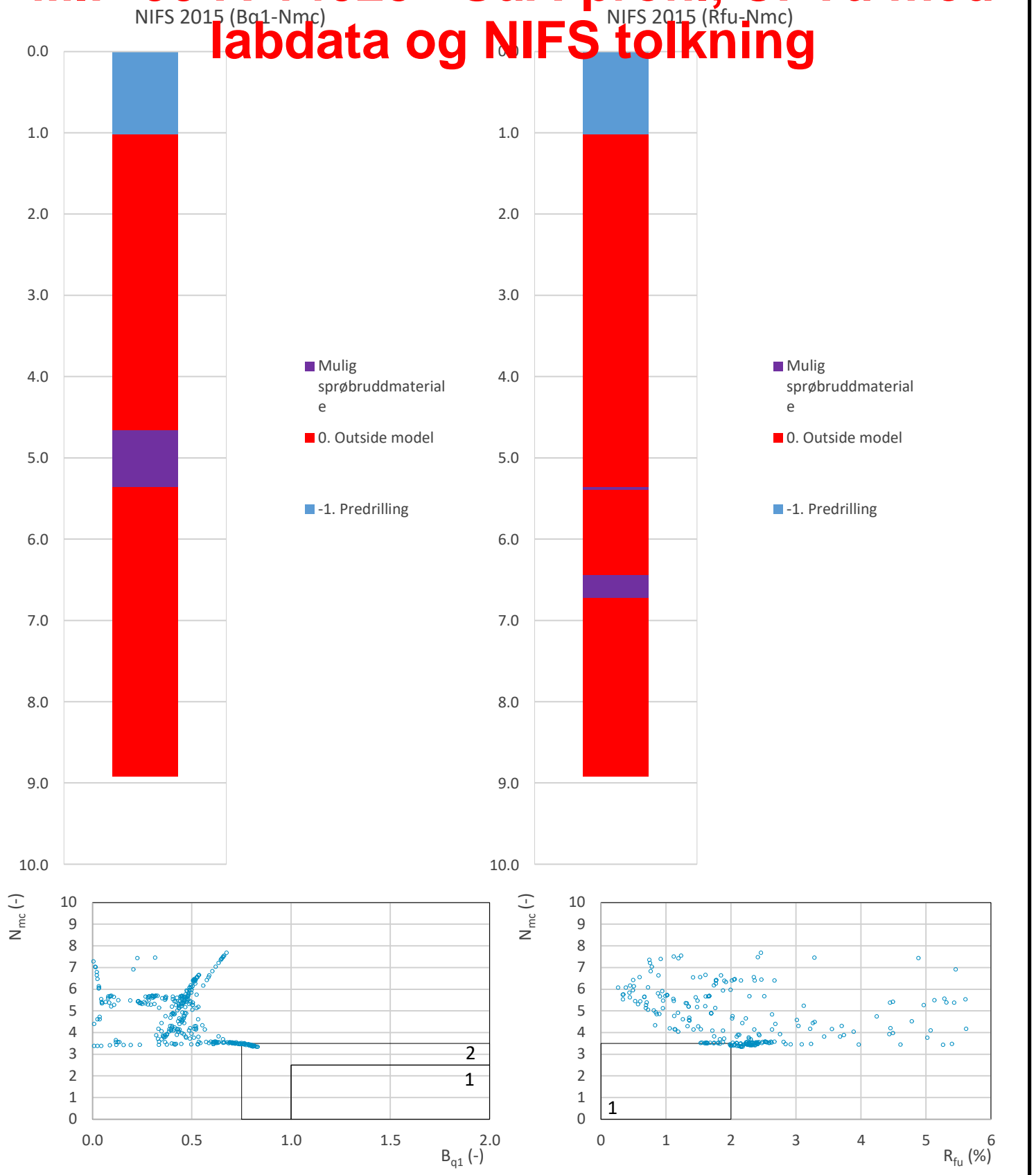
# MIP-00-A-14025 - SuA-profil, CPTu med labdata og NIFS tolkning


Udrenert aktiv skjærfasthet,  $c_{ucptu}$  (kPa)



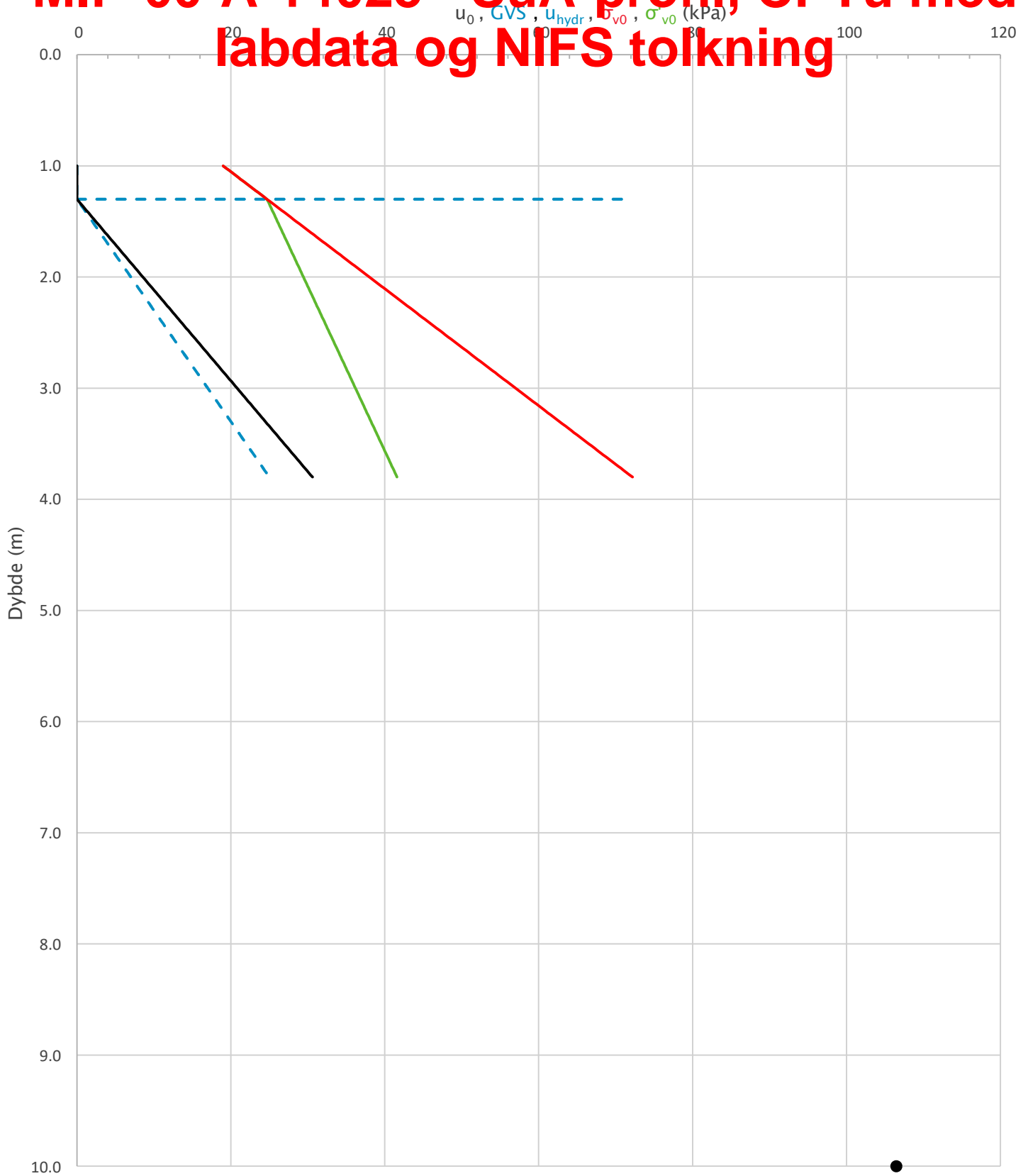
Prosjekt	Prosjektnummer: 900078 Rapportnummer: MIP-00-A-14024		Borhull	Kote +116.3
<b>Ski Hensetting</b>			<b>H306</b>	
Innhold			Sondennummer	
Tolkning av udrenert aktiv skjærfasthet			<b>5310</b>	
 <b>Statens vegvesen</b>	Utført	Kontrollert	Godkjent	Anvend.klasse
	SOHJ	JAJE	TTR	1
	Divisjon	Dato sondering	Revisjon	Figur
	Ekstern konsulent	22.09.2020	Rev. dato	5

# MIP-00-A-14025 - SuA-profil, CPTu med labdata og NIFS tolkning



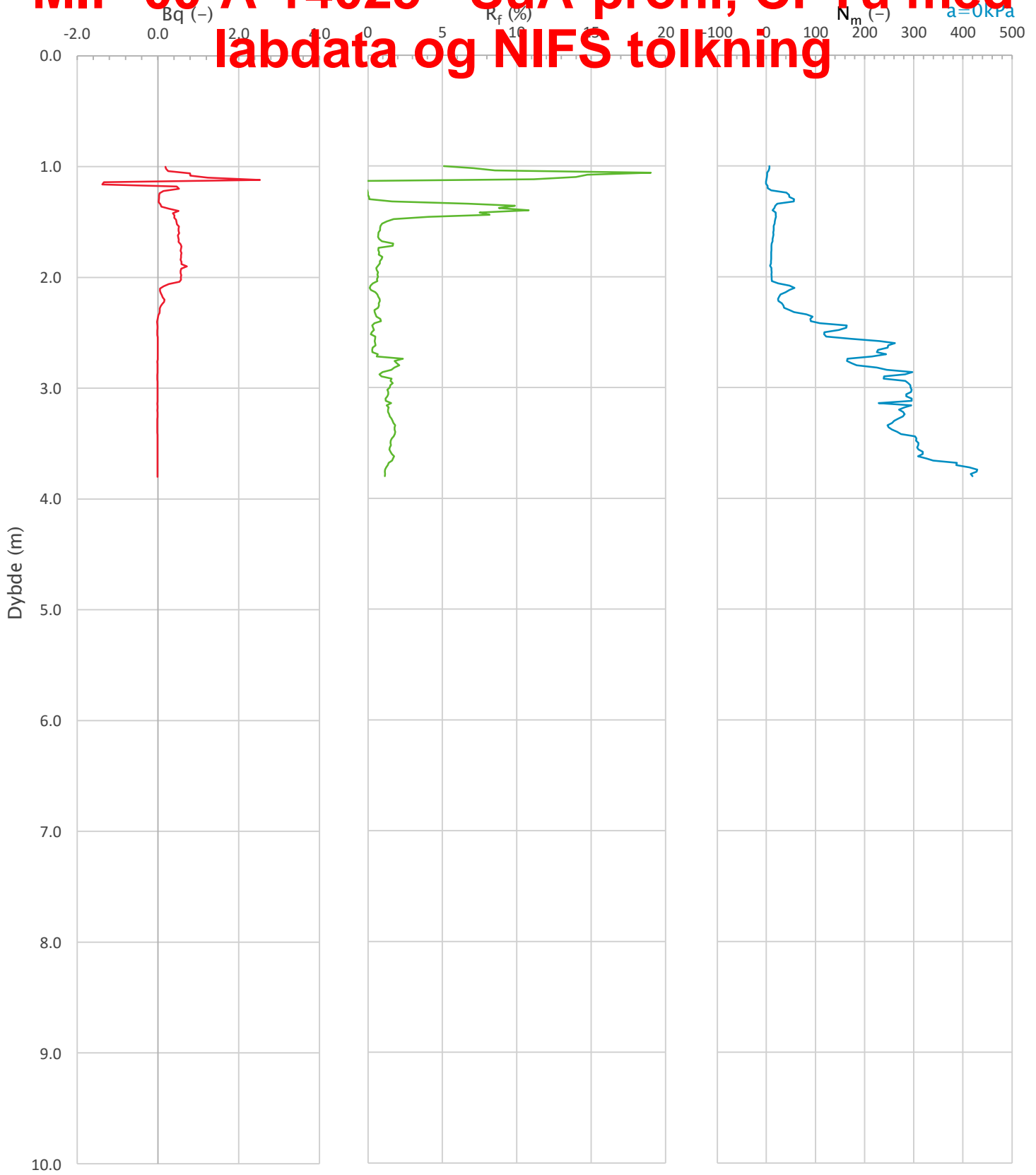
Prosjekt		Prosjektnummer: 900078 Rapportnummer: MIP-00-A-14024		Borhull	Kote +116.3
<b>Ski Hensetting</b>				<b>H306</b>	
Innhold		Jordartsklassifisering etter NIFS 2015 – detektering av sensitive materialer		Sondennummer	
				<b>5310</b>	
 <b>Statens vegvesen</b>	Utført	Kontrollert	Godkjent	Anvend.klasse	1
	SOHJ	JAJE	TTR		
	Divisjon	Dato sondering	Revisjon	Figur	21
	Ekstern konsulent	22.09.2020	Rev. dato		


# MIP-00-A-14025 - SuA-profil, CPTu med labdata og NIFS tolkning



Prosjekt		Prosjektnummer: 900078 Rapportnummer: MIP-00-A-14024		Borhull	Kote +108.4
<b>Ski Hensetting</b>				<b>H309</b>	
Innhold		In-situ poretrykk, total- og effektiv vertikalspenning i beregninger		Sondennummer	<b>5310</b>
 <b>Statens vegvesen</b>	Utført	Kontrollert	Godkjent	Anvend.klasse	<b>1</b>
	SOHJ	JAJE	TTR		
	Divisjon	Dato sondering	Revisjon	Figur	<b>2</b>
	Ekstern konsulent	22.09.2020	Rev. dato		

# MIP-00-A-14025 - SuA-profil, CPTu med labdata og NIFS tolkning



Prosjekt		Prosjektnummer: 900078 Rapportnummer: MIP-00-A-14024		Borhull	Kote +108.4
<b>Ski Hensetting</b>				<b>H309</b>	
Innhold				Sondenummer	
Avledede dimensjonsløse forhold				<b>5310</b>	
 <b>Statens vegvesen</b>	Utført	Kontrollert	Godkjent	Anvend.klasse	
	SOHJ	JAJE	TTR	1	
	Divisjon	Dato sondering	Revisjon	Figur	
	Ekstern konsulent	22.09.2020	Rev. dato	4	



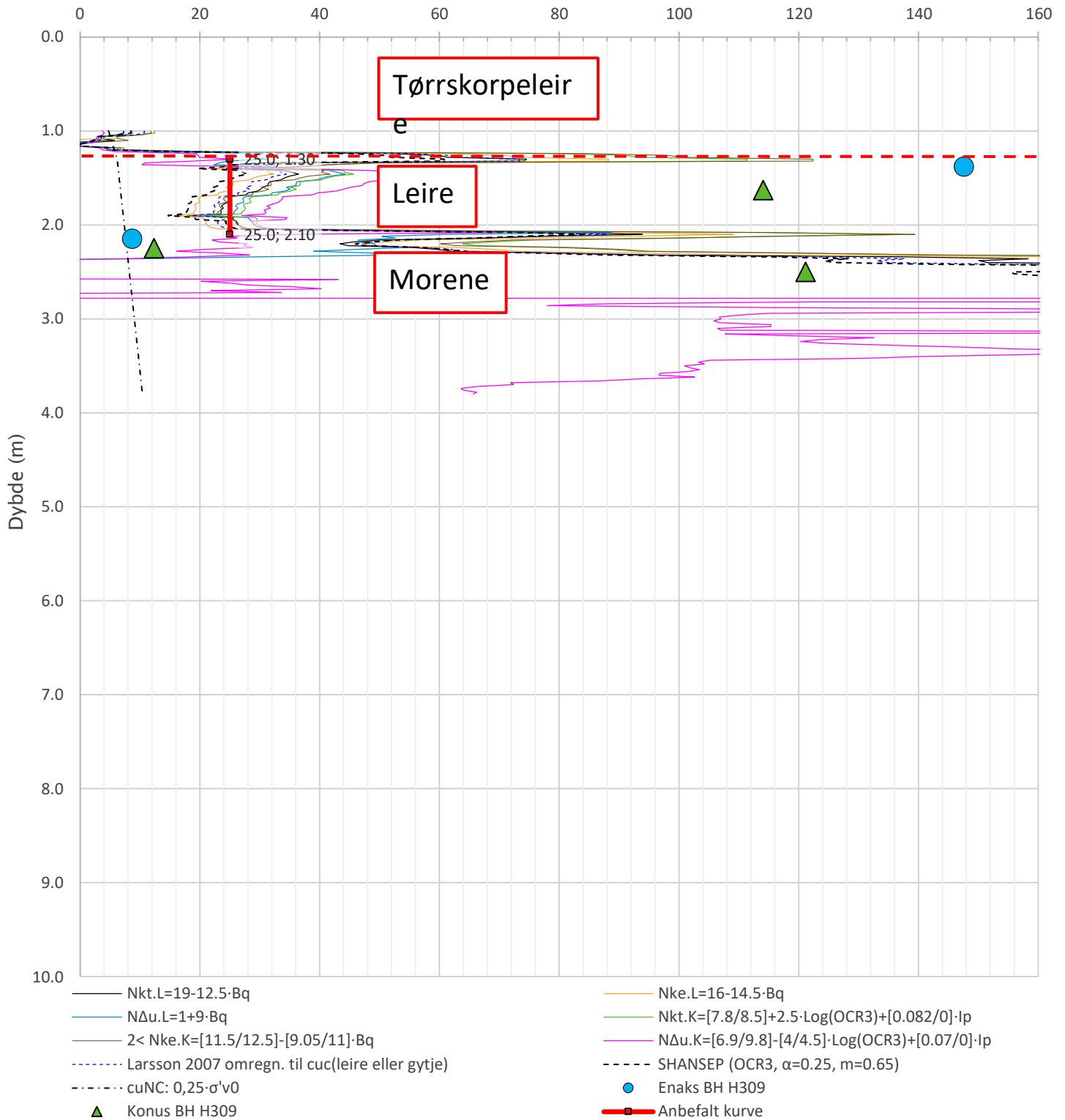
# MIP-00-A-14025 - SuA-profil, CPTu med labdata og NIFS tolkning


Anisotropiforhold i figur.

Enaks BH H309:  $c_{uc}/c_{ucptu} = var$  (min:0.632 max:0.632)

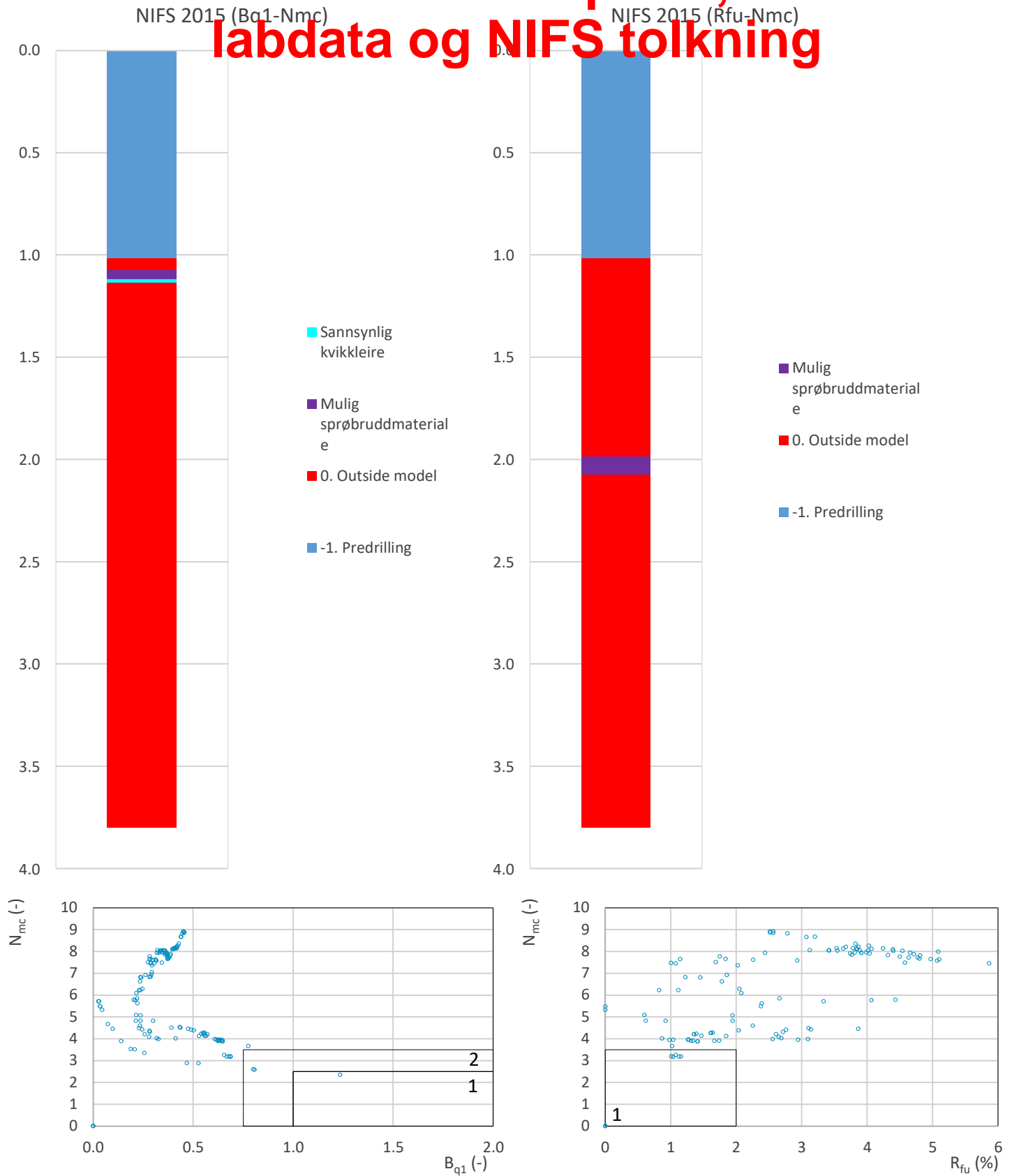
Konus BH H309:  $c_{ufc}/c_{ucptu} = var$  (min:0.632 max:0.632)

Udrenert aktiv skjærfasthet,  $c_{ucptu}$  (kPa)



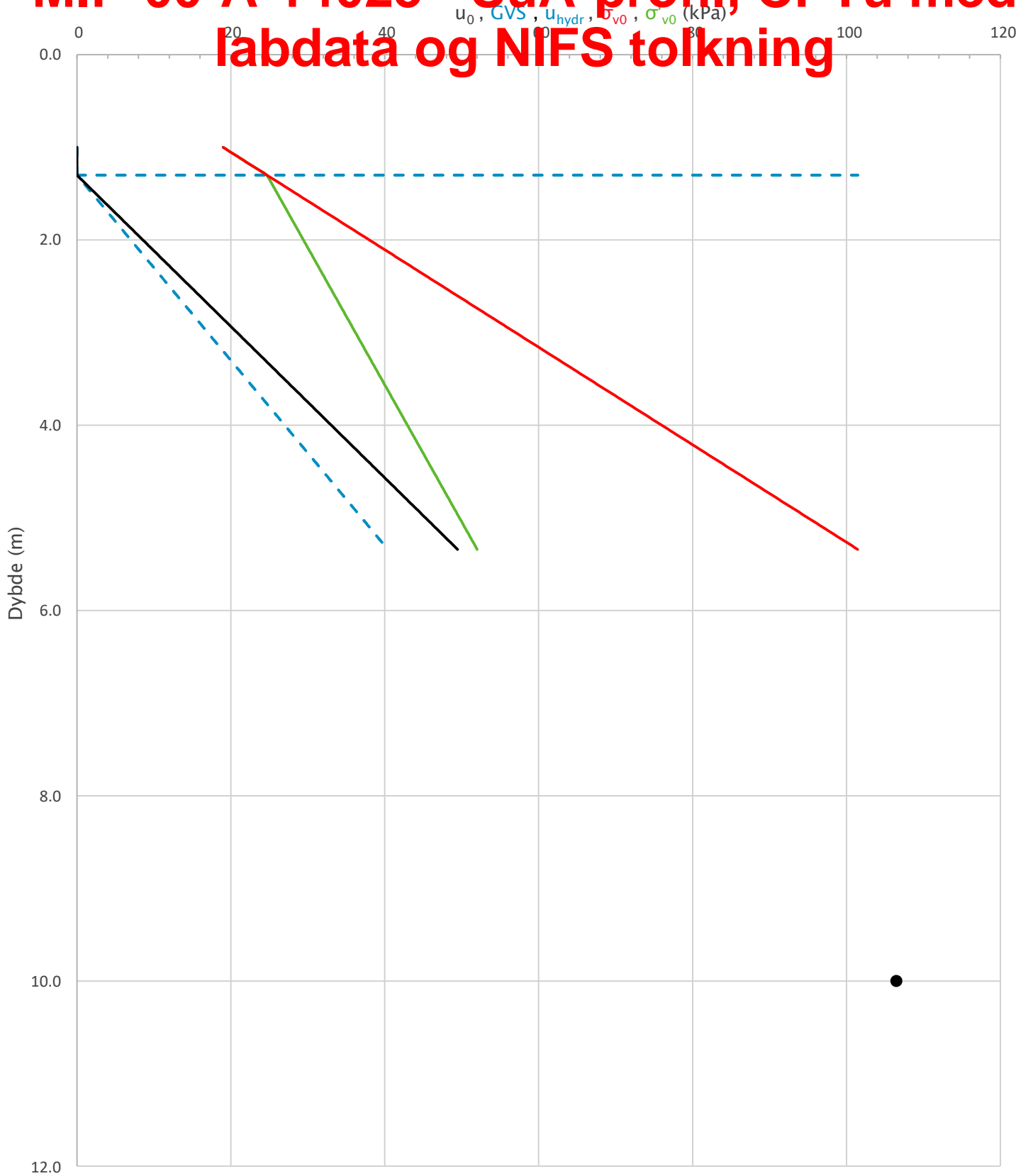
Prosjekt	Prosjektnummer: 900078 Rapportnummer: MIP-00-A-14024		Borhull	Kote +108.4
<b>Ski Hensetting</b>			<b>H309</b>	
Innhold	Tolkning av udrenert aktiv skjærfasthet		Sondennummer	<b>5310</b>
 Statens vegvesen	Utført	Kontrollert	Godkjent	Anvend.klasse
	SOHJ	JAJE	TTR	1
	Divisjon	Dato sondering	Revisjon	Figur
Ekstern konsulent	22.09.2020	Rev. dato	5	

# MIP-00-A-14025 - SuA-profil, CPTu med labdata og NIFS tolkning



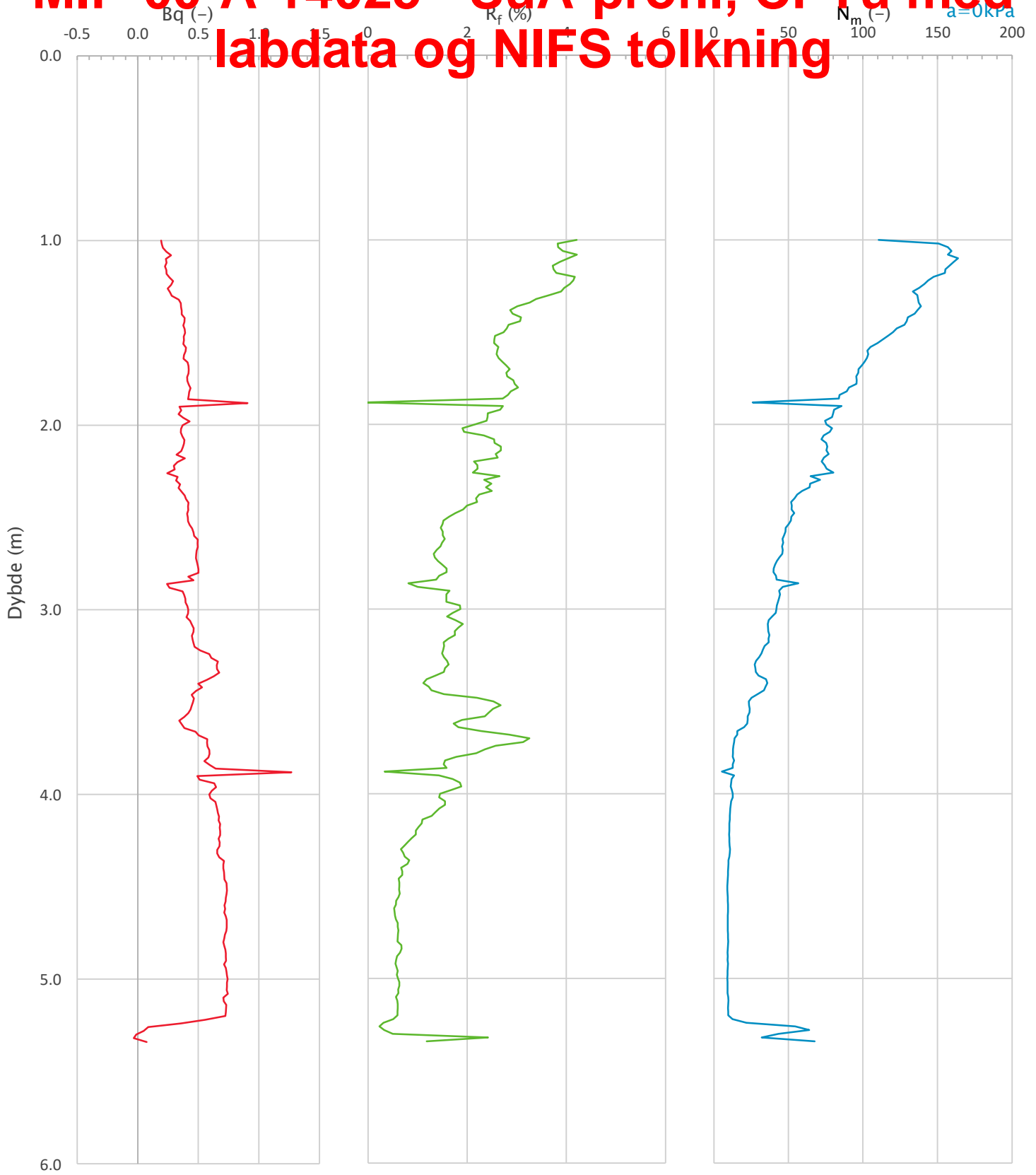
Prosjekt			Prosjektnummer: 900078 Rapportnummer: MIP-00-A-14024		Borhull	Kote +108.4
<b>Ski Hensetting</b>					<b>H309</b>	
Innhold			Jordartsklassifisering etter NIFS 2015 – detektering av sensitive materialer		Sondennummer	
					<b>5310</b>	
 <b>Statens vegvesen</b>	Utført	Kontrollert	Godkjent	Anvend.klasse		
	SOHJ	JAJE	TTR	1		
	Divisjon	Dato sondering	Revisjon	Figur		
	Ekstern konsulent	22.09.2020	Rev. dato	21		


# MIP-00-A-14025 - SuA-profil, CPTu med labdata og NIFS tolkning



Prosjekt		Prosjektnummer: 900078 Rapportnummer: MIP-00-A-14024		Borhull	Kote +105.5
<b>Ski Hensetting</b>				<b>H321</b>	
Innhold		In-situ poretrykk, total- og effektiv vertikalspenning i beregninger		Sondennummer	
				<b>5310</b>	
 <b>Statens vegvesen</b>	Utført	Kontrollert	Godkjent	Anvend.klasse	
	SOHJ	JAJE	TTR	1	
	Divisjon	Dato sondering	Revisjon	Figur	
	Ekstern konsulent	15.02.2021	Rev. dato	2	

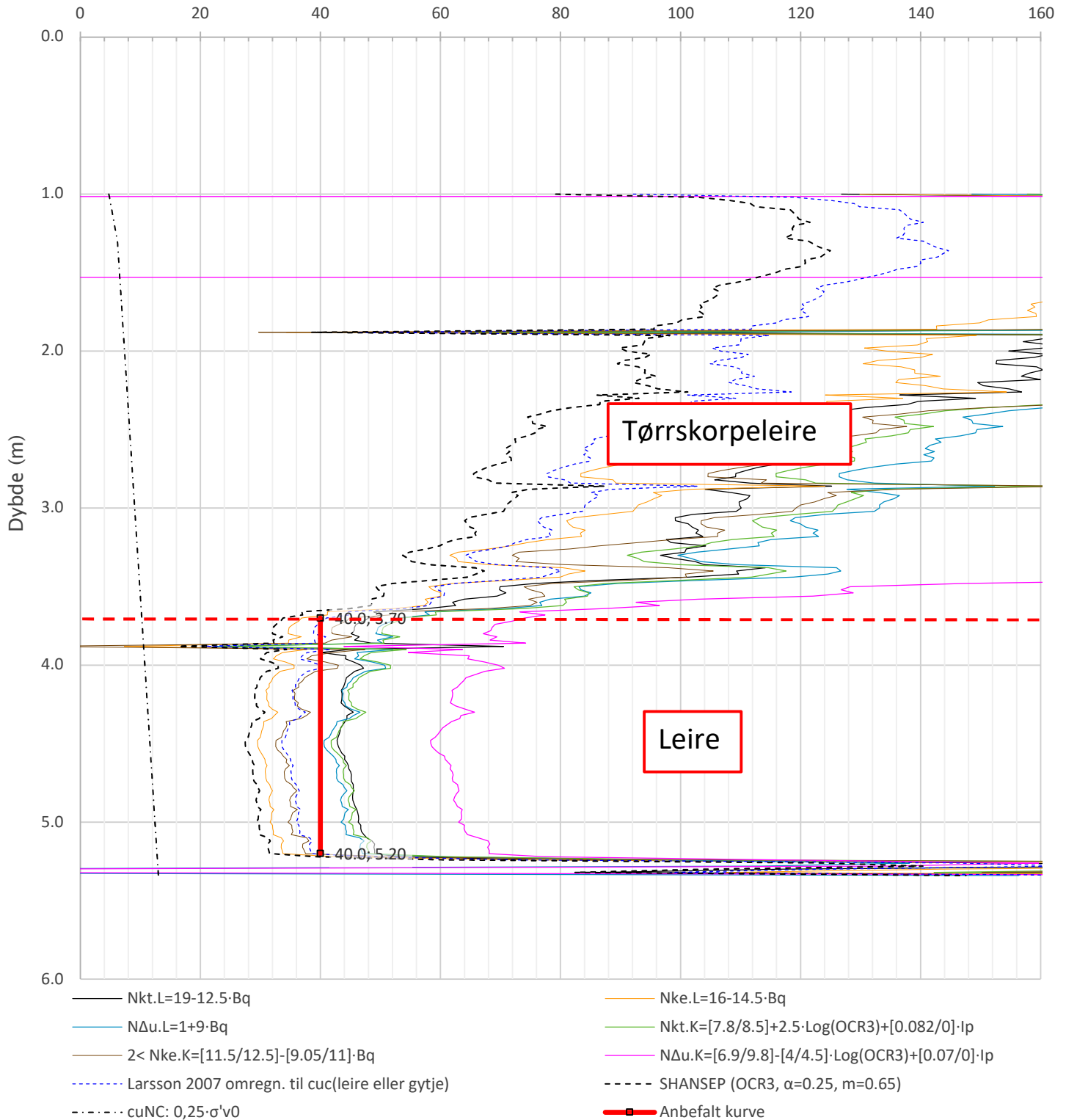
# MIP-00-A-14025 - SuA-profil, CPTu med labdata og NIFS tolkning




Prosjekt		Prosjektnummer: 900078 Rapportnummer: MIP-00-A-14024		Borhull	Kote +105.5
<b>Ski Hensetting</b>				<b>H321</b>	
Innhold				Sondennummer	
Avledede dimensjonsløse forhold				<b>5310</b>	
 <b>Statens vegvesen</b>	Utført	Kontrollert	Godkjent	Anvend.klasse	
	SOHJ	JAJE	TTR	1	
Divisjon Ekstern konsulent	Dato sondering		Revisjon	Figur	
	15.02.2021		Rev. dato	4	

# MIP-00-A-14025 - SuA-profil, CPTu med labdata og NIFS tolkning

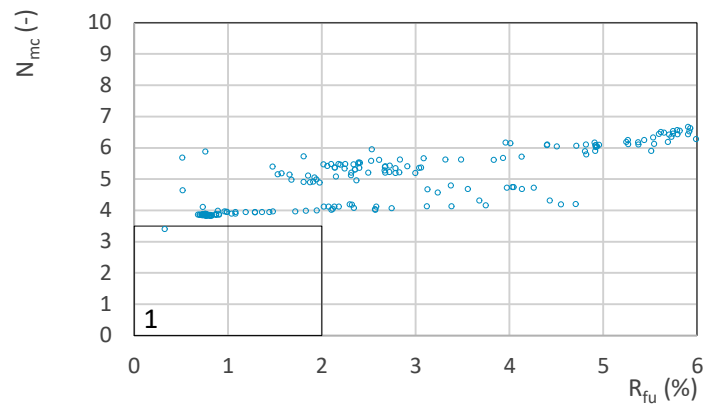
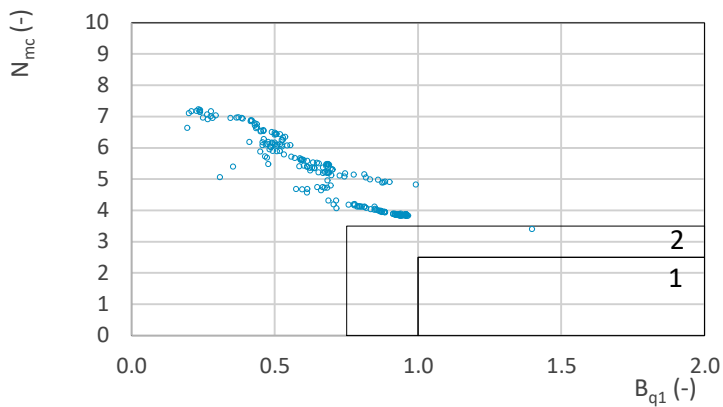
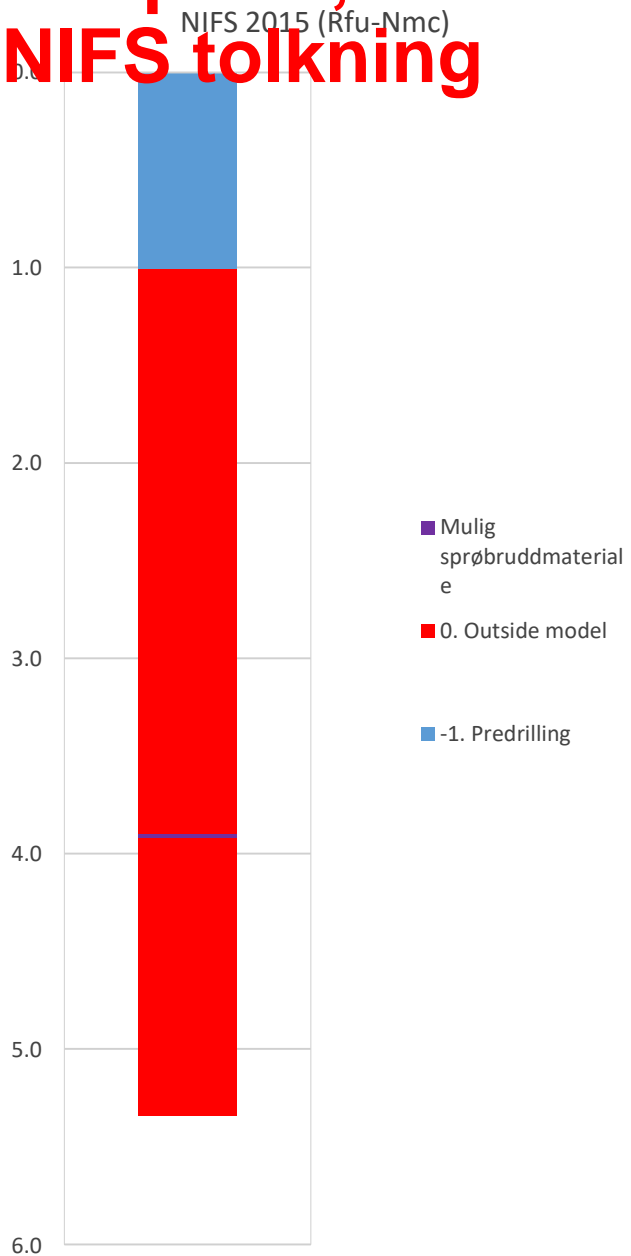
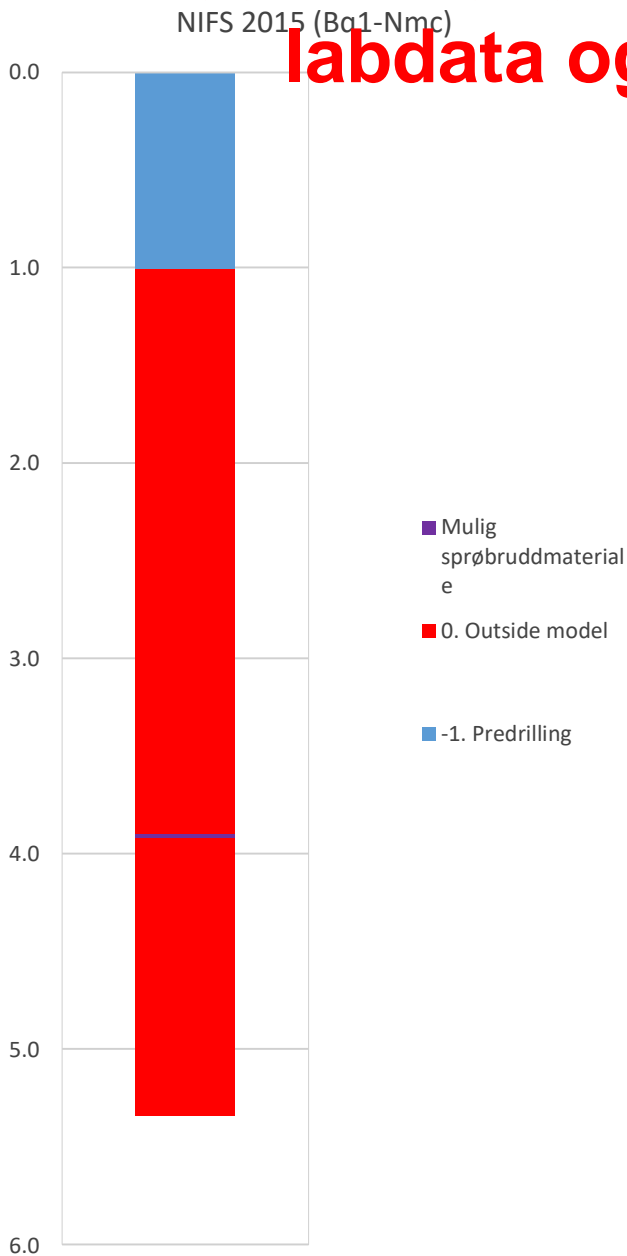
Udrenert aktiv skjærfasthet,  $c_{ucptu}$  (kPa)



Prosjekt	Prosjektnummer: 900078 Rapportnummer: MIP-00-A-14024			Borhull	Kote +105.5
<b>Ski Hensetting</b>				<b>H321</b>	
Innhold	Tolkning av udrenert aktiv skjærfasthet			Sondennummer	<b>5310</b>
 <b>Statens vegvesen</b>	Utført	Kontrollert	Godkjent	Anvend.klasse	<b>1</b>
	SOHJ	JAJE	TTR	Figur	<b>5</b>
	Divisjon Ekstern konsulent	Dato sondering 15.02.2021	Revisjon Rev. dato		

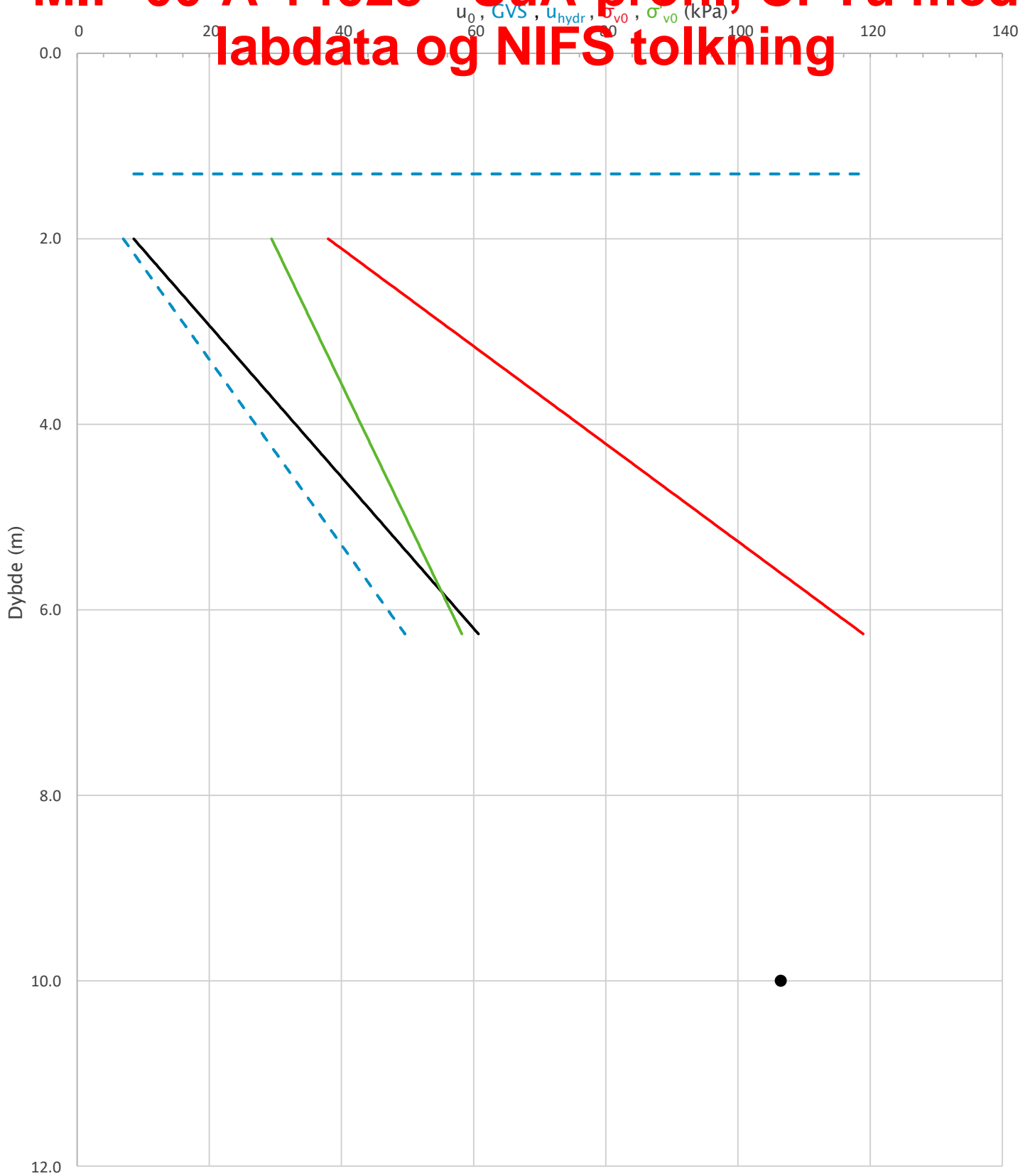


# MIP-00-A-14025 - SuA-profil, CPTu med labdata og NIFS tolkning



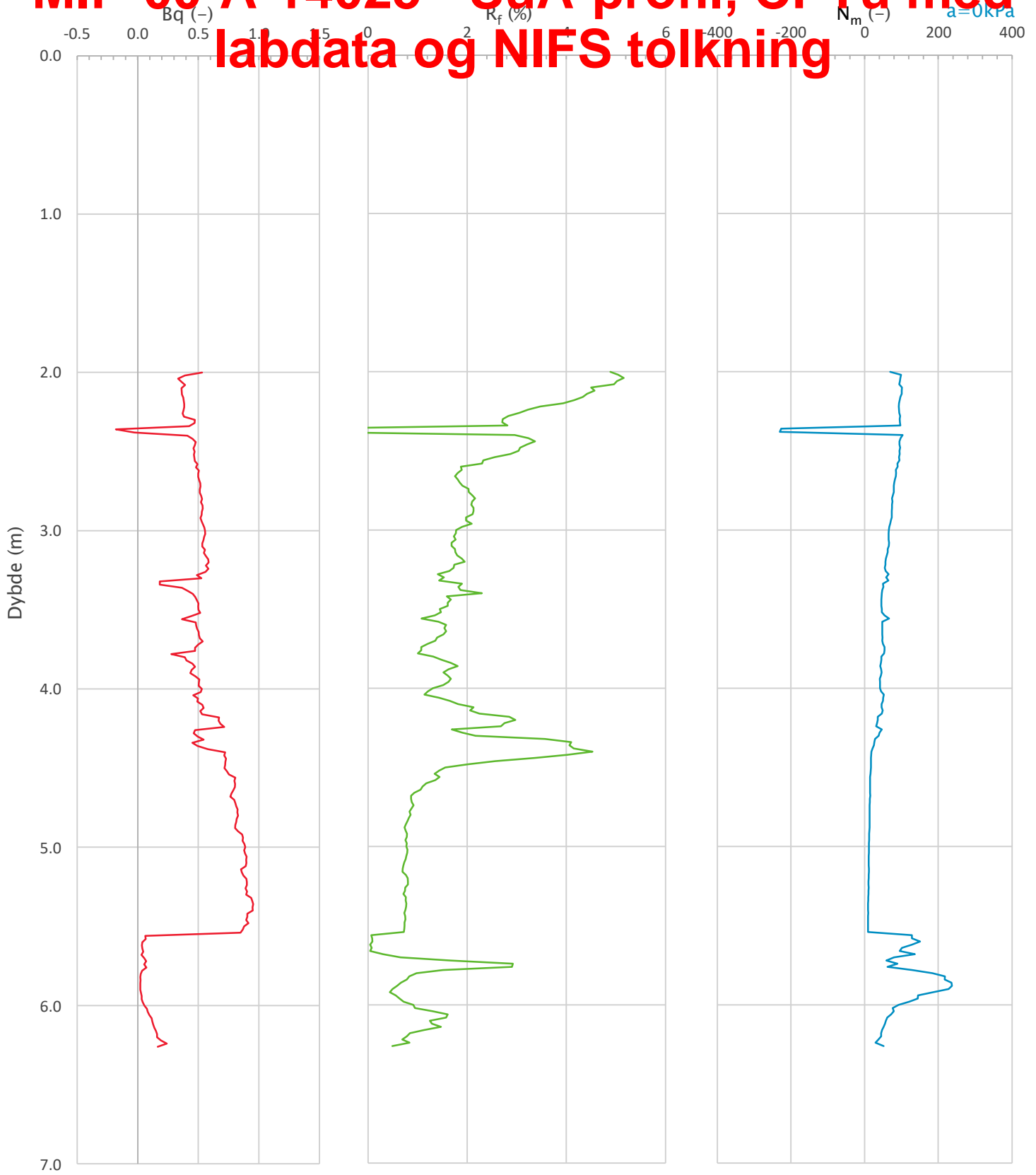
Prosjekt		Prosjektnummer: 900078 Rapportnummer: MIP-00-A-14024		Borhull	Kote +105.5
<b>Ski Hensetting</b>				<b>H321</b>	
Innhold		Jordartsklassifisering etter NIFS 2015 – detektering av sensitive materialer		Sondennummer	
				<b>5310</b>	
 <b>Statens vegvesen</b>	Utført	Kontrollert	Godkjent	Anvend.klasse	1
	SOHJ	JAJE	TTR	Figur	21
	Divisjon	Dato sondering	Revisjon		
	Ekstern konsulent	15.02.2021	Rev. dato		


# MIP-00-A-14025 - SuA-profil, CPTu med labdata og NIFS tolkning



Prosjekt		Prosjektnummer: 900078 Rapportnummer: MIP-00-A-14024		Borhull	Kote +108.5
<b>Ski Hensetting</b>				<b>H1303</b>	
Innhold				Sondenummer	
In-situ poretrykk, total- og effektiv vertikalspenning i beregninger				<b>5310</b>	
 <b>Statens vegvesen</b>	Utført	Kontrollert	Godkjent	Anvend.klasse	
	SOHJ	JAJE	TTR	1	
	Divisjon	Dato sondering	Revisjon	Figur	
Ekstern konsulent	03.02.2021	Rev. dato	2		

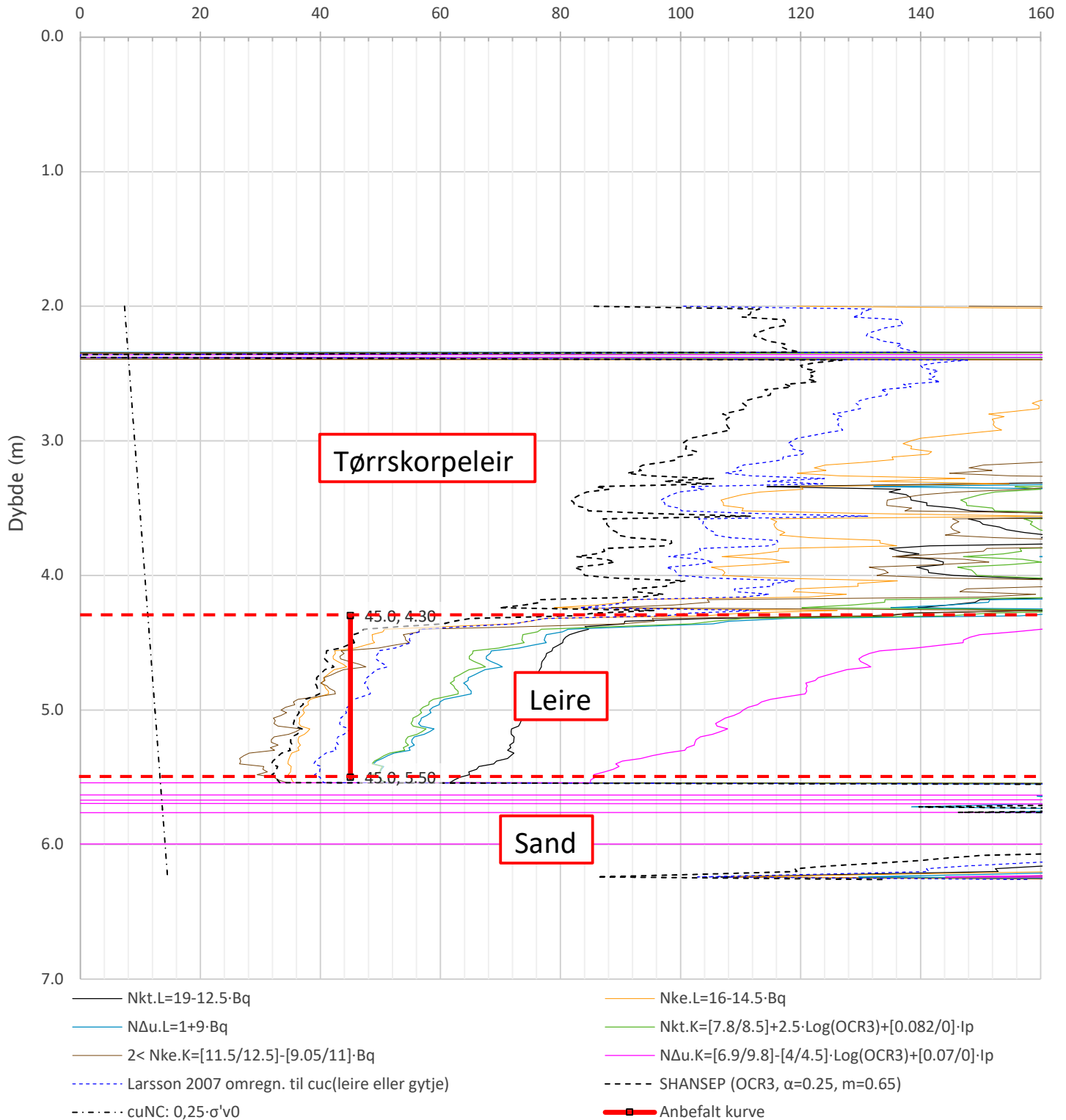
# MIP-00-A-14025 - SuA-profil, CPTu med labdata og NIFS tolkning




Prosjekt		Prosjektnummer: 900078 Rapportnummer: MIP-00-A-14024		Borhull	Kote +108.5
<b>Ski Hensetting</b>				<b>H1303</b>	
Innhold				Sondenummer	
Avledede dimensjonsløse forhold				<b>5310</b>	
 <b>Statens vegvesen</b>	Utført	Kontrollert	Godkjent	Anvend.klasse	
	SOHJ	JAJE	TTR	1	
	Divisjon	Dato sondering	Revisjon	Figur	
	Ekstern konsulent	03.02.2021	Rev. dato	4	

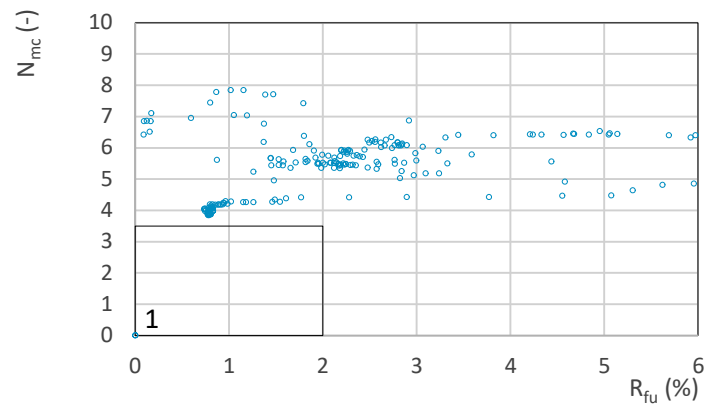
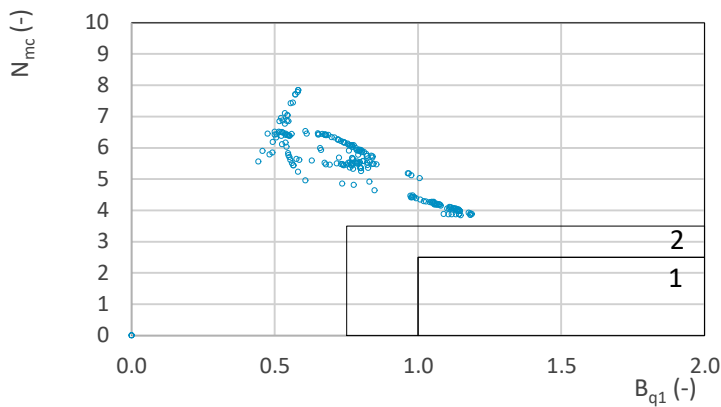
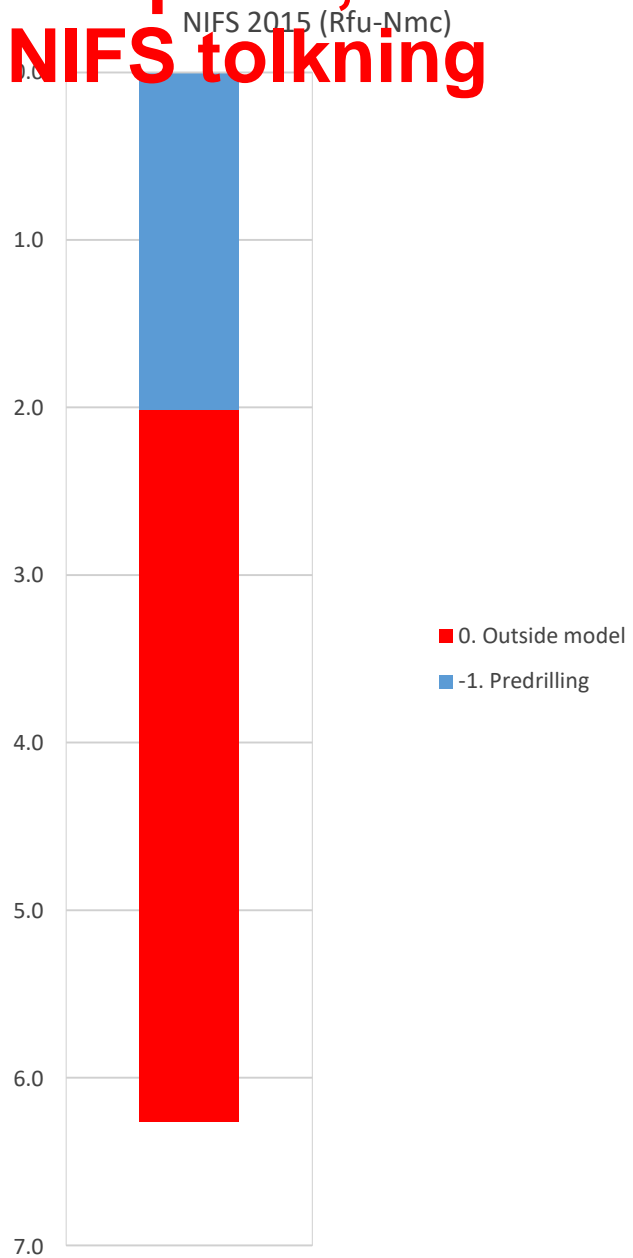
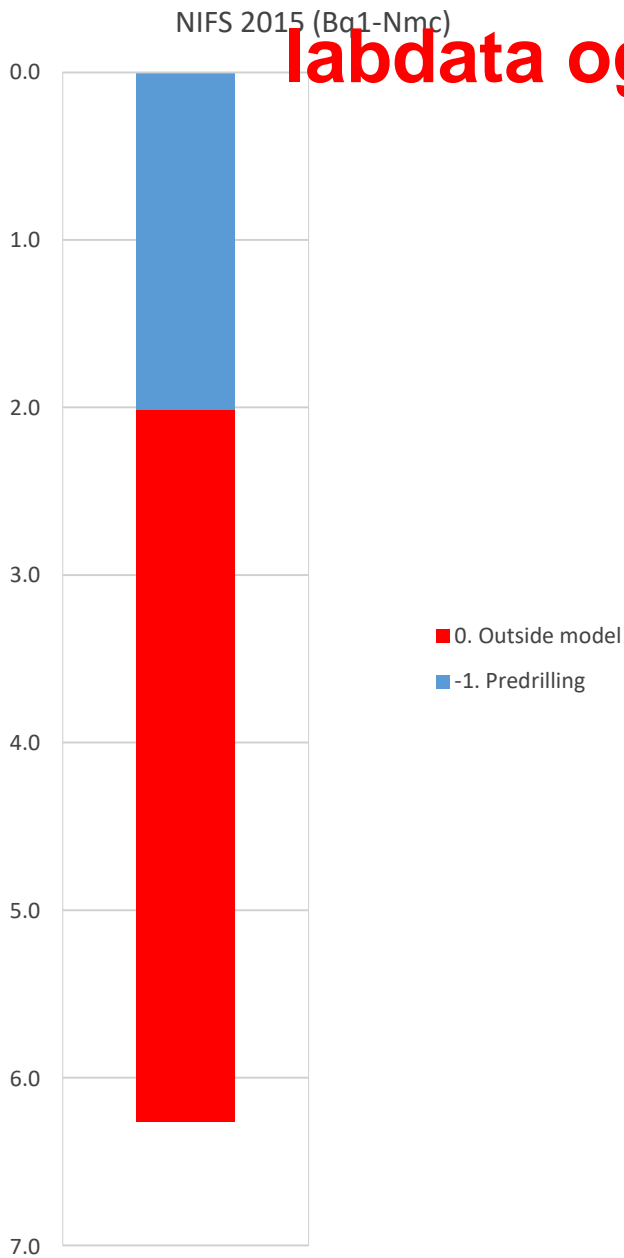
# MIP-00-A-14025 - SuA-profil, CPTu med labdata og NIFS tolkning

Udrenert aktiv skjærfasthet,  $c_{ucptu}$  (kPa)



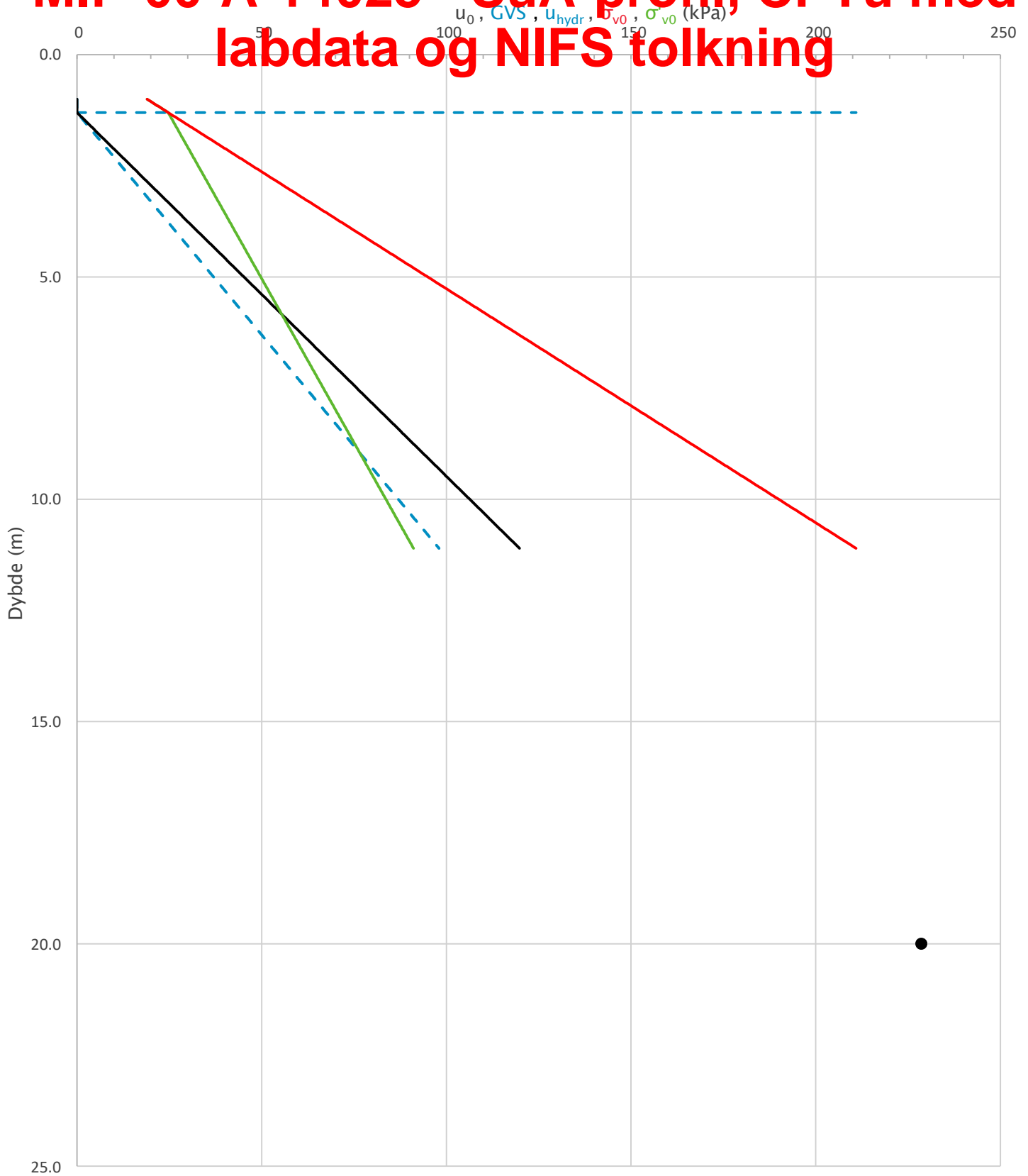
Prosjekt	Prosjektnummer: 900078 Rapportnummer: MIP-00-A-14024		Borhull	Kote +108.5
<b>Ski Hensetting</b>			<b>H1303</b>	
Innhold	Tolkning av udrenert aktiv skjærfasthet		Sondennummer	<b>5310</b>
 <b>Statens vegvesen</b>	Utført	Kontrollert	Godkjent	Anvend.klasse
	SOHJ	JAJE	TTR	1
	Divisjon	Dato sondering	Revisjon	Figur
Ekstern konsulent	03.02.2021	Rev. dato	5	

# MIP-00-A-14025 - SuA-profil, CPTu med labdata og NIFS tolkning



Prosjekt			Prosjektnummer: 900078 Rapportnummer: MIP-00-A-14024		Borhull	Kote +108.5
<b>Ski Hensetting</b>					<b>H1303</b>	
Innhold			Jordartsklassifisering etter NIFS 2015 – detektering av sensitive materialer		Sondenummer	
					<b>5310</b>	
 <b>Statens vegvesen</b>	Utført	Kontrollert	Godkjent	Anvend.klasse		
	SOHJ	JAJE	TTR	1		
	Divisjon	Dato sondering	Revisjon	Figur		
	Ekstern konsulent	03.02.2021	Rev. dato	21		

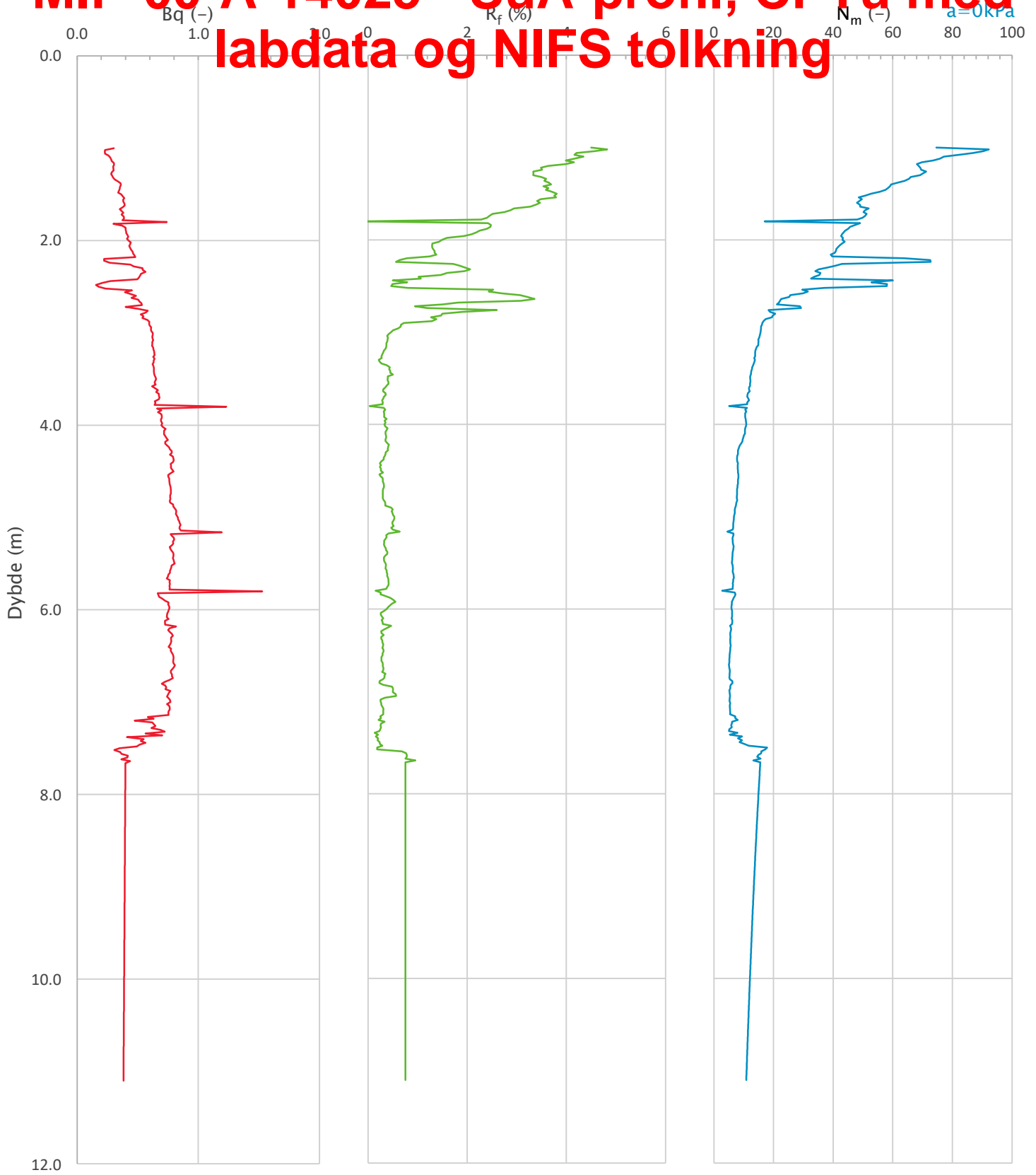
# MIP-00-A-14025 - SuA-profil, CPTu med labdata og NIFS tolkning




Prosjekt		Prosjektnummer: 900078 Rapportnummer: MIP-00-A-14024		Borhull	Kote +103.8
<b>Ski Hensetting</b>				<b>H1307</b>	
Innhold				Sondenummer	
In-situ poretrykk, total- og effektiv vertikalspenning i beregninger				<b>5310</b>	
 <b>Statens vegvesen</b>	Utført	Kontrollert	Godkjent	Anvend.klasse	
	SOHJ	JAJE	TTR	1	
	Divisjon	Dato sondering	Revisjon	Figur	
Ekstern konsulent	15.02.2021	Rev. dato	2		



# MIP-00-A-14025 - SuA-profil, CPTu med labdata og NIFS tolkning



Prosjekt		Prosjektnummer: 900078 Rapportnummer: MIP-00-A-14024		Borhull	Kote +103.8
<b>Ski Hensetting</b>				<b>H1307</b>	
Innhold				Sondenummer	
Avledede dimensjonsløse forhold				<b>5310</b>	
 <b>Statens vegvesen</b>	Utført	Kontrollert	Godkjent	Anvend.klasse	
	SOHJ	JAJE	TTR	1	
Divisjon Ekstern konsulent	Dato sondering	Revisjon	Figur		
	15.02.2021	Rev. dato	4		

# MIP-00-A-14025 - SuA-profil, CPTu med labdata og NIFS tolkning

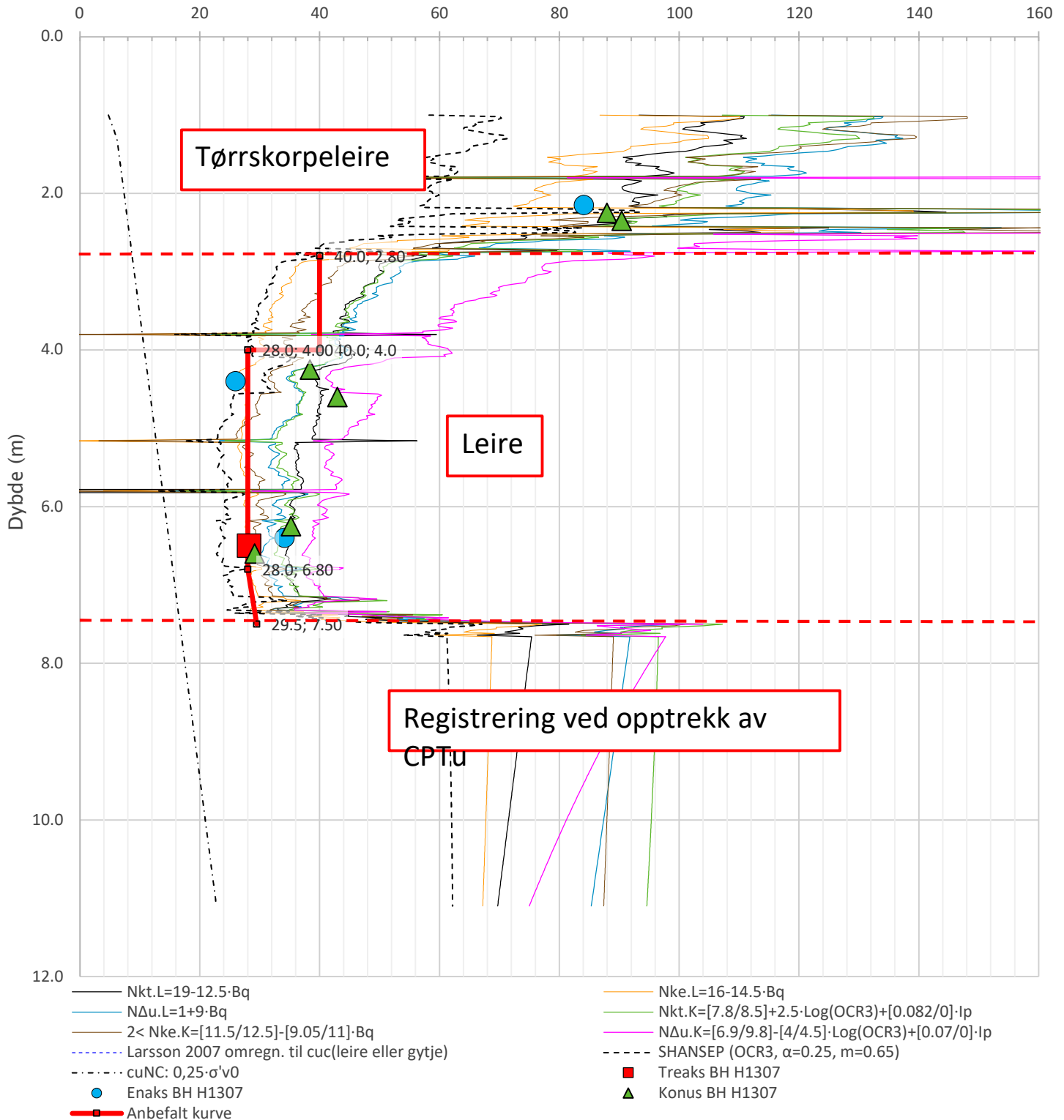
Anisotropiforhold i figur.


Treks BH H1307:  $c_uC/c_{ucptu} = 1.000$

Enaks BH H1307:  $c_{uc}/c_{ucptu}$  var. (min:0.639 max:0.652)

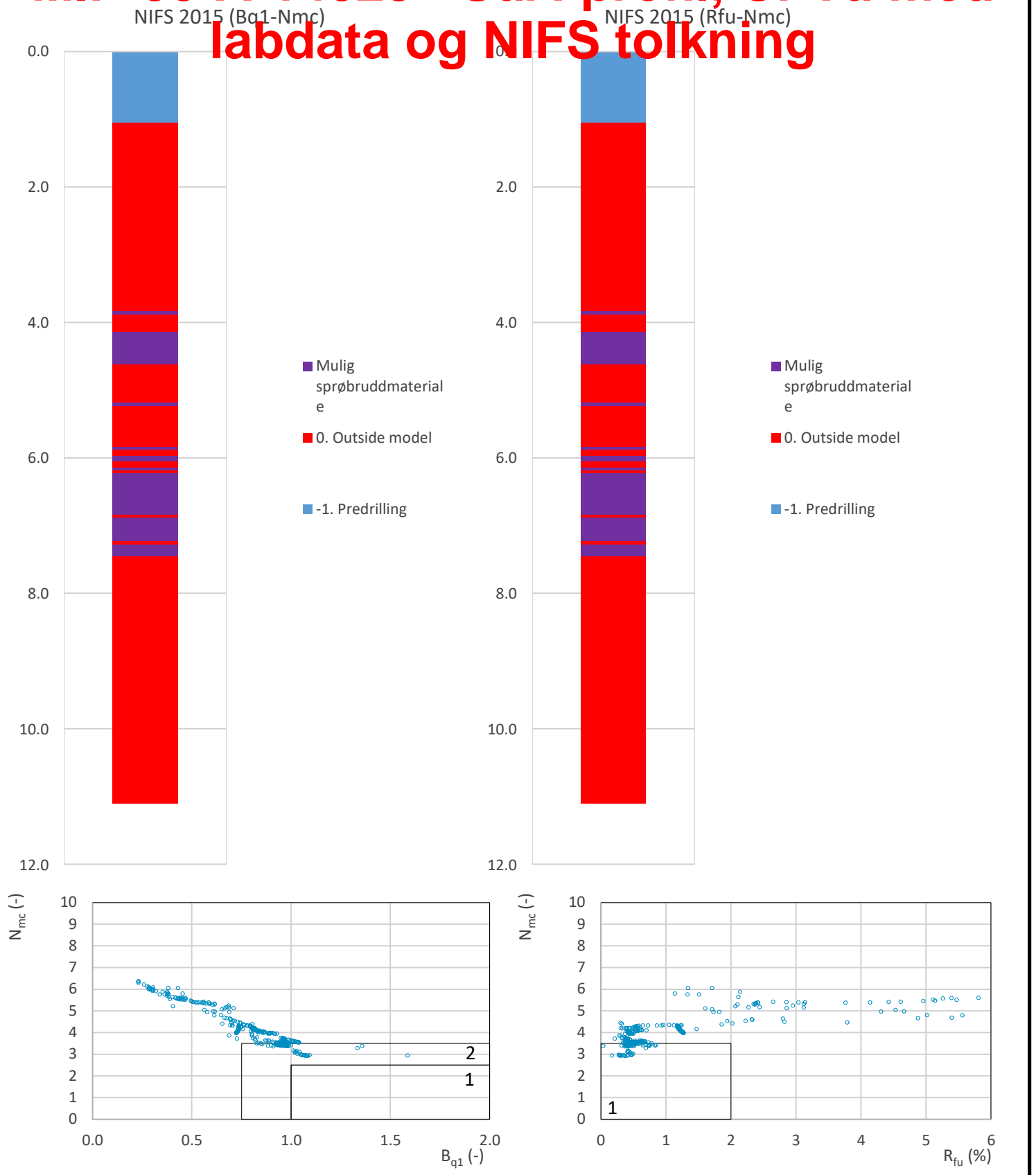
Konus BH H1307:  $c_{ufc}/c_{ucptu} = \text{var. (min:0.639 max:0.652)}$


Udrenert aktiv skjærfasthet,  $c_{ucptu}$  (kPa)



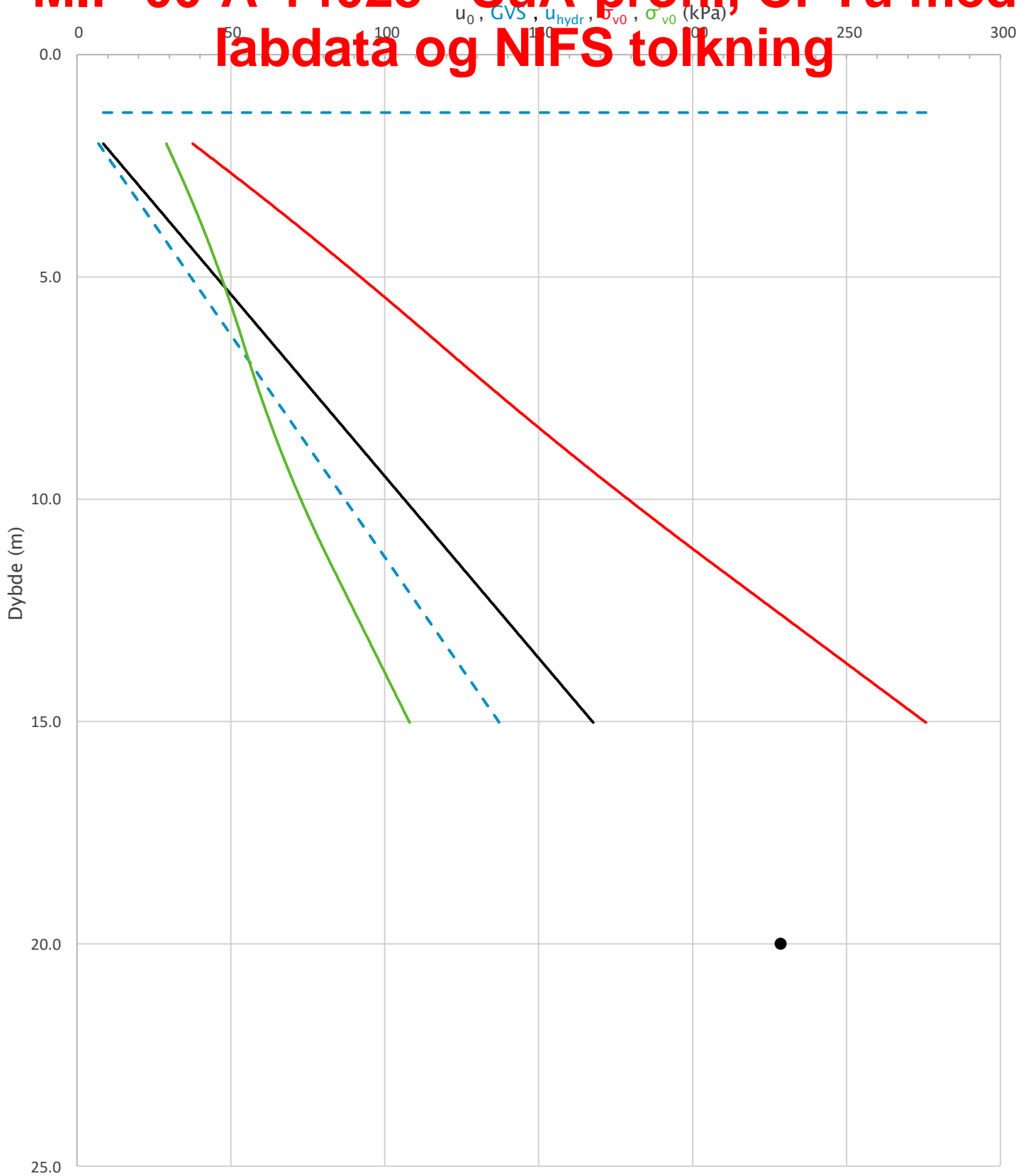
Prosjekt	Prosjektnummer: 900078 Rapportnummer: MIP-00-A-14024		Borhull	Kote +103.8
<b>Ski Hensetting</b>			<b>H1307</b>	
Innhold			Sondenummer	
Tolkning av udrenert aktiv skjærfasthet			<b>5310</b>	
 <b>Statens vegvesen</b>	Utført	Kontrollert	Godkjent	Anvend.klasse
	SOHJ	JAJE	TTR	1
	Divisjon	Dato sondering	Revisjon	Figur
Ekstern konsulent	15.02.2021	Rev. dato	5	

# MIP-00-A-14025 - SuA-profil, CPTu med labdata og NIFS tolkning



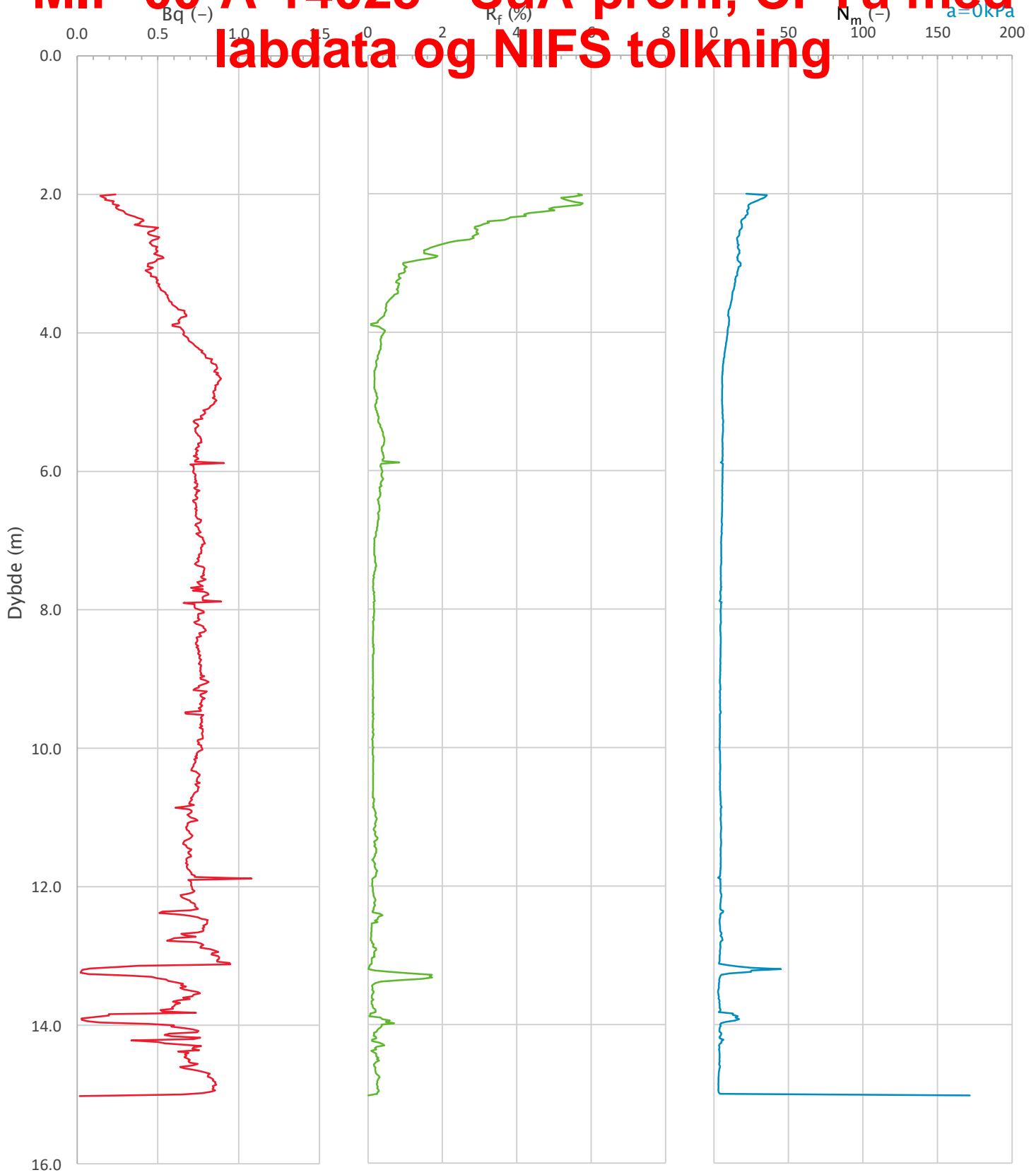
Prosjekt		Prosjektnummer: 900078 Rapportnummer: MIP-00-A-14024		Borhull	Kote +103.8
<b>Ski Hensetting</b>				<b>H1307</b>	
Innhold		Jordartsklassifisering etter NIFS 2015 – detektering av sensitive materialer		Sondennummer	
				<b>5310</b>	
 <b>Statens vegvesen</b>	Utført	Kontrollert	Godkjent	Anvend.klasse	1
	SOHJ	JAJE	TTR		
	Divisjon	Dato sondering	Revisjon	Figur	21
	Ekstern konsulent	15.02.2021	Rev. dato		


# MIP-00-A-14025 - SuA-profil, CPTu med labdata og NIFS tolkning



Prosjekt		Prosjektnummer: 900078 Rapportnummer: MIP-00-A-14024		Borhull	Kote +95.9
<b>Ski Hensetting</b>				<b>H1314</b>	
Innhold		In-situ poretrykk, total- og effektiv vertikalspenning i beregninger		Sondennummer	
				<b>5310</b>	
 <b>Statens vegvesen</b>	Utført	Kontrollert	Godkjent	Anvend.klasse	
	SOHJ	JAJE	TTR	1	
	Divisjon	Dato sondering	Revisjon	Figur	
Ekstern konsulent	09.02.2021	Rev. dato	2		

# MIP-00-A-14025 - SuA-profil, CPTu med labdata og NIFS tolkning



Prosjekt		Prosjektnummer: 900078 Rapportnummer: MIP-00-A-14024		Borhull	Kote +95.9
<b>Ski Hensetting</b>				<b>H1314</b>	
Innhold				Sondenummer	
Avledede dimensjonsløse forhold				<b>5310</b>	
 <b>Statens vegvesen</b>	Utført	Kontrollert	Godkjent	Anvend.klasse	
	SOHJ	JAJE	TTR	1	
Divisjon Ekstern konsulent	Dato sondering	Revisjon	Figur		
	09.02.2021	Rev. dato	4		

# MIP-00-A-14025 - SuA-profil, CPTu med labdata og NIFS tolkning

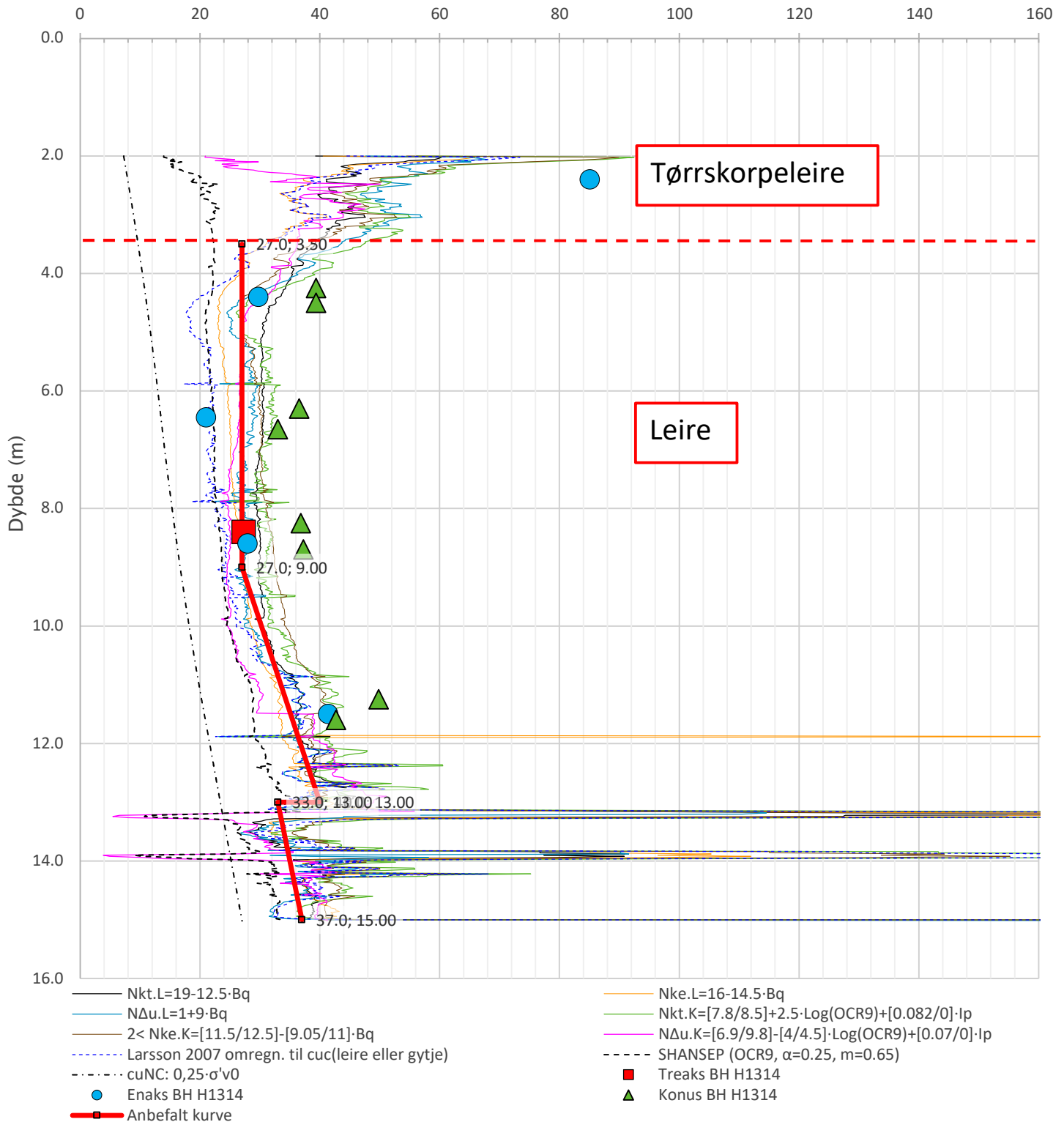
Anisotropiforhold i figur.


Treks BH H1314:  $c_u/c_{ucptu} = 1.000$

Enaks BH H1314:  $c_{uc}/c_{ucptu} = \text{var. (min:0.63 max:0.70)}$

Konus BH H1314:  $c_{ufc}/c_{ucptu} = \text{var. (min:0.630 max:0.709)}$

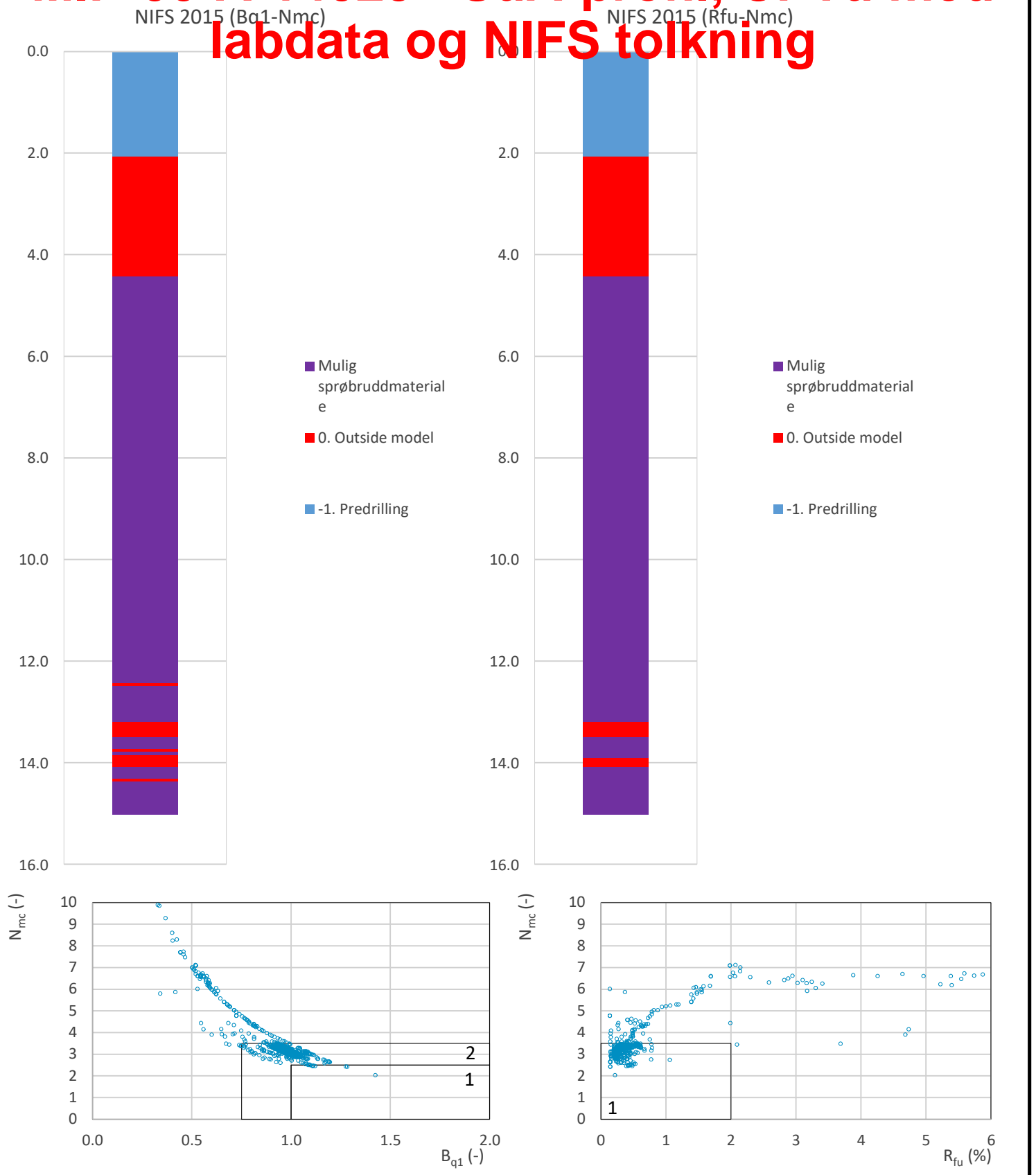
Udrenert aktiv skjærfasthet,  $c_{ucptu}$  (kPa)




Prosjekt	Prosjektnummer: 900078 Rapportnummer: MIP-00-A-14024		Borhull	Kote +95.9
<b>Ski Hensetting</b>			<b>H1314</b>	
Innhold			Sondennummer	
Tolkning av udrenert aktiv skjærfasthet			<b>5310</b>	
 <b>Statens vegvesen</b>	Utført	Kontrollert	Godkjent	Anvend.klasse
	SOHJ	JAJE	TTR	1
	Divisjon	Dato sondering	Revisjon	Figur
Ekstern konsulent	09.02.2021	Rev. dato	5	

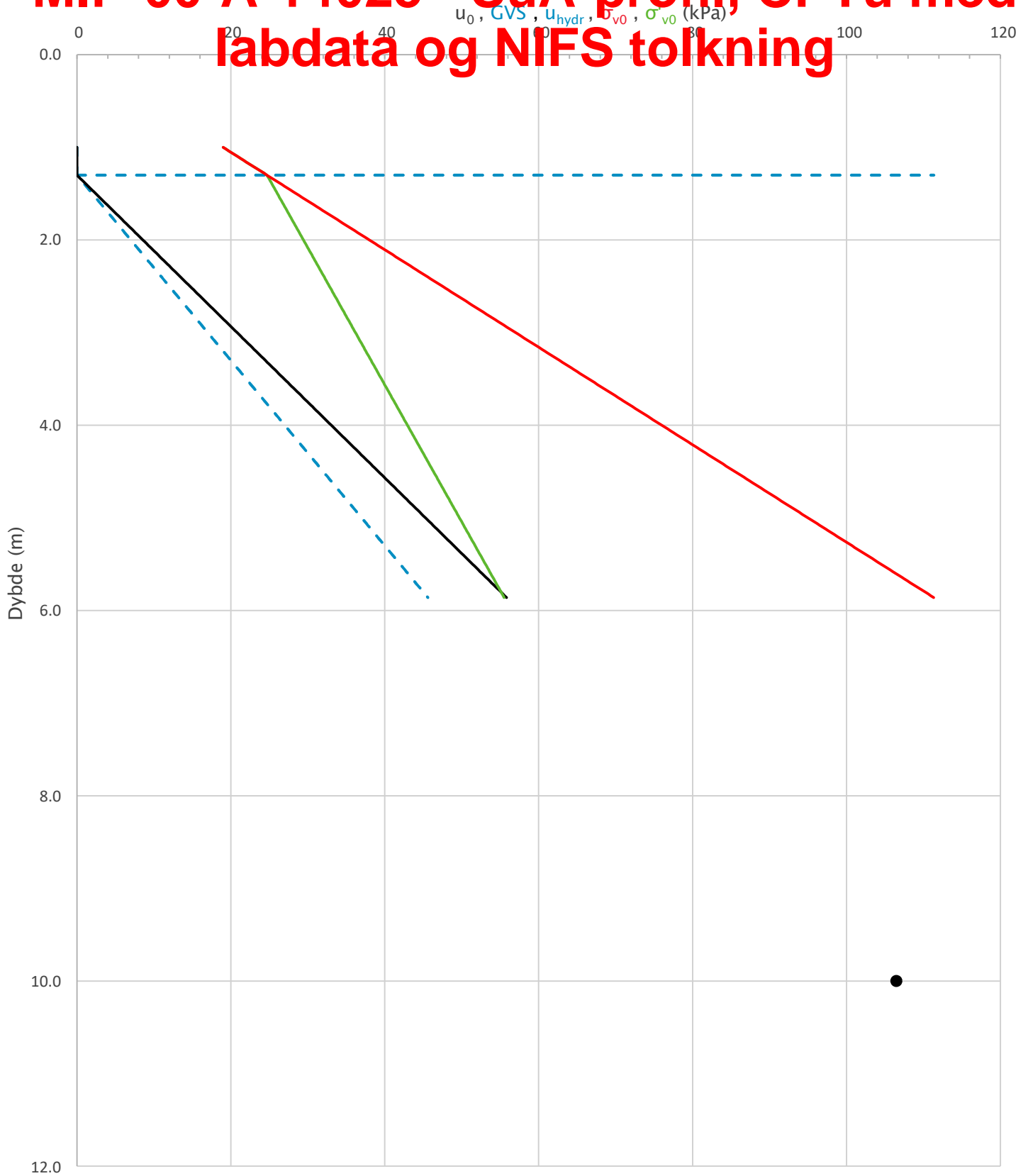


# MIP-00-A-14025 - SuA-profil, CPTu med labdata og NIFS tolkning



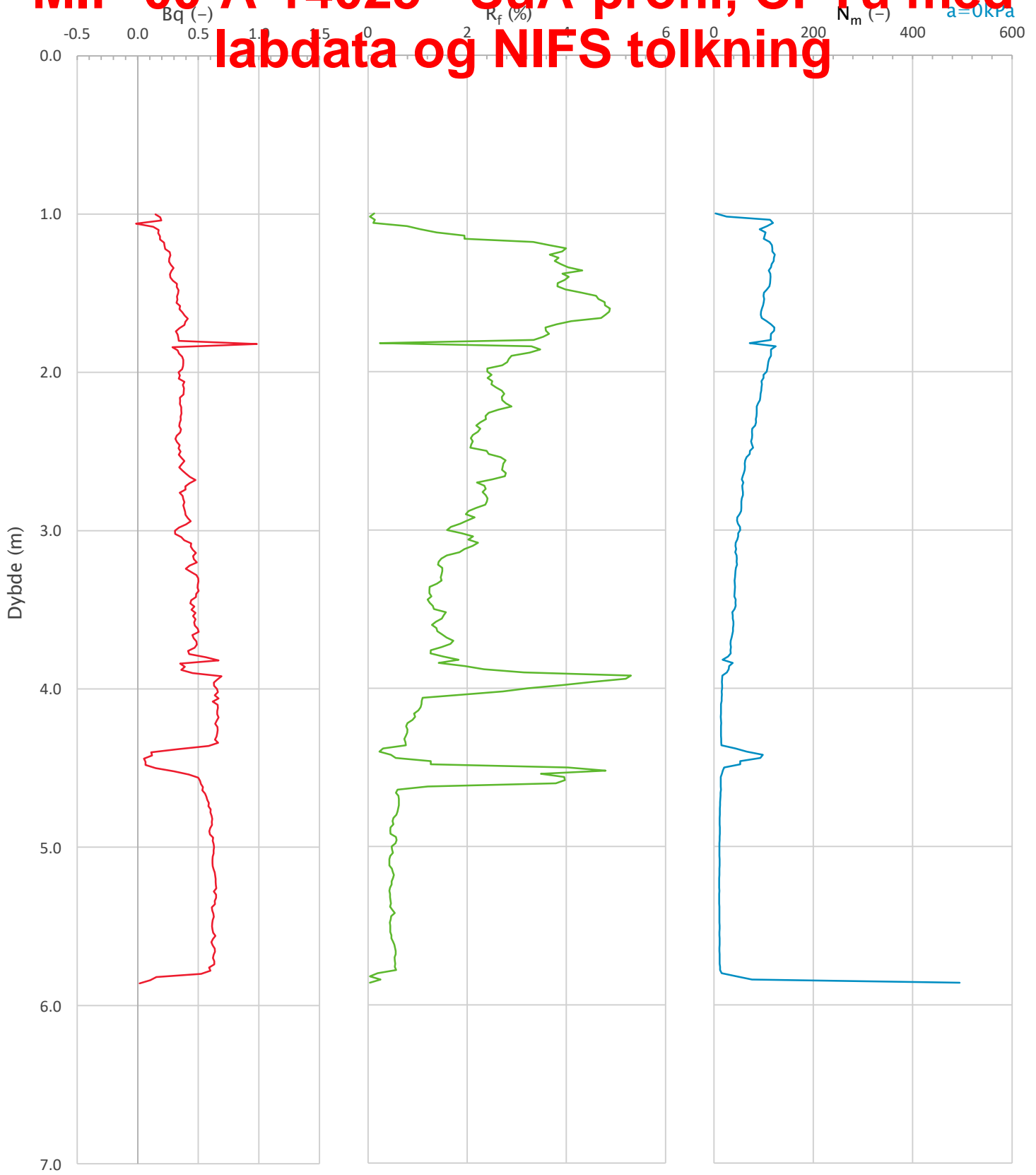
Prosjekt		Prosjektnummer: 900078 Rapportnummer: MIP-00-A-14024		Borhull	Kote +95.9
<b>Ski Hensetting</b>				<b>H1314</b>	
Innhold		Jordartsklassifisering etter NIFS 2015 – detektering av sensitive materialer		Sondennummer	
				<b>5310</b>	
 <b>Statens vegvesen</b>	Utført	Kontrollert	Godkjent	Anvend.klasse	1
	SOHJ	JAJE	TTR	Figur	21
	Divisjon	Dato sondering	Revisjon		
	Ekstern konsulent	09.02.2021	Rev. dato		


# MIP-00-A-14025 - SuA-profil, CPTu med labdata og NIFS tolkning



Prosjekt		Prosjektnummer: 900078 Rapportnummer: MIP-00-A-14024		Borhull	Kote +104.2
<b>Ski Hensetting</b>				<b>H1315</b>	
Innhold				Sondenummer	
In-situ poretrykk, total- og effektiv vertikalspenning i beregninger				<b>5310</b>	
 <b>Statens vegvesen</b>	Utført	Kontrollert	Godkjent	Anvend.klasse	
	SOHJ	JAJE	TTR	1	
Divisjon Ekstern konsulent	Dato sondering		Revisjon	Figur	
	11.02.2021		Rev. dato	2	

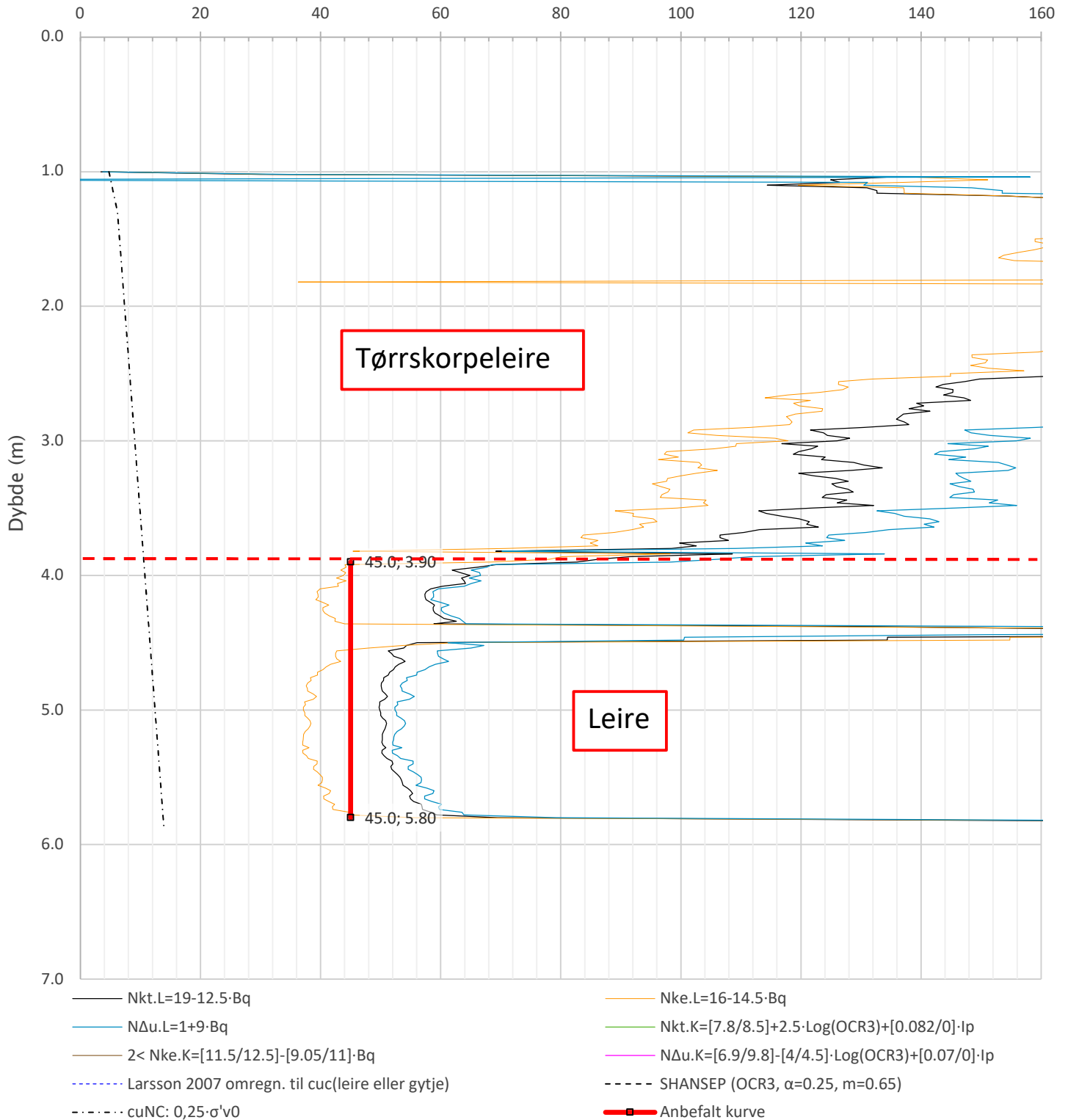
# MIP-00-A-14025 - SuA-profil, CPTu med labdata og NIFS tolkning




Prosjekt		Prosjektnummer: 900078 Rapportnummer: MIP-00-A-14024		Borhull	Kote +104.2
<b>Ski Hensetting</b>				<b>H1315</b>	
Innhold				Sondennummer	
Avledede dimensjonsløse forhold				<b>5310</b>	
 <b>Statens vegvesen</b>	Utført	Kontrollert	Godkjent	Anvend.klasse	
	SOHJ	JAJE	TTR	1	
	Divisjon	Dato sondering	Revisjon	Figur	
	Ekstern konsulent	11.02.2021	Rev. dato	4	

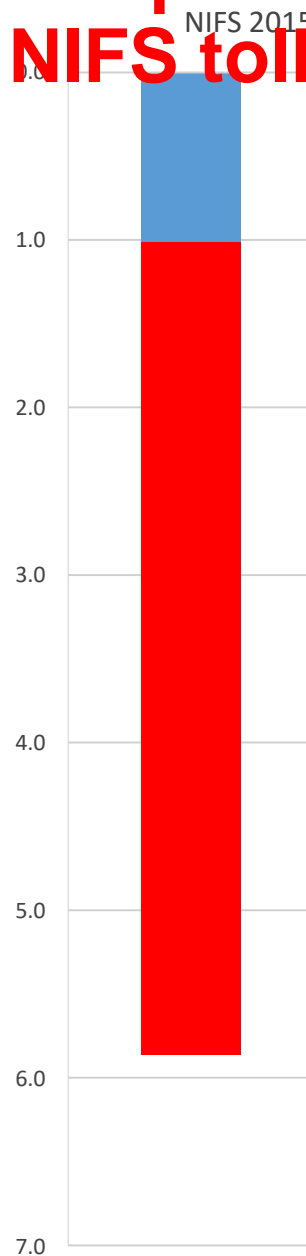
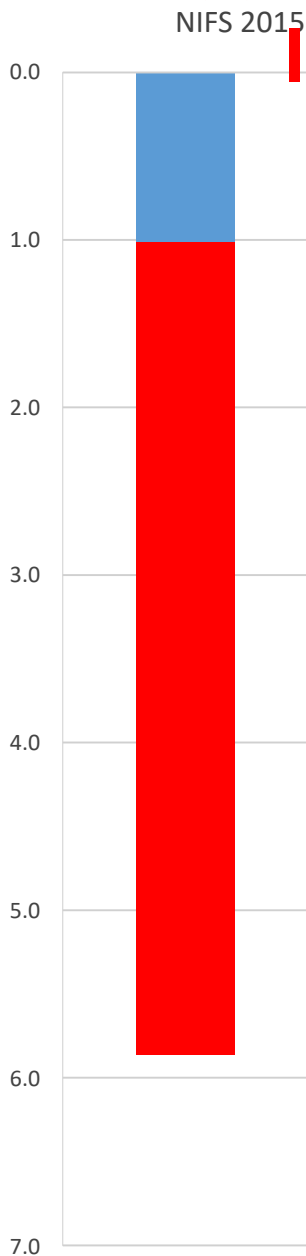
# MIP-00-A-14025 - SuA-profil, CPTu med labdata og NIFS tolkning

Udrenert aktiv skjærfasthet,  $c_{ucptu}$  (kPa)



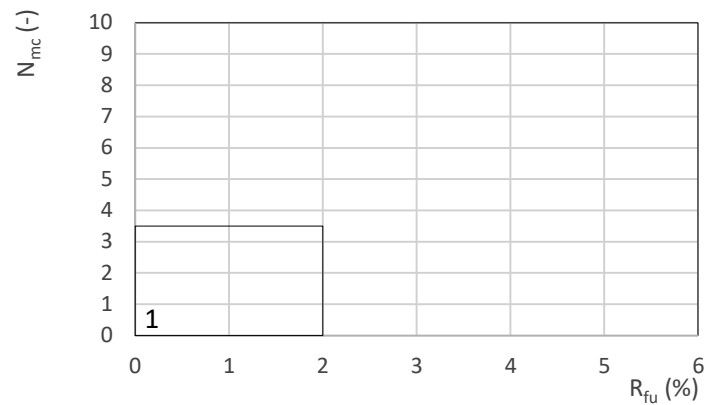
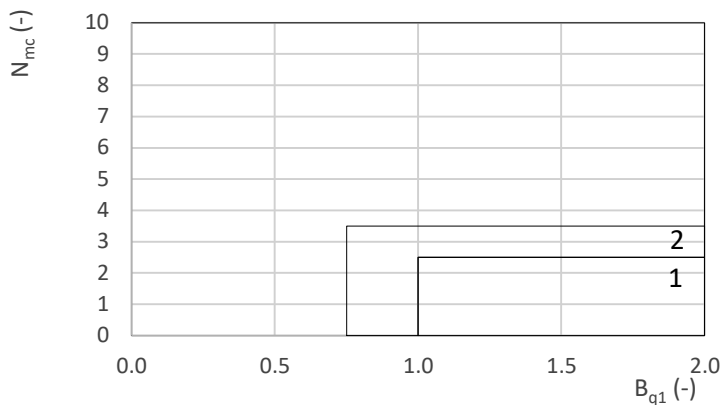
Prosjekt		Prosjektnummer: 900078 Rapportnummer: MIP-00-A-14024		Borhull	Kote +104.2
<b>Ski Hensetting</b>				<b>H1315</b>	
Innhold				Sondenummer	
Tolkning av udrenert aktiv skjærfasthet				<b>5310</b>	
 Statens vegvesen	Utført	Kontrollert	Godkjent	Anvend.klasse	1
	SOHJ	JAJE	TTR		
	Divisjon	Dato sondering	Revisjon	Figur	5
	Ekstern konsulent	11.02.2021	Rev. dato		

# MIP-00-A-14025 - SuA-profil, CPTu med labdata og NIFS tolkning



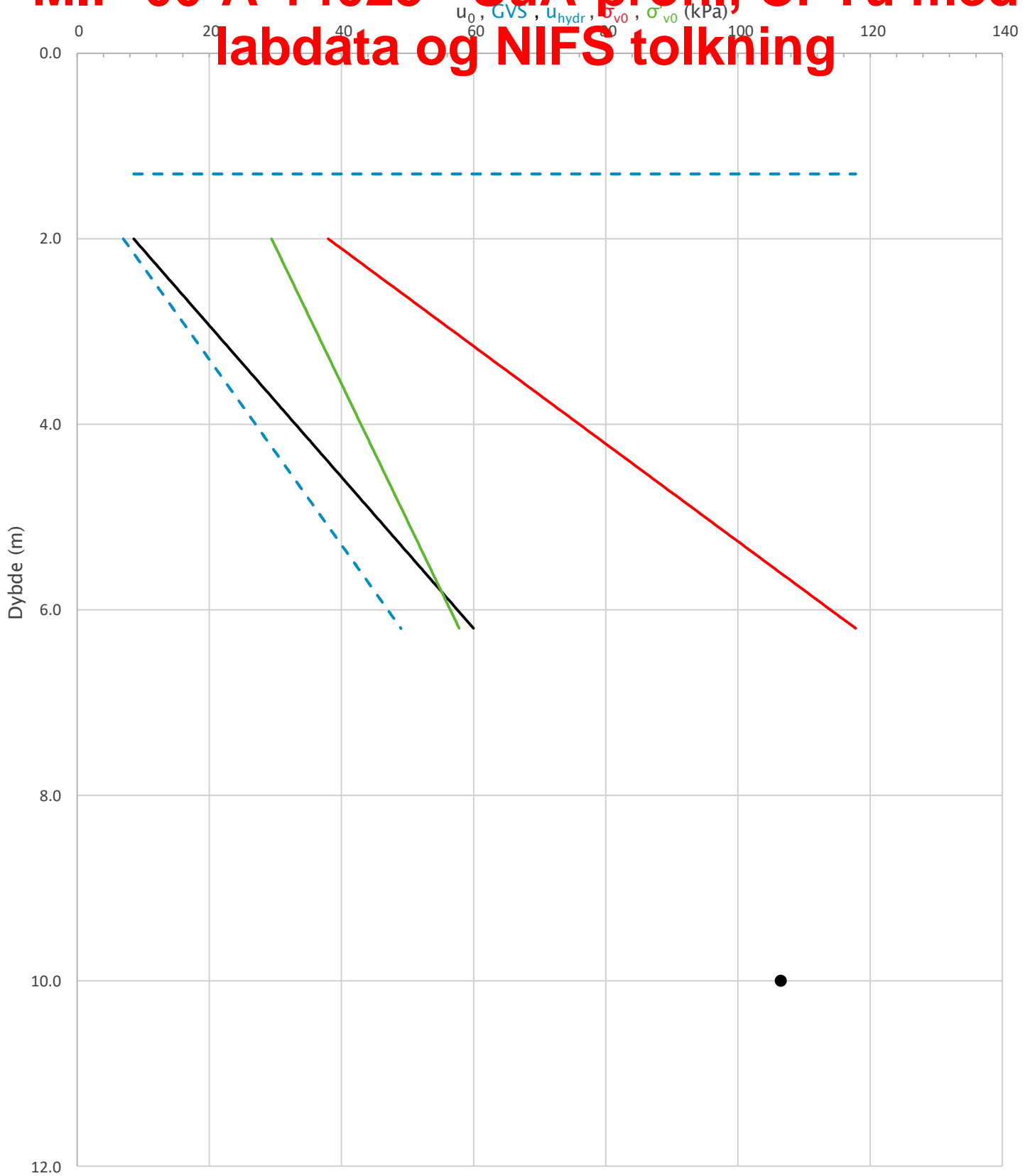
■ 0. Outside model  
■ -1. Predrilling

■ 0. Outside model  
■ -1. Predrilling



Prosjekt			Prosjektnummer: 900078 Rapportnummer: MIP-00-A-14024		Borhull	Kote +104.2
<b>Ski Hensetting</b>					<b>H1315</b>	
Innhold			Jordartsklassifisering etter NIFS 2015 – detektering av sensitive materialer		Sondennummer	
					<b>5310</b>	
 <b>Statens vegvesen</b>	Utført	Kontrollert	Godkjent	Anvend.klasse		
	SOHJ	JAJE	TTR	1		
	Divisjon	Dato sondering	Revisjon	Figur		
	Ekstern konsulent	11.02.2021	Rev. dato	21		

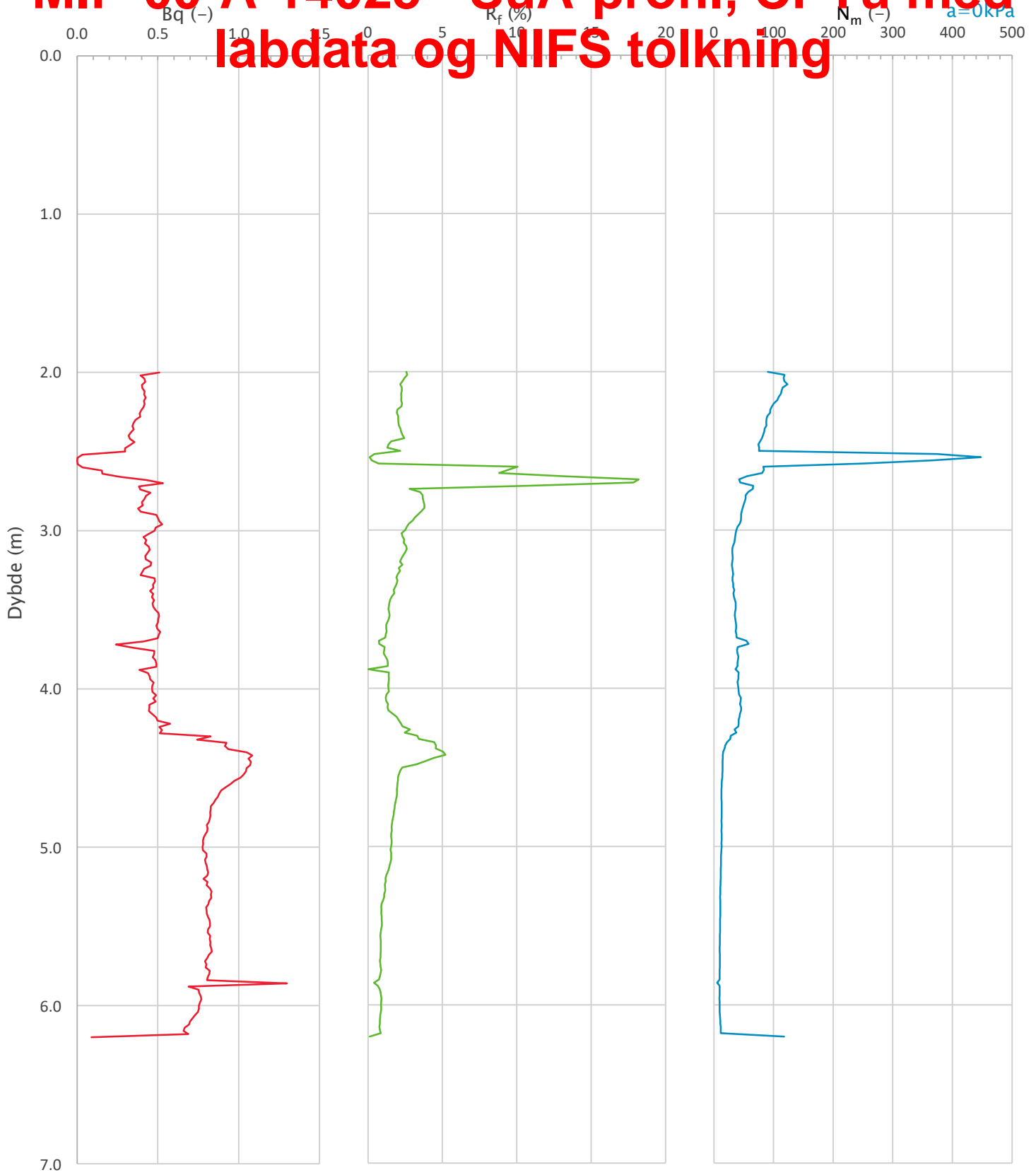
# MIP-00-A-14025 - SuA-profil, CPTu med labdata og NIFS tolkning




Prosjekt		Prosjektnummer: 900078 Rapportnummer: MIP-00-A-14024		Borhull	Kote +100
<b>Ski Hensetting</b>				<b>H1316</b>	
Innhold				Sondenummer	
In-situ poretrykk, total- og effektiv vertikalspenning i beregninger				<b>5310</b>	
 <b>Statens vegvesen</b>	Utført	Kontrollert	Godkjent	Anvend.klasse	
	SOHJ	JAJE	TTR	2	
	Divisjon	Dato sondering	Revisjon	Figur	
Ekstern konsulent	01.02.2021	Rev. dato	2		



# MIP-00-A-14025 - SuA-profil, CPTu med labdata og NIFS tolkning



Prosjekt		Prosjektnummer: 900078 Rapportnummer: MIP-00-A-14024		Borhull	Kote +100
<b>Ski Hensetting</b>				<b>H1316</b>	
Innhold				Sondenummer	
Avledede dimensjonsløse forhold				<b>5310</b>	
 <b>Statens vegvesen</b>	Utført	Kontrollert	Godkjent	Anvend.klasse	
	SOHJ	JAJE	TTR	2	
	Divisjon	Dato sondering	Revisjon	Figur	
	Ekstern konsulent	01.02.2021	Rev. dato	4	

# MIP-00-A-14025 - SuA-profil, CPTu med labdata og NIFS tolkning

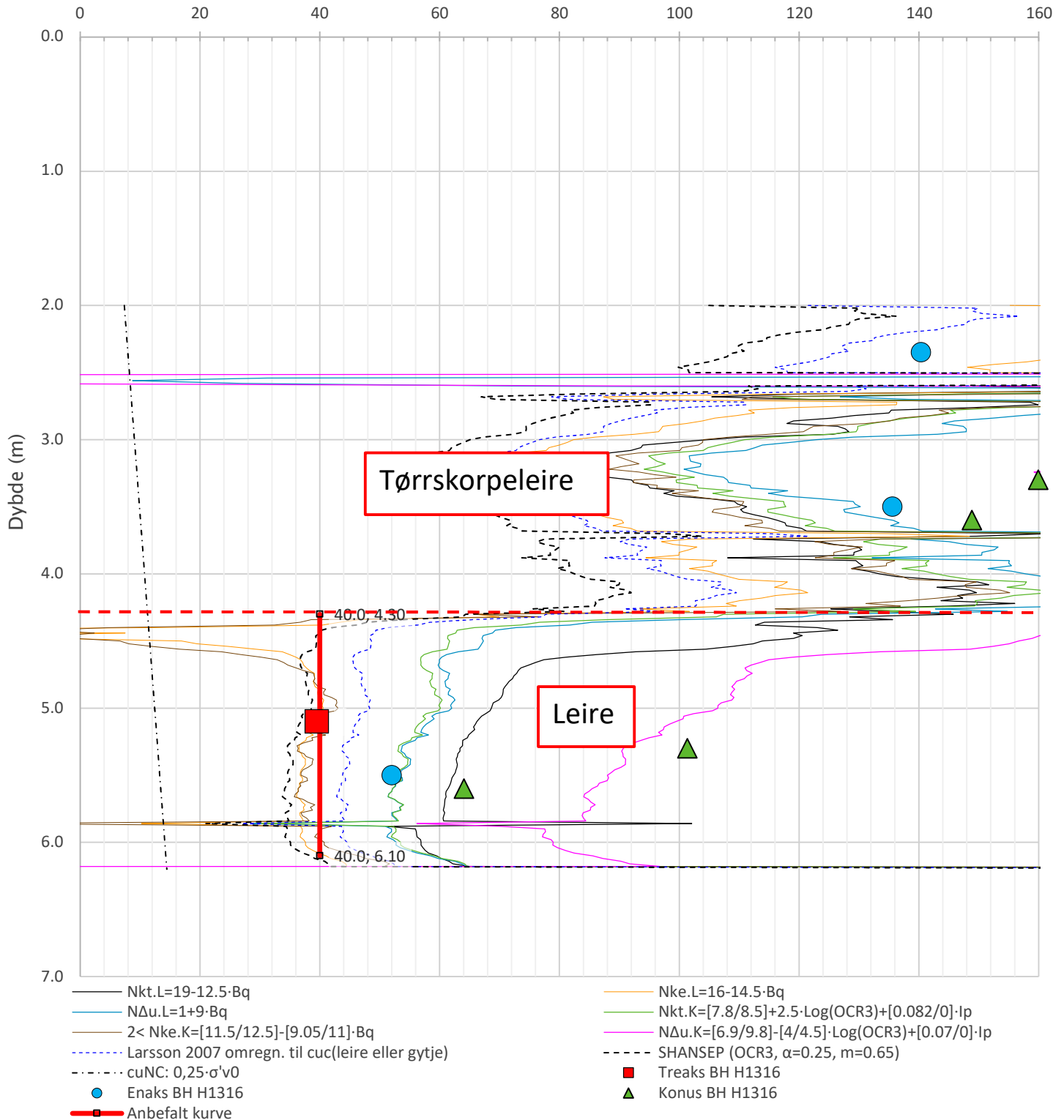
Anisotropiforhold i figur.


Treaks BH H1316:  $c_uC/c_{ucptu} = 1.000$

Enaks BH H1316:  $c_{uc}/c_{ucptu}$  = var. (min:0.632 max:0.649)

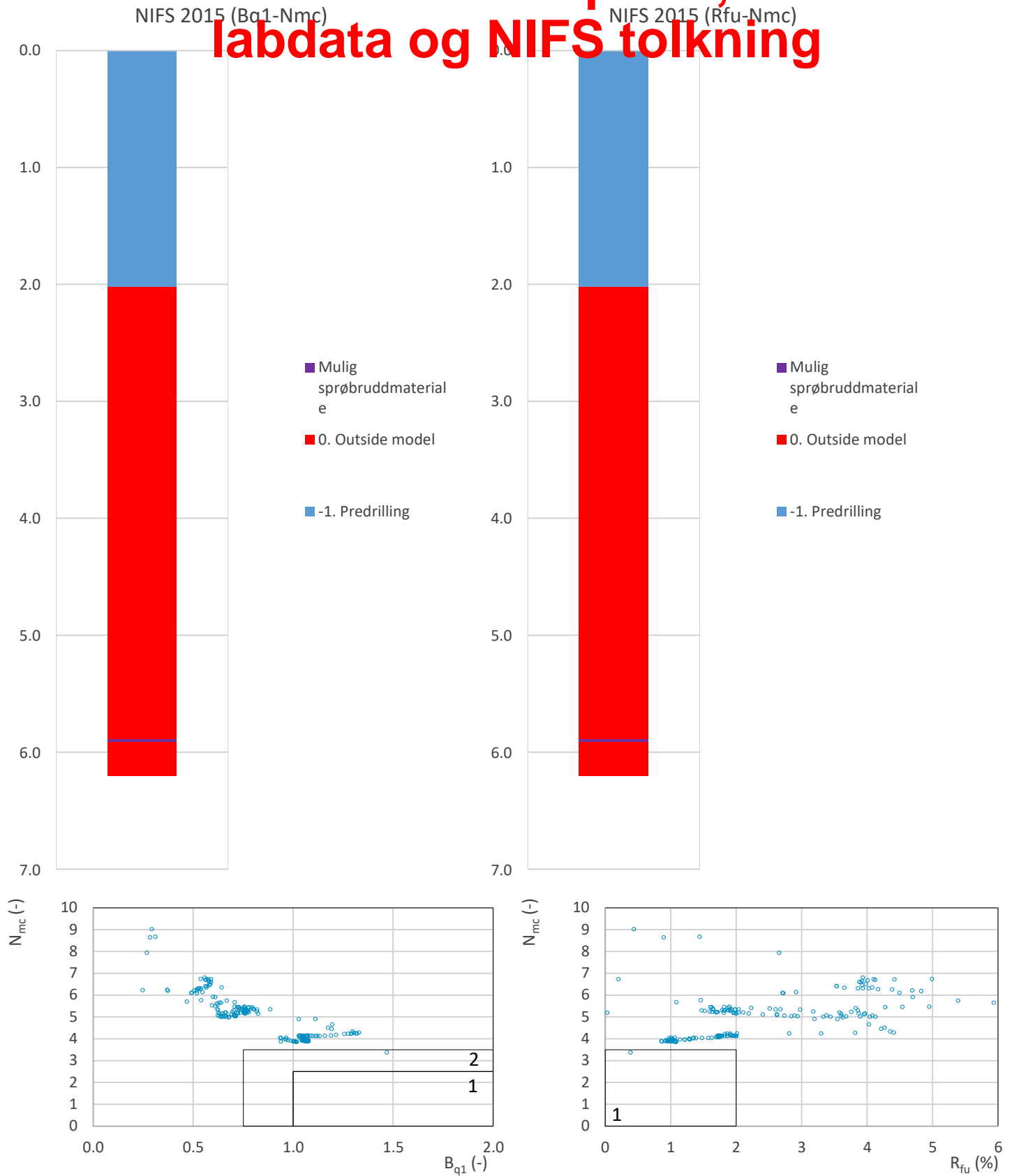
Konus BH H1316:  $c_{ufc}/c_{ucptu}$  = var. (min:0.632 max:0.649)

Udrenert aktiv skjærfasthet,  $c_{ucptu}$  (kPa)



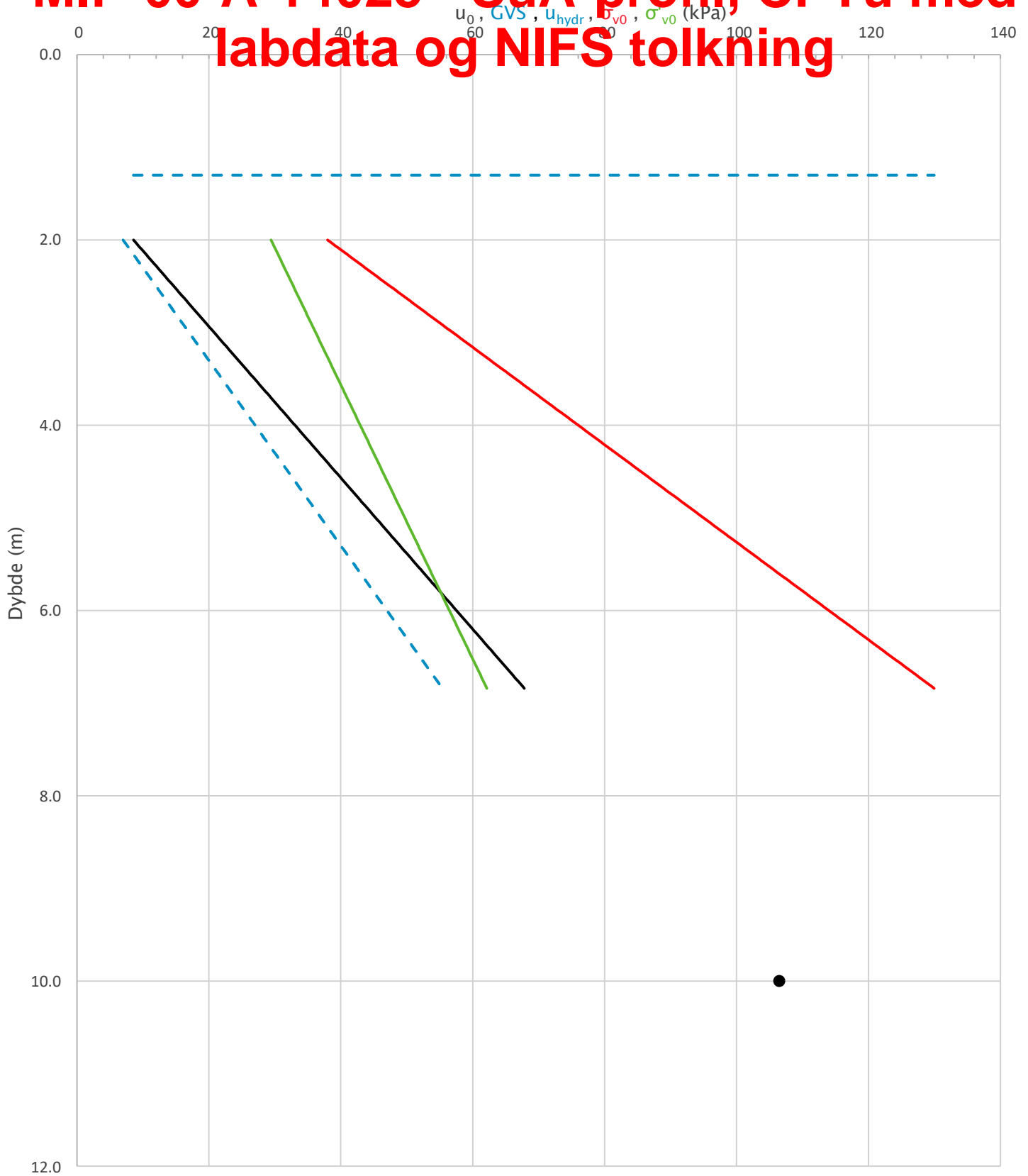
Prosjekt	Prosjektnummer: 900078 Rapportnummer: MIP-00-A-14024			Borhull	Kote +100
<b>Ski Hensetting</b>				<b>H1316</b>	
Innhold				Sondennummer	
Tolkning av udrenert aktiv skjærfasthet				<b>5310</b>	
 <b>Statens vegvesen</b>	Utført	Kontrollert	Godkjent	Anvend.klasse	2
	SOHJ	JAJE	TTR		
	Divisjon	Dato sondering	Revisjon	Figur	5
Ekstern konsulent	01.02.2021	Rev. dato			

# MIP-00-A-14025 - SuA-profil, CPTu med labdata og NIFS tolkning



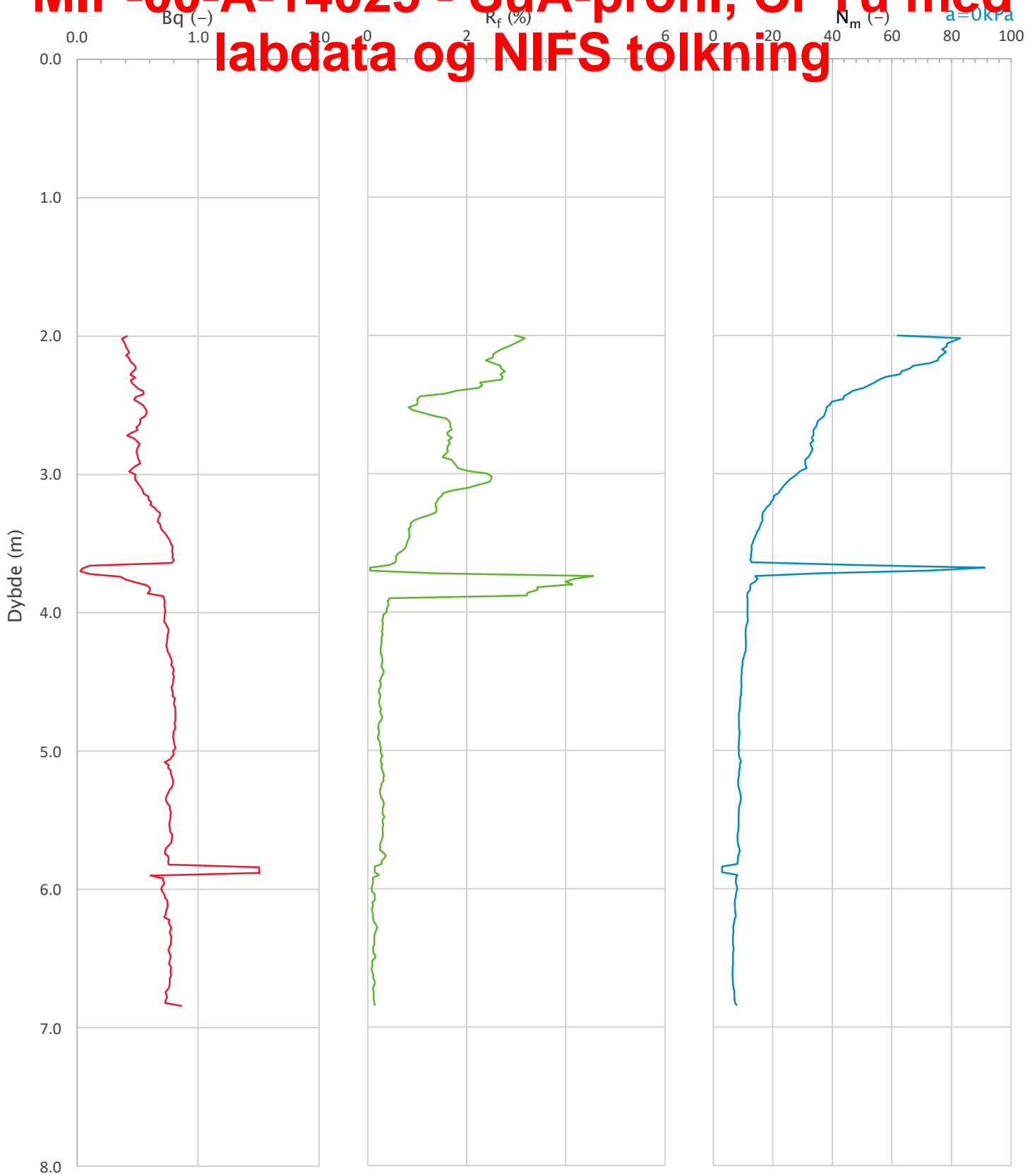
Prosjekt			Prosjektnummer: 900078 Rapportnummer: MIP-00-A-14024		Borhull	Kote +100
<b>Ski Hensetting</b>					<b>H1316</b>	
Innhold			Jordartsklassifisering etter NIFS 2015 – detektering av sensitive materialer		Sondennummer	
					<b>5310</b>	
 <b>Statens vegvesen</b>	Utført	Kontrollert	Godkjent	Anvend.klasse		
	SOHJ	JAJE	TTR	2		
	Divisjon	Dato sondering	Revisjon	Figur		
	Ekstern konsulent	01.02.2021	Rev. dato	21		


# MIP-00-A-14025 - SuA-profil, CPTu med labdata og NIFS tolkning



Prosjekt		Prosjektnummer: 900078 Rapportnummer: MIP-00-A-14024		Borhull	Kote +95.5
<b>Ski Hensetting</b>				<b>H1318</b>	
Innhold				Sondenummer	
In-situ poretrykk, total- og effektiv vertikalspenning i beregninger				<b>5310</b>	
 <b>Statens vegvesen</b>	Utført	Kontrollert	Godkjent	Anvend.klasse	
	SOHJ	JAJE	TTR	1	
	Divisjon	Dato sondering	Revisjon	Figur	
Ekstern konsulent	01.02.2021	Rev. dato	2		

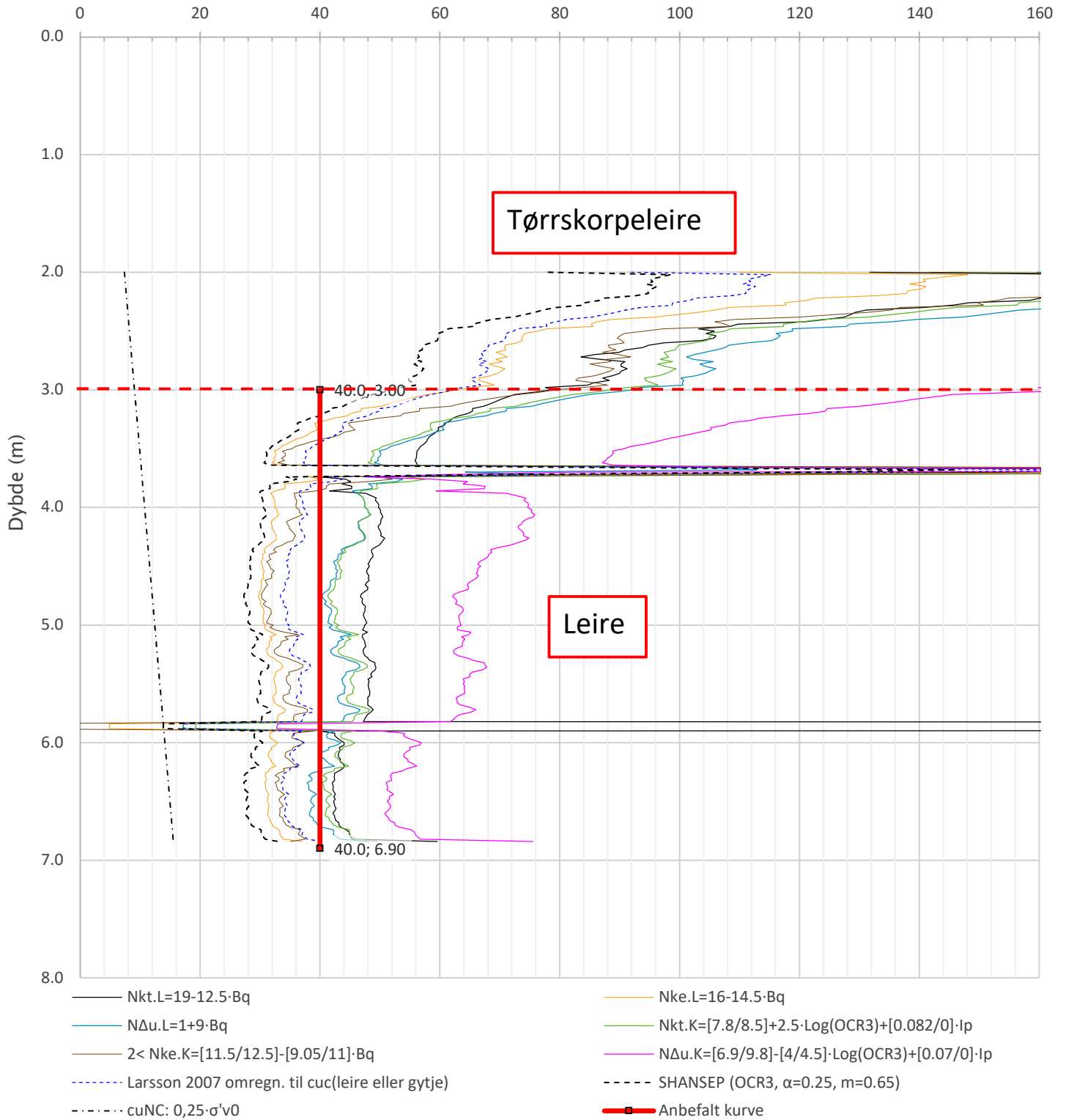
# MIP-00-A-14025 - SuA-profil, CPTu med labdata og NIFS tolkning




Prosjekt		Prosjektnummer: 900078 Rapportnummer: MIP-00-A-14024		Borhull	Kote +95.5
<b>Ski Hensetting</b>				<b>H1318</b>	
Innhold				Sondenummer	
Avledede dimensjonsløse forhold				<b>5310</b>	
 <b>Statens vegvesen</b>	Utført	Kontrollert	Godkjent	Anvend.klasse	
	SOHJ	JAJE	TTR	1	
	Divisjon	Dato sondering	Revisjon	Figur	
	Ekstern konsulent	01.02.2021	Rev. dato	4	

# MIP-00-A-14025 - SuA-profil, CPTu med labdata og NIFS tolkning

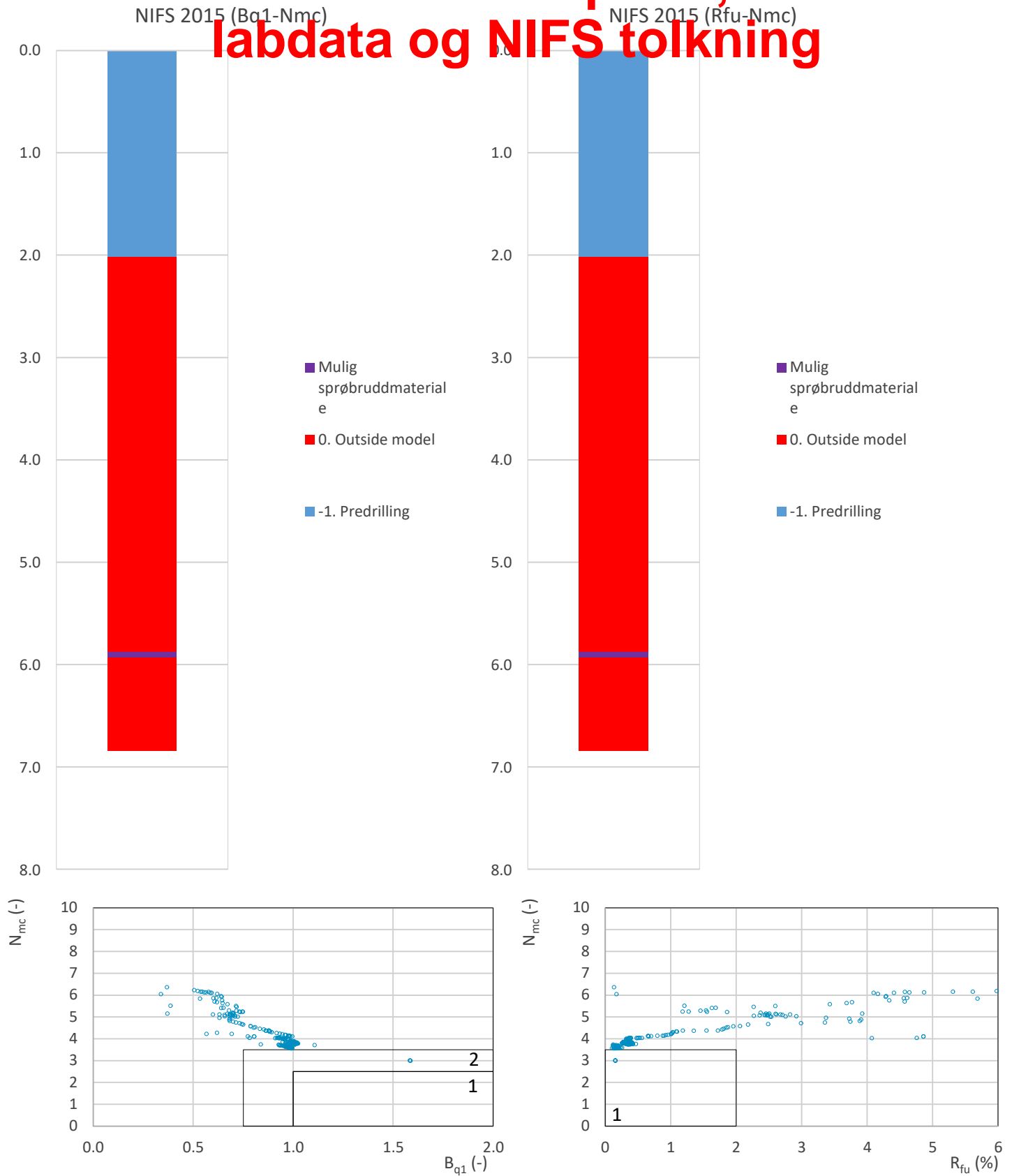
Udrenert aktiv skjærfasthet,  $c_{ucptu}$  (kPa)



Prosjekt	Prosjektnummer: 900078 Rapportnummer: MIP-00-A-14024			Borhull	Kote +95.5
<b>Ski Hensetting</b>				<b>H1318</b>	
Innhold	Tolkning av udrenert aktiv skjærfasthet			Sondennummer	<b>5310</b>
 <b>Statens vegvesen</b>	Utført	Kontrollert	Godkjent	Anvend.klasse	<b>1</b>
	SOHJ	JAJE	TTR		
	Divisjon	Dato sondering	Revisjon	Figur	<b>5</b>
	Ekstern konsulent	01.02.2021	Rev. dato		



# MIP-00-A-14025 - SuA-profil, CPTu med labdata og NIFS tolkning

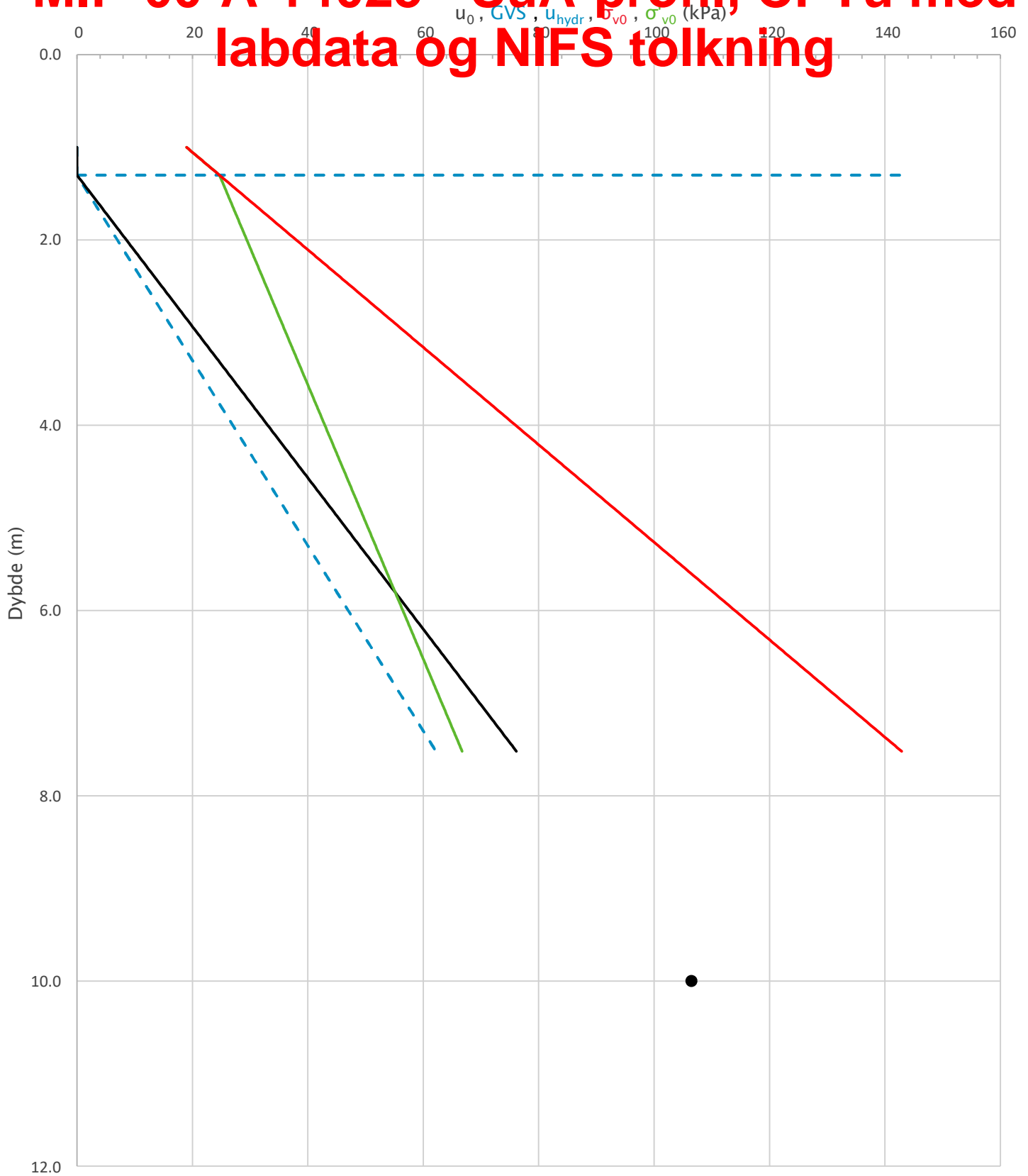


Prosjekt			Prosjektnummer: 900078 Rapportnummer: MIP-00-A-14024		Borhull	Kote +95.5
<b>Ski Hensetting</b>					<b>H1318</b>	
Innhold			Jordartsklassifisering etter NIFS 2015 – detektering av sensitive materialer		Sondenummer	
					<b>5310</b>	
 <b>Statens vegvesen</b>	Utført	Kontrollert	Godkjent	Anvend.klasse		
	SOHJ	JAJE	TTR	1		
	Divisjon	Dato sondering	Revisjon	Figur		
	Ekstern konsulent	01.02.2021	Rev. dato	21		

**B254**

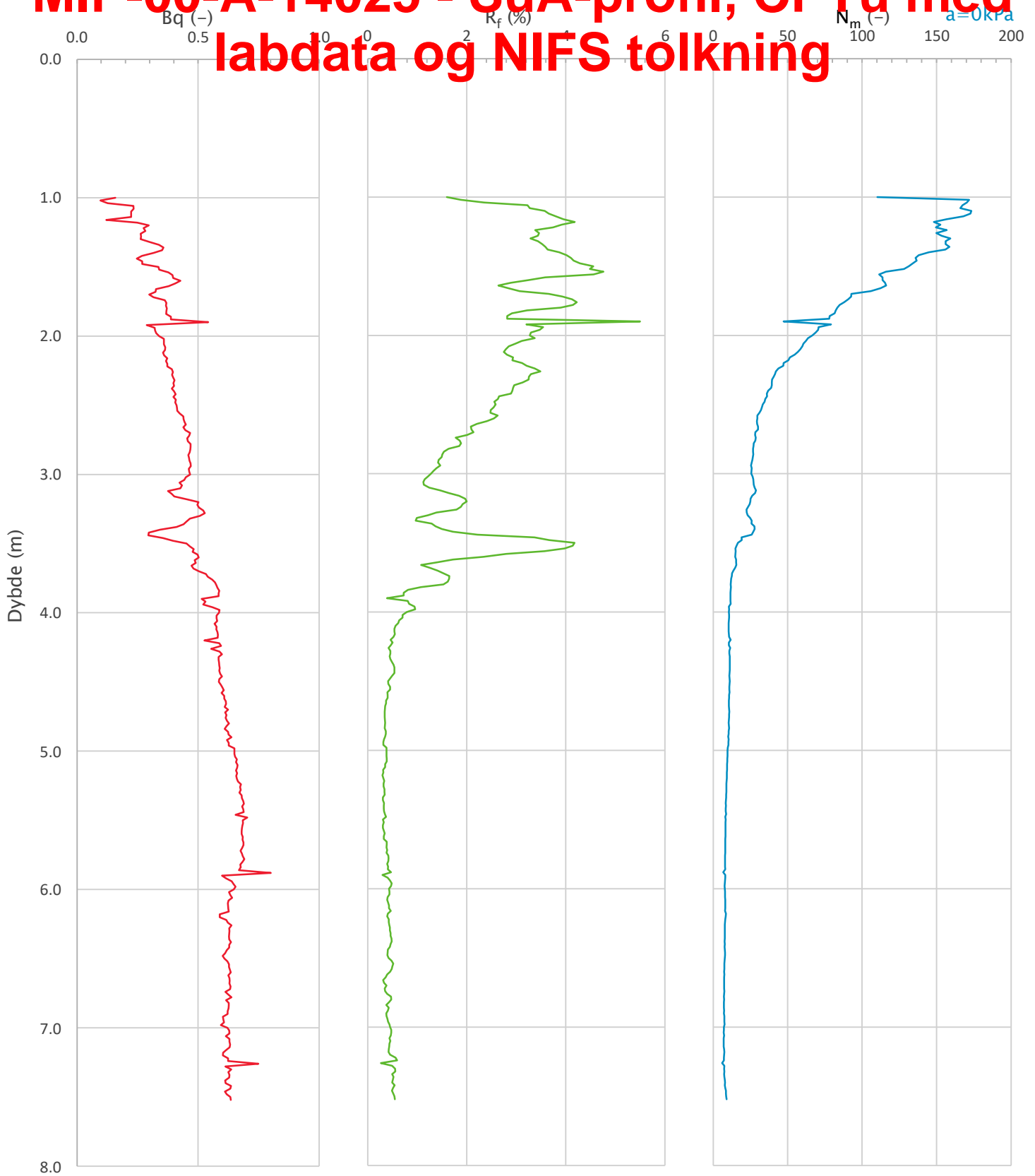
CPTu v.2020.01


# MIP-00-A-14025 - SuA-profil, CPTu med labdata og NIFS tolkning



Prosjekt		Prosjektnummer: 900078 Rapportnummer: MIP-00-A-14024		Borhull	Kote +96.2
<b>Ski Hensetting</b>				<b>H1319</b>	
Innhold				Sondennummer	
In-situ poretrykk, total- og effektiv vertikalspenning i beregninger				<b>5310</b>	
 <b>Statens vegvesen</b>	Utført	Kontrollert	Godkjent	Anvend.klasse	
	SOHJ	JAJE	TTR	1	
	Divisjon	Dato sondering	Revisjon	Figur	
Ekstern konsulent	22.02.2021	Rev. dato	2		

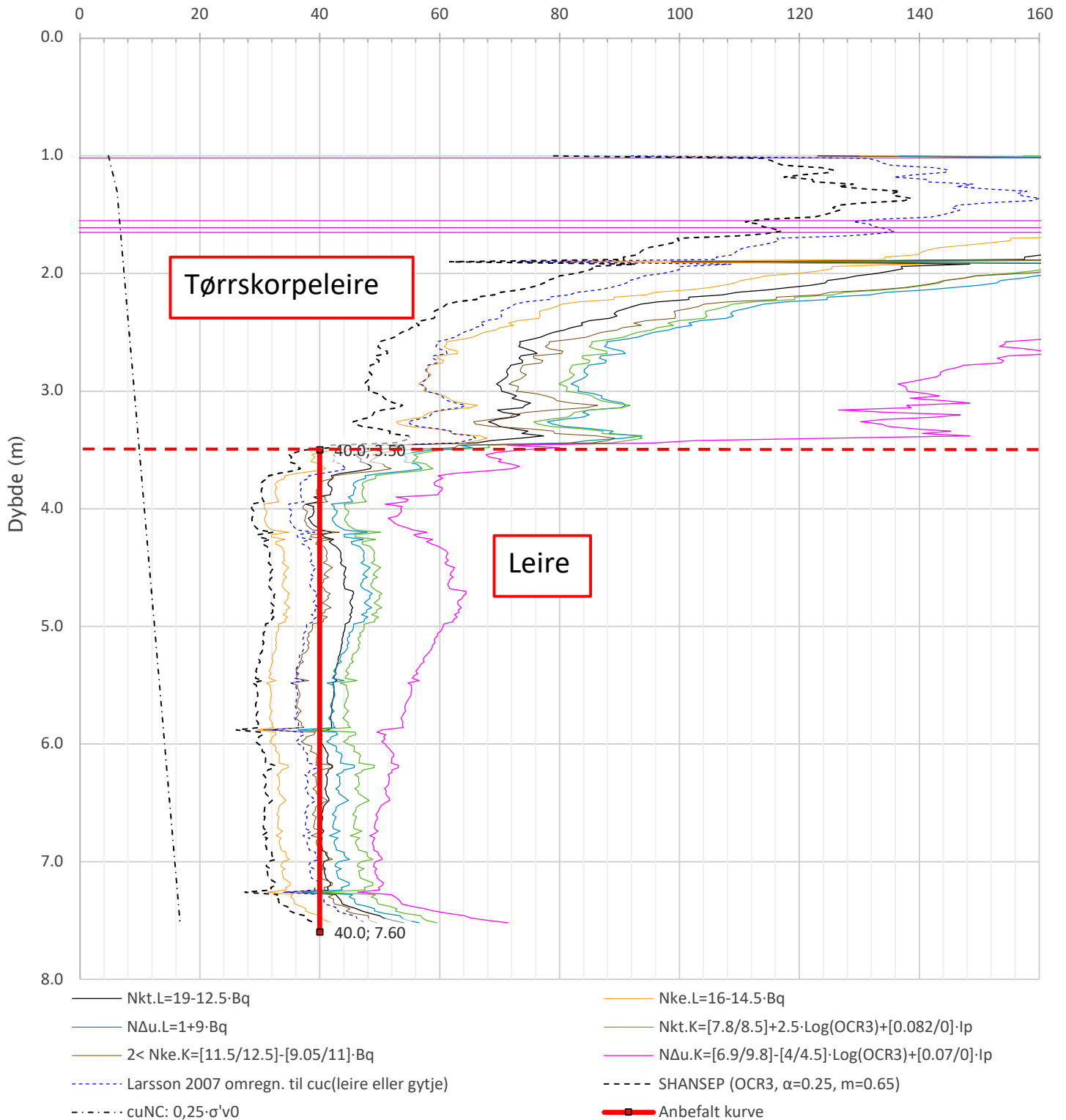
# MIP-00-A-14025 - SuA-profil, CPTu med labdata og NIFS tolkning




Prosjekt		Prosjektnummer: 900078 Rapportnummer: MIP-00-A-14024		Borhull	Kote +96.2
<b>Ski Hensetting</b>				<b>H1319</b>	
Innhold				Sondenummer	
Avledede dimensjonsløse forhold				<b>5310</b>	
 <b>Statens vegvesen</b>	Utført	Kontrollert	Godkjent	Anvend.klasse	
	SOHJ	JAJE	TTR	1	
	Divisjon	Dato sondering	Revisjon	Figur	
	Ekstern konsulent	22.02.2021	Rev. dato	4	

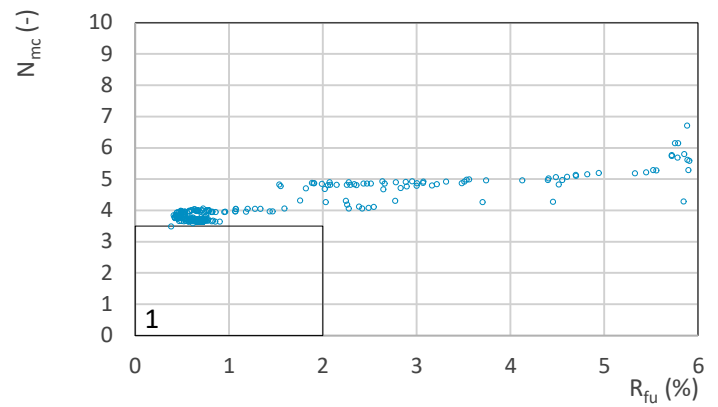
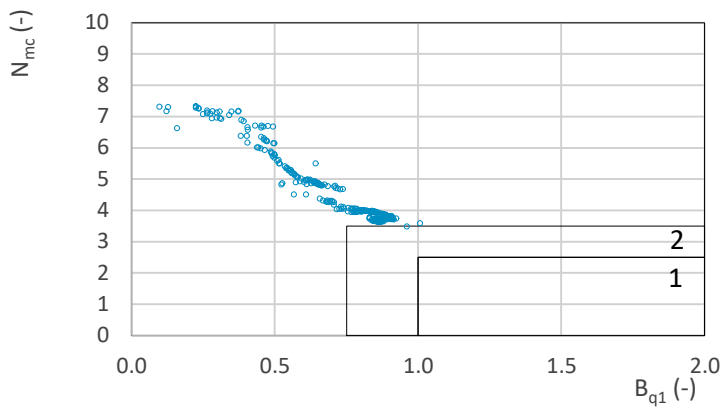
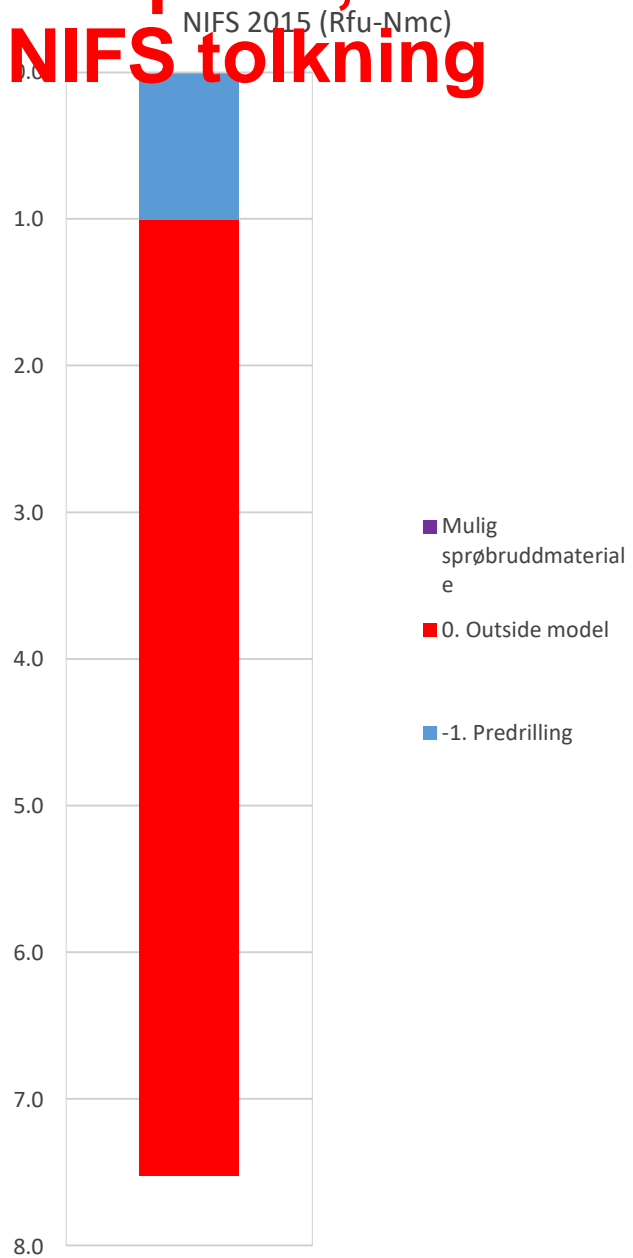
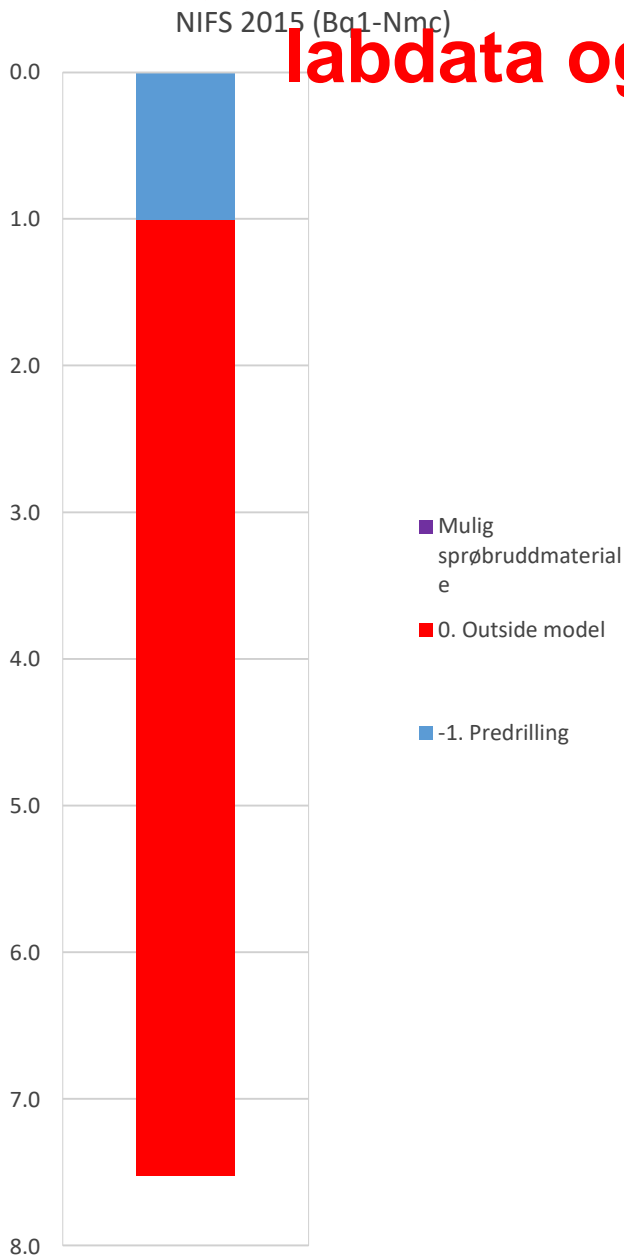
# MIP-00-A-14025 - SuA-profil, CPTu med labdata og NIFS tolkning

Udrenert aktiv skjærfasthet,  $c_{ucptu}$  (kPa)



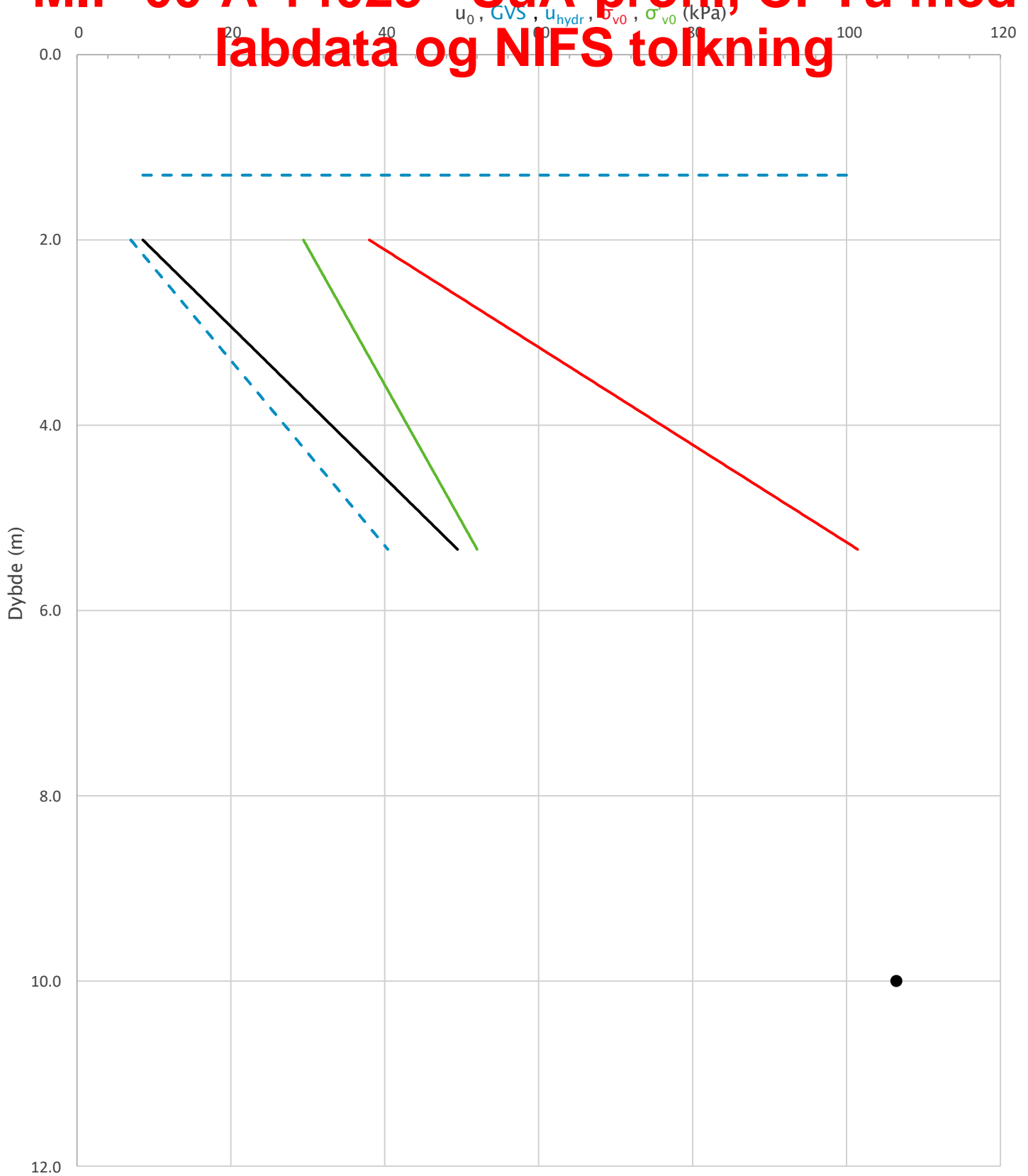
Prosjekt	Prosjektnummer: 900078 Rapportnummer: MIP-00-A-14024		Borhull	Kote +96.2
<b>Ski Hensetting</b>			<b>H1319</b>	
Innhold			Sondenummer	
Tolkning av udrenert aktiv skjærfasthet			<b>5310</b>	
 Statens vegvesen	Utført	Kontrollert	Godkjent	Anvend.klasse
	SOHJ	JAJE	TTR	1
	Divisjon	Dato sondering	Revisjon	Figur
	Ekstern konsulent	22.02.2021	Rev. dato	5


# MIP-00-A-14025 - SuA-profil, CPTu med labdata og NIFS tolkning



Prosjekt		Prosjektnummer: 900078 Rapportnummer: MIP-00-A-14024		Borhull	Kote +96.2
<b>Ski Hensetting</b>				<b>H1319</b>	
Innhold				Sondennummer	
Jordartsklassifisering etter NIFS 2015 – detektering av sensitive materialer				<b>5310</b>	
 <b>Statens vegvesen</b>	Utført	Kontrollert	Godkjent	Anvend.klasse	1
	SOHJ	JAJE	TTR	Figur	21
	Divisjon	Dato sondering	Revisjon		
	Ekstern konsulent	22.02.2021	Rev. dato		

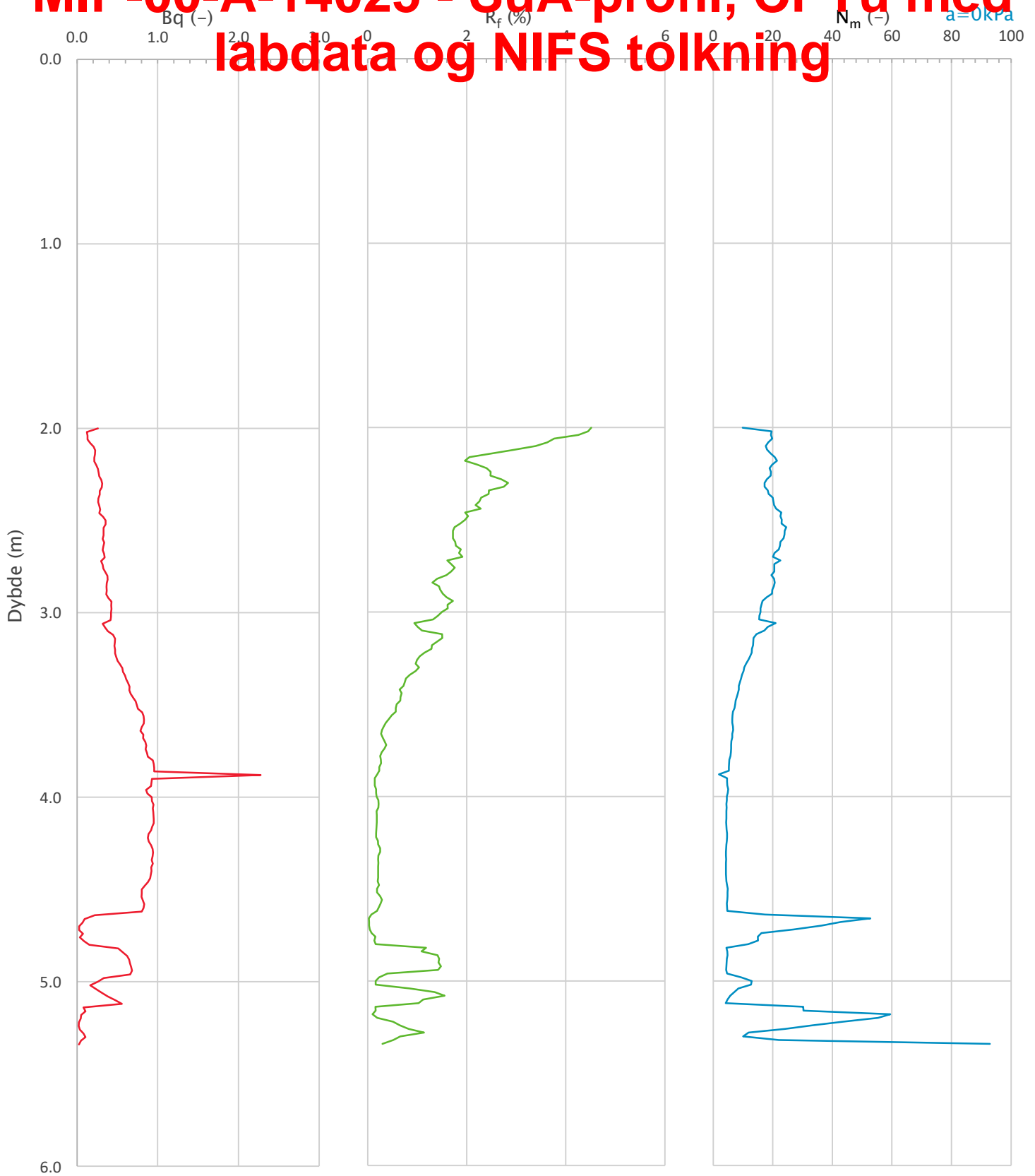
# MIP-00-A-14025 - SuA-profil, CPTu med labdata og NIFS tolkning




Prosjekt		Prosjektnummer: 900078 Rapportnummer: MIP-00-A-14024		Borhull	Kote +94.3
<b>Ski Hensetting</b>				<b>H1320</b>	
Innhold		In-situ poretrykk, total- og effektiv vertikalspenning i beregninger		Sondenummer	
				<b>5310</b>	
 <b>Statens vegvesen</b>	Utført	Kontrollert	Godkjent	Anvend.klasse	
	SOHJ	JAJE	TTR	2	
	Divisjon	Dato sondering	Revisjon	Figur	
	Utbygging	01.02.2021	Rev. dato	2	



# MIP-00-A-14025 - SuA-profil, CPTu med labdata og NIFS tolkning



Prosjekt		Prosjektnummer: 900078 Rapportnummer: MIP-00-A-14024		Borhull	Kote +94.3
<b>Ski Hensetting</b>				<b>H1320</b>	
Innhold				Sondenummer	
Avledede dimensjonsløse forhold				<b>5310</b>	
 <b>Statens vegvesen</b>	Utført	Kontrollert	Godkjent	Anvend.klasse	
	SOHJ	JAJE	TTR	2	
	Divisjon	Dato sondering	Revisjon	Figur	
	Utbygging	01.02.2021	Rev. dato	4	

# MIP-00-A-14025 - SuA-profil, CPTu med labdata og NIFS tolkning

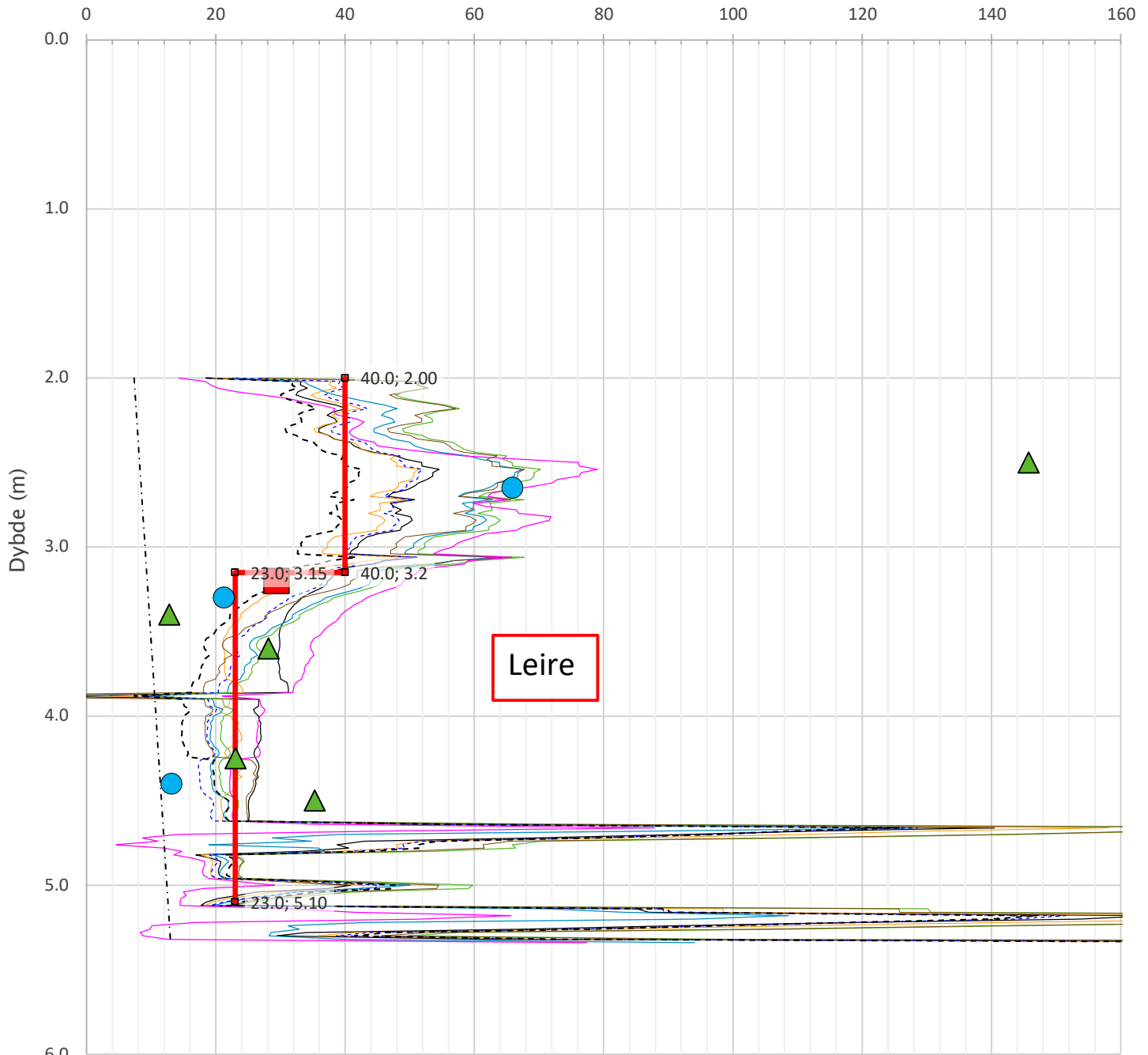
Anisotropiforhold i figur.

Treks BH H1320:  $c_uC/c_{ucptu} = 1.000$


Enaks BH H1320:  $c_{uc}/c_{ucptu}$  var. (min:0.637 max:0.640)

Konus BH H1320:  $c_{ufc}/c_{ucptu} = \text{var. (min:0.637 max:0.640)}$

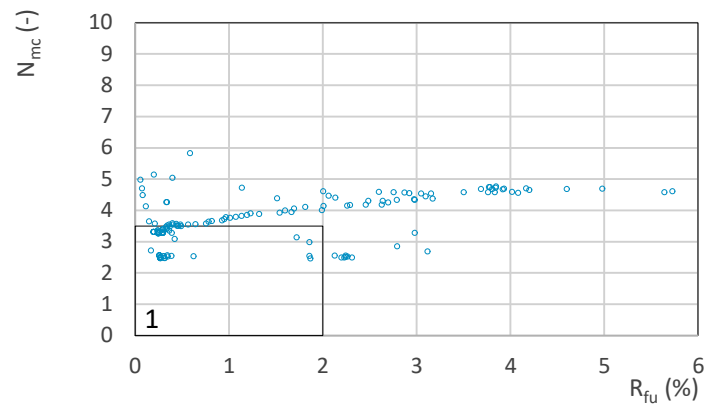
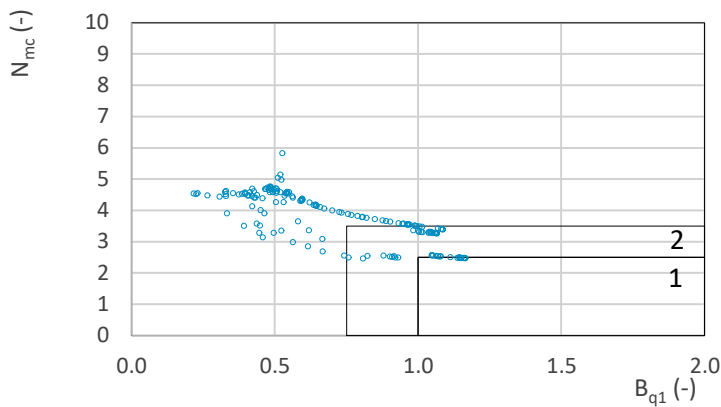
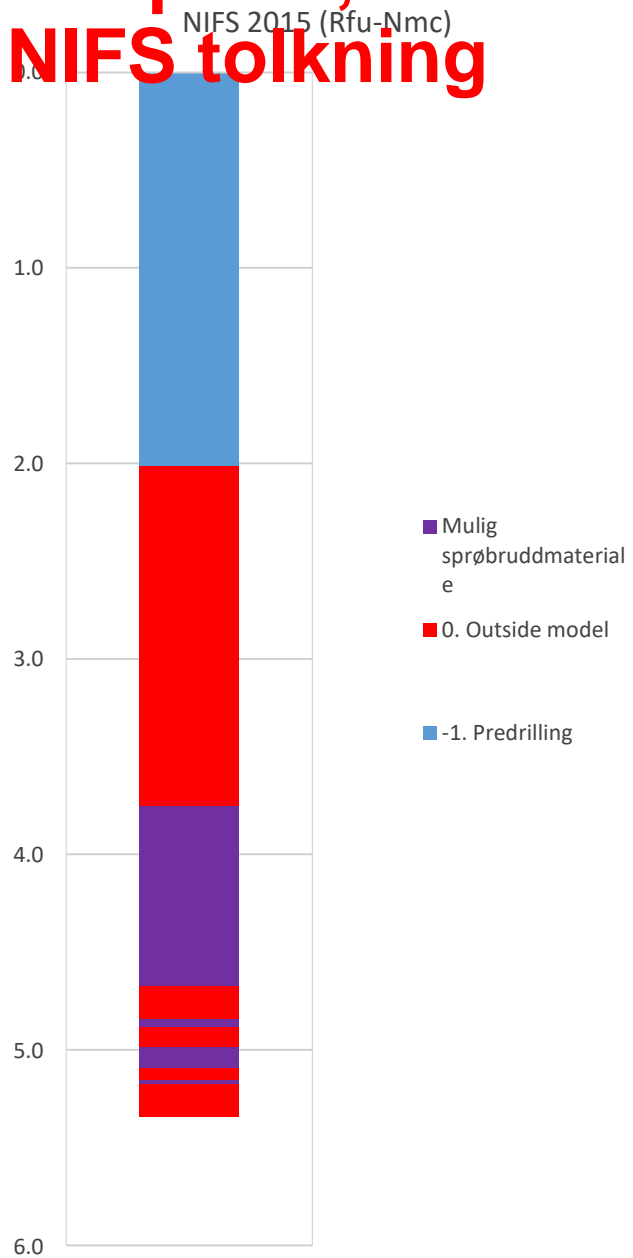
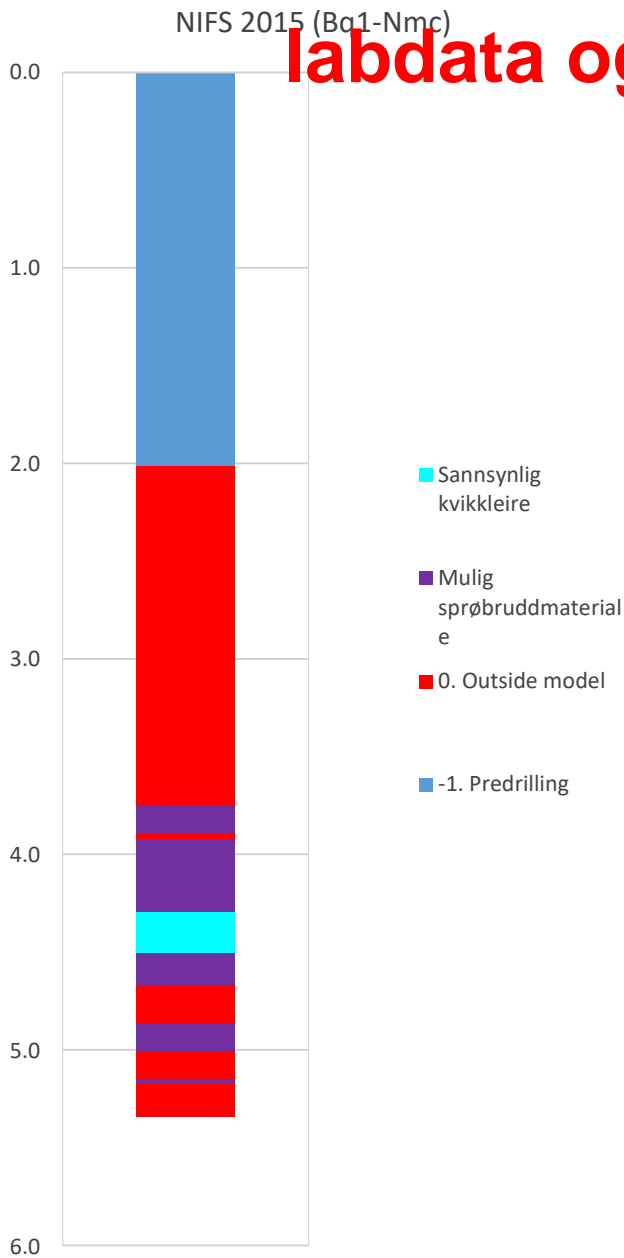
Udrenert aktiv skjærfasthet,  $c_{ucptu}$  (kPa)



- Nkt.L=19-12.5·Bq
- NΔu.L=1+9·Bq
- 2< Nke.K=[11.5/12.5]·[9.05/11]·Bq
- Larsson 2007 omregn. til  $c_{uc}$  (leire eller gytje)
- cuNC:  $0.25 \cdot \sigma'_{v0}$
- Enaks BH H1320
- Anbefalt kurve
- Nke.L=16-14.5·Bq
- Nkt.K=[7.8/8.5]+2.5·Log(OCR3)+[0.082/0]·Ip
- NΔu.K=[6.9/9.8]-[4/4.5]·Log(OCR3)+[0.07/0]·Ip
- SHANSEP (OCR3,  $\alpha=0.25$ ,  $m=0.65$ )
- Treks BH H1320
- ▲ Konus BH H1320

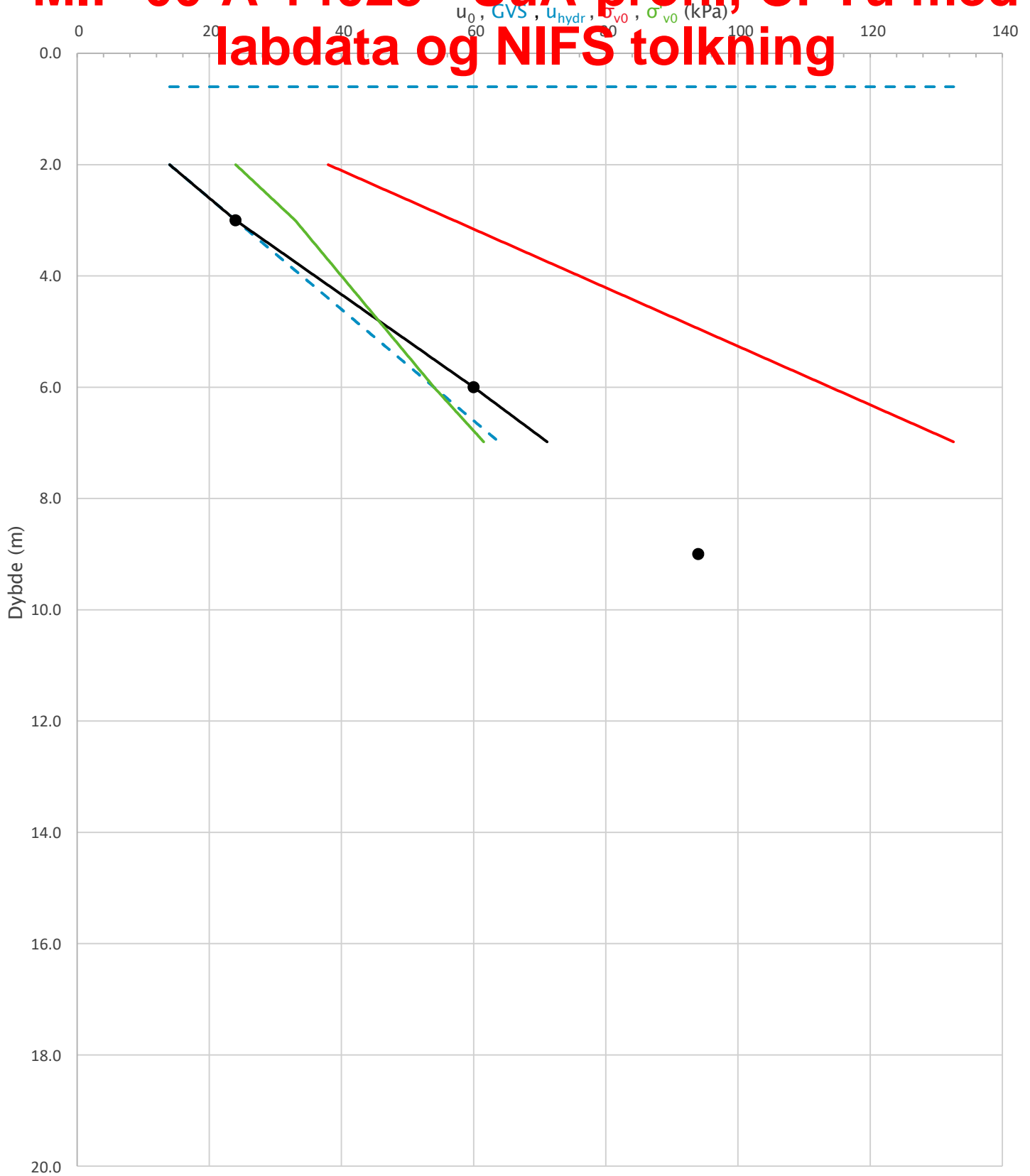
Prosjekt	Prosjektnummer: 900078 Rapportnummer: MIP-00-A-14024	Borhull	Kote +94.3
<b>Ski Hensetting</b>		<b>H1320</b>	
Innhold	Tolkning av udrenert aktiv skjærfasthet		
		Sondennummer	<b>5310</b>
 <b>Statens vegvesen</b>	Utført	Kontrollert	Godkjent
	SOHJ	JAJE	TTR
	Divisjon	Dato sondering	Revisjon
Utbygging	01.02.2021	Rev. dato	2
			Figur
			<b>5</b>

# MIP-00-A-14025 - SuA-profil, CPTu med labdata og NIFS tolkning



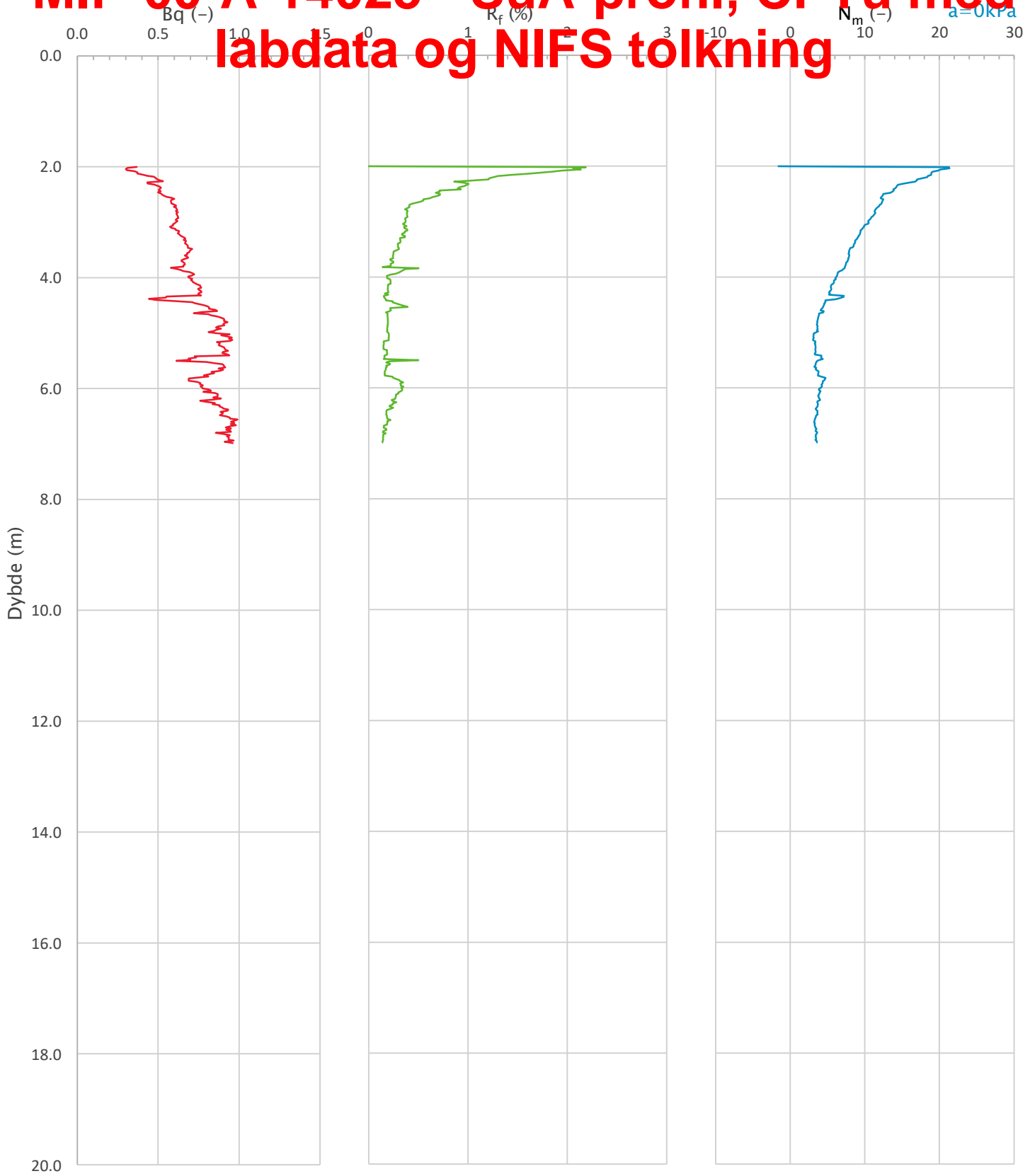
Prosjekt		Prosjektnummer: 900078 Rapportnummer: MIP-00-A-14024		Borhull	Kote +94.3
<b>Ski Hensetting</b>				<b>H1320</b>	
Innhold		Jordartsklassifisering etter NIFS 2015 – detektering av sensitive materialer		Sondenummer	
				<b>5310</b>	
 <b>Statens vegvesen</b>	Utført	Kontrollert	Godkjent	Anvend.klasse	
	SOHJ	JAJE	TTR	<b>2</b>	
	Divisjon	Dato sondering	Revisjon	Figur	
	Utbygging	01.02.2021	Rev. dato	<b>21</b>	


# MIP-00-A-14025 - SuA-profil, CPTu med labdata og NIFS tolkning



Prosjekt		Prosjektnummer: 900078 Rapportnummer: MIP-00-A-14024		Borhull	Kote +92.7
<b>Ski hensetting</b>				<b>214</b>	
Innhold		In-situ poretrykk, total- og effektiv vertikalspenning i beregninger		Sondennummer	<b>4980</b>
 <b>Statens vegvesen</b>	Utført	Kontrollert	Godkjent	Anvend.klasse	<b>1</b>
	SOHJ/JAJE	ABC	TTR	Figur	<b>2</b>
	Divisjon	Dato sondering	Revisjon		
Ekstern konsulent	07.01.2019	Rev. dato			

# MIP-00-A-14025 - SuA-profil, CPTu med labdata og NIFS tolkning



Prosjekt		Prosjektnummer: 900078 Rapportnummer: MIP-00-A-14024		Borhull	Kote +92.7
<b>Ski hensetting</b>				<b>214</b>	
Innhold				Sondenummer	
Avledede dimensjonsløse forhold				<b>4980</b>	
 <b>Statens vegvesen</b>	Utført	Kontrollert	Godkjent	Anvend.klasse	
	SOHJ/JAJE	ABC	TTR	<b>1</b>	
	Divisjon	Dato sondering	Revisjon	Figur	
	Ekstern konsulent	07.01.2019	Rev. dato	<b>4</b>	

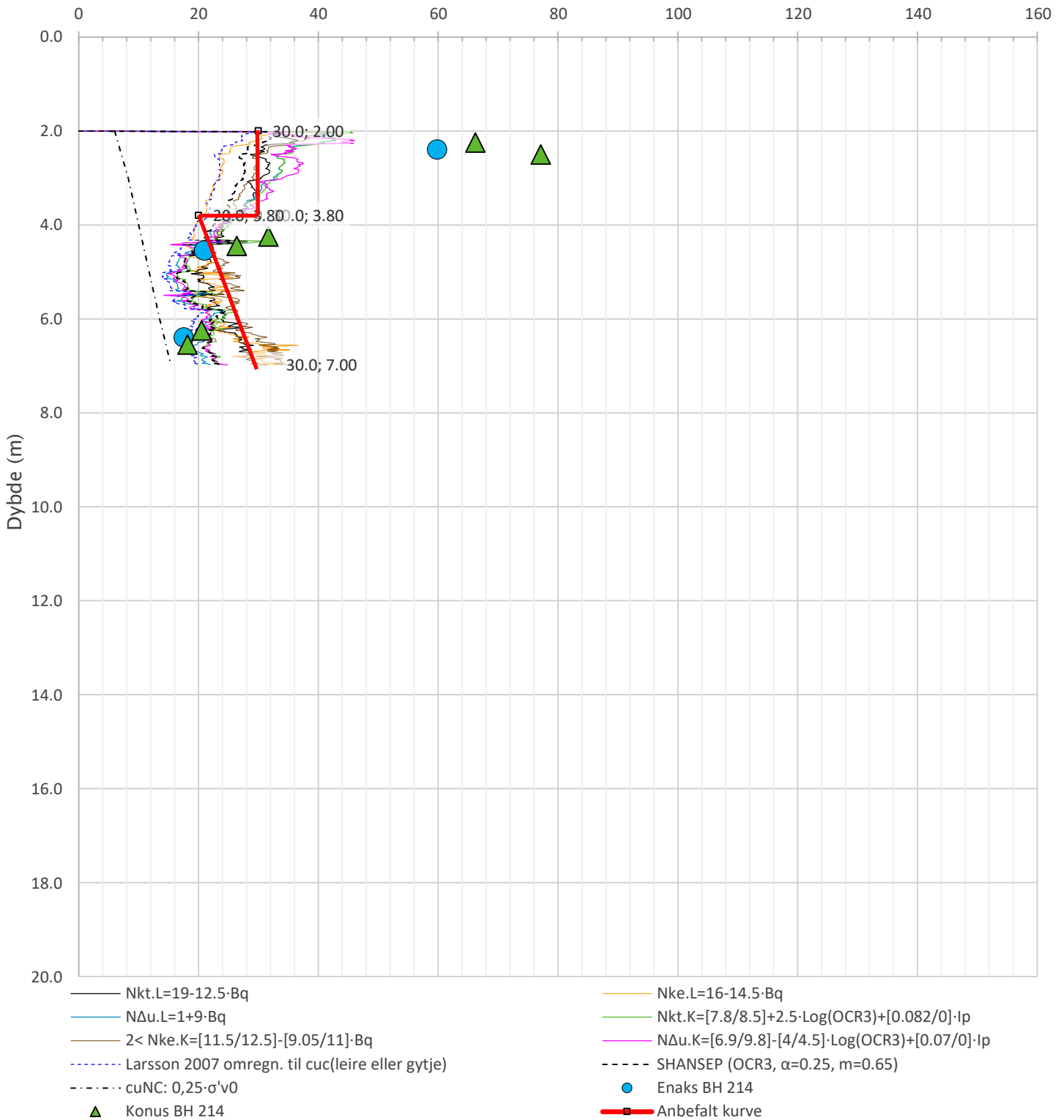
# MIP-00-A-14025 - SuA-profil, CPTu med labdata og NIFS tolkning


Anisotropiforhold i figur.

Enaks BH 214:  $c_{uc}/c_{ucptu}$  = var. (min:0.644 max:0.670)

Konus BH 214:  $c_{ufc}/c_{ucptu}$  = var. (min:0.674 max:0.677)

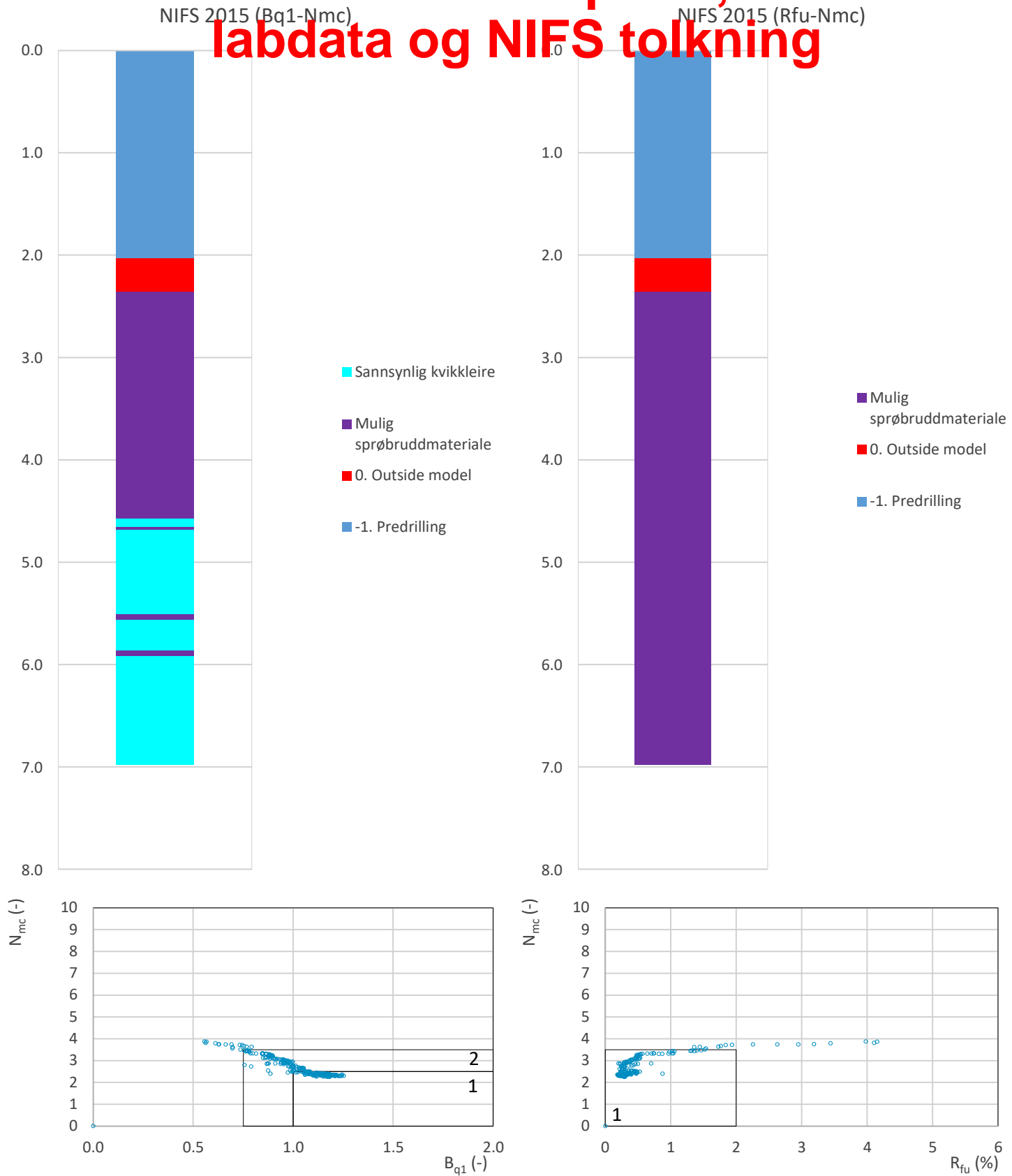
Udrenert aktiv skjærfasthet,  $c_{ucptu}$  (kPa)



Prosjekt	Prosjektnummer: 900078 Rapportnummer: MIP-00-A-14024		Borhull	Kote +92.7
<b>Ski hensetting</b>			<b>214</b>	
Innhold			Sondennummer	
Tolkning av udrenert aktiv skjærfasthet			<b>4980</b>	
 <b>Statens vegvesen</b>	Utført	Kontrollert	Godkjent	Anvend.klasse
	SOHJ/JAJE	ABC	TTR	<b>1</b>
	Divisjon	Dato sondering	Revisjon	Figur
	Ekstern konsulent	07.01.2019	Rev. dato	<b>5</b>

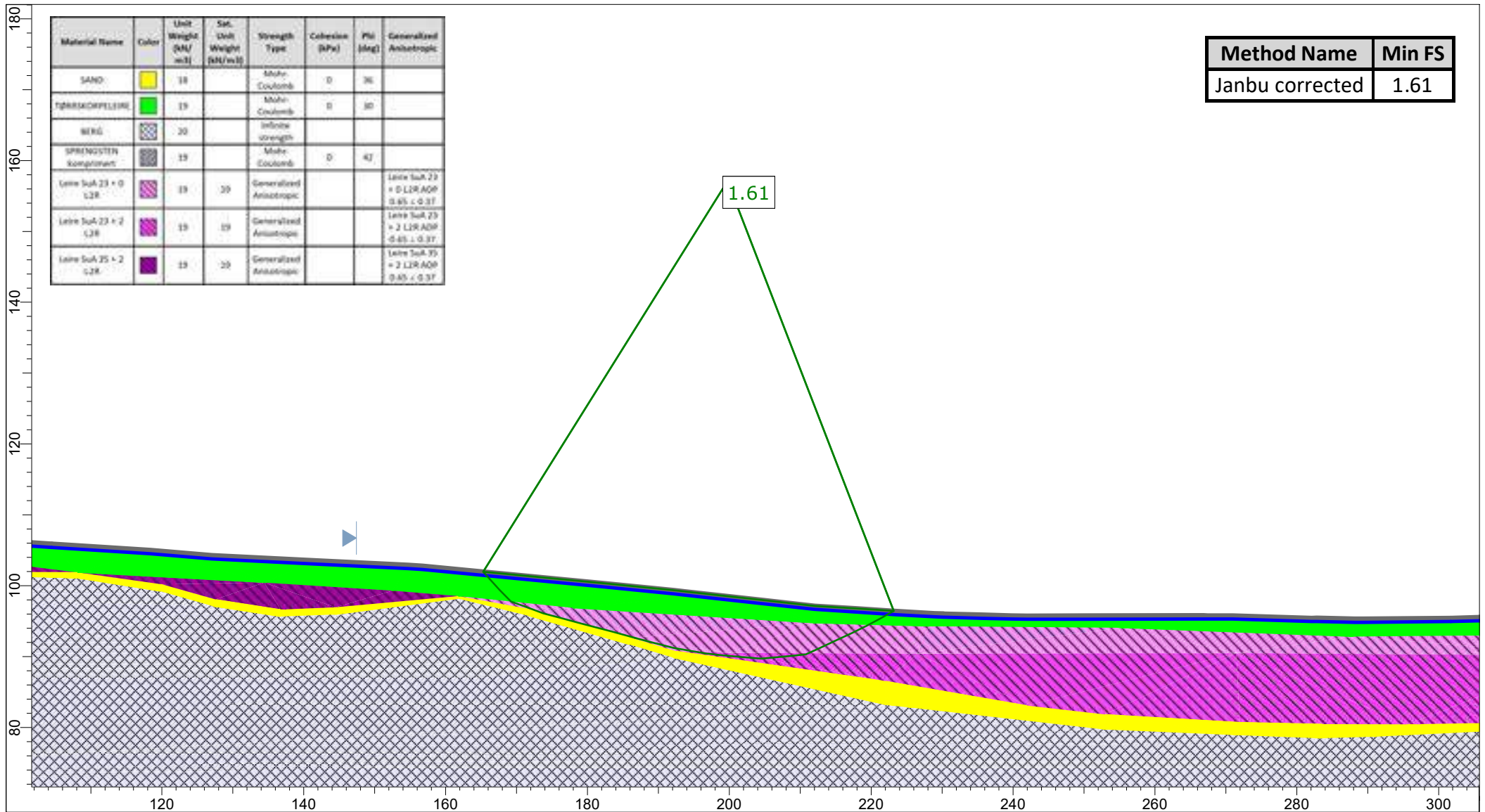



# MIP-00-A-14025 - SuA-profil, CPTu med labdata og NIFS tolkning



Prosjekt		Prosjektnummer: 900078 Rapportnummer: MIP-00-A-14024		Borhull	Kote +92.7
<b>Ski hensetting</b>				<b>214</b>	
Innhold		Jordartsklassifisering etter NIFS 2015 – detektering av sensitive materialer		Sondennummer	<b>4980</b>
 Statens vegvesen	Utført	Kontrollert	Godkjent	Anvend.klasse	<b>1</b>
	SOHJ/JAJE	ABC	TTR	Figur	<b>21</b>
	Divisjon	Dato sondering	Revisjon		
	Ekstern konsulent	07.01.2019	Rev. dato		

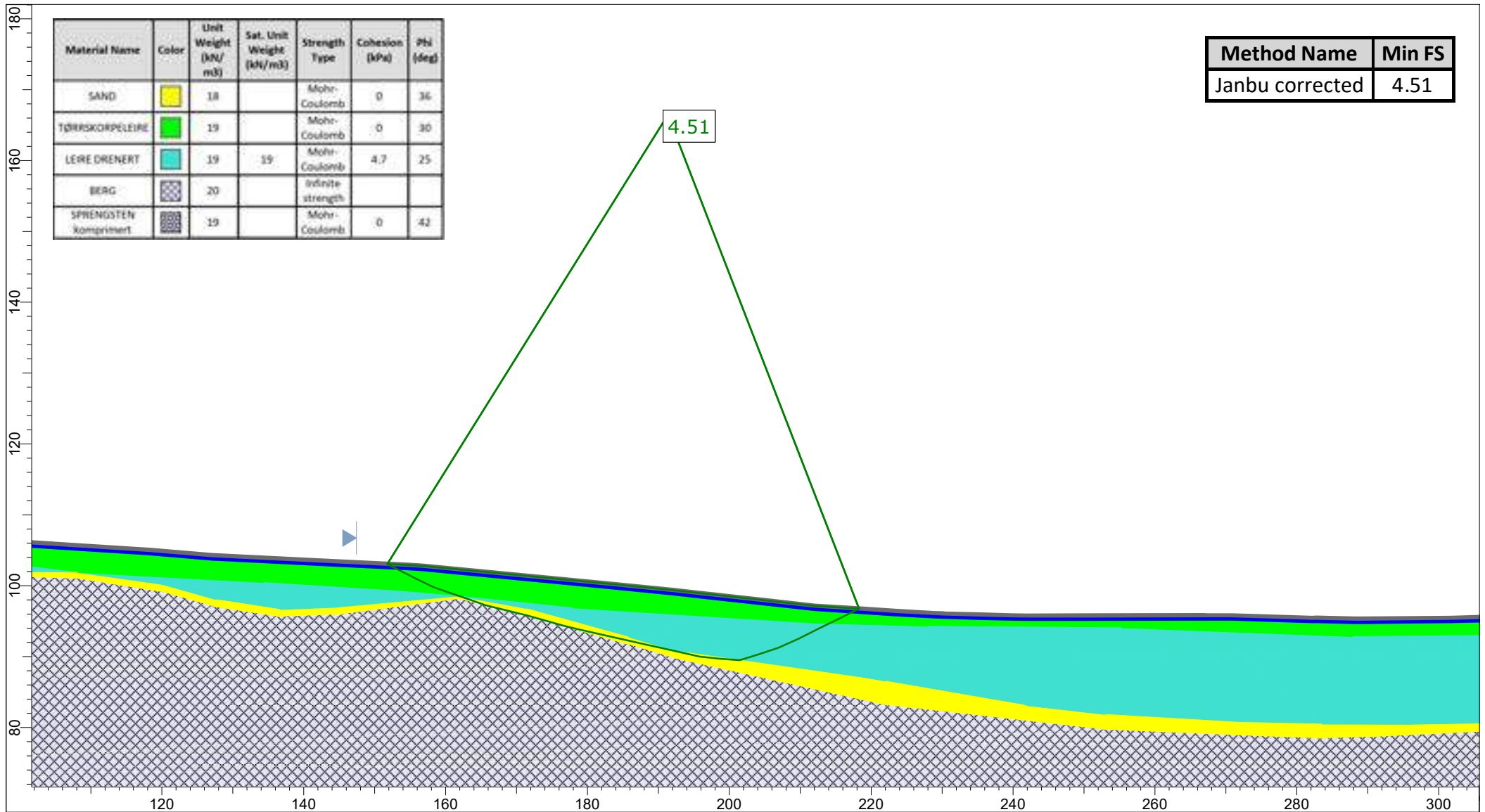
# UNA-00-A-10074 Vedlegg C Stabilitetsanalyser




	Project 10405073 - Ski ny Østre linje		
	Analysis Description Totalspenningsanalyse: bruddretning venstre mot høyre. Brudd i leire.		
	Drawn By MREU	Scale 1:750	Company Niras Norge AS
	Date 20.12.2022	File Name O2-A-4.slm	

SLIDEINTERPRET 9.007

# UNA-00-A-10074 Vedlegg C Stabilitetsanalyser

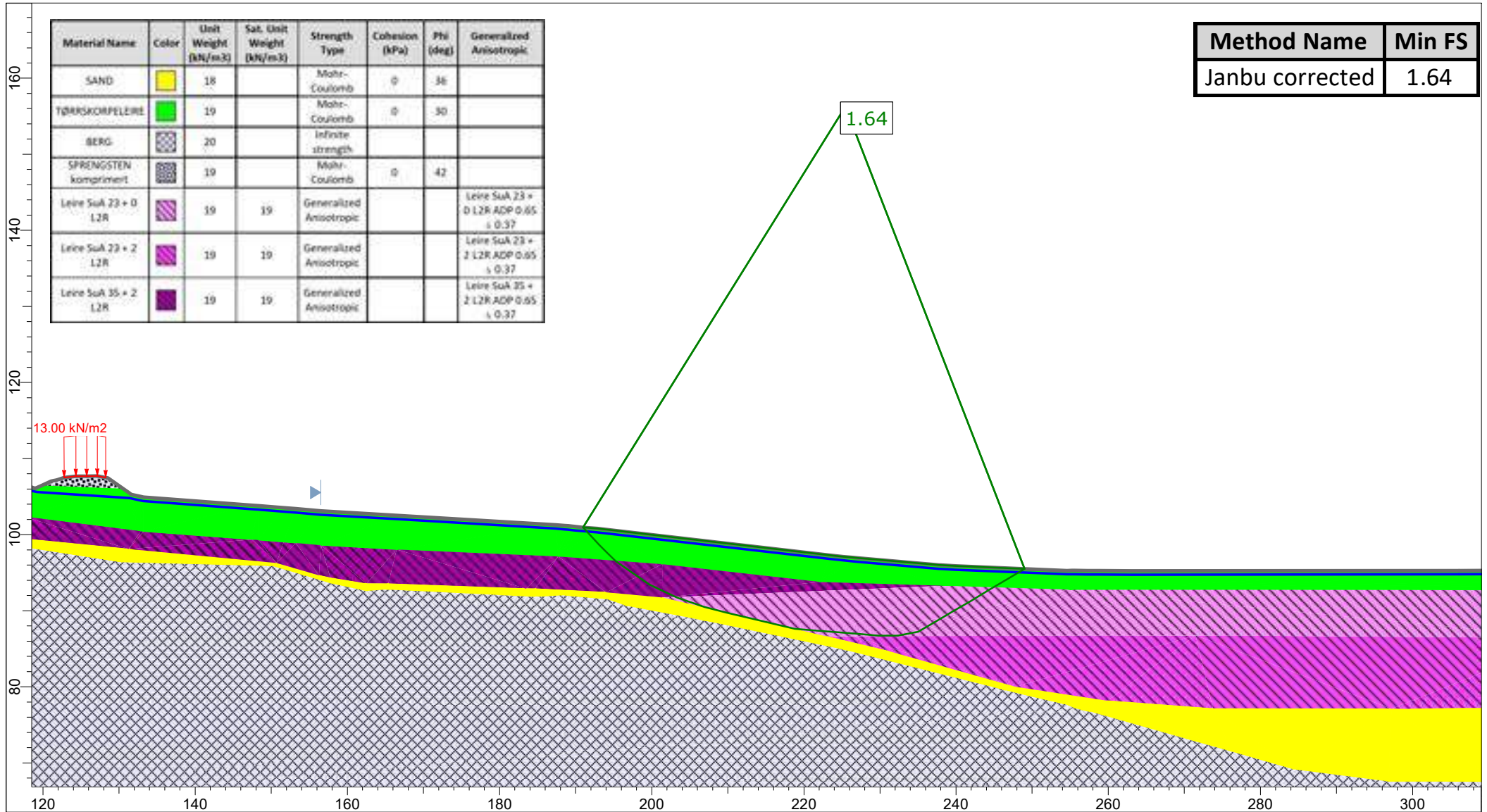


	Project			10405073 - Ski ny Østre linje		
	Analysis Description					Effektivspenningsanalyse: Bruddretning venstre mot høyre. Brudd i leire.
	Drawn By		MREU	Scale		1:750
	Date		20.12.2022		Company	
				File Name		O2-A-4.sldm

SLIDEINTERPRET 9.007




# UNA-00-A-10074 Vedlegg C Stabilitetsanalyser



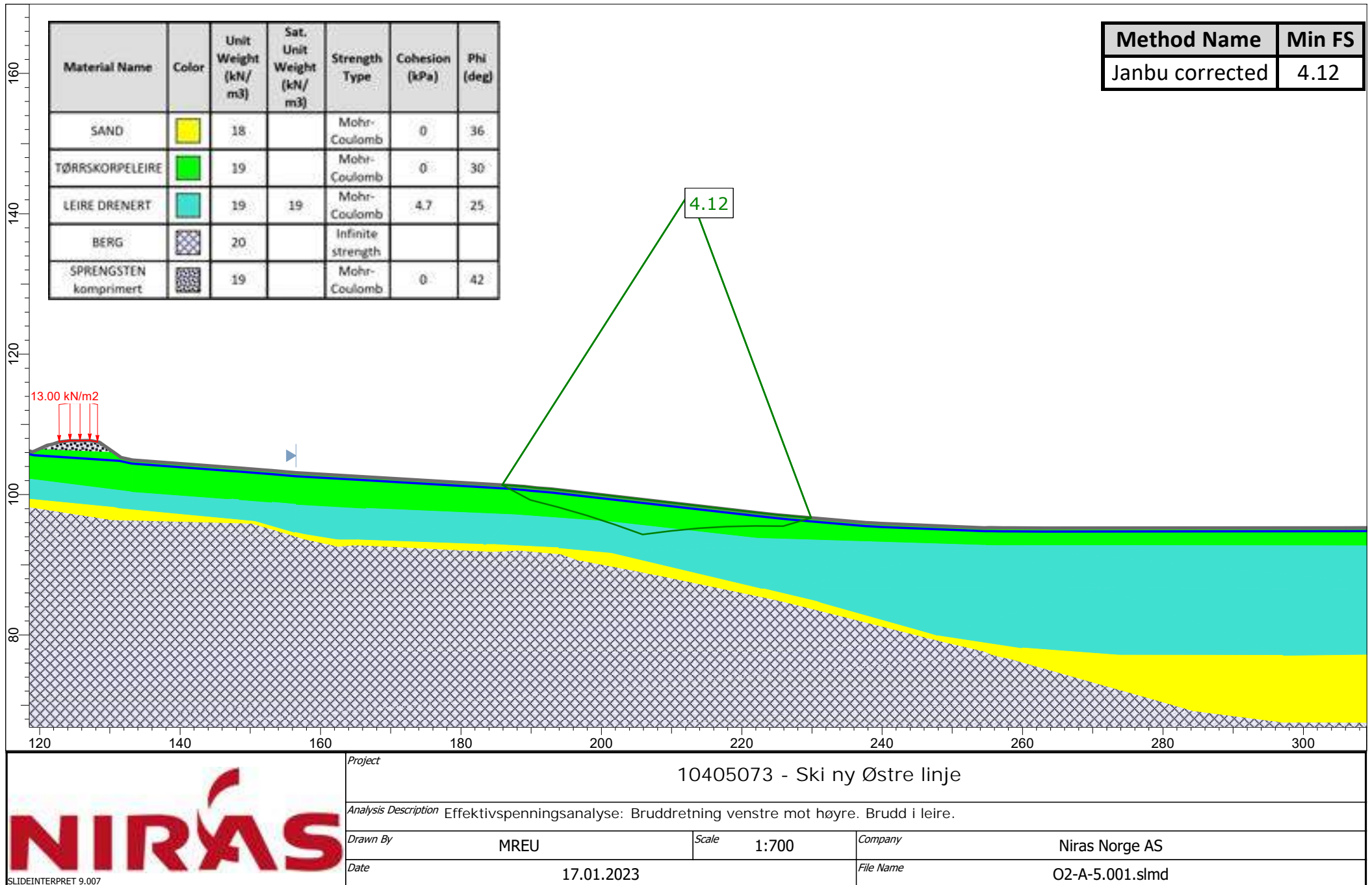
Material Name	Color	Unit Weight (kN/m <sup>3</sup> )	Sat. Unit Weight (kN/m <sup>3</sup> )	Strength Type	Cohesion (kPa)	Phi (deg)	Generalized Anisotropic
SAND	Yellow	18		Mohr-Coulomb	0	36	
TØRRSKORPELEIRE	Green	19		Mohr-Coulomb	0	30	
BERG	Grey cross-hatch	20		Infinite strength			
SPRENGSTEN komprimert	Grey square-hatch	19		Mohr-Coulomb	0	42	
Leire SuA 23 + 0 L2R	Diagonal lines /	19	19	Generalized Anisotropic			Leire SuA 23 + 0 L2R ADP 0.65 $\downarrow$ 0.37
Leire SuA 23 + 2 L2R	Diagonal lines \	19	19	Generalized Anisotropic			Leire SuA 23 + 2 L2R ADP 0.65 $\downarrow$ 0.37
Leire SuA 35 + 2 L2R	Diagonal lines /	19	19	Generalized Anisotropic			Leire SuA 35 + 2 L2R ADP 0.65 $\downarrow$ 0.37

Method Name	Min FS
Janbu corrected	1.64

	Project			10405073 - Ski ny Østre linje				
	Analysis Description						Totalspenningsanalyse: bruddretning venstre mot høyre. Brudd i leire.	
	Drawn By		MREU	Scale		1:700	Company	Niras Norge AS
	Date			17.01.2023		File Name		O2-A-5.001.slmd

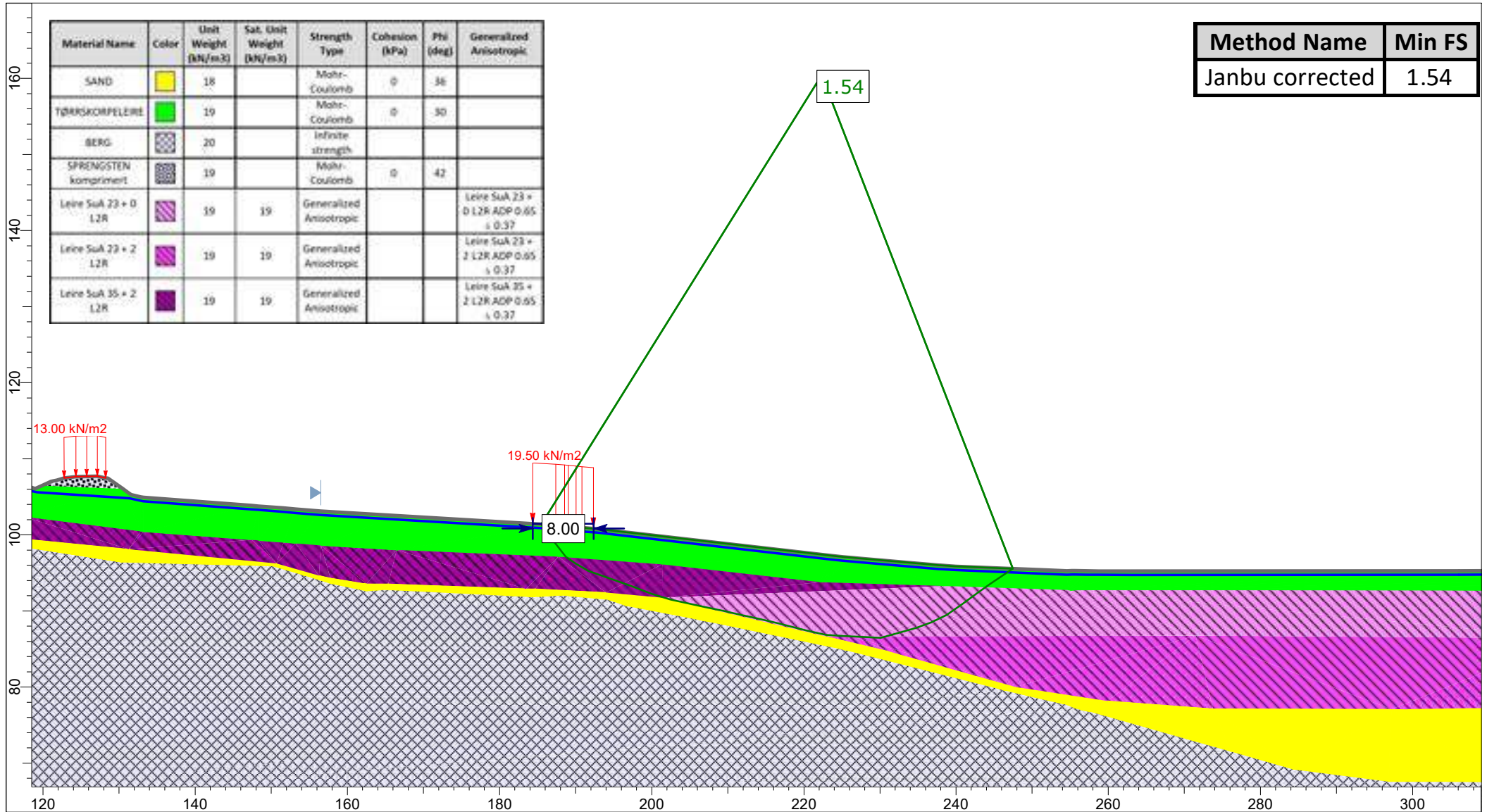
SLIDEINTERPRET 9.007

# UNA-00-A-10074 Vedlegg C Stabilitetsanalyser






# UNA-00-A-10074 Vedlegg C Stabilitetsanalyser



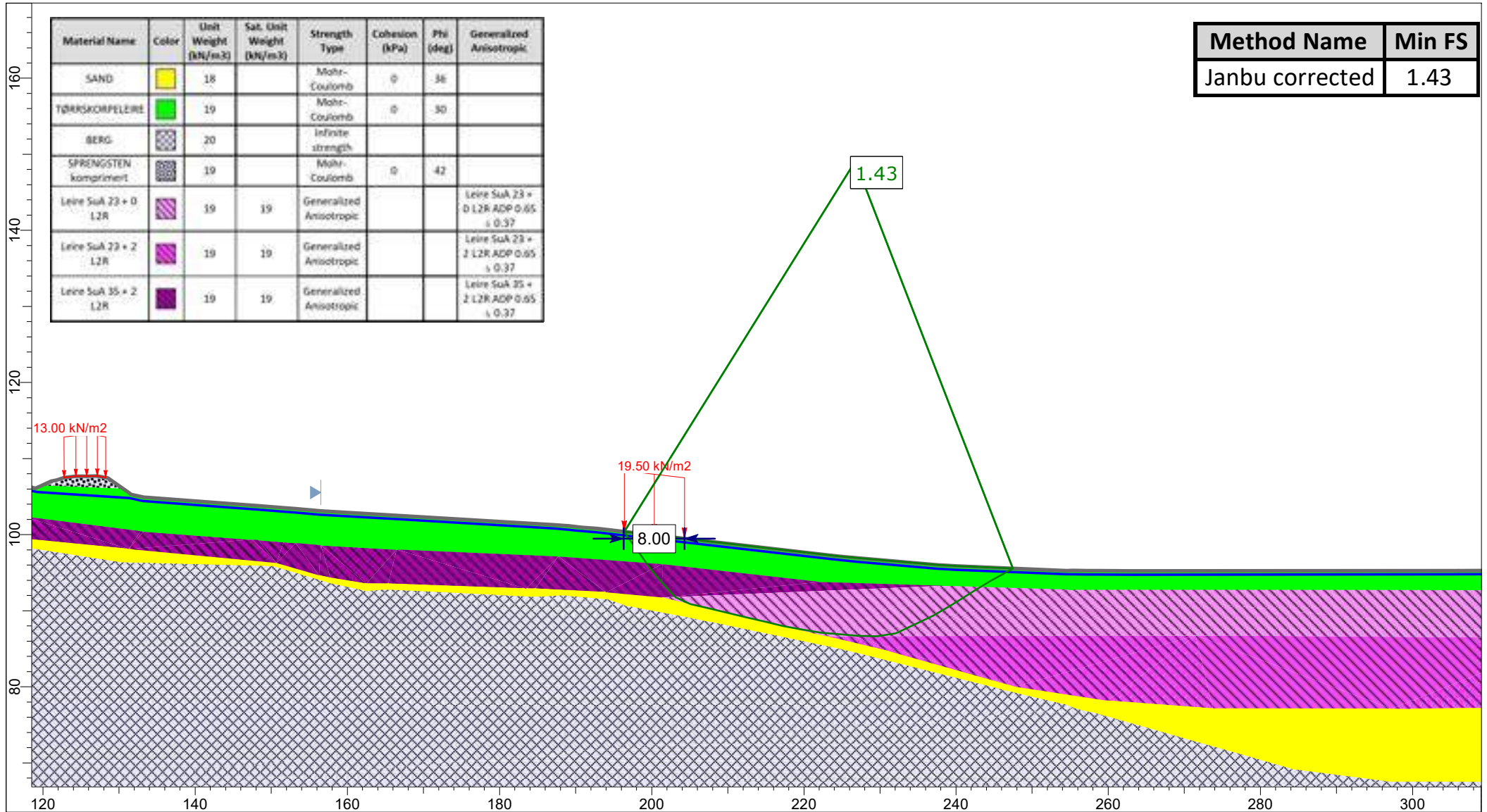
Method Name	Min FS
Janbu corrected	1.54

	Project			10405073 - Ski ny Østre linje		
	Analysis Description					Totalspenningsanalyse: bruddretning venstre mot høyre med 8 m brede veglast for midlertidige veg. Brudd i leire.
	Drawn By		MREU	Scale		1:700
	Date		17.01.2023		Company	
			File Name		O2-A-5.001.slmd	


SLIDEINTERPRET 9.007



# UNA-00-A-10074 Vedlegg C Stabilitetsanalyser

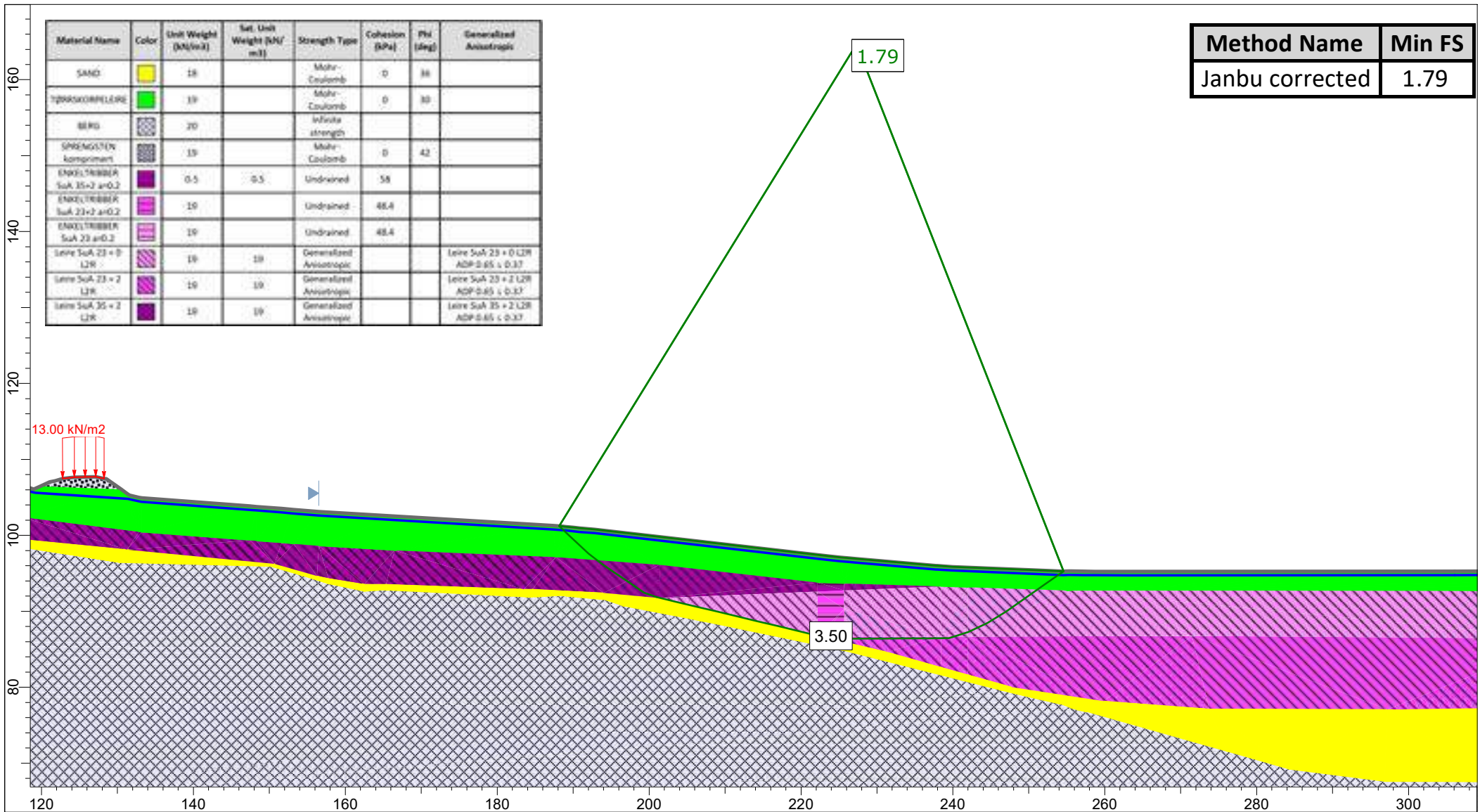


Method Name	Min FS
Janbu corrected	1.43

	Project			10405073 - Ski ny Østre linje		
	Analysis Description					Totalspenningsanalyse: bruddretning venstre mot høyre med 8 m brede veglast for midlertidige veg. Brudd i leire.
	Drawn By		MREU	Scale		1:700
	Date		17.01.2023		Company	
				File Name		O2-A-5.001.slmd

SLIDEINTERPRET 9.007

# UNA-00-A-10074 Vedlegg C Stabilitetsanalyse



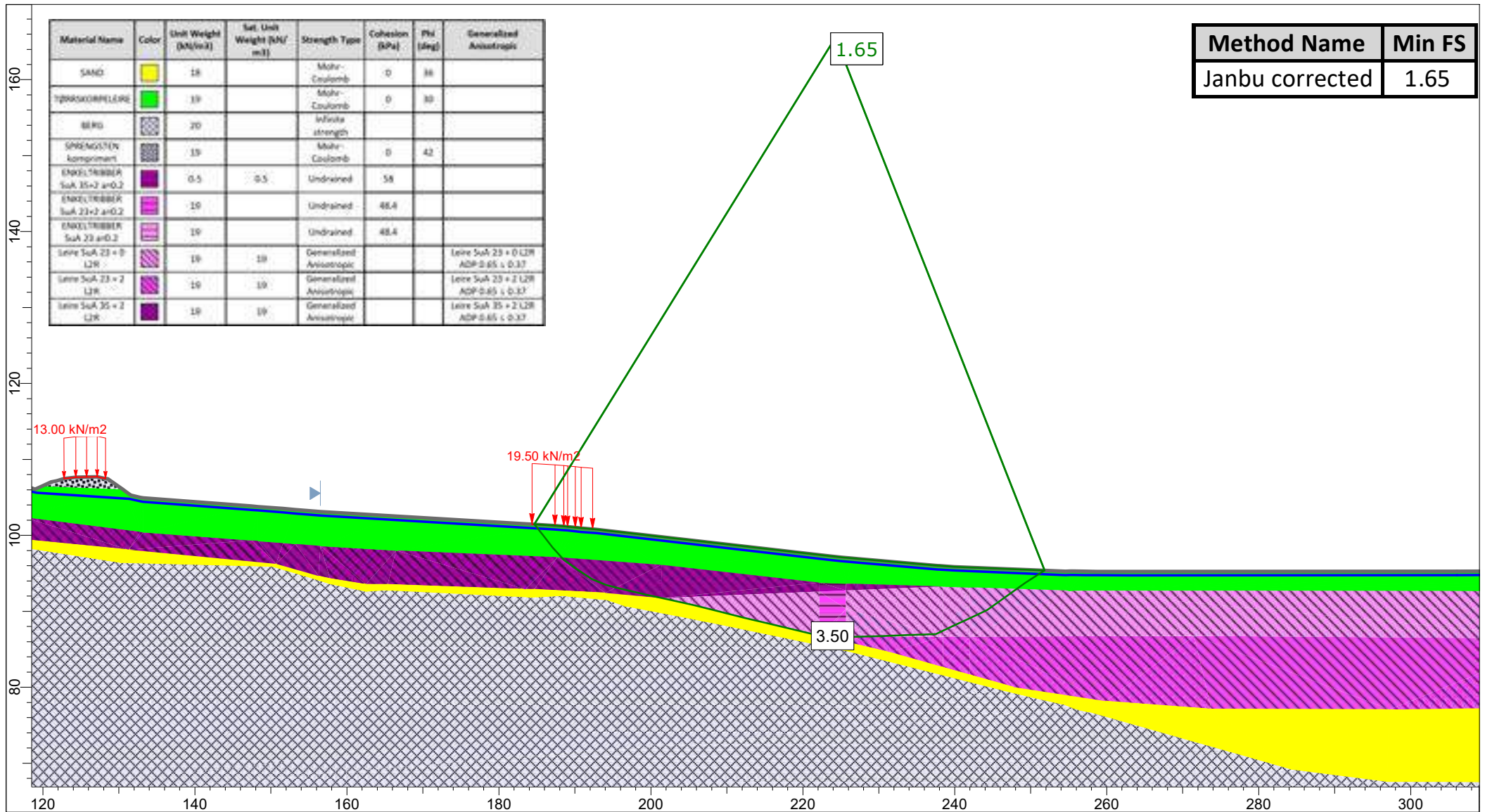
Method Name	Min FS
Janbu corrected	1.79

	Project			10405073 - Ski ny Østre linje		
	Analysis Description					Totalspenningsanalyse: KS stabilisert med 3.5 m brede enkeltribber a=0.2. Brudd i leire.
	Drawn By	MREU	Scale	1:700	Company	Niras Norge AS
	Date	17.01.2023		File Name	O2-A-5.001.slmd	

SLIDEINTERPRET 9.007



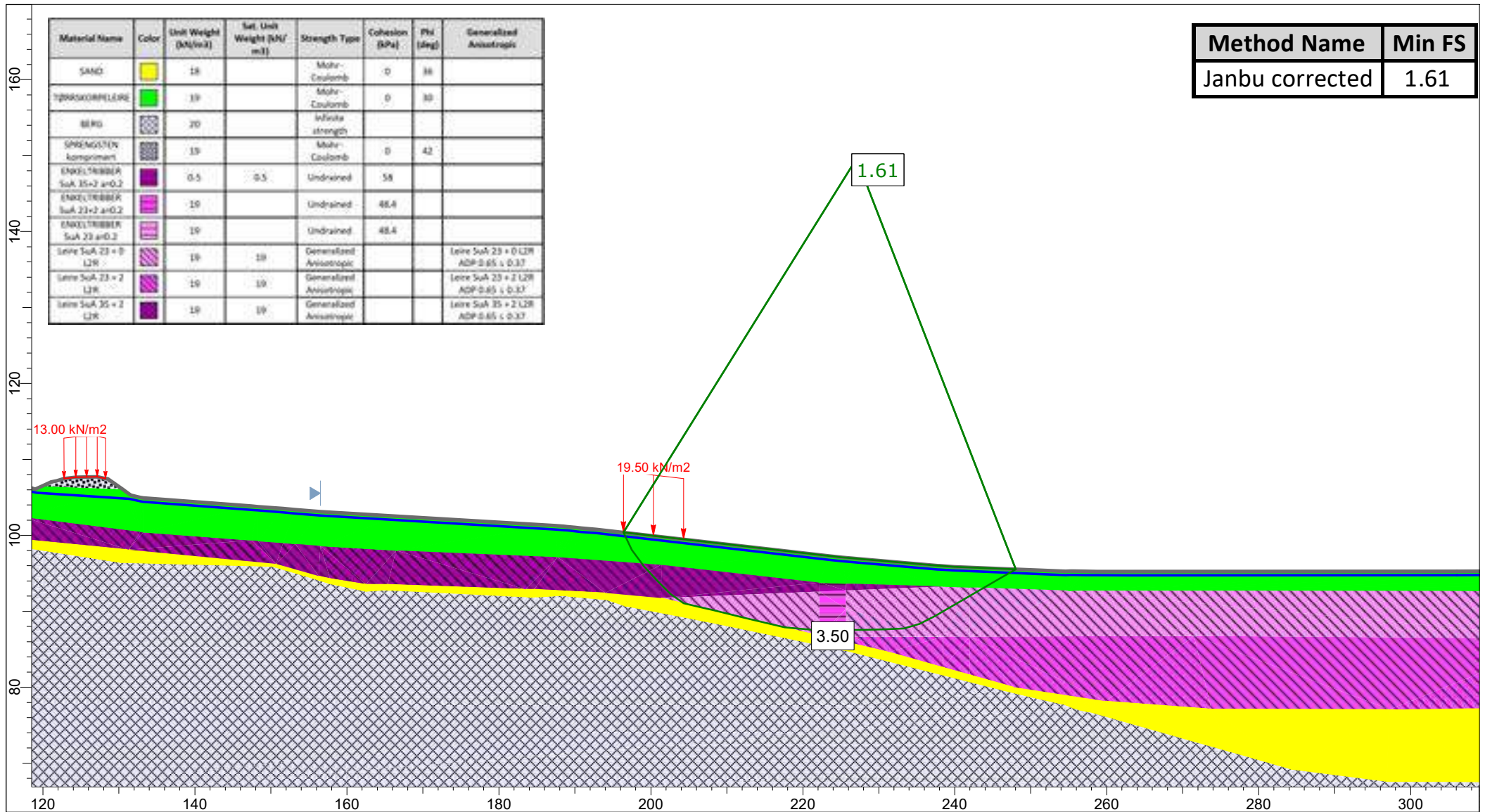
# UNA-00-A-10074 Vedlegg C Stabilitetsanalyser



	Project			10405073 - Ski ny Østre linje		
	Analysis Description					Totalspenningsanalyse: KS stabilisert med 3.5 m brede enkeltribber a=0.2 og 8 m brede midlertidige veglast. Brudd i leire.
	Drawn By	MREU	Scale	1:700	Company	Niras Norge AS
	Date	17.01.2023		File Name	O2-A-5.001.slmd	

SLIDEINTERPRET 9.007

# UNA-00-A-10074 Vedlegg C Stabilitetsanalyse



Material Name	Color	Unit Weight [kN/m <sup>3</sup> ]	Sat. Unit Weight [kN/m <sup>3</sup> ]	Strength Type	Cohesion [kPa]	Phi [deg]	Generalized Anisotropic
SAND	Yellow	18		Mohr-Coulomb	0	36	
SPRØKORRE LEIRE	Green	19		Mohr-Coulomb	0	30	
BERG	Grey	20		Infinite strength			
SPRØKORRE LEIRE	Blue	19		Mohr-Coulomb	0	42	
ENKELTRIBBER SuA 35+2 a=0.2	Purple	0.5	0.5	Undrained	58		
ENKELTRIBBER SuA 23+2 a=0.2	Pink	19		Undrained	48.4		
ENKELTRIBBER SuA 23 a=0.3	Pink	19		Undrained	48.4		
Leire SuA 23 + 0 L2R	Diagonal lines	19	19	Generalized Anisotropic			Leire SuA 23 + 0 L2R ADP 0.65 ± 0.37
Leire SuA 23 + 2 L2R	Diagonal lines	19	19	Generalized Anisotropic			Leire SuA 23 + 2 L2R ADP 0.65 ± 0.37
Leire SuA 35 + 2 L2R	Purple	19	19	Generalized Anisotropic			Leire SuA 35 + 2 L2R ADP 0.65 ± 0.37

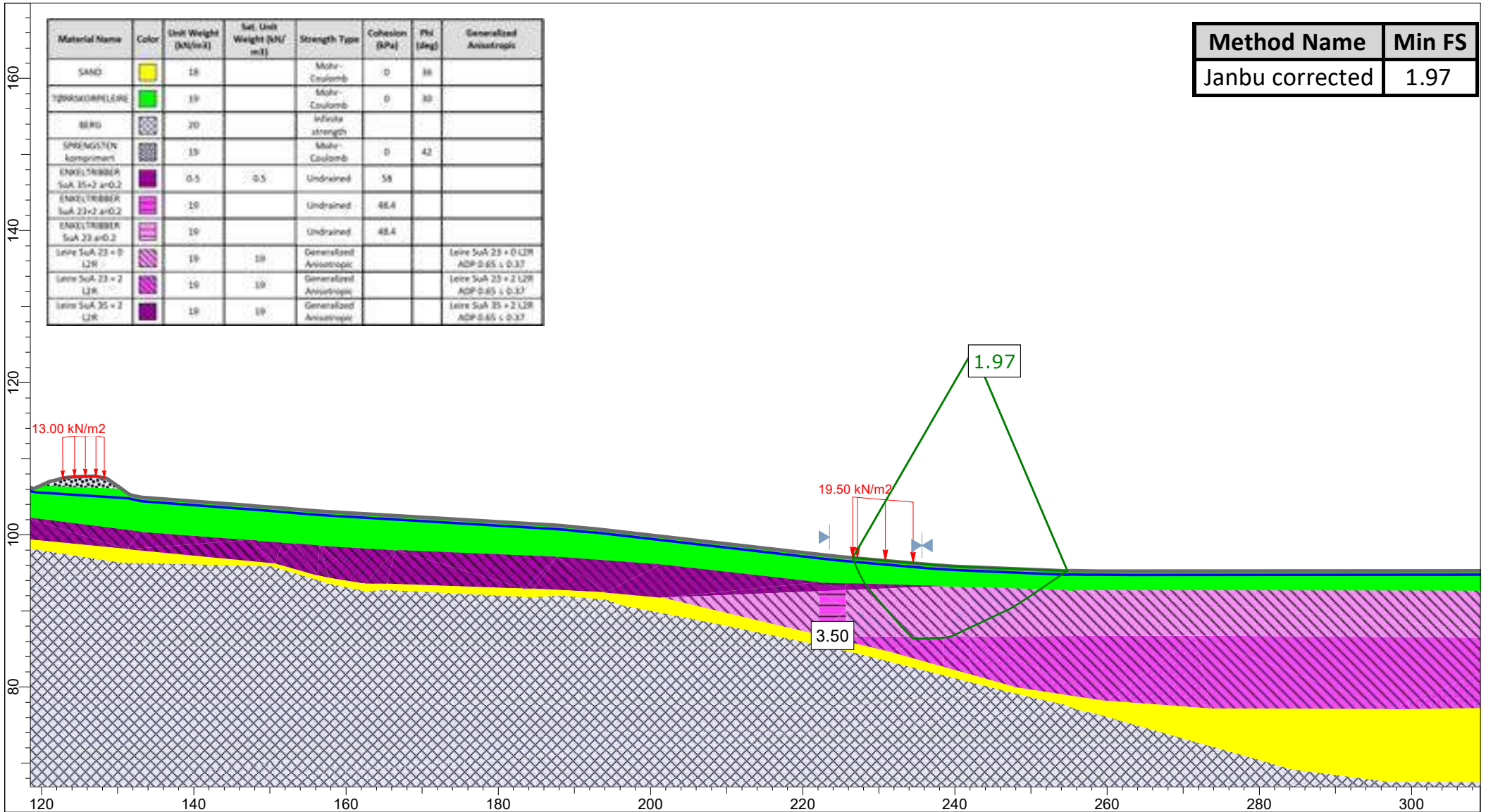
Method Name	Min FS
Janbu corrected	1.61

	Project			10405073 - Ski ny Østre linje		
	Analysis Description					Totalspenningsanalyse: KS stabilisert med 3.5 m brede enkeltribber a=0.2 og 8 m brede midlertidige veglast. Brudd i leire.
	Drawn By	MREU	Scale	1:700	Company	Niras Norge AS
	Date	17.01.2023		File Name	O2-A-5.001.slmd	

SLIDEINTERPRET 9.007



# UNA-00-A-10074 Vedlegg C Stabilitetsanalyser



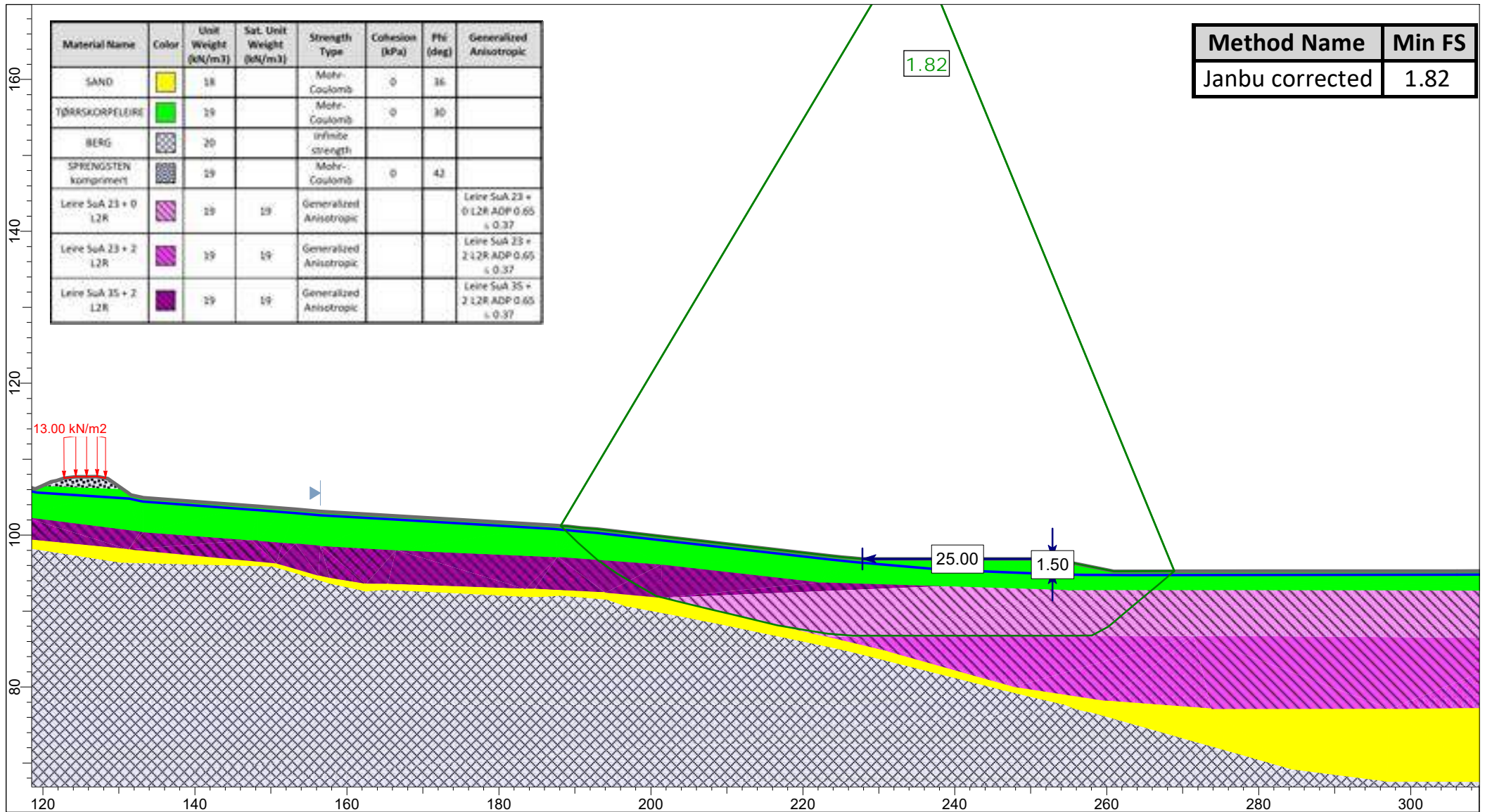
Material Name	Color	Unit Weight [kN/m <sup>3</sup> ]	Sat. Unit Weight [kN/m <sup>3</sup> ]	Strength Type	Cohesion [kPa]	Phi [deg]	Generalized Anisotropic
SAND	Yellow	18		Mohr-Coulomb	0	36	
SPRÅKOMP/LEIRE	Green	19		Mohr-Coulomb	0	30	
BERG	Grey	20		Infinite strength			
SPRÅNGSTEN komprimert	Dark Grey	19		Mohr-Coulomb	0	42	
ENKELTRIBBER SuA 35+2 a=0.2	Purple	0.5	0.5	Undrained	58		
ENKELTRIBBER SuA 23+2 a=0.2	Pink	19		Undrained	48.4		
ENKELTRIBBER SuA 23 a=0.2	Light Purple	19		Undrained	48.4		
Leire SuA 23 + 0 L2R	Diagonal Hatching	19	19	Generalized Anisotropic			Leire SuA 23 + 0 L2R ADP 0.65 ± 0.37
Leire SuA 23 + 2 L2R	Diagonal Hatching	19	19	Generalized Anisotropic			Leire SuA 23 + 2 L2R ADP 0.65 ± 0.37
Leire SuA 35 + 2 L2R	Diagonal Hatching	19	19	Generalized Anisotropic			Leire SuA 35 + 2 L2R ADP 0.65 ± 0.37


Method Name	Min FS
Janbu corrected	1.97

	Project			10405073 - Ski ny Østre linje		
	Analysis Description					Totalspenningsanalyse: KS stabilisert med 3.5 m brede enkeltribber a=0.2 og 8 m brede midlertidige veglast. Brudd i leire.
	Drawn By		MREU	Scale		1:700
	Date		17.01.2023		Company	
			File Name		O2-A-5.001.slmd	

SLIDEINTERPRET 9.007

# UNA-00-A-10074 Vedlegg C Stabilitetsanalyser

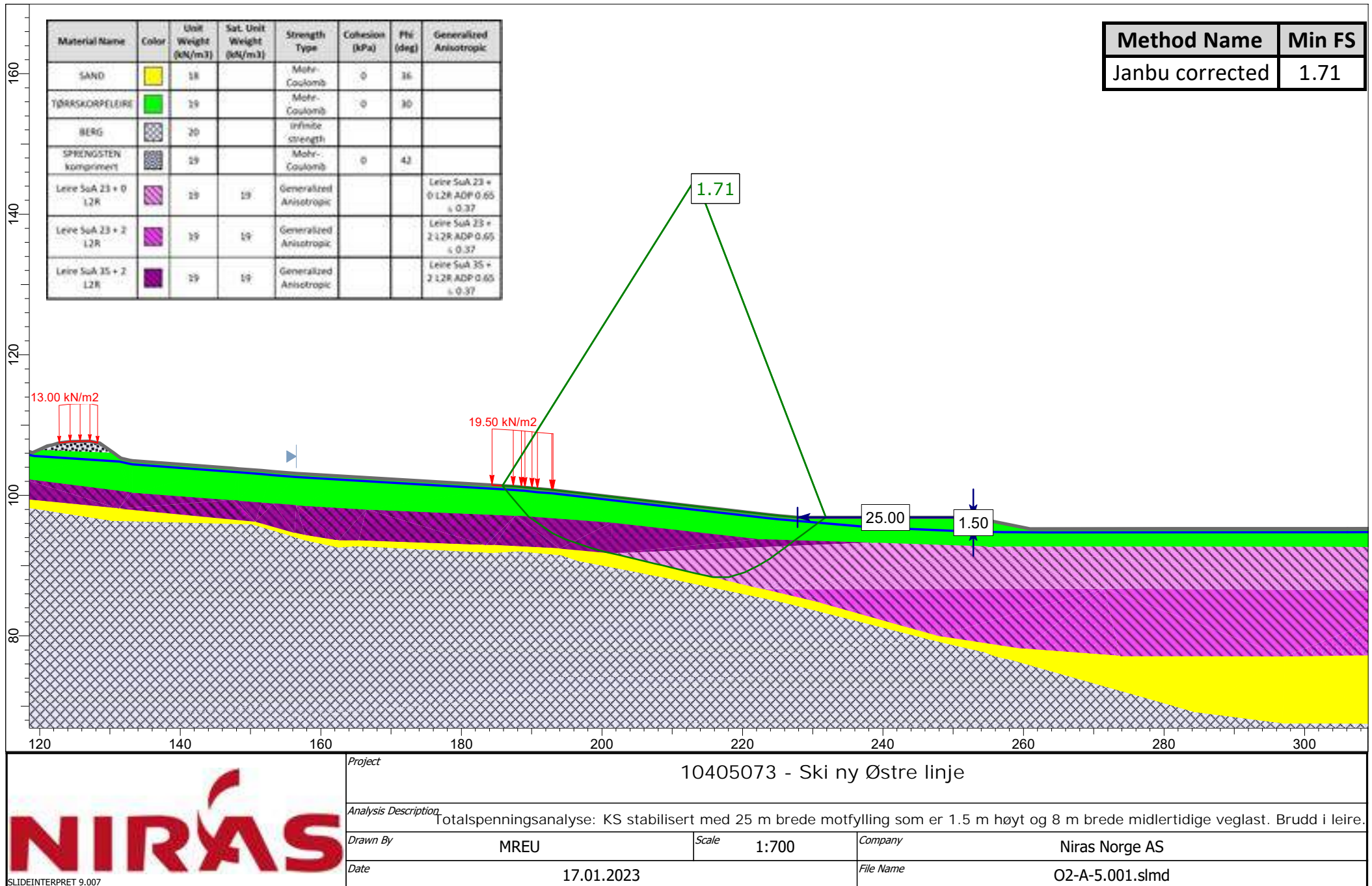


	Project			10405073 - Ski ny Østre linje		
	Analysis Description					Totalspenningsanalyse: KS stabilisert med 25 m brede motfylling som er 1.5 m høyt. Brudd i leire.
	Drawn By	MREU	Scale	1:700	Company	Niras Norge AS
	Date	17.01.2023		File Name	O2-A-5.001.slmd	

SLIDEINTERPRET 9.007

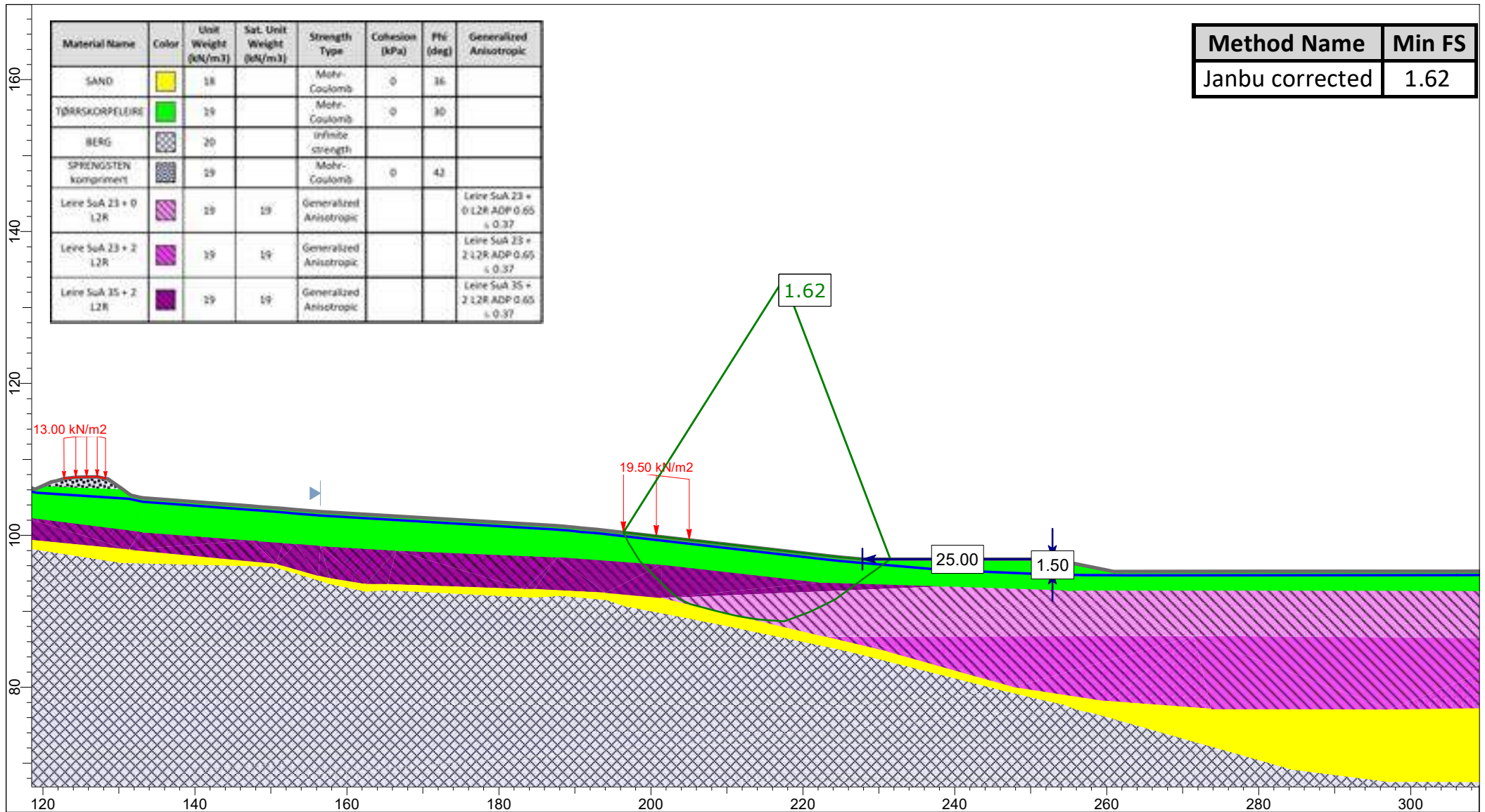


# UNA-00-A-10074 Vedlegg C Stabilitetsanalyser




SLIDEINTERPRET 9.007

# UNA-00-A-10074 Vedlegg C Stabilitetsanalyser



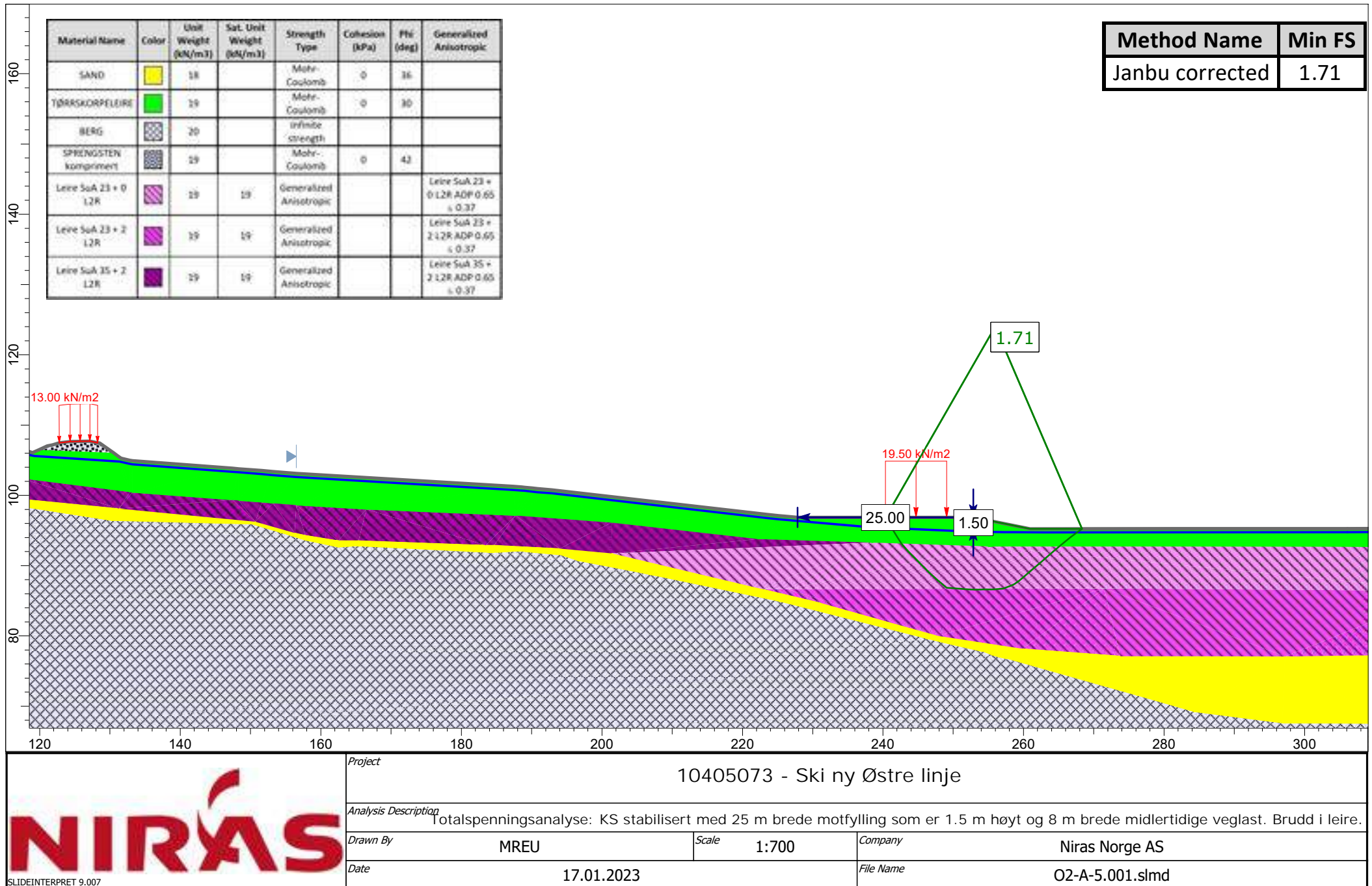
Method Name	Min FS
Janbu corrected	1.62

	Project			10405073 - Ski ny Østre linje		
	Analysis Description					Totalspenningsanalyse: KS stabilisert med 25 m brede motfylling som er 1.5 m høyt og 8 m brede midlertidige veglast. Brudd i leire.
	Drawn By	MREU	Scale	1:700	Company	Niras Norge AS
	Date	17.01.2023			File Name	O2-A-5.001.slmd

SLIDEINTERPRET 9.007

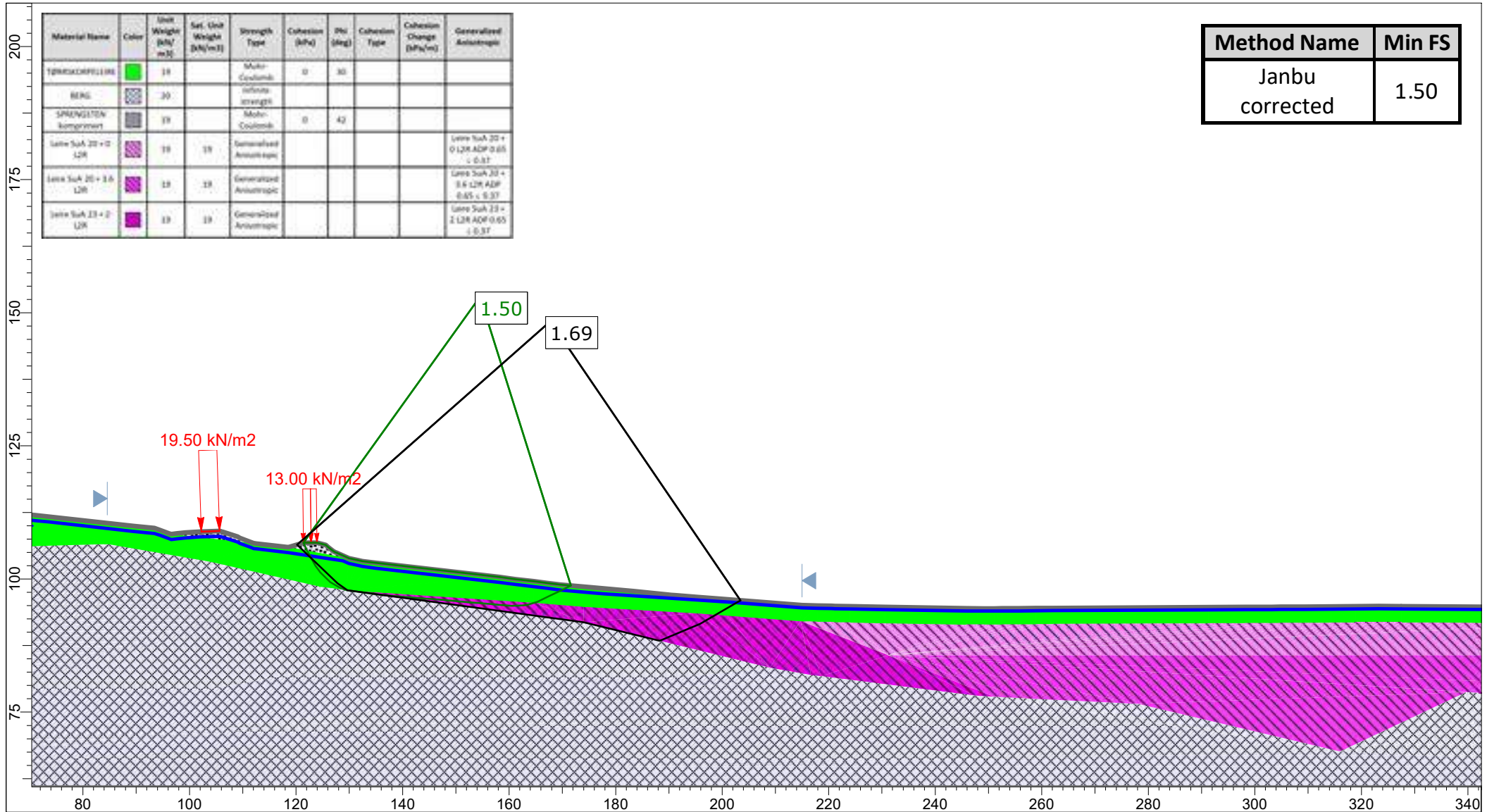


# UNA-00-A-10074 Vedlegg C Stabilitetsanalyser




SLIDEINTERPRET 9.007

# UNA-00-A-10074 Vedlegg C Stabilitetsanalyser



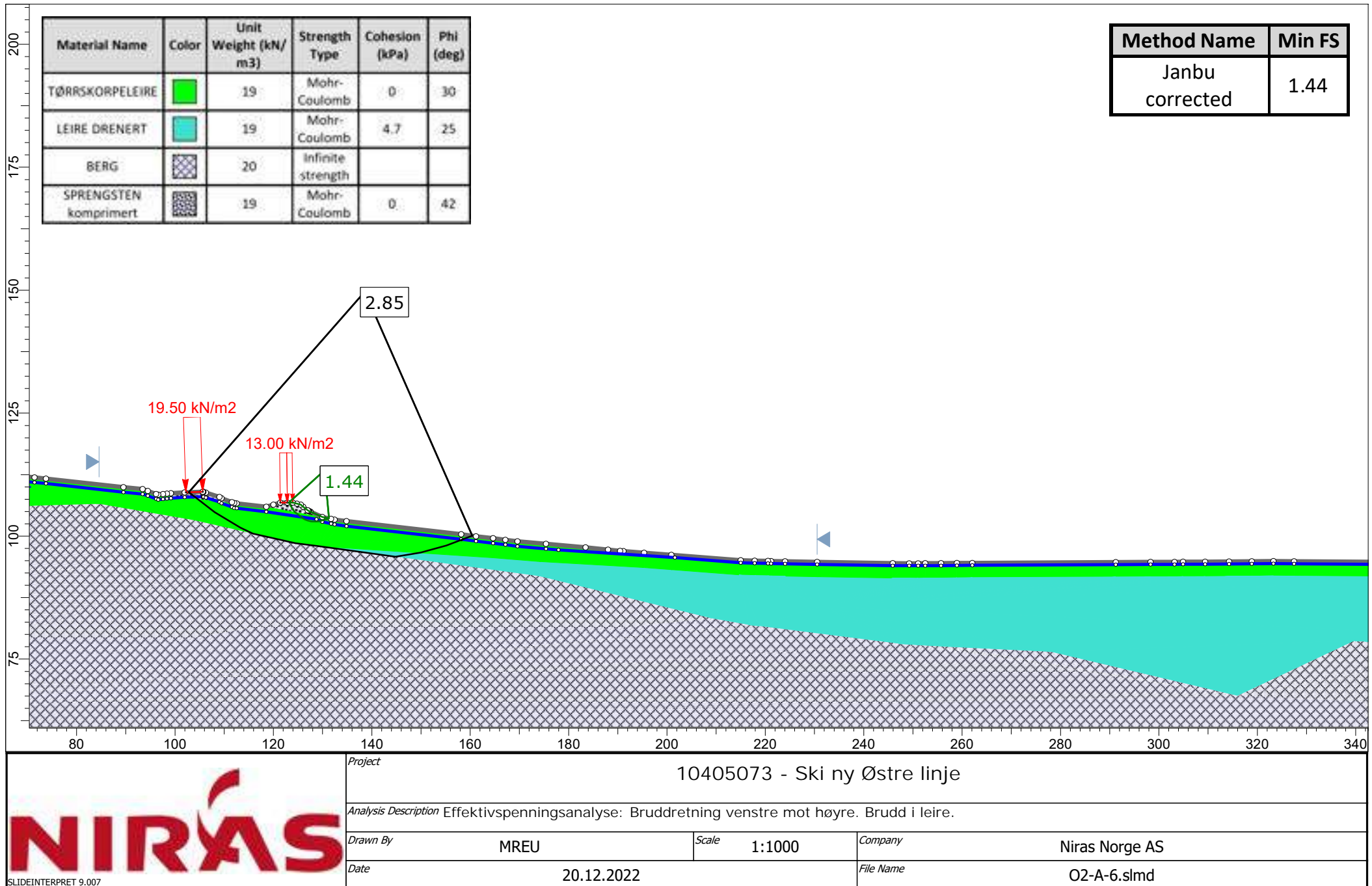
Method Name	Min FS
Janbu corrected	1.50

	Project			10405073 - Ski ny Østre linje			
	Analysis Description					Totalspenningsanalyse: bruddretning vesntre mot høyre. Brudd i leire.	
	Drawn By		MREU	Scale		1:1000	
	Date		20.12.2022		Company		Niras Norge AS
Date			20.12.2022		File Name		O2-A-6.slm

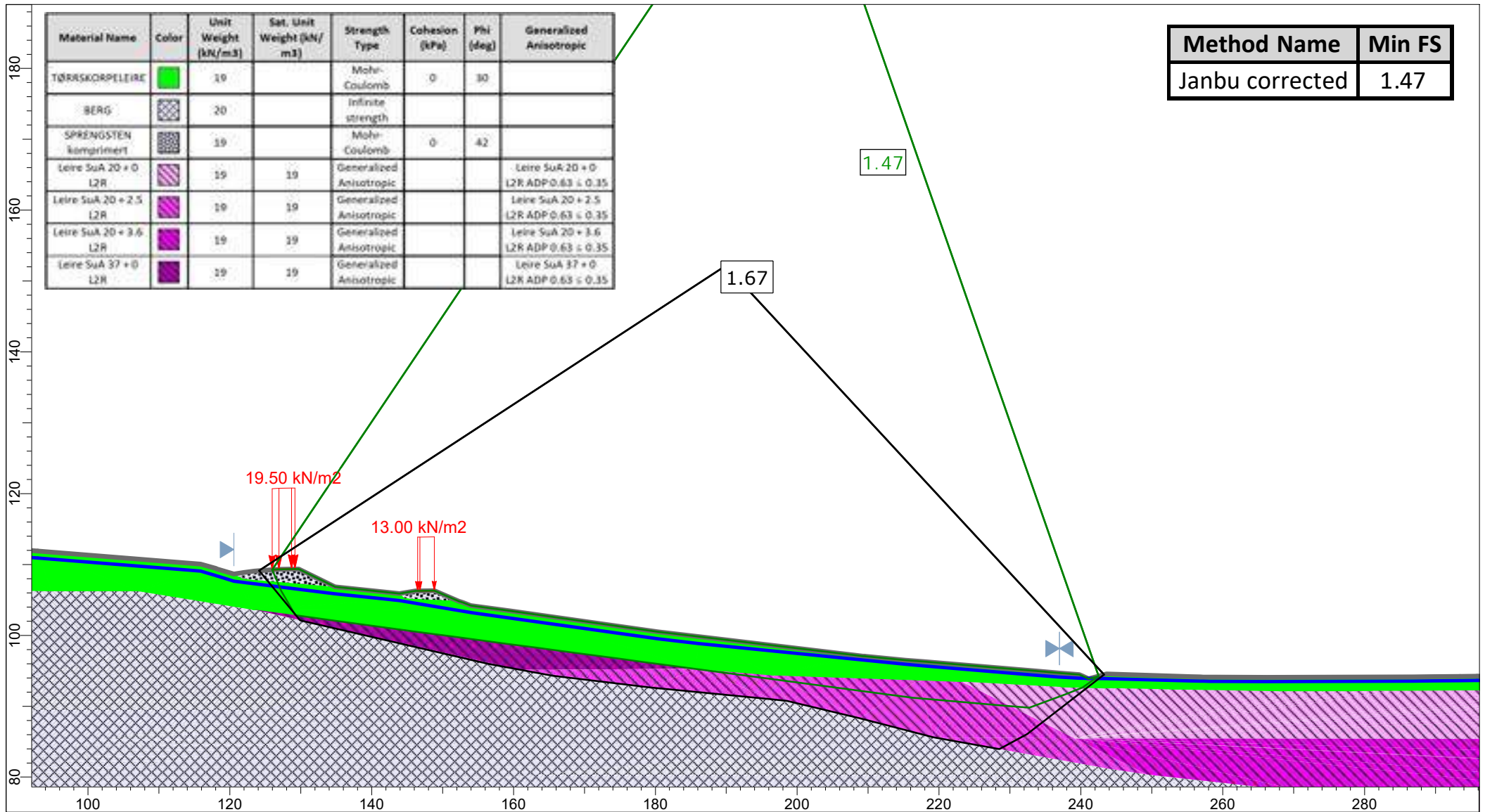
SLIDEINTERPRET 9.007




# UNA-00-A-10074 Vedlegg C Stabilitetsanalyse



# UNA-00-A-10074 Vedlegg C Stabilitetsanalyser

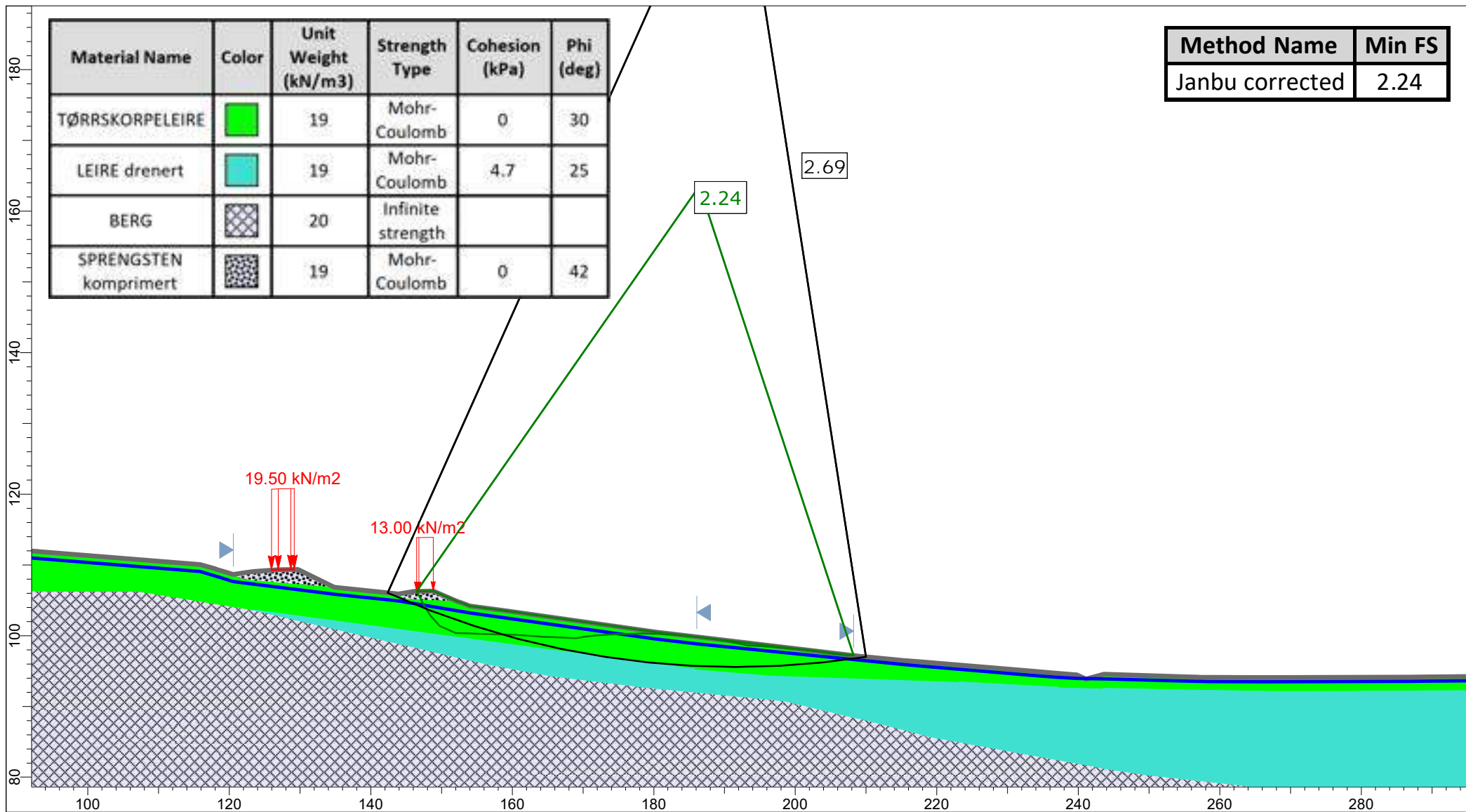


	Project			10405073 - Ski ny Østre linje		
	Analysis Description					Totalspenningsanalyse: bruddretning venstre mot høyre med begresing så at brudd når til sprøbruddmaterialet. Brudd i leire.
	Drawn By		MREU	Scale		1:750
	Date		10.02.2023	Company		Niras Norge AS
Date			10.02.2023	File Name		O2-A-7.sldm

SLIDEINTERPRET 9.007



# UNA-00-A-10074 Vedlegg C Stabilitetsanalyse



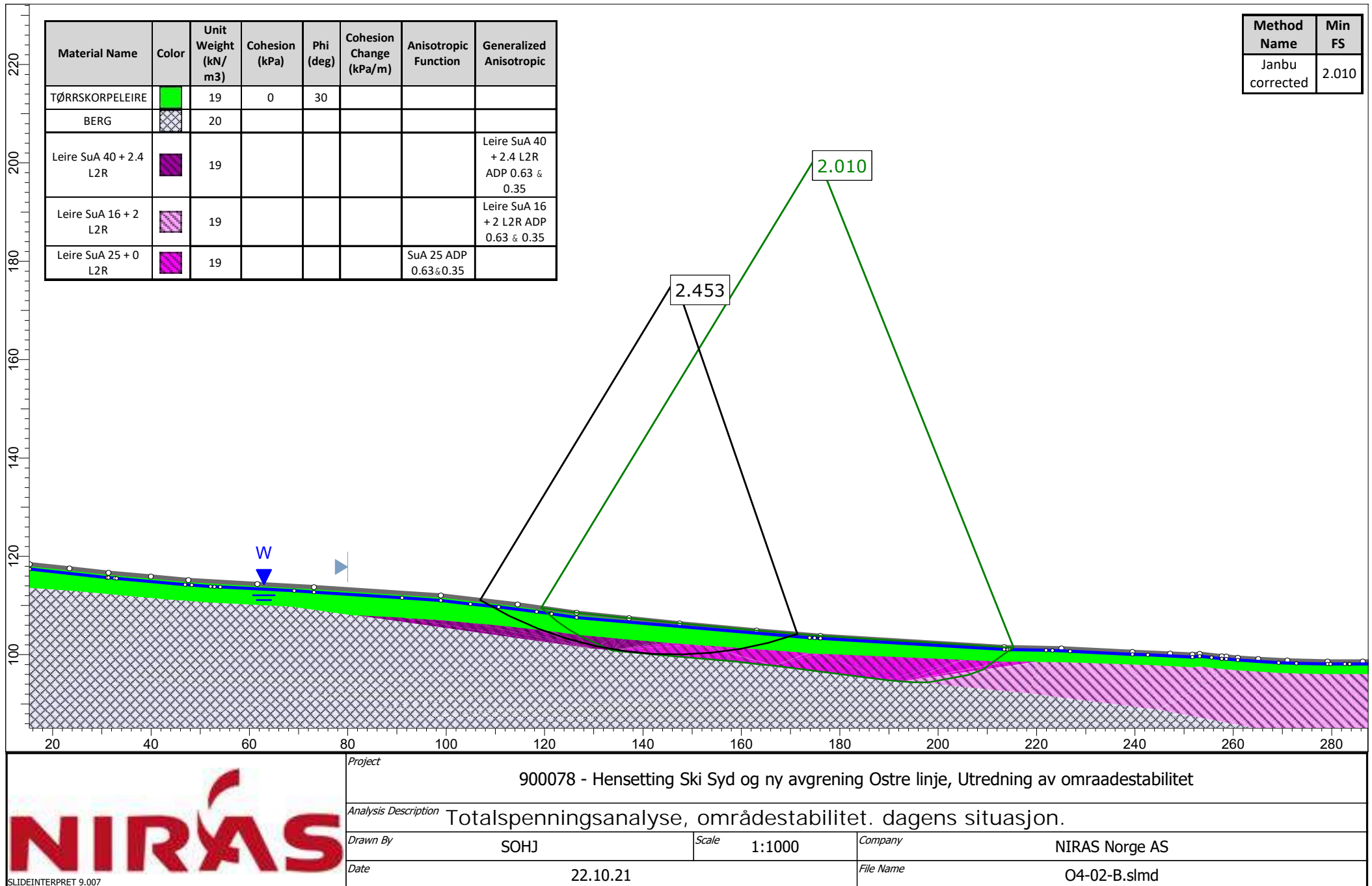
Material Name	Color	Unit Weight (kN/m <sup>3</sup> )	Strength Type	Cohesion (kPa)	Phi (deg)
TØRRSKORPELEIRE	<span style="color: red;">■</span>	19	Mohr-Coulomb	0	30
LEIRE drenert	<span style="color: orange;">■</span>	19	Mohr-Coulomb	4.7	25
BERG		20	Infinite strength		
SPRENGSTEN komprimert		19	Mohr-Coulomb	0	42

Method Name	Min FS
Janbu corrected	2.24

	Project			10405073 - Ski ny Østre linje		
	Analysis Description					Effektivspenningsanalyse: Bruddretning venstre mot høyre. Brudd i leire.
	Drawn By		MREU	Scale		1:750
	Date		10.02.2023		Company	
				File Name		O2-A-7.sldm

SLIDEINTERPRET 9.007

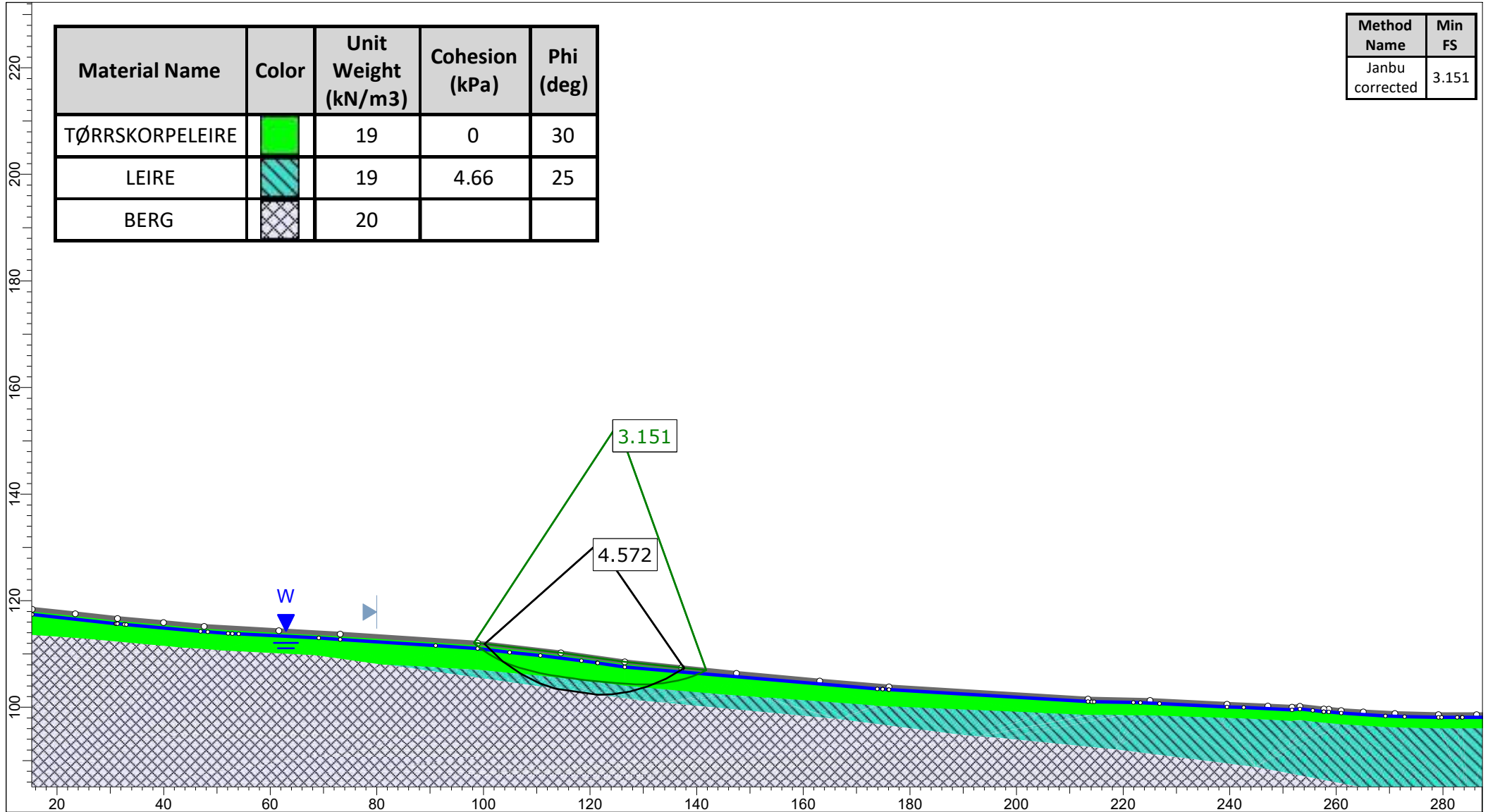
# UNA-00-A-10074 Vedlegg C Stabilitetsanalyser




# UNA-00-A-10074 Vedlegg C Stabilitetsanalyser

Material Name	Color	Unit Weight (kN/m <sup>3</sup> )	Cohesion (kPa)	Phi (deg)
TØRRSKORPELEIRE		19	0	30
LEIRE		19	4.66	25
BERG		20		

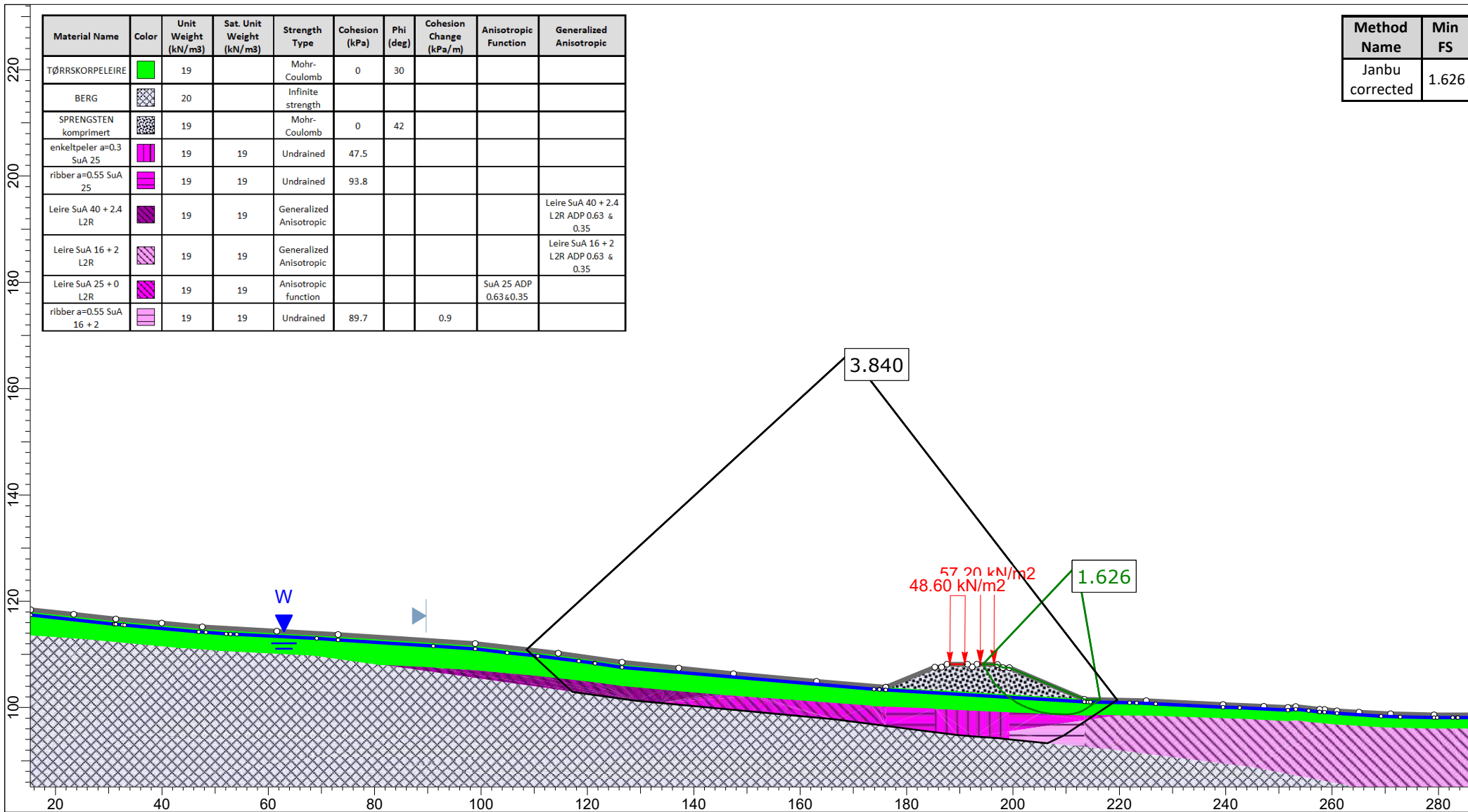
Method Name	Min FS
Janbu corrected	3.151



	Project 900078 - Hensetting Ski Syd og ny avgrensing Ostre linje, Utredning av omraadestabilitet			
	Analysis Description Effektivanalyse, omraadestabilitet. dagens situasjon drenert tilstand.			
	Drawn By SOHJ	Scale 1:1000	Company NIRAS Norge AS	
	Date 22.10.21	File Name O4-02-B.sldm		

SLIDEINTERPRET 9.007

# UNA-00-A-10074 Vedlegg C Stabilitetsanalyser



Material Name	Color	Unit Weight (kN/m <sup>3</sup> )	Sat. Unit Weight (kN/m <sup>3</sup> )	Strength Type	Cohesion (kPa)	Phi (deg)	Cohesion Change (kPa/m)	Anisotropic Function	Generalized Anisotropic
TØRRSKORPELEIRE	[Green]	19		Mohr-Coulomb	0	30			
BERG	[Cross-hatch]	20		Infinite strength					
SPRENGSTEN komprimert	[Dotted]	19		Mohr-Coulomb	0	42			
enkeltpeleler a=0.3 SuA 25	[Pink]	19	19	Undrained	47.5				
ribber a=0.55 SuA 25	[Pink]	19	19	Undrained	93.8				
Leire SuA 40 + 2.4 LZR	[Purple]	19	19	Generalized Anisotropic					Leire SuA 40 + 2.4 LZR ADP 0.63 & 0.35
Leire SuA 16 + 2 LZR	[Purple]	19	19	Generalized Anisotropic					Leire SuA 16 + 2 LZR ADP 0.63 & 0.35
Leire SuA 25 + 0 LZR	[Purple]	19	19	Anisotropic function				SuA 25 ADP 0.63 & 0.35	
ribber a=0.55 SuA 16 + 2	[Pink]	19	19	Undrained	89.7		0.9		




Method Name	Min FS
Janbu corrected	1.626

<b>NIRAS</b>	Project			900078 - Hensetting Ski Syd og ny avgrensing Ostre linje, Utredning av omraadestabilitet								
	Analysis Description						Totalspenningsanalyse, omraadestabilitet. Fremtidig situasjon m/ KS-peler + fylling					
	Drawn By		SOHJ		Scale		1:1000		Company		NIRAS Norge AS	
	Date		22.10.21				File Name		O4-02-B.sldm			

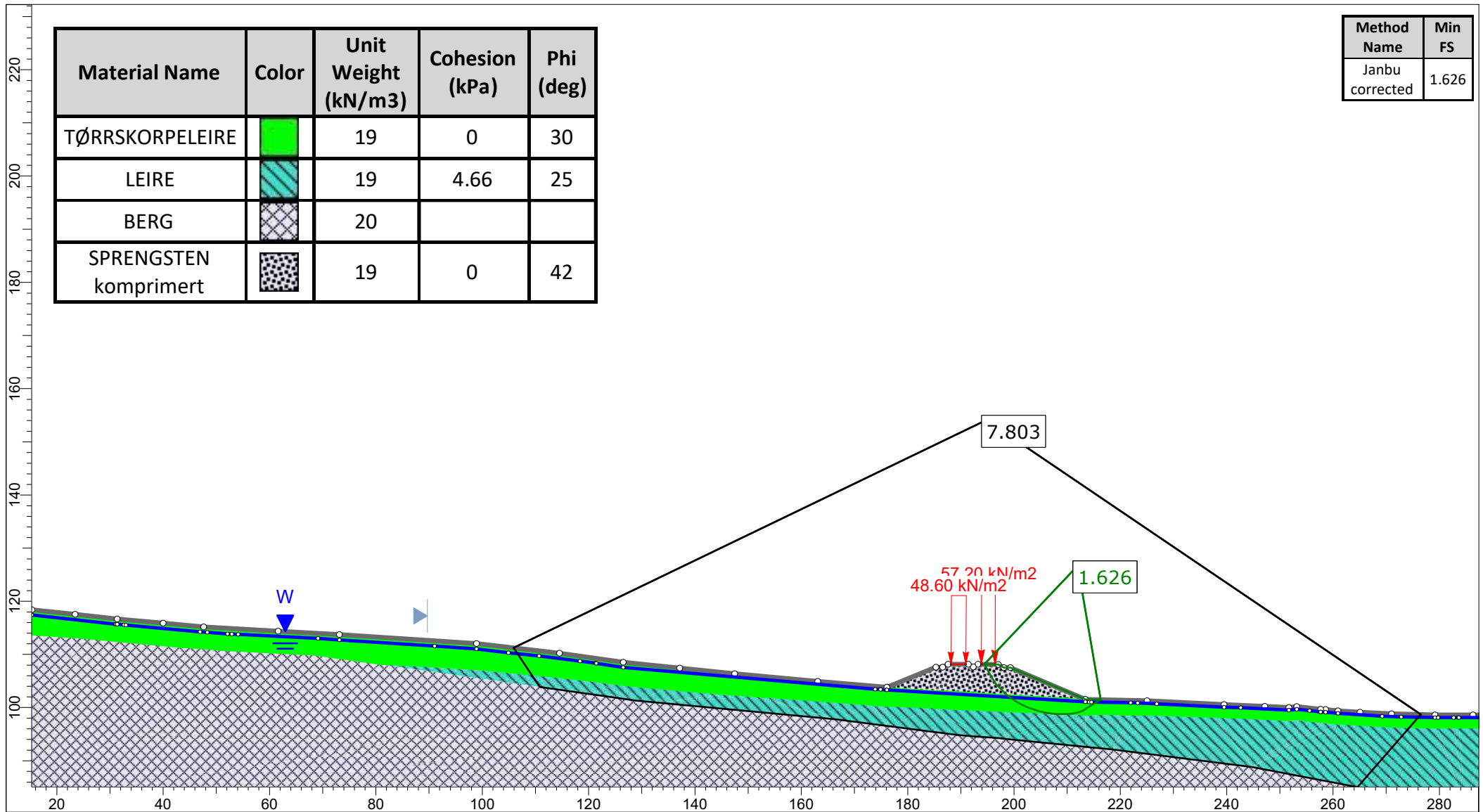
SLIDEINTERPRET 9.007



# UNA-00-A-10074 Vedlegg C Stabilitetsanalyser

Material Name	Color	Unit Weight (kN/m <sup>3</sup> )	Cohesion (kPa)	Phi (deg)
TØRRSKORPELEIRE		19	0	30
LEIRE		19	4.66	25
BERG		20		
SPRENGSTEN komprimert		19	0	42

Method Name	Min FS
Janbu corrected	1.626

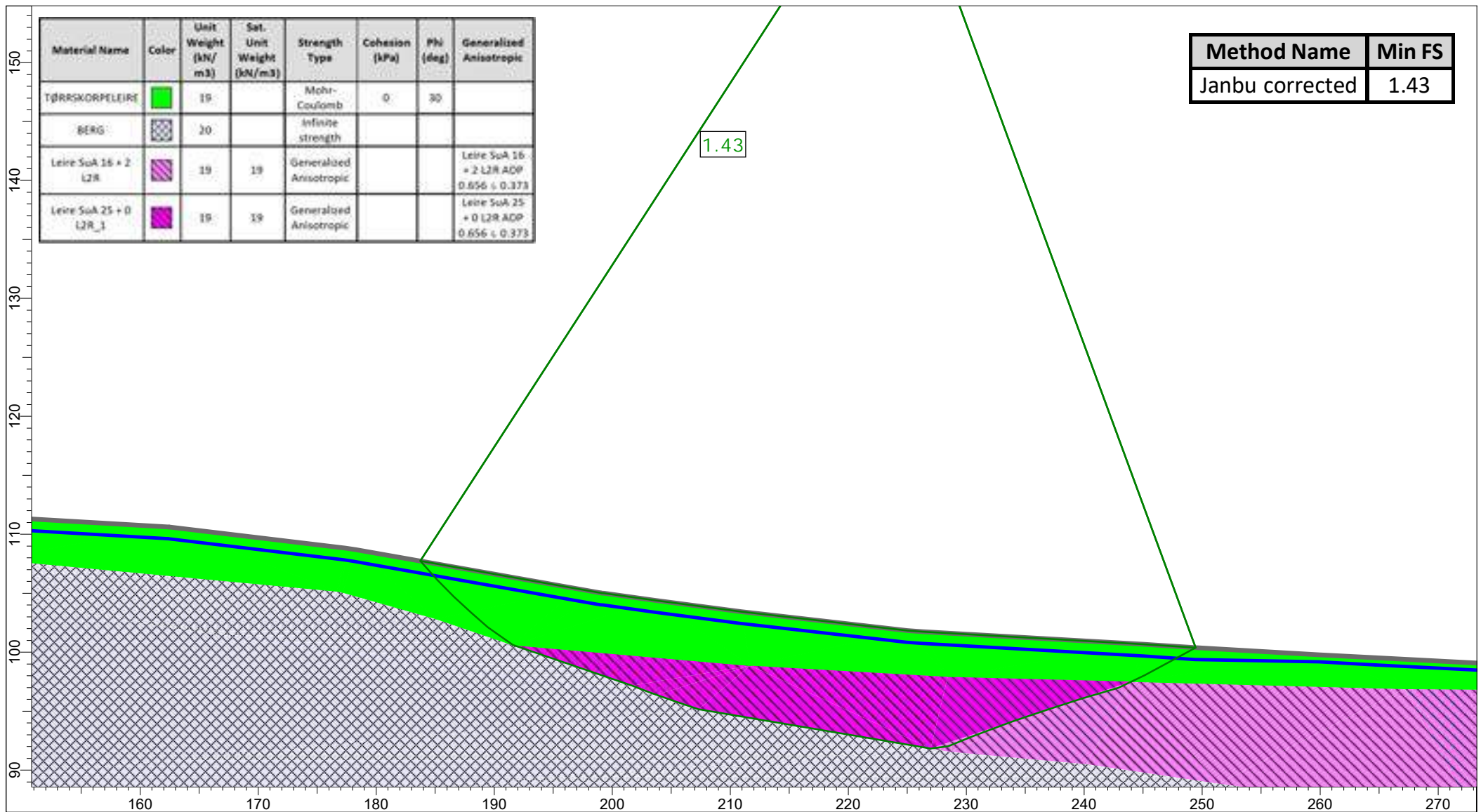



SLIDEINTERPRET 9.007

Project			
900078 - Hensetting Ski Syd og ny avgrening Ostre linje, Utredning av områdestabilitet			
Analysis Description			
Effektivanalyse, områdestabilitet. Fremtidig situasjon m/ KS-peler + fylling. Drenert.			
Drawn By	SOHJ	Scale	1:1000
Date	22.10.21	Company	NIRAS Norge AS
		File Name	O4-02-B.sldm



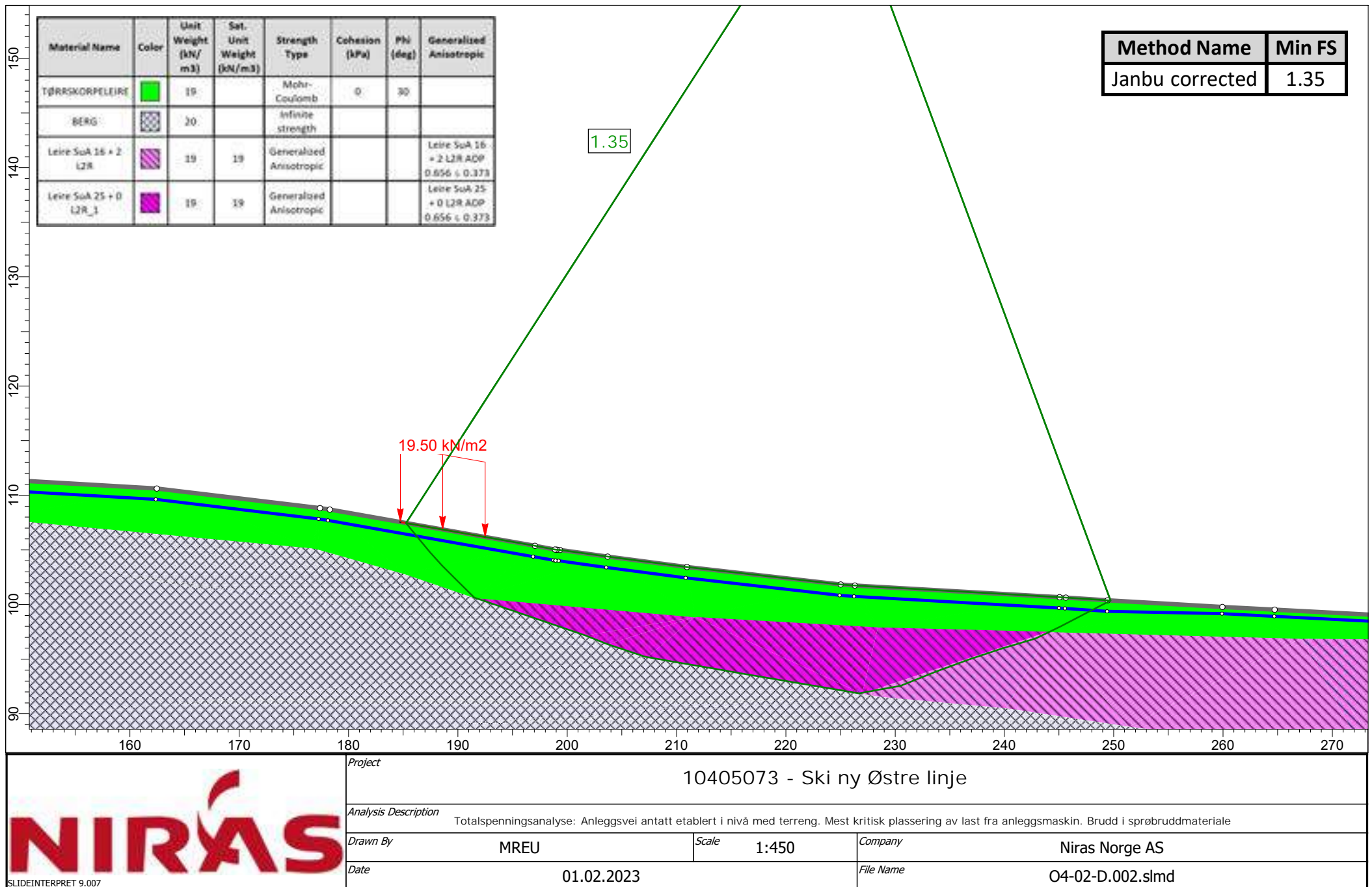
# UNA-00-A-10074 Vedlegg C Stabilitetsanalyse



	Project			10405073 - Ski ny Østre linje		
	Analysis Description					Totalspenningsanalyse: Dagens situasjon. Brudd i leire.
	Drawn By		MREU	Scale		1:450
	Date		01.02.2023		Company	
				File Name		O4-02-D.002.slmd

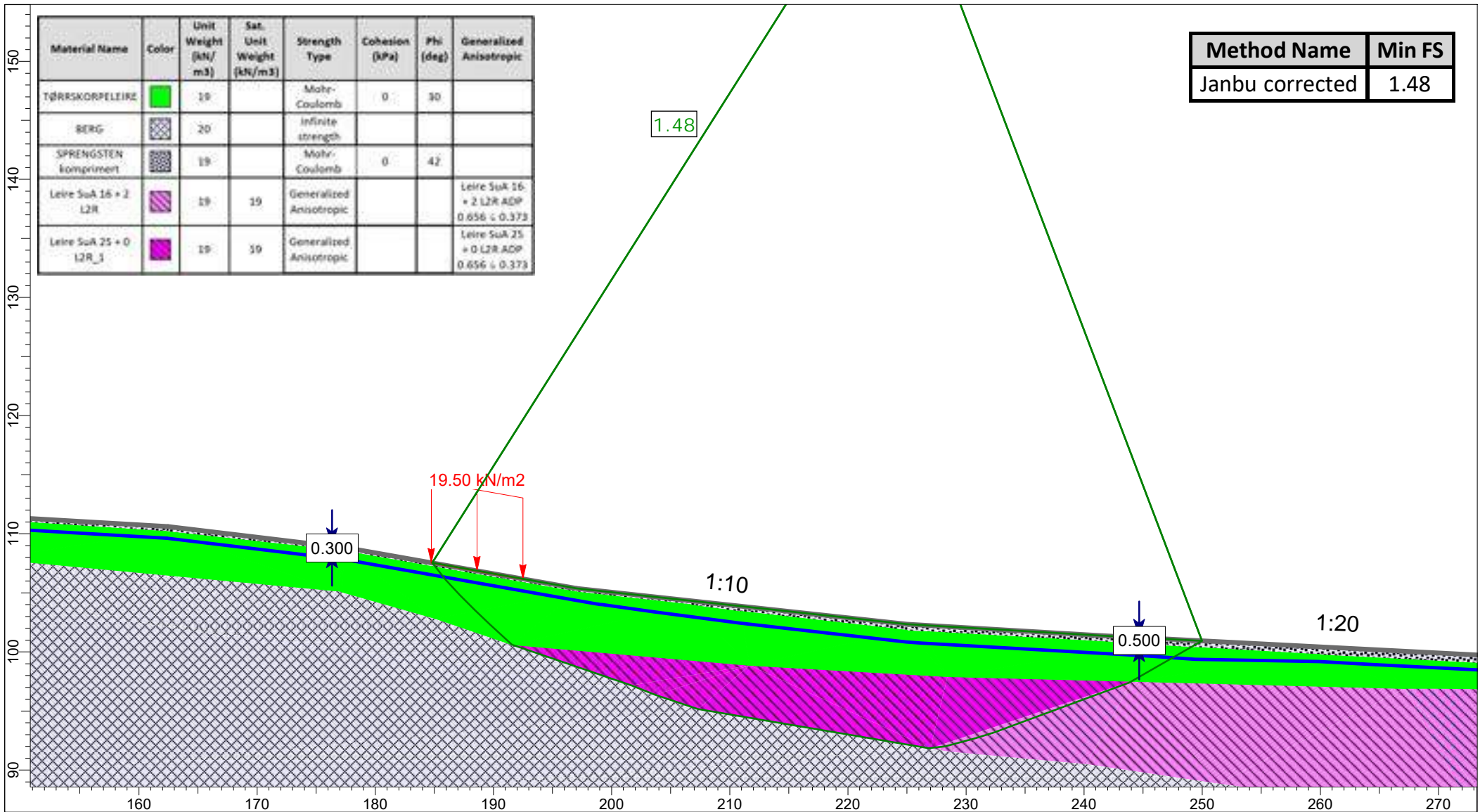
SLIDEINTERPRET 9.007


# UNA-00-A-10074 Vedlegg C Stabilitetsanalyse





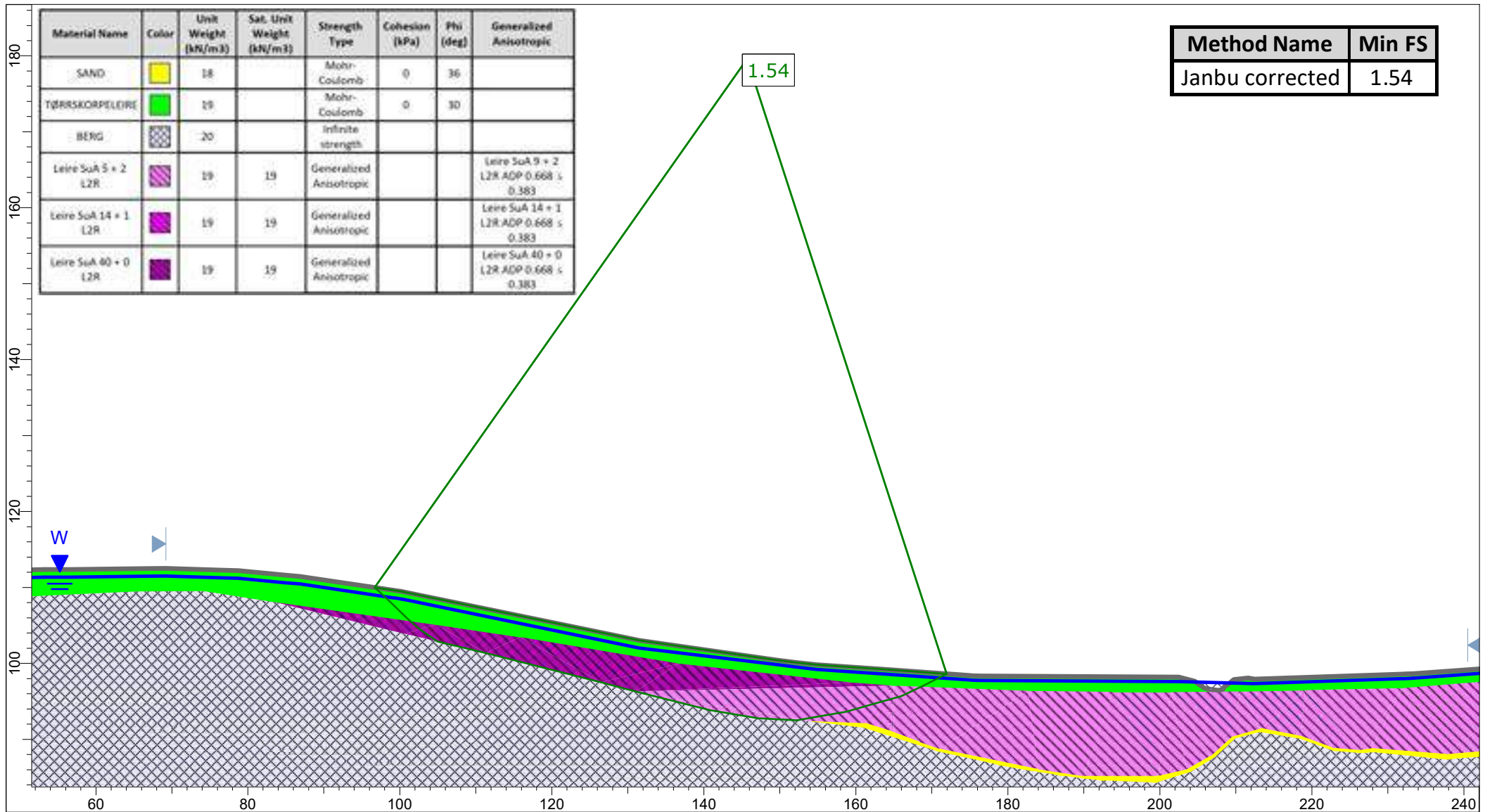
# UNA-00-A-10074 Vedlegg C Stabilitetsanalyse




	Project			10405073 - Ski ny Østre linje					
	Analysis Description								
	Totalspenningsanalyse: Anleggsvei på veifylling med høyde på 0,5 meter i bunn av skråning. Avtagende fyllingshøyde opp langs skråning. Brudd i sprøbruddmateriale								
	Drawn By		MREU		Scale	1:450	Company		Niras Norge AS
Date		01.02.2023				File Name		O4-02-D.002.slmd	

SLIDEINTERPRET 9.007

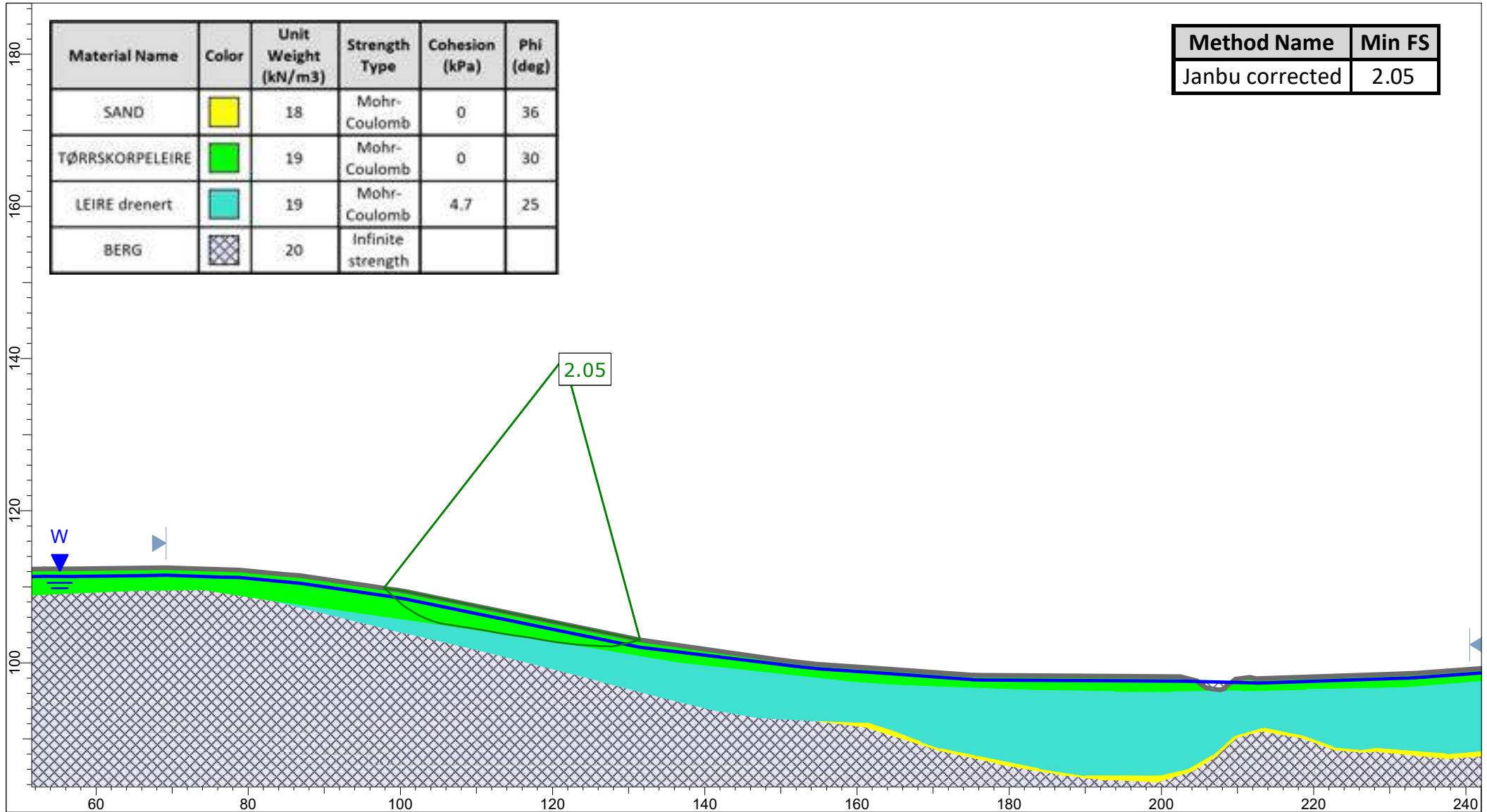
# UNA-00-A-10074 Vedlegg C Stabilitetsanalyser




	Project			10405073 - Ski ny Østre linje		
	Analysis Description					Totalspenningsanalyse: bruddretning venstre mot høyre. Brudd i leire.
	Drawn By		MREU	Scale		1:700
	Date		10.02.2023		Company	
			File Name		O4-02-E.001.slmd	

SLIDEINTERPRET 9.007

# UNA-00-A-10074 Vedlegg C Stabilitetsanalyser

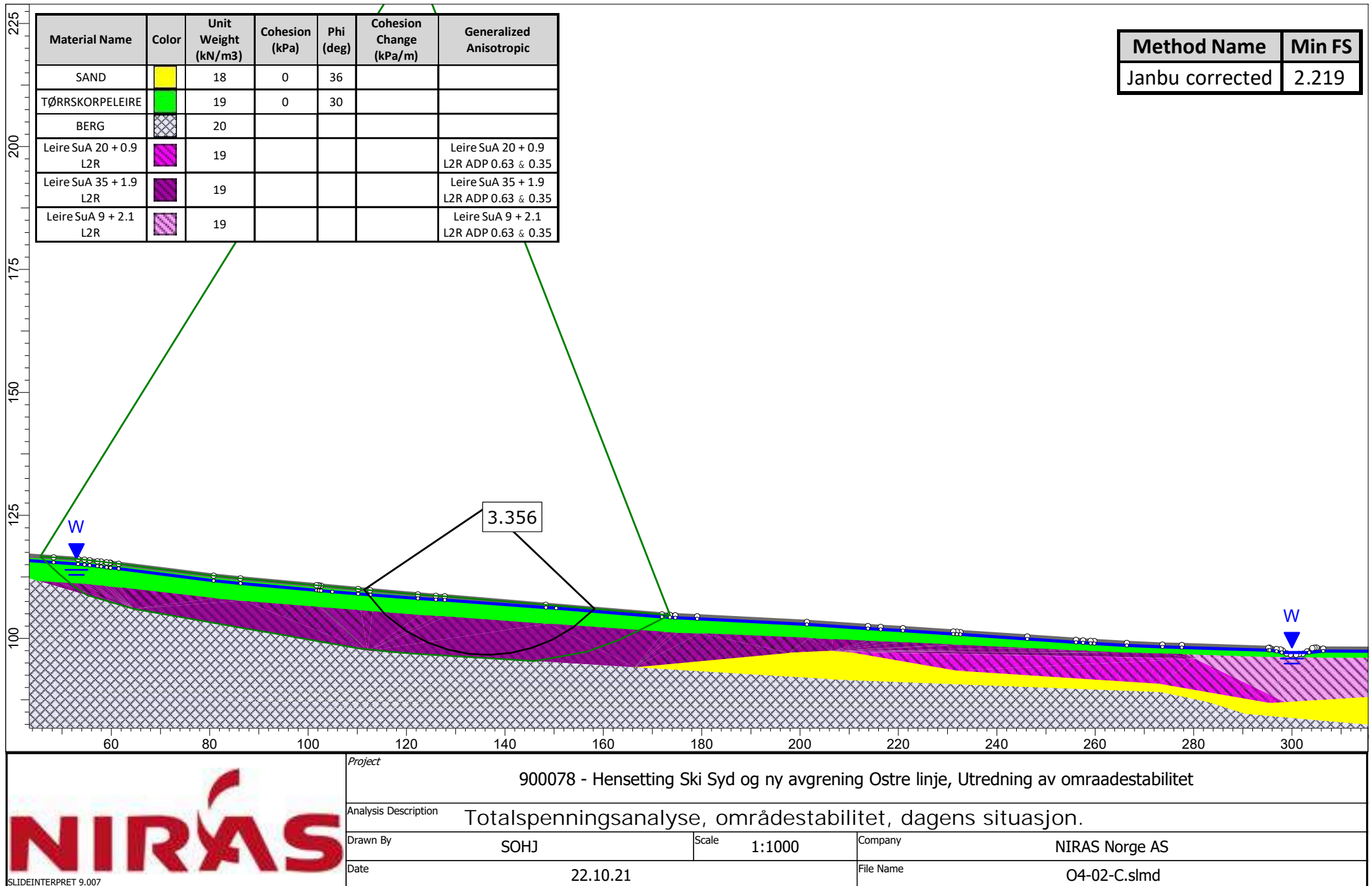


	Project			10405073 - Ski ny Østre linje		
	Analysis Description					Effektivspenningsanalyse: Bruddretning venstre mot høyre. Brudd i leire.
	Drawn By		MREU	Scale		1:700
	Date		10.02.2023		Company	
			File Name		O4-02-E.001.slmd	

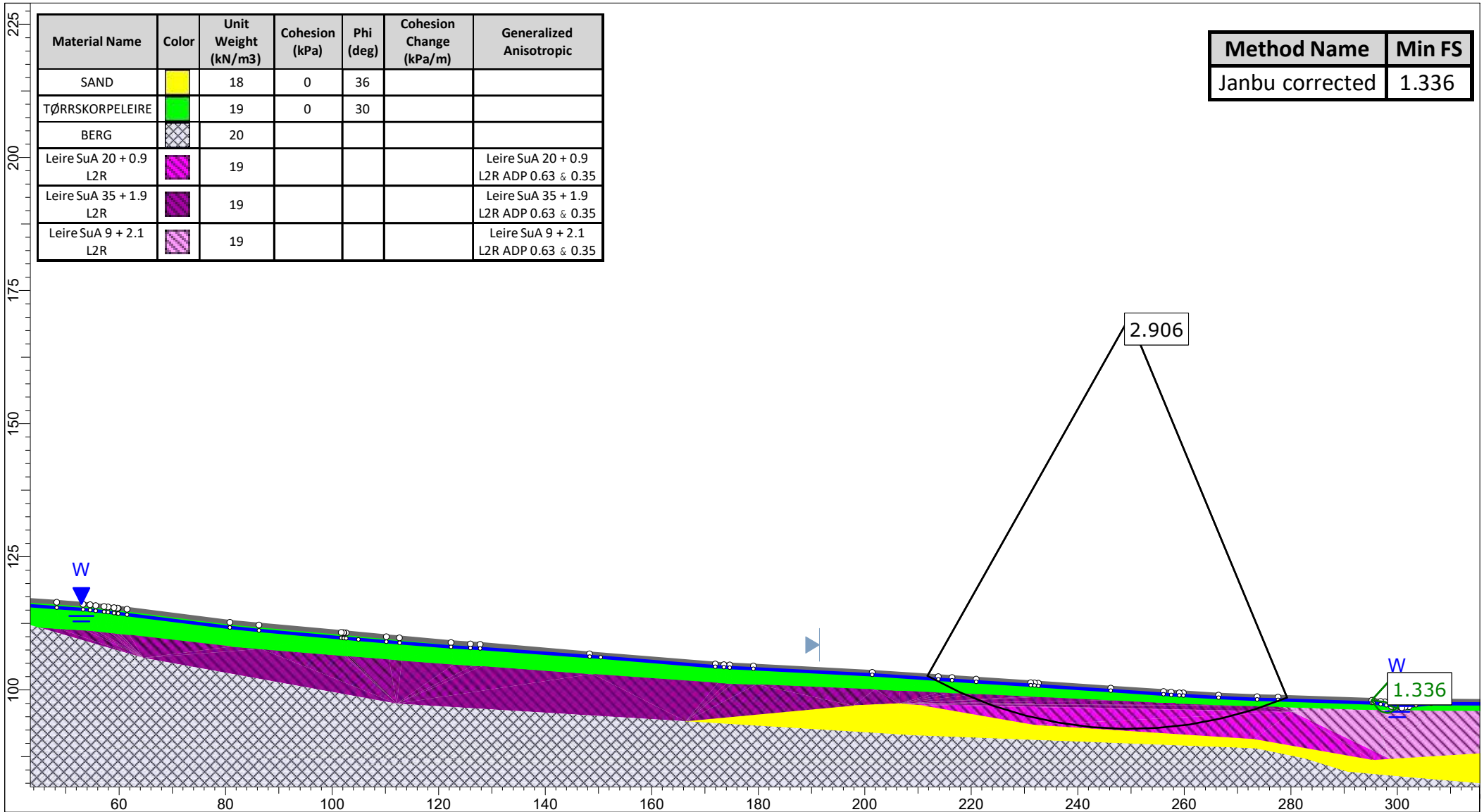
SLIDEINTERPRET 9.007




# UNA-00-A-10074 Vedlegg C Stabilitetsanalyser



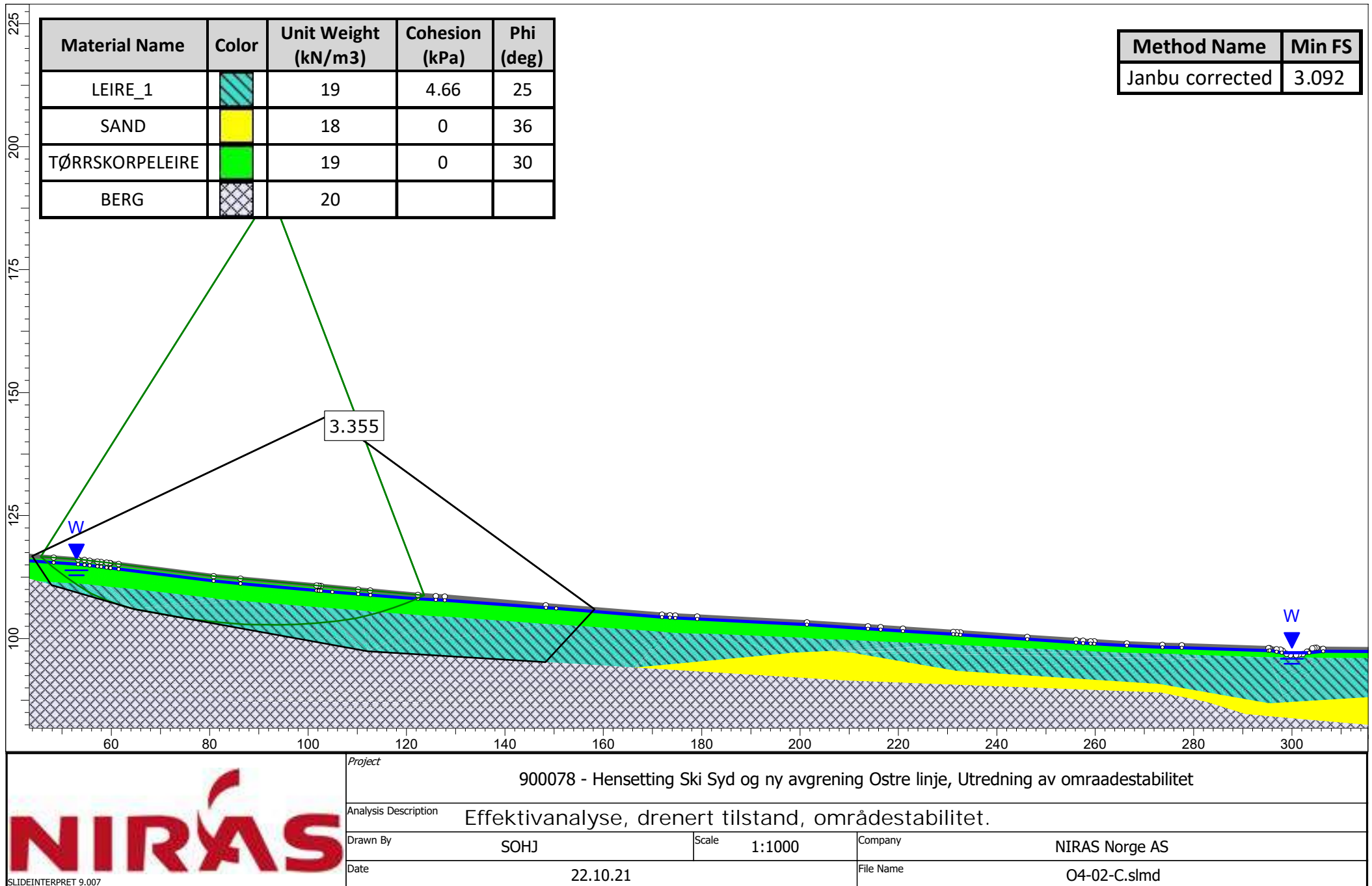
# UNA-00-A-10074 Vedlegg C Stabilitetsanalyser



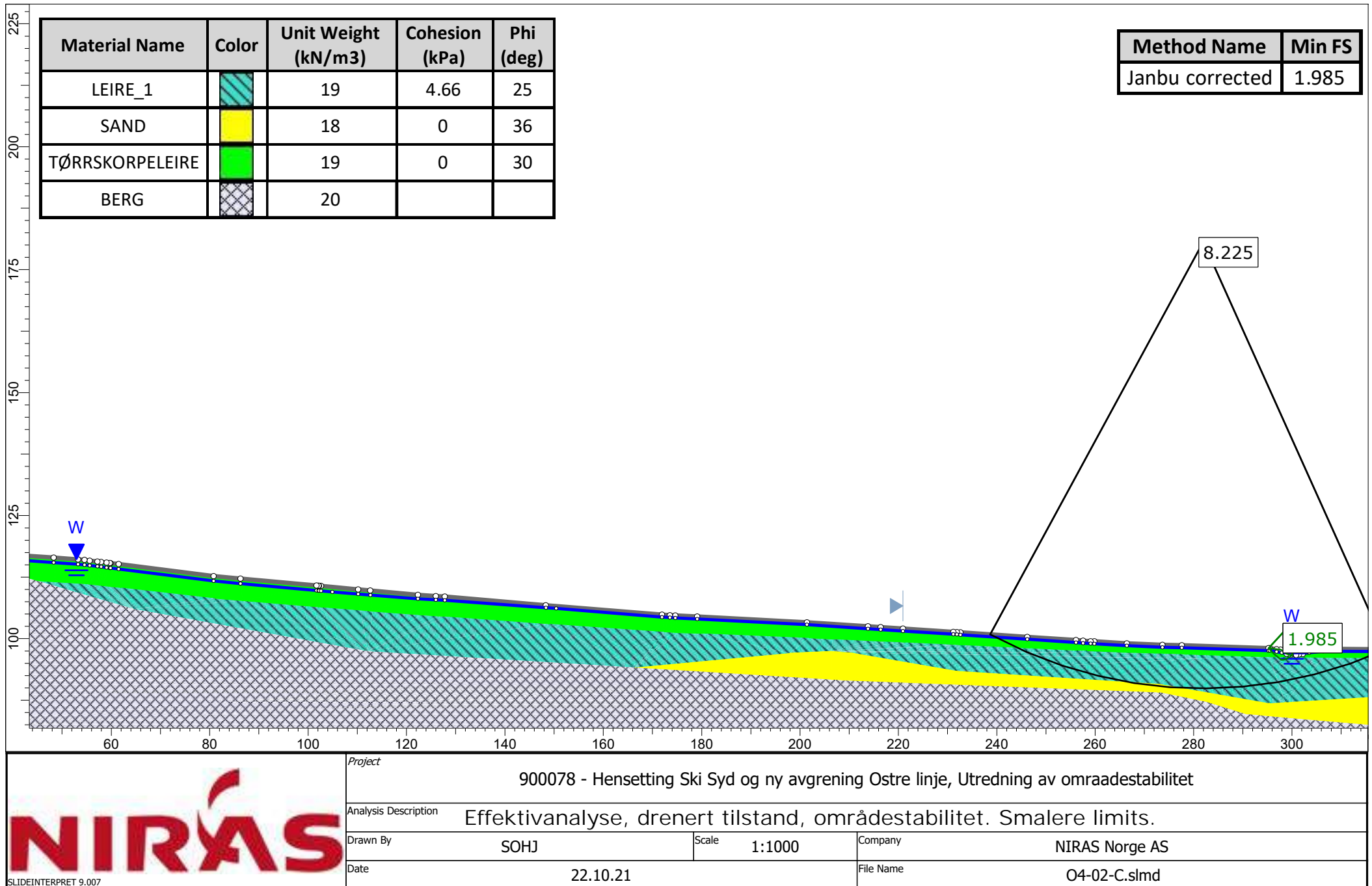
	Project			900078 - Hensetting Ski Syd og ny avgrensing Ostre linje, Utredning av områdestabilitet		
	Analysis Description			Totalspenningsanalyse, områdestabilitet. Smalere limits. Merk brudd i bekk.		
	Drawn By	SOHJ	Scale	1:1000	Company	NIRAS Norge AS
	Date	22.10.21		File Name	04-02-C.sldm	

SLIDEINTERPRET 9.007

# UNA-00-A-10074 Vedlegg C Stabilitetsanalyser

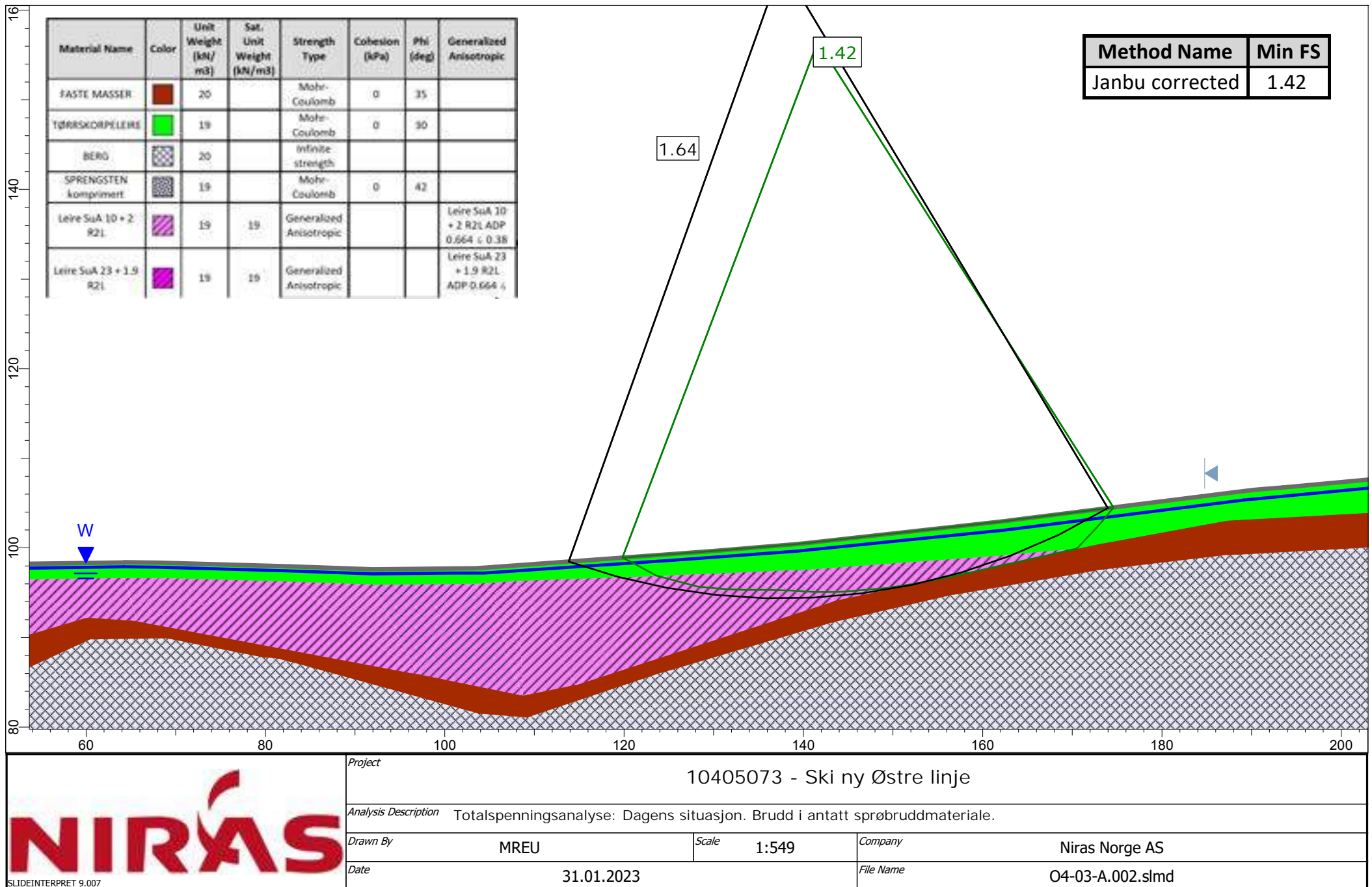


# UNA-00-A-10074 Vedlegg C Stabilitetsanalyser



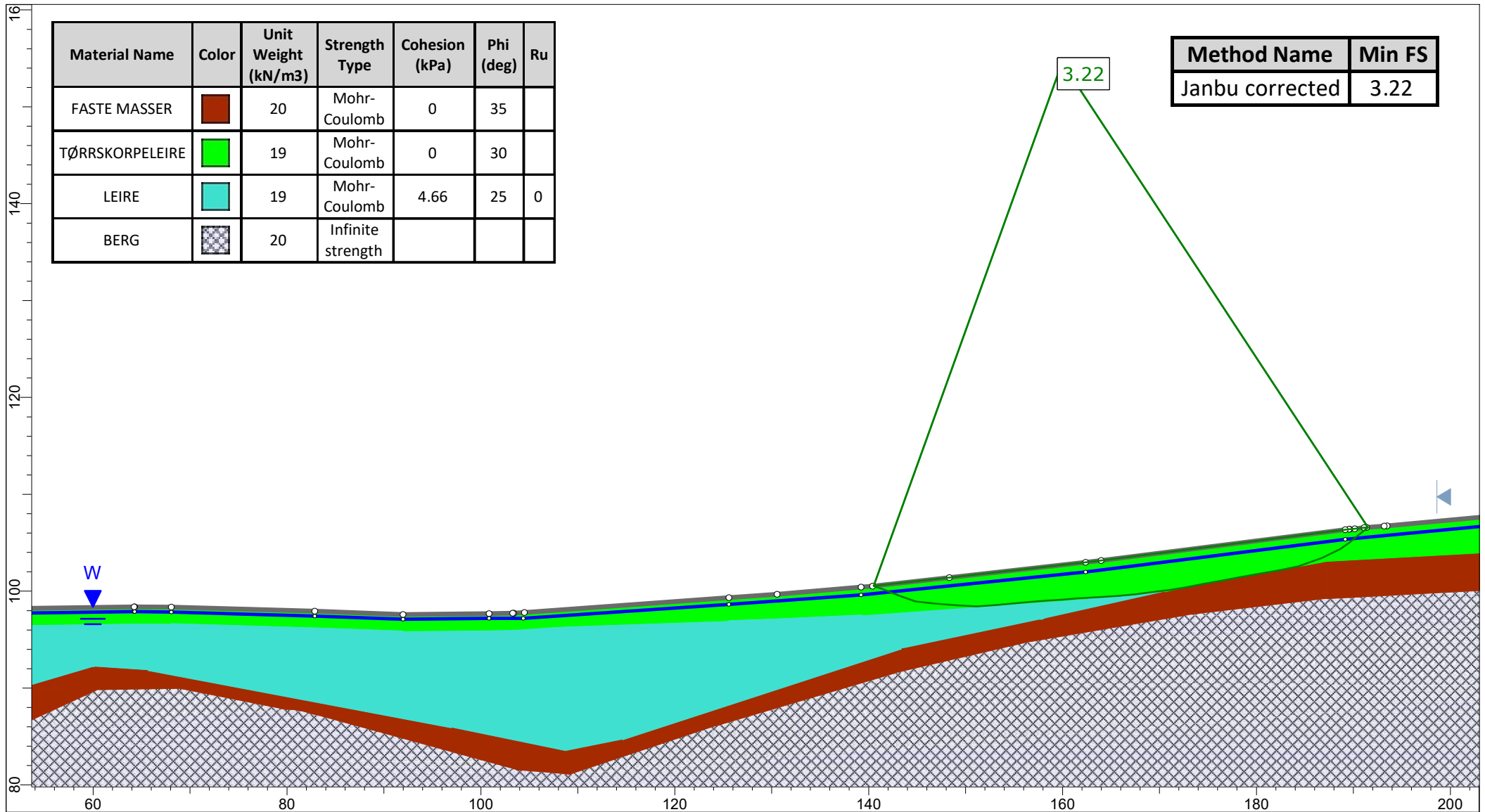


# UNA-00-A-10074 Vedlegg C Stabilitetsanalyser





# UNA-00-A-10074 Vedlegg C Stabilitetsanalyse



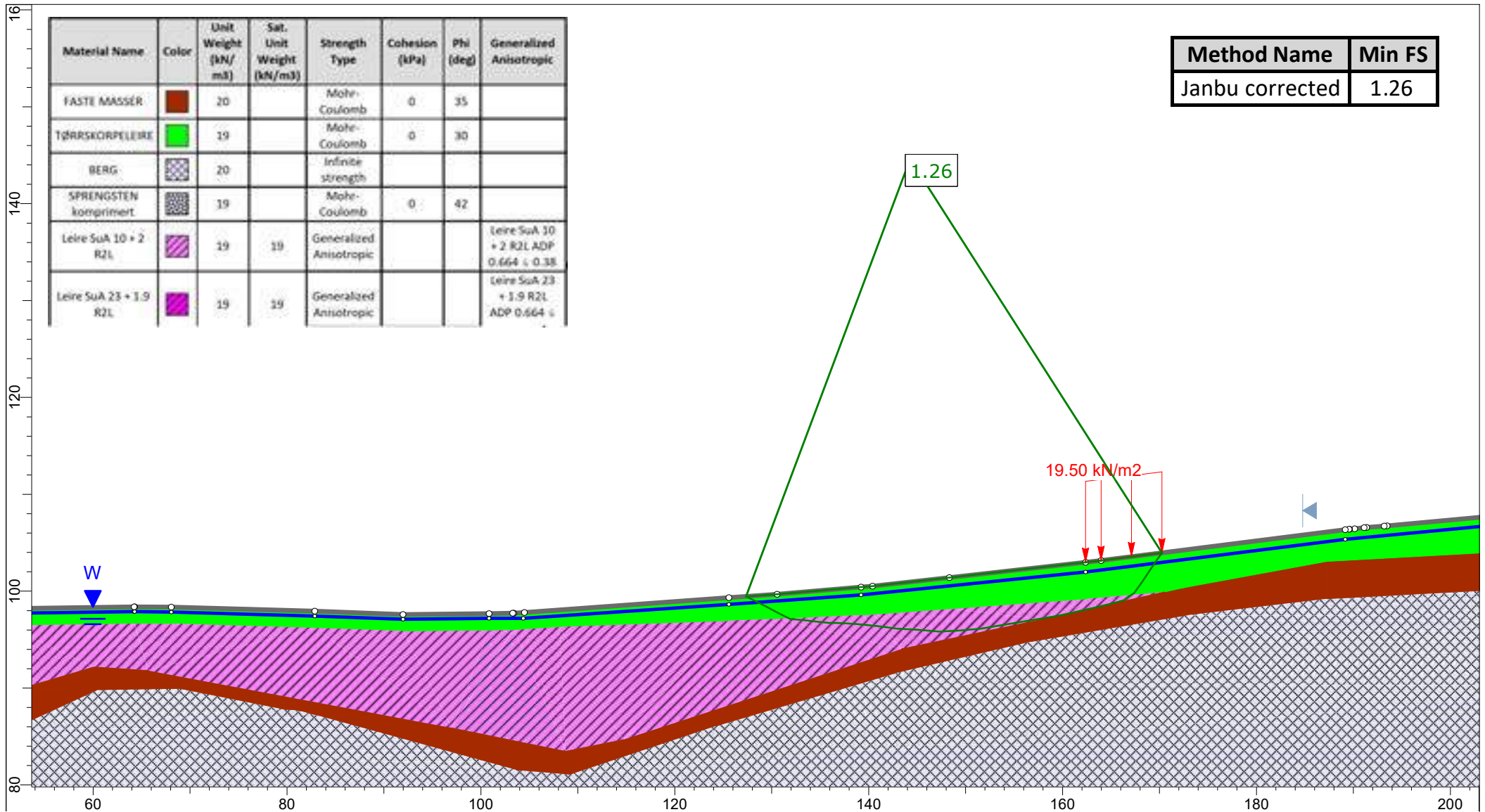
Material Name	Color	Unit Weight (kN/m <sup>3</sup> )	Strength Type	Cohesion (kPa)	Phi (deg)	Ru
FASTE MASSER		20	Mohr-Coulomb	0	35	
TØRRSKORPELEIRE		19	Mohr-Coulomb	0	30	
LEIRE		19	Mohr-Coulomb	4.66	25	0
BERG		20	Infinite strength			

Method Name	Min FS
Janbu corrected	3.22

	Project			10405073 - Ski ny Østre linje		
	Analysis Description					Effektivspenningsanalyse: Dagens situasjon. Brudd i leire.
	Drawn By		MREU	Scale		1:549
	Date		31.01.2023		Company	
File Name			O4-03-A.002.slmd			

SLIDEINTERPRET 9.007

# UNA-00-A-10074 Vedlegg C Stabilitetsanalyse



Material Name	Color	Unit Weight (kN/m <sup>3</sup> )	Sat. Unit Weight (kN/m <sup>3</sup> )	Strength Type	Cohesion (kPa)	Phi (deg)	Generalized Anisotropic
FASTE MASSER		20		Mohr-Coulomb	0	35	
TØRRSKORPELEIRE		19		Mohr-Coulomb	0	30	
BERG		20		Infinite strength			
SPRENGSTEN komprimert		19		Mohr-Coulomb	0	42	
Leire SuA 10 + 2 R2L		19	19	Generalized Anisotropic			Leire SuA 10 + 2 R2L ADP 0.664 ± 0.38
Leire SuA 23 + 1.9 R2L		19	19	Generalized Anisotropic			Leire SuA 23 + 1.9 R2L ADP 0.664 ±

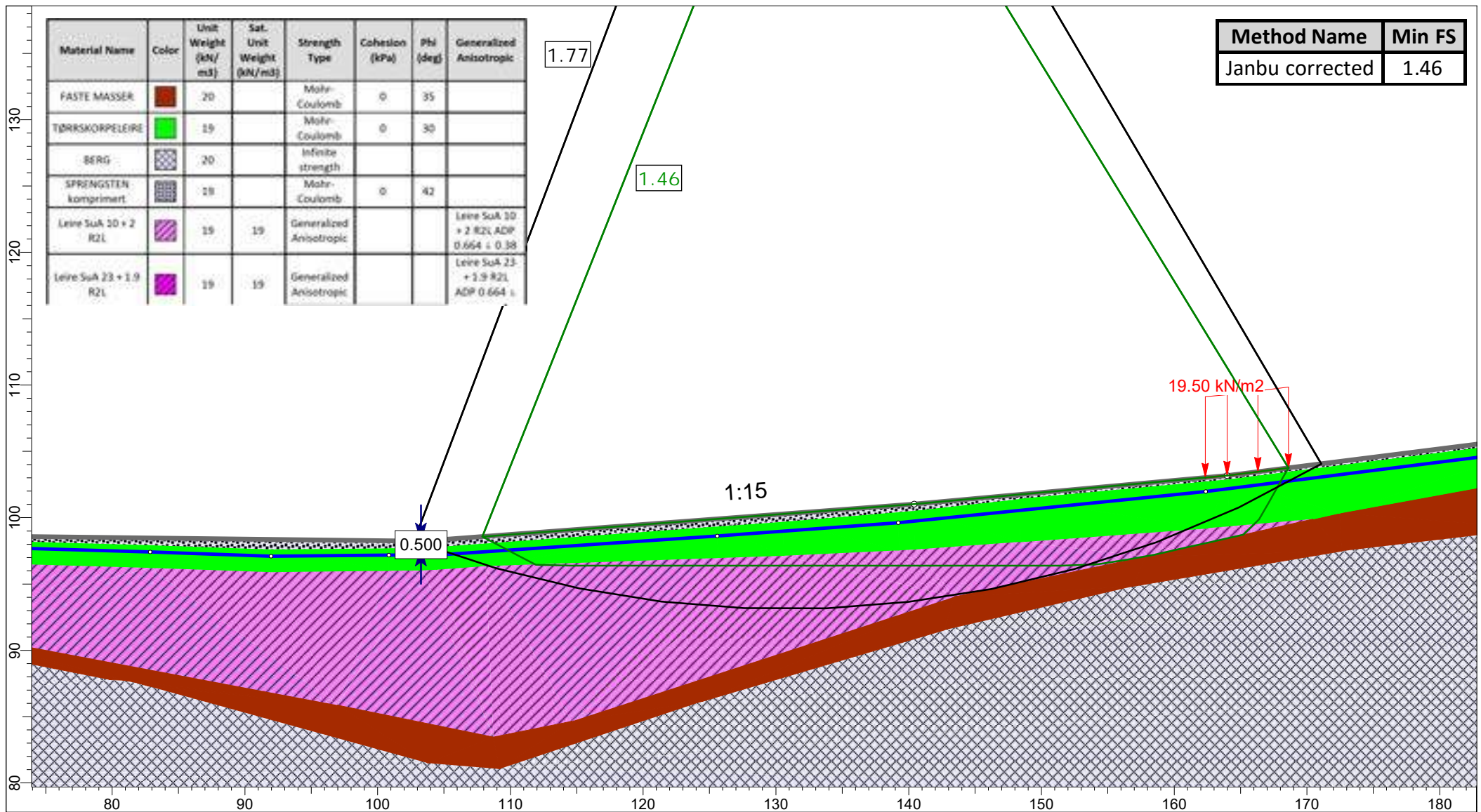
Method Name	Min FS
Janbu corrected	1.26

	Project			10405073 - Ski ny Østre linje								
	Analysis Description						Totalspenningsanalyse: Anleggsvei antatt etablert i nivå med terreng. Mest kritisk plassering av last fra anleggsmaskin. Brudd i sprøbruddmateriale					
	Drawn By		MREU		Scale		1:549		Company		Niras Norge AS	
	Date		31.01.2023				File Name		04-03-A.002.slmd			

SLIDEINTERPRET 9.007



# UNA-00-A-10074 Vedlegg C Stabilitetsanalyser








Material Name	Color	Unit Weight (kN/m³)	Sat. Unit Weight (kN/m³)	Strength Type	Cohesion (kPa)	Phi (deg)	Generalized Anisotropic
FASTE MASSER	Red	20		Mohr-Coulomb	0	35	
TØRRSKORPELEIRE	Green	19		Mohr-Coulomb	0	30	
BERG	Grey cross-hatch	20		Infinite strength			
SPRENGSTEN komprimert	Blue cross-hatch	28		Mohr-Coulomb	0	42	
Leire SuA 10 + 2 R2L	Diagonal lines	19	19	Generalized Anisotropic			Leire SuA 10 + 2 R2L ADP 0.664 ± 0.38
Leire SuA 23 + 1.9 R2L	Diagonal lines	19	19	Generalized Anisotropic			Leire SuA 23 + 1.9 R2L ADP 0.664 ±

Method Name	Min FS
Janbu corrected	1.46

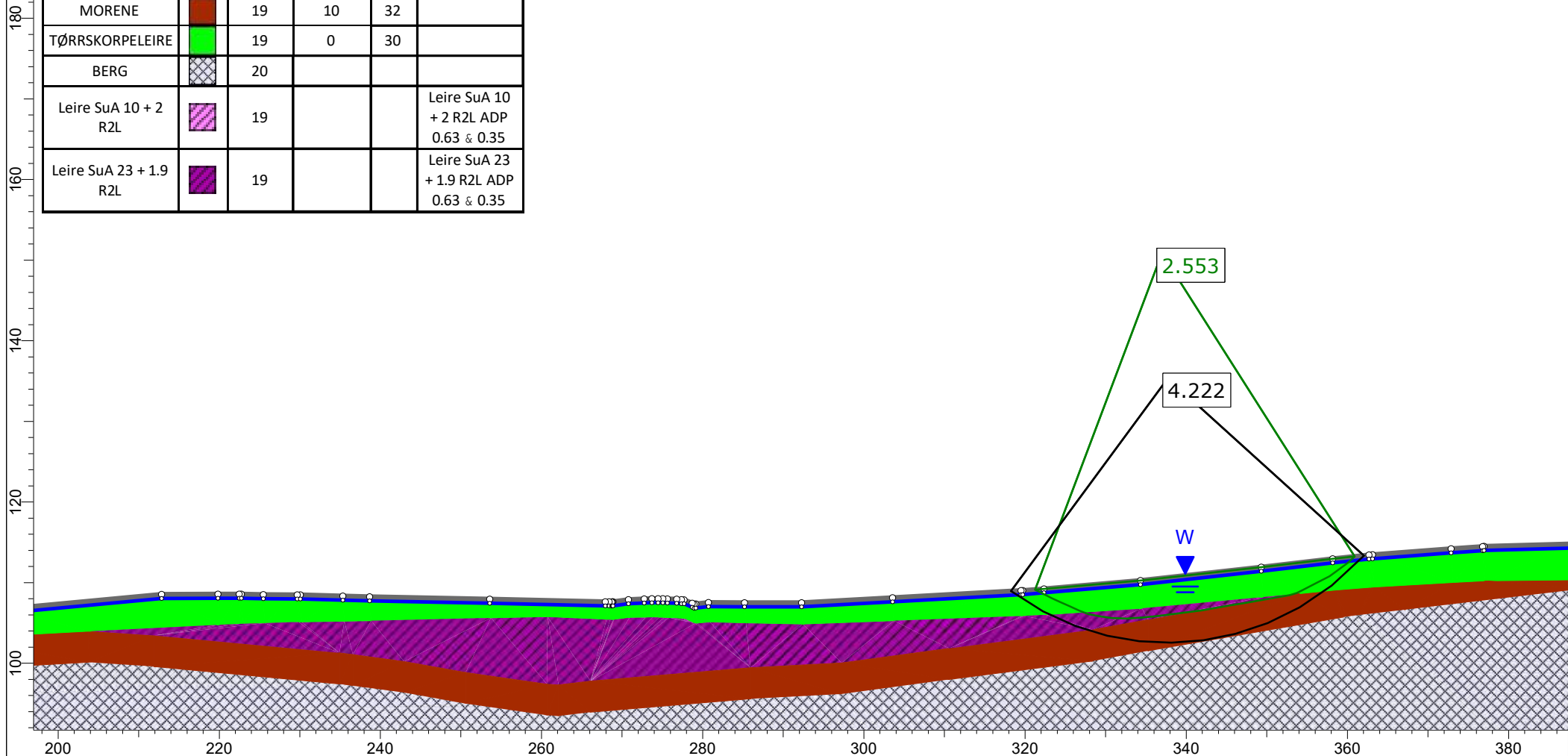
	Project			10405073 - Ski ny Østre linje			
	Analysis Description						
	Totalspenningsanalyse: Anleggsvei på veifylling med høyde på 0,5 meter i bunn av skråning. Avtagende fyllingshøyde opp langs skråning. Brudd i sprøbruddmateriale						
	Drawn By		MREU		Scale	1:400	Company
Date		31.01.2023			File Name		O4-03-A.002.slmd


SLIDEINTERPRET 9.007

# UNA-00-A-10074 Vedlegg C Stabilitetsanalyser

Material Name	Color	Unit Weight (kN/m <sup>3</sup> )	Cohesion (kPa)	Phi (deg)	Generalized Anisotropic
MORENE		19	10	32	
TØRRSKORPELEIRE		19	0	30	
BERG		20			
Leire SuA 10 + 2 R2L		19			Leire SuA 10 + 2 R2L ADP 0.63 & 0.35
Leire SuA 23 + 1.9 R2L		19			Leire SuA 23 + 1.9 R2L ADP 0.63 & 0.35


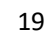

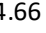
Method Name	Min FS
Janbu corrected	2.553



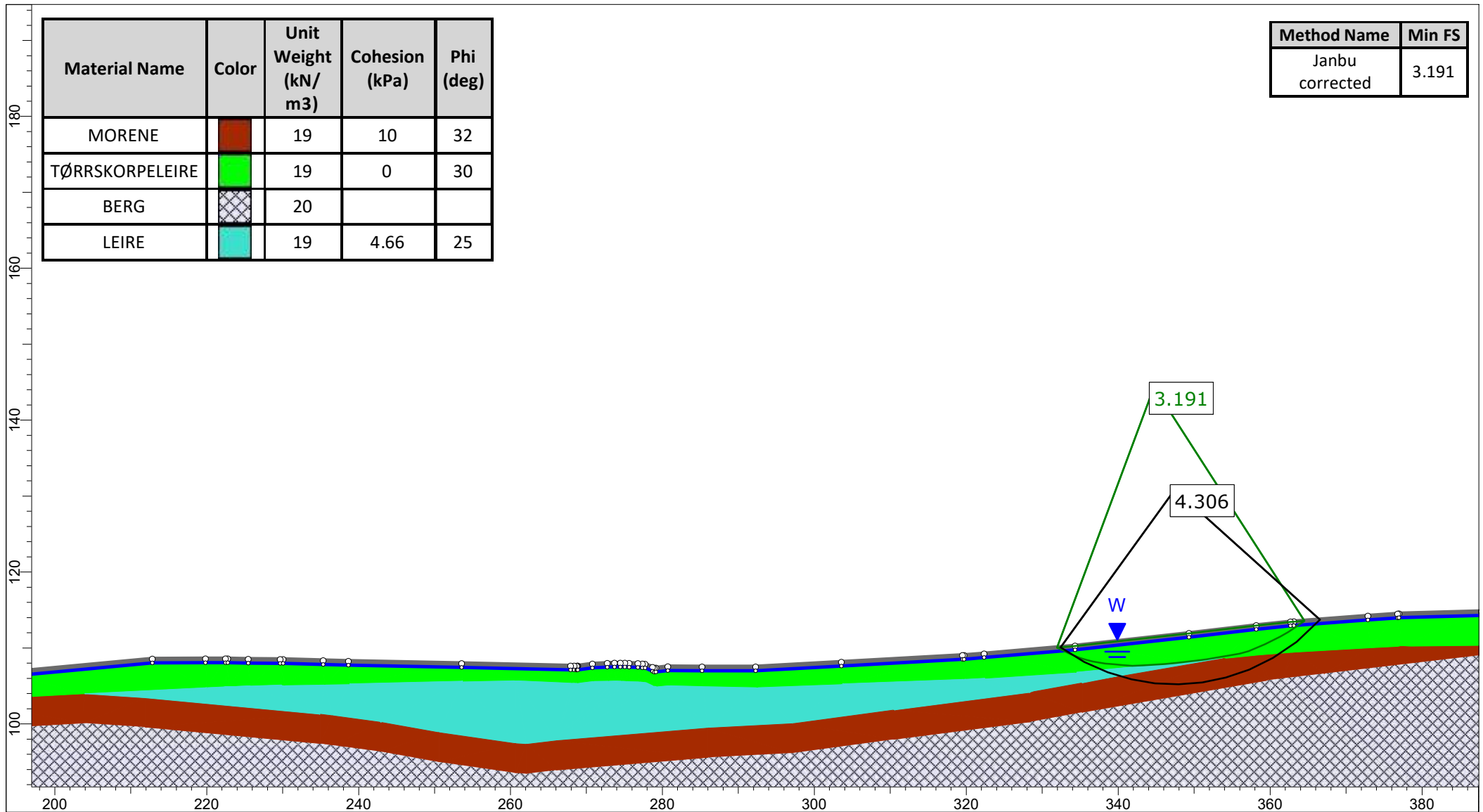
	<b>Project</b> 900078 - Hensetting Ski Syd og ny avgrening Ostre linje, Utredning av omraadestabilitet		
	<b>Analysis Description</b> Totalspenningsanalyse, omraadestabilitet. dagens situasjon. Høyre i O4-03-A profil.		
	<b>Drawn By</b> SOHJ	<b>Scale</b> 1:700	<b>Company</b> NIRAS Norge AS
	<b>Date</b> 26.10.21	<b>File Name</b> O4-03-A.sldm	

SLIDEINTERPRET 9.007

# UNA-00-A-10074 Vedlegg C Stabilitetsanalyser

Material Name	Color	Unit Weight (kN/m <sup>3</sup> )	Cohesion (kPa)	Phi (deg)
MORENE		19	10	32
TØRRSKORPELEIRE		19	0	30
BERG		20		
LEIRE		19	4.66	25

Method Name	Min FS
Janbu corrected	3.191

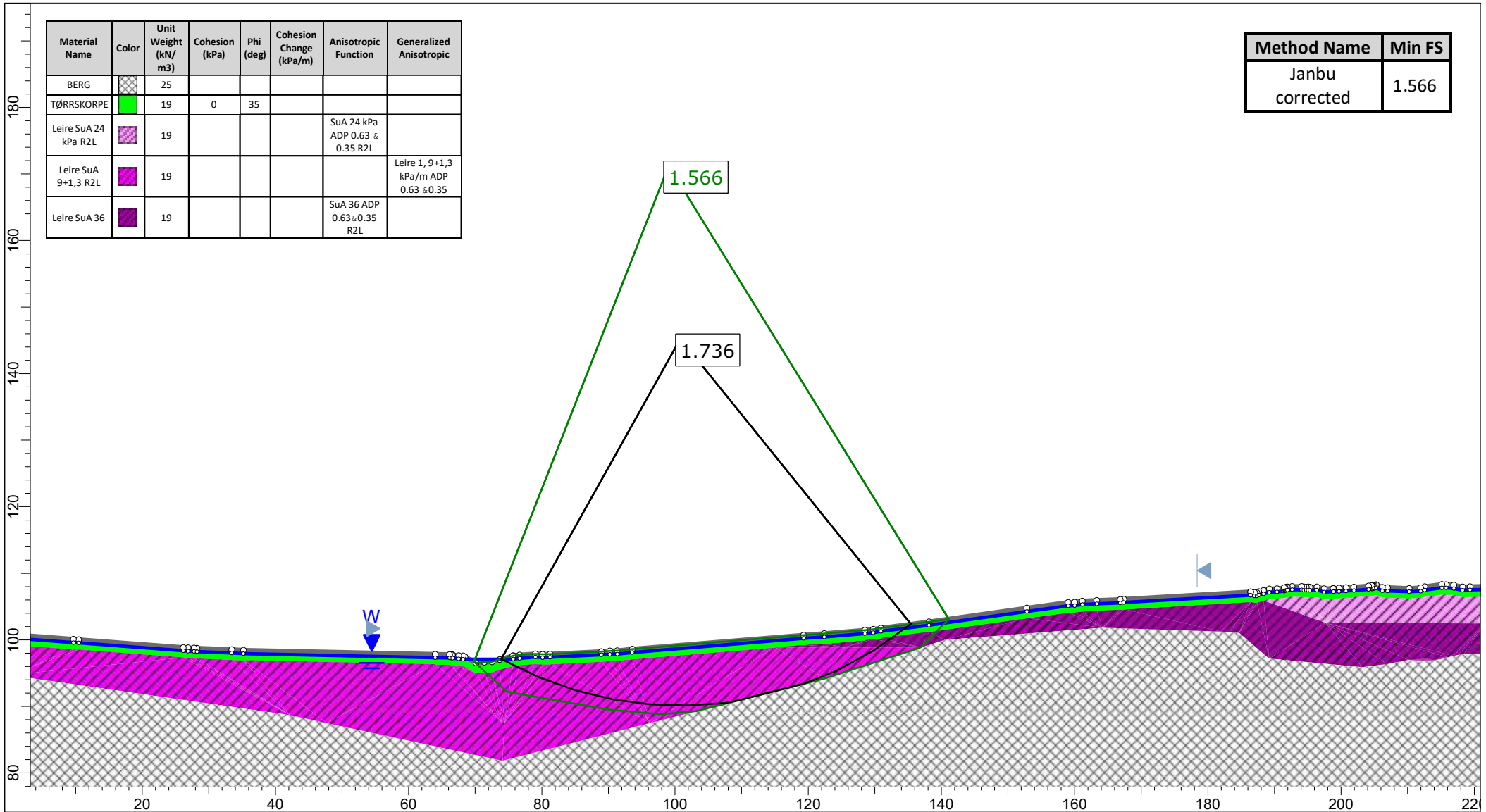


SLIDEINTERPRET 9.007

Project			
900078 - Hensetting Ski Syd og ny avgrening Ostre linje, Utredning av områdestabilitet			
Analysis Description			
Effektivanalyse, områdestabilitet. drenert tilstand. Høyre i O4-03-A profil.			
Drawn By	SOHJ	Scale	1:700
Company		NIRAS Norge AS	
Date	26.10.21	File Name	O4-03-A.sldm



# UNA-00-A-10074 Vedlegg C Stabilitetsanalyser



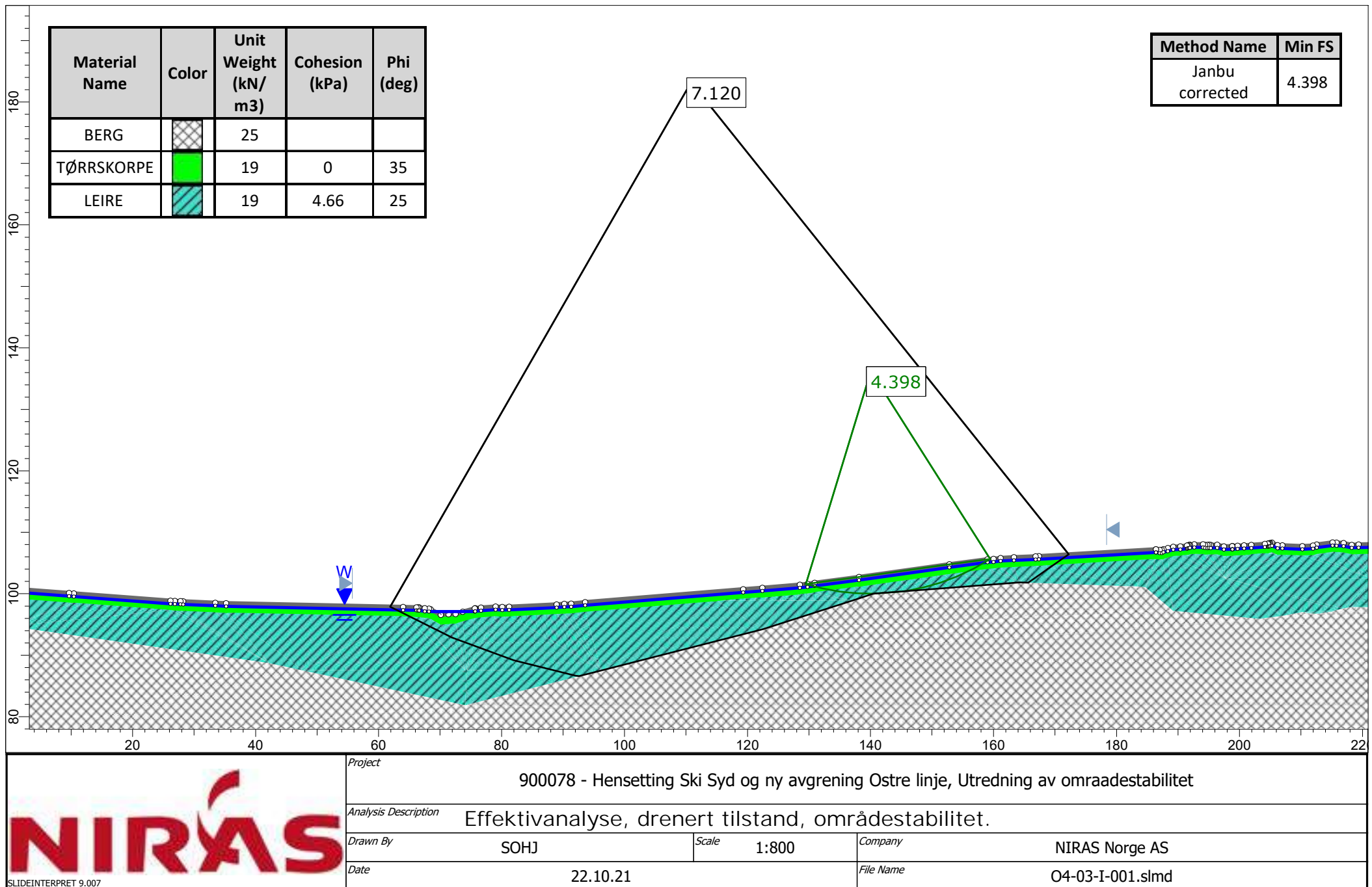
Material Name	Color	Unit Weight (kN/m <sup>3</sup> )	Cohesion (kPa)	Phi (deg)	Cohesion Change (kPa/m)	Anisotropic Function	Generalized Anisotropic
BERG		25					
TØRRSKORPE		19	0	35			
Leire SuA 24 kPa R2L		19				SuA 24 kPa ADP 0.63 & 0.35 R2L	
Leire SuA 9+1,3 R2L		19					Leire 1, 9+1,3 kPa/m ADP 0.63 & 0.35
Leire SuA 36		19				SuA 36 ADP 0.63 & 0.35 R2L	

Method Name	Min FS
Janbu corrected	1.566

	Project			900078 - Hensetting Ski Syd og ny avgrensing Ostre linje, Utredning av områdestabilitet		
	Analysis Description			Totalspenningsanalyse, områdestabilitet.		
	Drawn By	SOHJ	Scale	1:800	Company	NIRAS Norge AS
	Date	22.10.21		File Name	04-03-I-001.slmd	

SLIDEINTERPRET 9.007

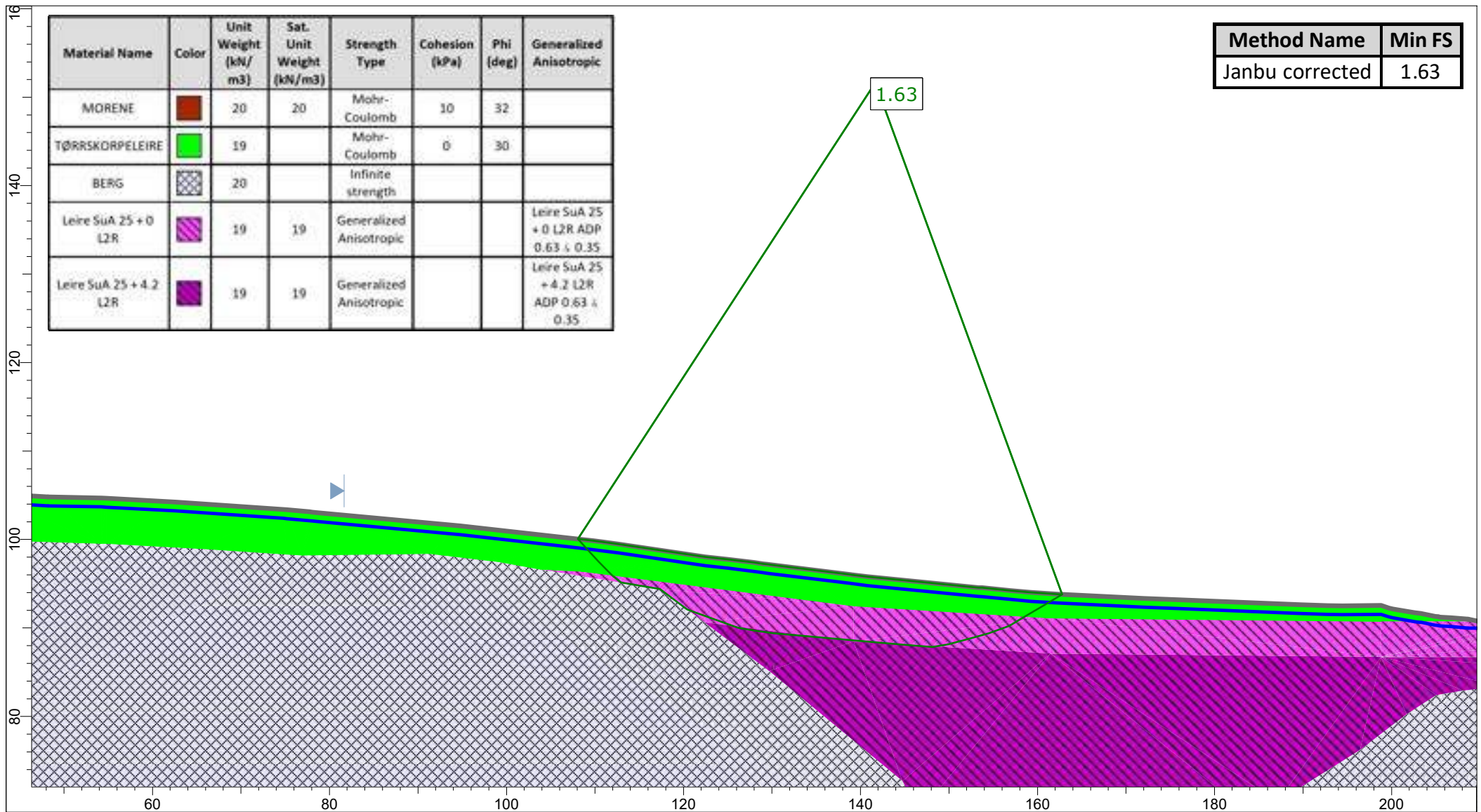
# UNA-00-A-10074 Vedlegg C Stabilitetsanalyser




<i>Project</i>			
900078 - Hensetting Ski Syd og ny avgrensing Ostre linje, Utredning av omraadestabilitet			
<i>Analysis Description</i>			
Effektivanalyse, drenert tilstand, omraadestabilitet.			
<i>Drawn By</i>	SOHJ	<i>Scale</i>	1:800
<i>Company</i>	NIRAS Norge AS		
<i>Date</i>	22.10.21	<i>File Name</i>	04-03-I-001.slmd

SLIDEINTERPRET 9.007

# UNA-00-A-10074 Vedlegg C Stabilitetsanalyser

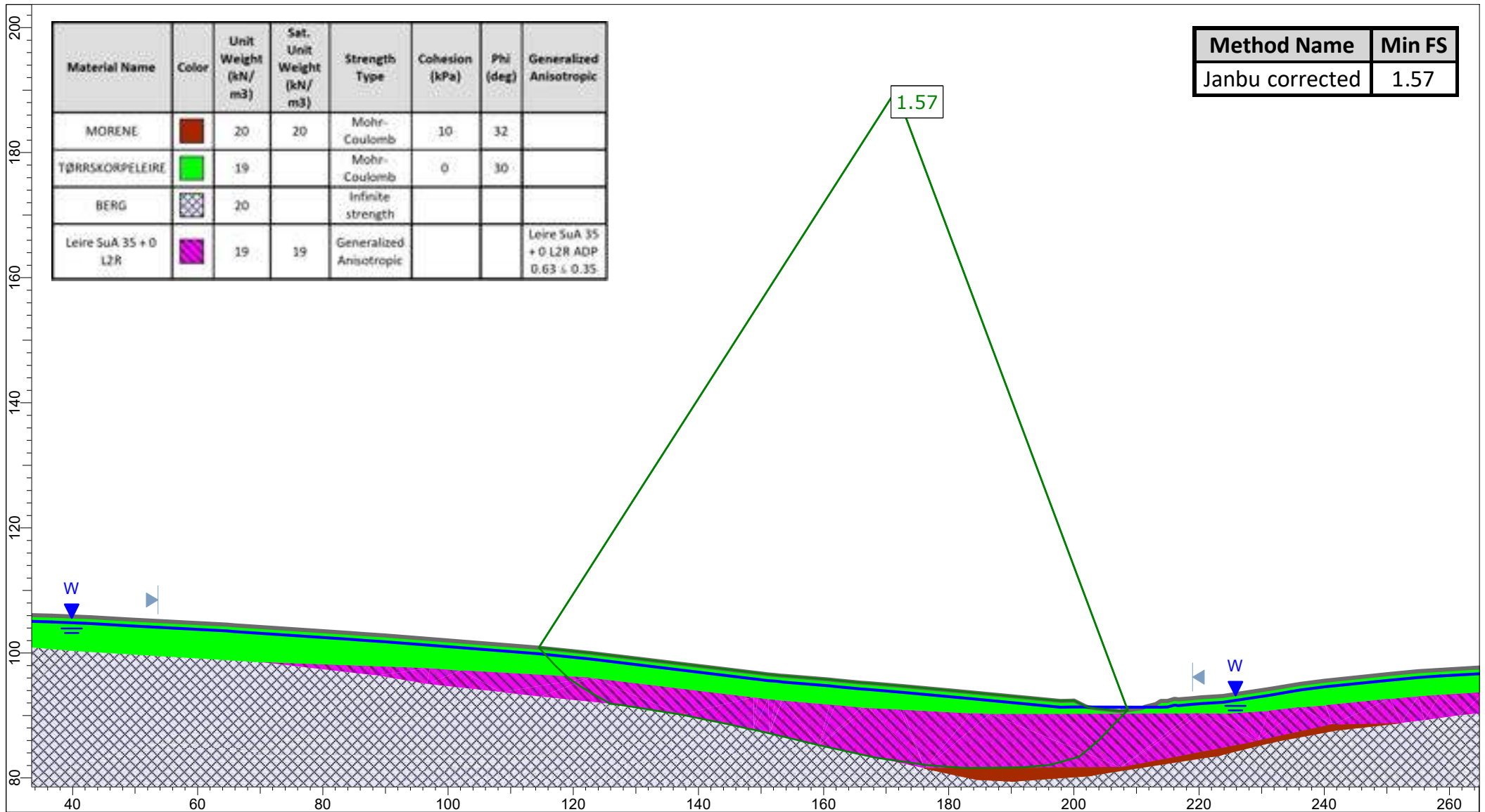



	Project			10405703 - Ski ny ostre linje		
	Analysis Description Totalspenningsanalyse. Permanent situasjon uten tiltak.					
	Drawn By	MREU	Scale	1:600	Company	Niras Norge AS
	Date	11.01.2023		File Name	O5-1.sldm	

SLIDEINTERPRET 9.007



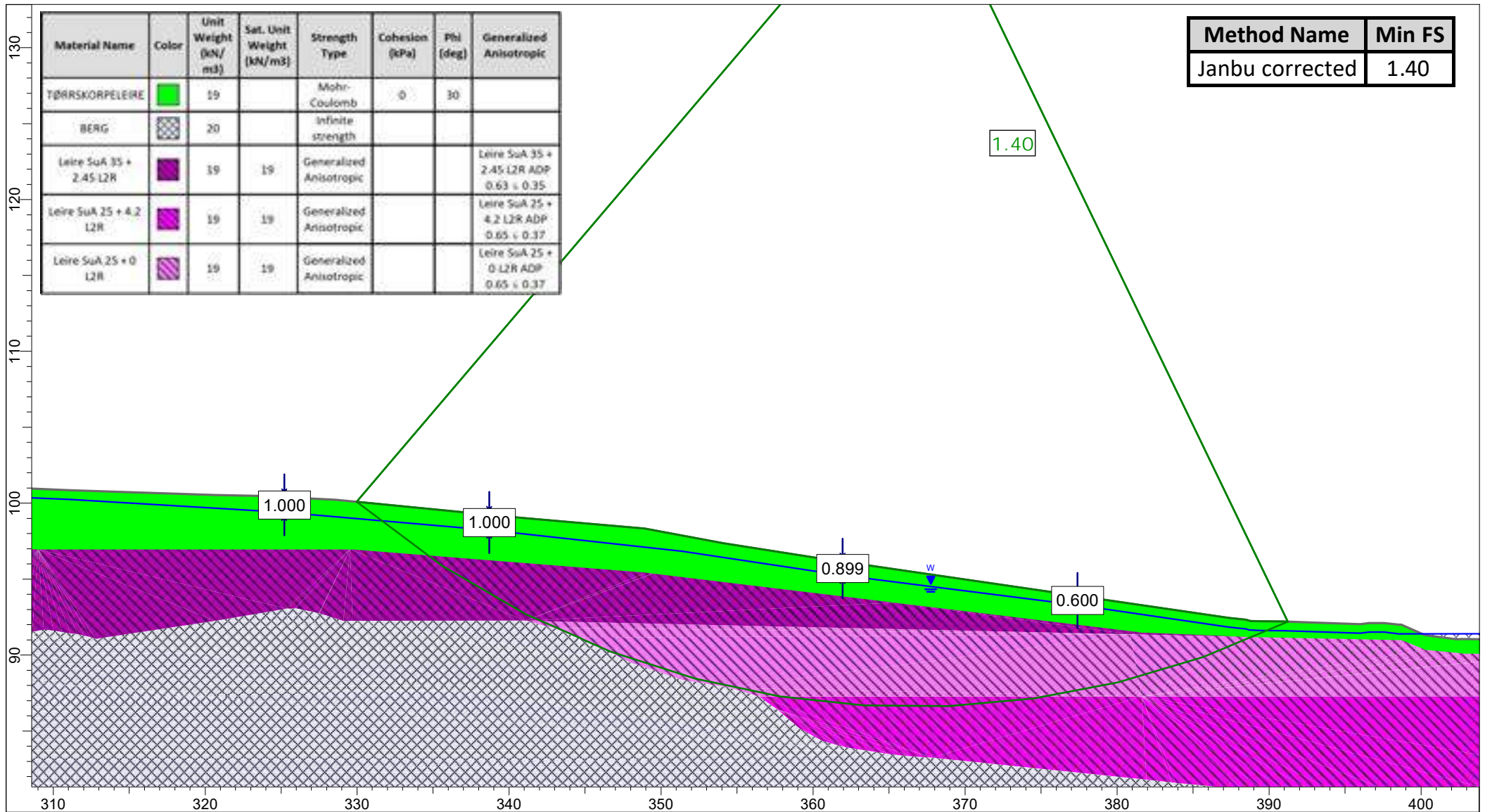
# UNA-00-A-10074 Vedlegg C Stabilitetsanalyser




	Project			10405703 - Ski ny ostre linje		
	Analysis Description					Totalspenningsanalyse. Permanent situasjon uten tiltak.
	Drawn By		MREU	Scale		1:850
	Date		11.01.2023		Company	
				File Name		O5-2.slmd

SLIDEINTERPRET 9.007

# UNA-00-A-10074 Vedlegg C Stabilitetsanalyser

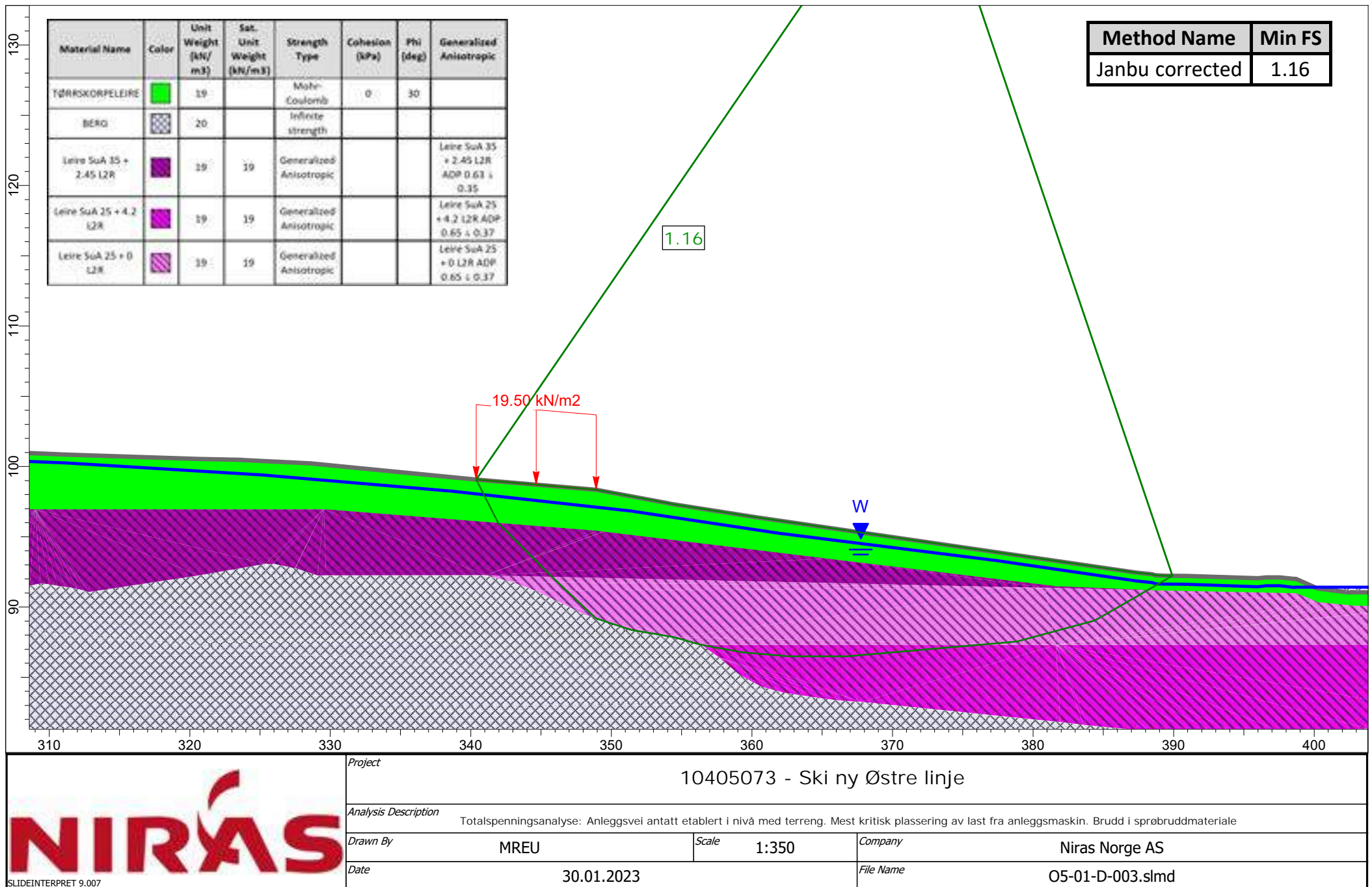


	Project			10405073 - Ski ny Østre linje		
	Analysis Description					Totalspenningsanalyse: bruddretning venstre mot høyre. Grunnvannstand 1 m til 0.6 m under terreng. Brudd i leire.
	Drawn By		MREU	Scale		1:350
	Date		17.01.2023		Company	
			File Name		05-01-D-003.slmd	

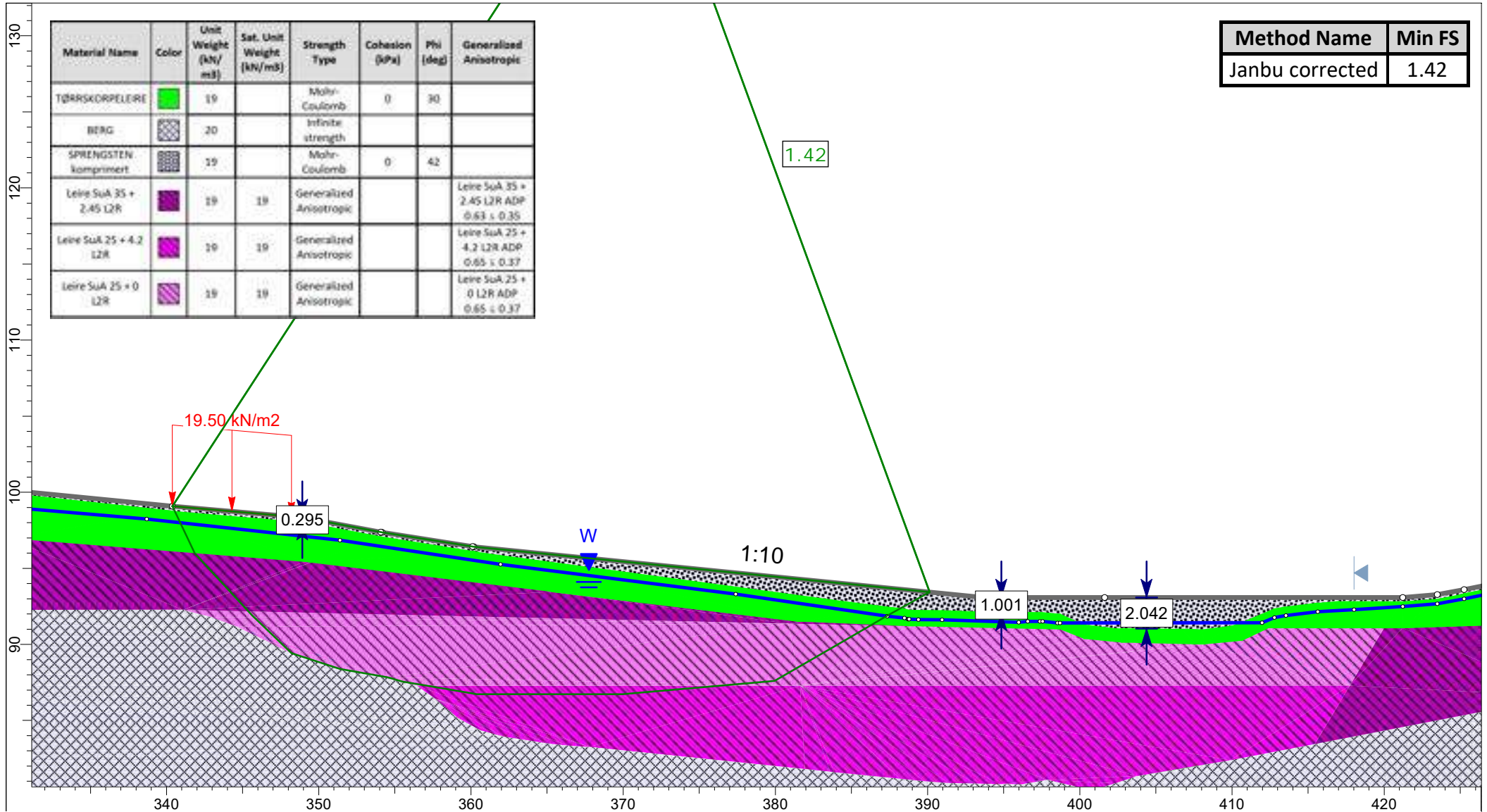
SLIDEINTERPRET 9.007



# UNA-00-A-10074 Vedlegg C Stabilitetsanalyse



# UNA-00-A-10074 Vedlegg C Stabilitetsanalyse



Material Name	Color	Unit Weight (kN/m <sup>3</sup> )	Sat. Unit Weight (kN/m <sup>3</sup> )	Strength Type	Cohesion (kPa)	Phi (deg)	Generalized Anisotropic
TØRRSKORPELEIRE	[Green]	19		Mohr-Coulomb	0	30	
BERG	[Cross-hatched]	20		Infinite strength			
SPRENGSTEN komprimert	[Dotted]	19		Mohr-Coulomb	0	42	
Leire SuA 35 + 2.45 L2R	[Purple]	19	19	Generalized Anisotropic			Leire SuA 35 + 2.45 L2R ADP 0.63 ± 0.35
Leire SuA 25 + 4.2 L2R	[Magenta]	19	19	Generalized Anisotropic			Leire SuA 25 + 4.2 L2R ADP 0.65 ± 0.37
Leire SuA 25 + 0 L2R	[Light Purple]	19	19	Generalized Anisotropic			Leire SuA 25 + 0 L2R ADP 0.65 ± 0.37

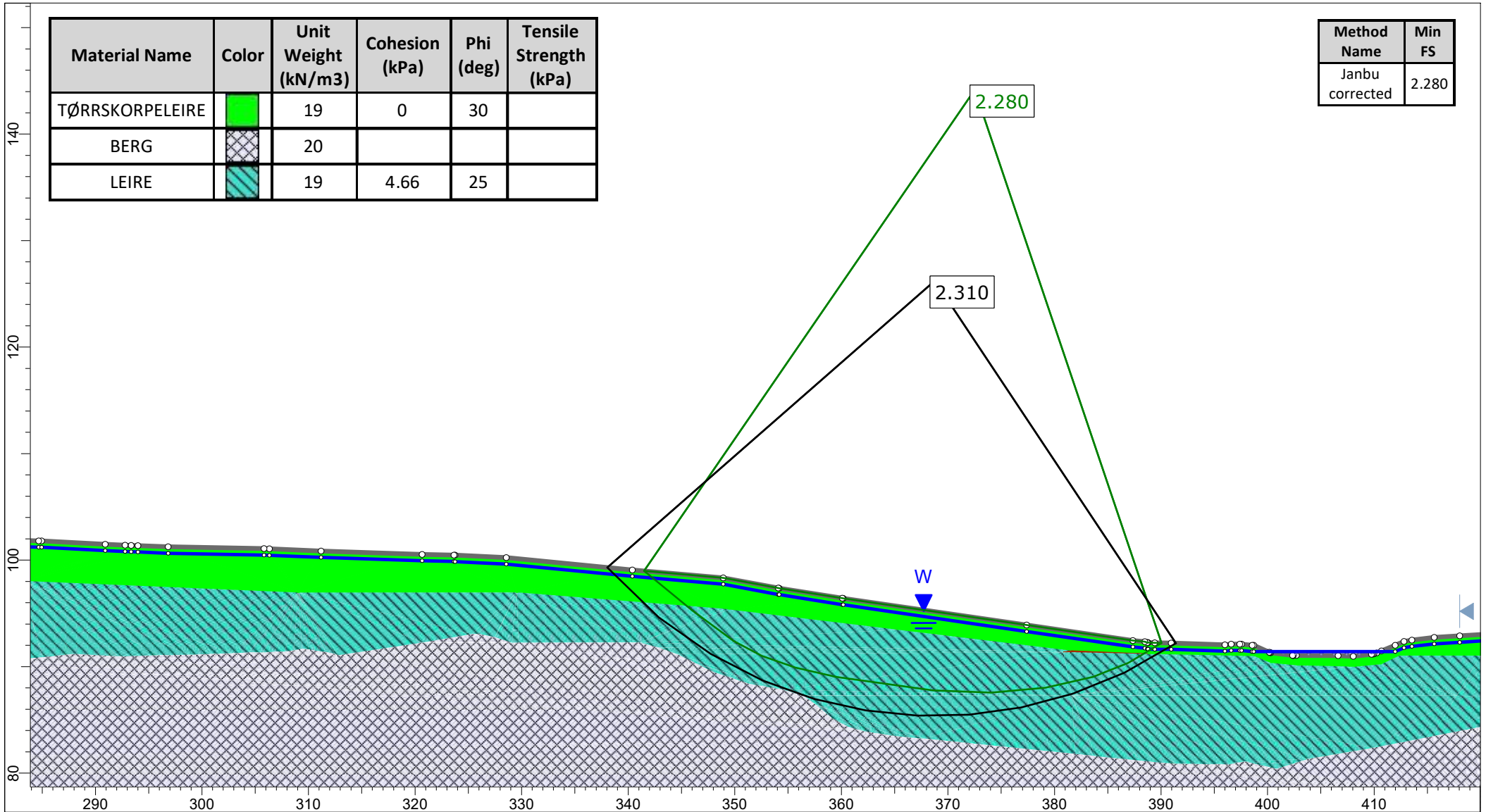
Method Name	Min FS
Janbu corrected	1.42

	Project			10405073 - Ski ny Østre linje			
	Analysis Description						
	Totalspenningsanalyse: Anleggsvei på veifylling med høyde på rundt 1 meter i bunn av skråning. Avtagende fyllingshøyde opp langs skråning. Brudd i sprøbruddmateriale						
	Drawn By		MREU	Scale		1:350	Company
Date			27.01.2023		File Name		05-01-D-004.slmd

SLIDEINTERPRET 9.007



# UNA-00-A-10074 Vedlegg C Stabilitetsanalyse



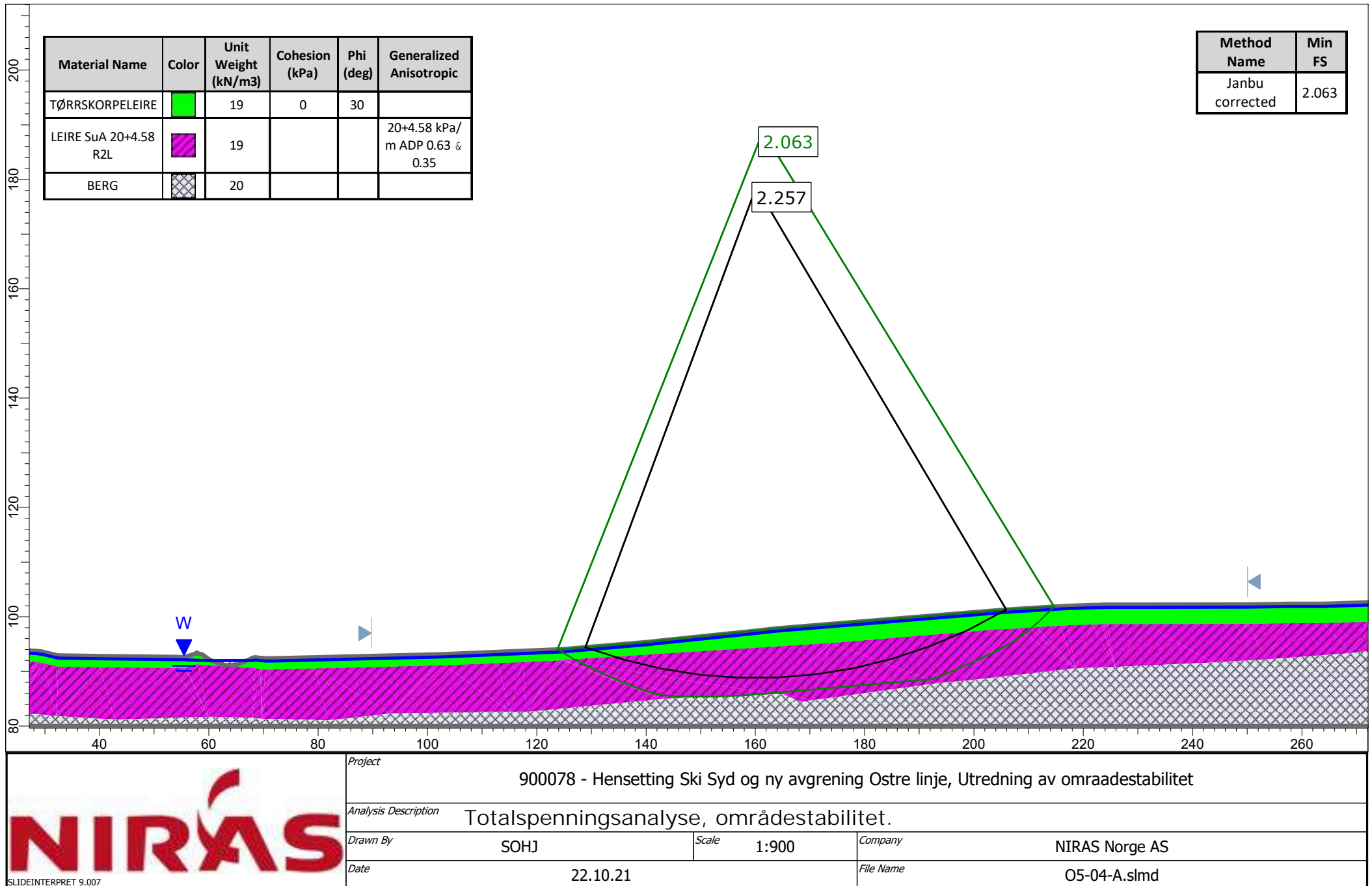
Material Name	Color	Unit Weight (kN/m <sup>3</sup> )	Cohesion (kPa)	Phi (deg)	Tensile Strength (kPa)
TØRRSKORPELEIRE		19	0	30	
BERG		20			
LEIRE		19	4.66	25	

Method Name	Min FS
Janbu corrected	2.280

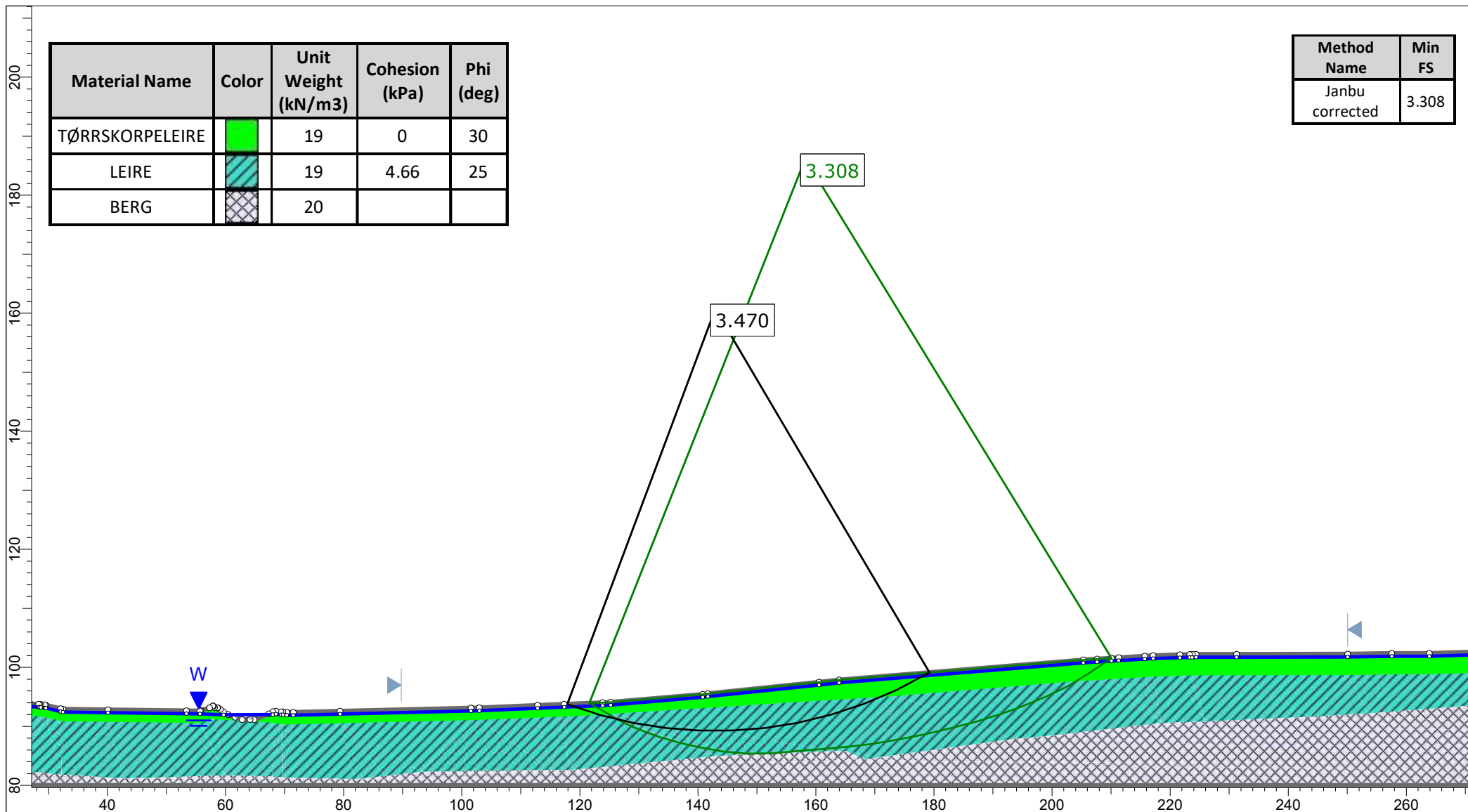
	Project			900078 Ski hensetting, Detaljplan		
	Analysis Description			Effektivanalyse, drenert tilstand, områdestabilitet.		
	Drawn By		SOHJ	Scale		1:500
	Date		2021-01-13		Company	
Date			2021-01-13		File Name	
Date			2021-01-13		05-01-D-002.slmd	


SLIDEINTERPRET 9.007

# UNA-00-A-10074 Vedlegg C Stabilitetsanalyser



# UNA-00-A-10074 Vedlegg C Stabilitetsanalyser

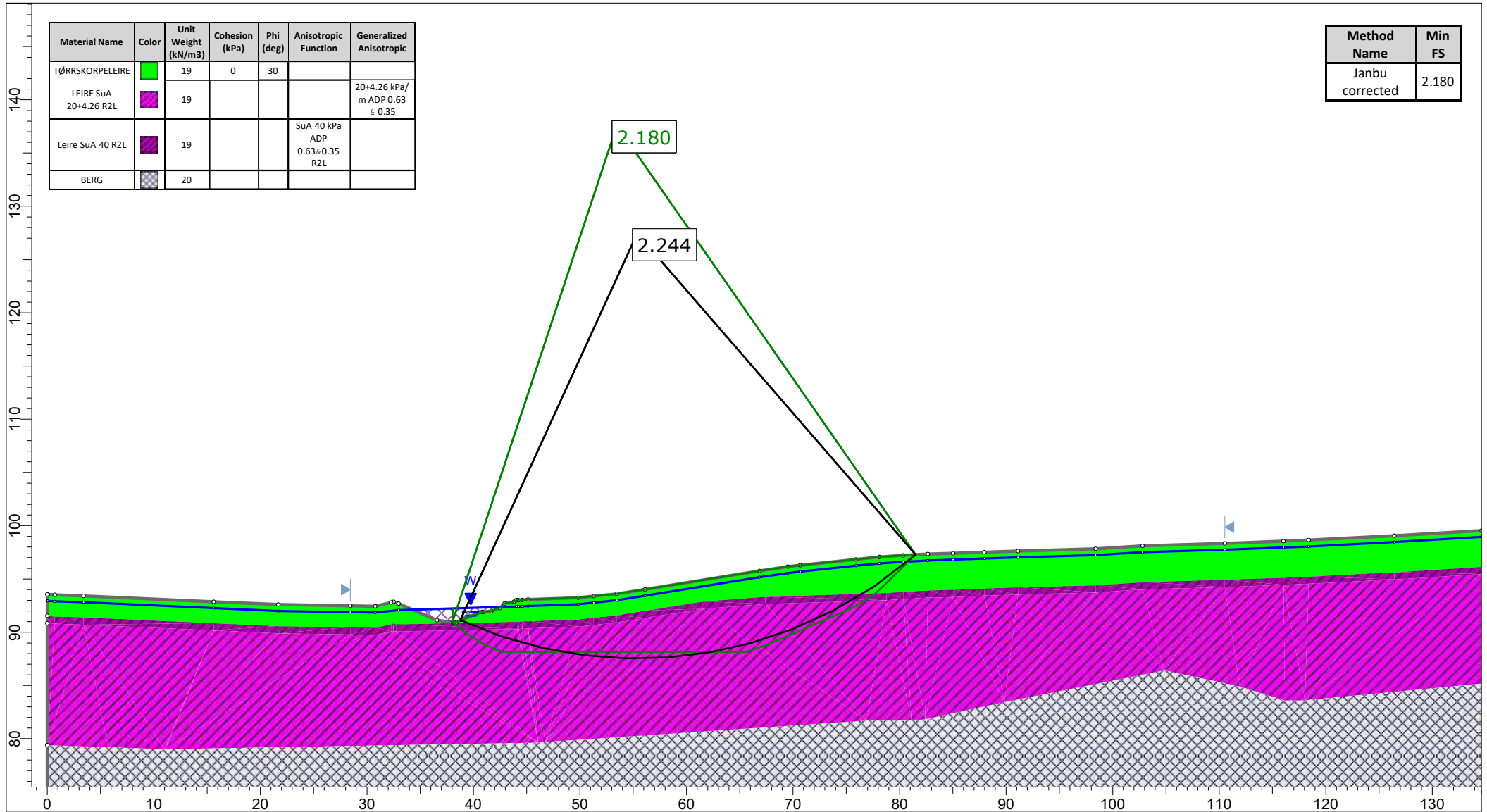



	<i>Project</i> 900078 - Hensetting Ski Syd og ny avgrensning Ostre linje, Utredning av omraadestabilitet		
	<i>Analysis Description</i> Effektivanalyse, drenert tilstand, omraadestabilitet.		
	<i>Drawn By</i> SOHJ	<i>Scale</i> 1:900	<i>Company</i> NIRAS Norge AS
	<i>Date</i> 22.10.21	<i>File Name</i> O5-04-A.slmd	

SLIDEINTERPRET 9.007



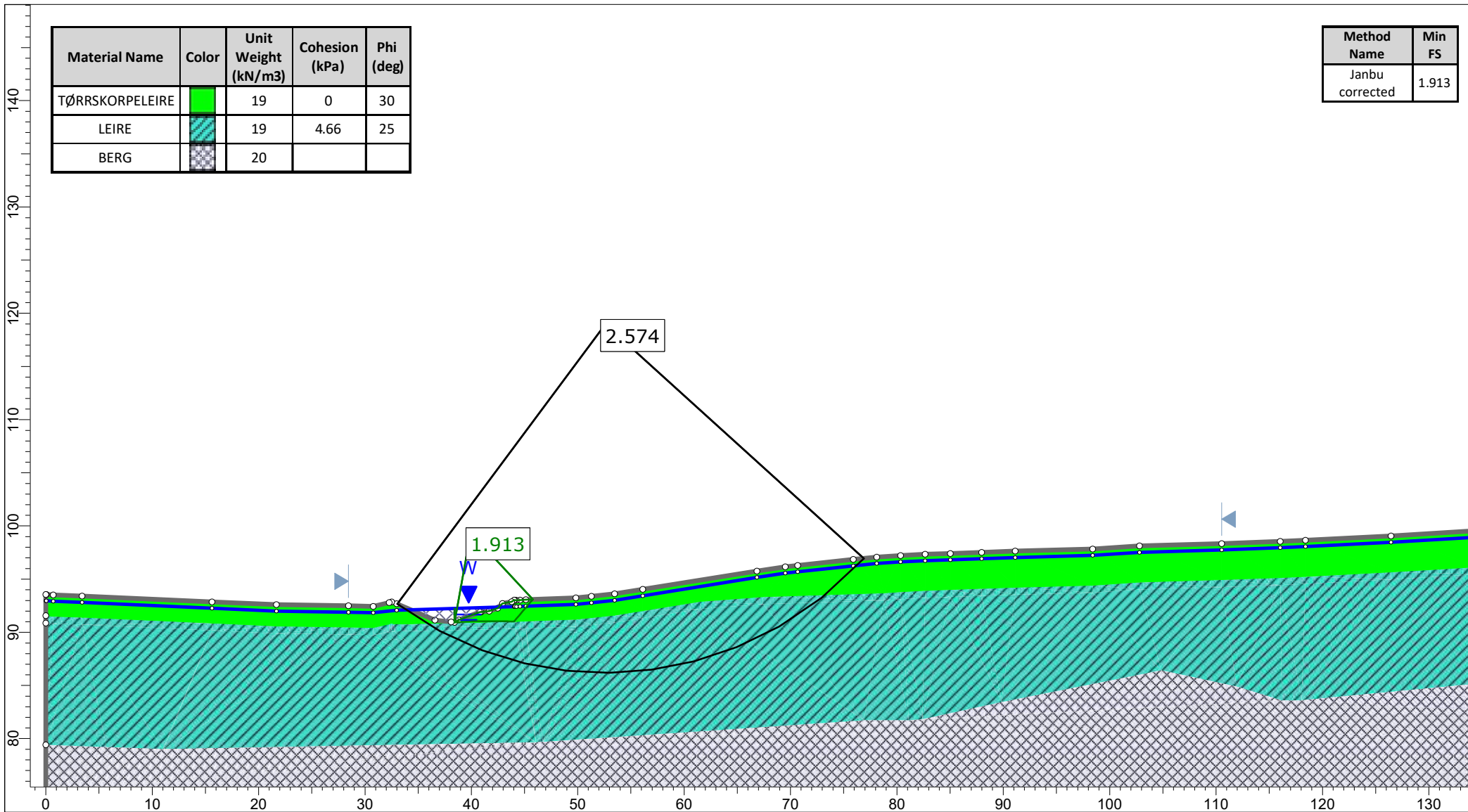
# UNA-00-A-10074 Vedlegg C Stabilitetsanalyser



	<b>Project</b> 900078 - Hensetting Ski Syd og ny avgrensing Ostre linje, Utredning av områdestabilitet		
	<b>Analysis Description</b> Totalspenningsanalyse, områdestabilitet.		
	<b>Drawn By</b> SOHJ	<b>Scale</b> 1:500	<b>Company</b> NIRAS Norge AS
	<b>Date</b> 22.10.21	<b>File Name</b> O5-04-B.sldm	

SLIDEINTERPRET 9.007

# UNA-00-A-10074 Vedlegg C Stabilitetsanalyser



Material Name	Color	Unit Weight (kN/m <sup>3</sup> )	Cohesion (kPa)	Phi (deg)
TØRRSKORPELEIRE		19	0	30
LEIRE		19	4.66	25
BERG		20		

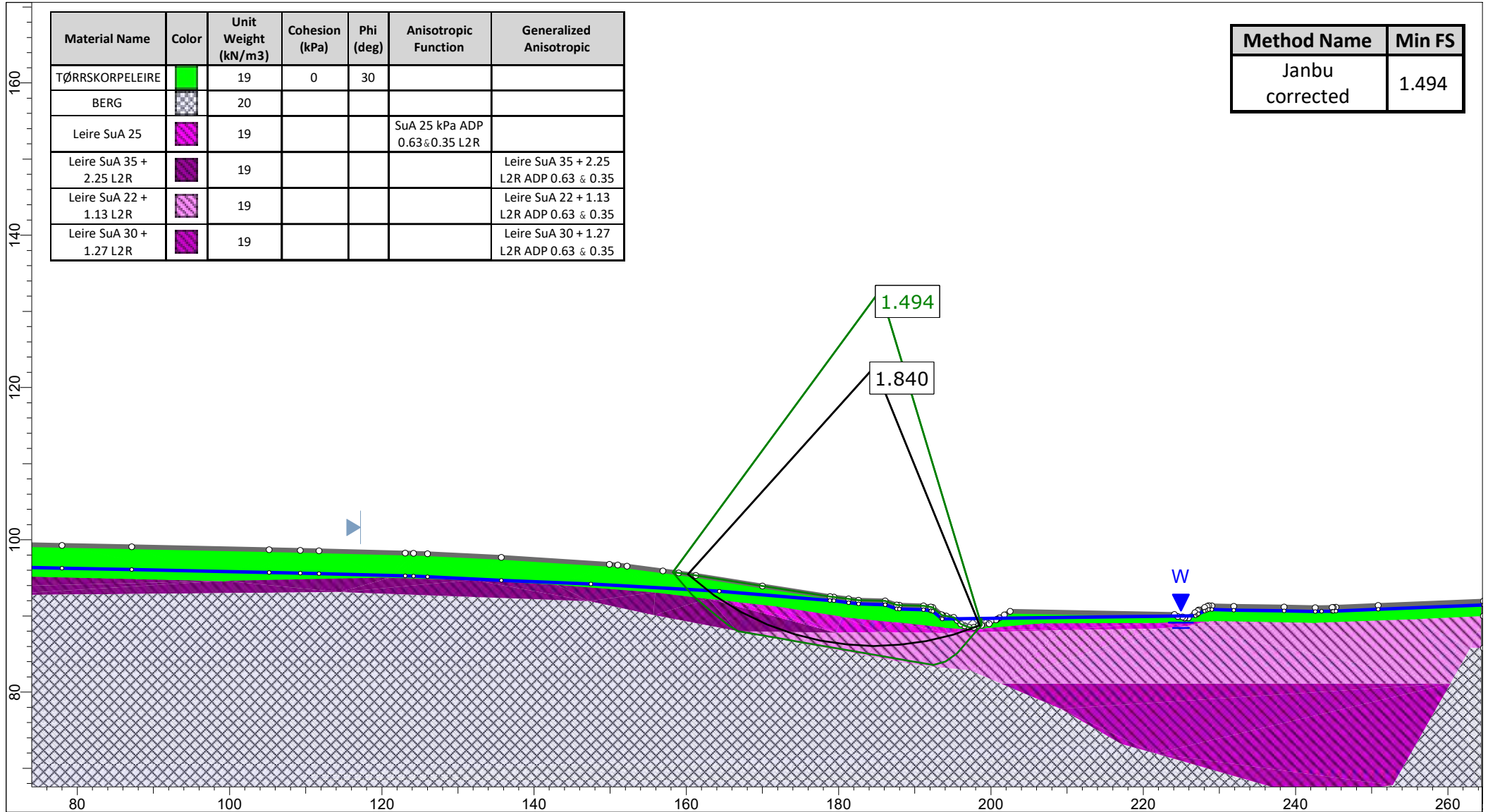
Method Name	Min FS
Janbu corrected	1.913

	Project			900078 - Hensetting Ski Syd og ny avgrensing Ostre linje, Utredning av omraadestabilitet
	Analysis Description			Effektivanalyse, drenert tilstand, omraadestabilitet.
	Drawn By	SOHJ	Scale	1:500
	Date	22.10.21	Company	NIRAS Norge AS
			File Name	O5-04-B.slmd

SLIDEINTERPRET 9.007



# UNA-00-A-10074 Vedlegg C Stabilitetsanalyser



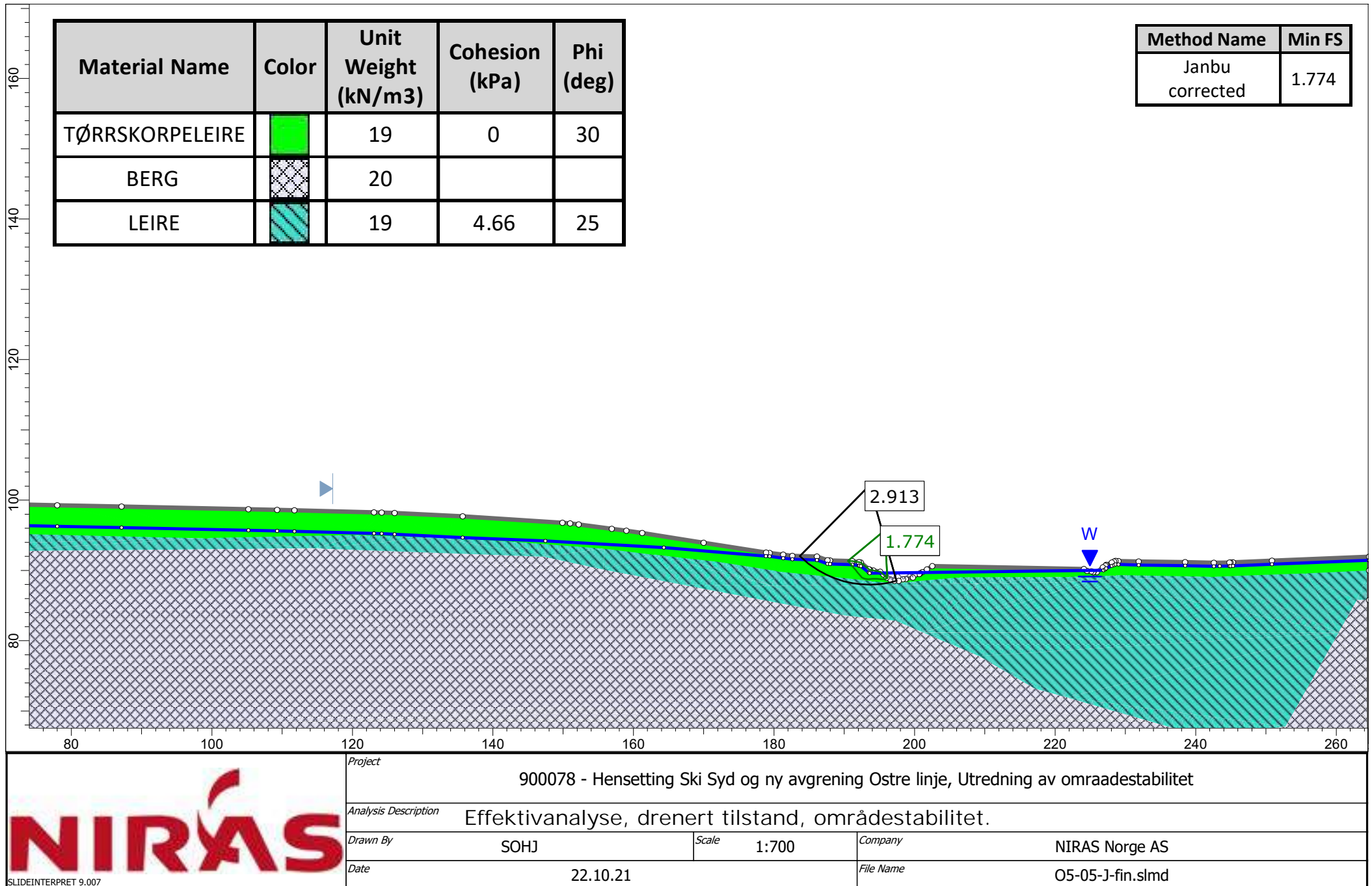
Material Name	Color	Unit Weight (kN/m3)	Cohesion (kPa)	Phi (deg)	Anisotropic Function	Generalized Anisotropic
TØRRSKORPELEIRE		19	0	30		
BERG		20				
Leire SuA 25		19			SuA 25 kPa ADP 0.63 & 0.35 L2R	
Leire SuA 35 + 2.25 L2R		19				Leire SuA 35 + 2.25 L2R ADP 0.63 & 0.35
Leire SuA 22 + 1.13 L2R		19				Leire SuA 22 + 1.13 L2R ADP 0.63 & 0.35
Leire SuA 30 + 1.27 L2R		19				Leire SuA 30 + 1.27 L2R ADP 0.63 & 0.35

Method Name	Min FS
Janbu corrected	1.494

	Project			900078 - Hensetting Ski Syd og ny avgrensning Ostre linje, Utredning av områdestabilitet		
	Analysis Description			Totalspenningsanalyse, områdestabilitet.		
	Drawn By	SOHJ	Scale	1:700	Company	NIRAS Norge AS
	Date	22.10.21		File Name	O5-05-J-fin.slmd	

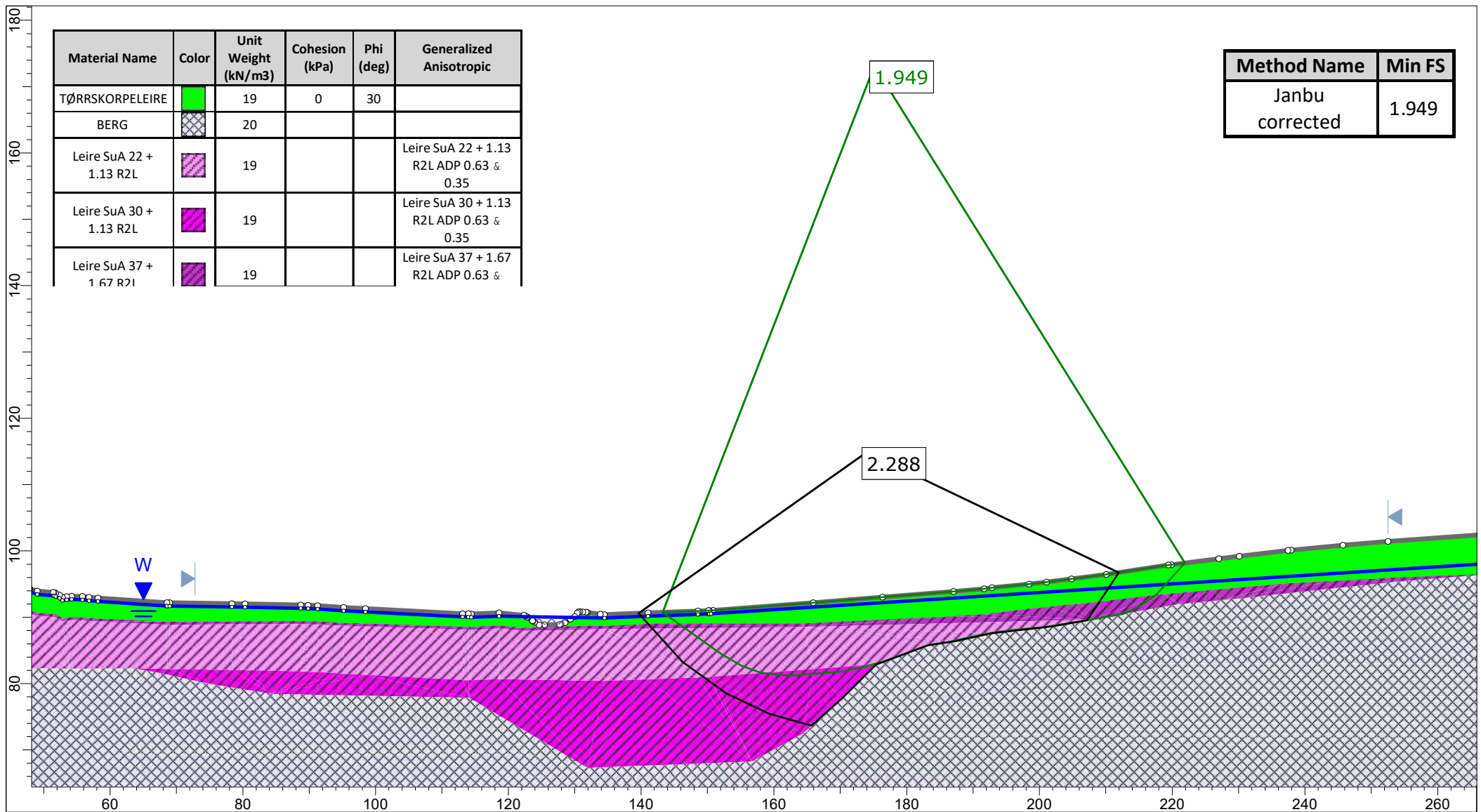
SLIDEINTERPRET 9.007

# UNA-00-A-10074 Vedlegg C Stabilitetsanalyser





# UNA-00-A-10074 Vedlegg C Stabilitetsanalyser



Material Name	Color	Unit Weight (kN/m <sup>3</sup> )	Cohesion (kPa)	Phi (deg)	Generalized Anisotropic
TØRRSKORPELEIRE		19	0	30	
BERG		20			
Leire SuA 22 + 1.13 R2L		19			Leire SuA 22 + 1.13 R2L ADP 0.63 & 0.35
Leire SuA 30 + 1.13 R2L		19			Leire SuA 30 + 1.13 R2L ADP 0.63 & 0.35
Leire SuA 37 + 1.67 R2I		19			Leire SuA 37 + 1.67 R2L ADP 0.63 &

Method Name	Min FS
Janbu corrected	1.949

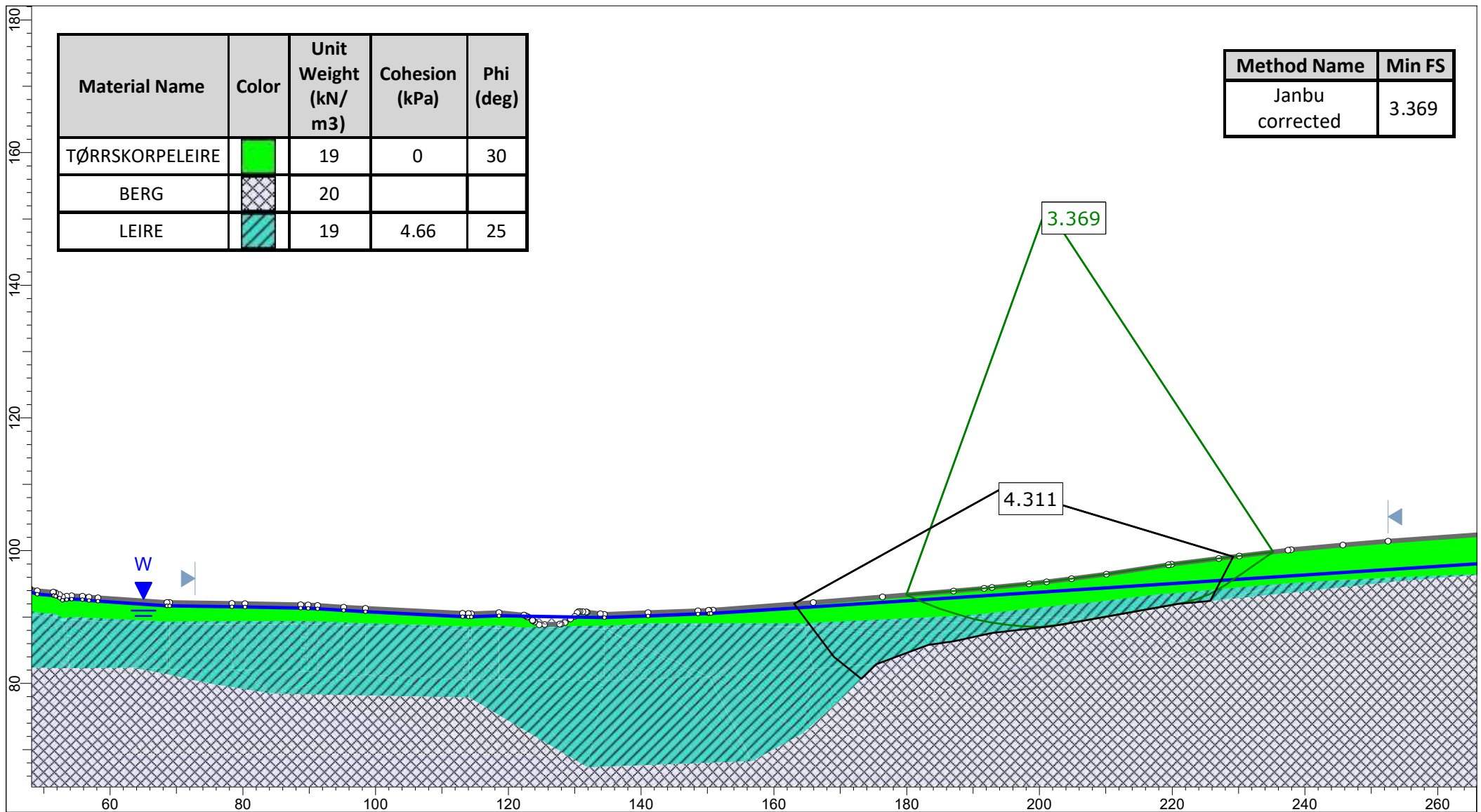


SLIDEINTERPRET 9.007

Project			
900078 - Hensetting Ski Syd og ny avgrensning Ostre linje, Utredning av områdestabilitet			
Analysis Description			
Totalspenningsanalyse, områdestabilitet.			
Drawn By	SOHJ	Scale	1:800
Company		NIRAS Norge AS	
Date	22.10.21	File Name	O5-06-M.slmd



# UNA-00-A-10074 Vedlegg C Stabilitetsanalyser



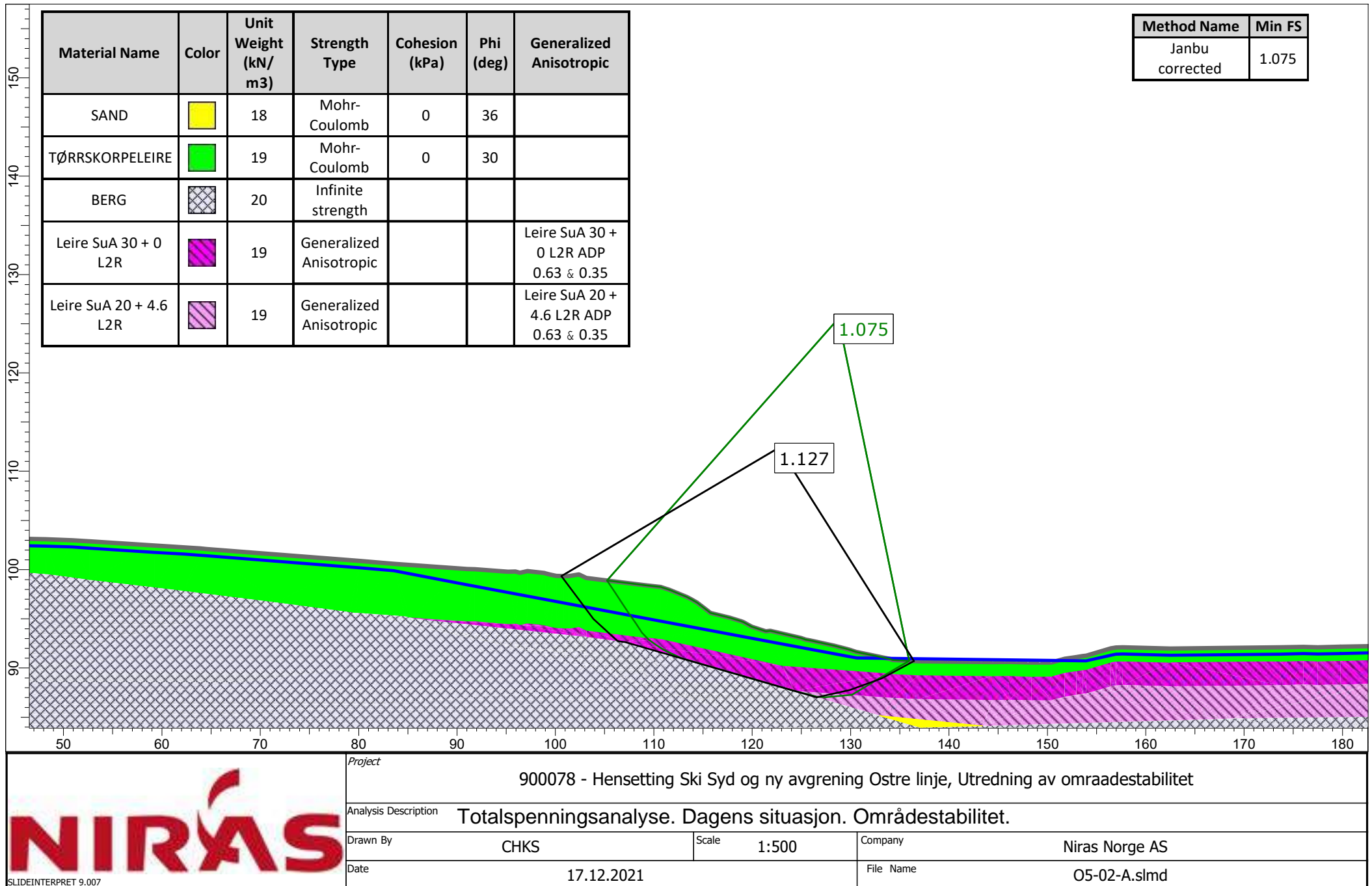
Material Name	Color	Unit Weight (kN/m <sup>3</sup> )	Cohesion (kPa)	Phi (deg)
TØRRSKORPELEIRE		19	0	30
BERG		20		
LEIRE		19	4.66	25

Method Name	Min FS
Janbu corrected	3.369

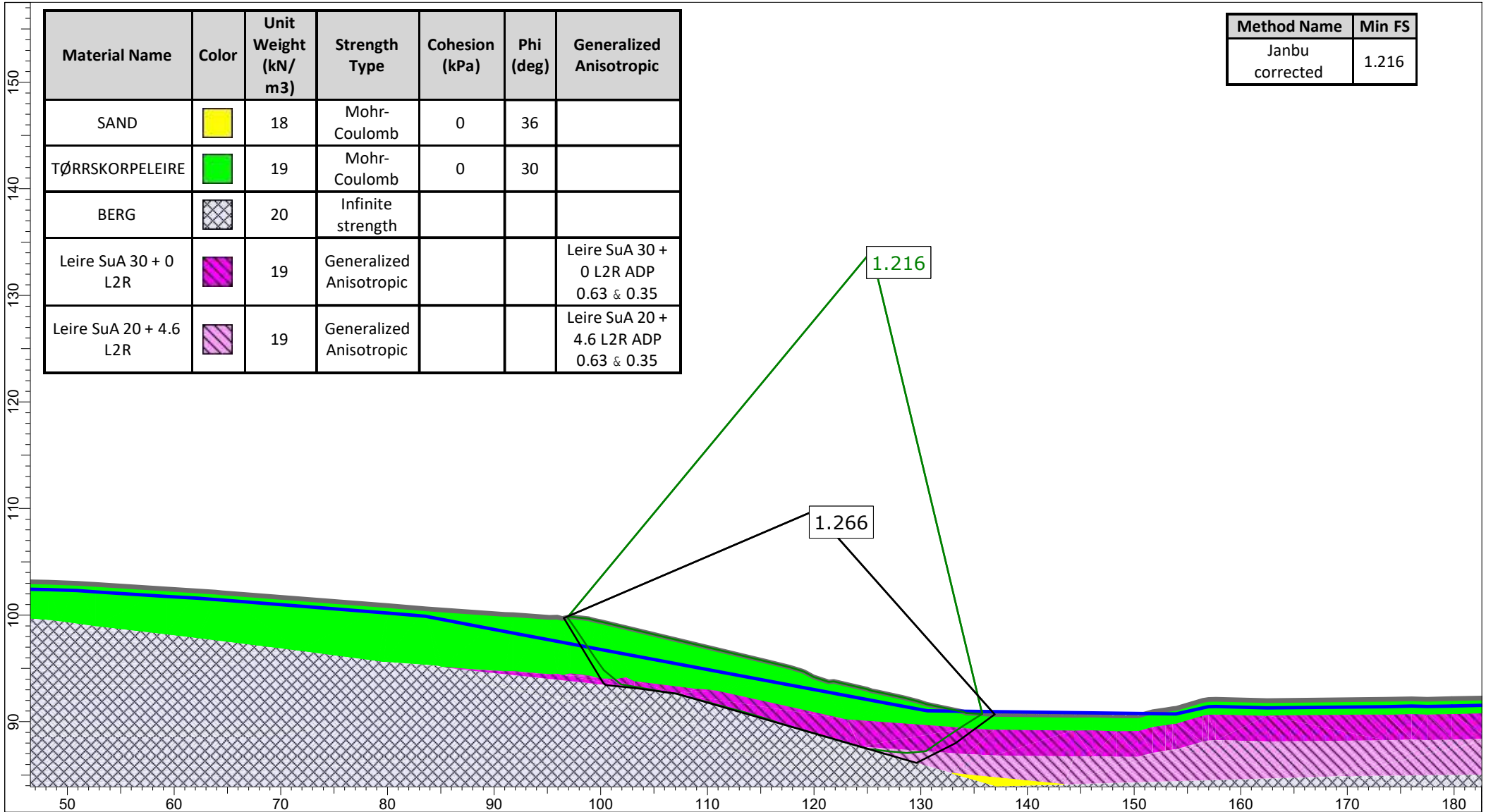
	Project			900078 - Hensetting Ski Syd og ny avgrensing Ostre linje, Utredning av områdestabilitet
	Analysis Description			Effektivanalyse, drenert tilstand, områdestabilitet.
	Drawn By	SOHJ	Scale	1:800
	Date	22.10.21	Company	NIRAS Norge AS
			File Name	O5-06-M.slmd


SLIDEINTERPRET 9.007

# UNA-00-A-10074 Vedlegg C Stabilitetsanalyser



# UNA-00-A-10074 Vedlegg C Stabilitetsanalyser

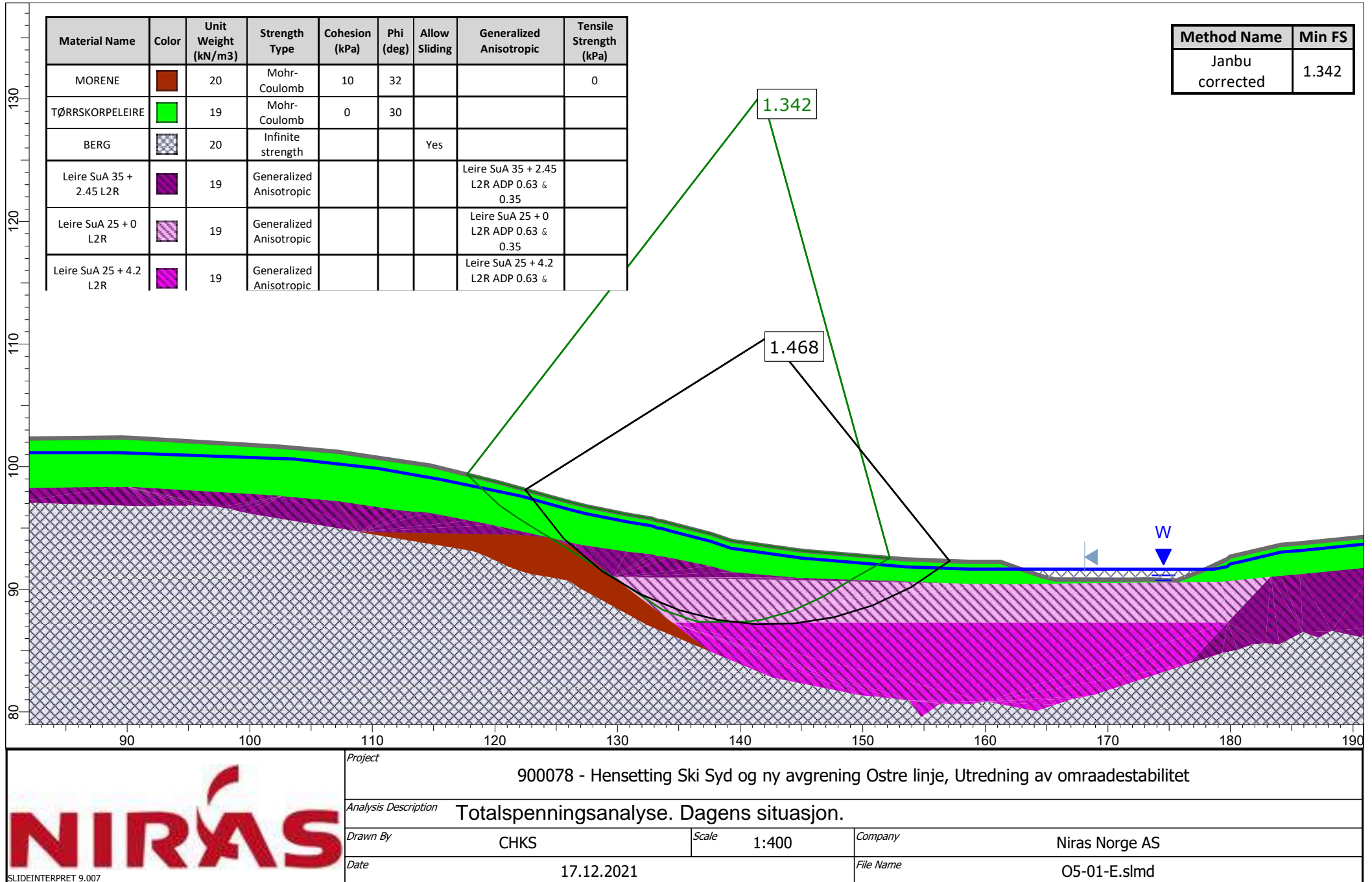


	Project			900078 - Hensetting Ski Syd og ny avgrensing Ostre linje, Utredning av omraadestabilitet		
	Analysis Description			Totalspenningsanalyse. Planert skråning. Lever opp til krav ved prosentvis forbedring.		
	Drawn By	CHKS	Scale	1:500	Company	Niras Norge AS
	Date	17.12.2021		File Name	O5-02-A.slmd	

SLIDEINTERPRET 9.007



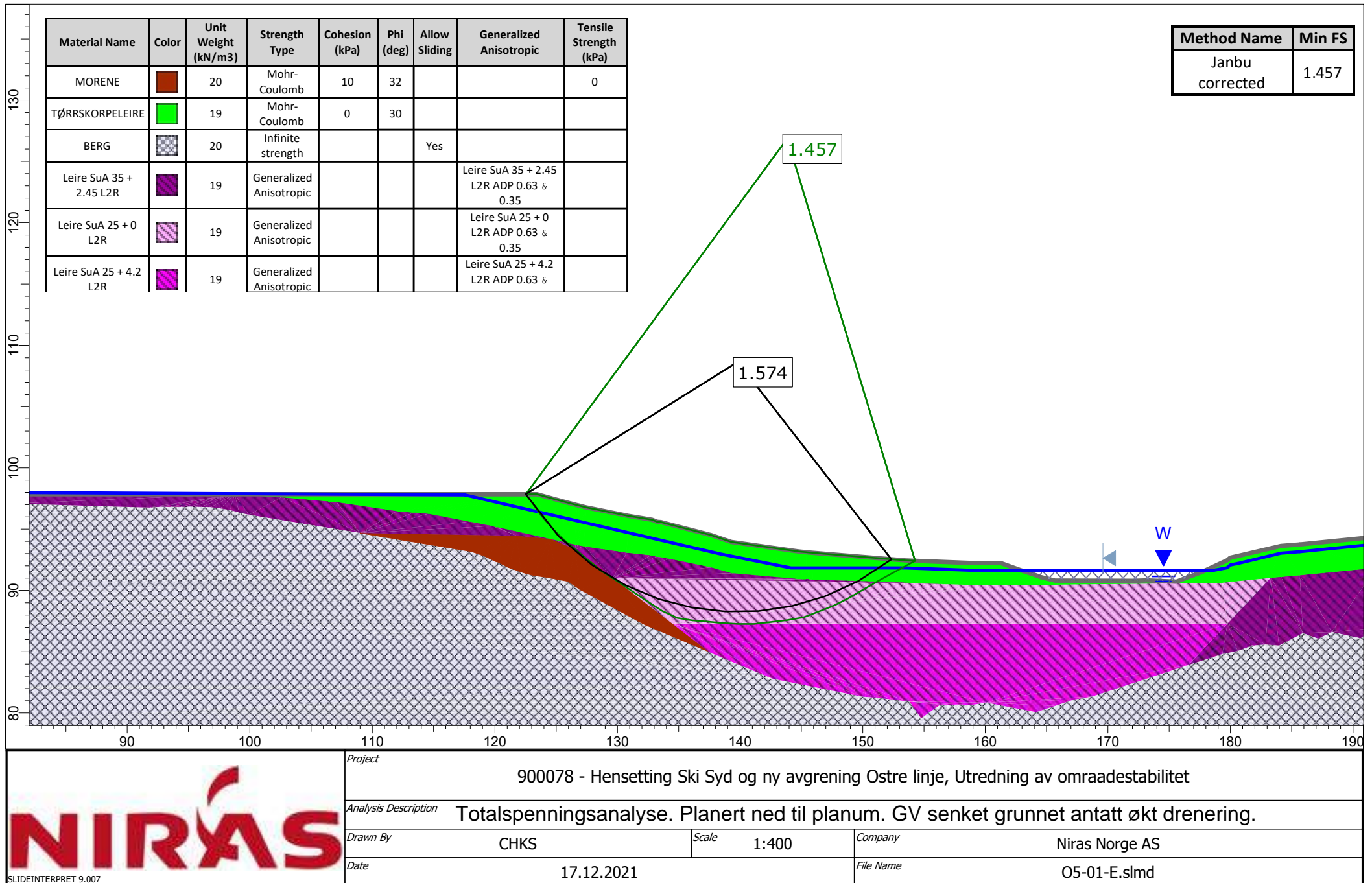
# UNA-00-A-10074 Vedlegg C Stabilitetsanalyser



<i>Project</i>			
900078 - Hensetting Ski Syd og ny avgrensing Ostre linje, Utredning av omraadestabilitet			
<i>Analysis Description</i>			
Totalspenningsanalyse. Dagens situasjon.			
<i>Drawn By</i>	CHKS	<i>Scale</i>	1:400
		<i>Company</i>	Niras Norge AS
<i>Date</i>	17.12.2021	<i>File Name</i>	O5-01-E.sldm

SLIDEINTERPRET 9.007

# UNA-00-A-10074 Vedlegg C Stabilitetsanalyser

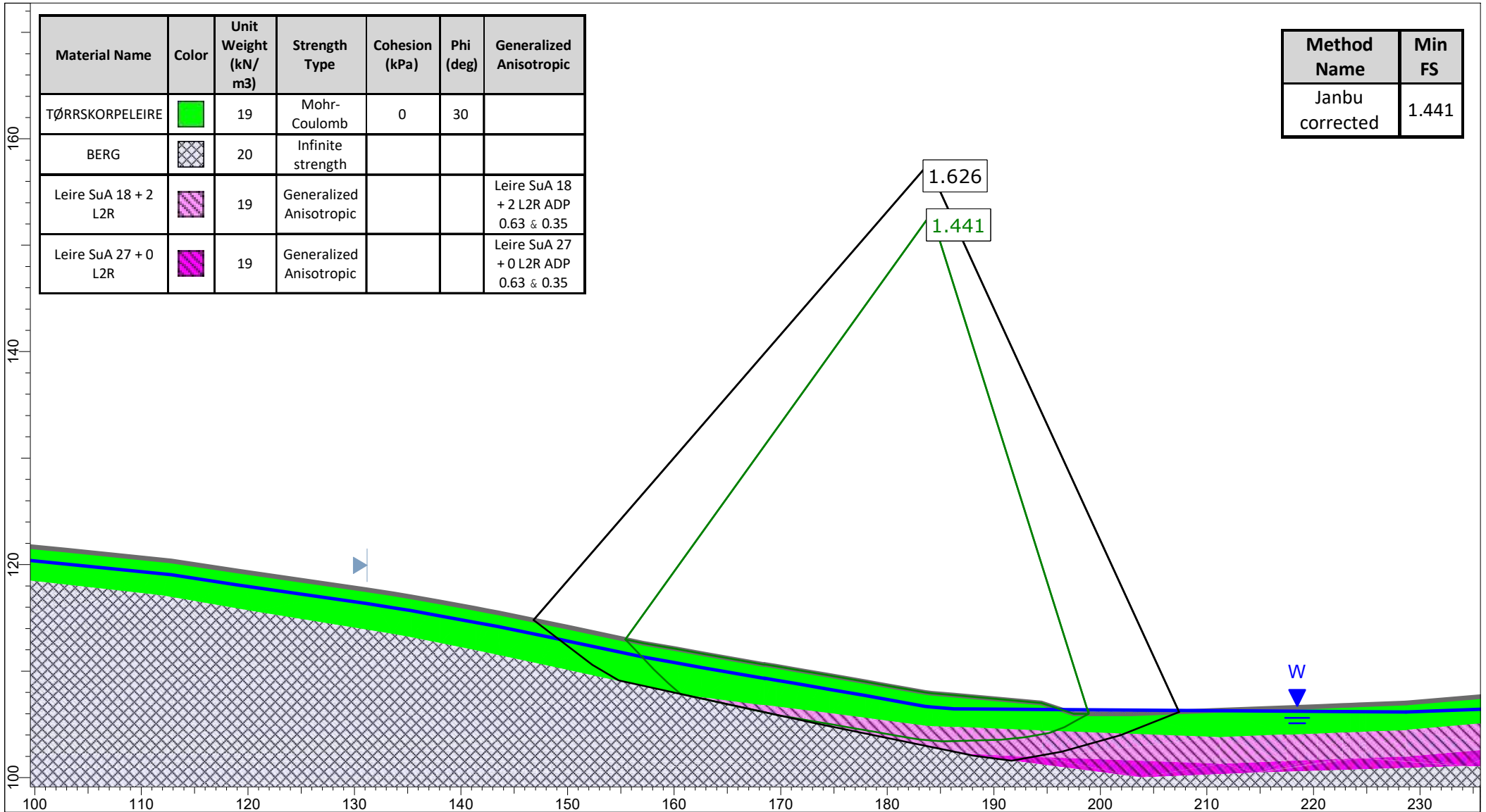



<i>Project</i>			
900078 - Hensetting Ski Syd og ny avgrensing Ostre linje, Utredning av omraadestabilitet			
<i>Analysis Description</i>			
Totalspenningsanalyse. Planert ned til planum. GV senket grunnet antatt økt drenering.			
<i>Drawn By</i>	CHKS	<i>Scale</i>	1:400
<i>Company</i>	Niras Norge AS		
<i>Date</i>	17.12.2021	<i>File Name</i>	O5-01-E.sldm

SLIDEINTERPRET 9.007



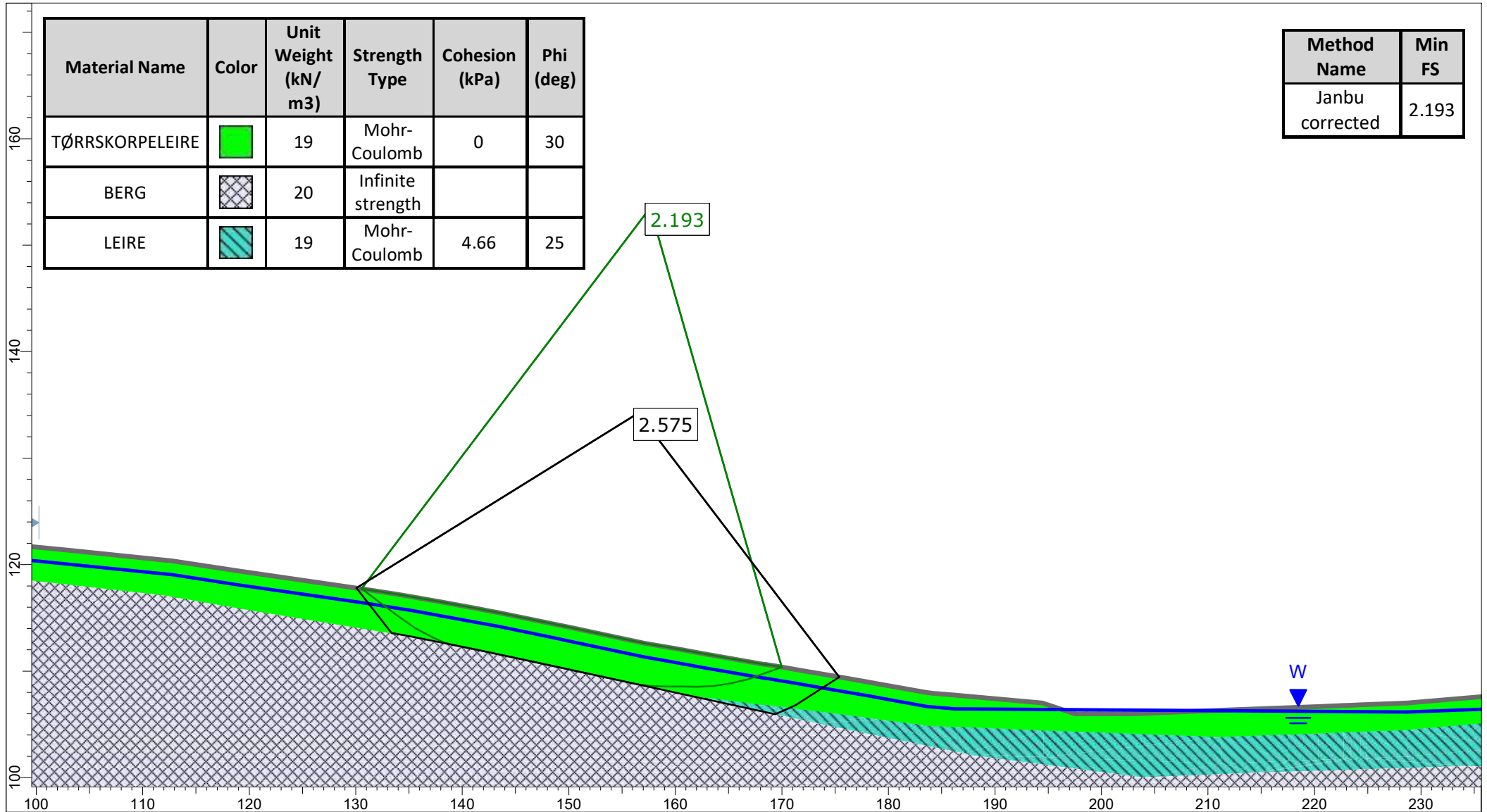
# UNA-00-A-10074 Vedlegg C Stabilitetsanalyser



	Project			900078 - Hensetting Ski Syd og ny avgrensing Ostre linje, Utredning av områdestabilitet		
	Analysis Description			Totalspenningsanalyse. Dagens situasjon. Områdestabilitet.		
	Drawn By	CHKS	Scale	1:500	Company	Niras Norge AS
	Date	17.12.2021		File Name	O6-02-A.sldm	

SLIDEINTERPRET 9.007

# UNA-00-A-10074 Vedlegg C Stabilitetsanalyser



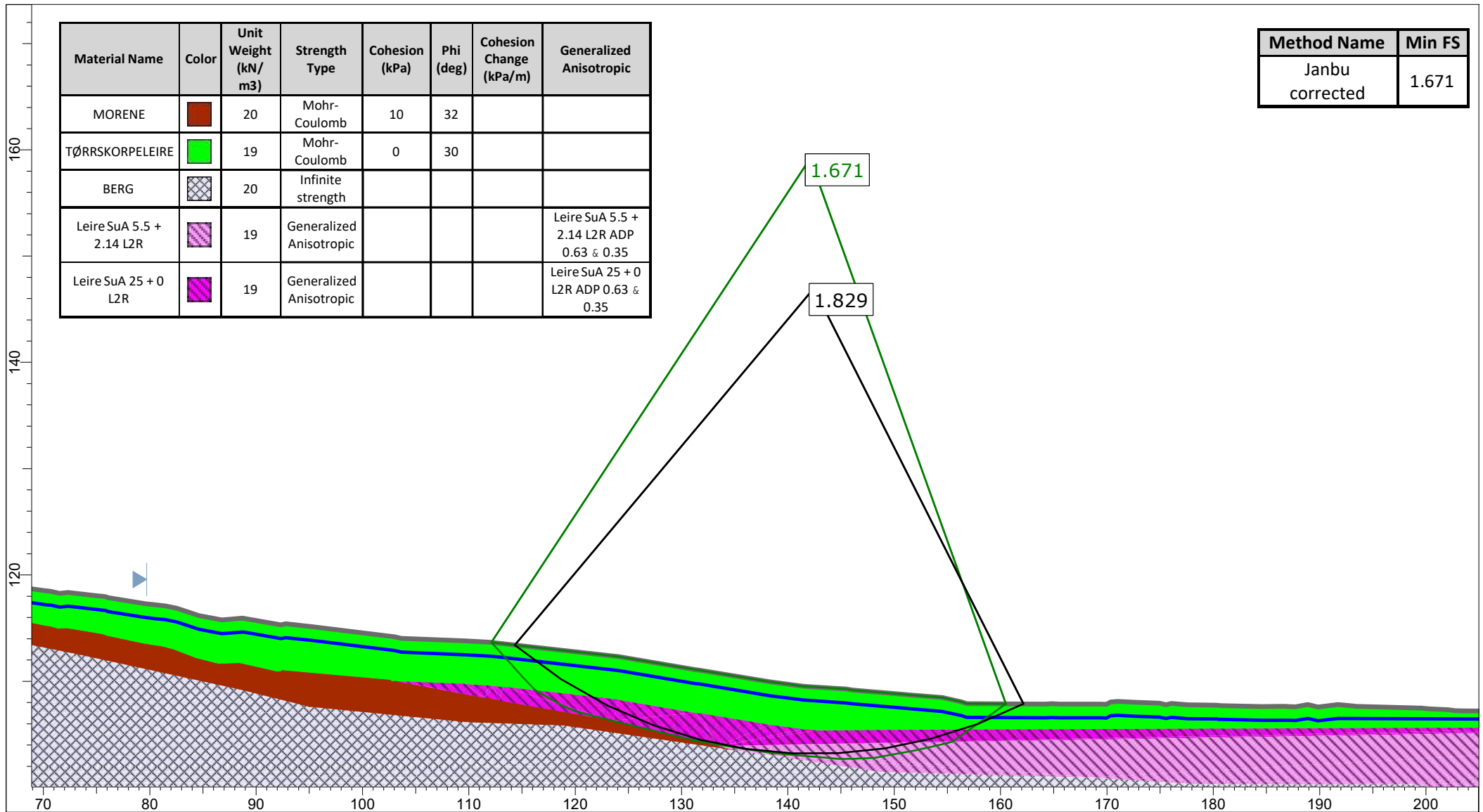
Material Name	Color	Unit Weight (kN/m <sup>3</sup> )	Strength Type	Cohesion (kPa)	Phi (deg)
TØRRSKORPELEIRE		19	Mohr-Coulomb	0	30
BERG		20	Infinite strength		
LEIRE		19	Mohr-Coulomb	4.66	25


Method Name	Min FS
Janbu corrected	2.193

	Project			900078 - Hensetting Ski Syd og ny avgrensing Ostre linje, Utredning av omraadestabilitet		
	Analysis Description			Effektivspenningsanalyse. Dagens situasjon. Omraadestabilitet.		
	Drawn By	CHKS	Scale	1:500	Company	Niras Norge AS
	Date	17.12.2021		File Name	O6-02-A.slmd	

SLIDEINTERPRET 9.007



# UNA-00-A-10074 Vedlegg C Stabilitetsanalyser



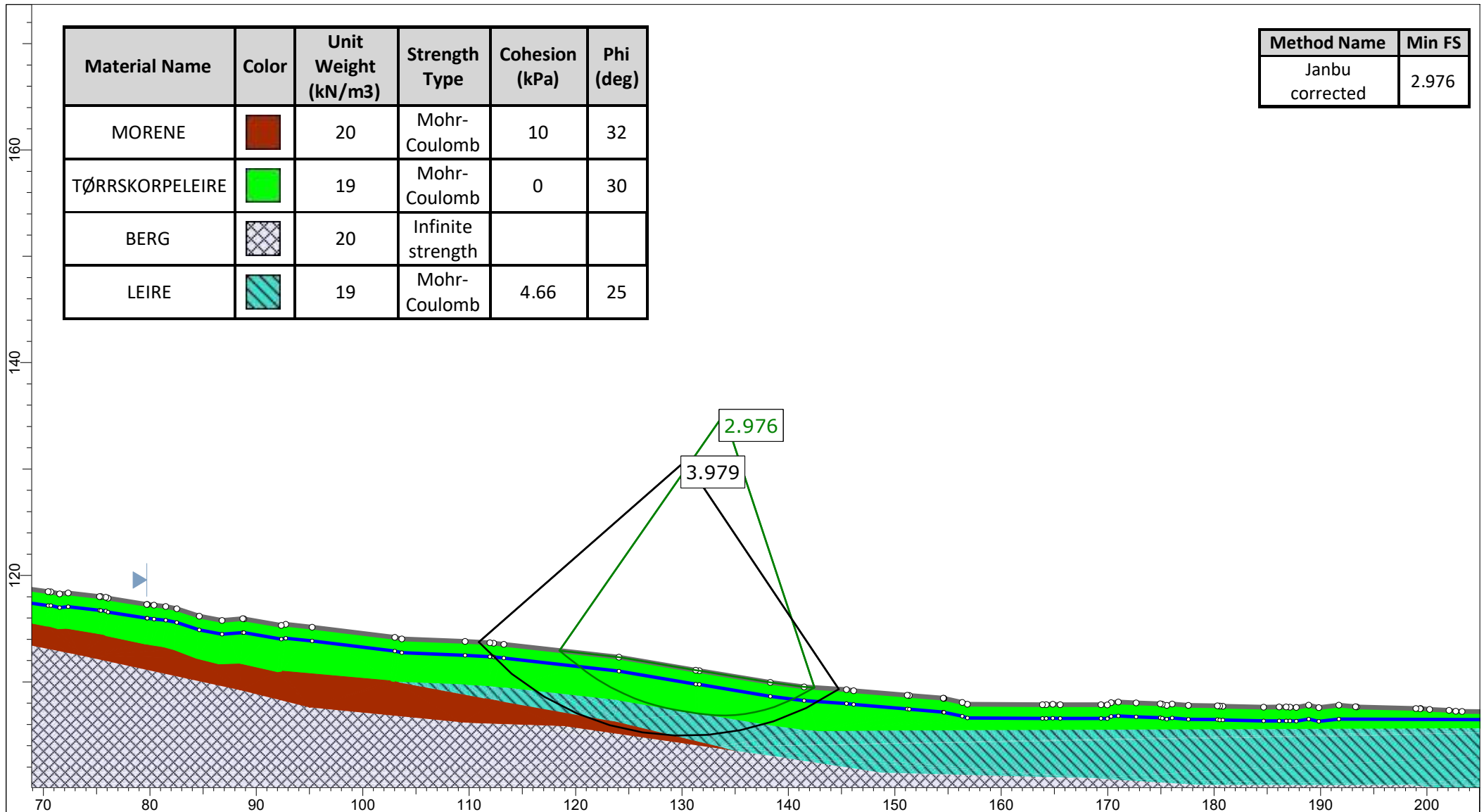
	<i>Project</i> 900078 - Hensetting Ski Syd og ny avgrensing Ostre linje, Utredning av omraadestabilitet		
	<i>Analysis Description</i> Totalspenningsanalyse. Dagens situasjon. Områdestabilitet.		
	<i>Drawn By</i> CHKS	<i>Scale</i> 1:500	<i>Company</i> Niras Norge AS
	<i>Date</i> 17.12.2021	<i>File Name</i> O6-02-B.sldm	

SLIDEINTERPRET 9.007

# UNA-00-A-10074 Vedlegg C Stabilitetsanalyser

Material Name	Color	Unit Weight (kN/m <sup>3</sup> )	Strength Type	Cohesion (kPa)	Phi (deg)
MORENE		20	Mohr-Coulomb	10	32
TØRRSKORPELEIRE		19	Mohr-Coulomb	0	30
BERG		20	Infinite strength		
LEIRE		19	Mohr-Coulomb	4.66	25

Method Name	Min FS
Janbu corrected	2.976

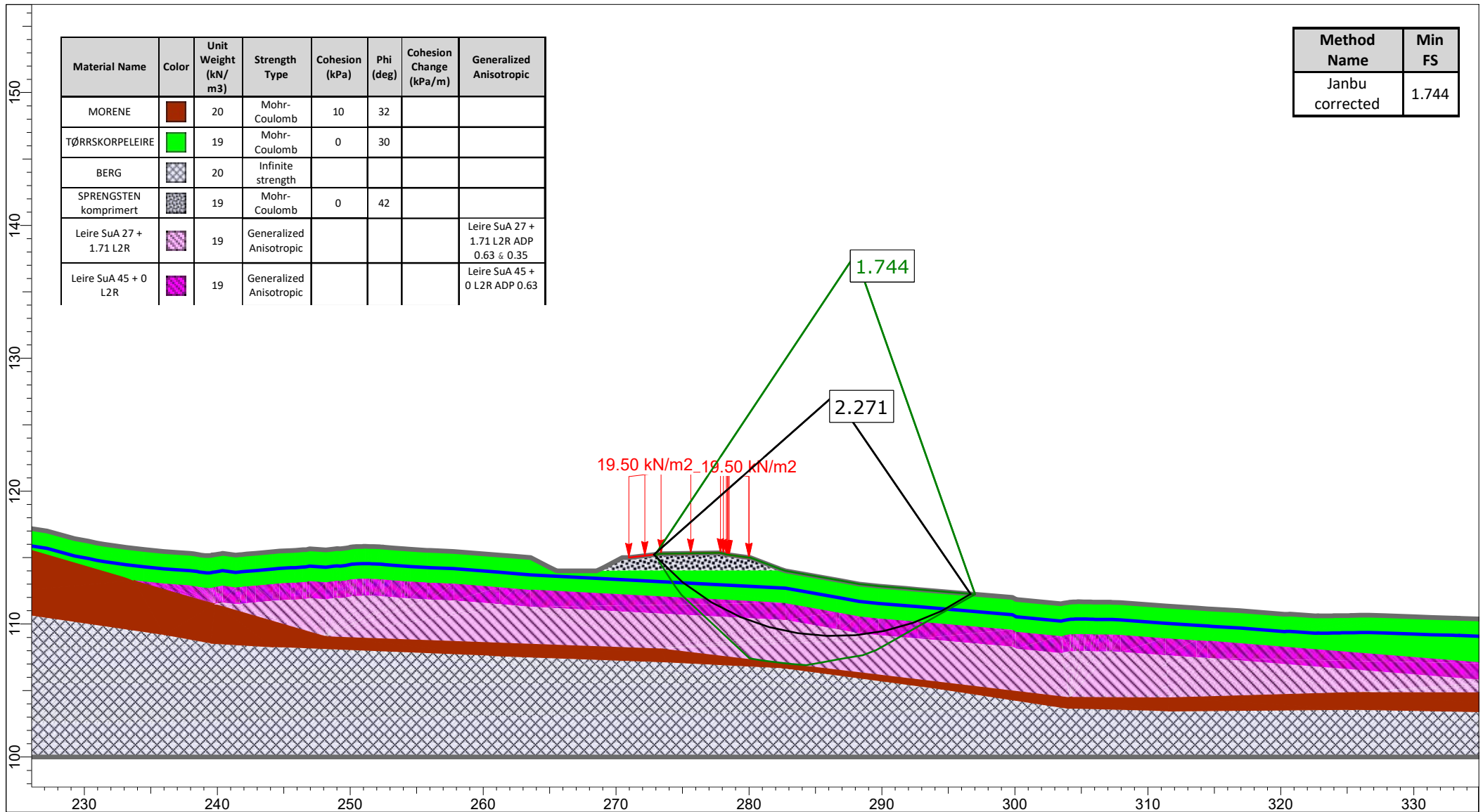



SLIDEINTERPRET 9.007

Project			
900078 - Hensetting Ski Syd og ny avgrensing Ostre linje, Utredning av områdestabilitet			
Analysis Description			
Effektivspenningsanalyse. Dagens situasjon. Områdestabilitet.			
Drawn By	CHKS	Scale	1:500
		Company	Niras Norge AS
Date	17.12.2021		File Name
		O6-02-B.sldm	



# UNA-00-A-10074 Vedlegg C Stabilitetsanalyser



	<b>Project</b> 900078 - Hensetting Ski Syd og ny avgrening Ostre linje, Utredning av omraadestabilitet		
	<b>Analysis Description</b> Totalspenningsanalyse. Dagens situasjon. Omraadestabilitet. Last fra veg.		
	<b>Drawn By</b> CHKS	<b>Scale</b> 1:400	<b>Company</b> Niras Norge AS
	<b>Date</b> 17.12.2021	<b>File Name</b> O6-08-A.sldm	

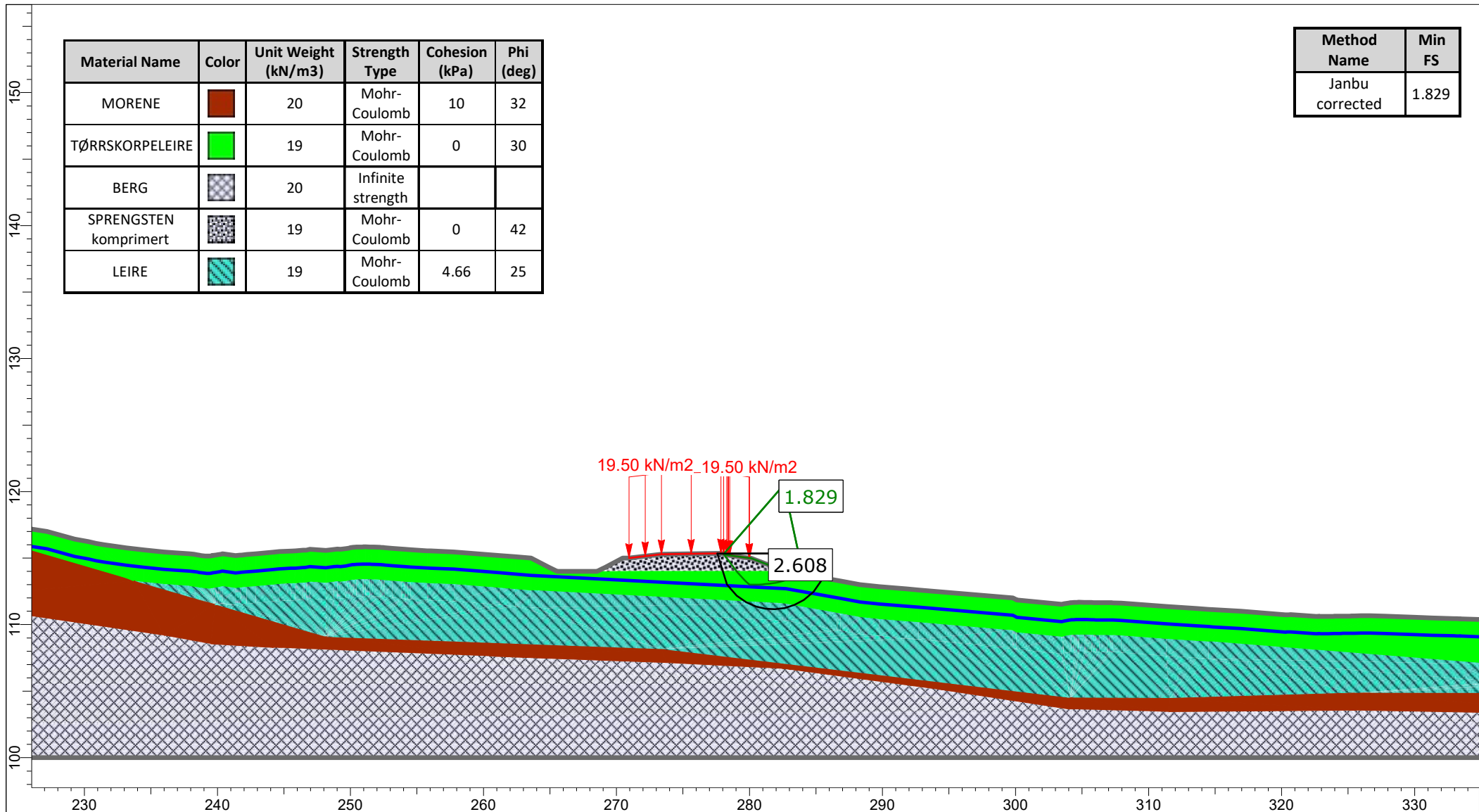
SLIDEINTERPRET 9.007



# UNA-00-A-10074 Vedlegg C Stabilitetsanalyser

Material Name	Color	Unit Weight (kN/m <sup>3</sup> )	Strength Type	Cohesion (kPa)	Phi (deg)
MORENE		20	Mohr-Coulomb	10	32
TØRRSKORPELEIRE		19	Mohr-Coulomb	0	30
BERG		20	Infinite strength		
SPRENGSTEN komprimert		19	Mohr-Coulomb	0	42
LEIRE		19	Mohr-Coulomb	4.66	25

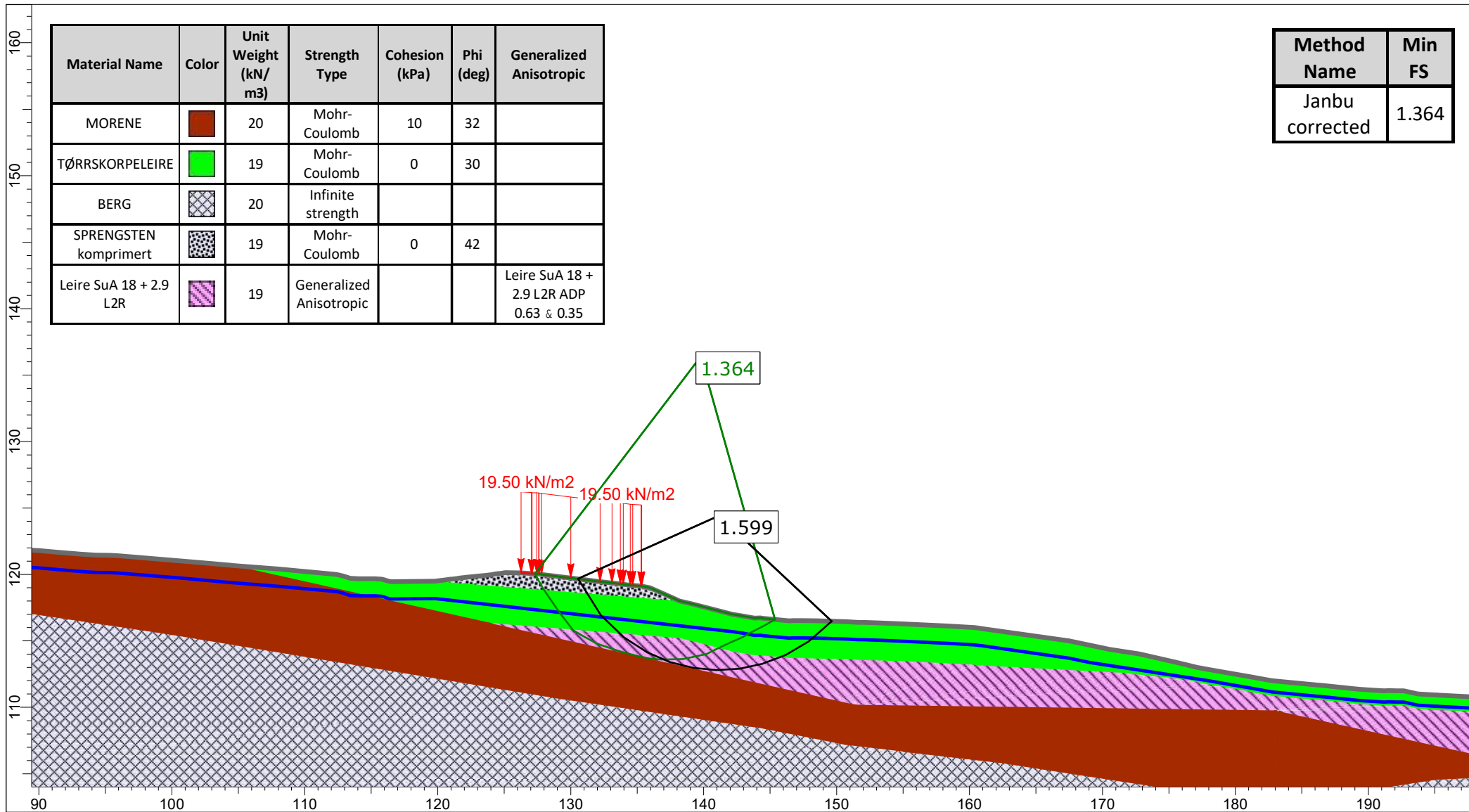
Method Name	Min FS
Janbu corrected	1.829



Project		900078 - Hensetting Ski Syd og ny avgrensing Ostre linje, Utredning av omraadestabilitet	
Analysis Description		Effektivspenningsanalyse. Dagens situasjon. Omraadestabilitet.	
Drawn By	CHKS	Scale	1:400
Company		Niras Norge AS	
Date	17.12.2021	File Name	O6-08-A.slmd

SLIDEINTERPRET 9.007

# UNA-00-A-10074 Vedlegg C Stabilitetsanalyser



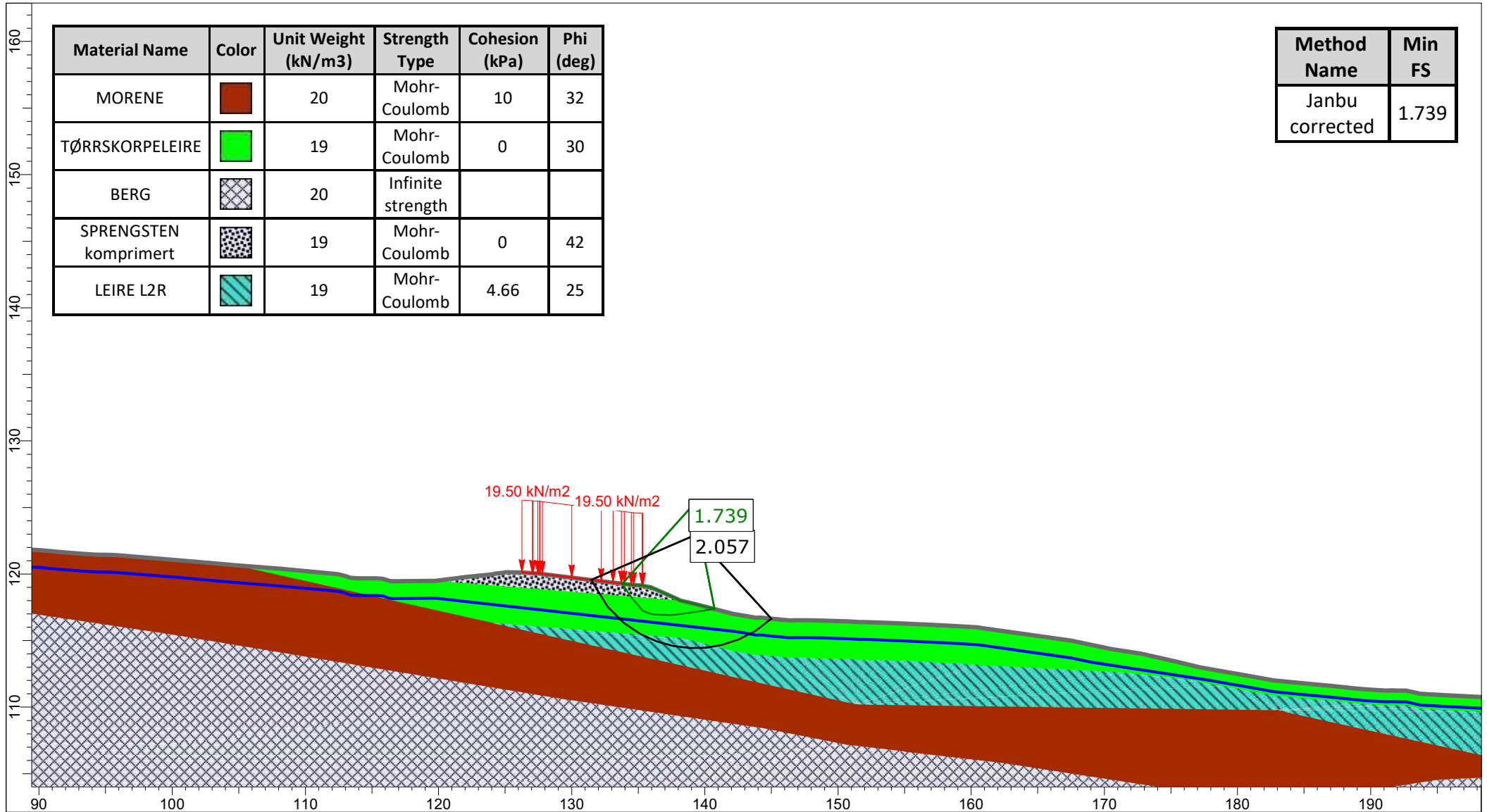
Material Name	Color	Unit Weight (kN/m <sup>3</sup> )	Strength Type	Cohesion (kPa)	Phi (deg)	Generalized Anisotropic
MORENE		20	Mohr-Coulomb	10	32	
TØRRSKORPELEIRE		19	Mohr-Coulomb	0	30	
BERG		20	Infinite strength			
SPRENGSTEN komprimert		19	Mohr-Coulomb	0	42	
Leire SuA 18 + 2.9 L2R		19	Generalized Anisotropic			Leire SuA 18 + 2.9 L2R ADP 0.63 & 0.35


Method Name	Min FS
Janbu corrected	1.364

	Project			900078 - Hensetting Ski Syd og ny avgrensing Ostre linje, Utredning av omraadestabilitet								
	Analysis Description						Totalspenningsanalyse. Dagens situasjon. Omraadestabilitet. Last fra veg.					
	Drawn By		CHKS		Scale		1:400		Company		Niras Norge AS	
	Date		17.12.2021				File Name		O6-08-B.sldm			

SLIDEINTERPRET 9.007

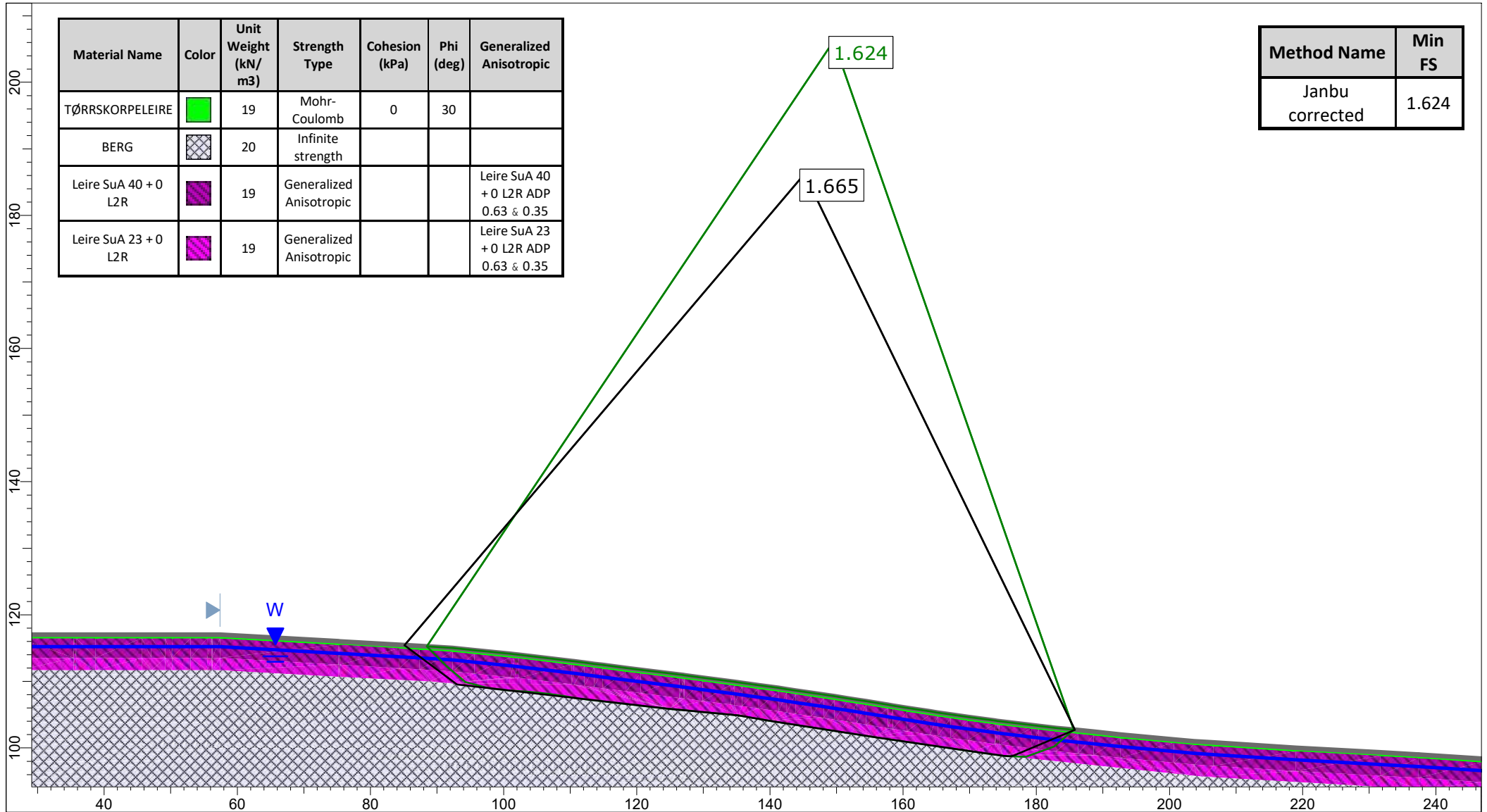
# UNA-00-A-10074 Vedlegg C Stabilitetsanalyser




	Project			900078 - Hensetting Ski Syd og ny avgrensing Ostre linje, Utredning av områdestabilitet											
	Analysis Description						Effektivspenningsanalyse. Dagens situasjon. Områdestabilitet.								
	Drawn By		CHKS		Scale		1:400		Company		Niras Norge AS				
	Date				17.12.2021				File Name				O6-08-B.sldm		

SLIDEINTERPRET 9.007

# UNA-00-A-10074 Vedlegg C Stabilitetsanalyser



	<b>Project</b> 900078 - Hensetting Ski Syd og ny avgrensing Ostre linje, Utredning av områdestabilitet		
	<b>Analysis Description</b> Totalspenningsanalyse. Dagens situasjon. Områdestabilitet.		
	<b>Drawn By</b> CHKS	<b>Scale</b> 1:800	<b>Company</b> Niras Norge AS
	<b>Date</b> 17.12.2021		<b>File Name</b> O6-10-A.sldm

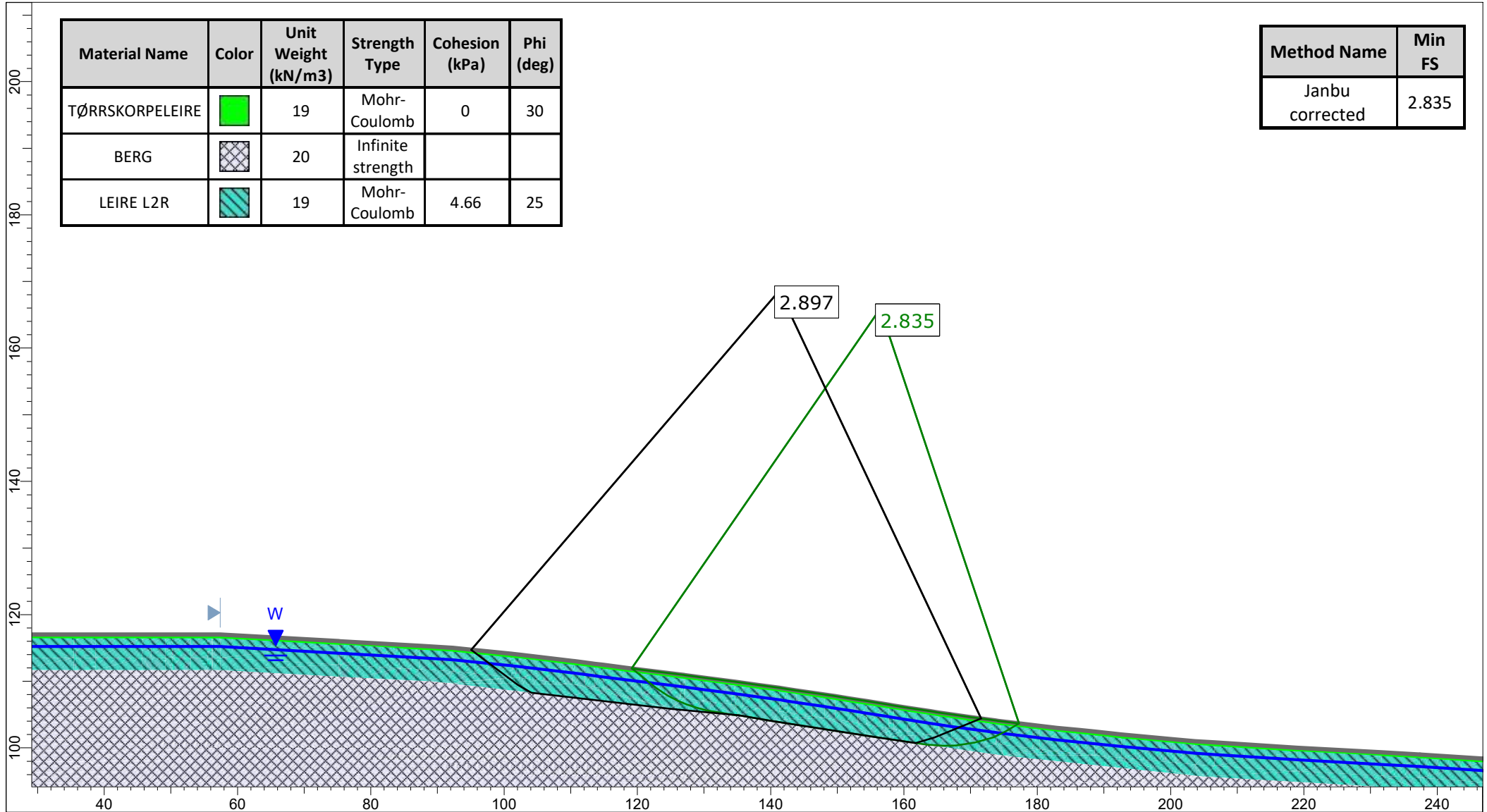
SLIDEINTERPRET 9.007



# UNA-00-A-10074 Vedlegg C Stabilitetsanalyser

Material Name	Color	Unit Weight (kN/m3)	Strength Type	Cohesion (kPa)	Phi (deg)
TØRRSKORPELEIRE		19	Mohr-Coulomb	0	30
BERG		20	Infinite strength		
LEIRE L2R		19	Mohr-Coulomb	4.66	25

Method Name	Min FS
Janbu corrected	2.835



SLIDEINTERPRET 9.007

Project			
900078 - Hensetting Ski Syd og ny avgrensing Ostre linje, Utredning av områdestabilitet			
Analysis Description			
Effektivspenningsanalyse. Dagens situasjon. Områdestabilitet.			
Drawn By	CHKS	Scale	1:800
		Company	Niras Norge AS
Date	17.12.2021		File Name
		O6-10-A.slmd	



## Vedlegg D (Tabell m. sprøbrudd/ikke sprøbrudd og begrunnelse)

ID	Rapport	Område	Totalsondering (m boret i løsninger)	CPTu (x hvis ja)	Prøvetaking Ø54 (stk)	Prøvetaking naver (stk)	St (-)	c <sub>u,r</sub> fastlagt etter NS8015 eller ISO- 17892-6:2017	c <sub>u,r</sub> (kPa)	Påvist kvikkleire eller sprøbruddmateriale	Mulig sprøbruddmateriale	Mest sannsynlig ikke sprøbruddmateriale	Ikke sprøbrudd- materiale	Merknad
1	MIP-00-V-00048	O1	3.8									x		
2	MIP-00-V-00048	O1	4.5								x			
3	MIP-00-V-00048	O1	2.6									x		
4	MIP-00-V-00048	O1	3.9									x		
5	MIP-00-V-00048	O1	1.8									x		
8	MIP-00-V-00048	O1	3.4									x		
110	MIP-00-V-00048	O1	2.2									x		
A1000	MIP-00-A-04455	O1	3.8	x	2		1 - 90	ISO	< 1.27	x				CPTu-data indikerer ikke sprøbruddmateriale. Konus viser veldig tynt lag med omrørt skjærstyrke < 1,27 kPa (ISO)
A1001	MIP-00-A-04455	O1	3.8									x		
A1002	MIP-00-A-04455	O1	2.1									x		
A1003	MIP-00-A-04455	O1	3.3			2					x			
A1004	MIP-00-A-04455	O1	2.0									x		
A1005	MIP-00-A-04455	O1	5.4								x			
A1006	MIP-00-A-04455	O1	4.8		2		4 - 11	ISO	> 1.27				x	Tynt lag med bløt leire, ikke sprøbrudd
A1007	MIP-00-A-04455	O1	4.4	x	2		3 - 27	ISO	< 1.27	x				CPTu-data indikerer ett lag på ca. 10 cm med mulig sprøbruddmateriale. Konus viser veldig tynt lag med omrørt skjærstyrke < 1,27 kPa (ISO)
A1008	MIP-00-A-04455	O1	3.7									x		
A102	MIP-00-A-04455	O1	3.8									x		
A106	MIP-00-A-04455	O1	8.5		2	1	6 -11	ISO	> 1.27		x			1 m lag med bløt leire fra 4-5 m (ikke sprøbruddmateriale). Kan være sprøbruddmateriale fra 5-6 m der det ikke er tatt ut prøver.
A110	MIP-00-A-04455	O1	4.0									x		
A1110	MIP-00-A-04455	O1	2.4									x		
A1117	MIP-00-A-04455	O1	4.9		2		13-17	ISO	> 1.27				x	Konus bekrefter at det ikke er tale om sprøbruddmateriale (ligger rett på vippen).
A112	MIP-00-A-04455	O1	3.9									x		
A1120	MIP-00-A-04455	O1	2.9			1						x		
A1131	MIP-00-A-04455	O1	9.1	x	4		4-55	ISO	< 1.27	x				Konus påviser forekomst av sprøbruddmateriale fra 4m og nedover (enkelte lag rett på grensen til kvikkleire).
A1133	MIP-00-A-04455	O1	9.4	x	4		8-68	ISO	< 1.27	x				Konus påviser forekomst av sprøbruddmateriale fra 4m og nedover (enkelte lag rett på grensen til kvikkleire).
A1134	MIP-00-A-04455	O1	4.7			3						x		
A1135	MIP-00-A-04455	O1	4.1		1	2		ISO					x	Naverprøve som er tatt ut i laget som ser bløtest ut på totalsonderingsprofilen beskrives som sandig, siltig, grusig, leirig. Trolig ikke tale om sprøbruddmateriale her!
A1155	MIP-00-A-04455	O1	3			2							x	
A117	MIP-00-A-04455	O1	4.1			3							x	
A119	MIP-00-A-04455	O1	3.1										x	
A120	MIP-00-A-04455	O1	2.8			2							x	
A122	MIP-00-A-04455	O1	3.3									x		
A124	MIP-00-A-04455	O1	1.9										x	
A125	MIP-00-A-04455	O1	2.8										x	
A127	MIP-00-A-04455	O1	2.4										x	
A129	MIP-00-A-04455	O1	1.3										x	
A130	MIP-00-A-04455	O1	3.5										x	
A131	MIP-00-A-04455	O1	2.2										x	
A133	MIP-00-A-04455	O1	2.1										x	
A136	MIP-00-A-04455	O1	1.0										x	
A155	MIP-00-A-04455	O1	3.0										x	
A156	MIP-00-A-04455	O1	2.6										x	
A158	MIP-00-A-04455	O1	3.9			2							x	
A160	MIP-00-A-04455	O1	2.8										x	
A161	MIP-00-A-04455	O1	2.9										x	
A162	MIP-00-A-04455	O1	1.6										x	
A163	MIP-00-A-04455	O1	1.7										x	
A165	MIP-00-A-04455	O1	4.1										x	
A166	MIP-00-A-04455	O1	5.3										x	
A167	MIP-00-A-04455	O1	8.0										x	
A169	MIP-00-A-04455	O1	6.5										x	
A170	MIP-00-A-04455	O1	5.2		1		3 - 8	ISO	> 1.27				x	Ømrørt skjærstyrke > 15 kPa
A173	MIP-00-A-04455	O1	7.7			4							x	
A177	MIP-00-A-04455	O1	5.2										x	
A179	MIP-00-A-04455	O1	2.8			3							x	
A181	MIP-00-A-04455	O1	3.6										x	

## Vedlegg D (Tabell m. sprøbrudd/ikke sprøbrudd og begrunnelse)

ID	Rapport	Område	Totalsondering (m boret i løsninger)	CPTu (x hvis ja)	Prøvetaking Ø54 (stk)	Prøvetaking naver (stk)	St (-)	c <sub>u,r</sub> fastlagt etter NS8015 eller ISO- 17892-6:2017	c <sub>u,r</sub> (kPa)	Påvist kvikkleire eller sprøbruddmateriale	Mulig sprøbruddmateriale	Mest sannsynlig ikke sprøbruddmateriale	Ikke sprøbrudd- materiale	Merknad
A182	MIP-00-A-04455	O1	1.7									x		
A183	MIP-00-A-04455	O1	1.7									x		
A185	MIP-00-A-04455	O1	3.5			2					x			
A187	MIP-00-A-04455	O1	2.5									x		
A190	MIP-00-A-04455	O1	4.2								x			
A191	MIP-00-A-04455	O1	5.3			3						x		
A193	MIP-00-A-04455	O1	3.1			3					x			
A194	MIP-00-A-04455	O1	3.1									x		
A195	MIP-00-A-04455	O1	4.4	x		1					x			Veldig kort CPTu. Ikke ført gjennom det bløte lag som totalsonderingen indikerer rett over berg.
A197	MIP-00-A-04455	O1	7.2		2		5 - 13	ISO	< 1.27	x				Konus viser sprøbruddmateriale fra 4 m og nedover
A200	MIP-00-A-04455	O1	5.7			3					x			
A202	MIP-00-A-04455	O1	3.0								x			
A203	MIP-00-A-04455	O1	6.6								x			
A207	MIP-00-A-04455	O1	7.0								x			
A208	MIP-00-A-04455	O1	7.2	x	2		4 - 13	ISO	> 1.27		x			NIFS 2015 (Bq1-Nmc) gir ikke utslag på sprøbruddmateriale men NIFS 2015 (Rfu-Nmc) gir utslag på to lag med mulig sprøbruddmateriale på ca. 0,4 meter. Konus indikerer omrørt skjærstyrke veldig nærmere grensen for sprøbrudd. Kan være sprøbruddmateriale fra 6-7 m der det ikke er tatt ut prøver.
A209	MIP-00-A-04455	O1	1.8									x		
A212	MIP-00-A-04455	O1	3.1									x		
A214	MIP-00-A-04455	O1	3.2			2						x		
A215	MIP-00-A-04455	O1	10.2	x								x		CPTu-data gir ingen indikasjon på sprøbruddmateriale.
1	MIP-00-A-04455	O2	3.9									x		
2	MIP-00-A-04455	O2	7.95	x						x				NIFS 2015 (Bq1-Nmc) og NIFS 2015 (Rfu-Nmc) gir begge utslag på mulig sprøbruddmateriale fra ca. 5.8 - 7.5 meters dyp.
3	MIP-00-A-04455	O2	4.35									x		
4	MIP-00-A-04455	O2	4.10		2		4-7	ISO	> 1.27			x		Konus avviser forekomst av sprøbruddmateriale.
5	MIP-00-A-04455	O2	12.52								x			
6	MIP-00-A-04455	O2	8.40	x	2		7-10	ISO		x				NIFS 2015 (Bq1-Nmc) og NIFS 2015 (Rfu-Nmc) gir begge utslag på mulig sprøbruddmateriale fra ca. 4.5 meter ned til slutt.
7	MIP-00-A-04455	O2	4.15									x		
8	MIP-00-A-04455	O2	6.60	x	3		7-13	ISO		x				NIFS 2015 (Bq1-Nmc) gir utslag på mulig sprøbruddmateriale fra ca. 5.7 - 5.9 meters dyp. NIFS 2015 (Rfu-Nmc) indikerer tre lag med mulig sprøbrudd mellom 4.3 m til slutt. Omrørt skjærstyrke er målt til å ligge over 2 kPa i dybde 5-6 meter under terreng.
9	MIP-00-V-00048	O2	5.5									x		
9	MIP-00-A-04455	O2	12.07								x			
10	MIP-00-V-00048	O2	11.0	x	2		8 - 11	ISO	> 1.27			x		CPTu indikerer mulig sprøbruddmateriale to lag mellom 7.3-9.5 m. Det er tatt 2 sylindrer i det dybdeintervallet og forsøk har ikke påvist sprøbruddmateriale.
10	MIP-00-A-04455	O2	4.10									x		
11	MIP-00-A-04455	O2	7.45	x						x				NIFS 2015 (Bq1-Nmc) gir utslag på to tynne lag mulig sprøbruddmateriale fra ca. 5 - 5.1 meters dyp og 5.5 - 5.7 meters dyp.
11	MIP-00-V-00048	O2	22.10								x			
12	MIP-00-V-00048	O2	11.4	x	4		12 - 48	ISO	< 1.27	x				CPTu indikerer et lag med mulig sprøbruddmateriale med ca. 1m mektighet som starter ved 5 meters dyp og sprøbruddmateriale fra 7,8 m og nedover. Konus verifiserer forekomst.
13	MIP-00-V-00048	O2	10.5	x	3		12 - 194	ISO	< 0.33	x				CPTu indikerer mulig sprøbruddmateriale og sannsynlig kvikkleire fra 3,3 m og nedover. Konus verifiserer forekomst.
14	MIP-00-V-00048	O2	16.1	x	3		13 - 42	ISO	< 1.27	x				CPTu indikerer mulig sprøbruddmateriale i mesteparten av sonderingsdybden. Konus verifiserer forekomst
208	MIP-00-V-00048	O2	9.4								x			
206B	MIP-00-V-00048	O2	3.8									x		
A216	MIP-00-A-04455	O2	3.1									x		
A217	MIP-00-A-04455	O2	2.3									x		
A219	MIP-00-A-04455	O2	3.7									x		
A220	MIP-00-A-04455	O2	7.1									x		
A221	MIP-00-A-04455	O2	3.9									x		
A222	MIP-00-A-04455	O2	7.6									x		
A223	MIP-00-A-04455	O2	8.9	x	3		2 - 7	ISO	> 1.27			x		CPTu-data gir ingen indikasjon på sprøbruddmateriale. Konus bekrefter dette.
A224	MIP-00-A-04455	O2	7.5	x							x			CPTu-data indikerer et tynt lag på 14 cm mulig sprøbruddmateriale ved 6.2 meters dyp.
A225	MIP-00-A-04455	O2	7.8								x			
A226	MIP-00-A-04455	O2	8.3								x			

## Vedlegg D (Tabell m. sprøbrudd/ikke sprøbrudd og begrunnelse)

ID	Rapport	Område	Totalsondering (m boret i løsmasser)	CPTu (x hvis ja)	Prøvetaking $\phi 54$ (stk)	Prøvetaking naver (stk)	St (-)	$c_{ur}$ fastlagt etter NS8015 eller ISO-17892-6:2017	$c_{ur}$ (kPa)	Påvist kvikkleire eller sprøbruddmateriale	Mulig sprøbruddmateriale	Mest sannsynlig ikke sprøbruddmateriale	Ikke sprøbruddmateriale	Merknad
A227	MIP-00-A-04455	O2	7.7	x	1		7 - 13	ISO	> 1.27		x			CPTu-data gir indikasjon på to tynne lag med sprøbruddmateriale. Lagene har en tykkelse på 2 og 16 cm. Ingen sylinderprøver har blitt tatt i de aktuelle dybdene.
A229	MIP-00-A-04455	O2		x	2		12 - 236	ISO	< 0.33	x				CPTu-data gir indikasjon på flere lag med sprøbruddmateriale og kvikkleire. Konus bekrefter forekomst av kvikkleire.
A230	MIP-00-A-04455	O2	5.7								x			
A231	MIP-00-A-04455	O2	9.9	x	2		3-13	ISO	> 1.27			x		CPTu-data gir ingen indikasjon på sprøbruddmateriale. Konus viser tynt lag av bløt leire rundt 6,5 m
A233	MIP-00-A-04455	O2	8.9								x			
A234	MIP-00-A-04455	O2	13.3	x	3		12 - 29	ISO	< 1.27	x				CPTu-data indikerer sprøbruddmateriale stedvis mellom dybde 3,6-12,7 m. Konus bekrefter dette.
A236	MIP-00-A-04455	O2	23.9								x			
A237	MIP-00-A-04455	O2	17.5	x							x			NIFS 2015 (bqi-Nmc) gir ikke utslag på sprøbruddmateriale, men NIFS 2015 (Rfu-Nmc) gir utslag på 4 lag med mulig sprøbruddmateriale.
A238	MIP-00-A-04455	O2	27.6								x			
A239	MIP-00-A-04455	O2	26.5								x			
A240	MIP-00-A-04455	O2	1.4									x		
A241	MIP-00-A-04455	O2	20.7	x	4		13 - 266	ISO	< 0.33	x				Kvikkleire påvist med konus i dybde 3,4 m, 7,55 m og 10,5 m. CPTu-data indikerer mulig sprøbruddmateriale og sannsynlig kvikkleire fra 6 m og nedover, samt et lag på 1,1 m ved dybde 2,7 m.
A242	MIP-00-A-04455	O2	12.1								x			
A243	MIP-00-A-04455	O2	12.8								x			
A244	MIP-00-A-04455	O2	4.4	x	2		2-7	ISO	> 1.27			x		CPTu-data indikerer mulig sprøbruddmateriale i dybde 3,9 m og nedover. Konus viser at det ikke er tale om sprøbruddmateriale (omrørt skjærstyrke i de bløte massene rundt 1,4-1,8 og St rundt 4-7)
A245	MIP-00-A-04455	O2	25.7	x							x			CPTu-data indikerer mulig sprøbruddmateriale i dybde 5-25 m.
A246	MIP-00-A-04455	O2	12.1	x	4		4-118	ISO	< 0.33	x				CPTu-data indikerer mulig sprøbruddmateriale og sannsynlig kvikkleire fra dybde 3,6 m og nedover. Konus bekrefter forekomst av kvikkleire
A247	MIP-00-A-04455	O2	13.5								x			
A248	MIP-00-A-04455	O2	4.8			3					x			
A249	MIP-00-A-04455	O2	15.9								x			
A250	MIP-00-A-04455	O2	17.2								x			
A251	MIP-00-A-04455	O2	11.4	x							x			CPTu-data indikerer mulig sprøbruddmateriale fra 7,5 m og noen tynne lag ved 6,2 meters dyp.
A252	MIP-00-A-04455	O2	14.9	x							x			CPTu-data indikerer mulig sprøbruddmateriale fra 6,5 og nedover.
A253	MIP-00-A-04455	O2	16								x			
A254	MIP-00-A-04455	O2	8								x			
A255	MIP-00-A-04455	O2	20	x							x			CPTu-data indikerer mulig sprøbruddmateriale fra 6,0 - 18,1 m.
A256	MIP-00-A-04455	O2	18.4								x			
A257	MIP-00-A-04455	O2	12								x			
A258	MIP-00-A-04455	O2	14.6								x			
E100	MIP-00-A-04455	O2	1.6			1						x		Mindre enn 2 m løsmassemekktighet
E115	MIP-00-A-04455	O2	11.5	x	2		2-12	ISO	< 1.27	x				NIFS 2015 (Bq1-Nmc) gir ikke utslag på sprøbruddmateriale men NIFS 2015 (Rfu-Nmc) gir utslag på ett lag på 4,7 m og noen tynne lag ved større dybde. Konus bekrefter forekomst av sprøbruddmateriale.
E121	MIP-00-A-04455	O2	1.3									x		Mindre enn 2 m løsmassemekktighet
E122	MIP-00-A-04455	O2	7.2			3					x			
NGI4	MIP-00-V-00048	O2	25.7								x			
21	MIP-00-V-00048	O3	7.8								x			
27	MIP-00-V-00048	O3	3.1									x		
70	MIP-00-A-04455	O3	9.50									x		
71	MIP-00-A-04455	O3	8.93									x		
72	MIP-00-A-04455	O3	15.23								x			
74	MIP-00-A-04455	O3	3.17									x		
76	MIP-00-A-04455	O3	2.83									x		
77	MIP-00-A-04455	O3	2.90									x		
111	MIP-00-V-00048	O3	2.7									x		
112	MIP-00-V-00048	O3	1.8									x		
113	MIP-00-V-00048	O3	4.1								x			
117	MIP-00-V-00048	O3	5.3									x		
209	MIP-00-V-00048	O3	1.3									x		
21B	MIP-00-V-00048	O3	5.2								x			
A268	MIP-00-A-04455	O3	1									x		Mindre enn 2 m løsmassemekktighet
A269	MIP-00-A-04455	O3	2.8			2						x		
A270	MIP-00-A-04455	O3	1.2									x		Mindre enn 2 m løsmassemekktighet
A273	MIP-00-A-04455	O3	3.8									x		

## Vedlegg D (Tabell m. sprøbrudd/ikke sprøbrudd og begrunnelse)

ID	Rapport	Område	Totalsondering (m boret i løsmasser)	CPTu (x hvis ja)	Prøvetaking $\phi$ 54 (stk)	Prøvetaking naver (stk)	St (-)	$c_{u,r}$ fastlagt etter NS8015 eller ISO-17892-6:2017	$c_{u,r}$ (kPa)	Påvist kvikkleire eller sprøbruddmateriale	Mulig sprøbruddmateriale	Mest sannsynlig ikke sprøbruddmateriale	Ikke sprøbruddmateriale	Merknad
A278	MIP-00-A-04455	O3	3.5			2						x		
A280	MIP-00-A-04455	O3	3.7										x	Slag/spyling/økt rotasjon med unntak av øverste meteren
A285	MIP-00-A-04455	O3	1.1										x	Mindre enn 2 m løsmassemekthet
A286	MIP-00-A-04455	O3	6.8	x		3					x			CPTu-data indikerer et 30 cm tykt lag med mulig sprøbruddmateriale ved dybde 5,5 m.
A287	MIP-00-A-04455	O3	11								x			
A288	MIP-00-A-04455	O3	15.5								x			
A289	MIP-00-A-04455	O3	2.5								x			
A291	MIP-00-A-04455	O3	4.1			3						x		
A292	MIP-00-A-04455	O3	1.3										x	Mindre enn 2 m løsmassemekthet
A294	MIP-00-A-04455	O3	1.3										x	Mindre enn 2 m løsmassemekthet
A295	MIP-00-A-04455	O3	1.3										x	Mindre enn 2 m løsmassemekthet
A296	MIP-00-A-04455	O3	1.9										x	Mindre enn 2 m løsmassemekthet
A298	MIP-00-A-04455	O3	0.7										x	Mindre enn 2 m løsmassemekthet
A299	MIP-00-A-04455	O3	5.1	x		4					x			
A301	MIP-00-A-04455	O3	3.6									x		
A303	MIP-00-A-04455	O3	4.4										x	
A308	MIP-00-A-04455	O3	6.5			3							x	Vanninnhold under flytegrensen
A311	MIP-00-A-04455	O3	1.3										x	
A313	MIP-00-A-04455	O3	4.3								x			
A314	MIP-00-A-04455	O3	5.2								x			
A315	MIP-00-A-04455	O3	3.6									x		
A317	MIP-00-A-04455	O3	6.2			4					x			Vanninnhold under flytegrensen
H101	MIP-00-A-04455	O3	1.4										x	Mindre enn 2 m løsmassemekthet
H102	MIP-00-A-04455	O3	2.1										x	Lite løsmassemekthet.
H103	MIP-00-A-04455	O3	1.3			1							x	Mindre enn 2 m løsmassemekthet
H105	MIP-00-A-04455	O3	3.1										x	
H106	MIP-00-A-04455	O3	2.3										x	Lite løsmassemekthet.
H109	MIP-00-A-04455	O3	1										x	Mindre enn 2 m løsmassemekthet
H111	MIP-00-A-04455	O3	3.3										x	
H112	MIP-00-A-04455	O3	3.5			2							x	
H113	MIP-00-A-04455	O3	11.6	x	4		5-12	ISO	< 1.27	x				CPTu-data indikerer mulig sprøbruddmateriale fra dybde 6,3 m og nedover. Konus bekrefter forekomst av sprøbruddmateriale
H113-1	MIP-00-A-04455	O3	15.9	x	4		11-34	ISO	< 0.33	x				CPTu-data indikerer mulig sprøbruddmateriale og sannsynlig kvikkleire fra dybde 4,5 m. Øvre lag består av torv med vanninnhold inntil 900%. Konus bekrefter forekomst av kvikkleire og sprøbruddmateriale.
H113-2	MIP-00-A-04455	O3	6	x							x			CPTu-data gir ingen indikasjon på sprøbruddmateriale (trolig feil på CPT-data, totalsondering indikerer veldig bløte masser!).
H114	MIP-00-A-04455	O3	11.8								x			
H115	MIP-00-A-04455	O3	6.2	x							x			CPTu-data indikerer mulig sprøbruddmateriale fra dybde 5.4 m (trolig feil på CPT-data, totalsondering indikerer veldig bløte masser i hele intervallet!).
H116	MIP-00-A-04455	O3	1.9										x	Mindre enn 2 m løsmassemekthet
H118	MIP-00-A-04455	O3	4		1		6 - 9	ISO	> 1.27				x	Tørrskorpe til berg. Trolig ikke tale om noe sprøbruddmateriale her!
H120	MIP-00-A-04455	O3	1.9										x	
H121	MIP-00-A-04455	O3	2.6										x	
H122	MIP-00-A-04455	O3	1.9										x	
H125	MIP-00-A-04455	O3	3.6										x	
H126	MIP-00-A-04455	O3	2										x	
H130	MIP-00-A-04455	O3	0.9										x	
H132	MIP-00-A-04455	O3	5.1		2	3	3 - 17	ISO	> 1.27				x	Prøver indikerer fyllmasser av sand over tørrskorpe til berg. Trolig ikke tale om noe
H133	MIP-00-A-04455	O3	1.1										x	
H134	MIP-00-A-04455	O3	3										x	
H136	MIP-00-A-04455	O3	2.2										x	
H137	MIP-00-A-04455	O3	3.6			3							x	
H139	MIP-00-A-04455	O3	4.1			3							x	
H140	MIP-00-A-04455	O3	1.7										x	
H141	MIP-00-A-04455	O3	3.1										x	
H142	MIP-00-A-04455	O3	4			4							x	
H145	MIP-00-A-04455	O3	3.9										x	
H147	MIP-00-A-04455	O3	1.2										x	
H148	MIP-00-A-04455	O3	2.4			2							x	

## Vedlegg D (Tabell m. sprøbrudd/ikke sprøbrudd og begrunnelse)

ID	Rapport	Område	Totalsondering (m boret i løsmasser)	CPTu (x hvis ja)	Prøvetaking Ø54 (stk)	Prøvetaking naver (stk)	St (-)	c <sub>u,r</sub> fastlagt etter NS8015 eller ISO-17892-6:2017	c <sub>u,r</sub> (kPa)	Påvist kvikkleire eller sprøbruddmateriale	Mulig sprøbruddmateriale	Mest sannsynlig ikke sprøbruddmateriale	Ikke sprøbruddmateriale	Merknad
H150	MIP-00-A-04455	O3	2.7									x		
H151	MIP-00-A-04455	O3	3.6									x		
H153	MIP-00-A-04455	O3	1.4									x		
H154	MIP-00-A-04455	O3	4.8			3						x		
H155	MIP-00-A-04455	O3	3.8									x		
H156	MIP-00-A-04455	O3	1.9									x		
H157	MIP-00-A-04455	O3	3.8			3						x		
H160	MIP-00-A-04455	O3	3.1			3						x		
H166	MIP-00-A-04455	O3	2.9									x		
H171	MIP-00-A-04455	O3	1.2										x	Mindre enn 2 m løsmassemektighet
H172	MIP-00-A-04455	O3	6.5	x	3	2	4-17	ISO	> 1.27				x	CPTu-data gir ingen indikasjon på sprøbruddmateriale. Konus bekrefter at det ikke er tale om sprøbruddmateriale.
H173	MIP-00-A-04455	O3	2.9									x		
H174	MIP-00-A-04455	O3	3			3						x		
H175	MIP-00-A-04455	O3	2.2									x		Lite løsmassemektighet.
H176	MIP-00-A-04455	O3	4.4	x	1	1	2-5	ISO	> 1.27				x	Konus bekrefter at det ikke er tale om sprøbruddmateriale.
H177	MIP-00-A-04455	O3	1.7										x	Mindre enn 2 m løsmassemektighet
H178	MIP-00-A-04455	O3	5.5	x	3		4-17	ISO	> 1.27				x	NIFS 2015 (bq1-Nmc) gir ikke utslag på sprøbruddmateriale, men NIFS 2015 (Rfu-Nmc) gir utslag på et 4 cm tykt lag med mulig sprøbruddmateriale fra dybde 1,1 m. Konus bekrefter at det ikke er tale om sprøbruddmateriale.
H179	MIP-00-A-04455	O3	1										x	Mindre enn 2 m løsmassemektighet
H180	MIP-00-A-04455	O3	3.4									x		
H181	MIP-00-A-04455	O3	0.7										x	Mindre enn 2 m løsmassemektighet
H182	MIP-00-A-04455	O3	3.5									x		
H183	MIP-00-A-04455	O3	7.8	x	3		11-23	ISO	< 1.27	x				CPTu-data indikerer ikke sprøbruddmateriale. Sprøbruddmateriale påvist med konus fra 4 m og nedover.
H184	MIP-00-A-04455	O3	1.5										x	Mindre enn 2 m løsmassemektighet
H185	MIP-00-A-04455	O3	5.9								x			
H186	MIP-00-A-04455	O3	2.9									x		
H187	MIP-00-A-04455	O3	6	x	3		3-21	ISO	> 1.27				x	CPTu-data indikerer ikke sprøbruddmateriale. Konus bekrefter at det ikke er tale om sprøbruddmateriale.
H188	MIP-00-A-04455	O3	0.9										x	Mindre enn 2 m løsmassemektighet
H189	MIP-00-A-04455	O3	4			2					x			
H190	MIP-00-A-04455	O3	5.4			4						x		
H191	MIP-00-A-04455	O3	3.1									x		
20	MIP-00-A-04455	O4	5.50		3		6-18	ISO	> 1.27				x	Konus avviser forekomst av sprøbruddmateriale.
21	MIP-00-A-04455	O4	13.90	x										NIFS 2015 (Bq1-Nmc) og NIFS 2015 (Rfu-Nmc) gir begge utslag på mulig sprøbruddmateriale fra ca. 7.8 meter ned til avsluttet sondering.
22	MIP-00-V-00048	O4	1.2									x		
22	MIP-00-A-04455	O4	9.00	x	4		18-34	ISO	< 1.27	x				NIFS 2015 (Bq1-Nmc) og NIFS 2015 (Rfu-Nmc) gir begge utslag på mulig sprøbruddmateriale fra 2.3 meter ned til avsluttet sondering. Konus fra 3 - 5 m dyp og 7 - 8 bekrefter forekomst av sprøbruddmateriale.
23	MIP-00-V-00048	O4	13.4	x										CPTu indikerer sannsynlig kvikkleire og mulig sprøbruddmateriale fra 2,1 meters dyp og nedover samtidig som totalsondering indikerer veldig lav motstand
24	MIP-00-A-04455	O4	18.60	x	5		8-50	ISO	< 1.27	x				NIFS 2015 (Bq1-Nmc) gir utslag på mulig sprøbruddmateriale fra ca. 8 meter ned til avsluttet sondering. Konus indikerer sprøbruddmateriale fra ca. 2 - 7 meter
25	MIP-00-A-04455	O4	2.97									x		
26	MIP-00-A-04455	O4	4.38									x		
27	MIP-00-A-04455	O4	5.25	x	3		6-9	ISO	> 1.27					NIFS 2015 (Bq1-Nmc) og NIFS 2015 (Rfu-Nmc) gir begge utslag på ett tynt lag mulig sprøbruddmateriale fra ca. 4.7 - 5.1 meters dyp. Det er ingen konus innenfor sonen.
28	MIP-00-A-04455	O4	7.18									x		
29	MIP-00-A-04455	O4	6.90	x	3		4-10	ISO	> 1.27				x	NIFS 2015 (Bq1-Nmc) og NIFS 2015 (Rfu-Nmc) indikerer begge at det ikke forekommer sprøbruddmateriale i sonderingen. Konus indikerer også ingen sprøbruddmateriale.
30	MIP-00-A-04455	O4	2.75									x		
31	MIP-00-A-04455	O4	12.30	x									x	NIFS 2015 (Bq1-Nmc) og NIFS 2015 (Rfu-Nmc) indikerer begge en tynn sone mulig sprøbruddmateriale, tolket som grønn grunnet tynn sone og at nærliggende borhull viser lignende masser uten mulig sprøbruddforekomst.
32	MIP-00-A-04455	O4	11.75	x									x	NIFS 2015 (Bq1-Nmc) og NIFS 2015 (Rfu-Nmc) indikerer begge at det ikke forekommer sprøbruddmateriale i sonderingen.
33	MIP-00-A-04455	O4	9.57	x	5		5-25	ISO	< 1.27	x				NIFS 2015 (Bq1-Nmc) og NIFS 2015 (Rfu-Nmc) gir begge utslag på mulig lag med sprøbruddmateriale rundt 3 meters dyp og noen tynnere lag mellom 5.6 - 7 meters dyp.
34	MIP-00-A-04455	O4	6.13									x		
40	MIP-00-A-04455	O4	31.75									x		
41	MIP-00-A-04455	O4	7.03									x		Konusforsøk har målt omrørt skjærfasthet på rundt 2 kPa
42	MIP-00-A-04455	O4	3.60									x		



## Vedlegg D (Tabell m. sprøbrudd/ikke sprøbrudd og begrunnelse)

ID	Rapport	Område	Totalsondering (m boret i løsmasser)	CPTu (x hvis ja)	Prøvetaking $\phi 54$ (stk)	Prøvetaking naver (stk)	St (-)	$c_{u,r}$ fastlagt etter NS8015 eller ISO-17892-6:2017	$c_{u,r}$ (kPa)	Påvist kvikkleire eller sprøbruddmateriale	Mulig sprøbruddmateriale	Mest sannsynlig ikke sprøbruddmateriale	Ikke sprøbruddmateriale	Merknad
43	MIP-00-A-04455	O4	13.93	x	4		14-25	ISO	< 1.27	x				NIFS 2015 (Bq1-Nmc) og NIFS 2015 (Rfu-Nmc) gir begge utslag på mulig sprøbruddmateriale fra 3.7 meter ned til avsluttet sondering. NIFS 2015 (Bq1-Nmc) indikerer i tillegg to tynne lag med sannsynlig kvikkleire rundt 9 og 12 meters dyp,
44	MIP-00-A-04455	O4	13.35								x			
45	MIP-00-A-04455	O4	9.50								x			
211	MIP-00-V-00048	O4	6.7								x			
212	MIP-00-V-00048	O4	6.5	x	3		14 - 28	ISO	< 0.33	x				CPTu indikerer mulig sprøbruddmateriale i flere tynne lag. Konus verifiserer forekomst av kvikkleire og sprøbruddmateriale fra 4 m og nedover.
213	MIP-00-V-00048	O4	3.5									x		
A319	MIP-00-A-04455	O4	1.3									x		
A321	MIP-00-A-04455	O4	6.3		2		15 - 21	ISO	< 1.27	x				Omrørt konus viser sprøbruddmateriale fra 2 m og nedover
A321_A	MIP-00-A-04455	O4	4.3								x			
A321_B	MIP-00-A-04455	O4	4.7								x			
A322	MIP-00-A-04455	O4	3.4									x		
A323	MIP-00-A-04455	O4	10.2								x			
A324	MIP-00-A-04455	O4	5.4	x	2		4-15	ISO	> 1.27				x	CPTu-data gir ingen indikasjon på sprøbruddmateriale. Konus bekrefter dette.
A325	MIP-00-A-04455	O4	6.6									x		
A326	MIP-00-A-04455	O4	1.4									x		
A327	MIP-00-A-04455	O4	3.1									x		
A328	MIP-00-A-04455	O4	4.7									x		
A329	MIP-00-A-04455	O4	2.3									x		
A331	MIP-00-A-04455	O4	18.5								x			
A332	MIP-00-A-04455	O4	1.5									x		
A333	MIP-00-A-04455	O4	2.9									x		
A334	MIP-00-A-04455	O4	2.7									x		
A335	MIP-00-A-04455	O4	8.3	x							x			CPTu-data gir ingen indikasjon på sprøbruddmateriale. CPTu ikke ført gjennom det bløte lag som totalsonderingen indikerer rundt 5-6,5 m.
A336	MIP-00-A-04455	O4	1.6									x		
A337	MIP-00-A-04455	O4	1.5									x		
A338	MIP-00-A-04455	O4	2.5									x		
A340	MIP-00-A-04455	O4	6.4	x							x			CPTu-data gir ingen indikasjon på sprøbruddmateriale. CPTu ikke ført gjennom det bløte lag som totalsonderingen indikerer rundt 4-5 m.
A341	MIP-00-A-04455	O4	0.9									x		
A342	MIP-00-A-04455	O4	0.8									x		
A343	MIP-00-A-04455	O4	1									x		
A345	MIP-00-A-04455	O4	1.6									x		
A346	MIP-00-A-04455	O4	5		1	1	2	ISO	>2				x	Prøvetaking/totalsondering indikerer en lagfølge av tørrskorpeleire og fast morene over berg.
A347	MIP-00-A-04455	O4	3.8									x		
A349	MIP-00-A-04455	O4	7.3								x			
A350	MIP-00-A-04455	O4	6.9	x	1	2	8	ISO	>2				x	CPTu-data gir ingen indikasjon på sprøbruddmateriale. Sonderingen slutter ved dybde 4,1 m. Det er tatt en sylindertest ved 5 meters dyp der totalsonderingen viser lavest motstand. Konus bekrefter at det ikke er tale om sprøbruddmateriale.
A352	MIP-00-A-04455	O4	7.9	x	3		5 - 15	ISO	< 1.27	x				CPTu-data indikerer mulig sprøbruddmateriale i ett lag på 40 cm fra dybde 6,6 meters dybde. Konus bekrefter tynt lag med masser som akkurat klassifiserer som sprøbruddmateriale ( $c_{u,r}=1.24$ ISO)
A354	MIP-00-A-04455	O4	2.9								x			
A356	MIP-00-A-04455	O4	4.5									x		
A358	MIP-00-A-04455	O4	3.6									x		
A360	MIP-00-A-04455	O4	4.3									x		
A362	MIP-00-A-04455	O4	4.7			2						x		
A364	MIP-00-A-04455	O4	3.2									x		
A365	MIP-00-A-04455	O4	3.9									x		
A367	MIP-00-A-04455	O4	8.6	x	2	2	7-23	ISO	> 1.27				x	CPTu-data indikerer mulig sprøbruddmateriale i dybde 4,3-8,0 m. Konus viser at det akkurat ikke er tale om sprøbruddmateriale.
A368	MIP-00-A-04455	O4	6.9								x			
A369	MIP-00-A-04455	O4	6.2	x							x			CPTu-data indikerer ett lag mulig sprøbruddmateriale 22 cm ved 5,9 meters dyp.
A371	MIP-00-A-04455	O4	17.9								x			
A372	MIP-00-A-04455	O4	8								x			
A374	MIP-00-A-04455	O4	8.6								x			

## Vedlegg D (Tabell m. sprøbrudd/ikke sprøbrudd og begrunnelse)

ID	Rapport	Område	Totalsondering (m boret i løsmasser)	CPTu (x hvis ja)	Prøvetaking $\phi 54$ (stk)	Prøvetaking naver (stk)	St (-)	$c_{u,r}$ fastlagt etter NS8015 eller ISO-17892-6:2017	$c_{u,r}$ (kPa)	Påvist kvikkleire eller sprøbruddmateriale	Mulig sprøbruddmateriale	Mest sannsynlig ikke sprøbruddmateriale	Ikke sprøbruddmateriale	Merknad
A375	MIP-00-A-04455	O4	16.2								x			
A376	MIP-00-A-04455	O4	8								x			
A377	MIP-00-A-04455	O4	8.5								x			
A378	MIP-00-A-04455	O4	15.9								x			
A379	MIP-00-A-04455	O4	11.2								x			
A380	MIP-00-A-04455	O4	13.9		3	2	19 - 24	ISO	< 1.27	x				Konus viser sprøbruddmateriale fra 2 m og nedover
A381	MIP-00-A-04455	O4	7.1	x							x			
A382	MIP-00-A-04455	O4	10.3								x			
A383	MIP-00-A-04455	O4	7.5	x	4	2	7 - 35	ISO	< 0.33	x				NIFS 2015 (Bq1-Nmc) gir ikke utslag på sprøbruddmateriale men NIFS 2015 (Rfu-Nmc) gir utslag på sprøbruddmateriale fra 2,5 - 4,3 m og fra 5,8 - 6,7 m. Konus viser sprøbruddmateriale og kvikkleire fra 2 m og nedover
A384	MIP-00-A-04455	O4	7.3								x			
A385	MIP-00-A-04455	O4	11	x	3		6 - 26	ISO	< 1.27	x				CPTu-data indikerer ikke sprøbruddmateriale. Konus viser sprøbruddmateriale fra 2 - 5 m under terreng.
A386	MIP-00-A-04455	O4	5									x		
A387	MIP-00-A-04455	O4	17.8	x	4		6 - 23	ISO	< 1.27	x				CPTu-data indikerer mulig sprøbruddmateriale fra dybde 6,2-11,0 m og et lag med sannsynlig kvikkleire med tykkelse på ca. 10 cm. Sprøbruddsmateriale påvist med konus fra 2 m og nedover.
A388	MIP-00-A-04455	O4	13.2								x			
A389	MIP-00-A-04455	O4	14								x			
A390	MIP-00-A-04455	O4	16	x							x			CPTu-data indikerer tynne lag med mulig sprøbruddmateriale fra dybde 6,7-9,4 m.
A391	MIP-00-A-04455	O4	1.8									x		Mindre enn 2 m løsmassemekthet
A392	MIP-00-A-04455	O4	10.2									x		
A394	MIP-00-A-04455	O4	7.3			5					x			
A395	MIP-00-A-04455	O4	1.6									x		
A397	MIP-00-A-04455	O4	3.7									x		
A398	MIP-00-A-04455	O4	3.8								x			
A399	MIP-00-A-04455	O4	14.5	x							x			CPTu-data indikerer mulig sprøbruddmateriale fra dybde 8,9 til 9,4 m.
A400	MIP-00-A-04455	O4	11.1								x			
A401	MIP-00-A-04455	O4	12.2								x			
A402	MIP-00-A-04455	O4	10.5		3	3	3 - 19	ISO	< 1.27	x				Sprøbruddsmateriale påvist med konus fra 3 m og nedover.
A403	MIP-00-A-04455	O4	12.2								x			
A404	MIP-00-A-04455	O4	11.4								x			
A405	MIP-00-A-04455	O4	13.3								x			
A406	MIP-00-A-04455	O4	10.5									x		
A407	MIP-00-A-04455	O4	9.7								x			
A408	MIP-00-A-04455	O4	7.7		2		6 - 19	ISO	> 1.27			x		Det er tatt en sylindertest ved 4-7 meters dyp der totalsonderingen viser lavest motstand. Konus bekrefter at det ikke er tale om sprøbruddmateriale.
A409	MIP-00-A-04455	O4	7.7								x			
A410	MIP-00-A-04455	O4	7.6			2						x		
A411	MIP-00-A-04455	O4	7.6	x	3		6-13	ISO	> 1.27			x		Feil i CPTu data. Konus bekrefter at det ikke er tale om sprøbruddmateriale.
A412	MIP-00-A-04455	O4	6.9								x			
NGI1	MIP-00-V-00048	O4	12.3	x	3	1	14 - 72	ISO	< 0.33	x				CPTu indikerer mulig sprøbruddmateriale fra 2,5 meters dyp og nedover. Konus verifiserer forekomst av kvikkleire og sprøbruddmateriale fra 5 m og nedover.
24	MIP-00-V-00048	O5	9.3								x			
25	MIP-00-V-00048	O5	4.6									x		
26	MIP-00-V-00048	O5	8.8	x	3		9 - 25	ISO	> 1.27		x			CPTu indikerer mulig sprøbruddmateriale i flere lag langs hele sonderingsdybden. Utførte konus viser $c_{u,r}$ rundt 1,5-2,9 kPa (ISO). Prøvetaking bare utført fra 5-8 m under terreng.
47	MIP-00-A-04455	O5	7.03		5		7-17	ISO	> 1.27			x		Konus avviser forekomst av sprøbruddmateriale.
48	MIP-00-A-04455	O5	11.85		5		4-25	ISO	> 1.27			x		Konus avviser forekomst av sprøbruddmateriale.
54	MIP-00-A-04455	O5	8.85		4		7-26	ISO	> 1.27			x		Konus avviser forekomst av sprøbruddmateriale.
55	MIP-00-A-04455	O5	4.80		3		7-9	ISO	> 1.27			x		Konus avviser forekomst av sprøbruddmateriale.
56	MIP-00-A-04455	O5	3.85		2		6-15	ISO	> 1.27			x		Konus avviser forekomst av sprøbruddmateriale.
57	MIP-00-A-04455	O5	19.17	x	3		7-80	ISO	< 1.27	x				NIFS 2015 (Bq1-Nmc) og NIFS 2015 (Rfu-Nmc) gir begge utslag på mulig lag med sprøbruddmateriale rundt 3.7 meters dyp til avsluttet sondering.
58	MIP-00-A-04455	O5	6.00	x	3		5-15	ISO	> 1.27			x		NIFS 2015 (Bq1-Nmc) og NIFS 2015 (Rfu-Nmc) indikerer begge at det ikke forekommer sprøbruddmateriale i sonderingen. Konus indikerer også ingen sprøbruddmateriale.
59	MIP-00-A-04455	O5	5.00		2		5-6	ISO	> 1.27			x		Konus avviser forekomst av sprøbruddmateriale.
60	MIP-00-A-04455	O5	7.85									x		Totalsondering indikerer like masser som i borpunkt 61 der det ikke er påvist sprøbruddmateriale
61	MIP-00-A-04455	O5	5.90	x	3		3-7	ISO	> 1.27			x		NIFS 2015 (Bq1-Nmc) og NIFS 2015 (Rfu-Nmc) indikerer begge at det ikke forekommer sprøbruddmateriale i sonderingen. Konus indikerer også ingen sprøbruddmateriale.
62	MIP-00-A-04455	O5	7.20									x		

## Vedlegg D (Tabell m. sprøbrudd/ikke sprøbrudd og begrunnelse)

ID	Rapport	Område	Totalsondering (m boret i løsmasser)	CPTu (x hvis ja)	Prøvetaking $\phi 54$ (stk)	Prøvetaking naver (stk)	St (-)	$c_{ur}$ fastlagt etter NS8015 eller ISO-17892-6:2017	$c_{ur}$ (kPa)	Påvist kvikkleire eller sprøbruddmateriale	Mulig sprøbruddmateriale	Mest sannsynlig ikke sprøbruddmateriale	Ikke sprøbruddmateriale	Merknad
63	MIP-00-A-04455	O5	2.50									x		
64	MIP-00-A-04455	O5	4.28									x		
65	MIP-00-A-04455	O5	5.38	x	2		7-25	ISO	> 1.27				x	NIFS 2015 (Bq1-Nmc) og NIFS 2015 (Rfu-Nmc) indikerer begge at det ikke forekommer sprøbruddmateriale i sonderingen. Konus indikerer også ingen sprøbruddmateriale.
214	MIP-00-V-00048	O5	7.5	x	3		19 - 65	ISO	< 0.33	x				CPTu indikerer mulig sprøbruddmateriale ved 2,3-4,5 meters dyp og sannsynlig kvikkleire fra 4,5 m og nedover. Konus verifiserer forekomst av kvikkleire fra 4 m og nedover.
A413	MIP-00-A-04455	O5	3.5									x		
A414	MIP-00-A-04455	O5	3.7								x			
A415	MIP-00-A-04455	O5	4.3									x		
A416	MIP-00-A-04455	O5	1.7									x		
A417	MIP-00-A-04455	O5	2.7								x			
A419	MIP-00-A-04455	O5	4.6									x		
A421	MIP-00-A-04455	O5	9.7			3						x		
A422	MIP-00-A-04455	O5	4.6			3						x		
A423	MIP-00-A-04455	O5	4.3								x			
A424	MIP-00-A-04455	O5	3.3								x			
A425	MIP-00-A-04455	O5	7.3	x	3		4-13	ISO	> 1.27				x	CPTu-data gir ingen indikasjon på sprøbruddmateriale. Konus bekrefter at det ikke finnes sprøbruddmateriale.
A428	MIP-00-A-04455	O5	7.7								x			
A429	MIP-00-A-04455	O5	1.4									x		
A430	MIP-00-A-04455	O5	10.8	x		5					x			CPTu-data indikerer et mulig lag med sprøbruddmateriale med tykkelse på 42 cm ved 9,5 meters dyp.
A431	MIP-00-A-04455	O5	4.6								x			
A432	MIP-00-A-04455	O5	3.2									x		
A433	MIP-00-A-04455	O5	4.7			3						x		
A435	MIP-00-A-04455	O5	19.4	x							x			CPTu-data indikerer mulig sprøbruddmateriale og kvikkleire ved flere dybder fra 2,0 - 16,8 meters dyp.
A436	MIP-00-A-04455	O5		x	4		6-71	ISO	< 0.33	x				CPTu-data indikerer mulig sprøbruddmateriale og kvikkleire fra dybde 2,2-8,3 m. Konus bekrefter forekomst av sprøbruddmateriale og kvikkleire
A437	MIP-00-A-04455	O5	10.5								x			
A438	MIP-00-A-04455	O5	8.1								x			
A439	MIP-00-A-04455	O5	6.5	x	4		4-12	ISO	> 1.27				x	CPTu-data gir ingen indikasjon på sprøbruddmateriale. Konus bekrefter at det ikke er tale om sprøbruddmateriale.
A440	MIP-00-A-04455	O5	7.5	x							x			NIFS 2015 (Bq1-Nmc) gir ikke utslag på sprøbruddmateriale men NIFS 2015 (Rfu-Nmc) gir utslag for sprøbruddmateriale.
A441	MIP-00-A-04455	O5	4	x	2		4-9	ISO	> 1.27				x	CPTu-data gir ingen indikasjon på sprøbruddmateriale. Konus bekrefter at det ikke er tale om sprøbruddmateriale.
A443	MIP-00-A-04455	O5	5.4									x		
A444	MIP-00-A-04455	O5	8.9	x	1		2-5	ISO	> 1.27		x			CPTu-data indikerer et tynt lag med sprøbruddmateriale på 4 cm. Det er ikke tatt ut sylindrerprøver i den relevante dybden.
A446	MIP-00-A-04455	O5	2.9	x									x	CPTu-data gir ingen indikasjon på sprøbruddmateriale.
A447	MIP-00-A-04455	O5	2.8									x		
A448	MIP-00-A-04455	O5	6.4	x	3		3-7	ISO	> 1.27				x	CPTu-data gir ingen indikasjon på sprøbruddmateriale. Konus bekrefter at det ikke er tale om sprøbruddmateriale.
A449	MIP-00-A-04455	O5	4.6									x		
A450	MIP-00-A-04455	O5	2.3									x		
A451	MIP-00-A-04455	O5	9	x	4		6-28	ISO	< 1.27	x				CPTu-data indikerer mulig sprøbruddmateriale fra dybde 7,4-8,3 m. Sprøbruddmateriale påvist med konus.
A452	MIP-00-A-04455	O5	6.9									x		
A453	MIP-00-A-04455	O5	3.7	x									x	CPTu-data gir ingen indikasjon på sprøbruddmateriale. CPT avsluttet i faste masser.
A456	MIP-00-A-04455	O5	10.9	x	4		2-28	ISO	> 1.27			x		CPTu-data indikerer mulig sprøbruddmateriale fra dybde 4.2 m og nedover. Representativt uttak av sylindrerprøver og konusforsøk viser at det ikke skal være tale om sprøbruddmateriale. Enkelte forsøk ligger rett på grensen.
A457	MIP-00-A-04455	O5	5.6	x									x	CPTu-data gir ingen indikasjon på sprøbruddmateriale.
A458	MIP-00-A-04455	O5	5.1									x		
A459	MIP-00-A-04455	O5	35.6	x						x				CPTu-data indikerer mulig sprøbruddmateriale fra dybde 5,2-19 m.
A460	MIP-00-A-04455	O5	6.9								x			
A461	MIP-00-A-04455	O5	11.9								x			
A462	MIP-00-A-04455	O5	26								x			
A463	MIP-00-A-04455	O5	5.6		2		3-10	ISO	> 1.27			x		Konus bekrefter at det ikke er tale om sprøbruddmateriale. Kan potensielt være sprøbruddmateriale i et tynt lag (rundt 1 m) rett over berg.
A464	MIP-00-A-04455	O5	45.3								x			
A465	MIP-00-A-04455	O5	6.8								x			
A466	MIP-00-A-04455	O5	9.7								x			
A467	MIP-00-A-04455	O5	14.4								x			
A468	MIP-00-A-04455	O5	14.7	x	3		7-25	ISO	< 1.27	x				CPTu-data indikerer mulig sprøbruddmateriale i tre lag i ulike dybder med tykkelse fra 0,3-1,4 m. Konus bekrefter forekomst av sprøbruddmateriale.

## Vedlegg D (Tabell m. sprøbrudd/ikke sprøbrudd og begrunnelse)

ID	Rapport	Område	Totalsondering (m boret i løsmasser)	CPTu (x hvis ja)	Prøvetaking Ø54 (stk)	Prøvetaking naver (stk)	St (-)	cu,r fastlagt etter NS8015 eller ISO-17892-6:2017	cu,r (kPa)	Påvist kvikkleire eller sprøbruddmateriale	Mulig sprøbruddmateriale	Mest sannsynlig ikke sprøbruddmateriale	Ikke sprøbruddmateriale	Merknad
A469	MIP-00-A-04455	O5	34.2								x			
A470	MIP-00-A-04455	O5	11.3	x	4		6-29	ISO	< 1.27	x				CPTu-data indikerer mulig sprøbruddmateriale fra dybde 4,2-10,3 m. Konus bekrefter forekomst av sprøbruddmateriale.
A471	MIP-00-A-04455	O5	11.6		3		4-39	ISO	< 1.27	x				Sprøbruddmateriale påvist med konus fra 5-6 m
A472	MIP-00-A-04455	O5	13.8								x			
A473	MIP-00-A-04455	O5	38.4	x	6		9-165	ISO	< 0.33	x				CPTu-data indikerer mulig sprøbruddmateriale fra dybde 5,4-20 m. Kvikkleire påvist med konus fra 4 m og nedover.
A474	MIP-00-A-04455	O5	10.4								x			
A475	MIP-00-A-04455	O5	16.1								x			
A476	MIP-00-A-04455	O5	13.4								x			
A477	MIP-00-A-04455	O5	4.7								x			
A478	MIP-00-A-04455	O5	19.2	x	4		9-48	ISO	< 1.27	x				CPTu-data indikerer mulig sprøbruddmateriale fra dybde 5 - 20 m. Sprøbruddmateriale påvist med konus fra 4 m og nedover.
A479	MIP-00-A-04455	O5	6.2	x	3		4-10	ISO	> 1.27				x	NIFS 2015 (Bq1-Nmc) gir ikke utslag på sprøbruddmateriale men NIFS 2015 (Rfu-Nmc) gir utslag noen få lag med mulig sprøbruddmateriale med tykkelse opp til 40 cm. Konus viser at det ikke er tale om sprøbruddmateriale.
A480	MIP-00-A-04455	O5	6								x			
A482	MIP-00-A-04455	O5	7.7	x	2		6-52	ISO	< 1.27	x				CPTu-data indikerer mulig sprøbruddmateriale fra dybde 3,9 - 7,5 m. Konus bekrefter forekomst av sprøbruddmateriale fra 4m og nedover (rett på grensen til kvikkleire).
A484	MIP-00-A-04455	O5	22.9								x			
A485	MIP-00-A-04455	O5	9.8	x							x			CPTu-data indikerer soner med mulig sprøbruddmateriale fra 7 meters dybde.
A486	MIP-00-A-04455	O5	5.8									x		
NGI7	MIP-00-V-00048	O5	7.5		1		13	ISO	> 1.27				x	Utførte konus viser cu,r rundt 1,7-1,9 kPa (ISO). Prøvetaking bare utført fra 5-6 m under terreng. Antagelig er prøve tatt ut i "bløteste lag" basert på totalsondering.
114	MIP-00-V-00048	O6	6.4								x			
115	MIP-00-V-00048	O6	11.0								x			
116	MIP-00-V-00048	O6	3.8									x		
116B	MIP-00-V-00048	O6	3.5									x		
H1300	MIP-00-A-04455	O6	4.4			3						x		
H1301	MIP-00-A-04455	O6	2.7									x		
H1302	MIP-00-A-04455	O6	17.6		5		9-41	ISO	< 1.27	x				Konus påviser forekomst av sprøbruddmateriale fra 6m og nedover.
H1303	MIP-00-A-04455	O6	6.8	x									x	CPTu data indikerer ingen fare for sprøbruddmateriale
H1304	MIP-00-A-04455	O6	4.9									x		
H1305	MIP-00-A-04455	O6	4.6								x			
H1306	MIP-00-A-04455	O6	5.2								x			
H1307	MIP-00-A-04455	O6	7.4	x	3		5-16	ISO	> 1.27				x	Representativt antall sylindrerprøver og konus-forsøk bekrefter at det ikke er tale om sprøbruddmateriale (ligger rett på vippen i et enkelt lag, se dybde 4,2 m).
H1308	MIP-00-A-04455	O6	4.2		2		4-8	ISO	> 1.27				x	Konus bekrefter at det ikke er tale om sprøbruddmateriale. Her er det tale om tørrskorpe til berg.
H1309	MIP-00-A-04455	O6	1.8										x	Mindre enn 2 m løsmassemekthet
H1310	MIP-00-A-04455	O6	3.5			2						x		
H1311	MIP-00-A-04455	O6	3.9									x		
H1312	MIP-00-A-04455	O6	1.8										x	Mindre enn 2 m løsmassemekthet
H1313	MIP-00-A-04455	O6	5.1								x			
H1314	MIP-00-A-04455	O6	14.8	x	5		5-81	ISO	< 0.33	x				Konus påviser forekomst av sprøbruddmateriale og kvikkleire fra 4 m og nedover.
H1315	MIP-00-A-04455	O6	6	x	4								x	CPTu indikerer ikke sprøbruddmateriale
H1316	MIP-00-A-04455	O6	6.9	x	3		5-15	ISO	> 1.27				x	Representativt antall sylindrerprøver og konus-forsøk bekrefter at det ikke er tale om sprøbruddmateriale.
H1317	MIP-00-A-04455	O6	3.9									x		
H1318	MIP-00-A-04455	O6	7.1	x									x	CPTu indikerer ikke sprøbruddmateriale
H1319	MIP-00-A-04455	O6	7.8	x									x	CPTu indikerer ikke sprøbruddmateriale
H1320	MIP-00-A-04455	O6	5.7	x	3		4-18	ISO	< 1.27	x				Konus påviser enkelte lag av sprøbruddmateriale fra 3 m og nedover.
H1321	MIP-00-A-04455	O6	5		2		5-28	ISO	> 1.27				x	Representativt antall sylindrerprøver og konus-forsøk bekrefter at det ikke er tale om sprøbruddmateriale.
H1322	MIP-00-A-04455	O6	5.1								x			
H192	MIP-00-A-04455	O6	3.9			3						x		
H193	MIP-00-A-04455	O6	1.9										x	Mindre enn 2 m løsmassemekthet
H194	MIP-00-A-04455	O6	6.8	x	3	2	5-19	ISO	> 1.27				x	NIFS 2015 (bqi-Nmc) gir ikke utslag på sprøbruddmateriale, men NIFS 2015 (Rfu-Nmc) gir utslag på et lag med tykkelse på 14 cm med mulig sprøbruddmateriale fra dybde 6,7 m. Konus bekrefter at det ikke er tale om sprøbruddmateriale.
H195	MIP-00-A-04455	O6	1.7										x	Mindre enn 2 m løsmassemekthet
H196	MIP-00-A-04455	O6	4.8									x		
H197	MIP-00-A-04455	O6	5.6			3						x		
H198	MIP-00-A-04455	O6	4									x		

## Vedlegg D (Tabell m. sprøbrudd/ikke sprøbrudd og begrunnelse)

ID	Rapport	Område	Totalsondering (m boret i løsmasser)	CPTu (x hvis ja)	Prøvetaking $\phi$ 54 (stk)	Prøvetaking naver (stk)	St (-)	$c_{ur}$ fastlagt etter NS8015 eller ISO-17892-6:2017	$c_{ur}$ (kPa)	Påvist kvikkleire eller sprøbruddmateriale	Mulig sprøbruddmateriale	Mest sannsynlig ikke sprøbruddmateriale	Ikke sprøbruddmateriale	Merknad
H199	MIP-00-A-04455	O6	3.3									x		
H215	MIP-00-A-04455	O6	6.5									x		
H216	MIP-00-A-04455	O6	2.8			2						x		
H217	MIP-00-A-04455	O6	3.6			2						x		
H218	MIP-00-A-04455	O6	3.4									x		
H219	MIP-00-A-04455	O6	5.1			3						x		
H220	MIP-00-A-04455	O6	4.4									x		
H221	MIP-00-A-04455	O6	2.9									x		
H222	MIP-00-A-04455	O6	2										x	Mindre enn 2 m løsmassemekthet
H223	MIP-00-A-04455	O6	2.8									x		
H224	MIP-00-A-04455	O6	7.2			4						x		
H225	MIP-00-A-04455	O6	3									x		
H226	MIP-00-A-04455	O6	4.7			2						x		
H227	MIP-00-A-04455	O6	7.4									x		
H228	MIP-00-A-04455	O6	8.1			2						x		
H229	MIP-00-A-04455	O6	1.4										x	Mindre enn 2 m løsmassemekthet
H230	MIP-00-A-04455	O6	3.8									x		
H231	MIP-00-A-04455	O6	6.9									x		
H232	MIP-00-A-04455	O6	5.6			2					x			
H233	MIP-00-A-04455	O6	6.9	x	3		4-19	ISO	< 1.27	x				CPTu-data indikerer 2 tynne lag på under 10 cm med mulig sprøbruddmateriale. Konus bekrefter forekomst av tynne lag av sprøbruddmateriale
H234	MIP-00-A-04455	O6	4.8			3						x		
H238	MIP-00-A-04455	O6	4.3									x		
H239	MIP-00-A-04455	O6	4.7			3						x		
H240	MIP-00-A-04455	O6	2.8										x	Slag/spyling/økt rotasjon med unntak av den øverste havle meteren
H242	MIP-00-A-04455	O6	8.1			3							x	Prøvetaking påviser siltig, sandig, leirig materiale der totalsonderingen indikerer de bløteste massene (4-5 m)
H243	MIP-00-A-04455	O6	4.3			3						x		
H244	MIP-00-A-04455	O6	4									x		
H245	MIP-00-A-04455	O6	3									x		
H246	MIP-00-A-04455	O6	6.6	x	2		3-6	ISO	> 1.27		x			CPTu-data indikerer ett lag på ca. 30 cm med mulig sprøbruddmateriale i rundt 5,4 m dyp. Sylindrerprøve er ikke tatt i denne dybden.
H247	MIP-00-A-04455	O6	2.3									x		
H248	MIP-00-A-04455	O6	7.2	x	4		4-18	ISO	> 1.27		x			CPTu-data indikerer ikke sprøbruddmateriale. CPTu avsluttet 1 m over berg. Konus indikerer ikke sprøbruddmateriale, men det kan potensielt være bløte masser den siste meteren rett over berg der det ikke er tatt prøver/utført CPTu.
H249	MIP-00-A-04455	O6	5.2								x			
H250	MIP-00-A-04455	O6	2.1									x		Lite løsmassemekthet
H251	MIP-00-A-04455	O6	4.5		1		10	ISO	> 1,27		x			Prøve ikke tatt i den dybden der totalsonderingen indikerer de bløteste massene.
H252	MIP-00-A-04455	O6	2.3									x		
H253	MIP-00-A-04455	O6	10.3	x	3		19-24	ISO	< 1.27	x				CPTu-data indikerer mulig sprøbruddmateriale fra dybde 3,3 til 5,8 m. Konus bekrefter sprøbruddmateriale fra 4 m og nedover.
H254	MIP-00-A-04455	O6	1										x	Mindre enn 2 m løsmassemekthet
H262	MIP-00-A-04455	O6	7.7	x	3		9-35	ISO	< 1.27	x				CPTu-data indikerer et lag med mulig sprøbruddmateriale fra dybde 5,6 til 5,9 m. Konus bekrefter sprøbruddmateriale fra 5 m og nedover.
H263	MIP-00-A-04455	O6	11.8								x			
H265	MIP-00-A-04455	O6	9.8								x			
H267	MIP-00-A-04455	O6	6.3								x			
H268	MIP-00-A-04455	O6	7.8	x	4		5-23	ISO	> 1.27				x	CPTu-data indikerer to lag med mulig sprøbruddmateriale med tykkelse på 24 cm ved dybde 3,3 og 4,4 meters dyp. Konus i de relevante dybder avviser at det skal være tale om sprøbruddmateriale.
H269	MIP-00-A-04455	O6	4.8	x	2		3-14	ISO	< 1.27	x				CPTu-data indikerer ikke sprøbruddmateriale. Konus påviser sprøbruddmateriale fra 2 m og nedover.
H272	MIP-00-A-04455	O6	6.4								x			
H276	MIP-00-A-04455	O6	5.3		3		7-18	ISO	> 1.27		x			Konus indikerer ikke sprøbruddmateriale, men det kan potensielt være bløte masser den siste meteren rett over berg der det ikke er tatt prøve
H277	MIP-00-A-04455	O6	1.3										x	Mindre enn 2 m løsmassemekthet
H279	MIP-00-A-04455	O6	2.6									x		
H281	MIP-00-A-04455	O6	5.6	x	2		3-9	ISO	> 1.27				x	CPTu-data indikerer ikke sprøbruddmateriale. Konus bekrefter at det ikke er tale om sprøbruddmateriale.
H282	MIP-00-A-04455	O6	6.7								x			



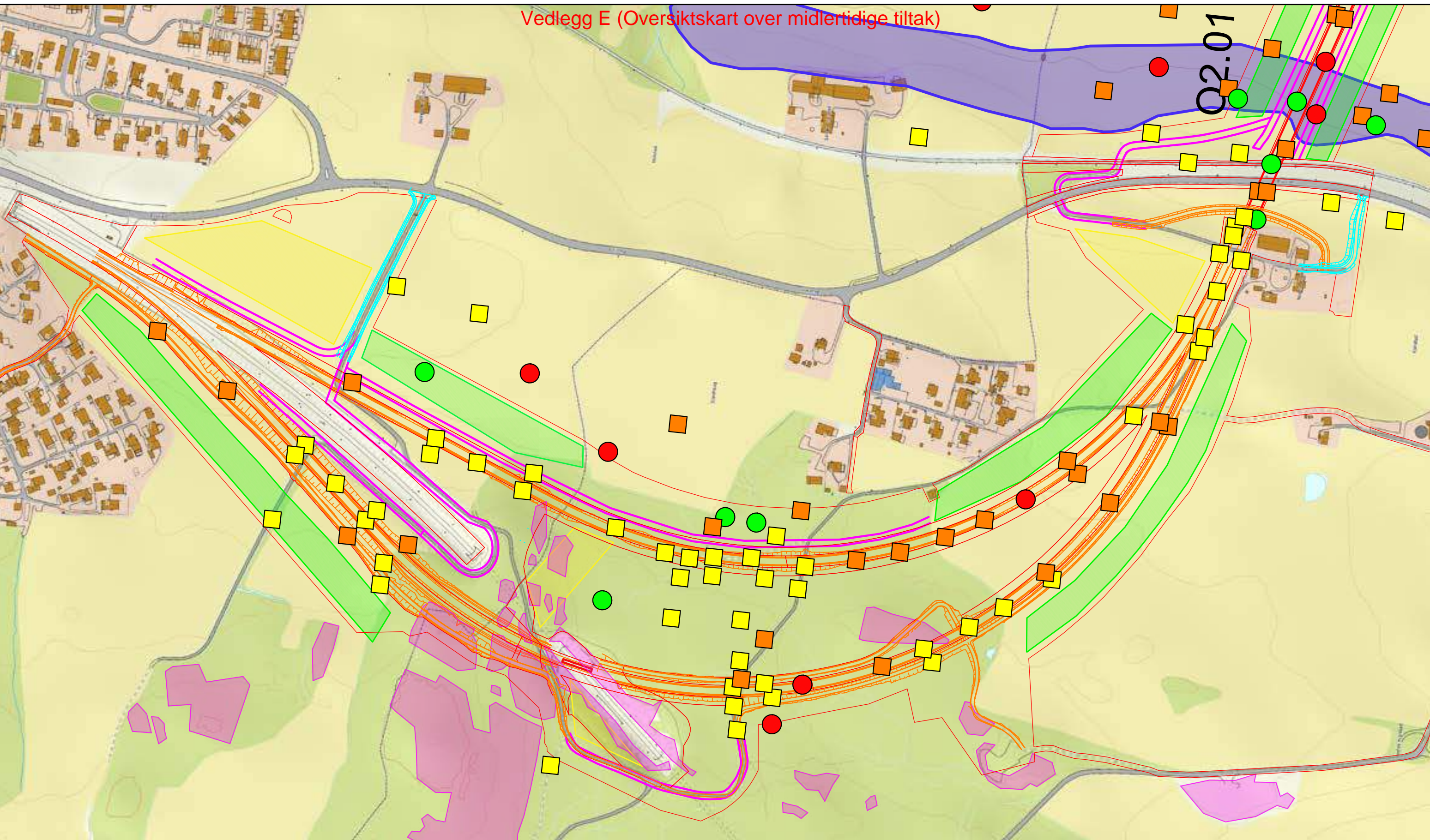
## Vedlegg D (Tabell m. sprøbrudd/ikke sprøbrudd og begrunnelse)















ID	Rapport	Område	Totalsondering (m boret i løsmasser)	CPTu (x hvis ja)	Prøvetaking Ø54 (stk)	Prøvetaking naver (stk)	St (-)	c <sub>u,r</sub> fastlagt etter NS8015 eller ISO-17892-6:2017	c <sub>u,r</sub> (kPa)	Påvist kvikkleire eller sprøbruddmateriale	Mulig sprøbruddmateriale	Mest sannsynlig ikke sprøbruddmateriale	Ikke sprøbruddmateriale	Merknad
H283	MIP-00-A-04455	O6	8.2	x	2	2	9-36	ISO	> 1.27				x	NIFS 2015 (bqi-Nmc) gir ikke utslag på sprøbruddmateriale, men NIFS 2015 (Rfu-Nmc) gir utslag om mulig sprøbruddmateriale rundt dybde 3.5 m. Konus i den relevante dybde avviser at det skal være tale om sprøbruddmateriale.
H284	MIP-00-A-04455	O6	6.7	x								x		CPTu-data indikerer ikke sprøbruddmateriale (tolkning bør kontrolleres og sammenholdes med nærliggende boringer!).
H285	MIP-00-A-04455	O6	3									x		
H287	MIP-00-A-04455	O6	2.6		1	1	1-2	ISO	> 1.27				x	Lite løsmassemektighet og tørrskorpe til berg. Trolig ikke tale om noe sprøbruddmateriale her!
H288	MIP-00-A-04455	O6	1.3										x	Mindre enn 2 m løsmassemektighet
H289	MIP-00-A-04455	O6	8	x						x				CPTu-data indikerer 3 lag med mulig sprøbruddmateriale ved dybde 5,4, 5,8 og 6,5 m. Lagene har en tykkelse på 8 cm, 6 cm og 70 cm
H290	MIP-00-A-04455	O6	3.4									x		
H291	MIP-00-A-04455	O6	5.2	x		4						x		CPTu-data indikerer ikke sprøbruddmateriale (tolkning bør kontrolleres og sammenholdes med nærliggende boringer!).
H292	MIP-00-A-04455	O6	3.7									x		
H293	MIP-00-A-04455	O6	5.6			2							x	Prøvetaking påviser siltig, sandig, leirig og grusig materiale der totalsonderingen indikerer de "bløtteste massene" (1-3 m)
H294	MIP-00-A-04455	O6	3.3									x		
H295	MIP-00-A-04455	O6	6.8	x	3		6-10	ISO	> 1.27				x	CPTu-data indikerer ikke sprøbruddmateriale. Konus bekrefter at det ikke er tale om sprøbruddmateriale.
H296	MIP-00-A-04455	O6	5								x			
H297	MIP-00-A-04455	O6	5.2	x	2	3	2-6	ISO	> 1.27				x	CPTu-data indikerer ikke sprøbruddmateriale. Konus bekrefter at det ikke er tale om sprøbruddmateriale.
H298	MIP-00-A-04455	O6	2.7									x		
H299	MIP-00-A-04455	O6	3.2									x		
H300	MIP-00-A-04455	O6	14.9	x						x				CPTu-data indikerer mulig sprøbruddmateriale fra dybde 7 m.
H301	MIP-00-A-04455	O6	3.8									x		
H302	MIP-00-A-04455	O6	5.3								x			
H303	MIP-00-A-04455	O6	4.6	x									x	CPTu-data indikerer ikke sprøbruddmateriale (tolkning bør kontrolleres og sammenholdes med nærliggende boringer!).
H304	MIP-00-A-04455	O6	4								x			
H305	MIP-00-A-04455	O6	12.6								x			
H306	MIP-00-A-04455	O6	9.2	x						x				CPTu-data indikerer mulig sprøbruddmateriale fra dybde 4,6 til 5,3 m.
H308	MIP-00-A-04455	O6	1.7										x	Mindre enn 2 m løsmassemektighet
H309	MIP-00-A-04455	O6	9.3	x	2		3-32	ISO	> 1.27				x	CPTu-data indikerer to tynne lag med mulig sprøbruddmateriale og sannsynlig kvikkleire. Konus i de relevante dybdene avviser at det skal være tale om sprøbruddmateriale.
H310	MIP-00-A-04455	O6	4.9			4					x			
H311	MIP-00-A-04455	O6	8.4			3							x	Spyling/økt rotasjon med unntak av øverste 2-3 m
H312	MIP-00-A-04455	O6	1.5										x	Mindre enn 2 m løsmassemektighet
H313	MIP-00-A-04455	O6	10.5										x	Spyling/økt rotasjon med unntak av øverste 2-3 m
H321	MIP-00-A-04455	O6	5.3	x									x	CPTu data indikerer ikke sprøbruddmateriale
15	MIP-00-V-00048	Utenfor område	5.9										x	
16	MIP-00-V-00048	Utenfor område	5.1	x	2	2	4 - 13	ISO	< 1.27	x				CPTu indikerer mulig sprøbruddmateriale 2,9 meters dybde og nedover. Konus verifiserer forekomst av sprøbruddmateriale fra 3 m og nedover.
17	MIP-00-V-00048	Utenfor område	1.6										x	
18	MIP-00-V-00048	Utenfor område	1.2										x	
19	MIP-00-V-00048	Utenfor område	15.0	x	3		15 - 23	ISO	< 1.27	x				CPTu indikerer mulig sprøbruddmateriale fra 3,9 meters dyp og nedover. Konus verifiserer forekomst av sprøbruddmateriale fra 5-9,5 m.
20	MIP-00-V-00048	Utenfor område	5.3		2		8 - 12	ISO	> 1.27				x	Utførte konus viser c <sub>u,r</sub> rundt 3.3-10.1 kPa (ISO). Prøvetaking utført fra 3-5 m under terreng der totalsondering indikerer de bløtteste massene.
104	MIP-00-V-00048	Utenfor område	4.6			4					x			Prøver viser leire med varierende innhold av silt, sand og hummus 1-4 m under terreng. Øverste meter er tørrskorpe.

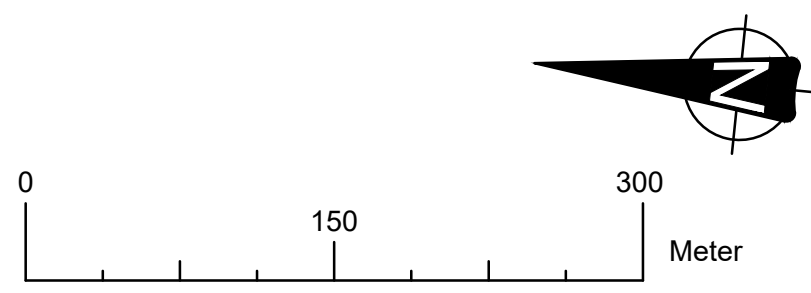


Vedlegg E (Oversiktskart over midlertidige tiltak)

Q2.01

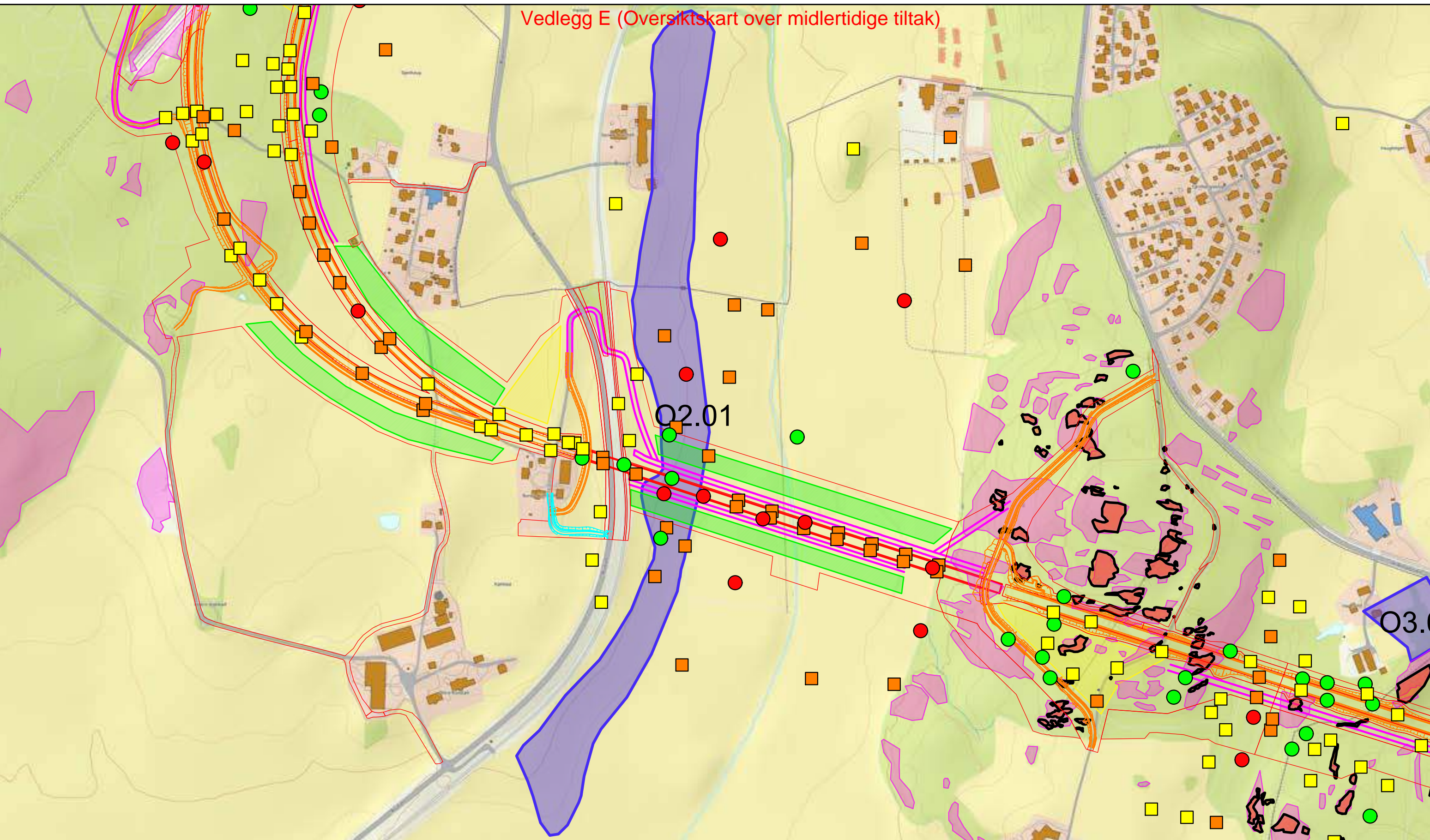
















- |   |                                      |   |                    |   |   |   |  |
|---|--------------------------------------|---|--------------------|---|---|---|--|
|   | Planlagte rigg- og arbeidsarealer    |  | Midlertidige veger |  | Innmålt berg i dagen                                |  | Ikke sprøbruddmateriale                            |
|   | Opprasking matjord                   |  | Anleggsveg         |  | Tolket berg i dagen                                 |  | Påvist sprøbruddmateriale                          |
|   | Fyllinger/skjæringer for veg og bane |  | Reguleringsgrenser |  | Faresone for løснеområde                            |  | Ikke sprøbruddmateriale, tolket fra totalsondering |
|  | Konstruksjon                         |   |                    |  | Mulig sprøbruddmateriale, tolket fra totalsondering |   |  |

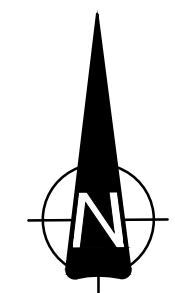
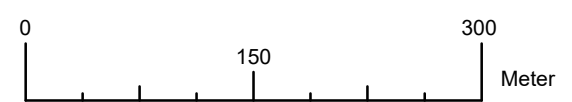




Vedlegg E (Oversiktskart over midlertidige tiltak)

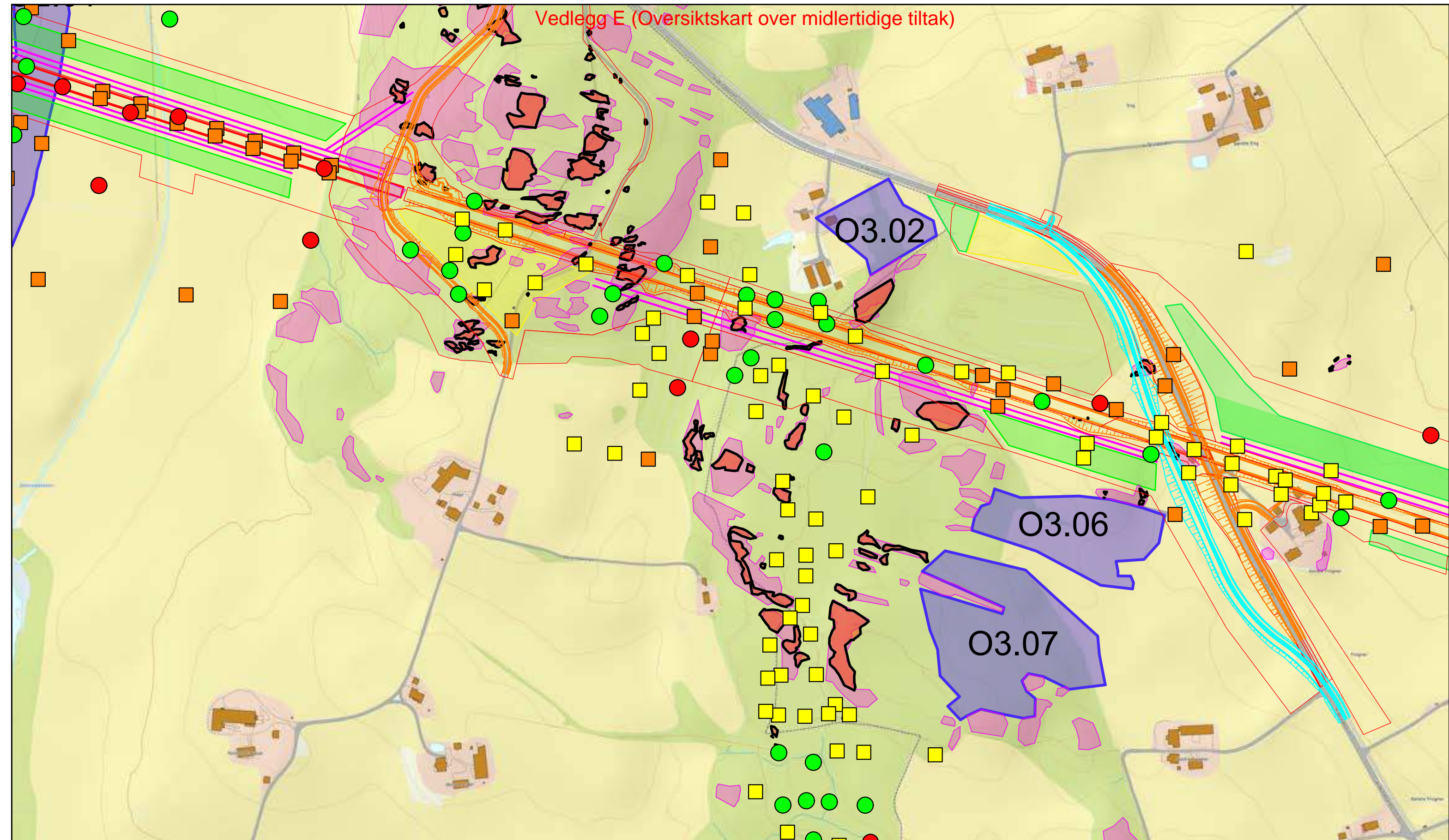


- |   |   |  |  |
|---|---|--|--|
|  Planlagte rigg- og arbeidsarealer    |  Midlertidige veger |  Innmålt berg i dagen     |  Ikke sprøbruddmateriale                            |
|  Opprasking matjord                   |  Anleggsveg         |  Tolket berg i dagen      |  Påvist sprøbruddmateriale                          |
|  Fyllinger/skjæringer for veg og bane |  Reguleringsgrenser |  Faresone for løснеområde |  Ikke sprøbruddmateriale, tolket fra totalsondring  |
|  Konstruksjon                        |   |  |  Mulig sprøbruddmateriale, tolket fra totalsondring |





Vedlegg E (Oversiktskart over midlertidige tiltak)



Planlagte rigg- og arbeidsarealer



Oppranging matjord



Fyllinger/skjæringer for veg og bane



Konstruksjon

Midlertidige veger

Anleggsveg

Reguleringsgrenser

Innmålt berg i dagen

Tolket berg i dagen

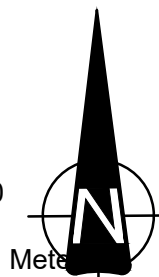
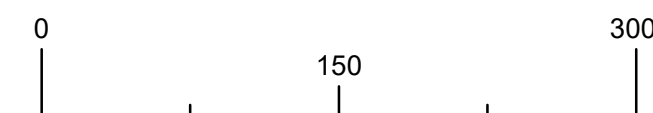
Faresone for løснеområde

Ikke sprøbruddmateriale

Påvist sprøbruddmateriale

Ikke sprøbruddmateriale, tolket fra totalsondring

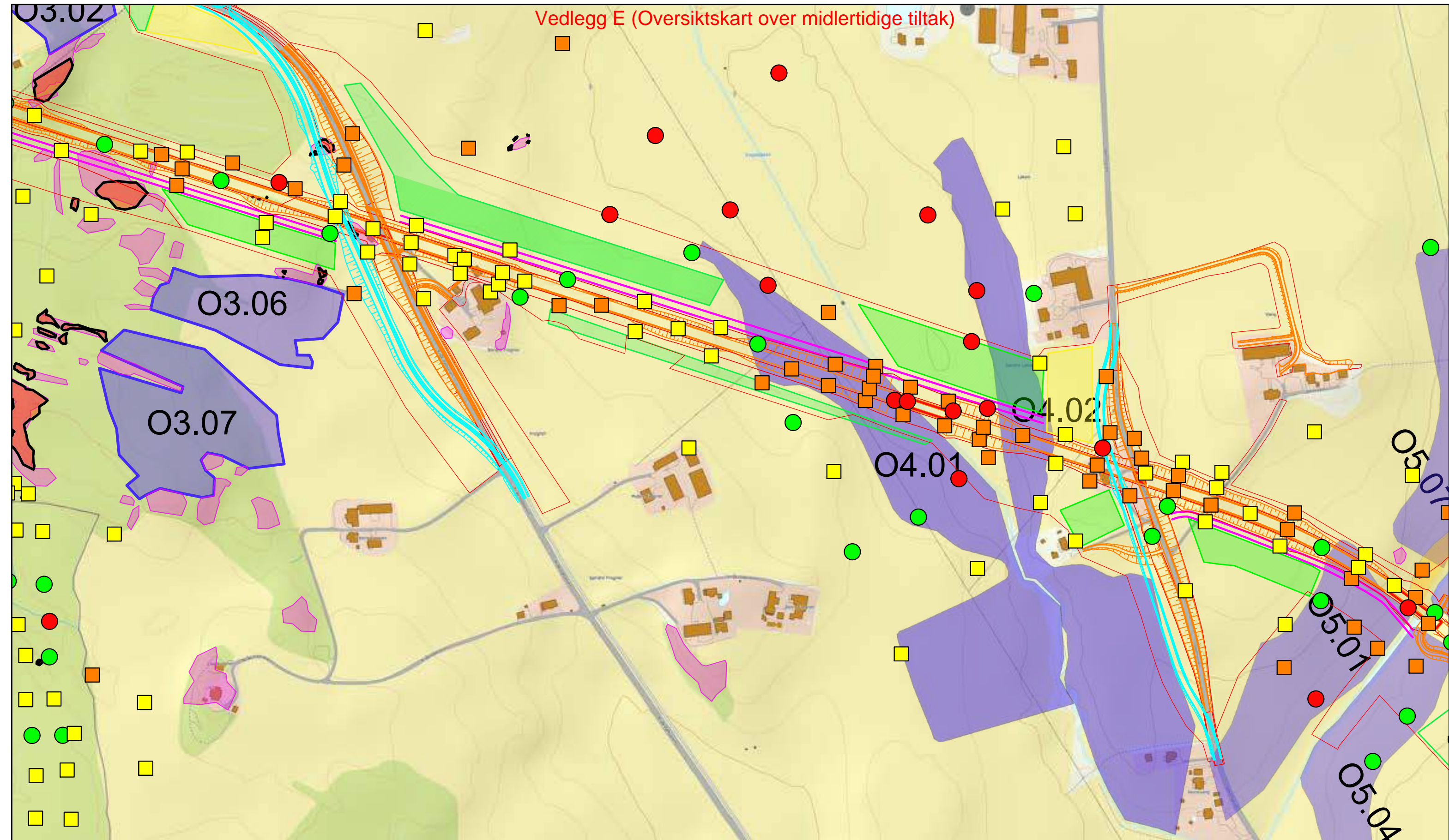
Mulig sprøbruddmateriale, tolket fra totalsondring

















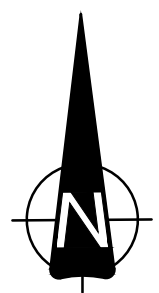
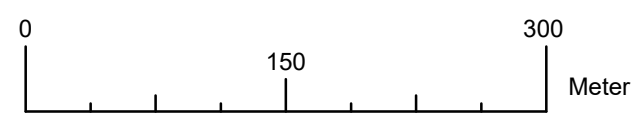
E3



Vedlegg E (Oversiktskart over midlertidige tiltak)



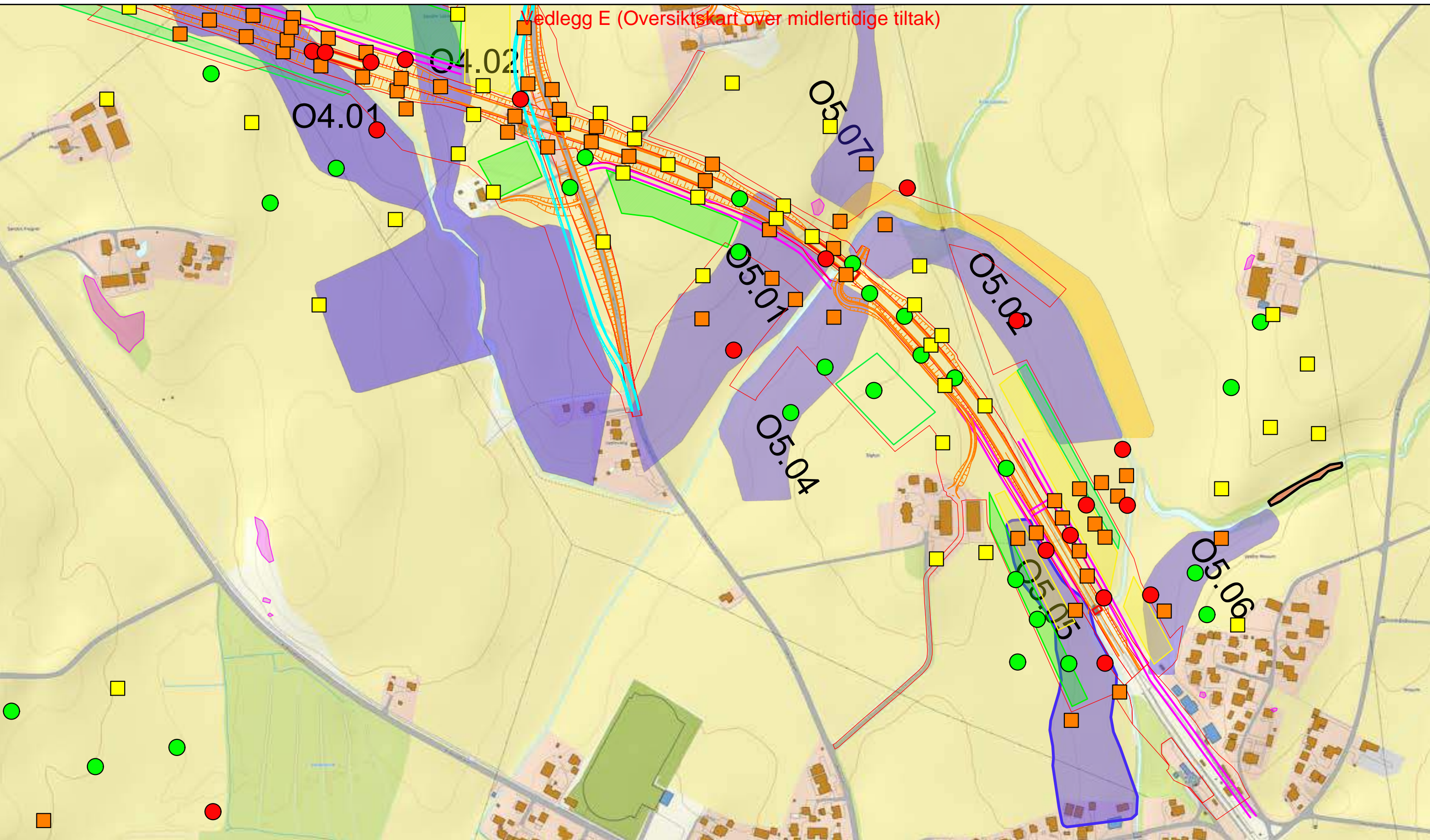
- |   |                                      |   |                    |   |   |   |  |
|---|--------------------------------------|---|--------------------|---|---|---|--|
|   | Planlagte rigg- og arbeidsarealer    |  | Midlertidige veger |  | Innmålt berg i dagen                                |  | Ikke sprøbruddmateriale                            |
|   | Opprinking matjord                   |  | Anleggsveg         |  | Tolket berg i dagen                                 |  | Påvist sprøbruddmateriale                          |
|   | Fyllinger/skjæringer for veg og bane |  | Reguleringsgrenser |  | Faresone for løснеområde                            |  | Ikke sprøbruddmateriale, tolket fra totalsondering |
|  | Konstruksjon                         |   |                    |  | Mulig sprøbruddmateriale, tolket fra totalsondering |   |  |

















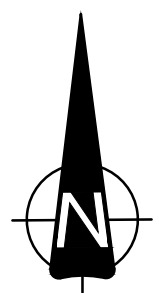
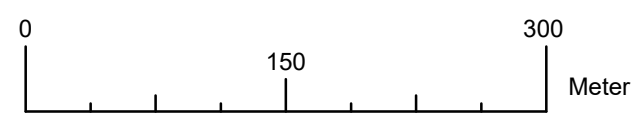
E4



Vedlegg E (Oversiktskart over midlertidige tiltak)



- |   |                                      |   |                    |   |   |   |  |
|---|--------------------------------------|---|--------------------|---|---|---|--|
|   | Planlagte rigg- og arbeidsarealer    |  | Midlertidige veger |  | Innmålt berg i dagen                                |  | Ikke sprøbruddmateriale                            |
|   | Opprasking matjord                   |  | Anleggsveg         |  | Tolket berg i dagen                                 |  | Påvist sprøbruddmateriale                          |
|   | Fyllinger/skjæringer for veg og bane |  | Reguleringsgrenser |  | Faresone for løснеområde                            |  | Ikke sprøbruddmateriale, tolket fra totalsondering |
|  | Konstruksjon                         |   |                    |  | Mulig sprøbruddmateriale, tolket fra totalsondering |   |  |

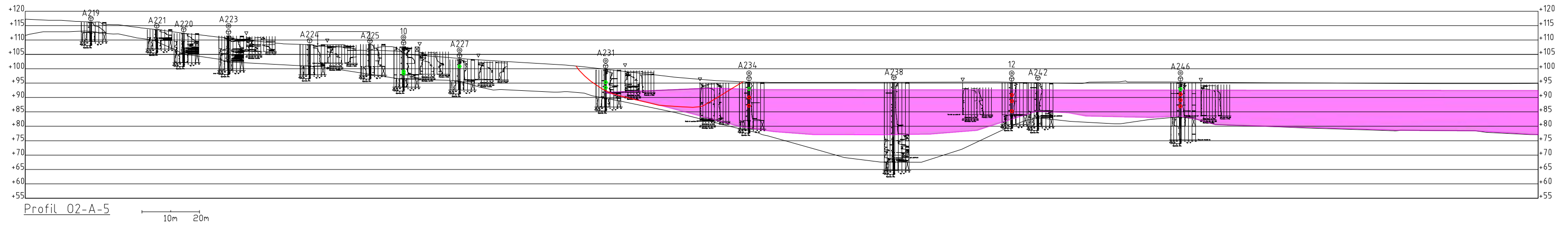


E5

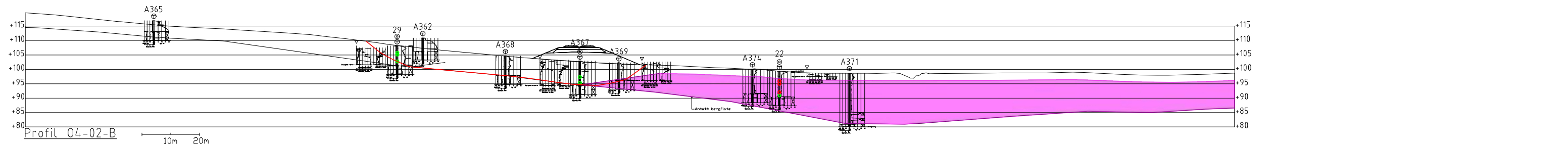


# Vedlegg F (Tolkning av sprøbruddmateriale i profil)

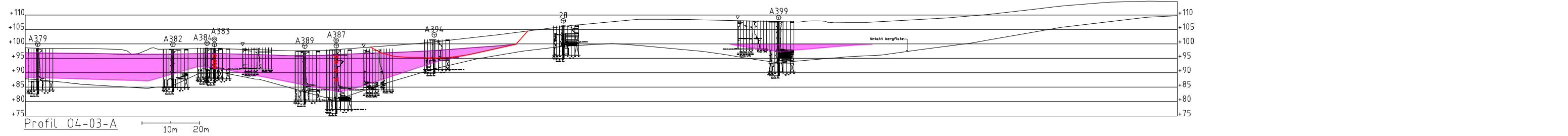
## Faresone O2.01



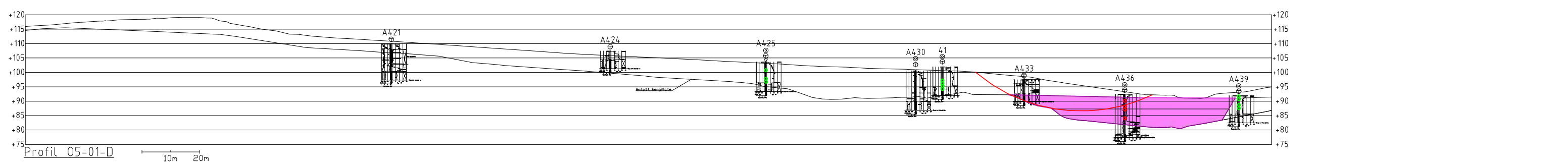
## Faresone O4.01



## Faresone O4.02



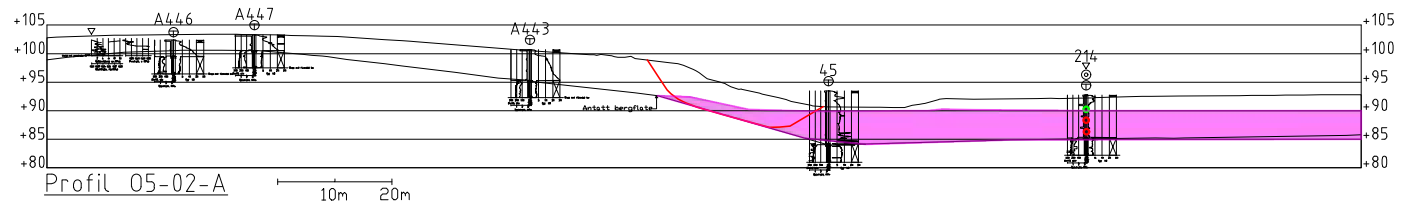
## Faresone O5.01



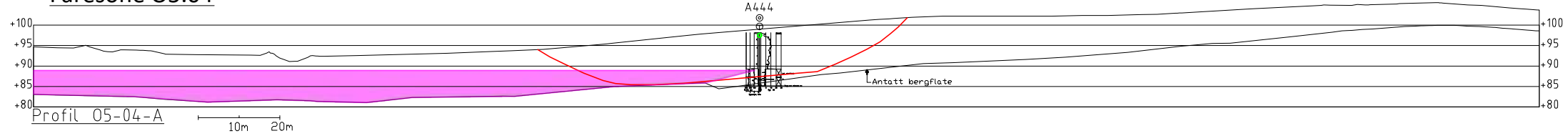
Antatt sprøbruddmateriale
   $sr > 1,27 \text{ kPa}$  (iht. ISO 17892-6:2017)
   $sr < 1,27 \text{ kPa}$  (iht. ISO 17892-6:2017)
  Kritisk bruddfigur fra stabilitetsberegninger

# Vedlegg F (Tolkning av sprøbruddmateriale i profil)

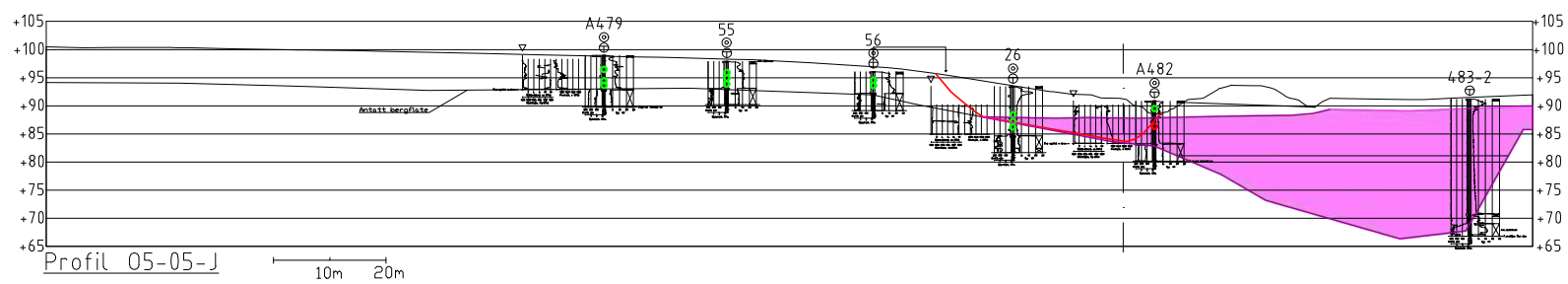
Faresone 05.02



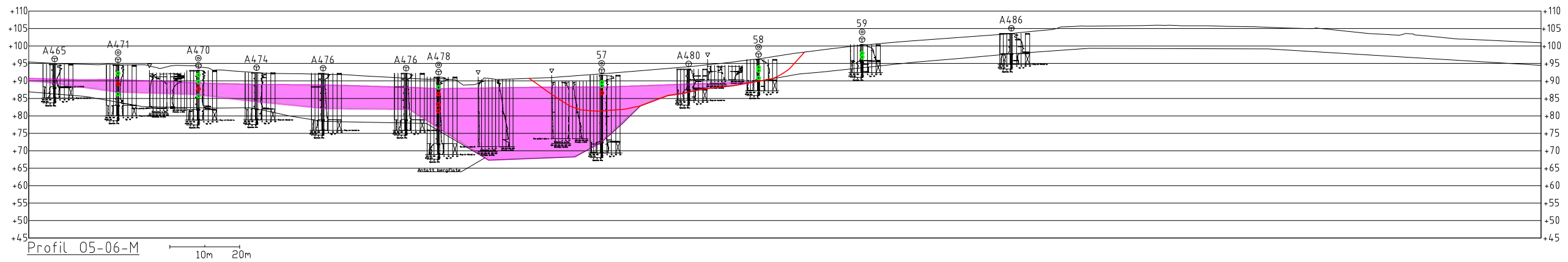
Faresone 05.04



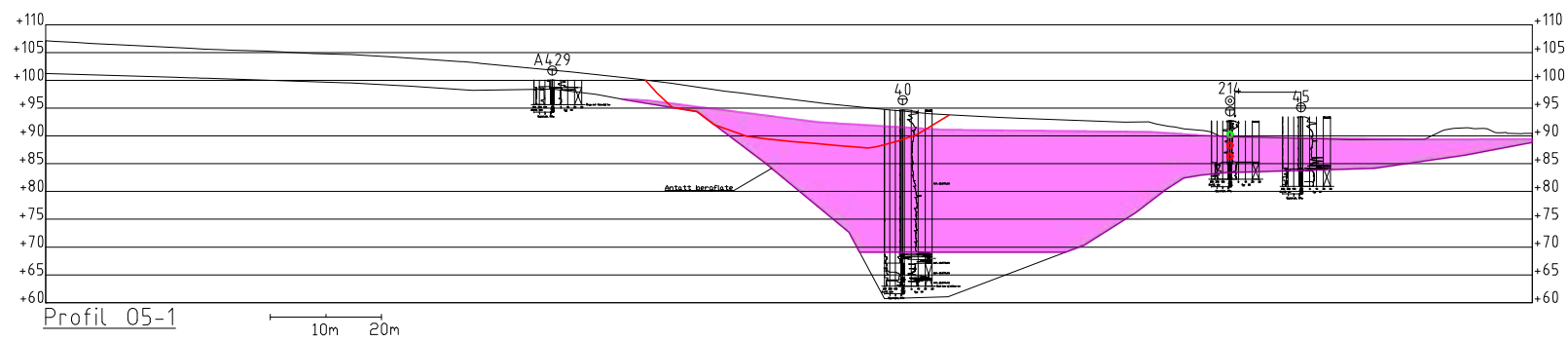
Faresone 05.05



Faresone 05.06



Faresone 05.07



Antatt sprøbruddmateriale
   $sr > 1,27 \text{ kPa}$  (iht. ISO 17892-6:2017)
   $sr < 1,27 \text{ kPa}$  (iht. ISO 17892-6:2017)
  Kristisk bruddfigur fra stabilitetsberegninger